

Geochemische Grundlagen  
zur nachhaltigen Bewirtschaftung von Gesteinen  
in Baden-Württemberg

Von der Gemeinsamen Naturwissenschaftlichen Fakultät

der Technischen Universität Carolo-Wilhelmina

zu Braunschweig

zur Erlangung des Grades eines

Doktors der Naturwissenschaften

(Dr.rer.nat.)

genehmigte

Dissertation

von Thomas Lotze  
aus Hannover

1. Referent: Prof. Dr. D. Zachmann

2. Referent: Prof. Dr. W. Schneider

eingereicht am: 27. August 1998

mündliche Prüfung (Disputation) am: 21.04.1999

1999  
(Druckjahr)

## **Danksagung**

Mein besonderer Dank für die Anteilnahme bei der Verwirklichung dieser Arbeit gilt Herrn Prof. Dr. D. Zachmann, dessen Anregungen sowie fachliche und menschliche Unterstützung mir stets eine große Hilfe waren.

Darüber hinaus möchte ich mich bei Frau R. Löhr und Frau S. Scheffler bedanken, die einen großen Teil der Analytik des Probenmaterials besorgten.

Ich danke insbesondere Herrn O. Ewald für seine Anregungen und viele fruchtbare Diskussionen.

Nicht zuletzt bedanke ich mich bei meiner Frau Susanne und meiner Tochter Victoria für ihre Unterstützung und ihr Verständnis.

Th. Lotze, Mai 1999



## Inhalt

|                                                                                    |           |
|------------------------------------------------------------------------------------|-----------|
| <b>Zusammenfassung</b>                                                             | <b>6</b>  |
| <b>Summary</b>                                                                     | <b>7</b>  |
| <b>Einleitung</b>                                                                  | <b>10</b> |
| <b>1. Problemstellung und Durchführung</b>                                         | <b>13</b> |
| <b>1.1. Problemstellung</b>                                                        | <b>13</b> |
| <b>1.2 Durchführung</b>                                                            | <b>14</b> |
| 1.2.1. Voruntersuchungen                                                           | 14        |
| 1.2.2. Planung und Recherchen                                                      | 15        |
| 1.2.3. Probennahme, Analytik                                                       | 16        |
| 1.2.4. Datenbewertung, Auswertung, Folgerungen                                     | 16        |
| 1.2.5. Ablaufplan                                                                  | 17        |
| <b>2. Geologische Situation</b>                                                    | <b>19</b> |
| <b>2.1. Stratigraphie</b>                                                          | <b>19</b> |
| <b>3. Probennahmen</b>                                                             | <b>26</b> |
| <b>3.1. Methoden</b>                                                               | <b>26</b> |
| <b>3.2. Beprobte geologische Formationen</b>                                       | <b>26</b> |
| <b>4. Probenaufbereitung und -aufschlüsse</b>                                      | <b>30</b> |
| <b>4.1. Aufbereitung der Gesteinsproben</b>                                        | <b>30</b> |
| <b>4.2. Königswasseraufschluß nach DIN 38414 S7</b>                                | <b>30</b> |
| <b>4.3. Elution nach DIN 38414 S4</b>                                              | <b>30</b> |
| 4.3.1. Vergleich von Filtern unterschiedlicher Porenweiten                         | 31        |
| <b>4.4. Ionentrennung im Säulenverfahren</b>                                       | <b>33</b> |
| <b>4.5. Messung von anorganischen Kohlenstoffverbindungen, C-org. und Schwefel</b> | <b>34</b> |
| <b>5. Analysenverfahren</b>                                                        | <b>35</b> |
| <b>5.1. Elementanalytik</b>                                                        | <b>35</b> |
| <b>5.2. Röntgendiffraktometrie</b>                                                 | <b>36</b> |
| <b>6. Toxikologie, Grenz- und Richtwertklassen</b>                                 | <b>38</b> |
| <b>6.1. Toxikologie der natürlichen Spezies</b>                                    | <b>38</b> |
| <b>6.2. Grenz- und Richtwertklassen</b>                                            | <b>39</b> |
| <b>7. Meßergebnisse</b>                                                            | <b>42</b> |
| <b>7.1. pH-Werte und Leitfähigkeit</b>                                             | <b>42</b> |
| <b>7.2. Gesamt- und Eluatgehalte an Haupt-elementen</b>                            | <b>43</b> |
| <b>7.3. Gesamt- und Eluatgehalte an Spurenelementen</b>                            | <b>47</b> |
| <b>7.4. Kohlenstoffgesamtgehalte und organischer Kohlenstoff</b>                   | <b>51</b> |
| <b>7.5. Ammoniumgehalte</b>                                                        | <b>51</b> |
| <b>7.6. Chloridgehalte</b>                                                         | <b>52</b> |

|                                                                                                                            |            |
|----------------------------------------------------------------------------------------------------------------------------|------------|
| <b>7.7. Sonderproben: ausgelaugter Gipskeuper</b>                                                                          | <b>52</b>  |
| <b>7.8. Mineralbestand</b>                                                                                                 | <b>53</b>  |
| <b>8. Korrelationen, Cluster- und Faktorenanalysen</b>                                                                     | <b>55</b>  |
| <b>8.1. Korrelationsanalysen</b>                                                                                           | <b>59</b>  |
| 8.1.1. Bestimmung von Schichtähnlichkeiten auf der Basis von Elementgesamtgehalten und -beziehungen mittels Clusteranalyse | 59         |
| 8.1.2. Korrelationsanalyse der Elementgesamtgehalte über alle Schichten                                                    | 64         |
| 8.1.3. Korrelationsanalysen von Elementgesamtgehalten der nach stratigraphischen Serien getrennten Gesteine                | 66         |
| 8.1.4. Korrelationen Gesamt- / Eluatgehalte                                                                                | 74         |
| <b>8.2. Gesamtübersicht</b>                                                                                                | <b>76</b>  |
| <b>9. Vergleichsdaten</b>                                                                                                  | <b>77</b>  |
| <b>9.1. Elementgesamtgehalte in Gesteinen</b>                                                                              | <b>77</b>  |
| <b>9.2. Natürliche Grundwasserbeschaffenheit / Eluatgehalte</b>                                                            | <b>81</b>  |
| 9.2.1. Ergebnisse der Gegenüberstellung                                                                                    | 84         |
| <b>10. Geochemische Modellierungen</b>                                                                                     | <b>85</b>  |
| <b>10.1. Zusammenfassung der Ergebnisse</b>                                                                                | <b>87</b>  |
| 10.1.1. Aluminium (aus Kaolinit u. Gibbsit)                                                                                | 87         |
| 10.1.2. Calcium und Sulfat (aus Anhydrit und Gips)                                                                         | 88         |
| 10.1.3. Eisen (Pyrit, Goethit) und Schwefel (Pyrit)                                                                        | 89         |
| 10.1.4. Fe, Zn, Pb und SO <sub>4</sub> (aus Pyrit/ Goethit, Galenit u. Sphalerit)                                          | 91         |
| 10.1.5. Blei (aus Cerussit und Anglesit)                                                                                   | 92         |
| 10.1.6. Zink (aus Smithsonit)                                                                                              | 95         |
| 10.1.7. Cadmium (aus Otavit)                                                                                               | 97         |
| 10.1.8. Sulfat (aus Anglesit)                                                                                              | 99         |
| 10.1.9. Eisen (aus Siderit)                                                                                                | 100        |
| <b>11. Elementbelastungen und Klassifizierungen</b>                                                                        | <b>102</b> |
| <b>11.1. Schichteneinteilung nach Belastungsstärke auf der Basis von Gesamtgehalten im Gestein</b>                         | <b>105</b> |
| <b>11.2. Beurteilung der Schichten unter Beschränkung auf die Eluatwerte</b>                                               | <b>106</b> |
| <b>11.3. Bewertung</b>                                                                                                     | <b>110</b> |
| 11.3.1. Klassifizierung nach Sulfatanteil im Eluat                                                                         | 111        |
| 11.3.2. Einteilung von Gefährdungsklassen                                                                                  | 115        |
| 11.3.3. Gefährdungsklassen                                                                                                 | 118        |
| <b>12. Empfehlungen</b>                                                                                                    | <b>120</b> |
| <b>Zusammenfassung</b>                                                                                                     | <b>123</b> |
| <b>Anhang</b>                                                                                                              | <b>133</b> |
| <b>Tabellen zu Kapitel 3: Entnahmestellen der Proben / Probenlisten</b>                                                    | <b>134</b> |
| <b>Tabellen und Abbildungen zu Kapitel 7:</b>                                                                              | <b>140</b> |
| <b>Meßwerte</b>                                                                                                            | <b>140</b> |
| <b>Tabellen und Abbildungen zu Kapitel 7:</b>                                                                              | <b>184</b> |
| <b>Abbildungen</b>                                                                                                         | <b>184</b> |
| <b>Tabellen und Abbildungen zu Kapitel 8: Korrelationen</b>                                                                | <b>191</b> |
| <b>Tabellen und Abbildungen zu Kapitel 10: Modellierungen</b>                                                              | <b>195</b> |
| <b>Tabellenverzeichnis</b>                                                                                                 | <b>218</b> |

|                                     |            |
|-------------------------------------|------------|
| <b>Tabellen im Anhang</b>           | <b>220</b> |
| <b><i>Abbildungsverzeichnis</i></b> | <b>222</b> |
| <b>Abbildungen im Anhang</b>        | <b>222</b> |
| <b><i>Literaturverzeichnis:</i></b> | <b>224</b> |

## **Zusammenfassung**

Im Zuge von Abbauprojekten (Berg-, Straßen- und Wohnungsbau) in großen Mengen anfallendes Gesteinsmaterial weist ein erhebliches Nutzungspotential auf. Statt eine kostspielige und ressourcenschädigende Entsorgung der natürlichen abgebauten Materialien vorzunehmen, bemüht sich etwa das Bundesland Baden-Württemberg seit einiger Zeit um eine kontrollierte Wiederverwertung von Böden und Gesteinen. Dies bedarf jedoch Untersuchungen bezüglich der Umweltverträglichkeit dieser Materialien, was für natürlich vorkommende Gesteine bisher nicht in einem befriedigenden Umfang geschah. Ziel dieser Dissertation war daher die Bestimmung der geogenen Inhaltsstoffe von im besonders bauaktiven Großraum Stuttgart vorkommenden Gesteinen sowie die darauf aufbauende Klassifizierung zu deren Weiterverwendbarkeit, z.B. bei der Verfüllung von Rohstoffabbauen, um einen nachhaltigen Umgang mit den natürlichen Ressourcen zu gewährleisten. Das Hauptaugenmerk lag auf den Gehalten an Schwermetallen und anderen potentiell toxischen Elementen. Deren leicht verfügbare Anteile waren dabei von besonderem Interesse, da wiederverwendete Gesteine, vor allem im frisch abgebauten Zustand, im Kontakt mit Grundwasser und Niederschlag mit ihren leicht löslichen Anteilen zu einer Überschreitung von Richt- und Grenzwerten in Trinkwasser und Böden im Umfeld des Einlagerungsraumes führen können. Ein wesentlicher Aspekt der Arbeit war daher die Eluierbarkeit von Schadstoffen aus dem Gestein.

Es wurden ca. 400 Einzelproben aus 53 stratigraphisch definierten Sedimentschichten im Bereich des Großraumes Stuttgart gewonnen. Die untersuchten geologischen Schichten entstammen der Trias (z.T. Oberer Buntsandstein, Oberer Muschelkalk mo2 sowie die nahezu vollständige Keuperabfolge des Untersuchungsgebietes), dem Schwarzen und Braunen Jura und untergeordnet Teilbereichen des Weißen Jura. Die Proben wurden mittels Königswasseraufschluß (DIN 38414 S7) und Laugung mit deionisiertem Wasser (DIN 38414 S4) aufbereitet und mit verschiedenen Methoden gemessen (ICP-OES, AAS, RDA). Schwerpunkt war die Untersuchung toxischer Spurenelemente (v.a. Schwermetalle) sowie leicht löslicher grundwassergefährdender Hauptelemente. Das gewonnene Datenmaterial (ca. 20000 Analysenwerte) wurde mit Hilfe statistischer Tests aufbereitet und durch geochemische Modellierungen verifiziert.

Für eine Einschätzung der potentiellen Umweltgefährdung durch die untersuchten Gesteine mußten entsprechende Grenz- und Richtwerte herangezogen werden, die entweder eine gesetzliche Vorschrift bilden oder aber auf (inter-) national anerkannten Empfehlungen von Fachgremien beruhen (u.a. TVO, KLOKE-Liste, Z-Werte der LAGA). Bei der Zuordnung zu diesen Grenz- und Richtwerten war zwischen Gesteins- (Boden-) Materialien und deren Eluat zu unterscheiden.

Anhand von Korrelationsanalysen des Datenmaterials wurden Unterschiede bezüglich Stoffbestand und Bindungsformen der Elemente zwischen den stratigraphischen Serien oder verschiedenen Gesteinsarten ermittelt. Die Befunde dieser Korrelationen ergeben eine einfache Charakterisierung der stratigraphischen Serien hinsichtlich ihres jeweiligen hauptsächlichen Steuerungsverhaltens für Schwermetall-Bindungsformen. Dabei sind im Keuper die Schwermetalle (SM) überwiegend adsorptiv an (Fe-) Tonminerale gebunden, während die SM im Schwarzen Jura größtenteils in (Fe-) sulfidischen Mineralisationen, aber auch an Tone und organischen Kohlenstoff gebunden, vorliegen. Im Braunen Jura sind die SM sowohl tonmineralisch als auch an Fe-/Mn- Oxide/Hydroxide gebunden, die aus Fe- (Mn-) Karbonaten hervorgehen.



Um Vorhersagen zum Löslichkeitsverhalten einiger Elemente unter Abweichung der Bedingungen bei den Elutionsversuchen stellen sowie mögliche Umweltszenarien durchprüfen zu können, war es notwendig, mit verschiedenen Programmen (WATEQ4F, PHREEQE) geochemische Modellierungen vorzunehmen. Dabei wurden Equilibrierungen bestimmter Minerale mit unterschiedlichen Lösungen berechnet, um die jeweilige Sättigungsgrenze zu bestimmen und damit Prognosen für die höchstmöglichen Gehalte eines Elementes in einer definierten Lösung zu treffen. Von besonderem Interesse war das Verhalten von Al, Fe, SO<sub>4</sub>, Zn, Cd und Pb.

Aufbauend darauf wurde letztlich eine Klassifizierung der Gesteine zum Zweck ihrer Wiederverwendung und des nachhaltigen und umweltschonenden Umgangs mit diesen natürlichen Ressourcen erarbeitet. Dabei wurden die Materialien verschiedenen Belastungsklassen zugeordnet, die sich an den Maßgaben von TVO, KLOKE-Liste, LAGA u.a. orientieren.

Es wird belegt, daß für die Einteilung in Gefährdungsklassen die eluierbaren Schadstoffe der Gesteine sowie der Anteil an C-org. maßgebend sind. Als Hauptgröße der eluierbaren Anteile ist das Sulfat zu nennen, das u.a. auch auf die oxidierten Sulfidanteile eines Gesteins hinweist. Für die Bewertung und Einteilung der Gesteine ist somit die Bestimmung des Sulfatgehaltes im Eluat, des Gesamtgehaltes an organischem Kohlenstoff sowie der toxischen Elemente im Eluat (nach den Richtlinien von TVO bzw. LAGA) hinreichend und notwendig. Letztlich läßt sich jeder Gesteinsschicht eine Anzahl von Belastungspunkten zuordnen. Insgesamt konnten 5 Gefährdungsgruppen unterschieden werden, deren Belastungspotential von *keine Gefährdung* bis *sehr starke Gefährdung* im Falle der Wiederverwendung des Materiales reicht.

Im ganzen weisen 50% der Sedimente des Lias eine mäßige bis sehr starke Gefährdung auf. Diese beruht auf hohen Anteilen an oxidiertem Sulfid sowie an leicht eluierbaren toxischen Elementen, wobei es sich überwiegend um Schwermetalle handelt. Im Verbreitungsraum dieser Serie ist daher besondere Vorsicht bei der Wiederverwendung von Sedimentgesteinen geboten. 11% der Keuperschichten bewirken eine starke bis sehr starke Gefährdung, was in der Hauptsache auf die hohen Sulfatgehalte in den nicht ausgelaugten Schichten des Gipskeuper zurückzuführen ist.

Das Belastungsproblem bei der Wiederverwertung liegt in der Hauptsache bei den Schichten des Lias. Seit längerem bekannt und in dieser Untersuchung bestätigt und genauer quantifiziert ist die Belastung der Schichten des Lias ε.

Läßt man die Bereiche außer acht, in welchen die Schichten des Lias anstehen, so weisen 87% der geologischen Formationen keine bzw. nur schwache Gefährdungen auf. D.h., der ganz überwiegende Anteil von abgebauten Gesteinen kann uneingeschränkt in Regionen anderer geologischer Zusammensetzung verbracht und gelagert werden. Aufgrund des relativ großen Anteiles an den höheren Gefährdungsklassen sollten Gesteine des Schwarzen Jura grundsätzlich nur im Ausstrichbereich des Lias wiederverwendet werden.

## **Summary**

Huge amounts of rock materials, which have a considerable potential of utilization, are produced by projects in mining, road construction and house building. As one of the first german states Baden-Württemberg tries to achieve a controlled recycling of soils and rocks instead of an expensive and damaging-to-resources disposal of these mined natural materials. This terms of reference require researches concerning the environmental compatibility of the materials which have not been performed for natural rocks in a satisfactory size yet. Therefore, the scope of the investigations of this study was to determine the geogenic element components of rocks which are found in the particularly construction-active Stuttgart area and, based on this determination, draw up a classification for the rocks reuse (e.g. for the filling of raw material minings) to get a sustainable management of natural resources.

The main attention focussed on heavy metals and other potential toxic components. Their easily available shares were of special interest, as particularly in a freshly mined condition the reused rocks may release soluble elements when coming into contact especially with ground water and precipitation. As a result, exceedings of guide numbers and threshold values in drinking water and soils can occur in the sphere of the deposit area. Therefore, besides the bulk concentrations of the rock materials the water-extraction of noxious substances from the rocks was an important aspect of this treatise.

About 400 samples from 53 stratigraphically defined sedimentary layers were taken within the Stuttgart area. The examined geological layers are mainly from the triassic series, Schwarzer Jura and Brauner Jura and partially from the series of Weißer Jura. The samples were digested with aqua regia (according to DIN 38414 S7) as well as leached with distilled water (according to DIN 38414 S4) and were measured with different analytical methods (ICP-OES, AAS, RDA). The analyses focussed on toxic trace elements (especially heavy metals) and readily soluble ground water contaminating major elements. The results (about 20 000 analytical data) were processed with statistical methods and verified by geochemical calculations.

Threshold values and guide numbers which are either prescribed by law or otherwise based on (inter-) national accepted recommendations (TVO, KLOKE-List, Z-Values of LAGA etc.) were used to estimate the hazardous potential of the examined rocks. For the classification by threshold values and guide numbers the discrimination between the bulk concentrations of the rock materials and the leached proportions in the hydrous extracts was necessary.

Concerning the main elements and mineral contents and the bonding forms of (toxic) trace elements distinctions between the various stratigraphical series and different types of rocks were scrutinized by intercorrelating the analytical data. The results of the correlations indicate a clear-cut characterization of different heavy metal bonding forms in the stratigraphical series. In the Keuper series the heavy metals (HM) are predominantly bound by adsorption to (Fe-) clay minerals. In the Schwarzer Jura the proportion of the HM is generally controlled by the sulphidic mineralization (but the HM are also bound to clay minerals and organic carbon). Heavy metals in the Brauner Jura are bound to clay minerals as well as Fe-/Mn-oxides/hydroxides which developed from Fe- (Mn-) carbonates.

Based on the extraction experiments scenarios for the solubility behaviour of some elements were simulated for different environmental conditions. The calculations were mainly performed with the thermodynamic modelling

program PHREEQE (in some cases WATEQ4F was used for a cross-check). The calculations focus on equilibrations of specific minerals with varying hydrous solutions with the scope to assess the highest possible concentration of an element in a defined solution. The behaviour of Al, Fe, SO<sub>4</sub>, Zn, Cd and Pb was of special interest.

Based on all studies carried out a classification of the rocks was developed under the aspect of the sustainable environmental management. On this classification the rock materials were assigned to different contamination classes in accordance with TVO, KLOKE-List, LAGA etc.

It is proved that the water extractable pollutants of the rocks as well as the concentration of organic carbon are decisive for a classification in pollution hazard groups. In strata without primary proportions of gypsum the sulphate contents are due to the oxidation of sulphides of partially toxic elements. In these strata sulphate is the main extractable component. Therefore, the determination of the concentration of sulphate and toxic elements in the hydrous extract (according to TVO and LAGA) and the total organic carbon of the rocks are sufficient and necessary for the assessment of the pollution hazard and the classification of the rocks. Finally a number of contamination criteria can be assigned to every stratum.

50% of the liassic sedimentary layers fall into classes between a *moderate hazard* and *very strong hazard*. This is due to their amounts of oxidized sulphide and readily soluble toxic elements (predominantly heavy metals). In the area of outcropping liassic sediments special care in the reuse of rocks is required. 11% of the Keuper layers show a *strong to very strong hazard* which is mainly based on high concentrations of gypsum and anhydrite in the unleached layers of the Gipskeuper.

In general, the pollution problem due to recycling rock materials is mainly restricted on liassic layers. As one of the strata with the highest concentrations of sulphides and organic carbon the contamination potential of the Lias e layers was quantified more exactly in this study.

Disregarding the ambit of the liassic layers 87% of the geological formations can be classified as *non-hazardous* or *low hazardous*. Therefore, the predominant part of the mined rocks can be handled without environmental risks and redeposited without regard of a different geological composition of the area. On account of their relatively great share of the more hazard classes rocks of Schwarzer Jura should be reused only in the original liassic environment.

## Einleitung

Im Jahr 1996 betrug die bergbauliche Rohförderung des Landes Baden-Württemberg bei der Mineralgewinnung 9,2 Mio. Tonnen, davon 8,6 Mio. Tonnen verwertbare Förderung. Auf die einzelnen Abbaugüter entfielen an verwertbarer Förderung:

|                                                    |             |
|----------------------------------------------------|-------------|
| Anhydrit                                           | 207.810 t   |
| Gips                                               | 260.525 t   |
| Kalkstein/Traß                                     | 496.235 t   |
| Quarzsand                                          | 1.571.600 t |
| Ton                                                | 2.252.128 t |
| Steinsalz und Sole                                 | 3.382.755 t |
| Ölschiefer                                         | 293.758 t   |
| Flußspat                                           | 32.448 t    |
| Schwerspat                                         | 64.661 t    |
| Erdgas/-öl in 1000m <sup>3</sup> (V <sub>n</sub> ) | 20.337      |
| Erdöl und Kondensat                                | 8.837 t     |

Insgesamt wurden 1996 in baden-württembergischen Bergbauen rund 3,7 Mio. Tonnen Abfallmaterialien entsorgt. Im einzelnen sind dies:

|                              |             |
|------------------------------|-------------|
| <u>Auffüllung</u> (Tagebau)  | 2.254.415 t |
| davon: bergbaueigen (Abraum) | 986.341 t   |
| bergbaufremde Materialien    | 1.268.074 t |
| <u>Versatz</u> (unter Tage)  | 1.166.578 t |
| davon: bergbaueigen (Berge)  | 1.015.471 t |
| bergbaufremd (Reststoffe)    | 151.107 t   |
| <u>Deponie</u>               | 257.840 t   |
| davon: unter Tage            | 76.780 t    |
| über Tage                    | 181.060 t   |

Die Anzahl der Bergbaubetriebe im Bundesland Baden-Württemberg belief sich 1996 auf 11 Bergwerke (unter Tage), 134 Tagebaue und 91 Bohrbetriebe. Bei den Althohlräumen mit einem Volumen >50m<sup>3</sup> sind ca. 3000 Objekte zu verzeichnen, davon ca. 1200 Bohrungen. Bei Tunnelbaumaßnahmen entstanden 21 Hohlraumbauwerke. Das größte Tunnelbauvorhaben im Land ist die Auffahrung des Engalbergbasistunnels der A81 bei Leonberg, mit 2 parallel verlaufenden Tunnelröhren von 2500m Länge und Ausbruchquerschnitten zwischen 210m<sup>2</sup> und 270m<sup>2</sup>

[Quelle aller Zahlen: Landesbergamt Baden-Württemberg, Freiburg 1997].

Nimmt man die Tätigkeiten für Straßen- und Wohnungsbau hinzu, so ergeben sich extrem große Mengen an abgebauten Gesteinen und Böden, die ein erhebliches Nutzungspotential aufweisen. Statt einer kostspieligen und ressourcenschädigenden Entsorgung der natürlichen abgebauten Materialien, bemüht sich das Bundesland Baden-Württemberg daher seit einiger Zeit um eine kontrollierte Wiederverwertung von Böden und Gesteinen [Im Auftrag des Umweltministeriums Baden-Württemberg: ZWÖLFER et al. 1991, HAGELAUER & WOLFF 1993, KOHL et al. 1994].

Für eine Wiederverwendung dieser Materialien sind jedoch Untersuchungen bezüglich ihrer Umweltverträglichkeit nötig. Dies ist für natürlich vorkommende Gesteine bisher noch nicht in einem befriedigenden Umfang geschehen. Dabei ist die Nachhaltigkeit der Auswirkungen, also eine mögliche Langzeitbeeinflussung der potentiellen Nutzungsumgebung, von besonderer Relevanz.

Ziel der im Rahmen dieser Dissertation vorgenommenen Untersuchungen war daher die Bestimmung der geogenen Inhaltsstoffe von im besonders bauaktiven Großraum Stuttgart vorkommenden Gesteinen sowie die darauf aufbauende Klassifizierung zu deren Weiterverwendbarkeit, v.a. bei der Verfüllung von Rohstoffabbauen (z.B. Kiesabbaustätten im Oberland). Das Hauptaugenmerk lag auf den Gehalten an Schwermetallen und anderen potentiell toxischen Elementen. Deren leicht verfügbare Anteile waren dabei von besonderem Interesse, da wiederverwendete Gesteine, vor allem im frisch abgebauten Zustand, im Kontakt mit Grundwasser und Nieder-

schlag mit ihren leicht löslichen Anteilen zu einer Überschreitung von Richt- und Grenzwerten in Trinkwasser und Böden im Umfeld des Einlagerungsraumes führen können.

Ein wesentlicher Aspekt des Vorhabens war daher die Eluierbarkeit von Schadstoffen aus dem Gestein. Bei der anthropogenen Nutzung werden v.a. im Ballungsraum Stuttgart große Mengen der Gesteine aus ihrem ursprünglichen geogenen Verband bewegt und somit aus ihrem natürlichen Gleichgewicht gebracht. Dies hat die potentielle Freisetzung von Schwermetallen, Sulfaten und anderen Schadstoffen zur Folge.

Im einzelnen umfaßten die Untersuchungen Literaturrecherchen, Feststellungen zur geologischen Situation im Großraum Stuttgart, eine Auswahl der Probennahmeorte, Probennahmen sowie Aufbereitung und Analyse der gewonnenen Proben im Labor. Danach erfolgte eine Auswertung des resultierenden Datenmaterials, das mit Hilfe von statistischen Tests aufbereitet und durch geochemische Modellierungen verifiziert wurde. Die zu untersuchenden geologischen Schichtglieder entstammen der Trias (z.T. Oberer Buntsandstein, Oberer Muschelkalk mo2 sowie die nahezu vollständige Keuperabfolge), dem Schwarzen und Braunen Jura und untergeordnet Teilbereichen des Weißen Jura.

Als Voruntersuchung wurden im Sinne einer Durchführbarkeitsstudie die Schichten des Braunen Jura beprobt und auf ihre Gesamtgehalte an relevanten Elementen analysiert. Da das Material in frischen Bohrkernen vorlag, konnte fast die gesamte stratigraphische Abfolge des Braunen Jura im Voralbgebiet gewonnen werden.

Auf dieser Basis wurde dann ein Konzept zur Beprobung relevanter Gesteinsschichten im Raum »Mittlerer Neckar« entwickelt. Parallel hierzu wurden Literaturstudien zur gesamten Thematik vorgenommen.

Nach Durchführung der Probennahmekampagnen erfolgte die Analytik des gewonnenen Gesteinsmaterials, verbunden mit einer Vorauswertung und Bewertung der Analysenresultate. Teilweise mußten Aufbereitungs- und Analysenverfahren an die Problemstellung, insbesondere für die Messung der Eluate, neu adaptiert werden.

Die Untersuchungsergebnisse wurden mit statistischen Methoden ausgewertet. Geochemische Modellierungen sollten dann die Steuerungsparameter für die potentielle Freisetzung der toxischen Inhaltsstoffe der Gesteine aufzeigen, um so zu einer Einschätzung der Auswirkungen auf verschiedene Einlagerungsmilieus gelangen zu können. Darauf aufbauend wurden Konsequenzen und Empfehlungen für die Wiederverwertung von abgebauten Gesteinen des Großraumes Stuttgart abgeleitet.

Die Aktualität der Problemstellung wird z.B. in dem Bericht der Enquete-Kommission des Deutschen Bundestages zum Schutz des Menschen und der Umwelt deutlich, der als verbindliches Umwelthandlungsziel den Erhalt des Naturkapitals und die Verminderung von entsprechenden Belastungen sieht [Mitteilungen: Enquete-Kommission „Schutz des Menschen und der Umwelt“ – Zwischenbericht 1997]. Hier ist u.a. der Begriff vom „nachhaltigen Umgang von Stoff- und Materialströmen“ zu finden, der im Zusammenhang mit dem Bodenschutz diskutiert wird. Die Kommission hat dabei den Schutz der Böden in den Vordergrund gestellt. Eine Zielvorstellung für den Bereich „Siedlungs- und Verkehrsfläche“ ist die Reduzierung des zusätzlichen Flächenverbrauchs auf 10% des heutigen Niveaus bis zum Jahr 2010.

Ähnliche Maßgaben werden auch von der Volkswagen-Stiftung in ihrem Schwerpunktthema „Umwelt als knappes Gut“ propagiert, in dem Steuerungsverfahren und Anreize zur Schadstoff- und Abfallverringerung entwickelt werden sollen, insbeson-

dere auch unter dem Aspekt der Nachhaltigkeit [Volkswagen-Stiftung – Bericht 1996].

Diese Handlungsziele und Maßgaben betreffen jedoch nicht nur Böden, sondern mindestens ebenso die natürlichen Gesteine, die als „Bodenlieferanten“ sowohl im anstehenden als auch im abgebauten Zu-

stand wichtige Funktionen erfüllen bzw. erfüllen können. Allerdings macht erst eine genaue Kenntnis der Inhaltsstoffe des Gesteins und deren lösliche Anteile eine umweltschonende Wiederverwendung dieses Gutes möglich. Diesem Zweck soll u.a. diese Arbeit dienen.

# **1. Problemstellung und Durchführung**

## **1.1. Problemstellung**

Im Zuge von Bauprojekten und Tagebauen fallen im Großraum Stuttgart jährlich erhebliche Mengen an Gesteinsmaterial an, deren Entsorgung einen hohen Kostenfaktor darstellt und erhebliche organisatorische Probleme mit sich bringt. Im Vorfeld einer entsprechenden Projektplanung bedarf es daher neben der vordergründig rein kommerziell orientierten Entsorgungslogistik einer Klärung der Umweltverträglichkeit der anfallenden Materialien, um diese möglichst einer umweltschonenden Wiederverwertung zugänglich zu machen.

In den einzelnen Ländern der Bundesrepublik Deutschland zeichnet sich die Auffassung ab, daß der Boden- und Gesteinsaushub nicht als Abfall sondern als wiederzuverwertender Rohstoff anzusehen ist. Die Länderarbeitsgemeinschaft Abfall (LAGA) hat dieses Problem aufgegriffen und Richtlinien für die Wiederverwendung dieser Materialien erarbeitet [LAGA 1994].

Das Hauptproblem bei der Wiederverwertung von Gesteinen liegt in deren potentiell toxischen Inhaltsstoffen. Von Interesse ist dabei nicht nur der Gesamtgehalt an Schadstoffen im Gestein, sondern auch und zuallererst das Lösungsverhalten dieser Elemente. Natürliche Gesteinsschichten können über ein weites Spektrum umweltgefährdender, respektive toxischer Inhaltsstoffe verfügen, wie z.B. Schwermetalle und Sulfat. So zeigte sich bei den vorliegenden Untersuchungen an Gesteinen mit hohen Schadstoffkonzentrationen, daß z.B. Tone und Schwarzschiefer des Unteren Jura Süddeutschlands infolge der milieuspezifischen natürlichen Sulfidbildung erhöhte Gehalte löslicher Schwermetalle aufweisen. Die

Schichten des Unteren Keuper enthalten dagegen z.T. hohe Gipsanteile, aus denen Sulfat durch Einwirkung von Oberflächenwasser bis zur Sättigungskonzentration gelöst werden kann. Werden diese Gesteine als Abbaumaterial in ortsfremde Umgebungen eingelagert, können die problematischen, umweltbelastenden Inhaltsstoffe freigesetzt und in das Grundwasser oder den umgebenden Boden verlagert werden. Dies kann sowohl kurz- als auch langfristig zu einer drastischen Verringerung der Grundwasserqualität in dem betroffenen Gebiet führen.

Um zu prüfen, ob und welches Gestein aufgrund seiner Inhaltsstoffe und deren Löslichkeitsverhalten für eine Wiederverwertung ausgeschlossen bzw. eingeschränkt verwendet werden sollte, war es das Ziel dieser Arbeit, ausgewählte Gesteinsschichten auf ihre Schadstoffe zu untersuchen und deren löslichen Anteil zu bestimmen. Für die vorliegende Arbeit wurden Gesteine aus den geologischen Formationen des Großraumes Stuttgart ausgewählt. Dieser Ansatzpunkt war insofern von besonderem Interesse, als das Bundesland Baden-Württemberg die bei den umfangreichen Bau- und Abbautätigkeiten dieses Gebietes anfallenden Gesteine zur Wiederverwertung vorgesehen hat [Umweltministerium Baden-Württemberg 1993]. Darüber hinaus zeichnet sich gerade dieses Gebiet durch eine hohe Variabilität an geologischen Schichten aus. Hinzu kam weiterhin, daß das Umweltamt Stuttgart eine Reihe frisch erbohrter Gesteinsproben zur Verfügung stellen konnte.

Die Bewertung der Analysenergebnisse der untersuchten Gesteine dient dabei der Empfehlung von Konsequenzen und Machbarkeiten für die Wiederverwertung des Materials. Dies ist um so mehr von Bedeutung, da die Länderarbeitsgemeinschaft Abfall

(LAGA) der Bundesrepublik Deutschland bereits Richtwerte für eine Reihe von Schadstoffen in Böden und Gesteinen vorgelegt hat, die eine Einteilung der Materialien in verschiedene Verwertungsklassen vorsieht und im Falle der Wiederverwendung als Baustoff für Erdbauwerke oder bei der Verfüllung von Rohstoffabbauern bundesweit Gültigkeit besitzt [LAGA 1994].

Wie die vorliegende Untersuchung zeigt, sind diese Richtwerte allerdings dem vorgestellten Problem nicht immer angemessen, da sie sich offensichtlich an den bereits gut erforschten, anthropogen beeinflussten Böden orientieren und nicht an den natürlichen Gegebenheiten und Zusammensetzungen des ungestörten Gesteinsverbandes. Sie sind für die vorliegende Problemstellung somit teilweise wenig praxisgerecht. Um potentielle negative Einflüsse eines wiederzuverwertenden Gesteinsmaterials von vornherein zu erkennen und deren Folgen zu vermeiden, ist es notwendig, die betroffenen Gesteinsschichten im möglichst ursprünglichen, naturbelassenen Zustand auf ihren Schadstoffanteil und ihre Schadstoff-Freisetzung anzusprechen, um somit eine Empfehlung hinsichtlich ihrer Wiederverwendung treffen zu können. Die Untersuchungen mußten daher an frischem, aus dem ursprünglichen Verband entnommenen Material durchgeführt werden.

Schwerpunkt dieser Arbeit sollte die Untersuchung toxischer Spurenelemente, v.a. Schwermetalle, sowie leicht löslicher grundwassergefährdender Hauptelemente darstellen. Darüber hinaus mußten zur Charakterisierung auch die Hauptkationen und -anionen erfaßt werden (Sulfat, Eisen, Aluminium).

In den Empfehlungen der Länderarbeitsgemeinschaft Wasser (LAWA) wird zur Abschätzung der Grundwassergefährdung primär der unter realen Bedingungen eluierbare bzw. der mobile und mobilisierbare Stoffanteil als maßgebend angesehen [LAWA 1994]. In einem Resumée der Dechema-

Arbeitsgruppe „Bewertung von Gefährdungspotentialen im Bodenschutz“ wird zum Schutz von Grund- und Oberflächenwasser ebenfalls die Prüfung der Eluierbarkeit von Schadstoffen aus Bodenmaterial angemahnt [DECHEMA 1989].

Die zu diesem Zweck für lösliche Anionen und Schwermetalle anzuwendenden Verfahren wären z.B. das Deutsche Einheitsverfahren S4 [DEV 1984, DIN 38414 Teil 4], die Extraktion mit Ammoniumnitratlösung [PRÜESS et al. (1991); DINV 19730 (1993)], das Schweizer Verfahren [TVA 1990] oder das pH-Stat-Verfahren [OBERMANN & CREMER 1992] (zu den Verfahren siehe auch TRENCK 1997).

In der vorliegenden Arbeit sollten die Löslichkeiten von Schadstoffen aus dem Gesteinsmaterial mittels Eluierungen mit deionisiertem Wasser nach DIN 38414 S4 überprüft werden [SOMMERFELD & SCHWEDT 1996], die gleichsam eine Simulation der Einwirkung von Oberflächenwasser auf das Gestein darstellen. Zu diesem Zweck sind auch geochemische Modellierungen von Bedeutung, deren Anwendung Prognosen und Aussagen über das Löslichkeitsverhalten von Inhaltsstoffen zulassen.

## **1.2 Durchführung**

### **1.2.1. Voruntersuchungen**

Im Rahmen des Ausbaus der Bundesbahntrasse Stuttgart - Ulm - München wurden im Bereich des nördlichen Albrandes die Bohrungen Grubingen 401, 403 und 404 niedergebracht. Das Material dieser Bohrungen schien geeignet, die Durchführbarkeit der Untersuchungen zu Beginn der Arbeit zu prüfen.



Die Bohrungen der Deutschen Bundesbahn schließen den Braunen Jura weitgehend auf. Die Flächen über dem Braunen Jura bilden zwar einen wesentlichen Anteil von Baden-Württemberg, wobei jedoch für den Braunen Jura selbst kaum zugängliche Aufschlüsse anstehen. Somit stellte der Zugriff auf das Material der Bundesbahnbohrungen einen hervorragenden Ansatz dar, den geogenen Spurenelementanteil des Braunen Jura zu erfassen. Zusätzlich durchteuften die Bohrungen 403 und 404 noch Unteren Weißjura, der als Oxford-Mergel ausgebildet ist und ebenfalls beprobt wurde.

Die Probennahme erfolgte in der Hauptsache in den dunklen Sedimentschichten, da diese auf ein reduzierendes Stillwassermilieu mit hohen Tonanteilen schließen lassen. Sedimente dieser Art weisen oft hohe Schwermetallanteile auf. Bei der vorzugsweisen Beprobung dunkler, toniger Sedimente wurden scheinbar zu hohe Durchschnittsgehalte gemessen. Jedoch ist davon auszugehen, daß bei der Verwitterung die kalkigen Partien gelöst werden und sich die Residualtone mit ihrem charakteristischen Schwermetallanteil anreichern. Somit werden die Durchschnittsgehalte von Schwermetallen ebenfalls zu höheren Werten verschoben, so daß die Art der Beprobung diesem natürlichen Anreicherungsprozeß Rechnung trägt.

Das frische Material wurde vor Ort aus den Bohrkernen entnommen, im Labor nach DIN 38414 Teil 7 aufbereitet und mittels ICP-OES auf seine Gesamtgehalte an Haupt- und Spurenelementen untersucht (Al, Ca, Fe, K, Mg, Mn, Na, SO<sub>4</sub>, As, B, Ba, Cd, Co, Cr, Cu, Hg, Ni, Pb, Se, V, Zn). Die Ergebnisse dieser Analysen werden im Zusammenhang mit den übrigen Meßwerten dargestellt.

### 1.2.2. Planung und Recherchen

Den zweiten Abschnitt der vorliegenden Untersuchung bildete die Entwicklung eines Konzeptes zur Beprobung von geologischen Formationen in ausgewählten Gebieten Baden-Württembergs, insbesondere für den Raum „Mittlerer Neckar“ (Tübingen, Geislingen, Heilbronn), unter besonderer Berücksichtigung des Großraumes Stuttgart. Außerdem wurde eine Literaturstudie zum Thema durchgeführt.

Dabei zeigte sich, daß die bisher veröffentlichten Arbeiten zu Schwermetallgehalten in den Ausgangsgesteinen Baden-Württembergs recht undifferenziert bezüglich der geologischen Formationen und Besonderheiten bleiben. Dies beruht auf der Tatsache, daß hauptsächlich Bodenproben im Hinblick auf das Ausgangsgestein untersucht wurden, selten jedoch das Gestein an sich (vgl. Kapitel 9). Schwermetallgehalte in Gesteinen lassen sich jedoch nicht ohne weiteres aus aktuellen SM-Gehalten in Böden ableiten. Zwar ist ein Großteil der in silikatischer Bindung vorliegenden Gehalte stabil und somit vom Gestein auf die Böden übertragen als ererbte rekonstruierbar. Ein nicht unerheblicher Teil der SM wird jedoch durch bodenbildende Prozesse im Lauf der Zeit ab- oder angereichert. Tendenziell weisen oxidreiche Böden und karbonathaltige Horizonte Anreicherungen, saure sowie karbonatfreie Böden dagegen Abreicherungen von SM auf [STAHN 1990].

Somit lag zu den durchzuführenden Untersuchungen nur eine geringe Datenbasis vor. Aus diesem Grund mußte zur Konzeption der Durchführung der vorgesehenen Untersuchung zunächst die geologische Situation Baden-Württembergs unter dem Aspekt der SM-Gehalte in den Ausgangsgesteinen ausgewertet werden. Danach konnte die Bewertung und Auswahl der zur Beprobung vorgesehenen Schichtglieder und der zugehörigen Lokationen in den ausgewählten Gebieten vorgenommen werden.

### 1.2.3. Probennahme, Analytik

Basierend auf den Resultaten der Voruntersuchungen und darauf aufbauenden genaueren Planungen wurden Probennahmekampagnen in ausgewählten Gebieten Baden-Württembergs vorgenommen. Während dieser Kampagnen mußten Gesteinsproben von möglichst allen relevanten geologischen Formationen entnommen werden. Um dabei einen zeitlich akzeptablen Rahmen einhalten zu können, beschränkte sich die Probennahme auf den Großraum Stuttgart. Zusätzlich wurde Bohrkernmaterial aus dem Untersuchungsgebiet vom Umweltamt Stuttgart zur Verfügung gestellt.

Um einen Gesamteindruck der Elementverteilung in den einzelnen Gesteinshorizonten zu gewinnen und Aussagen über die Langzeitbeeinflussung des Umfeldes bei einer möglichen Einlagerung treffen zu können, wurden die Proben zunächst einem Königswasseraufschluß nach DIN 38414 Teil 7 unterzogen und anschließend mit ICP-OES auf folgende Haupt-, Neben- und Spurenelemente untersucht:

1.: Haupt- und Nebenelemente: Aluminium, Calcium, Eisen, Kalium, Magnesium, Mangan, Natrium, Schwefel (als Sulfat ( $\text{SO}_4$ ) berechnet).

2.: Spurenelemente: Arsen, Barium, Blei, Bor, Cadmium, Chrom, Cobalt, Kupfer, Nickel, Quecksilber, Selen, Vanadium, Zink.

Zur Einschätzung der Grundwasserrelevanz und der kurzfristig durch Wasser freisetzbaren Anteile der verschiedenen geologischen Formationen folgte dann eine Wassereeluierung nach DIN 38414 Teil 4. An den gewonnenen Eluat wurden wiederum die oben aufgeführten Hauptelemente und ausgewählte Spurenelemente mittels ICP-OES gemessen.

Zur Messung von Pb und Cd in den Eluat ist das Meßverfahren der ICP-OES nicht hinreichend genau, zumal die leichte Sulfatlöslichkeit z.T. sehr hohe Matrixbelastungen verursacht. Daher wurden Pb und Cd mittels Säulenchromatographie isoliert und

anschließend mit Graphitrohr-AAS untersucht. Die Gesamtgehalte von Arsen, Quecksilber und Selen wurden an der ICP mit Hydridzusatz gemessen. Durch die verschiedenen Optimierungsverfahren konnten insgesamt äußerst niedrige instrumentelle Nachweisgrenzen erreicht werden, so daß selbst sehr geringe Elementkonzentrationen in den Wassereeluaten meßbar waren.

Zusätzlich wurde jedes Wassereluat auf seinen pH-Wert und die Leitfähigkeit gemessen. Hinzu kamen Sondenmessungen von Ammonium- und Chloridgehalten. Schließlich wurde jede Probe auf ihren Gesamtkohlenstoffgehalt und ausgewählte Proben auf organischen Kohlenstoff untersucht.

Zur Identifizierung des Mineralbestandes erfolgten mittels RDA (Röntgendiffraktometeranalyse) Röntgenaufnahmen an ausgewählten Gesteinsproben.

Sämtliche Analysen wurden am Geochemischen Labor des Institutes für Geowissenschaften der TU Braunschweig durchgeführt.

### 1.2.4. Datenbewertung, Auswertung, Folgerungen

Im vierten Arbeitsabschnitt wurden Nachmessungen problematischer Analysenergebnisse vorgenommen und einige Aufbereitungsverfahren optimiert. Da die Meßergebnisse aus der Wassereeluierung für die Elemente Aluminium, Eisen und Mangan auffällig hoch ausfielen, wurde dieser Analysenschritt genauer überprüft, wobei sich zeigt, daß die Gehalte im Eluat eine Funktion der Filterporenweite sind. Die bei Filtration mit  $0,1\mu\text{m}$  gewonnenen „echten Lösungen“ weisen wesentlich geringere Gehalte an Al, Mn und Fe auf, als die bei Standardfiltration mit  $0,45\mu\text{m}$  erzielten Lösungen (vgl. Abschnitt 4.3.1.).

Um die mineralischen Bindungsformen der Schwermetalle identifizieren zu können, wurden Kor-

relationsanalysen für sämtliche Elementmeßwerte vorgenommen. Die Kenntnis der Bindungsformen läßt Rückschlüsse bezüglich der Eluierbarkeit der Elemente und somit auf die potentielle Gefährdung durch die entsprechenden Gesteine bei einer möglichen Wiederverwertung zu. Eine Bestimmung der Bindungsformen mittels aufwendiger sequentieller Elutionen [z.B. nach TESSIER et al. (1979), FÖRSTNER & CALMANO (1982), JACOB et al. (1990)] kamen aufgrund der großen Probenanzahl nicht in Betracht.

Neben der Verifizierung der analytischen und experimentellen Arbeiten gehört die geochemische Modellierung zur Methodik der Prognose beim Umgang und der Wiederverwertung von Gesteinen. Mit Hilfe dieses Ansatzes werden die Auswirkungen einer Vielzahl von Parametern (z.B. pH, Eh, Leitfähigkeit, Salzlasten etc.) auf das Gestein simuliert. Im Rahmen der Untersuchungen wurde daher die Modellierung

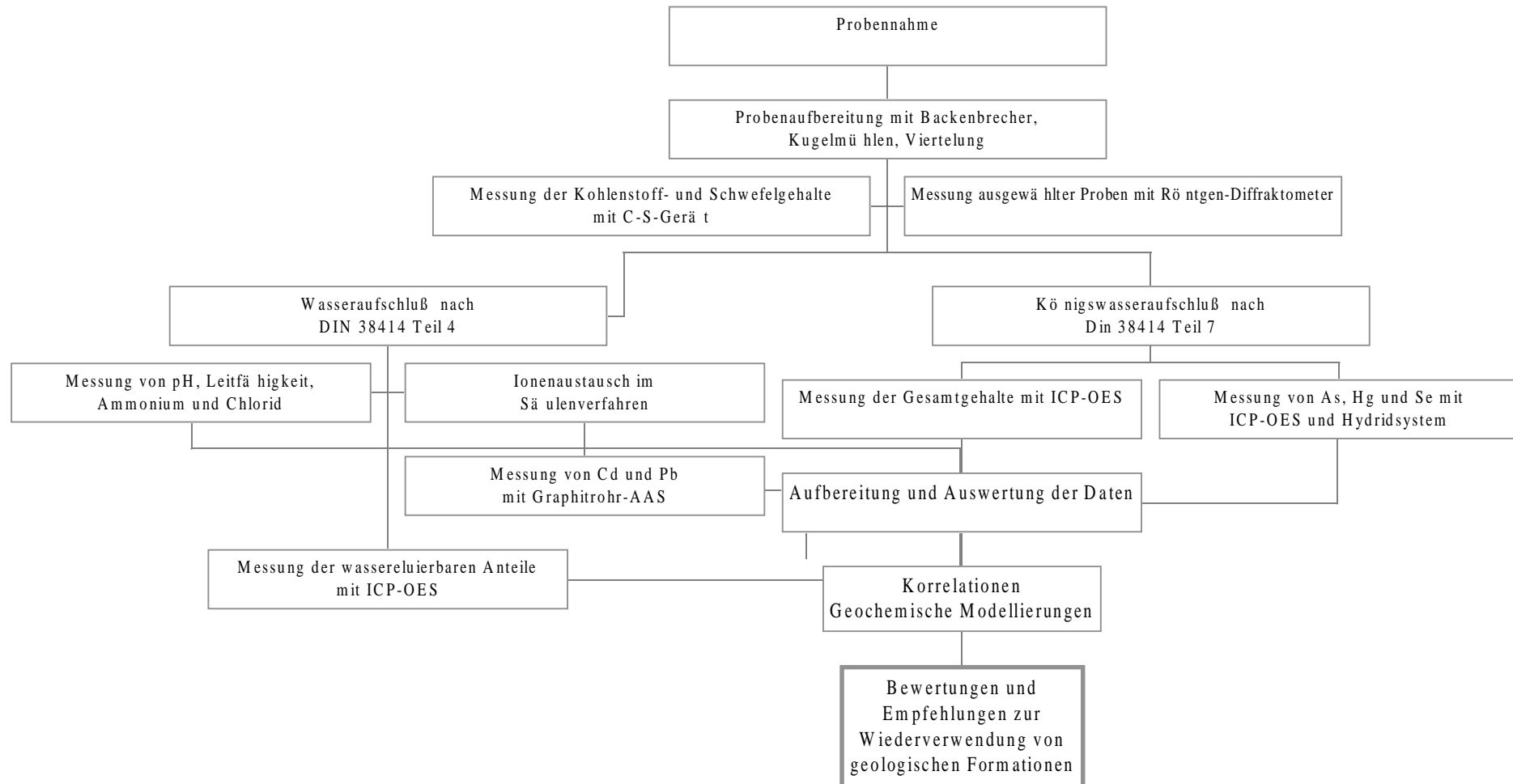
als entsprechendes Werkzeug angewendet und findet auch in der abschließenden Bewertung Berücksichtigung. Die zur Equilibrierungsberechnung ausgewählten Minerale orientierten sich an den aus den Korrelationen ermittelten Bindungsformen wichtiger toxischer Elemente.

Schließlich wurden sämtliche Untersuchungsergebnisse zusammengefaßt und die daraus folgenden Konsequenzen und Empfehlungen für die Wiederverwertung von abgebauten oder abzubauenen Gesteinen im Großraum Stuttgart abgeleitet.

### 1.2.5. Ablaufplan

Eine schematische Übersicht über die einzelnen Arbeitsabläufe zeigt *Abb. 1.2.5.1* (siehe nächste Seite).

Abb. 1.2.5.1: Ablaufplan für die geochemische Untersuchung von relevanten geologischen Schichten in ausgewählten Gebieten Baden-Württembergs



## 2. Geologische Situation

Der überwiegende Anteil des geologischen Untergrundes von Baden-Württemberg besteht aus Sedimentgesteinen, insbesondere in den für diese Untersuchung relevanten Gebieten. Unter bestimmten Bedingungen sind Sedimente in der Lage, Schwermetalle natürlich anzureichern, wobei die Gehalte deutlich oberhalb der vom Gesetzgeber vorgesehenen Richtwerte bezüglich einer weiteren Verwendung liegen können. Da sich Schwermetalle nur unter bestimmten Bedingungen im Sediment anreichern, war es weder zweckmäßig noch zeitlich durchführbar, die gesamte stratigraphische Abfolge in gleicher Intensität zu untersuchen. Vielmehr mußte hinsichtlich einer zu prognostizierenden geogenen Schwermetallakkumulation eine Vorauswahl unter den einzelnen Gesteinstypen und ihren zugehörigen Formationen getroffen werden.

Die Hauptkriterien für die Anreicherung von Schwermetallen in Sedimenten sind

- der Tonanteil des Sedimentes (Ton in mineralogischer Definition),
- Gehalte an Fe-Mn-Al-Oxyden/Hydroxyden,
- pH-Wert, Eh-Wert, Kalkanteil,
- Huminstoffe bzw. organischer Anteil im Sediment,
- die Eh-pH-Bedingungen zum Zeitpunkt der Ablagerung sowie
- Diagenese und spät-diagenetische Vererzungen.

Der Auflistung entsprechend sind allgemein in Tonsteinen bzw. Gesteinen mit hohen Tongehalten (auch dunkle Mergel etc.) und/oder organischen Anteilen (Schwarzschiefer) die besten Voraussetzungen für eine Anreicherung von Schwermetallen gegeben. Daher lag das Hauptaugenmerk bei der Beprobung auf diesen Gesteinen. Hinzu kommen Sonderfazies-

bereiche mit Vererzungen und eisenoolithische Schichtglieder.

Die in den Tabellen 2.1.1. und 2.1.2. aufgelisteten Gesteine der einzelnen Schichtstufen wurden nach den oben erwähnten Kriterien gewertet. Somit enthalten diese Tabellen eine möglichst vollständige stratigraphische Abfolge aller Sedimente, welche unter dem Aspekt der Schwermetallbelastung von erhöhter Relevanz sein können.

### 2.1. Stratigraphie

Die folgenden Tabellen (2.1.1., 2.1.2.) listen die zur Beprobung relevanten Schichtglieder der stratigraphischen Stufenabfolge von der Trias bis zum Jura im Untersuchungsraum auf. Dabei führt die Reihenfolge vom stratigraphisch Älteren zum stratigraphisch Jüngeren. Die Stratigraphie und Gesteinsbeschreibung erfolgte gemäß GEYER & GWINNER (1991). In der nachfolgenden Auflistung sind unter der Rubrik „Gestein“ insbesondere diejenigen Schichtglieder einer Stufe näher beschrieben, die für eine Anreicherung mit potentiell toxischen Inhaltsstoffen sprechen. Der Weiße Jura war nur zum Teil für die Probennahme relevant (Weißer Jura  $\alpha$  und  $\gamma$ ). Wegen seiner weiten regionalen Verbreitung (Schwäbische Alb) ist er jedoch der Vollständigkeit halber mit in die stratigraphischen Tabellen aufgenommen worden.

In der Tabelle finden sich unter der Rubrik „Besonderheiten“ Hinweise, die auf eine Anreicherung von Schwermetallen deuten könnten.

Die Rubrik „Ort“ gibt überwiegend allgemeine, meist großräumige Anhaltspunkte über das Vorkommen der Gesteinsschichten. Für die Entwicklung der Probennahmestrategie wurden zur Festlegung der vorgesehenen Probennahmepunkte die entsprechenden geologischen Karten und Erläuterungen benutzt. Allerdings wurde vor Ort oftmals eine von den Beschreibungen z.T. erheblich differierende Situation angetroffen. Um die Nachvollziehbarkeit der Probenahme zu gewährleisten, werden daher in Abschnitt 3.2. genauere Angaben zu den tatsächlichen Probenahmelokalitäten gegeben.

**Legende:**

|           |                                         |
|-----------|-----------------------------------------|
| <b>so</b> | = Oberer Buntsandstein                  |
| <b>mu</b> | = Unterer Muschelkalk                   |
| <b>mm</b> | = Mittlerer Muschelkalk                 |
| <b>mo</b> | = Oberer Muschelkalk                    |
| <b>ku</b> | = Unterer Keuper                        |
| <b>km</b> | = Mittlerer Keuper                      |
| <b>ko</b> | = Oberer Keuper                         |
| <b>sj</b> | = Schwarzer Jura (Unterer Jura, Lias)   |
| <b>bj</b> | = Brauner Jura (Mittlerer Jura, Dogger) |
| <b>wj</b> | = Weißer Jura (Oberer Jura, Malm)       |

Tab. 2.1.1.: Stratigraphie der Trias im Untersuchungsgebiet

| Stufe                                                                                                                                                                                                                                     | Gestein                                                                                                                                                                                                                                                                                                                                    | Besonderheiten                                                                                                                                                                                                                                                                                                                                                                                                                                                                                                                        | Ort                                                                                                                                                                                                                                                                                                                                                                                                                                                                                                                                                                                                              |
|-------------------------------------------------------------------------------------------------------------------------------------------------------------------------------------------------------------------------------------------|--------------------------------------------------------------------------------------------------------------------------------------------------------------------------------------------------------------------------------------------------------------------------------------------------------------------------------------------|---------------------------------------------------------------------------------------------------------------------------------------------------------------------------------------------------------------------------------------------------------------------------------------------------------------------------------------------------------------------------------------------------------------------------------------------------------------------------------------------------------------------------------------|------------------------------------------------------------------------------------------------------------------------------------------------------------------------------------------------------------------------------------------------------------------------------------------------------------------------------------------------------------------------------------------------------------------------------------------------------------------------------------------------------------------------------------------------------------------------------------------------------------------|
| <b>s8 (so)</b> = Röt-Tone                                                                                                                                                                                                                 | dunkelrote Tone                                                                                                                                                                                                                                                                                                                            | oberste Folge des Buntsandstein                                                                                                                                                                                                                                                                                                                                                                                                                                                                                                       | in flächenhafter Ausbreitung; w' Althengstett                                                                                                                                                                                                                                                                                                                                                                                                                                                                                                                                                                    |
| <b>mu1</b> = Wellendolomit<br>– Untere Mergel                                                                                                                                                                                             | dünnbankige graue - bräunliche Mergel                                                                                                                                                                                                                                                                                                      | unt. bis mittl. mu ; im Süden im Hgd. eine Bleiglanzbank                                                                                                                                                                                                                                                                                                                                                                                                                                                                              | unteres Neckargebiet                                                                                                                                                                                                                                                                                                                                                                                                                                                                                                                                                                                             |
| – buchi - Mergel                                                                                                                                                                                                                          | fossilreiche Mergel                                                                                                                                                                                                                                                                                                                        | Mächtigkeit 1 -5 m                                                                                                                                                                                                                                                                                                                                                                                                                                                                                                                    | in flächenhafter Ausbreitung                                                                                                                                                                                                                                                                                                                                                                                                                                                                                                                                                                                     |
| <b>mu2</b> = Wellendolomit<br>– Mittlere Mergel                                                                                                                                                                                           | Wechselfolge von Mergel und Tonen                                                                                                                                                                                                                                                                                                          | Basis: Leithorizont des Schwarzen Schiefertons mit hohem Sulfidgehalt                                                                                                                                                                                                                                                                                                                                                                                                                                                                 | Zwischen unterem Neckar und Hochrhein                                                                                                                                                                                                                                                                                                                                                                                                                                                                                                                                                                            |
| <b>mu3</b> = Orbicularis - Schichten                                                                                                                                                                                                      | feingeschichtete flaserige Wechsellagerung von Karbonaten und Tonen                                                                                                                                                                                                                                                                        | teilweise mit Gipseinlagerung, Bitumengehalt                                                                                                                                                                                                                                                                                                                                                                                                                                                                                          | unterer Neckar                                                                                                                                                                                                                                                                                                                                                                                                                                                                                                                                                                                                   |
| <b>mm</b>                                                                                                                                                                                                                                 |                                                                                                                                                                                                                                                                                                                                            |                                                                                                                                                                                                                                                                                                                                                                                                                                                                                                                                       | Mundelsheim-Felsengarten                                                                                                                                                                                                                                                                                                                                                                                                                                                                                                                                                                                         |
| – untere Abteilung                                                                                                                                                                                                                        | dolomitische Mergel                                                                                                                                                                                                                                                                                                                        | gelegentlich rötlich gefärbt                                                                                                                                                                                                                                                                                                                                                                                                                                                                                                          | selten obertäg. aufgeschlossen                                                                                                                                                                                                                                                                                                                                                                                                                                                                                                                                                                                   |
| – obere Abteilung                                                                                                                                                                                                                         | gelbl. Tone, dolomit. Mergel                                                                                                                                                                                                                                                                                                               |                                                                                                                                                                                                                                                                                                                                                                                                                                                                                                                                       | selten obertäg. aufgeschlossen                                                                                                                                                                                                                                                                                                                                                                                                                                                                                                                                                                                   |
| <b>mo1</b> = Trochitenkalk                                                                                                                                                                                                                | Blaukalk (2 Bänke)                                                                                                                                                                                                                                                                                                                         | blaugrau, z.T. hoher Tongehalt                                                                                                                                                                                                                                                                                                                                                                                                                                                                                                        | nördl. Bad.-W., oberer Neckar                                                                                                                                                                                                                                                                                                                                                                                                                                                                                                                                                                                    |
| <b>mo2</b> = oberer Hauptmuschelkalk                                                                                                                                                                                                      | Tonhorizonte $\alpha$ - $\zeta$                                                                                                                                                                                                                                                                                                            | im ob. Teil des Profils treten an ihre Stelle gelblich dolomitische Mergel                                                                                                                                                                                                                                                                                                                                                                                                                                                            | Rielingshausen                                                                                                                                                                                                                                                                                                                                                                                                                                                                                                                                                                                                   |
| <b>ku</b> = Lettenkeuper                                                                                                                                                                                                                  | dicht an der Basis : Vitriolschiefer<br><br>Blaubank<br><br>Wechselfolge von grau / grünen, gelbl. bis bräunl. verwitterten Tonen u. Tonmergeln (Estherienschiechten) und Karbonaten (Dolomitbänke)                                                                                                                                        | Pyrit / Sulfat<br><br>blaugrauer Kalk<br><br>die Tone weisen teilweise kohlige Horizonte auf                                                                                                                                                                                                                                                                                                                                                                                                                                          | Crailsheim und Schäbisch-Hall;<br>Rielingshausen<br><br>mittleres und nördliches Neckarland;<br>Rielingshausen                                                                                                                                                                                                                                                                                                                                                                                                                                                                                                   |
| <b>km1</b> = Gipskeuper (Grabfeld-Folge)<br>– Myophorien-Schichten<br>– Grundgips<br>– Steinmergel $\beta$<br><br>– Bochinger Horizont<br>– Dunkelrote Mergel<br>– Bleiglanzbank<br><br>– mittlerer Gipshorizont<br>– Estherienschiechten | kalkiger Mergel<br><br>graugrüne Tonsteine; 6 - 8 m mächtig<br><br>dunkelrote Silttonsteine; 20 - 25 m mächtig<br><br>Karbonatbank; wenige cm - 1m mächtig<br><br>siltig - tonige Schichtenfolge; 25 -30 m; Tonschichten zu-meist rot gefärbt<br><br>insgesamt tonige Gesteinsabfolge mit regelhaftem Wechsel der Gesteinsfarben im Profil | <br><br>gelegentliche Gipseinschlutungen; i.d. Mitte: Die Bochinger Bank, ein dolomit. Mergel<br><br>Im östl. Teil des Landes auch in grüner Farbe, sonst eintönige Folge; z.T. Gips-linsen<br><br>Zinkblende und kleine Bleiglanzkristalle; Leithorizont; gelegentlich Quarzsand im Lgd. und Hgd. der Schicht<br><br>mit Gipsausscheidungen und rostigen Auslaugungsrelikten von Dolomitasche und Silt<br><br>gelegentl. im unt. Teil d. Profils mit Gips-lagen; i. d. Heilbronner Gegend ist eine Malachitbank mit Baryt verbreitet | Leonberg–Eltingen<br><br>Gaildorf, Schwäb.Hall - Hesselental, Crailsheim sowie oberer Neckar (Oberndorf)<br><br>in ganz Südwestdeutschland entlang der Keuperschichtstufe; sw' Eltingen<br><br>in ganz Südwestdeutschland entlang der Keuperschichtstufe<br><br>in der Umrandung der Talbuchten im Keuperbergland: Engelhofer Platte (Typus-lokalität) zw. Bühler u. Jagst; Hohenloher Ebene; Umlaufberge im Kochertal bei Schwäbisch Hall; sw' Eltingen<br><br>Region der Engelhofer Platte im Keuperbergland; sw' Eltingen<br><br>in der Gegend um Heilbronn; zwischen Stromberg und Heuchelberg; sw' Eltingen |
| <b>km2</b> = 1. Stuttgart - Folge<br>– Schilfsandstein                                                                                                                                                                                    | zw. Sandsträngen wurden in ruhigem Wasser dunkelrotbraune, dünn-schichtige, sandig-siltige Tonsteine abgesetzt; 5 - 20 m                                                                                                                                                                                                                   | Normalfazies mit Tonen                                                                                                                                                                                                                                                                                                                                                                                                                                                                                                                | im Keuperbergland                                                                                                                                                                                                                                                                                                                                                                                                                                                                                                                                                                                                |

| Stufe                                                                                                                                                                                                             | Gestein                                                                                                                                                                                                                          | Besonderheiten                                                                                                                                                                                         | Ort                                                                                                                                               |
|-------------------------------------------------------------------------------------------------------------------------------------------------------------------------------------------------------------------|----------------------------------------------------------------------------------------------------------------------------------------------------------------------------------------------------------------------------------|--------------------------------------------------------------------------------------------------------------------------------------------------------------------------------------------------------|---------------------------------------------------------------------------------------------------------------------------------------------------|
| <b>km2</b> = 1. Stuttg. - F. (Forts.)<br>– Dunkle Mergel                                                                                                                                                          | dunkelrotbraune Silttonsteine                                                                                                                                                                                                    | Deckschicht d. Schilfsandsteins; z.T. mit Gipslagen                                                                                                                                                    | im Keuperbergland sowie bei Eberstadt und Stuttgart-SW                                                                                            |
| <b>km2</b> = 2. Ansbach - Folge<br>– Hauptsteinmergel                                                                                                                                                             | dolomitische Steinmergelbänke                                                                                                                                                                                                    |                                                                                                                                                                                                        | Keupergebiet bei Crailsheim und im Bühlertal                                                                                                      |
| <b>km3</b><br>– km3u = Rote Wand<br><br>– km3s = Waldenburg - Subfolge (untere Kieselsandsteinschichten) der Coburg Folge; Lehrbergschichten<br><br>– km3o = obere dunkle Mergel (obere Kieselsandsteinschichten) | rote Silttonsteine, gelegentlich mit grünen Lagen und Flecken<br><br>lagige Abfolge braunroter - violettbrauner oder grünlich-grauer Silttonsteine<br><br>zwischengeschaltet rote und bunte Tone sowie Steinmergelbänke (Letten) | Hoher Oxidationszustand der intensiv u. einheitl. rot gefärbten Eisenverbindungen; teilw. mit größeren Gipsvorkommen<br><br>Lettenschichten dienen als Leithorizonte, gelegentl. mit Kalkkonglomeraten | Keuperbergland; Stuttgart-SW<br><br>zwischen Stromberg und Albvorland; Nordostwürttemberg<br><br>im Keuperbergland, Stromberg, Löwensteiner Berge |
| <b>km4</b> = Stubensandsteinschichten 1 - 3 (Löwenstein - Subfolge) der Coburg Folge                                                                                                                              | zwischengeschaltet rote und bunte Tone sowie Steinmergelbänke (Letten)                                                                                                                                                           | Lettenschichten dienen als Leithorizonte, gelegentl. mit Kalkkonglomeraten                                                                                                                             | im Keuperbergland, Stromberg, Löwensteiner Berge                                                                                                  |
| <b>km5</b> = Knollenmergel                                                                                                                                                                                        | einförmige karbonatische violettrote Tone                                                                                                                                                                                        | stellenw. m. Karbonatknollen; ungeschichtet und ungeregelt, neigt daher zu Rutschungen, die dann auch den meist darüber anstehenden schw. Jura alpha betreffen                                         | im Keuperbergland, Stromberg, Löwensteiner Berge und im Albvorland                                                                                |
| <b>ko</b>                                                                                                                                                                                                         | helle, gelegentl. tonig gebundene Sandsteine, können seiltl. in sandige Tone übergehen; stellenweise folgt darüber noch ein „Grauer Oberkeuperton“; Mächtigkeit 5m                                                               | lokal kleine Flöze u. Schmitzen von schwefelkiesreicher Kohle (z.B. bei Mittelbronn)                                                                                                                   | lückenhaft, jedoch in ganz Südwestdeutschland verbreitet                                                                                          |

Tab. 2.1.2. : Stratigraphie des Jura im Untersuchungsgebiet

| Stufe                                                                    | Gestein                                                                                                                                                                                                                                                          | Besonderheiten                                                                                                                                              | Ort                                                                              |
|--------------------------------------------------------------------------|------------------------------------------------------------------------------------------------------------------------------------------------------------------------------------------------------------------------------------------------------------------|-------------------------------------------------------------------------------------------------------------------------------------------------------------|----------------------------------------------------------------------------------|
| <b>sjα1</b> = Psiloceratschichten (Psilonotentone)                       | harte, dunkelgraue Kalkbank = Psilonotenbank i.e.S.<br><br>Tone und Tonmergel mit variierendem Sandgehalt                                                                                                                                                        | dunkelgrau<br><br>Pyrit, Kohlenschmitzen, Nagelkalklagen                                                                                                    | Zw. Fildern u. Schw. Gmünd einzelne Sandsteinkörper; bei Büsnau im Büsnauer Rain |
| <b>sjα2</b> = Schlotheimienschichten (Angulatensandstein, Angulatentone) | sandige Kalkbank = Oolithenbank<br><br>dunkle, sandige, z.T. schiefrige Tone u. Tonmergel mit eingeschalteten Kalksandsteinbänken, aus denen d. Angulatensandsteine hervorgehen                                                                                  | eisenoolithisch<br><br>dunkel<br><br>graue Farbe, Gelbfärbung bei Verwitterung                                                                              | Mittelwürttemberg<br><br>Württemberg                                             |
| <b>sjα3</b> = Arietitenschichten (Gryphaeenkalke oder Arietenkalke)      | oolithische Kalkbank = Kupferkalkbank<br><br>blaugraue Kalkbänke i. Wechsel mit schiefrigen Tonen und Mergeln, die im ob. sj alpha3 dunkle, bituminöse Schiefer-tone bilden (Ölschiefer)<br><br>kalkiger Grobsandstein = Gryphaeensandstein am Top des sj alpha3 | stellenweise Eisenooideanreicherung<br><br>blaugrau<br><br>dunkel und bituminös<br><br>mit pyritischem Horizont, der zu röt., sandigen Eisenmulm verwittert | zwischen Balingen und Stuttgart<br><br>östlich Ellwangen                         |



| Stufe                                                                                                                                                                                                                                                         | Gestein                                                                                                                                                                                                                                                                                                                                                                                                                                                                                                                                                                                   | Besonderheiten                                                                                                                                                                                                                                                                      | Ort                                                                                                                                                         |
|---------------------------------------------------------------------------------------------------------------------------------------------------------------------------------------------------------------------------------------------------------------|-------------------------------------------------------------------------------------------------------------------------------------------------------------------------------------------------------------------------------------------------------------------------------------------------------------------------------------------------------------------------------------------------------------------------------------------------------------------------------------------------------------------------------------------------------------------------------------------|-------------------------------------------------------------------------------------------------------------------------------------------------------------------------------------------------------------------------------------------------------------------------------------|-------------------------------------------------------------------------------------------------------------------------------------------------------------|
| <b>sjβ</b> = Oxynticeratenschichten<br>(Untere Schwarzjuratone)<br><br><b>β<sub>1</sub> + β<sub>2</sub></b>                                                                                                                                                   | durchgehend vorw. dunkel-<br>graue Tone und Tonmergel<br><br>im oberen <b>sjβ</b> : <b>β</b> -Kalkbank                                                                                                                                                                                                                                                                                                                                                                                                                                                                                    | Pyrit - und Toneisen-<br>steinkonkretionen<br><br>z.T. mit Eisenoolithen                                                                                                                                                                                                            | bei Hyochdorf<br><br>nur i. d. Mittl. und Westalb                                                                                                           |
| <b>sjγ</b> = Polymorphitenschichten<br>(Untere Schwarzjuramergel)                                                                                                                                                                                             | graue Mergelfolge mit<br>zwischen geschalteten<br>fleckigen Mergelkalkbänken                                                                                                                                                                                                                                                                                                                                                                                                                                                                                                              | dunkelgraue, pyritreiche<br>Gesteinspartien                                                                                                                                                                                                                                         | nur in Mittel- und Südwürt-<br>temberg;<br>bei Notzingen                                                                                                    |
| <b>sjδ</b> = Amaltheenschichten<br>(Obere Schwarzjuratone)<br><br><b>sjδ<sub>1</sub></b><br><br><b>sjδ<sub>2</sub></b>                                                                                                                                        | <br>dunkelgraue bis blaugraue<br>Tone und Tonmergel<br><br>Mergel und Mergelkalkbänke                                                                                                                                                                                                                                                                                                                                                                                                                                                                                                     | <br>dunkelgrau bis blau,<br>Pyritkonkretionen<br><br>Pyritkonkretionen und<br>pyritisierte Fossilien                                                                                                                                                                                | <br>zw. Ötlingen und Notzingen                                                                                                                              |
| <b>sjε</b> = Dactylioceraten-<br>schichten (Posidonienschiefer)<br><br><b>ε<sub>1</sub></b> = Seegrasschiefer und<br>Tafelfleins<br><br><b>ε<sub>2</sub></b> = Tonmergel mit<br>Stinkkalkbänken<br><br><b>ε<sub>3</sub></b> = Wilde Schiefer<br>(=Lederboden) | fast durchgehend<br>schwarzgraue, bituminöse<br>Tonmergel = Ölschiefer<br><br>Blaugraue Mergel<br><br>Tonmergel<br><br>kalkreichere Zwischenlagen<br>(Fleins), Tonmergel, härtere<br>Mergelkalkbänke<br><br>Tonmergel                                                                                                                                                                                                                                                                                                                                                                     | schwarz, bituminös, Pyrit<br>feinstverteilt und in Konk-<br>retionen, oft gagathaltig, hoher<br>C-org.-Gehalt<br>C-org. > 6%<br><br>C-org. > 6%, mit reichlich<br>Fukoiden, feinstverteilter Pyrit<br>C-org. > 9%<br>bituminös, gagathaltig<br><br>ε <sub>3</sub> fehlt mancherorts | Schieferbrüche bei Holzmaden<br>und Ohmden                                                                                                                  |
| <b>sjζ</b> = Grammoceren-<br>schichten (Obere<br>Schwarzjuramergel)                                                                                                                                                                                           | Wechselfolge von schiefrig-<br>blättrigen grauen Mergeln und<br>knolligen Mergelkalkbänken;<br>oftmals noch bituminöse Ton-<br>mergel mit Stinkkalkbänken                                                                                                                                                                                                                                                                                                                                                                                                                                 | grau<br><br>bituminös                                                                                                                                                                                                                                                               | Zwischen Hochdorf und<br>Notzingen                                                                                                                          |
| <b>bjα</b> = Leioceraten-<br>schichten (Untere Braunjuratone oder<br>Opalinuston)<br><br><b>α<sub>1</sub> + α<sub>2</sub></b>                                                                                                                                 | dunkle, z.T. schiefrige Tone<br>und Tonmergel, die keine klare<br>petrographische Gliederung<br>zulassen;<br><br>zum Hangenden Zunahme des<br>Sand und Kalkgehaltes;<br><br>im ob. <b>bjα<sub>2</sub></b> : Einschaltungen<br>von härteren Sandmergel-<br>bänken = Wasserfallschichten                                                                                                                                                                                                                                                                                                    | dunkel, feinstverteilter Pyrit,<br>Pyrit- und Mergelkalkkonk-<br>retionen, Nagelkalkbänkchen,<br>Anhäufungen von Muschel-<br>schalen und fossilen<br>Grabspuren                                                                                                                     | Albaufstieg Aichelberg                                                                                                                                      |
| <b>bjβ</b> = Ludwigienschichten<br>(Sandflaserige Braunjuratone)<br><br><b>β<sub>1</sub> + β<sub>2</sub> + β<sub>3</sub></b>                                                                                                                                  | <u>1. Ostalb - Fazies:</u><br>sandflaserige Tongesteine mit<br>3 eingeschalteten Sandstein-<br>komplexen, die im Hangenden<br>jeweils Eisenoolithflöze<br>zeigen, denen feingeschichte-<br>ter Tonstein und Kalksand-<br>stein eingelagert sind:<br><br>Unterer Donzdorfer Sandstein<br>Unteres Flöz<br>Personatensandstein<br>Zwischenflöz<br>Oberer Donzdorfer Sandstein<br>Aalener u. Geislinger Ob. Flöz<br><br><u>2. Westalb - Fazies:</u><br>sandflaserige Tongesteine mit<br>geringmächtigen Kalksand-<br>steinen und Sandmergeln;<br>im mittl. <b>bjβ</b> : <b>comptum</b> -Bänke | eisenschüssig, feinkörnig<br>Brauneisenoolith<br><br><br>eisenschüssig<br>Brauneisenoolith<br>eisenschüssig<br>Brauneisenoolith<br>eisenschüssig<br>Brauneisenoolith<br><br>Chamositoolith                                                                                          | Abbau in Aalen (bis<br>1888), Wasseraal (1948),<br>Geislingen a.d. Steige (1963)<br><br><br><br><br><br><br><br>nur in der weiteren Umgebung<br>von Gosheim |

| Stufe                                                                                                                                                   | Gestein                                                                                                                                                                                                                                                                                                                                            | Besonderheiten                                                                                                                                                                                                                      | Ort                                                                                                                                                                                           |
|---------------------------------------------------------------------------------------------------------------------------------------------------------|----------------------------------------------------------------------------------------------------------------------------------------------------------------------------------------------------------------------------------------------------------------------------------------------------------------------------------------------------|-------------------------------------------------------------------------------------------------------------------------------------------------------------------------------------------------------------------------------------|-----------------------------------------------------------------------------------------------------------------------------------------------------------------------------------------------|
| <b>bjγ</b> = Sonnninienschichten<br>(Kalksandige Braunjuratone)<br><br><b>bjγ1</b> =Wedelschichten<br><br><br><b>bjγ2</b> =Blaukalkschichten            | Folge v. gelbbr.-dunkelgrauen,<br>sandigen Tonen und Mergeln<br><br>Mergelkalk: 'sowerbyi'-Oolith<br>knollig-harte Mergelkalklagen<br>und weichere Sandmergel:<br>'discites' - Schichten<br><br>sandige Komplexe<br>(Wedelsandsteine)<br><br>Kalksandstein (Blaukalk)                                                                              | z.T. eisenoolithisch<br>mit Phosphorit- und<br>Toneisensteinkonkretionen<br><br>Sandgehalt steigt von NE nach<br>SW<br><br>blaugrau                                                                                                 | nur in Ostwürttemberg bis in<br>das Gebiet von Balingen                                                                                                                                       |
| <b>bjδ</b> = Stephanoceraten-<br>Parkinsonienschichten<br>(Oolithische<br>Laibsteinschichten)<br><br><b>bjδ1</b><br><br><br><br><br><br><br><b>bjδ2</b> | dunkle Tone u. Tonmergel mit<br>Einschaltungen v. eisenoo-<br>lithischen Mergelkalken u.<br>Mergeln<br><br>'Abraumschichten'<br>'Oberer Blaukalk'<br>'giganteus Tone'<br>Kalkmergelkomplex (Ostreen-<br>kalke), an der Basis mit<br>humphriesi-Oolith<br><br>2 eisenoolithische Mergelkalk-<br>bänke: 'subfurcatus'-Oolith,<br>'parkinsoni'-Oolith | dunkelgrau, Laibstein- und<br>Muschelkalkknollen, Ton-<br>eisenstein- und Pyritkonkre-<br>tionen                                                                                                                                    | nur i. d. Mittl. Alb u. angren-<br>zenden Teilen der Westalb<br><br>in der Westalb; humphr.-Ool.<br>durchgehend, nur i.d. Mittl.<br>Alb undeutlich ausgebildet<br>von der Wutach bis zum Ries |
| <b>bjε</b> = Parkinsonien-<br>Oxyceritenschichten (Obere<br>Braunjuratone)<br><br><b>ε1 + ε2</b>                                                        | dunkle Tone und Tonmergel<br>mit nach oben hin eisenoolith-<br>führenden Laibsteinbänken<br><br>Einschaltungen kalkiger<br>Bänke im bj epsilon2 mit<br>'varians'- und 'aspidoides'-<br>Oolith                                                                                                                                                      | dunkel, eisenoolithisch, selten<br>gut aufgeschlossen, meist vom<br>Schutt des wj bedeckt<br><br>an der Basis und im Top mit<br>einem Eisenoolithhorizont                                                                           | in Ostwürtt. nur geringmächtig<br>u. als eisenoolith. Kalk-<br>Mergelkomplex ausgebildet<br>nur SW' Spaichingen                                                                               |
| <b>bjζ</b> = Macrocephaliten - Kos-<br>moceratenschichten<br>(Ornatenton, auch Obere<br>Braunjuratone)<br><br><b>bjζ1</b><br><br><br><b>bjζ2</b>        | Tone und Tonmergel<br><br>'macrocephalus'-Oolith<br>Tone und Tonmergel<br>'anceps'-Oolith<br><br>Tone und Tonmergel<br><br>phosphoritische Knollenlage:<br>'lamberti'-Knollen                                                                                                                                                                      | reichlich Pyritkonkretionen<br><br>eisenoolithischer Horizont<br><br>eisenool. Horizont<br><br>am Top glaukonitführend,<br>kleine Phosphorit- und<br>Mergelkalkkonkretionen)<br>Phosphoritknollen, bilden<br>Grenze zum weißen Jura | i. Wutachgebiet gering-<br>mächtig, kalkig-mergelig-<br>eisenoolithisch<br><br>nur in der Westalb bis Raum<br>Reutlingen                                                                      |
| <b>wjα</b> = Cardioceratenschichten<br>(Untere Weißjuramergel)                                                                                          | glaukonitführende Tonmergel<br>(Glaukonit-Sandmergel)<br><br>härtere Bänke durch<br>Tonmergel getrennt<br>(transversarium-Schichten)<br><br>Mergel mit Mergelkalkbänken<br>und Kalkmergelbänken<br><br>im Grenzbereich α / β<br>mehrere Mergellagen<br>(Fukoiden-Bänke)<br><br>Verschwammung d. Schichten<br>bereits im tiefen wj alpha            | glaukonitführend, aber nur<br>selten aufgeschlossen<br><br><br><br><br><br>'Lochen'-Fazies bis in den<br>mittleren Weißjura                                                                                                         | am Hörnle<br><br><br><br><br><br>Hochwanger Steige                                                                                                                                            |
| <b>wjβ</b> = Idoceratenschichten<br>(Wohlgeschichtete Kalke)                                                                                            | Folge v. hell- bis gelbl.-grauen<br>Kalkbänken, die durch dünne<br>Mergelfugen getrennt sind<br><br>vereinzelt auftretende Ver-<br>schwammung neben d. West-<br>auch in d. Mittl.- und Ostalb                                                                                                                                                      |                                                                                                                                                                                                                                     | in der Mittleren- und Ostalb                                                                                                                                                                  |

| Stufe                                                                                                                                                  | Gestein                                                                                                                                                                                                                                                                                                                                  | Besonderheiten                                                                                                                                                                                        | Ort                                                                                  |
|--------------------------------------------------------------------------------------------------------------------------------------------------------|------------------------------------------------------------------------------------------------------------------------------------------------------------------------------------------------------------------------------------------------------------------------------------------------------------------------------------------|-------------------------------------------------------------------------------------------------------------------------------------------------------------------------------------------------------|--------------------------------------------------------------------------------------|
| <b>wjγ</b> = Ataxioceratenschichten<br>(Mittlere Weißjuramergel)<br><br>wjγ1<br><br>wjγ2<br><br>wjγ3                                                   | Wechselfolge von Mergel- und Kalkkomplexen<br><br>wohlgeschichtete Kalke mit Mergelbänken, am Top Mergelkomplex<br><br>Mergel mit eingeschalteten härteren Bänken<br><br>an der Basis kalkiger, häufig verschwammter Schichtenstoß<br><br>Mergel mit harten Kalkbänken<br><br>am Top Wechsellagerung von Kalk- und Mergelbänken          |                                                                                                                                                                                                       | i. d. Westalb kann durchgehend Schwammfazies vorherrschen<br><br>Hochwanger Steige   |
| <b>wjδ</b> = Aulacostephanenschichten<br>(Untere Felsenkalke)<br><br>wjδ1<br><br>wjδ2<br><br>wjδ3<br><br>wjδ4                                          | dünnbankige Kalke<br><br>Kalkbänke mit kräftigeren Mergelzwischenlagen<br><br>dickbankige Kalke, am Top mit 2 gräulichgrauen, verwittert grünlich-braungelben, etwas dolomitischen Kalkmergelbänken (Glaukonitbank)<br><br>Quaderkalke                                                                                                   | Kieselknollen in den Kalkbänken ab wjδ3                                                                                                                                                               | bildet in weiten Teilen des schwäbischen Jura den Felskranz des Albtraufs            |
| <b>wjε</b> = Sutnerien- Virgataxioceratenschichten<br>(Obere Felsenkalke)<br><br>ε1+ε2                                                                 | meist weißgraue bis gelbgraue, oft kristalline Kalke<br><br>mehr oder weniger deutlich gebankte, gelegentlich leicht kristalline Kalke (Weißjura-Kieselkalke)<br><br>im obersten wjε auftretende Mergelführung                                                                                                                           | stellenweise starkes Auftreten von Kieselknollen<br><br>zahlreiche Kieselknollen<br><br>durch Verwitterung entstanden 'Feuersteinlehme'                                                               | nur in der Ostalb<br><br><br>nur in manchen Gebieten                                 |
| <b>wjζ</b> = Gravesiensichten<br><br>wjζ1 = Liegende Bankkalke<br><br>wjζ2 = Oberer Weißjura-mergel oder Zementmergel<br><br>wjζ3 = Hangende Bankkalke | helle Kalkbänke mit zwischen-geschalteten Mergelfugen, oft auch Einschaltungen von Breccienbänken; z.T. treten Platten- u. Schieferkalke auf mergelig-kalkiger Schichtenstoß<br><br>'Zwischenkalke': 60m mächtiger Kalkkomplex, der in die Mergel eingeschaltet ist<br><br>ziemlich regelmäßig gebankte Folge von Kalken mit Mergelfugen | häufig plattige Verwitterung<br><br>Kieselknollen sind relativ häufig<br><br>dunkel- bis blau-grau im bergfrischen Zustand; verwittert zu kleinscherbigem Stückwerk<br><br>gelblich bis bräunlichgrau | Gesteine nehmen einen großen Teil der Albhochfläche ein<br><br><br>nur in der Ostalb |

### **3. Probennahmen**

Bei der Angabe der jeweils beprobten geologischen Horizonte und ihrer zugehörigen Entnahmestellen ist zu berücksichtigen, daß zu einigen Schichten keine Tagesaufschlüsse gefunden werden konnten. Auch in den mir zur Verfügung gestellten Bohrkernen wurden diese Formationen nicht angetroffen. Dabei handelt es sich insbesondere um die Bleiglanzbänke von mu1 und km1 sowie den Mittleren Muschelkalk. Ansonsten konnten die zur Entnahme vorgesehenen Gesteinsschichten relativ vollständig beprobt werden. Maßgebend war generell die Gewinnung möglichst frischen, unverwitterten Materials. Die Einhaltung dieses Kriteriums ist sowohl für die Repräsentativität des gewonnenen Materials als auch die Aussagekraft der Analysen von entscheidender Bedeutung, stellt jedoch gleichzeitig den limitierenden Faktor für die Anzahl der als geeignet erscheinenden Probenentnahmelokalitäten dar.

#### **3.1. Methoden**

Die Schichten wurden hauptsächlich an Aufschlüssen im Gelände oder in Baugruben beprobt. In den meisten Fällen konnten die Proben mit dem Geologenhammer entnommen werden. Dabei war darauf zu achten, daß das Material, das bereits der Oberflächenverwitterung ausgesetzt war, verworfen wurde. Um keine Zufallsprobe zu erhalten, mußte ein Horizont, soweit möglich, mindestens fünfmal beprobt werden. Dabei sollten möglichst gleichmäßige Abstände, bei gleichzeitiger großräumiger Streuung zwischen den Entnahmepunkten eingehalten werden. In einigen Fällen, besonders bei den Schichten des Schwarzen Jura, konnten die Gesteinsproben nur mit

der Schlitzbohrstange entnommen werden, da keine Aufschlüsse anzutreffen waren.

Die entnommenen Probenmengen waren z.T. abhängig von den jeweiligen Aufschlußverhältnissen. In der Regel wurden 500-2000 Gramm/Probe entnommen; bei der Gewinnung mit der Schlitzbohrstange fielen die Mengen etwas geringer aus. Jede Probe wurde einzeln in Probennahmepapier und speziellen Plastikbeuteln verpackt.

#### **3.2. Beprobte geologische Formationen**

Im Verlauf von zwei größeren und einigen kleineren Probennahmekampagnen wurden im Großraum Stuttgart an zahlreichen genau lokalisierten Punkten ca. 400 Proben aus 53 stratigraphisch definierten Sedimentschichten gewonnen. Das Material stammt einerseits aus Bohrungen, wie z.B. den Bundesbahn-Bohrungen im Braunen Jura am Albaufstieg bei Gruibingen, andererseits (und zum größeren Teil) aus Tagesaufschlüssen aus dem Bereich zwischen Geislingen - Nürtingen - Reutlingen - Leonberg - Maulbronn - Marbach.

Weiterhin konnten aus Bohrkernen einige Proben von ausgelaugtem Gipskeuper gezogen werden, deren Elementgehalte denen der entsprechenden Schichten im nicht ausgelaugten Bereich gegenübergestellt werden sollen.

Die folgende Tabelle 3.2.1. führt die beprobten geologischen Formationen sowie die jeweiligen Entnahmestellen auf. Die nachgestellte Kennung enthält eine Nummer, anhand derer sich die Lokation auf der nachfolgenden geologischen Karte über den Großraum Stuttgart wiederfinden läßt (Abb. 3.2.2). Diese Karte wiederum ist ein Ausschnitt aus der vorange-

stellten geologischen Übersichtskarte von Baden-Württemberg (Abb. 3.2.1; beide Karten nach GEYER & GWINNER 1991). Eine detaillierte Auflistung aller Proben und ihrer zugehörigen Rechts- und Hochwerte

bzw. Ortsbezeichnungen finden sich im Anhang (siehe dort: Tabellen zu Kapitel 3 – Tab. 3.2.2. - 3.2.5.).

**Tab. 3.2.1.: Beprobte Gesteinsschichten und zugehörige Probennahmelokalitäten**

| Geologische Formation                    | Lokation                                                           | Kennung |
|------------------------------------------|--------------------------------------------------------------------|---------|
| so, Rötone                               | w' Althengstett, n' d. Tafelberges                                 | 1       |
| mo2, Mergel/Tone an d. Basis             | Steinbruch bei Rielingshausen                                      | 2       |
| mo2, Tonhorizonte                        | Steinbruch bei Rielingshausen                                      | 2       |
| mo2, Mergel/Tone im ob. Abschnitt        | Steinbruch bei Rielingshausen                                      | 2       |
| ku Basis, Vitriolschiefer                | Steinbruch bei Rielingshausen                                      | 2       |
| ku, Estherienschiefer                    | Steinbruch bei Rielingshausen                                      | 2       |
| km1, Grundgipsschichten                  | Leonberg/Eltingen, Park                                            | 3       |
| km1, Bochsinger Horizont                 | Hinterer Ehrenberg, se' Eltingen                                   | 3       |
| km1, Dunkelrote Mergel                   | Hinterer Ehrenberg, se' Eltingen                                   | 3       |
| km1, Mittlerer Gipshorizont              | Hinterer Ehrenberg, se' Eltingen                                   | 3       |
| km1, Estherienschiefer                   | Hinterer Ehrenberg, se' Eltingen                                   | 3       |
| km2, dunkle Tonsteine im Schilfsandstein | Hinterer Ehrenberg, se' Eltingen                                   | 3       |
| km2, Schilfsandstein                     | Kernbohrung B12, Hedelfingen                                       | 4       |
| km2, Dunkle Mergel des oberen km2        | Hinterer Ehrenberg, se' Eltingen                                   | 3       |
| km3u, Rote Wand                          | Hinterer Ehrenberg, se' Eltingen                                   | 3       |
| km3u, Untere Bunte Mergel                | Kernbohrung B12, Hedelfingen                                       | 4       |
| km3l, Lehrbergschichten                  | Kernbohrung B231, Stuttgart 21                                     | 6       |
| km3o, Obere Bunte Mergel                 | Auf dem Stromberg bei Hohenhaslach                                 | 5       |
| km4, Stubensandstein                     | Kernbohrung B3, Stuttgart - Waldau                                 | 6       |
| km5, Knollenmergel                       | Kernbohrung B3                                                     | 6       |
| ko, Rhät; Tonstein                       | Kernbohrung B3                                                     | 6       |
| sj α 1, Pylonotenkalke                   | Kernbohrung B3                                                     | 6       |
| sj α 1, Pylonotentone                    | Alter Steinbruch im Büsnauer Rain                                  | 7       |
| sj α 2, Angulatensandstein               | Kernbohrung B3                                                     | 6       |
| sj α 2, Angulatentonstein                | Kernbohrung B3                                                     | 6       |
| sj β, Untere Schwarzjuratone             | Baugrube in Hochdorf, 100m südlich der Kirche                      | 8       |
| sj γ, Untere Schwarzjuramergel           | Baugrube in Notzingen, Ortskern                                    | 9       |
| sj δ, Obere Schwarzjuratone              | Autobahnböschung zw. Ötlingen und Notzingen                        | 10      |
| sj ε 1, Seegrasschiefer                  | Schieferbruch bei Ohmden                                           | 11      |
| sj ε 2, Tonmergel                        | Schieferbruch bei Ohmden                                           | 11      |
| sj ε 2, Stinkkalke                       | Schieferbruch bei Ohmden                                           | 11      |
| sj ε 3, Wilde Schiefer                   | Schieferbruch bei Ohmden                                           | 11      |
| sj ζ, Obere Schwarzjuramergel            | Hochdorf Richtung Notzingen                                        | 12      |
| bj α, Opalinuston                        | Albaufstieg Aichelberg, Tunnelröhren - Südende rechts der Autobahn | 13      |
| bj β, Zopfplatten                        | Bohrkernproben der Bohrungen Gruibingen 401, 403, 404              | 14      |
| bj β, Tolutariazone                      | s.o.                                                               | 14      |
| bj β, Unterer Donzdorfer Sandstein       | s.o.                                                               | 14      |
| bj β, Personatensandstein                | s.o.                                                               | 14      |
| bj β, Oberer Donzdorfer Sandstein        | s.o.                                                               | 14      |
| bj γ, Wedelsandstein                     | s.o.                                                               | 14      |
| bj δ, Dorsetensienbank                   | s.o.                                                               | 14      |
| bj δ, Humphriesi-Oolith                  | s.o.                                                               | 14      |
| bj δ, Coronatenschichten                 | s.o.                                                               | 14      |
| bj δ, Blagdeni-Schichten                 | s.o.                                                               | 14      |
| bj δ, Subfurcatus-Oolith                 | s.o.                                                               | 14      |
| bj δ, Hamitenton                         | s.o.                                                               | 14      |
| bj δ, Parkinsoni-Oolith                  | s.o.                                                               | 14      |
| bj ε, Obere Braunjuratone                | s.o.                                                               | 14      |
| bj ζ, Macrocephalus-Oolith               | s.o.                                                               | 14      |
| bj ζ, Ornamenton                         | s.o.                                                               | 14      |
| wj α, Grenzglaukonit                     | s.o.                                                               | 14      |
| wj α, Untere Weißjuramergel              | Steinbruch am Hörnle                                               | 15      |
| wj γ, Obere Weißjuramergel               | Hochwanger Steige                                                  | 16      |

**Sonderproben – ausgelaugter Gipskeuper:**

|                                   |                   |   |
|-----------------------------------|-------------------|---|
| km1 (ausgel.), Grundgipsschichten | Kernbohrung B 224 | 6 |
|-----------------------------------|-------------------|---|

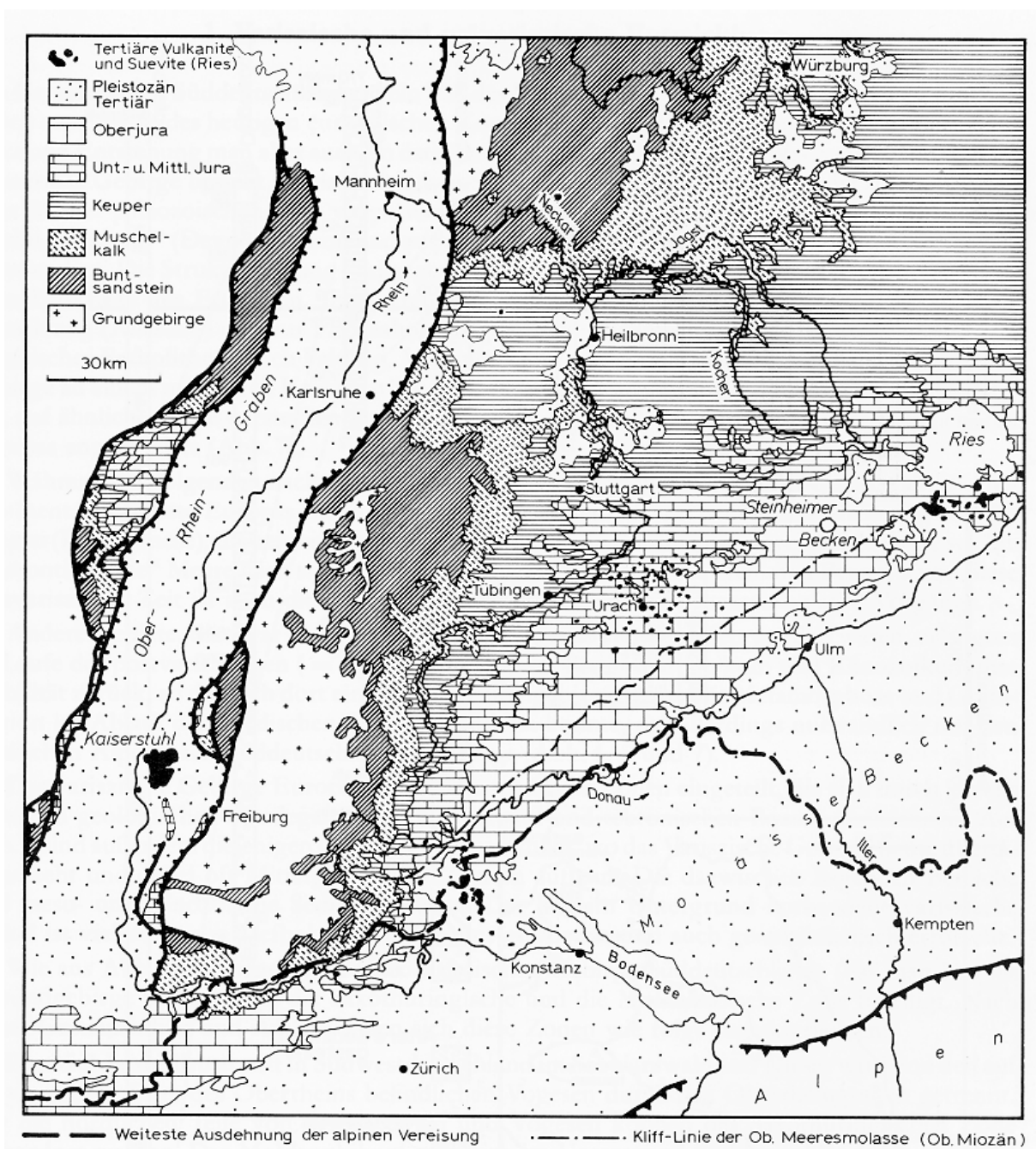


Abb. 3.2.1: Geologische Übersichtskarte von Südwestdeutschland (nach GEYER & GWINNER (1991): Geologie von Baden-Württemberg).

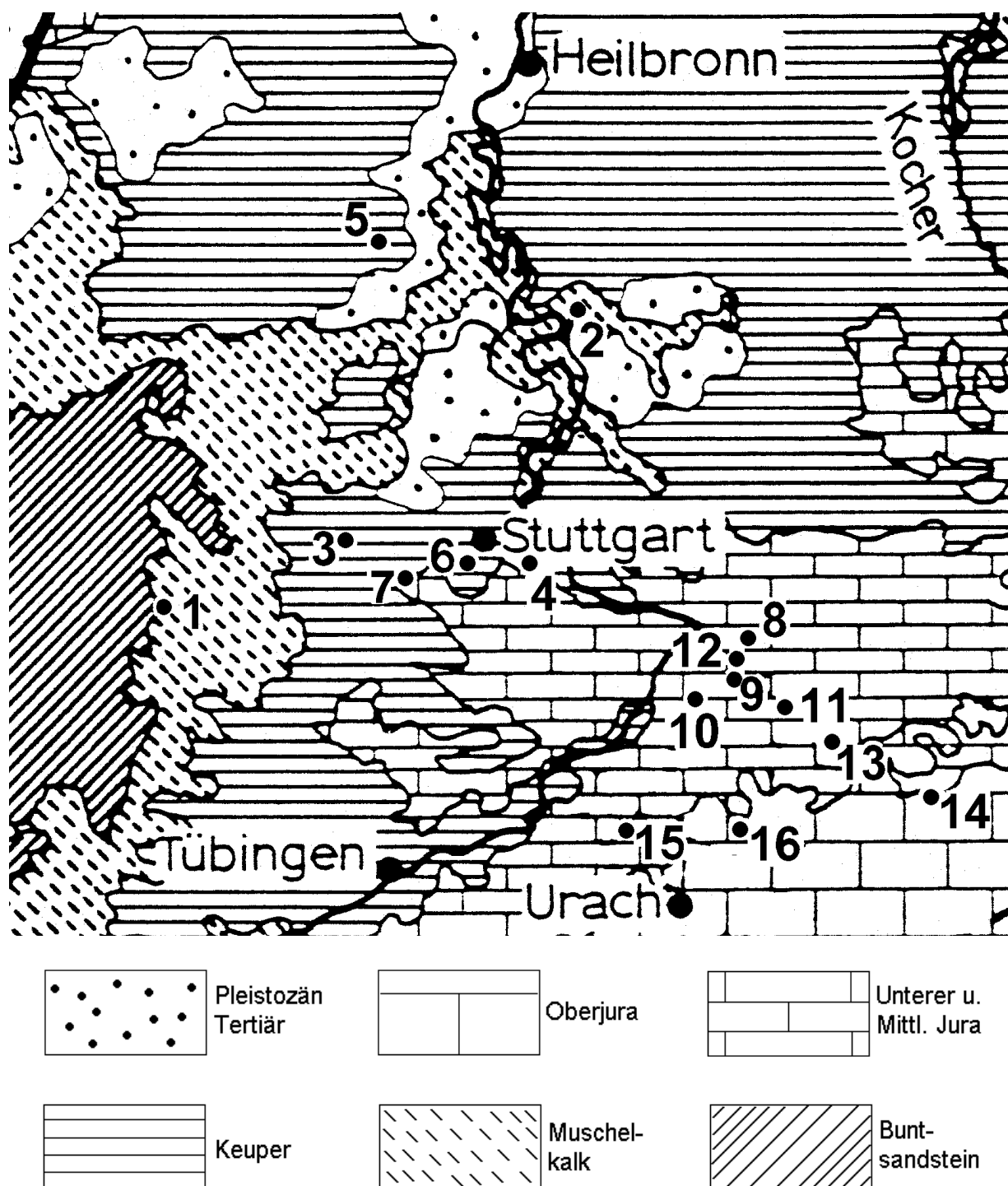


Abb. 3.2.1: Geologische Karte des Großraumes Stuttgart (nach GEYER & GWINNER (1991): Geologie von Baden-Württemberg) mit Probennahmepunkten gemäß Tab. 3.2.1.

## **4. Probenaufbereitung und -aufschlüsse**

### **4.1. Aufbereitung der Gesteinsproben**

Nach einer ersten Trocknung an der Luft wurden die Proben, soweit notwendig, mit dem Backenbrecher vorzerkleinert. Danach wurde jede Probe bei 40°C einer 24stündigen Trocknung im Trockenschrank unterzogen. Das so behandelte Gesteinsmaterial konnte darauf mit dem Backenbrecher, bei kleinster Spaltbreite, weiter zerkleinert werden. Es schloß sich eine mehrmalige Viertelung des Probengutes an, bis dieses eine Endmenge von max. 25g je Probe erreichte. Schließlich wurde jede dieser Proben mit einer Achatkugelmühle analysenfein gemahlen und in geeigneten Behältern luftdicht verschlossen. Die Materialien konnten daraufhin den verschiedenen Aufbereitungsmethoden unterzogen werden.

### **4.2. Königwasseraufschluß nach DIN 38414 S7**

0,3g einer analysenfein gemahlten Probe wurden mit 30ml Königswasser (3 Teile HCl, 1 Teil HNO<sub>3</sub>) versetzt, nach einer mehrstündigen Vorreaktionszeit bei 80°C auf einer Heizplatte fast bis zur Trockne eingedampft und anschließend mit 30ml 1N HCl aufgenommen. Die Lösungen wurden bis zur Analytik unter Abdeckung mit Parafilm kühl gelagert aufbewahrt.

### **4.3. Elution nach DIN 38414 S4**

Um die z.T. sehr geringen in Wasser löslichen Anteile der Gesteine an Metallen zuverlässig zu quantifizieren, ist bei der Durchführung der Elution

besondere Sorgfalt erforderlich. Blindwerte durch an Gefäße anhaftendes Fremdmaterial sowie Verunreinigungen von verwendeten Chemikalien können weitaus höhere Konzentrationen im Eluat verursachen, als dies den löslichen Anteilen entspricht. Zu diesen Versuchen wurden daher ausschließlich durch Ausdampfen gereinigte Gefäße, in der Quarzglasdestillation hergestelltes bidestilliertes Wasser sowie in der nachfolgenden Probenbehandlung mittels Destillation nachgereinigte Säuren verwendet. Zur weiteren Absicherung der Resultate wurden jeweils auch Blindeluate mitgemessen.

Die für die DIN-konforme Durchführung der Elution erforderliche Probenmenge von 100g Gesteinsmaterial stand nicht in allen Fällen zur Verfügung. Daher wurde die Prozedur an geringere Probenmengen angepaßt. In 50ml Weithalsflaschen wurden je 2g (bzw. 4g bei größerer Ausgangsmenge) analysenfein gemahlene Probe mit 20ml (bzw. 40ml) bidestilliertem Wasser versetzt und anschließend 24 Stunden langsam über Kopf rotiert (1 Umdrehung/Minute). Nach einer Standzeit von mehreren Tagen, in denen sich die Partikel in der Lösung wieder absetzten, wurden die überstehenden klaren Eluate zunächst mittels einer Filterpipette über 0,45µm Acetatfilter (Sartorius) abgezogen und analysiert.

Die Verwendung analysenfein gemahlten Probengutes entspricht nicht den in der Natur vorliegenden Gegebenheiten. Mittels der Aufmahlung kann jedoch auch in der von der DIN vorgegebenen relativ kurzen Zeit von 24 Stunden eine Equilibrierung der Mineralkomponenten mit Wasser bis zur Sättigung erreicht bzw. angenähert werden. Durch die Aufmah-



lung werden somit die in der Natur gegebenen Langzeitprozesse simuliert.

Die aus dieser Methode resultierenden Meßergebnisse wurden mittels thermodynamischer Berechnungen kontrolliert. Hierbei handelt es sich um rechnergestützte Modellierungen, in welchen an Hand von Datensätzen natürlich auftretende bzw. für die untersuchten Gesteine typischen Minerale mit Wasser zu Gleichgewichtskonstanten und Bildungsenergien theoretisch equilibriert wurden [PHREEQE: PARKHURST et al. 1990]. Für Al, Mn und Fe zeigte sich, daß die erzielten Analysenresultate z.T. signifikant oberhalb der Sättigungsgrenze lagen. Die deutliche Diskrepanz beruht auf der Problematik „echter Lösungen“, wobei hierunter ionare Lösungen zu verstehen sind. Die auffälligen Elemente tendieren zur Bildung von Gelen mit Partikelgrößen  $>0,1\mu\text{m}$  und täuschen somit deutlich zu hohe „gelöste“ Konzentrationen im Eluat vor. Für diese Elemente ist daher die üblicherweise verwendete Filterung der Lösungen mit einer Porenweite von  $0,45\mu\text{m}$  unbrauchbar, da sie sich offensichtlich für Gele von Al, Fe und Mn als durchlässig erweist.

Um diesen Effekt zu eliminieren und nur die in „echter Lösung“ vorhandenen Konzentrationen zu erfassen, wurden sämtliche Elutionslösungen über Filter mit  $0,1\mu\text{m}$  Porenweite abgezogen. Wie die daraus resultierenden vorgelegten Meßwerte zeigen, liegen die Eluatgehalte für Al, Fe und Mn signifikant niedriger als bei einer Filtration mit  $0,45\mu\text{m}$ . Somit sind nach Filtration mit  $0,45\mu\text{m}$  gemessene mögliche Grenzwertüberschreitungen dieser Elemente nach der Trinkwasserverordnung als nur scheinbar anzusehen und ohne Belang.

Die Problematik der Filterung über Filter mit unterschiedlichen Porenweiten wird im folgenden anhand der exemplarischen Darstellung von Versuchsreihen näher ausgeführt.

#### 4.3.1. Vergleich von Filtern unterschiedlicher Porenweiten

Zum Zweck des Vergleichs der Durchlässigkeit von Filtern mit verschiedenen Porenweiten wurden drei Proben unterschiedlicher Gesteinsschichten ausgewählt. Jede Probe wurde dem S4-Elutionsversuch unterzogen. Zur Filterung der Eluate wurden anschließend Filter mit den Porenweiten  $0,1\mu\text{m}$ ,  $0,45\mu\text{m}$  und  $0,8\mu\text{m}$  verwendet. Zu jedem Eluat liegt somit je ein Filtrat für jeden Porendurchmesser vor.

Die folgende Abbildung 4.3.1.1 zeigt das Verhalten von Aluminium. Dabei kann ein deutlicher Anstieg der Al-Gehalte bei größeren Porenweiten konstatiert werden. Auffällig ist der konstante niedrige Wert bei allen Proben für die Filtration mit  $0,1\mu\text{m}$ , wobei die Meßwerte von ca.  $0,19\text{mg Al/l}$  im Bereich des thermodynamisch berechneten Löslichkeitsproduktes für Al aus Kaolinit liegen (vgl. Abschnitt 10.1.1.). Der überwiegende Anteil des Aluminiums im Eluat liegt in gelgebundener Form vor, welches mit einem Faktor bis zu  $>50$  gegenüber der ionaren Form vorherrscht. Für den Nachweis „gelösten“ Aluminiums empfiehlt sich daher die Verwendung von  $0,1\mu\text{m}$ -Filtern (ebenso bei Fe und Mn).

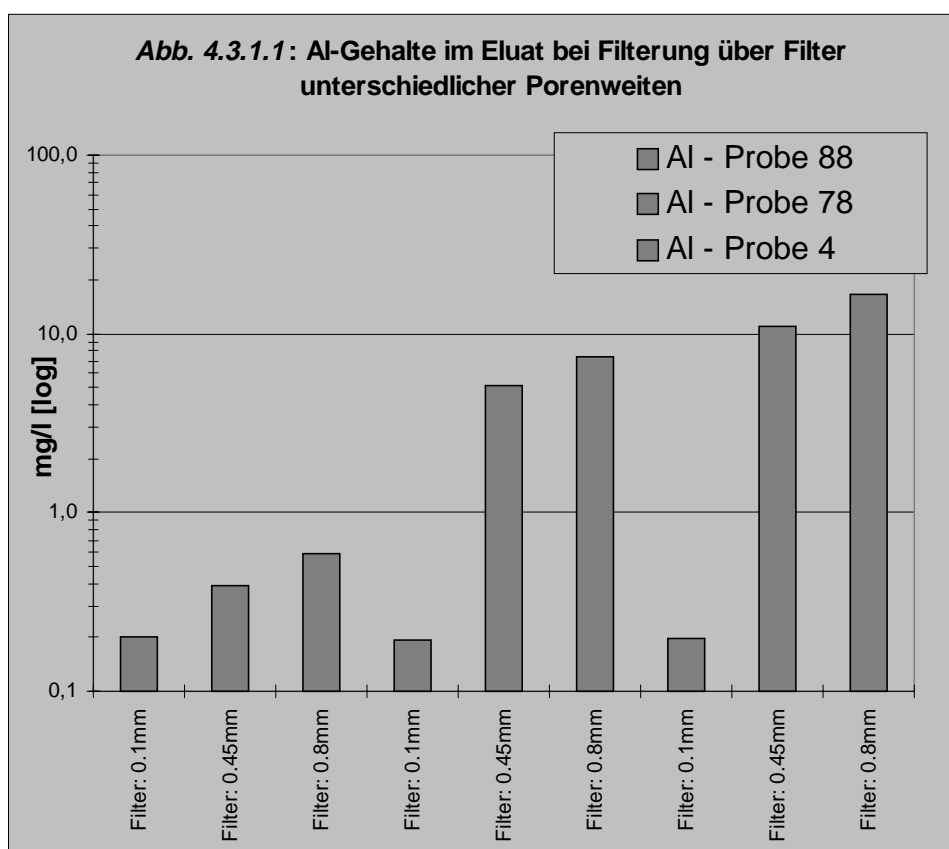
Diese Aluminiumproblematik zeigt sich auch in der Literatur. So stellten SOMMERFELD & SCHWEDT (1996) in einem Vergleich verschiedener Elutionsmethoden extrem hohe Al-Mobilitäten fest, für die sie keine Erklärung fanden. Aus ihrer Versuchsbeschreibung geht jedoch hervor, daß sie die Eluate über Membranfilter mit  $0,45\mu\text{m}$  Porendurchmesser abfiltrierten.

Gegenüber Al, Fe und Mn ist für Schwermetalle keine Abhängigkeit von der Filterporenweite festzustellen. Dieser wiederholt beobachtete Befund ist in der Literatur mehrfach beschrieben [z.B. OBERMANN & CREMER 1992].

In der Erfassung der Löslichkeit von Fe und Mn treten insofern weitere Schwierigkeiten auf, als beide Elemente in unterschiedlichen Wertigkeiten Mineralisationen bilden können, die jeweils auch Bestandteile der untersuchten Sedimente sind. Hierbei weisen  $\text{Fe}^{2+}$ - und  $\text{Mn}^{2+}$ -Mineralisationen deutlich größere Löslichkeiten für Fe und Mn auf als Mineralisationen mit  $\text{Fe}^{3+}$  und höherwertigem Mn. Während der Elution können die zunächst in reduzierter Form vorliegenden Elemente in Lösung gehen, sich jedoch im Verlauf der 24-stündigen Prozedur bzw. bei anschließender Standzeit aufoxidieren. Um die Gehalte

der reduzierten Lösungsspezies im Eluat einigermaßen repräsentativ zu quantifizieren, ist die Filterung mit  $0,1\mu\text{m}$  Porenweite unmittelbar an die Elutionsprozedur anzuschließen. Die oxidativ bedingte nachfolgende Ausfällung von Fe und Mn kann durch Stabilisierung der Lösungen mit  $\text{HNO}_3$  vermieden werden.

Zur Verminderung weiterer durch die Gelbildung bedingter Unwägbarkeiten, welche die Analytik beeinflussen können (Alterung der Gele), sollten die Messungen jedoch grundsätzlich unmittelbar im Anschluß an die Elutionsprozedur erfolgen.



#### **4.4. Ionentrennung im Säulenverfahren**

Natürlich in Gesteinen vorkommende Mineralisationen von Schwermetallen sind in Wässern so gering löslich, daß deren Elementkonzentrationen im Eluat im Ultraspurenbereich vorliegen ( $\mu\text{g/l}$ ;  $\text{ng/l}$ ). Der Nachweis solcher Konzentrationen ist zwar unter Aufwendung hoher Sorgfalt für eine Vielzahl von Elementen inzwischen mit instrumentellen Routineverfahren möglich, wie z.B. der flammenlosen Atomabsorptions-Spektrometrie (Graphit-AAS). Der präzise Nachweis in diesen Konzentrationsbereichen setzt jedoch Lösungen voraus, die nahezu frei von Fremdelementen sind. Diese Voraussetzung ist in den Eluaten in keinem Falle gewährleistet. Vielmehr überwiegt die Zahl der Lösungen, die z.B. mehrere hundert  $\text{mg/l}$  an Ca führen (Gipslösungen u.a.). Somit sind Ultraspuren in einer hohen Fremdsalzzlast nachzuweisen, deren Konzentration diejenige des gesuchten Elementes um ca. den Faktor  $10^5$  bis  $10^6$  überwiegt.

Unter diesen Bedingungen sind weder die für die Geräte spezifischen Nachweisgrenzen, noch eine vernünftige Analytik verifizierbar, weshalb die SM isoliert werden müssen. Hierbei ist maßgebend, daß im Verlauf der Elementtrennung einerseits keine Anteile der gesuchten Metalle verloren gehen, wohingegen die Reduzierung der Matrixbelastung lediglich bis unterhalb eines elementspezifischen Störpegels erfolgen muß (z.B. Ca auf  $<1\text{mg/l}$ ). Ebenso problematisch ist andererseits die Einschleppung der gesuchten Elemente während des Trennprozesses. So müssen bei diesen Verfahren zwingend und ausschließlich in Quarzglasdestilliergeräten nachgereinigte Säuren verwendet werden.

Die an der ICP-OES durchgeführten, sehr genauen Messungen zeigten, daß vor allem die Gehalte an Pb und Cd im Eluat zumeist so gering waren, daß für deren Nachweis nur die Graphitofen-AAS in

Frage kam. Die hierzu erforderliche Abtrennung von den Matrixelementen erfolgte mittels Säulenchromatographie, wobei ein von KORKISCH & DIMITRIADIS (1974) vorgeschlagenes Verfahren modifiziert wurde [siehe auch KORKISCH 1989].

Ein Aliquot an Eluat wird eingedampft und mit 10ml 1,2N HCl aufgenommen. Die Abtrennung erfolgt mit dem Austauscherharz Dowex 1X8, 100-200 mesh, bei einem Säulendurchmesser von 10mm und einer Säulenhöhe von 85mm. Die Säulen sind zunächst in folgender Weise vorkonditioniert:

- 2 x 100ml aqua dest.
- 2 x 25ml HCl 1,2N

Die Probe (10ml; 1,2N HCl) wird mit 60ml HCl 1,2N versetzt und diese Lösung durch die vorkonditionierte Säule gegeben. Weiterer Trennungsgang:

- 50ml 1,2N HCl
- 50ml 2N  $\text{HNO}_3$ .

Cd und Pb befinden sich in der  $\text{HNO}_3$ . Das Eluat wird eingedampft und mit 10ml 2N  $\text{HNO}_3$  aufgenommen. Als Modifier werden 5ml Ammoniumhydrogenphosphat  $[(\text{NH}_4)_2\text{HPO}_4]$  zugegeben (Konzentration der Lösung: 10g/l).

Zur Abtrennung bzw. der Analytik von Cd ist der einfache Trennungsgang hinreichend. Der Nachweis von Pb wird sehr empfindlich durch geringste Konzentrationen an Matrixelementen, z.B. Calcium, gestört. Für den Nachweis von Pb ist der angeführte Trennungsgang doppelt durchzuführen, um die Matrixkonzentration von z.B. Ca unter  $1\text{mg/l}$  zu senken. Desgleichen dürfen die Lösungen für die Bleianalytik kein Sulfat führen (gipsaltige Proben).

Das Verfahren wurde anhand der Analytik von internationalem Referenzmaterial verifiziert [SARM; ABBEY 1983]. Vor der Abtrennung wurden die Proben so verdünnt, daß deren Pb-Konzentrationen im Bereich der für die Eluate erwarteten Gehalte zu liegen kamen.

| SARM-Probe | Konzentration d. Lösung entspr. Literaturangabe ( $\mu\text{g/l} = \text{ppb}$ ) | gemessene Konzentration der Lösung ( $\mu\text{g/l}$ ) |
|------------|----------------------------------------------------------------------------------|--------------------------------------------------------|
| NIM-G      | 26,7                                                                             | 24,1                                                   |
| NIM-L      | 28,6                                                                             | 28,8                                                   |
| NIM-P      | 4                                                                                | 3,8                                                    |

Bezogen auf das Referenzgestein (SARM) ergeben sich folgende Vergleichswerte (Angaben in mg/kg):

| SARM-Probe | Konzentration entsprechend Literaturangabe (mg/kg) | gemessene Konzentration (mg/kg) |
|------------|----------------------------------------------------|---------------------------------|
| NIM-G      | 40                                                 | 36,5                            |
| NIM-L      | 43                                                 | 43,1                            |
| NIM-P      | 6                                                  | 5,6                             |

Die Meßbedingungen für die Graphit-AAS zu den Elementen entsprechen den jeweiligen firmenspezifischen Angaben zu den verwendeten Geräten (hier: 2-Strahl-2-Kanal-Gerät mit Aerosol-Probeninjektion).

#### **4.5. Messung von anorganischen Kohlenstoffverbindungen, C-org. und Schwefel**

Die Messung erfolgte mittels IR-Detektion des im Sauerstoffstrom verbrannten und katalytisch zu  $\text{CO}_2$  aufoxidierten Kohlenstoffs (Gerät: Leco CS-144). Im gleichen Meßgang konnte Schwefel bestimmt werden ( $\text{SO}_2$ ). Zur Messung des Anteiles an organisch gebundenem Kohlenstoff (C-org.) mußte zunächst der anorganisch gebundene Kohlenstoff aus den Proben entfernt werden. Der anorganische Kohlenstoffanteil ergibt sich aus der Differenz des Gesamtkohlenstoffes der unbehandelten Gesamtprobe und des C-org-Gehalts. Die Entfernung des anorganischen Kohlenstoffs erfolgte mittels  $\text{HCl}$ -Laugung. Das Verfahren ist sowohl anhand von Messungen internationaler Referenzmaterialien als auch im Abgleich der Methode nach DIN verifiziert [DIN-ISO 10694].

## **5. Analysenverfahren**

### **5.1. Elementanalytik**

Die im Königswasseraufschluß und aus den S4-Elutionen gewonnenen Lösungen wurden mit einem ICP-OES-Simultangerät (Fisons Maxim) auf Haupt- und Spurenelemente gemessen. Als besonders problematisch erwiesen sich bei den untersuchten Proben die oft hohen Sulfatanteile, welche das Zusetzen der Zerstäuberdüse verursachten. Da die Reproduzierbarkeit der Messungen entscheidend von einer konstanten Probenzufuhr abhängt, wurden zur Überwachung der Stabilität jeweils nach 5 bis 8 Proben Kontrollösungen vermessen. Bei leichtem Driften wurden die Resultate der Probenmessungen rechnerisch korrigiert. Bei starker Instabilität mußte das Gerät jeweils neu konditioniert und die entsprechenden Proben nachverdünnt analysiert werden. Hierbei ist anzumerken, daß im Königswasseraufschluß generell 1g Probe je 100ml Säure gelöst werden (Verdünnungsfaktor 100).

Sowohl die hohe Matrixbelastung als auch die oft erforderliche Nachverdünnung, z.T. bis auf den Faktor 2000, beeinträchtigen die optimale Nutzung der gerätespezifischen Nachweisgrenzen. Vor allem im Falle der Eluate ist somit die Routineanalytik mittels ICP-OES unter Verwendung kalibrierter Eichkurven für einzelne Elemente nicht mehr möglich. In diesen Fällen wird zunächst versucht, durch Messungen im Wechselschrittverfahren die Probengehalte mit Blindwertmessungen abzugleichen. In jedem Falle erwiesen sich die Pb-, und z.T. auch die Cd-Werte im Eluat als unterhalb der Nachweisgrenze.

Aus diesen Gründen mußte für die Blei- und Cadmiummessung zuvor eine Ionentrennung vorgenommen werden (Abtrennung der Alkali- und Erdalkali-

matrix) und die so behandelten Proben am Graphitofen-AAS untersucht werden (Verfahren vgl. Abschnitt 4.4.).

As, Hg und Se wurden am ICP-OES-Sequenzgerät mit Hydridzusatz analysiert (ARL 3520, Sequenzgerät, UV-Version). Hierbei wird die Eigenschaft dieser Elemente genutzt, mit Wasserstoff gasförmige Hydride zu bilden. Diese Gase werden über einen Argonstrom dem Plasma zugeführt und können sehr empfindlich gemessen werden. Voraussetzung für die Messungen sind, neben konstanten Förderraten bei der Durchmischung von Probe und Chemikalien, die zwischen Proben und Referenzlösung angeglichenen Temperaturen. Im Gegensatz zu der an der AAS ebenfalls verwendeten Hydridtechnik ist das ICP-Verfahren weniger anfällig gegen chemische Interferenzen durch edlere Metalle bei der Hydridbildung.

Da sich die Schwefelgehalte als entscheidendes Kriterium bei der Beurteilung der Proben erwiesen, wurde auf die Messungen dieses Elementes erhöhte Sorgfalt angewendet. Die Messungen erfolgten daher nicht nur mittels IR-Detektion nach Verbrennung im Sauerstoffstrom, sondern auch mittels ICP-OES (ARL 3520, Sequenzgerät, UV-Version), wobei mehrere Emissionswellenlängen angefahren wurden.

Die Messungen von pH-Wert, Ammonium- und Chlorid-Gehalten der Eluate erfolgten mittels ionenselektiver Sonden. Ebenso wurde die Leitfähigkeit der Eluate mit der Sonde gemessen. Die pH-Wert-Messungen erfolgten nach DIN 38404 C5, die Leitfähigkeitsmessungen nach DIN EN 27888 bzw. DIN 38404 Teil 8.

Abschließend sei erwähnt, daß die Analysenergebnisse des Labors bereits in mehreren Ringversu-

chen zertifiziert wurden (zuletzt: Umweltbehörde Hamburg, 5/97).

## 5.2. Röntgendiffraktometrie

Um den Hauptmineralbestand der untersuchten Gesteine zu prüfen, wurden von einigen Proben Röntgenaufnahmen mittels RDA (Röntgendiffraktometeranalyse) angefertigt. Dabei sollten von solchen Gesteinstypen, die in mehr als 3 Schichten auftreten, mindestens drei Proben ausgewählt werden. Wenn möglich mußten diese auch jeweils aus unterschiedlichen stratigraphischen Serien von Trias und Jura stammen. Die Einteilung der Gesteine erfolgte

dabei nach der chemischen Zusammensetzung, wie sie im Labor gemessen wurde, und beruht auf folgendem vereinfachenden Prinzip (siehe auch Kapitel 8: Korrelationen sowie Anhang: *Tab. 8c: Geologische Schichten und ihre zugehörigen Gesteinstypen*):

- Gehalt an Aluminium (als Maß für den Tonanteil)
- Gehalt an Calcium und karbonatisch gebundenem Kohlenstoff (Bestimmung des Kalkanteiles)
- Gehalt an organisch gebundenem Kohlenstoff (für Gesteine mit hohem organischen Anteil, z.B. Schwarzschiefer)
- Sulfatgehalt (v.a. für stark gipshaltige Gesteine)

Zur Messung mittels RDA ausgewählte Gesteine bzw. Schichten:

|                                |                                                                                                                                                                     |
|--------------------------------|---------------------------------------------------------------------------------------------------------------------------------------------------------------------|
| <b>Tone ( T ):</b>             | km3u, Rote Wand (Keuper)<br>sjß , untere Schwarzzuratone (Schwarzer Jura)<br>bjα , Opalinuston (Brauner Jura)                                                       |
| <b>Sandige Tone ( sT ):</b>    | so, Röttone (Buntsandstein)<br>ku Basis, Vitriolschiefer (Keuper)<br>km2, dunkle Tone im Schilfsandstein (Keuper)                                                   |
| <b>Tonige Mergel ( tM ):</b>   | mo2, Tonhorizonte (Muschelkalk)<br>km1, Bochinger Horizont (Keuper)<br>km5, Knollenmergel (Keuper)                                                                  |
| <b>Sandige Mergel ( sM ):</b>  | sjα2, Angulatensandstein (Schwarzer Jura)<br>bjß , oberer Donzdorfer Sandstein (Brauner Jura)<br>bjδ , Hamitenton (Brauner Jura)<br>bjζ , Ornatenton (Brauner Jura) |
| <b>Mergelige Kalke ( mK ):</b> | mo2, Mergel/Tone im ob. Abschnitt (Muschelkalk)<br>sjγ , untere Schwarzzuramergel (Schwarzer Jura)<br>wjα , untere Weißjuramergel (Weißer Jura)                     |

Die Aufnahmen der Pulverpräparate (natur, Feinkorn  $<2\mu$ ) wurden von  $3^{\circ}$ - $65^{\circ}$  ( $2\vartheta$ ) gefahren. Als Meßgerät diente ein Röntgendiffraktometer der Fa. Phillips (Röhre Typ PW1730/10; Graphit-Monochromator;  $\text{CuK}\alpha$ -Strahlung [ $\lambda = 1,542 \text{ \AA}$ ]).

Das Hauptaugenmerk bei dieser Untersuchung lag insbesondere auf der Identifizierung der Tonminerale, da diese bei der Freisetzung von Schwermetallen im S4-Laugungsversuch den wichtigsten Faktor darstellen (adsorptive Bindung).

Daher wurden die Proben in einem zweiten Durchlauf unter  $2\theta$ -Winkeln von  $3^\circ$ - $15^\circ$  gemessen, wobei jede Probe als Feinstkorn-Präparat ( $<2\mu$ ), glycolbehandelt sowie gegläht ( $550$ - $600^\circ\text{C}$ ) vorlag. Die Unterschiede in den drei daraus resultierenden Röntgenkurven erlauben Rückschlüsse auf die Art des Tonminerales. Dies gilt insbesondere für die quellfähigen Chlorite, von denen der Corrensit häufiger Bestandteil des süddeutschen Keupers ist [LIPPMANN 1954]. Die  $d$ -Werte von quellfähigen Chloriten liegen im allgemeinen um  $28\text{\AA}$  und steigen durch Glycol-

Absorption auf  $32\text{\AA}$ . Nach Glühen bei  $450$ - $500^\circ\text{C}$  fällt der  $d$ -Wert auf  $13,8\text{\AA}$  zurück. Dieses Verhalten und die angegebenen  $d$ -Werte können jedoch aufgrund der komplexen Strukturen der Minerale unterschiedlich ausfallen [CARROL 1970].

Wie die Ergebnisse zeigen (siehe Abschnitt 7.8.) bestätigte sich die postulierte Annahme von Corrensit in den Tönen der Keuperproben.

Die Diagramme der Röntgenaufnahmen der Tonmineralanalyse finden sich im Anhang (Abb. 7.8.A - 7.8.P).

## 6. Toxikologie, Grenz- und Richtwertklassen

### 6.1. Toxikologie der natürlichen Spezies

Der größte Teil der in dieser Arbeit untersuchten Stoffe weist in seiner elementaren oder in einigen Verbindungen auftretenden Form für den Menschen und andere Lebewesen toxische Eigenschaften auf. Dies kann insbesondere bei der Wiederverwendung von abgebauten Gesteinen relevante Auswirkungen nach sich ziehen (z.B. Grundwasserbelastung). Im folgenden werden daher die Schädwirkungen einer Reihe dieser Elemente bzw. Elementverbindungen in einer Übersicht aufgeführt (Tab. 6.1.1.). Da die meisten der aufgeführten Elemente für Lebewesen es-

sentiell sind, beziehen sich die beschriebenen Erkrankungen zumeist auf akute Überdosen oder übermäßige Langzeitaufnahmen. Die dargestellten Wirkungen stellen zumeist jedoch nur einen Ausschnitt der möglichen Folgeerscheinungen von Vergiftungen dar, da eine vollständige Aufstellung den Rahmen dieser Arbeit überschritten hätte.

Die Angaben wurden der Datenbank **Giftliste<sup>PC</sup>** von ROTH & DAUNDERER (ecobase Software, ecomed verlagsgesellschaft AG & Co. KG, Landsberg 1996) sowie MERIAN (1984) entnommen.

**Tab. 6.1.1.: Toxikologie d. natürlichen Spezies (nach ROTH & DAUNDERER: Giftliste<sup>PC</sup> 1996) und MERIAN (1984)**

| Element / Verbindung                         | Wirkcharakter                                                                                                                                                                                                                                                                                                                         |
|----------------------------------------------|---------------------------------------------------------------------------------------------------------------------------------------------------------------------------------------------------------------------------------------------------------------------------------------------------------------------------------------|
| Aluminium                                    | Schäden des Nervensystems. Atemwegserkrankungen bei Einatmen von Rauch und Staub.                                                                                                                                                                                                                                                     |
| Al-Hydroxid, Al (OH) <sub>3</sub>            | Reizwirkung in den Augen und im Magen-Darmtrakt. Brechreiz, Durchfall. Hustenreiz beim Einatmen.                                                                                                                                                                                                                                      |
| Aluminiumnitrat                              | Nervengift: Erst Erregung, Schwindel, Krämpfe, Gleichgewichtsstörungen, evtl. Halluzinationen, dann Atemdepression, Atemstillstand, Koma.                                                                                                                                                                                             |
| Aluminiumoxid Al <sub>2</sub> O <sub>3</sub> | siehe Al-Hydroxid.                                                                                                                                                                                                                                                                                                                    |
| Arsen                                        | Überdosis tödlich. Nervengift (siehe Al-Nitrat). Karzinogen, teratogen, mutagen. Schädigung von Haut, Herz und Leber. Rückbildung des Knochenmarks.                                                                                                                                                                                   |
| Arsenverbindungen                            | krebserzeugend / krebverdächtig                                                                                                                                                                                                                                                                                                       |
| Blei / Bleiverbindungen                      | Fruchtschädigend, Verdacht auf Fortpflanzungsgefährdung. Umweltgift: Speicherung im Organismus, Schädigung von Blutbildung, Immunsystem, Nervensystem, Stoffwechsel, ZNS. Nervengift (siehe Al-Nitrat).                                                                                                                               |
| Boroxid B <sub>2</sub> O <sub>3</sub>        | Nervengift (siehe Al-Nitrat).                                                                                                                                                                                                                                                                                                         |
| Bortrichlorid BCl <sub>3</sub>               | Lungenreizstoff                                                                                                                                                                                                                                                                                                                       |
| Cadmium / Cadmiumverbindungen                | Karzinogen. Umweltgift: Speicherung im Organismus, Schädigung von Nervensystem, Niere, Lunge, Stoffwechsel, ZNS. Knochenveränderungen. Phytotoxisch (Chlorosen, Nekrosen).                                                                                                                                                            |
| Chrom-VI-Verbindungen                        | Karzinogen. Nervengift (siehe Al-Nitrat). Schwere Leber- u. Nierenschäden. Lungenkrebs (v.a. durch Chromate). Hautgeschwüre bei Kontakt. Allergieauslöser. Arteriosklerose bei Chrommangel. Toxisch für Wasserorganismen (Hautschädigungen). Bereits in geringen Konz. phytotoxisch (kurze Wirkungsdauer, da Reduktion zu Chrom III). |
| Cobalt                                       | Gelegentlich sensibilisierend, krebverdächtig. Störungen der Schilddrüsenfunktion. Schädigung des Herzmuskels (tödl. Herzversagen) bei chronischer Aufnahme. Lungenschäden.                                                                                                                                                           |
| Eisen / Fe-Verbindungen                      | Schädigung der Leber.                                                                                                                                                                                                                                                                                                                 |
| Kalium                                       | Nierengift.                                                                                                                                                                                                                                                                                                                           |
| Kupfer                                       | Nierengift, Lebergift. Wilsonsche Krankheit. Toxische Wirkung auf Wiederkäuer (Leber- und Blutschädigung). Phytotoxisch (Schädigung d. Wurzelwachstums). Hochtoxisch für viele Bakterien.                                                                                                                                             |
| Magnesium                                    | Nierenschäden, Lähmung der Skelettmuskulatur, Herzstörungen.                                                                                                                                                                                                                                                                          |
| Mangan                                       | Atemwegserkrankung (Manganpneumonie). Manganismus (ähnlich Parkinson). Überschuss verursacht bei Pflanzen Chlorose.                                                                                                                                                                                                                   |
| Nickel                                       | Allergieauslöser, stark sensibilisierend, häufigstes Kontaktallergen. Karzinogen. Umweltgift: Speicherung, Schädigung v. Stoffwechsel u. ZNS. Reizstoff. Atemwegserkrankungen, Lungenkrebs. Phytotoxisch.                                                                                                                             |
| Quecksilber                                  | Allergieauslöser. Karzinogen, teratogen. Umweltgift: Speicherung, Schädigung von Herz, Immunsystem, Leber, Nervensystem, Niere, Stoffwechsel, ZNS. Nervengift (siehe Al-Nitrat).                                                                                                                                                      |
| Schwefel                                     | Reizstoff.                                                                                                                                                                                                                                                                                                                            |
| Selen                                        | Essentiell, daher auch Unterdosierungen gesundheitsschädigend. Selten sensibilisierend. Toxisch bei Inhalation. Lungenerkrankungen. Tödliche Vergiftungen bei Überdosis. „Enshikrankheit“. Akute und chronische Vergiftungen bei Rindern („blind staggers“, „alkali disease“). Erzeugt bei einigen Pflanzen Chlorose.                 |



## 6.2. Grenz- und Richtwertklassen

Für eine Einschätzung der potentiellen Umweltgefährdung durch die untersuchten Gesteine müssen entsprechende Grenz- und Richtwerte Berücksichtigung finden, die entweder eine gesetzliche Vorschrift bilden oder aber auf (inter-) national anerkannten Empfehlungen von Fachgremien beruhen. Bei der

Zuordnung zu diesen Grenz- und Richtwerten ist zwischen Gesteins- (Boden-) material und deren Eluat zu unterscheiden. Für die vorliegenden Untersuchungen wurden verschiedene Grenz- und Richtwertlisten zur Einstufung der geologischen Formationen bezüglich ihrer Wiederverwertung herangezogen [z.T. aus: HEIN & SCHWEDT 1992]. Im einzelnen sind dies:

- **Verordnung über Trinkwasser und über Wasser für Lebensmittelbetriebe (Trinkwasserverordnung – TrinkwV) im Bundesgesetzblatt Nr.66 vom 12. 12. 1990 (Seiten 2612-2632),**
- **Grenzwertliste nach KLOKE [Bad.-Württ. 1980],**
- **Klärschlammverordnung [1992],**
- **VwV Anorganische Schadstoffe – Prüfwerte [Umweltminist. Bad.-Württ. 1993],**
- **„Hollandliste“ [1988] (nur für Barium),**
- **Grenzwertliste nach EIKMANN-KLOKE [1993] (nur für Arsen, Quecksilber, Selen),**
- **Zuordnungswerte für Boden bzw. Eluat der Länderarbeitsgemeinschaft Abfall (LAGA) – Technische Regeln vom 1. März 1994 („Anforderungen an die stoffliche Verwertung von mineralischen Reststoffen/Abfällen“).**

Die in dieser Untersuchung verwendeten Grenz-, Richt- und Zuordnungswerte sind in den nachfolgenden Tabellen aufgelistet.

Ein guter Ansatzpunkt zur Beurteilung der öko-toxikologischen Relevanz der aus den Versuchen

gewonnenen S4-Eluate stellen die Grenzwerte der Trinkwasserverordnung dar. Sie führen gleichsam auf anschauliche Weise das Gefährdungspotential abgebauter Gesteine vor Augen:

**Tab. 6.2.1.: Grenzwerte der Trinkwasserverordnung von 1990 (Zuordnung zu Eluaten):**

| Bezeichnung   | Grenzwert mg/l                 | Richtwert mg/l |
|---------------|--------------------------------|----------------|
| pH-Wert       | 6,5 - 9,5                      |                |
| Leitfähigkeit | 2000 µS/cm                     |                |
| Arsen         | 0,01                           |                |
| Blei          | 0,04                           |                |
| Cadmium       | 0,005                          |                |
| Chrom         | 0,05                           |                |
| Nickel        | 0,05                           |                |
| Quecksilber   | 0,001                          |                |
| Aluminium     | 0,2                            |                |
| Ammonium      | 0,5 (30, wenn geogen bedingt)  |                |
| Barium        | 1                              |                |
| Bor           | 1                              |                |
| Calcium       | 400                            |                |
| Chlorid       | 250                            |                |
| Eisen         | 0,2                            |                |
| Kalium        | 12 (50, wenn geogen bedingt)   |                |
| Magnesium     | 50 (120, wenn geogen bedingt)  |                |
| Mangan        | 0,05                           |                |
| Natrium       | 150                            |                |
| Sulfat        | 240 (500, wenn geogen bedingt) |                |
| Kupfer        |                                | 3              |
| Zink          |                                | 5              |

Auf der Basis von Untersuchungen von Schwermetallgehalten in Böden erstellte **KLOKE** (1980) seine „Orientierungswerte für tolerierbare Gesamtgehalte einiger Elemente in Böden“. Diese fanden schließlich auch Eingang in die **Klärschlammverordnung** [AbfKlärV 1982 & 1992] und die sogenannte „**Hollandliste**“ [NL 1983 & 1988]. Die Klope-Werte sind als Prüfwerte größtenteils auch in der baden-württembergischen **VwV anorg. Schadstoffe** enthalten [Umweltministerium Baden-Württemberg 1993].

Die Klokelliste stellt somit eine anerkannte Gefährdungseinstufung von Elementgesamtgehalten dar. Dabei ist allerdings zu berücksichtigen, daß im vorliegenden Fall Gesteine untersucht wurden, deren Stoffgehalte im Vergleich zu Böden aufgrund differierender Bindungsformen unterschiedliche Gefährdungspotentiale darstellen. Da jedoch keine Grenzwertlisten für Gesteine existieren, müssen die entsprechenden Bodenwerte herangezogen werden.

**Tab. 6.2.2.: Grenzwerte (mg/kg) für Böden (Gesamtgehalte) nach KLOKE [Bad.-Württ. 1980] bzw. AbfKlärV [1992] bzw. Prüfwerte VwV anorg. Schadstoffe [Bad.-Württ. 1993]; (Zuordnung zu Gesteinen):**

| Bezeichnung | Grenzwert (mg/kg) |
|-------------|-------------------|
| Bor         | 25                |
| Zink        | 200               |
| Blei        | 100               |
| Cadmium     | 1,5               |
| Cobalt      | 50                |
| Nickel      | 50                |
| Chrom       | 100               |
| Vanadium    | 50                |
| Kupfer      | 60                |

Da in Bezug auf die Gesamtgehalte an Barium in den bisher zur Beurteilung herangezogenen Listen keine Grenz- bzw. Prüfwerte festgelegt wurden, mußte für diesen speziellen Fall die **Hollandliste** berücksichtigt werden.

**Tab. 6.2.3.: Hollandliste [1988] (Zuordnung zu Gesteinen)**

| Bezeichnung | Prüfwert f. nähere Untersuchung |
|-------------|---------------------------------|
| Barium      | 400 mg/kg                       |

In der Klokelliste von 1980 fehlen überdies die Grenzwerte für Arsen, Quecksilber und Selen. Daher wurde für diese Elemente die aktuelle Liste nach **EIKMANN-KLOKE** (1993) herangezogen (vgl. auch **Klärschlammverordnung** 1992).

**Tab. 6.2.4.: Grenzwerte (mg/kg) nach EIKMANN-KLOKE [1993] (Zuordnung zu Gesteinen)**

| Bezeichnung | Grenzwert (mg/kg) |
|-------------|-------------------|
| As          | 20                |
| Hg          | 0,5               |
| Se          | 1                 |

Die **Z-Werte der LAGA** (1994) verstehen sich als hierarchische Gliederung für Maßnahmen beim Einbau bzw. der Wiederverwendung von Böden, zu denen im Sinne der LAGA auch Festgesteine gehören. Dabei repräsentiert Z0 in etwa den natürlichen Hintergrundwert, wobei ein uneingeschränkter Einbau möglich ist. Bei Gehalten bis zu den Z1-Werten sind Einschränkungen bestimmter Nutzungsmöglichkeiten vorgesehen. Beim Einbau von Materialien mit Gehalten bis Z2 müssen definierte technische Sicherungsmaßnahmen für den Grundwasserschutz vorgenommen werden. Die Z-Werte gelten bundesweit für Verwendungen von Materialien als Baustoff für Erdbauwerke oder Füllkörper von Rohstoffabbaustätten [v.d. TRECK 1997], und werden somit den Anforderungen an das Thema der vorliegenden Arbeit gerecht.

Die Zuordnungswerte der LAGA sind getrennt nach Gehalten für Feststoffe (Gesamtgehalte des Materials) und Eluat eines Materials:

**Tab. 6.2.5.: Zuordnungswerte (mg/kg) Feststoff für Boden: Z0, Z1.1, Z1.2 u. Z2 [LAGA 1994]**

| Parameter    | Dimension | Z0      | Z1.1    | Z1.2  | Z2   |
|--------------|-----------|---------|---------|-------|------|
| pH-Wert      |           | 5,5 - 8 | 5,5 - 8 | 5 - 9 | ---  |
| Arsen        | mg/kg     | 20      | 30      | 50    | 150  |
| Blei         | mg/kg     | 100     | 200     | 300   | 1000 |
| Cadmium      | mg/kg     | 0,6     | 1       | 3     | 10   |
| Chrom (ges.) | mg/kg     | 50      | 100     | 200   | 600  |
| Kupfer       | mg/kg     | 40      | 100     | 200   | 600  |
| Nickel       | mg/kg     | 40      | 100     | 200   | 600  |
| Quecksilber  | mg/kg     | 0,3     | 1       | 3     | 10   |
| Zink         | mg/kg     | 120     | 300     | 500   | 1500 |

**Tab. 6.2.6.: Zuordnungswerte (mg/l) Eluat für Boden: Z0, Z1.1, Z1.2 u. Z2 [LAGA 1994]**

| Parameter         | Dimension | Z0      | Z1.1    | Z1.2   | Z2       |
|-------------------|-----------|---------|---------|--------|----------|
| pH-Wert           |           | 6,5 - 9 | 6,5 - 9 | 6 - 12 | 5,5 - 12 |
| el. Leitfähigkeit | µS/cm     | 500     | 500     | 1000   | 1500     |
| Chlorid           | mg/l      | 10      | 10      | 20     | 30       |
| Sulfat            | mg/l      | 50      | 50      | 100    | 150      |
| Arsen             | µg/l      | 10      | 10      | 40     | 60       |
| Blei              | µg/l      | 20      | 40      | 100    | 200      |
| Cadmium           | µg/l      | 2       | 2       | 5      | 10       |
| Chrom (ges.)      | µg/l      | 15      | 30      | 75     | 150      |
| Kupfer            | µg/l      | 50      | 50      | 150    | 300      |
| Nickel            | µg/l      | 40      | 50      | 150    | 200      |
| Quecksilber       | µg/l      | 0,2     | 0,2     | 1      | 2        |
| Zink              | µg/l      | 100     | 100     | 300    | 600      |

## **7. Meßergebnisse**

Insgesamt resultiert aus den Untersuchungen eine Gesamtzahl von ca. 20000 Analysenwerten. Die Meßergebnisse aus den einzelnen Untersuchungsverfahren sind im Anhang für jede Probe zusammengefaßt (vgl. Anhang: *Tab. 7.A1. - 7.A6.*).

Ebenfalls als Anlage werden die gemittelten oder anderweitig komprimierten Daten angeführt (siehe Anhang: *Tab. 7.1.1., 7.2.1 - 7.2.8, 7.3.1 - 7.3.11., 7.4.1.*). Darin sind für jede untersuchte geologische Formation der Mittelwert der in ihr gemessenen Proben für jedes analysierte Element angegeben, getrennt nach Gesamtgehalten (Königswasseraufschluß) und Eluatgehalten (S4-Wasseraufschluß). Als zusätzliche Angaben finden sich die Anzahl der gemessenen Proben pro Schicht ( $n$ ), der sich daraus ergebende Mittelwert  $\bar{x}$  sowie die zugehörige Standardabweichung  $s$ . Da alle Meßwerte einer Formation einem Ausreißertest unterzogen [Extremwerttest nach NALIMOV, in: KAISER & GOTTSCHALK 1972] und signifikante bzw. hochsignifikante Extremwerte eliminiert wurden, sind gegebenenfalls die Anzahl der Proben nach Entfernung der Extremwerte  $n_E$  sowie die sich daraus neu ergebenden Mittelwerte  $\bar{x}_E$  und Standardabweichungen  $s_E$  aufgeführt. Somit ist der endgültige Elementgehalt einer Formation der Mittelwert nach der Extremwertbereinigung  $\bar{x}_E$ . Im Falle des Fehlens von Ausreißern ist  $\bar{x}_E$  identisch mit  $\bar{x}$ .

Schließlich werden in den Tabellen für jedes Element die für Gesamt- und Eluatgehalte relevanten Grenzwerte angegeben. Grenzwertüberschreitende Mittelwerte sind fett dargestellt. Die Meßwerte der mit »  $<X, X$  « versehenen Schichten sind kleiner als die angegebene instrumentelle Nachweisgrenze ( $X$  = Platzhalter für natürliche Zahlen). Dabei ist zu be-

rücksichtigen, daß dieser Wert für die Gesamtgehalte nicht die reale Nachweisgrenze darstellt, da diese mit dem jeweiligen Verdünnungsfaktor multipliziert wurde.

Die Meßwerte der Proben des ausgelaugten Gipskeuper werden gesondert aufgeführt.

Es ist festzustellen, daß sich die oft hochdifferenzierte stratigraphische Ansprache einzelner Schichtglieder, wie sie im Gelände vorgenommen werden kann, geochemisch häufig nicht verifizieren läßt. Vielmehr bestehen nach den Maßgaben der Statistik zwischen vielen Gesteinsschichten keine signifikanten Unterschiede der Elementkonzentrationen.

Darüber hinaus ist zu konstatieren, daß hohe Gesamtgehalte an Schwermetallen im allgemeinen nicht mit entsprechend hohen Konzentrationen der Eluate korrelieren (vgl. Abschnitt 11.2.). Die Eluierbarkeit wird vielmehr von der mineralischen Bindungsform der Schwermetalle sowie der Konzentration der gelösten Begleitelemente kontrolliert (Ionenstärke des Eluates, vgl. auch Kapitel 10).

### **7.1. pH-Werte und Leitfähigkeit**

Bei den pH-Werten sind die Spannweiten der jeweiligen Probenmessungen einer Formation angegeben, bei der Leitfähigkeit deren Mittelwerte (Daten siehe *Tab. 7.1.1., Anhang*).

#### **pH-Werte**

Die pH-Werte der Gesteine wurden analog DIN 38414 Teil 5 bestimmt. Sie liegen generell zwischen

7,1 und 8,7 und sind somit gemäß Trinkwasserverordnung (6,5-9,5) nicht grenzwertrelevant. Lediglich im Unteren Donzdorfer Sandstein des Braunen Jura  $\beta$  findet sich ein Minimalwert von pH 5,9, der den Grenzwert der Trinkwasserverordnung unterschreitet. Dies gilt im selben Maße für die Z-Werte (Eluat) der LAGA. Legt man die Z-Werte (Boden) zugrunde, so erfüllen die meisten Schichten die Richtlinien nicht, da ihre maximalen pH-Werte die Obergrenze für Z0-Z1.1 überschreiten (pH 8). Dies kann im vorliegenden Fall jedoch nicht als relevant angesehen werden, da die pH-Wert-Messungen ausschließlich an den Eluaten vorgenommen wurden.

Im allgemeinen sind die Abweichungen zwischen den pH-Werten der Proben einer geologischen Schicht nur gering. Die pH-Werte der Trias- und Weißjuraschichten beginnen zumeist erst oberhalb 8,0, was auf ihren durchgängig erhöhten Kalkanteil zurückzuführen ist (max. 8,3 in  $\text{CaCO}_3$ -haltigen Böden und Wässern; i.a. zwischen 7,2 und 8,3 [SCHEFFER & SCHACHTSCHABEL 1992, MÖLLER 1986]), während diejenigen der Schwarz- und Braunjuraschichten größtenteils bereits im pH-Bereich von 7 einsetzen. Werte von 9 oder größer werden in keinem Fall erreicht.

### Leitfähigkeiten

Die Ergebnisse der Leitfähigkeitsmessungen zeigen eine deutliche Variabilität zwischen den Formationen. Die höchsten Werte werden hier in den Grundgipsschichten und dem Mittleren Gipshorizont des km1 erreicht ( $>2000\mu\text{S}/\text{cm}$ ), wo der Grenzwert der Trinkwasserverordnung von  $2000\mu\text{S}/\text{cm}$  überschritten wird. Weiterhin sind hohe Werte in vielen Schichten des Oberen Muschelkalkes sowie des Schwarzen und Braunen Jura festzustellen, die sich in Bereichen zwischen 500 und  $900\mu\text{S}/\text{cm}$  bewegen,

wobei die Z0-Z1.1-Werte (Eluat) der LAGA von  $500\mu\text{S}/\text{cm}$  z.T. deutlich überschritten werden.

Ein Vergleich mit den Sulfat-Eluatgehalten zeigt den Grund für die häufigen hohen Leitfähigkeitswerte. Erhöhte Sulfatgehalte im Eluat finden sich in den gips- und sulfidreichen Schichten, die durch Gipslösung bzw. Autoxidierung von Sulfid größere Mengen von  $\text{SO}_4$  in Lösung gehen lassen. Dies führt analog schließlich auch zu erhöhten Leitfähigkeitswerten.

## **7.2. Gesamt- und Eluatgehalte an Hauptelementen**

Als Hauptelemente sind nachfolgend aufgeführt: Aluminium, Natrium, Calcium, Eisen, Mangan, Kalium, Magnesium und Schwefel (als Sulfat berechnet). Die Mittelwerte aus den S4-Eluaten beziehen sich direkt auf die Einzelwerte, wie sie aus den nach DIN 38414 Teil 4 hergestellten Lösungen gemessen wurden. Der bei der Herstellung des Eluates verwendete Verdünnungsfaktor von 1:10 muß dabei unberücksichtigt bleiben, weil einige Elemente bereits ihre Sättigungskonzentration in der Lösung erreicht haben. Da diese nicht mehr überschritten werden kann, würde eine Einbeziehung des Verdünnungsfaktors irrealere Werte erzeugen.

Alle Daten finden sich in den Tabellen 7.2.1. - 7.2.8. des Anhangs. Zu den Angaben von Al, Fe und Mn ist Abschnitt 4.3.1. zu berücksichtigen.

### Aluminium

Die Al-Gesamtgehalte stellen ein Maß für den Tonanteil eines Sedimentgesteins dar. Obwohl der Königswasseraufschluß nur einen Teil des Gesamt-Al

erfaßt, dokumentieren die Werte für die verschiedenen Schichten die Gesteinskomponenten. Die kalkigeren oder sandigeren Formationen enthalten im Königswasserauszug entsprechend weniger Aluminium als die tonreicheren. Die geringsten Gehalte finden sich in den Grundgipsschichten des km1 (1800mg/kg), der aufgrund seines extrem hohen Gipsanteiles keine relevanten Anteile an Tonmineralen enthält. Auch sind große Teile des Braunen Jura tonmineralärmer. So enthält die gesamte Abfolge von den Zopfplatten des Braunen Jura  $\beta$  bis hoch zum Parkinsoni-Oolith des Braunen Jura  $\delta$  jeweils weniger als 10000mg/kg Al pro Schicht.

Trias und Schwarzer Jura zeigen, mit Ausnahme einiger Kalk- und Sandsteine sowie dem bereits angesprochenen Grundgips, zumeist höhere Gehalte an Al. Der weitaus höchste Gehalt wird mit fast 45000mg/kg Al in den äußerst tonreichen Gesteinen der Roten Wand (km3u) erreicht.

Die S4-Gehalte zeigen im allgemeinen Werte  $<0,1\text{mg/l}$ . Die Eluate der Röttone sind demgegenüber mit  $0,13\text{mg/l}$  leicht erhöht. Spitzenwerte werden lediglich im Keuper bei den Grundgipsschichten des km1 ( $0,28\text{mg/l}$ ) und den Tonsteinen im Schilfsandstein ( $0,78\text{mg/l}$ ) erreicht. Diese Gehalte überschreiten auch die Grenzwerte der Trinkwasserverordnung von  $0,2\text{mg/l}$ . Generell werden die gelösten Gehalte durch die Sättigungskonzentration der Lösung bestimmt, die wiederum abhängig ist von der Art der Ausgangsminerale, den Mineralparagenesen sowie dem pH-Wert, der Leitfähigkeit, der Temperatur und dem  $\text{CO}_2$ -Partialdruck der Lösung (siehe auch Kapitel 10: Geochemische Modellierungen).

### Natrium

Die Natriumgesamtgehalte, wie sie aus dem Königswasserauszug folgen, variieren von  $14\text{mg/kg}$  in den Röttonen des oberen Buntsandstein bis  $974\text{mg/kg}$

im Grenzglaukonit des Weißen Jura  $\alpha$ . Lediglich im Angulatensandstein des Schwarzen Jura  $\alpha_2$  liegen die Gehalte unterhalb der Nachweisgrenze ( $<1\text{mg/kg}$ ). Die weit überwiegende Anzahl der geologischen Formationen enthält Na-Gehalte  $>200\text{mg/kg}$ .

Die Eluatgehalte erstrecken sich von  $1,9\text{mg/l}$  bei den Psilonotentonen des Schwarzen Jura  $\alpha_1$  bis zu  $56,6\text{mg/l}$  bei den Ornatentonen des Braunen Jura  $\zeta$ . Während die Na-Werte aus der S4-Elution in den Schichten der Trias und des Schwarzen Jura zumeist geringer als  $10\text{mg/l}$  ausfallen, überschreiten die Braunjuraschichten diesen Wert in fast allen Fällen. Da die Proben des Braunen Jura fast gänzlich aus Bohrkernen gewonnen wurden, könnten hierbei Bohrspülungszusätze eine Rolle spielen. Der Grenzwert der Trinkwasserverordnung wird insgesamt nicht berührt.

### Calcium

Die Ca-Gesamtgehalte folgen dem Kalkgehalt des Gesteins. Daneben sorgen auch die gipsreichen Schichten für hohe Ca-Werte. Die höchsten Gehalte werden in den Mergeln des oberen Weißen Jura  $\gamma$  erreicht ( $303320\text{mg/kg Ca}$ ). Der Stubensandstein des km4 weist mit  $1170\text{mg/kg}$  die geringsten Ca-Werte auf.

Die eluierten Ca-Gehalte variieren stark. Dabei ist zu berücksichtigen, daß die Sättigungskonzentration der Lösung mit Ca in starkem Maße vom Ausgangsmineral abhängt. So kann bei hohen Salzlasten die Sättigungskonzentration für Calcium bei Gipslösungen weit über  $2000\text{mg/l}$  betragen. Unter „normalen“ Bedingungen erreichen diese Werte immer noch  $600\text{--}700\text{mg/l}$ . Die Sättigungskonzentration für Calcit liegt dagegen zumeist deutlich niedriger. Eine wichtige Rolle spielen dabei jedoch auch

die Begleitminerale (siehe auch Kapitel 10: Geochemische Modellierungen).

Die geringsten Eluatgehalte von 3mg/l finden sich im Stubensandstein, der bereits auch die niedrigsten Ca-Gesamtgehalte aufweist. Die höchsten gelösten Ca-Gehalte bieten die Eluate der gipsreichen Gesteine. So überschreiten die Grundgipsschichten mit 622mg/l und der Mittlere Gipshorizont mit 615mg/l (beide Schichten km1) deutlich den Grenzwert der Trinkwasserverordnung von 400mg/l. Trotzdem weisen die Schichten des Keuper insgesamt die geringsten Gehalte an gelöstem Ca auf.

### Eisen

Die Fe-Gesamtgehalte der untersuchten Gesteine werden insbesondere von Fe-Tonmineralen, Fe-Sulfiden und Fe-Oxiden bestimmt (siehe auch Kapitel 8: Korrelationen). Die Grundgipsschichten des km1 enthalten die geringsten Mengen an Fe, der Macrocephalus-Oolith des Braunen Jura  $\zeta$  die höchsten, wobei die Konzentrationen des letzteren durch Fe-Oolithe hervorgerufen werden.

Eisen ist in den S4-Eluaten größtenteils nur in geringen Mengen vorhanden. Im überwiegenden Teil der Gesteinseluaten konnten keine Fe-Gehalte oberhalb der instrumentellen Nachweisgrenze von 0,005mg/l festgestellt werden. Der höchste Wert wurde mit 0,925mg/l in den Eluaten der Unteren Schwarzzuratone gemessen. Dies ist auch der einzige Fall, in dem der Grenzwert der Trinkwasserverordnung von 0,2mg Fe/l überschritten wurde. In diesem Zusammenhang sei aber auf die starke Abhängigkeit der Fe-Sättigungskonzentration, insbesondere bei Fe-Sulfiden und -Oxiden, von den pH- und Eh-Bedingungen verwiesen (siehe Kapitel 10: Geochemische Modellierungen).

### Mangan

Die Mn-Gesamtgehalte reichen von 19mg/kg im Stubensandstein des km4 bis zu 4048mg/kg im Parkinsoni-Oolith des Braunen Jura  $\delta$ . Die Gesteine der meisten Schichten enthalten Mengen <1000mg Mn/kg.

Die Mn-Eluatgehalte fallen in den Triassschichten am geringsten aus. Hier wird kaum einmal der Wert von 0,02mg/l überschritten. Die Lösungskonzentrationen der Juraschichten sind dagegen zumeist deutlich höher (ca. Faktor 10). Der Spitzenwert wird mit 1,39mg Mn/l in den Eluaten des Angulatensandstein (Schwarzer Jura  $\alpha_2$ ) erreicht. Der Grenzwert der Trinkwasserverordnung von 0,05mg/l wird in 8 Fällen überschritten. Neben dem Angulatensandstein sind davon der Rhät-Tonstein (ko), der Pylonotenkalkstein (sj $\alpha_1$ ), die Seegrasschiefer, Tonmergel und Wilden Schiefer des sje sowie Personatensandstein und oberer Donzdorfer Sandstein (beide bj $\beta$ ) betroffen.

### Kalium

Für die K-Gesamtgehalte in den untersuchten Gesteinen sind überwiegend Kalium-Tonminerale und -Glimmer verantwortlich (siehe auch Kapitel 8: Korrelationen). Die niedrigsten Gehalte finden sich in den Pylonotenkalken des sj $\alpha_1$  (<9mg/kg), die höchsten in den Unteren Bunten Mergeln des km3u (22946mg/kg). Alle Schichten des Jura enthalten dabei K-Mengen <8000mg/kg. Gehalte >10000mg/kg sind dagegen ausschließlich in den Keuperschichten anzutreffen.

In den Gesteinseluaten sind die Kaliumgehalte recht gleichförmig. Sie liegen in den meisten Schichten zwischen 10 und 30mg/l. Die geringsten Werte weisen die Eluate der Oberen Schwarzzuratone

auf (1mg/l), die höchsten sind in den Lösungen der Vitriolschiefer des ku zu finden (48mg/l). Dies deutet auf eine durch unterschiedliche Ausgangsminerale und Mineralparagenesen für Kalium nur unwesentlich veränderbare Sättigungskonzentration. Da es sich bei den Eluatgehalten um geogen bedingte Werte handelt, wird der Grenzwert der Trinkwasserverordnung in keinem Fall überschritten (50mg/l, wenn geogen; andernfalls 12mg/l).

### Magnesium

Die Mg-Gesamtgehalte sind im Angulatensandstein des sjø2 am geringsten (1046mg/kg). Überhaupt finden sich unter den gesamten Juraschichten keine Gesteine mit Gehalten >10000mg Mg/kg. Dagegen sind Gesteine mit >15000mg Mg/kg in den Triassschichten eher die Regel. Der Höchstwert an Magnesium ist in den Dunkelroten Mergeln des km1 zu verzeichnen (68989mg/kg). Die Mg-Gehalte dieser Gesteine werden in der Hauptsache über ihren Anteil an Dolomit und/oder Mg-Tonmineralen definiert (siehe auch Kapitel 8: Korrelationen).

Die Mg-Werte in den Eluaten bewegen sich zwischen 1mg/l in den Oberen Schwarzjuratonen und 37mg/l im Rhät-Tonstein des ko. Die Variabilität ist insgesamt gering.

### Sulfat

Die Schwefelgesamtgehalte in den untersuchten Gesteinen werden in der Hauptsache von Sulfiden und Gips bestimmt. Die Meßergebnisse geben die Gehalte als Sulfat wieder. Dabei finden sich die höchsten Sulfatwerte in den Gipsgesteinen der Grundgipsschichten und des Mittleren Gipshorizontes (461411 bzw. 316492mg/kg). Die geringsten Gehalte

weisen mit 132mg/kg die Röttone des Oberen Buntsandstein auf. Mit Ausnahme der stark gipshaltigen Schichten des nicht ausgelaugten Gipskeuper sind die Sulfatgehalte im Keuper eher niedrig (meist <2000mg/kg), in den Juraschichten dagegen eher höher (meist >20000mg/kg). Hierbei scheint der größere Sulfidanteil der Juraschichten ausschlaggebend zu sein.

Die SO<sub>4</sub>-Gehalte in den Eluaten zeigen ein Bild ähnlich den Leitfähigkeiten, die überwiegend durch sie bestimmt werden. Die Sättigungskonzentrationen von SO<sub>4</sub> in den Lösungen sind zum großen Teil von der Art des Ausgangsmineralen und der Mineralparagenese abhängig. So lassen sich aus Gips unter den gegebenen Bedingungen theoretisch etwa 1600mg SO<sub>4</sub>/l lösen (siehe Kapitel 10: Geochemische Modellierungen), was bei den Gipsschichten des Keuper mit ca. 1530mg SO<sub>4</sub>/l auch erreicht wird. Die nächstkleinere Gehaltegruppe bildet dann der Lias ε mit Eluatwerten zwischen 500 und 650mg SO<sub>4</sub>/l. Darunter folgt eine weitere Gruppe mit bis zu ca. 350mg/l.

Insgesamt überschreiten 35 SO<sub>4</sub>-Eluatgehalte die Z0- bzw. Z1.1-Werte (Eluat; 50mg/l) der LAGA, 33 den Z1.2-Wert (100mg/l) und 30 den Z2-Wert (150mg/l). Der Grenzwert der Trinkwasserverordnung von 240mg SO<sub>4</sub>/l wird immerhin noch in 18 Fällen übertroffen. Von diesen Überschreitungen sind der gesamte Braune Jura, der größte Teil des Schwarzen Jura, alle untersuchten Schichten des mo2 sowie der Obere Keuper und insbesondere die stark gipshaltigen Schichten des km1 (Grundgips, mittlerer Gipshorizont) betroffen.

Die Sulfatproblematik wird in den nachfolgenden Kapiteln noch einmal ausführlich aufgegriffen und diskutiert.



### **7.3. Gesamt- und Eluatgehalte an Spurenelementen**

Folgende Spurenelemente wurden in die Untersuchungen einbezogen: Bor, Zink, Blei, Cadmium, Cobalt, Nickel, Chrom, Vanadium, Kupfer, Barium, Arsen, Quecksilber und Selen. In den Wassereluaten wurden Bor, Zink, Blei, Cadmium, Cobalt, Nickel, Chrom, Kupfer und Barium gemessen. Aufgrund nicht hinreichender instrumenteller Nachweisgrenzen bei gleichzeitig äußerst geringen Gehalten, mußten Messungen für Arsen, Quecksilber und Selen im Eluat entfallen.

Die Mittelwerte aus den S4-Eluaten beziehen sich auf die direkt aus der nach DIN 38414 Teil 4 hergestellten Lösung gemessenen Einzelwerte. Ebenso wie bei den Hauptelementen bleibt bei den Messungen der für die Herstellung des Eluates verwendete Verdünnungsfaktor von 1:10 unberücksichtigt, da einige Elemente bereits ihre Gleichgewichtskonzentration in der Lösung erreicht haben. Alle Daten sind in den Tabellen 7.3.1. - 7.3.11. des Anhangs zu finden.

#### **Bor**

Die Gesamtgehalte an Bor lagen in 5 Schichten unterhalb der Nachweisgrenze von 1mg/kg (Grundgipsschichten km1, Schilfsandstein km2, Untere Bunte Mergel km3u, Lehrbergschichten km3l, Angulatensandstein sjα2). Die höchsten Gehalte finden sich mit 63mg B/kg in den Dunkelroten Mergeln des km1. Insgesamt überschreiten 10 Gesteinschichten, von denen allein 8 dem Keuper angehören, den Grenzwert nach KLOKE bzw. Klärschlammverordnung bzw. VwV anorg. Schadstoffe Bad.-Württ. (25mg B/kg).

Die Gesteinseluate weisen keinerlei Grenzwertüberschreitungen für Bor auf. Die Gehalte variie-

ren hier zwischen 0,008mg/l im Mittleren Gipshorizont des km1 und 0,954mg/l im Ornatenton des Braunen Jura ζ. Dabei enthält der größte Teil der Eluate Werte >0,1mg B/l. Die Borgehalte aus den Braunjuragesteinen sind insgesamt höher als diejenigen der anderen Formationen (siehe auch Kapitel 8: Korrelationen).

#### **Zink**

Die Zn-Gesamtgehalte des Großteils der Schichten liegen zwischen 10 und 100mg/kg. Der geringste Wert findet sich im Grundgips des km1 (0,2mg Zn/kg), der höchste in den Oberen Schwarzzuramergerln des sjζ (256mg Zn/kg). Letzterer überschreitet somit den Grenzwert nach KLOKE bzw. der Klärschlammverordnung von 200mg Zn/kg. In drei weiteren Schichten wird zudem der Z0-Wert der LAGA von 120mg/kg übertroffen: Untere Schwarzzuramergerl sjγ, Seegrasschiefer sjε1, Wilde Schiefer sjε3. Diese vier Schichten liegen stratigraphisch eng beieinander und sind generell von ähnlicher chemischer Zusammensetzung (siehe auch Kapitel 8). Die Zn-Gehalte der innerhalb dieser Schichtfolge liegenden Formationen weisen darüber hinaus nur unwesentlich geringere Werte auf (>100mg/kg). Ausnahme bilden hierbei die Stinkkalke des sjε, bei denen aufgrund des größeren Kalkgehaltes ein Verdünnungseffekt auftritt.

In den S4-Eluaten liegen die Zn-Gehalte in 15 Fällen unterhalb der Nachweisgrenze von 0,0006mg/l. Obwohl die Grundgipsschichten die bei weitem niedrigsten Zn-Gesamtgehalte aufweisen (s.o.), treten in ihren Lösungen, aufgrund der starken Sulfatlöslichkeit, die höchsten Werte auf (0,02mg Zn/l). Insgesamt sind bei den Eluaten keinerlei Grenzwert- bzw. Richtwertüberschreitungen festzustellen.

Blei

Die Pb-Gesamtgehalte bewegen sich generell zwischen 1,8mg/kg in den Estherienschiefern des km1 und 40,5mg/kg in den Wilden Schiefern des sje3. Lediglich die Psilonotenkalke im Schwarzen Jura  $\alpha$ 1 weisen einen Spitzenwert von 349mg Pb/kg auf. Die 2 gemessenen Proben dieses Gesteins unterschieden sich in ihren Gehalten jedoch beträchtlich, so daß der Gesamtwert kaum repräsentativ für das Gestein sein dürfte. Wahrscheinlicher ist hierbei eine lokale, punktuelle Vererzung. Dieser Wert bleibt auch die einzige Grenzwertüberschreitung nach KLOKE (100mg Pb/kg).

Aufgrund meßtechnischer Schwierigkeiten konnten 9 Gesteinseluat nicht auf Blei untersucht werden. Von den gemessenen Lösungen liegen 15 unterhalb der Nachweisgrenze von 0,0045mg Pb/l. In 2 Fällen wird der Grenzwert der Trinkwasserverordnung und der Z1.1-Wert (Eluat) nach LAGA überschritten (beide 40µg/l): Untere Bunte Mergel km3u (51µg Pb/l) und Psilonotentone sj $\alpha$ 1 (50µg Pb/l). Zwei weitere Proben liegen oberhalb des Z0-Wertes von 20µg/l: Vitriolschiefer ku (21µg Pb/l) sowie Dunkle Mergel km2 (27µg Pb/l).

Cadmium

Die Cadmium-Gesamtgehalte in den Braunjura-proben, die aus den Bohrkernen der Bohrungen 401, 403 und 404 gewonnen wurden, liegen sämtlich unterhalb der Nachweisgrenze von 0,002mg/kg. Hier handelt es sich möglicherweise um lokale Abreicherungen an Cd, da demgegenüber der andernorts beprobte, ebenfalls dem Braunjura entstammende Opalinuston mit 1,22mg Cd/kg den Z1.1-Wert (Boden) der LAGA (1mg Cd/kg) überschreitet. Insgesamt übertreffen 22 Gesteinsschichten Grenz- bzw. Richt-

werte für Boden, davon 2 den Z1.2-Wert der LAGA von 3mg/kg (Obere Schwarzzuramergel sj $\zeta$ : 4,77mg Cd/kg, Wilde Schiefer sje3: 3,23mg Cd/kg) und weitere 3 den Grenzwert nach KLOKE von 1,5mg/kg (Angulatensandstein sj $\alpha$ 2: 1,67mg Cd/kg, Seegrasschiefer sje1: 1,82mg Cd/kg, Tonmergel sje2: 2,22mg Cd/kg). Die höchsten Cd-Gehalte finden sich somit hauptsächlich in den stärker vererzten Tongesteinen des Schwarzen Jura.

Von den S4-Eluaten liegen 41 unterhalb der Nachweisgrenze (0,0006mg Cd/l). Die Lösungen der Tonmergel des sje2 (3,4µg Cd/l) überschreiten den Z1.1-Wert der LAGA von 2µg Cd/l. Die Eluate der Seegrasschiefer sje1 (9,7µg Cd/l), Grundgipsschichten km1 (6,6µg Cd/l) sowie der Wilden Schiefer sje3 (6,2µg Cd/l) liegen oberhalb des Grenzwertes der Trinkwasserverordnung bzw. des Z1.2-Wertes der LAGA von 5µg Cd/l. Die Tonschiefer des Lias  $\epsilon$  zeigen somit ein starkes Löslichkeitspotential an Cadmium.

PEIFFER et al. (1996) zeigen, daß Cd<sup>2+</sup>, im Gegensatz zu anderen Metallionen, unter oxischen Bedingungen eine relativ hohe Löslichkeit besitzt und daß ein offensichtlicher Zusammenhang zwischen Pyritoxidation und Cadmiumfreisetzung sowie zwischen Calcium- und Cadmiumfreisetzung besteht. Dies bestätigt die hier zu beobachtende vermehrte Eluierung von Cd aus pyrit- und gipsreichen Gesteinen (vgl. auch 7.8.: Mineralbestand).

Cobalt

Die Co-Gesamtgehalte variieren zum Großteil zwischen 1,7mg/kg in den Grundgipsschichten des km1 und 39,7mg/kg in den Oberen Braunjuratonen des bje. Lediglich 2 Oolithe des Braunen Jura bilden grenzwertüberschreitende Spitzenwerte: Parkinsoni-

Oolith bjδ (155mg Co/kg) und Macrocephalus-Oolith bjζ (56mg Co/kg). Hierbei spielt die Bindung des Cobalts an Fe-Oolithe eine Rolle (vgl. Abschnitt 8.1.3.).

In den Eluaten wird die Nachweisgrenze von 0,0015mg Co/l in 33 Fällen unterschritten. In den übrigen Lösungen reichen die Gehalte von 0,0015mg Co/l in den Unteren Schwarzzuramergeln des sjγ bis zu 0,219mg Co/l in den Estherienschichten des ku.

### Nickel

Die niedrigsten Ni-Gesamtgehalte finden sich mit 2mg/kg in den Grundgipsschichten des km1, die höchsten im Parkinsoni-Oolith des bjδ, wo 166mg/kg erreicht werden. Insgesamt überschreiten 17 Gesteinsschichten den Z0-Wert (Boden) der LAGA (40mg Ni/kg) und 3 weitere den Z1.1-Wert (100mg Ni/kg). Den Grenzwert nach KLOKE von 50mg Ni/kg übertreffen 16 Schichten. Dabei ist eine Konzentration der hohen Werte im Bereich der Schwarzschiefer des Schwarzen Jura (Sulfidvererzungen) sowie bei den Oolithen des Braunen Jura (Fe-Oolith-Bindungen) festzustellen. Diese Beobachtungen werden in Kapitel 8 (Korrelationen) erneut aufgegriffen und ausführlich diskutiert.

Die Ni-Nachweisgrenze von 0,002mg/l wird in den Eluaten in 21 Fällen unterschritten. Dies betrifft insbesondere die Lösungen der Triasgesteine. Die Spitzenwerte finden sich in den Eluaten der Seegrasschiefer des sjε1 (0,105mg Ni/l), der Wilden Schiefer des sjε3 (0,074mg Ni/l) sowie der Grundgipsschichten des km1 (0,069mg Ni/l). Deren Gehalte überschreiten den Grenzwert der Trinkwasserverordnung bzw. den Z1.1-Wert (Eluat) der LAGA von jeweils 50mg Ni/l.

### Chrom

Die Cr-Gesamtgehalte bewegen sich im allgemeinen zwischen 7mg/kg in den Psilonotenkalken des sjα1 und 53mg/kg in den Estherienschichten des ku sowie den Dunkelroten Mergeln des km1. Drei Oolithgesteine des Braunen Jura erreichen Höchstwerte von 437mg Cr/kg (Macrocephalus-Oolith) bzw. 318mg/kg (Parkinsoni-Oolith) und 176mg/kg (Subfurcatus-Oolith). Damit werden sowohl der Grenzwert nach KLOKE von 100mg Cr/kg als auch die Z1.1- und Z1.2-Werte der LAGA von 100 bzw. 200mg/kg übertroffen. Auch hier ist Chrom offenbar verstärkt an Fe-Oolithe gebunden (siehe Abschnitt 8.1.3.).

Bei den Eluaten liegen 27 Werte, v.a. der Juraschichten, unterhalb der Nachweisgrenze von 0,001mg Cr/l. Der Grenzwert der Trinkwasserverordnung (50µg Cr/l) wird in 2 Fällen überschritten: Grundgipsschichten km1 (72,5µg Cr/l) und Seegrasschiefer sjε1 (58,6µg Cr/l). Zwei weitere Schichten liegen oberhalb des Z0- (15µg Cr/l) bzw. Z1.1-Wertes (30µg Cr/l) der LAGA: Wilde Schiefer sjε3 (35µg Cr/l) sowie Mittlerer Gipshorizont km1 (25µg Cr/l).

### Vanadium

Die V-Gesamtgehalte zeigen insgesamt eine ähnliche quantitative Verteilung wie Nickel und Chrom, was auf ein gemeinsames Vorkommen in bestimmten Sulfiden und Fe-Oolithen zurückzuführen ist. Die höchsten Gehalte finden sich also in den Schwarzschiefern des Schwarzen Jura sowie den Oolithen des Braunen Jura. In letzteren wird der Spitzenwert von 359mg V/kg erreicht (Macrocephalus-Oolith). Die geringsten Werte sind in den Grundgipsschichten des km1 festzustellen (3mg V/kg).

Die Eluate wurden nicht auf Vanadium gemessen.

Kupfer

Die höchsten Cu-Gesamtgehalte zeigen sich in den Schwarzschiefern des Schwarzen Jura (Sulfidvererzungen) sowie im Übergangsbereich zwischen Unterem Keuper und Oberem Muschelkalk. Mit 57,5mg Cu/kg erreichen die Wilden Schiefer des sje3 den Spitzenwert. Insgesamt liegen 7 Gesteinsschichten oberhalb des Z0-Wertes (Boden) der LAGA von 40mg Cu/kg. Der Grenzwert nach KLOKE (60mg Cu/kg) wird nicht übertroffen. Die geringsten Gehalte sind in den dunklen Tonsteinen im Schilfsandstein zu verzeichnen, wo die Nachweisgrenze von 0,01mg Cu/kg unterschritten wird.

Bei den S4-Eluaten liegen 8 Proben unterhalb der Nachweisgrenze von 0,001mg Cu/l. Die höchsten gelösten Kupfermengen finden sich in den Eluaten der Grundgipsschichten des km1 (0,124mg Cu/l) sowie der Seeegrasschiefer des sjε1 (0,076mg Cu/l).

Barium

In den untersuchten Schichten liegen die Ba-Gesamtgehalte der Gesteine des so, mo2 sowie der Grundgipsschichten des km1 unterhalb der Nachweisgrenze von 1,5mg Ba/kg. Der Stubensandstein des km4 erreicht mit 231mg Ba/kg den höchsten Wert. Insgesamt weisen die Keuperschichten höhere Bariumgesamtgehalte als die Juraschichten auf. Der Prüfwert nach der Hollandliste (400mg Ba/kg) wird nicht überschritten.

In den S4-Eluaten reichen die Ba-Gehalte von 0,003mg/l in den Oberen Weißjuramergeln des Weißen Jura γ bis zu 0,328mg/l in den Seeegrasschiefern des Schwarzen Jura ε1. Der Grenzwert der Trinkwasserverordnung (1mg Ba/l) wird in keinem Fall erreicht.

Arsen

Die As-Gesamtgehalte bewegen sich zu einem Großteil zwischen 1-20mg/kg, wobei die Lehrberg-schichten des km3 mit 0,14mg/kg die geringsten Gehalte aufweisen. Allerdings überschreiten 14 Gesteinsschichten den Arsengrenzwert nach EIKMANN-KLOKE bzw. den Z0-Wert (Boden) der LAGA, der jeweils 20mg As/kg beträgt. Von diesen 14 Schichten liegen 8 oberhalb des Z1.1-Wertes, von denen sich wiederum einer oberhalb Z1.2 und ein letzter oberhalb Z2 befindet. Dieser Spitzenwert wird mit 440mg As/kg im Parkinsoni-Oolith erreicht, offenbar hervorgerufen durch arsenhaltige Minerale in der Probe.

Die Überschreitungen der Grenz- und Z-Werte bleiben, mit Ausnahme des Rhät-Tonsteins (ko), auf den Braunen Jura beschränkt. Dies ist insofern interessant, als bei den klastischen Ablagerungen in Deutschland ansonsten eher Rotliegendesandstein, Buntsandstein, Sandsteinkeuper, Kreide, Tertiär und Quartär von geogenen Arsenkonzentrationen betroffen sind [HEINRICHS & UDLUFT 1996].

Die S4-Eluate wurden nicht auf Arsen gemessen.

Quecksilber

In 34 Fällen liegen die Hg-Gesamtgehalte unterhalb der Nachweisgrenze von 0,0007mg/kg. Die übrigen Werte reichen von 0,04mg Hg/kg (Estherienschiefer km1, Tonmergel sje2, Obere Weißjuramergel wjγ) bis zu 1,16mg Hg/kg in den Röttonen des Oberen Buntsandstein. Insgesamt überschreiten sowohl die Röttone als auch die Oberen Schwarzzuramergel des sjζ den Hg-Grenzwert nach EIKMANN-KLOKE (0,5mg/kg) bzw. den Z1.1-Wert (Boden) der LAGA (1mg/kg). Eine weitere Schicht liegt oberhalb des Z0-Wertes von 0,3mg Hg/kg (Parkinsoni-Oolith bjδ: 0,32mg Hg/kg).

Quecksilbermessungen an den Eluaten fanden nicht statt.

### Selen

Bei den Se-Gesamtgehalten liegen 6 Gesteinsschichten, in der Hauptsache Formationen des Keuper, unterhalb der Nachweisgrenze von 0,0005mg/kg. Die übrigen Gehalte variieren zwischen 0,02mg Se/kg (Dunkelrote Mergel km1, Estheriensichten km1) und 1,91mg Se/kg (Wilde Schiefer sjε3). Insgesamt überschreiten 5 Schichten den Se-Grenzwert nach EIKMANN-KLOKE von 1mg/kg. Dies sind im einzelnen die Schichten des Schwarzen Jura ε (mit Ausnahme der Stinkkalke) und die oberhalb anschließenden Oberen Schwarzjura mergel sowie die Lehrbergsschichten des km3. Die Höhe des Grenzwertes ist jedoch umstritten, da Selen in diesen Größenordnungen z.T. als toxisch, z.T. jedoch auch als essentiell angesehen wird [MERIAN 1984, SCHEFFER & SCHACHTSCHABEL 1992].

An den Eluaten wurden keine Selenmessungen vorgenommen.

### 7.4. Kohlenstoffgesamtgehalte und organischer Kohlenstoff

Die entsprechenden Daten finden sich in Tabelle 7.4.1. des Anhangs.

#### Organischer Kohlenstoff

Die geringsten Gehalte an C-org. weisen mit 970mg/kg die Lehrbergsschichten des km3 auf. Die höchsten Anteile finden sich in den Seegrasschiefern

des sjε1 (96000mg/kg), den Tonmergeln des sjε2 (78500mg/kg), den Stinkkalke des sjε2 (37000mg/kg), den Wilden Schiefern des sjε3 (89400mg/kg) sowie den Oberen Schwarzjura mergeln des sjζ (93600mg/kg).

#### Gesamtkohlenstoff

Die Kohlenstoffgesamtgehalte sind im Stubensandstein des km4 am geringsten (667mg/kg) und in den Schichten des Schwarzen Jura ε sowie ζ am höchsten. In den letzteren variieren die Gehalte von 112000-125000mg/kg. Ausschlaggebend hierfür sind die extrem hohen Anteile an organischem Kohlenstoff in den Schwarzschiefern. Ansonsten bestimmt ganz überwiegend der Karbonatanteil den Gehalt an C-ges.

### 7.5. Ammoniumgehalte

Die Ammoniumgehalte wurden mittels Ammoniumsonde in wässriger Lösung, d.h. aus dem Eluat nach DIN 38414 S4, ermittelt. Die instrumentelle Nachweisgrenze lag bei 0,1mg/l. Aufgrund der vorgegebenen Verdünnung und der Nachweisgrenze der Meßsonde mußten Meßwerte <10mg/l verworfen werden, da dies die untere relative Nachweisgrenze darstellte. Bei keiner Probe wurde dieser Wert überschritten. Da in der Trinkwasserverordnung des Bundesgesetzblattes vom 12.12.1990 geogen bedingte Ammoniumüberschreitungen des festgesetzten Grenzwertes von 0,5mg/l bis zu einem Grenzwert von 30mg/l außer Betracht bleiben, ergeben sich somit auch keine gesetzlich relevanten Ammoniumkonzentrationen in den untersuchten geologischen Formationen.

## 7.6. Chloridgehalte

Die Messungen wurden mittels Meßsonde in wässriger Lösung vorgenommen. Aufgrund der relativen Unempfindlichkeit dieser Meßsonde konnte lediglich eine Nachweisgrenze von 1,8mg/l erreicht werden. In 36 Fällen ergaben sich somit keine Meßwerte oberhalb der Nachweisgrenze. Die Daten sind in Tabelle 7.1.1. enthalten (Anhang).

Die Chloridgehalte der Gesteinslösungen liegen bis auf eine Ausnahme bei Werten <10mg/l. Lediglich die Röttone des Oberen Buntsandstein weisen einen leicht höheren Anteil von 19,3mg/l auf. Sie überschreiten damit als einzige der untersuchten geologischen Formationen den Z1.1-Wert der LAGA von 10mg/l. Dieser Wert ist jedoch äußerst niedrig angesetzt, bedenkt man den Grenzwert der Trinkwasserverordnung von 250mg Cl<sup>-</sup>/l.

## 7.7. Sonderproben: ausgelaugter Gipskeuper

Die leichte Löslichkeit von Gips stellt für die Wiederverwendung von entsprechenden Sedimenten ein gravierendes Problem dar. Gipsführende Schichten sind z.B. im km1 (u.a. Grundgipsschichten des Keuper) verbreitet. Im Anstehenden ist Gips durch die Verwitterung mehr oder weniger tiefgründig ausgelaugt. In der vorliegenden Arbeit war zu überprüfen, ob von diesen ausgelaugten Sedimenten ebenfalls eine Gefährdung ausgeht. Die Untersuchungen sind insofern von besonderem Interesse, als der ausgelaugte Gipskeuper im Großraum Stuttgart recht häufig anzutreffen ist. Die Meßergebnisse und die Gegenüberstellung von Grundgips und ausgelaugtem Gipskeuper (ebenfalls Grundgipsschichten) finden sich im Anhang auf Tabelle 7.7.1.

Der Vergleich der Gesamtgehalte zeigt deutlich das Fehlen des CaSO<sub>4</sub> in den Gesteinen des ausgelaugten Gipskeupers (**ausgelaugter Grundgips**: 7071mg SO<sub>4</sub>/kg, 25849mg Ca/kg; **nicht gelaugter Grundgips**: 461411mg SO<sub>4</sub>/kg, 219321mg Ca/kg). Die Cadmiumgehalte liegen mit 0,66mg Cd/kg dagegen noch immer auf fast gleichem Niveau und bedeuten weiterhin eine Überschreitung von Z0 (Boden) der LAGA. Die übrigen Schwermetallgehalte sind im ausgelaugten Gipskeuper zwar fast immer wesentlich höher, da durch die Gipslaugung eine Anreicherung dieser Elemente im verbliebenen Gestein erfolgte, jedoch finden keine Grenz- oder Richtwertüberschreitungen statt. Lediglich die Ni-Gesamtgehalte liegen mit 40mg/kg im Bereich des Z0-Wertes der LAGA.

Die Eluate belegen einen drastischen Rückgang der meisten Elementgehalte. Zeigte der Grundgips noch bei 8 Parametern z.T. erhebliche Überschreitungen von Grenz- oder Richtwerten, so fehlen diese beim ausgelaugten Gipskeuper völlig. Da die Gipslaugung offenbar auch andere leicht lösliche Komponenten abgeführt hat, verblieben im Residualgestein hauptsächlich schwer bzw. nicht lösliche Verbindungen, so daß bei der S4-Elution kaum Schwermetallionen im Eluat freigesetzt werden.

Diese Gegenüberstellung belegt somit deutlich das wesentlich geringere Belastungspotential der ausgelaugten Grundgipsschichten im Bereich der Wasserlöslichkeit. Die von ihnen ausgehende Gefährdung von Grundwässern durch Ca und Sulfat sind nicht mehr relevant. Auch liegen die Eluatgehalte von Aluminium, Cadmium, Nickel, Chrom und Kupfer im Gegensatz zu denjenigen der nicht gelaugten Grundgipsschichten des km1 nicht mehr über den relevanten Grenz- oder Richtwerten. Die Leitfähigkeit ist, entsprechend den geringen Sulfatgehalten, um den Faktor 10 geringer und ebenfalls nicht mehr grenzwertüberschreitend.

Aus den durchgeführten Untersuchungen folgt, daß gelaugte Gipsschichten kein Belastungsrisiko für eine potentielle Einlagerungsumgebung darstellen. Bei der Umlagerung von primär gipsführenden Schichten ist deren Auslaugungsgrad zu überprüfen, da die Ablagerung von nicht vollständig ausgelaugten Gipsedimenten zu hohen Sulfatbelastungen der Grundwässer führen kann.

## 7.8. Mineralbestand

Die nachfolgenden Tabellen 7.8.1. - 7.8.5. listen den aus den Röntgenaufnahmen einiger ausgewählter Gesteinsproben identifizierten Hauptmineralbestand auf. Ausgewählte Diffraktogramme sind im Anhang dargestellt (Abb. 7.8.A - 7.8.P, nur Tonmineral-relevante Aufnahmen mit Winkeln von 3-15° 2 $\theta$ ).

**Tab. 7.8.1.: Hauptmineralbestand der Tonsteine ( T )**

| <b>km3u, Rote Wand</b> | <b>sjß, unt. Schwarzjuratone</b> | <b>bjα, Opalinuston</b> |
|------------------------|----------------------------------|-------------------------|
| Quarz                  | Quarz                            | Quarz                   |
| Calcit                 |                                  | Calcit                  |
| Dolomit                | Dolomit                          |                         |
| Kaolinit               | Kaolinit                         | Kaolinit                |
| Illit                  | Illit                            | Illit                   |
|                        | Muskovit                         | Muskovit                |
|                        |                                  | Chlorit / Corrensit     |
| Plagioklas (wenig)     | Plagioklas                       | Plagioklas (wenig)      |
|                        |                                  | Pyrit (wenig)           |

**Tab. 7.8.2.: Hauptmineralbestand der sandigen Tone ( sT )**

| <b>so, Röttone</b> | <b>kuBasis, Vitriolschiefer</b> | <b>km2, dunkle Tone im Schilfsandstein</b> |
|--------------------|---------------------------------|--------------------------------------------|
| Quarz              | Quarz                           | Quarz                                      |
|                    | Gips ?                          |                                            |
| Kaolinit           | Kaolinit                        | Kaolinit                                   |
| Illit              | Illit                           | Illit                                      |
| Muskovit           | Muskovit                        | Muskovit                                   |
|                    | Chlorit / Corrensit             | Chlorit / Corrensit                        |
|                    | Plagioklas                      | Plagioklas                                 |
|                    |                                 | Orthoklas                                  |

**Tab. 7.8.3.: Hauptmineralbestand der tonigen Mergel ( tM )**

| <b>mo2, Tonhorizonte</b> | <b>km1, Bochinger Horizont</b> | <b>km5, Knollenmergel</b> |
|--------------------------|--------------------------------|---------------------------|
| Quarz                    | Quarz                          | Quarz                     |
| Calcit                   |                                | Calcit (wenig)            |
| Dolomit                  | Dolomit                        |                           |
| Kaolinit                 | Kaolinit                       | Kaolinit                  |
| Illit                    | Illit                          | Illit                     |
| Muskovit (wenig)         |                                |                           |
| Chlorit                  | Chlorit / Corrensit            | Chlorit / Corrensit       |
|                          | Plagioklas                     | Plagioklas (Albit)        |
|                          | Orthoklas (wenig)              |                           |

Tab. 7.8.4.: Hauptmineralbestand der sandigen Mergel ( sM )

| <b>sjα2,<br/>Angulatensandstein</b> | <b>bjß , oberer Donz-<br/>dorfer Sandstein</b> | <b>bjδ ,<br/>Hamitenton</b> | <b>bjζ ,<br/>Ornatenton</b> |
|-------------------------------------|------------------------------------------------|-----------------------------|-----------------------------|
| Quarz                               | Quarz                                          | Quarz                       | Quarz                       |
| Calcit                              | Calcit (wenig)                                 | Calcit                      | Calcit                      |
|                                     | Gips                                           |                             |                             |
| Kaolinit (wenig)                    | Kaolinit                                       | Kaolinit                    | Kaolinit                    |
| Illit                               | Illit                                          | Illit                       | Illit                       |
|                                     | Muskovit                                       | Muskovit                    | Muskovit                    |
| Chlorit                             |                                                | Chlorit                     |                             |
|                                     |                                                |                             | Montmorillonit              |
|                                     |                                                | Plagioklas (wenig)          |                             |
| Pyrit                               | Pyrit                                          | Pyrit                       | Pyrit                       |

Tab. 7.8.5.: Hauptmineralbestand der mergeligen Kalke ( mK )

| <b>mo2, Mergel / Tone im<br/>oberen Abschnitt</b> | <b>sjγ , untere<br/>Schwarzjura mergel</b> | <b>wjα , untere<br/>Weißjura mergel</b> |
|---------------------------------------------------|--------------------------------------------|-----------------------------------------|
| Quarz                                             | Quarz                                      | Quarz                                   |
| Calcit                                            | Calcit                                     | Calcit (wenig)                          |
| Dolomit                                           |                                            |                                         |
| Kaolinit                                          | Kaolinit                                   | Kaolinit                                |
| Illit                                             | Illit                                      | Illit                                   |
|                                                   | Chlorit / Corrensit                        |                                         |
| Plagioklas (wenig)                                |                                            |                                         |
| Pyrit (wenig)                                     | Pyrit                                      |                                         |



## **8. Korrelationen, Cluster- und Faktorenanalysen**

### **a) Korrelationen**

Elemente in Gesteinen sind, selbst wenn sie nur in Spuren vorliegen, spezifisch kombiniert. In der vorliegenden Untersuchung wird davon ausgegangen, daß Haupt-, Neben- und Spurenelemente in den Bindungsformen auftreten, die mit den bekannten Mineralen dieser Elemente übereinstimmen. So sollte es möglich sein, durch die Kenntnis des Vorhandenseins einer festgestellten Elementkombination auf die übrigen Elemente, aber auch auf die Minerale und Bindungsformen der Elemente zu schließen.

Mit der Darstellung und Berechnung von Korrelationen können diese Abhängigkeiten der Elemente und ihrer Gehalte untereinander belegt werden. Dies erfolgt auf mathematischem Wege durch Berechnung des Korrelationskoeffizienten einer Reihe von Wertepaaren [DOERFFEL 1984]. Zusätzlich können Korrelationen über X-Y-Punktdiagramme graphisch verdeutlicht werden.

Über die reine Bestimmung von Mineralen und Bindungsformen hinaus können die Korrelationen mittels der Ausweisung von Elementbeziehungen auch mögliche Zusammenhänge, Ähnlichkeiten und Unterschiede innerhalb oder zwischen statistischen Gruppen aufzeigen. Als statistische Gruppen sind hier die stratigraphische (schichtabhängige) oder die petrographische (gesteinsabhängige) Einteilung zu nennen.

Für die vorliegende Arbeit wurden die Korrelationsbeziehungen der mittleren Elementgehalte von 53 stratigraphisch definierten geologischen Schichten verglichen. Dabei waren sowohl die Gesamtgehalte der Gesteine als auch ihre Eluatgehalte einzubeziehen. Unter Berücksichtigung der möglichen ver-

schiedenen statistischen Gruppeneinteilungen (Gesamtübersicht, stratigraphische und petrographische Einteilung) führt dies zu folgenden offensichtlichen und sinnvollen Korrelationsmöglichkeiten:

**a) Einfache Elementkorrelation über die mittleren Gehalte aller 53 Schichten** im Sinne einer ersten zusammenfassenden Gesamtübersicht. Für die Korrelationsberechnungen wurden die für jede Schicht gemittelten Elementgehalte verwendet. Es ergaben sich folgende Beziehungen:

- Korrelation der Gesamtgehalte der Hauptelemente untereinander,
- Korrelation der Gesamtgehalte der Spurenelemente untereinander,
- Korrelation der Gesamtgehalte der Hauptelemente gegen die der Spurenelemente,
- Korrelation der Gesamtgehalte der Hauptelemente gegen die Eluatgehalte der Spurenelemente,
- Korrelation der Gesamtgehalte eines Elementes mit seinen entsprechenden Eluatgehalten (untergeordnet).

**b) Elementkorrelationen nach stratigraphisch getrennten Serien**, mit den entsprechenden Kombinationen aus **a**). Die jeweiligen Elementmittelwerte der Schichten einer Serie wurden zur detaillierteren Charakterisierung dieser geologischen Serien miteinander korreliert. Dabei sind folgende Serien zu unterscheiden:

- Buntsandstein
- Muschelkalk
- Keuper
- Schwarzer Jura
- Brauner Jura
- Weißer Jura

Da die Korrelationen auf jeweiligen Elementmittelwerten von Schichten beruhen und insgesamt über alle geologischen Serien nur 53 Schichten vorliegen, mußten trotz der scheinbar hohen Zahl an bearbeiteten Proben der Buntsandstein (1 Schicht), der Muschelkalk (3 Schichten) sowie der Weiße Jura (3 Schichten) von den Korrelationsbetrachtungen ausgeschlossen werden.

**c) Elementkorrelationen nach petrographisch getrennten Gesteinsgruppen**, mit den entsprechenden Kombinationen aus **a)**. Zur Berechnung wurden die Mittelwerte der Schichten herangezogen, die einem bestimmten Gestein zuzuordnen sind. Die Einteilung der Gesteine erfolgte dabei nach der chemischen Zusammensetzung, wie sie im Labor gemessen wurde und beruht auf folgendem vereinfachenden Prinzip (siehe auch *Tab. 8c: Geologische Schichten und ihre zugehörigen Gesteinstypen*, Anhang):

- Gehalt an Aluminium (als Maß für den Tonanteil)
- Gehalt an Calcium und karbonatisch gebundenem Kohlenstoff (Bestimmung des Kalkanteiles)
- Gehalt an organisch gebundenem Kohlenstoff (für Gesteine mit hohem organischen Anteil, z.B. Schwarzschiefer)
- Sulfatgehalt (v.a. für stark gipshaltige Gesteine)

Die Ergebnisse der petrographischen Einteilung führten gegenüber den vorhergehenden Untersuchungen jedoch zu keinen neuen Erkenntnissen. Es zeigte sich im Gegenteil, daß die stratigraphische Einteilung den Vorgaben dieser Arbeit weitaus besser gerecht wird. Somit konnte auf die Diskussion der Ergebnisse der Korrelationsanalysen auf der Basis einer gesteinsabhängigen Einteilung verzichtet werden.

Eine reine Berechnung der Korrelationskoeffizienten würde durch den Einfluß von möglichen Extremwerten und Unstetigkeiten zu Fehlinterpretationen führen. Daher mußte eine Kontrolle der als

signifikant/hochsignifikant korreliert berechneten Werte erfolgen. Dies geschah durch die graphische Darstellung jeder dieser Elementbeziehungen, indem jede Korrelation im x-y-Punktdiagramm überprüft wurde. Zeigten sich bei dieser Überprüfung Inkohärenzen in der Verteilung, so war von einer Korrelationsangabe abzusehen. Ein Elementpaar galt somit erst dann als korreliert, wenn der berechnete Koeffizient durch das graphische Verfahren bestätigt wurde.

Die hier vorgeschlagenen Korrelationsmöglichkeiten sind zwar äußerst vielfältig, bilden jedoch den einzigen Ansatz, einerseits die Kontrollmechanismen von Schwermetallen in Gesteinen zu identifizieren, und andererseits Rückschlüsse auf die Mineralzusammensetzung zu erlauben sowie die mineralischen Bindungsformen der Schwermetalle abzuleiten. Die unter den verschiedenen Gesichtspunkten durchgeführten Korrelationen ergänzen sich somit und führen letztlich zu einer gegenseitigen Absicherung der Bewertungen.

Die Fettdrucke in den Tabellen bezeichnen hochsignifikante, die Normaldrucke signifikante Elementkorrelationen. Einige ausgewählte Korrelationsdiagramme sind im Anhang abgebildet (Abbildungen *8a* und *8b*).

Generell ist das Referieren der bei den nachfolgenden Korrelationen aufgeführten Minerale nicht gleichbedeutend mit deren realem Auftreten bzw. Vorkommen in nachweisbaren Maßstäben in den Gesteinen. Es ist vielmehr ein Hinweis auf das gemeinsame Vorkommen in der Natur bzw. ein gegenseitiges Stabilisieren auf der Basis der gemessenen Elementgehalte.

## **b) Clusteranalysen**

Die beschriebenen Korrelationen haben wegen der großen Anzahl an Einzelwerten in der Korrelationsmatrix den Nachteil der relativ geringen Über-

schaubarkeit. Obwohl die jeweiligen Korrelationswerte für den Einzelfall die deutlicheren Ergebnisse liefern, kann ihre weitere Zusammenfassung sinnvolle Überblicke und neue Einsichten liefern. Für diese Art der statistischen Auswertung sind im vorliegenden Fall insbesondere die Cluster- und Faktorenanalysen von Relevanz. Daher sollen die Korrelationen zusätzlich mit diesen statistischen Methoden zusammengefaßt werden.

Mit hierarchischen Clusteranalysen wird versucht, aufgrund von Variablen (hier: Elemente) disjunkte Klassen von Objekten (hier: die durch Meßwerte repräsentierten Gesteinsschichten) zu finden. Diese Klassen müssen in sich homogen sein und sich voneinander deutlich unterscheiden. Damit läßt sich die Ähnlichkeit von Variablen (hier: ähnliches Verhalten von Elementen) darstellen, indem Distanz- oder Ähnlichkeitsmatrizen eingelesen werden, die z.B., wie in diesem Fall, mit einer Pearson-Korrelation erzeugt wurden [SCHUBÖ & UEHLINGER 1984]. Eine solche Analyse ergibt im vorliegenden Fall Dendrogramme, die die Beziehungen von Schichten oder Elementen zueinander charakterisieren, wobei diese Beziehungen auf der Basis der Korrelationen der zugehörigen Elementgehalte beruhen.

Grundvoraussetzung einer solchen Clusteranalyse ist eine genügend große Anzahl von Objekten (hier: die durch Meßwerte repräsentierten Gesteinsschichten). Eine Untersuchung auf Basis petrographischer Gesichtspunkte muß daher entfallen, da fast keiner der zahlreichen Gesteinsklassen eine ausreichende Menge von Objekten (hier: geologische Schichten, d.h. Anzahl an Mittelwerten von Elementgehalten) zuzuordnen ist (Bsp.: 2 Schichten mit reinen Kalken, 2 Schichten reine Sandsteine, 3 Eisenoolithe, 5 tonige Mergel etc.). Somit rückt die stratigraphische Einteilung in den Mittelpunkt, wobei mittels der Clusteranalyse Vergleiche zwischen den stratigraphischen Serien gezogen sowie Gemeinsamkeiten von geolo-

gischen Schichten und Beziehungen zwischen den Elementen innerhalb dieser Serien ermittelt werden sollen.

Nach einer vorangestellten, zusammenfassenden Clusteranalyse für sämtliche Objekte (alle 53 Schichten; siehe 8.1.1.) wurden anschließend die stratigraphischen Serien Keuper, Schwarzer Jura und Brauner Jura jeweils getrennt nach den Elementkorrelationen (auf Basis der Elementgesamtgehalte) der in diesen Serien auftretenden Schichten untersucht. Die Clustering erfolgte dabei einerseits für die einzelnen geologischen Schichten (Objekte; siehe 8.1.1.) auf Basis der Elementkorrelationen, andererseits für die Elemente selbst (Variablen; vgl. 8.1.3.). Insgesamt erscheint die Objektanalyse (Anwendung auf geologische Schichten) in diesem Zusammenhang eher unüblich, enthält allerdings ein aussagekräftiges Potential, weil die Zusammenhänge zwischen den Schichten vom geochemischen Milieu bestimmt werden, welches sich wiederum im Verhalten der Hauptelemente und Schwermetalle niederschlägt.

Während die Menge der verglichenen Objekte fast beliebig sein kann, darf die Anzahl der Variablen (hier: chemische Elemente) nicht zu groß gewählt werden, da die Berechnungen wegen methodenimmanenter Probleme sonst zu Scheinkorrelationen führen können [siehe auch DAVIS 1973]. Wie Erfahrungswerte zeigen, sollten ein Dutzend Variablen im allgemeinen die Obergrenze bilden. Somit konnten nicht alle gemessenen Elemente zur Clusteranalyse herangezogen werden.

Die Clusteranalyse für die Elemente (Variablen) erfolgte auf der Basis der ausreißerbereinigten Einzelwerte (Einzelproben der Schichten). Die Clustering der geologischen Formationen (Objekte) mußte dagegen auf den jeweiligen Mittelwerten beruhen. Die Distanzmatrizen wurden bei sämtlichen Berechnungen auf Grundlage einer Pearson-Korrelation erzeugt. Die Clustering selbst beruht auf der *average-*

*linkage*-Methode und wurde mit dem Programm SPSS durchgeführt.

Zur Veranschaulichung der Clusteranalysen erfolgte eine Umsetzung in Dendrogramme, wobei die horizontale Achse die Distanz (das Ähnlichkeitsmaß) zwischen den Objekten bzw. Variablen wiedergibt. Je geringer die Distanz zwischen den Objekten oder Variablen ausfällt, desto größer ist eine bestimmte Gemeinsamkeit unter ihnen.

Generell müssen die Ergebnisse einer Clusteranalyse kritisch betrachtet werden [DAVIS 1973]. So finden sich einerseits zwar deutliche Übereinstimmungen mit den Korrelationen, andererseits werden Zusammenhänge dargestellt, die sich anderweitig nicht verifizieren oder rechtfertigen lassen. Dieses Verhalten gründet sich in der Problematik von Scheinzusammenhängen bei Clusteranalysen. Andererseits erfahren auch eine Vielzahl von Elementkorrelationen durch die Clusteranalyse keinen Ausdruck, so daß bei einer alleinigen Anwendung dieser Methode eine Reihe von Zusammenhängen nicht offenbar würde.

### **c) Faktorenanalysen**

Als dritte Möglichkeit zur Ermittlung von Elementabhängigkeiten wurde die Faktorenanalyse herangezogen. Ziel dieser Methode ist die Bestimmung von solchen Größen, die von Einfluß auf die Gesamtheit der Variablen (hier: chemische Elemente) eines Bereiches sind. Die Größen selbst sind dabei zunächst hypothetischer Natur. Da die ausgewählten Variablen nicht unabhängig voneinander sind, werden Korrelationen zwischen ihnen bestehen. Es kann somit eine kleinere Anzahl von unabhängigen Variablen, den Faktoren, geben, die eine einfachere und übersichtliche Beschreibung der Zusammenhänge kontrollierenden Parameter ermöglichen.

Die Faktorenanalyse geht von den Korrelationen zwischen den Variablen (hier: Elementen) aus und nimmt an, daß es unabhängige Faktoren (kontrollierende Parameter) gibt, die in allen Variablen wirksam sind und damit zum Zustandekommen der Korrelationen beitragen [CLAUB & EBNER 1989]. Zielsetzung ist dabei, eine möglichst kleine Anzahl von Faktoren zu finden, die die Reproduktion der Korrelationen erlauben. Die vielfältigen Beziehungen zwischen den Merkmalen des untersuchten Bereiches können so auf eine einfache Faktorenstruktur reduziert werden, wodurch sich wesentliche Zusammenhänge offenbaren, die aus der großen Korrelationsanzahl nur schwer ablesbar sind.

Die Faktorenanalyse zerfällt letztlich in vier Schritte [SCHUBÖ & UEHLINGER 1984]:

- *Bildung der Korrelationsmatrix für die ausgewählten Variablen,*
- *Faktorenextraktion,*
- *Rotation (VARIMAX) der Faktoren auf Einfachstruktur zur leichteren Interpretierbarkeit,*
- *Berechnung der Faktorwerte.*

Im vorliegenden Fall wurden wiederum die Schichten nach den größeren stratigraphischen Serien zusammengefaßt. Um der Voraussetzung einer hinreichend großen Probenanzahl gerecht zu werden, fanden nur die Serien Keuper, Schwarzer Jura und Brauner Jura Berücksichtigung, die jeweils getrennt einer Faktorenanalyse unterzogen wurden. Grundlage der mit SPSS durchgeführten Berechnungen waren die extremwertbereinigten Einzelwerte der Gesamtanalyse.

Um Scheinkorrelationen zu vermeiden, mußte die Anzahl der Variablen auf 12 Elemente begrenzt werden. Letztlich wurden zu den Faktorenanalysen die Gesamtgehalte von Al, Ca, Fe, SO<sub>4</sub>, Mn, C<sub>ges.</sub>, B, Zn, Pb, Cd, Ni und As herangezogen.

## **8.1. Korrelationsanalysen**

Die einfachste Möglichkeit einer Korrelationsanalyse beschreibt den Vergleich aller ermittelten Daten untereinander. Da diese Datengesamtmenge im vorliegenden Fall aus einer Reihe genetisch ganz unterschiedlicher Proben resultiert, die zudem noch verschiedenen stratigraphischen Serien entstammen, kann eine solche Korrelation naturgemäß nur einfache allgemeingültige Zusammenhänge aufzeigen. Zunächst sollen Korrelations- und Clusteranalysen über die mittleren Gesamtgehalte aller Schichten vorgenommen werden.. Dabei erfolgt die Clusteranalyse als direkter Vergleich der Schichten zueinander (Clusterung der Schichten auf Basis der Elementgesamtgehalte). Daran anschließend wird diese Clusteranalyse jeweils separat für die Serien Keuper, Schwarzer Jura und Brauner Jura vorgenommen. Darauf folgt die einfache Elementkorrelation aller möglichen Wertepaare (Gesamtgehalte) über sämtliche untersuchten Schichten.

Nach der erneuten Trennung der Schichten aufgrund ihrer stratigraphischen Zugehörigkeit (Keuper, Schwarzer Jura, Brauner Jura), werden die Elementgesamtgehalte dieser Serien jeweils einer Elementkorrelation, einer Clusteranalyse (Clusterung der Elemente auf der Basis ihrer Gesamtgehalte) sowie einer Faktorenanalyse unterzogen. Zum Abschluß erfolgen dann die ebenfalls nach stratigraphischen Serien getrennten Korrelationen der Elementgesamtgehalte mit den Eluatgehalten (v.a. Gesamtgehalte Hauptelemente / Eluatgehalte Spurenelemente).

### **8.1.1. Bestimmung von Schichtähnlichkeiten auf der Basis von Elementgesamtgehalten und -beziehungen mittels Clusteranalyse**

Um einen Eindruck möglicher Gemeinsamkeiten aller untersuchten Schichten zueinander zu gewinnen, wird hier zunächst die Clusteranalyse über sämtliche

Schichten vorangestellt. Die Clusterung erfolgt dabei für die einzelnen geologischen Schichten (Objekte) auf der Basis der Elementkorrelationen (Pearson-Korrelation der Gesamtgehalte). Gemeinsamkeiten zwischen einzelnen Schichten werden dann als gegeben angesehen, wenn diese gleiche oder ähnliche Korrelationen für eine maximale Anzahl von Elementpaaren aufweisen. Für die Berechnung wurden die Gesamtgehalte folgender Elemente herangezogen: Al, Fe, Ca, SO<sub>4</sub>, Mn, C-ges., B, Zn, Cd, Pb, Ni und As.

Die anhand der Clusterdarstellung ermittelten mehr oder weniger starken Ähnlichkeiten zwischen verschiedenen Schichten zeigen somit nicht direkt die Arten möglicher Gemeinsamkeiten an, sondern quantifizieren lediglich das Ausmaß der Übereinstimmungen. Die Qualität dieser Ähnlichkeiten bedarf zusätzlich der Interpretation auf der Grundlage der verwendeten Elemente.

Das Dendrogramm der Clusteranalyse aller Schichten auf Basis der Gesamtgehalte der Elemente in *Abb. 8.1.1.1* zeigt einige bemerkenswerte Gemeinsamkeiten zwischen den geologischen Formationen. So findet sich zunächst und trivialerweise eine große Gruppe von stark kalkhaltigen Gesteinen (Pylonotenkalk bis mo2: Mergel/Tone im ob. Abschnitt, siehe *Abb. 8.1.1.1*), die Schichten all derjenigen stratigraphischen Serien umfassen, die ohnehin zumeist höhere Kalkanteile aufweisen (Schwarzer Jura, Muschelkalk, Weißer Jura).

Keuper- und Braunjuraschichten bilden zum großen Teil eigenständige Gruppen, in denen auch immer wieder Schichten des Schwarzen Jura eingebunden sind. Ganz offenbar sind die geochemischen Unterschiede zwischen den Schichten des Keuper und des Braunen Jura deutlich größer als jeweils zu den petrographisch recht variablen Schwarzjuraschichten, die insbesondere Ähnlichkeiten mit den Triassschichten zeigen. Ausschlaggebend für diese Ähnlichkeiten

sind v.a. Keuper- und Schwarzschiefer mit hohen Tongehalten. Als Beispiel dafür kann eine Gruppe mit den dunklen Tonsteinen des km2, den Unteren Schwarzschiefer, dem Schilf-sandstein des km2 (sandiger Ton), den Lehrbergschichten des km3l (Tone) sowie den Röttonen gelten (siehe Abb. 8.1.1.1).

Schichten, die sehr enge petrographische, stratigraphische und chemische Gemeinsamkeiten aufweisen, bilden meist kleine, deutlich abzugrenzende Gruppen. Dazu zählen die Schiefer des Lias ε, der untere Donzdorfer Sandstein + Personatensandstein (Brauner Jura β) sowie die stark CaSO<sub>4</sub>-reichen Grundgipsschichten + mittlerer Gipshorizont (km1).

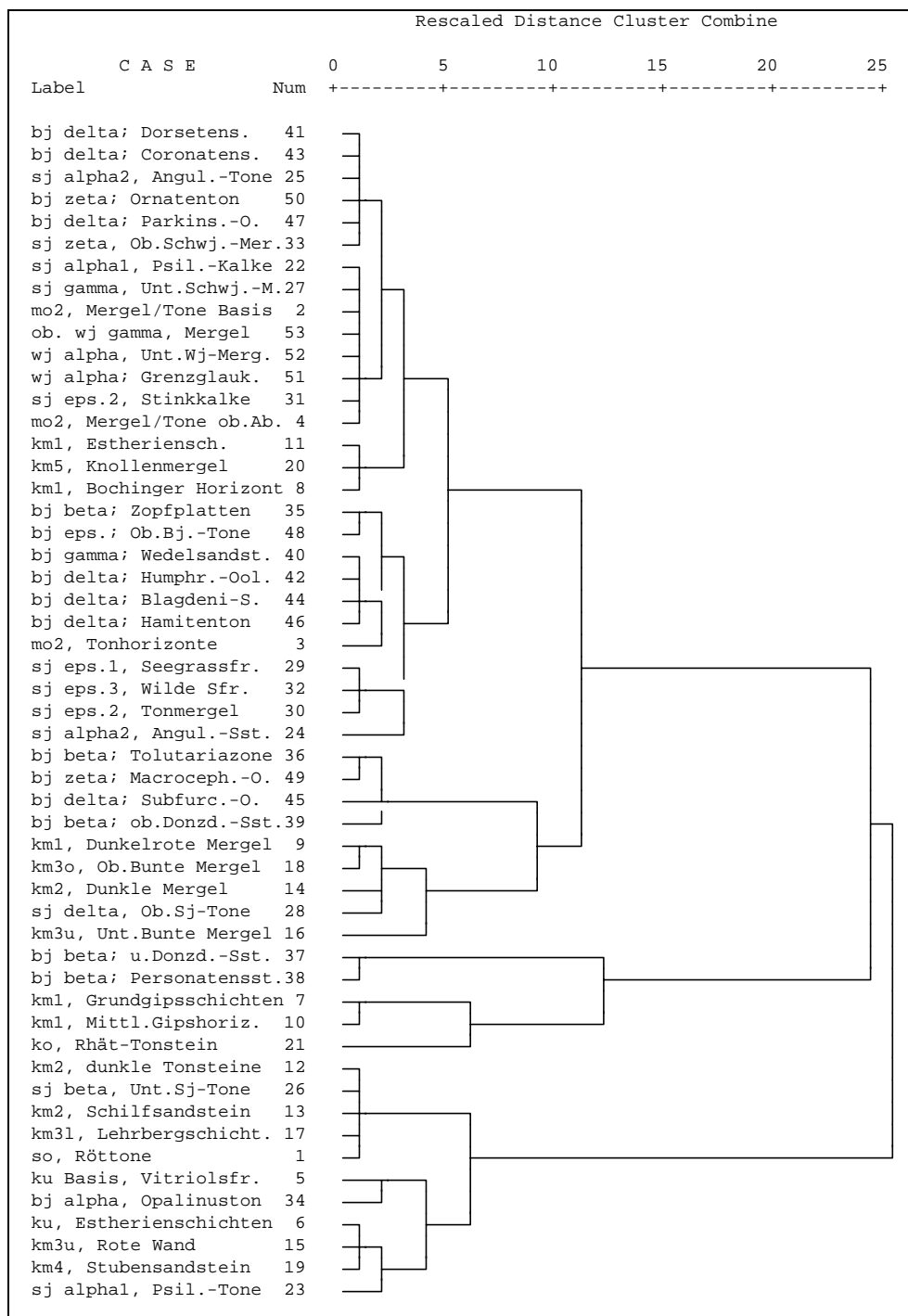


Abb. 8.1.1.1: Dendrogramm der Clusteranalyse aller Schichten auf Basis der Korrelationen von Gesamtgehalten der Elemente

Das gezeigte Dendrogramm (Abb. 8.1.1.1) kann letztlich nur grobe Gemeinsamkeiten der Schichten zueinander aufzeigen, da die Vielzahl an korrelierten Variablen (Elementen) mögliche Abgrenzungen zwischen Schichtübereinstimmungen verwischt.

Nachfolgend werden daher die einzelnen für die statistische Bearbeitung geeigneten Serien (Keuper-, Schwarzjura- und Braunjuraschichten) getrennt voneinander untersucht. Die Clusteranalysen beruhen dabei wiederum auf den Elementen Al, Fe, Ca, SO<sub>4</sub>, Mn, C-ges., B, Zn, Cd, Pb, Ni und As.

### Keuperschichten

Abb. 8.1.1.2 stellt die Clusterung der Keuperschichten dar. Dabei zeigen sich enge Beziehungen zwischen einer Reihe von Schichten, die sich in drei Ähnlichkeitsgruppen einteilen lassen. Die Zusammengehörigkeit von Grundgips und Mittlerem Gipshorizont zu einer Gruppe ist aufgrund der hohen CaSO<sub>4</sub>-Gehalte beider Schichten zu erwarten. Hinzu kommt, in etwas abgeschwächter Form, der Rhät-Tonstein, der durch erhöhte SO<sub>4</sub>-Gehalte, bei gleichzeitigen niedrigeren Werten für Mn, K und Mg, dies-

bezügliche Ähnlichkeiten mit den vorgenannten Schichten aufweist.

Weiterhin bilden Schilfsandstein (Normalfazies), Lehrbergsschichten und die dunklen Tone im Schilfsandstein eine gemeinsame Gruppe. Erhöhte Fe- und Cd-Gehalte sind ein übereinstimmendes Merkmal dieser Formationen. Zu dieser Gruppe lassen sich auch die Estheriensschichten (ku), Rote Wand, die Tone im Stubensandstein und der Vitriolschiefer rechnen, die jedoch trotz zusammengehöriger Cluster keine eindeutigen Gemeinsamkeiten aufweisen.

Estheriensschichten (km1), Knollenmergel und Bochinger Horizont gehören petrographisch zu den tonigen Mergeln und zeigen daher relativ gute Übereinstimmungen, wie z.B. bei Al, Ca und Fe, aber auch bei einigen Schwermetallen. Sie gehören zu der dritten Gruppe, der auch die dunkelroten Mergel des km1, die Oberen Bunten Mergel (km3o) und die dunklen Mergel des km2 zuzurechnen sind. Die Gemeinsamkeiten der letzteren Schichten beruhen auf ähnlichen Werten von Al, Ca, SO<sub>4</sub> und K (Gips und Tone). Hinzu kommen erhöhte Bor- und Barium- sowie vergleichbare Zinkgehalte. Zu dieser Gruppe gesellen sich noch die Unteren Bunten Mergel des km3u, deren Beziehung allerdings schwächer ist.

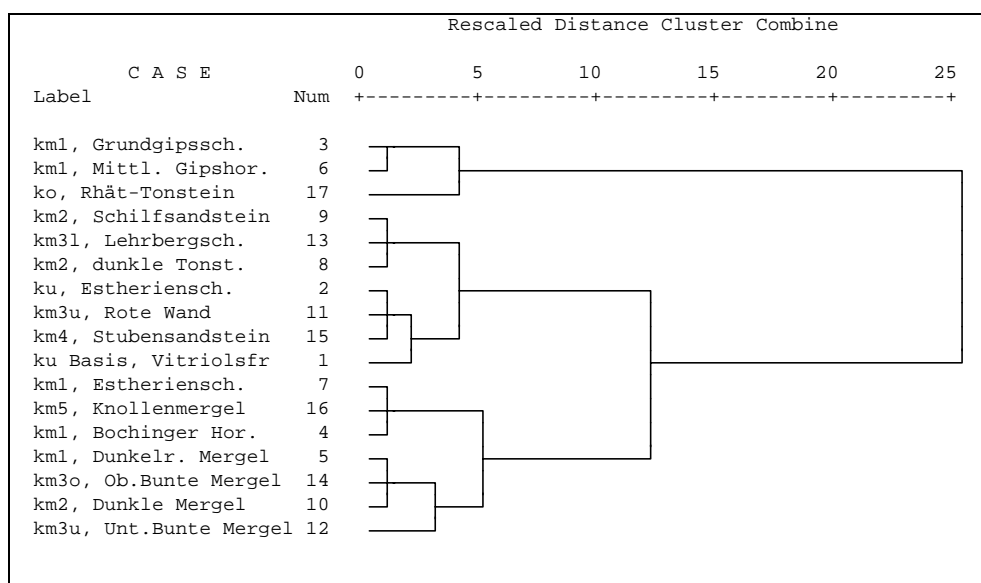


Abb. 8.1.1.2: Dendrogramm der Clusteranalyse von Keuperschichten auf Basis der Gesamtgehalte der Elemente

Insgesamt läßt sich beobachten, daß die beschriebenen Gruppen von Keuperschichten wiederum untereinander recht gut in Beziehung zu setzen sind. Ausnahmen bilden lediglich Grundgipsschichten, Mittlerer Gipshorizont und Rhät-Tonsteine, was vor allem bei den beiden ersten Schichten durch den extrem hohen Gipsanteil bedingt wird.

### Schwarzjuraschichten

Die Clusterung der einzelnen Schichten des Schwarzen Jura zeigt, ähnlich wie im Keuper, eine recht gute Übereinstimmung der Schichten untereinander (Abb. 8.1.1.3). Diese können dabei in zwei Ähnlichkeitsgruppen aufgeteilt werden, wobei sich drei Schichten außerhalb dieser Gruppen befinden.

Im einzelnen weisen die Schichten des Lias ε eine enge Gruppenzusammengehörigkeit auf. Eine Ausnahme bilden die Stinkkalke, die einer kalkhaltigeren Gruppe zuzuordnen sind, der noch die Pilonotenskalke und unteren Schwarzjura mergel sowie in etwas abgeschwächter Form der Angulatenton und die Oberen Schwarzjura mergel angehören. Die sich außerhalb der Gruppen befindenden Pilonoten- und unteren Schwarzjura tone enthalten jeweils keine C-carb-

Werte. Da dieses Element für die beiden Schichten nicht gemessen werden konnte, ergeben sich somit deutliche Unterschiede zu den übrigen Formationen, womit die fehlenden Übereinstimmungen keine Aussagekraft besitzen. Weiterhin sind die Oberen Schwarzjura tone nicht mit Bestimmtheit einer der Gruppen zuzuordnen. Wie bereits in Abb. 8.1.1.1 (s.o.) gezeigt, lassen sich insbesondere die Pilonotentone sowie die Oberen und Unteren Schwarzjura tone eher mit den tonreichen Schichten des Keuper korrelieren.

### Braunjuraschichten

Die Schichten des Braunen Jura weisen insgesamt ebenfalls große Gemeinsamkeiten auf (Abb. 8.1.1.4). Die einzelnen Blöcke (z.B. Gruppe Wedelsandstein, Humphriesi-Oolith, Blagdeni-Schichten, Hamitenton) unterscheiden sich geochemisch nur wenig, so daß auch unterschiedlich angesprochene Gesteinsarten (Sandsteine, Tone, Oolithe) fast beliebig assoziiert werden können. Die Gruppenbildungen lassen somit keine eindeutigen Schlüsse zu.

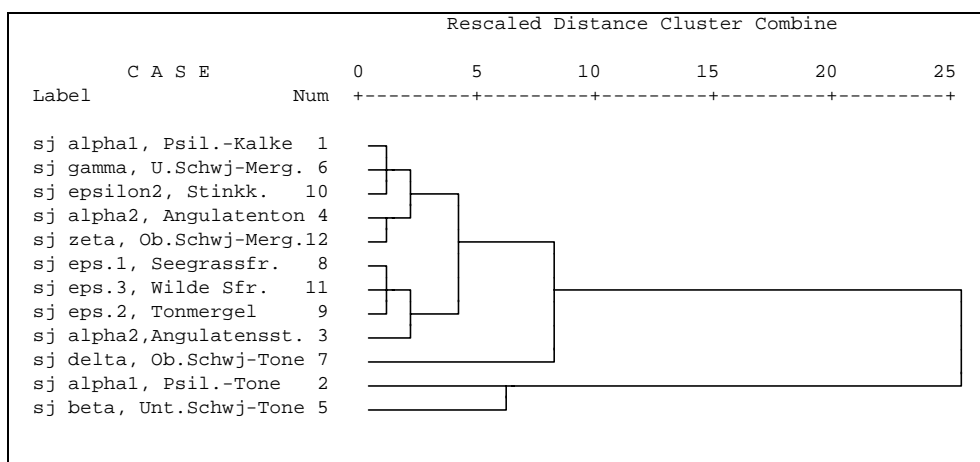


Abb. 8.1.1.3: Dendrogramm der Clusteranalyse von Schwarzjuraschichten auf Basis der Gesamtgehalte der Elemente



Als markant unterschiedlicher Block treten lediglich der Untere Donzdorfer Sandstein sowie Personatensandstein und Opalinuston auf. Dies liegt in der Hauptsache an den gegenüber den restlichen Braunjuraschichten deutlich geringeren Gehalten an Ca, wobei Unterer Donzdorfer- und Personatensandstein

ähnlich geringe Gehalte aufweisen (mind. um den Faktor 10 niedriger als übrige Schichten). Der Opalinuston ist zudem das einzige Gestein des Braunen Jura, in dem Cd-Gehalte oberhalb der Nachweisgrenze gemessen wurden.

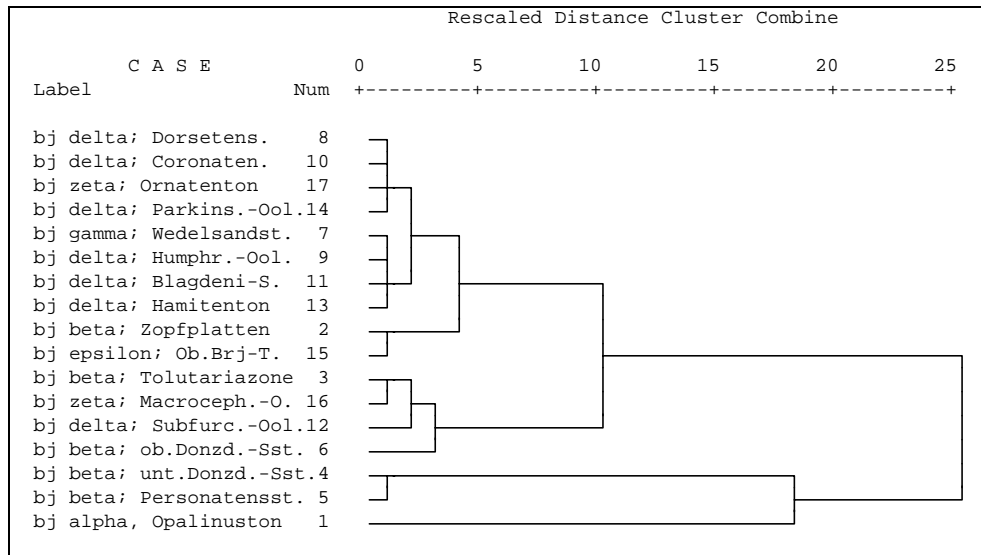


Abb. 8.1.1.4: Dendrogramm der Clusteranalyse von Braunjuraschichten auf Basis der Gesamtgehalte der Elemente

### Zusammenfassung

Die Schichten innerhalb der stratigraphischen Serien und ihre übereinstimmenden Merkmale lassen sich, bezogen auf die o.a. Clusteranalysen, jeweils in

Ähnlichkeitsgruppen zusammenfassen. Die für diese Ähnlichkeitsgruppen maßgebenden Elementassoziationen sind mit angeführt:

|                       |                                                     |                                                                                                                                                                           |
|-----------------------|-----------------------------------------------------|---------------------------------------------------------------------------------------------------------------------------------------------------------------------------|
| <b>Keuper</b>         | 3 Ähnlichkeitsgruppen:                              | <ol style="list-style-type: none"> <li>1. sulfatbedingt (v.a. Gips)</li> <li>2. tonreich (v.a. mit Fe, Cd)</li> <li>3. tonmergelig (v.a. Al, Ca, Fe)</li> </ol>           |
| <b>Schwarzer Jura</b> | 2 Ähnlichkeitsgruppen:                              | <ol style="list-style-type: none"> <li>1. Tonschiefer d. Lias ε (generelle Übereinstimmung mit Ausnahme der Stinkkalke)</li> <li>2. stark kalkhaltig (v.a. Ca)</li> </ol> |
| <b>Brauner Jura</b>   | mehrere Blöcke ohne eindeutige Ähnlichkeitsmerkmale |                                                                                                                                                                           |

### 8.1.2. Korrelationsanalyse der Elementgesamtgehalte über alle Schichten

Im Gegensatz zum Vergleich der Gemeinsamkeit von Merkmalen der untersuchten Schichten mittels Clusteranalyse werden im folgenden anhand einer einfachen Korrelationsanalyse Ähnlichkeiten im Verhalten der einzelnen Elemente geprüft. Die Prüfung erfolgt an dieser Stelle zunächst unter Einbeziehung der mittleren Elementgehalte aller Schichten, d.h. ohne stratigraphische Differenzierung (siehe dazu Abschnitt 8.1.3.). Dabei sind jedem Element im Idealfall 53 Meßwerte (= max. Anzahl der Schichten) zugeordnet.

Die durch Korrelationen belegten Kombinationen der Hauptelemente lassen sich meist auf mineralogische Gegebenheiten zurückführen. So sind Aluminium und Calcium hochsignifikant negativ korreliert, da der Al-Gehalt im wesentlichen den Tonanteil des Gesteins widerspiegelt, während Ca den Kalkanteil bestimmt (siehe *Tab. 8.1.2.1.* und Anhang: *Abb. 8a*). Eine gegensätzliche Beziehung gilt auch für das Verhältnis von Tonanteil und Gips, das die signifikant negative Korrelation von Al mit  $\text{SO}_4$  erklärt (vgl. auch *Abb. 8a*, Anhang). Da der Gipsgehalt in vielen

Schichten jedoch nur gering bis nicht vorhanden ist, fällt die Korrelation hierbei nicht so deutlich aus.

Aluminium und Kalium zeigen eine hochsignifikante positive Korrelation, die auch graphisch eindeutig belegbar ist (*Abb. 8a*, Anhang). Beide Elemente sind gemeinsame Bestandteile der häufigsten Glimmer (incl. Illit) und Feldspäte (Orthoklase). Al ist auch mit Magnesium hochsignifikant positiv korreliert, was auf die Anwesenheit entsprechender Schichtsilikate (Montmorillonite, Chlorite, Vermiculite) in den tonigeren Sedimentgesteinen hindeutet. Da Kalium und Magnesium Bestandteile von mixed-layer-Tonmineralen sind, zeigt sich auch hierbei eine Korrelation, die jedoch nur schwach ausfällt, weil beide Elemente in unterschiedliche Tonminerale eingebaut werden.

Durch das Vorkommen von mehr oder minder hohen Gipsanteilen in einigen Gesteinen, ergibt sich selbstverständlich eine leichte Korrelation bei  $\text{Ca}/\text{SO}_4$  (vgl. auch *Abb. 8a*, Anhang). Für das hochsignifikant negative Verhältnis von Calcium und Kalium gilt das bereits bei  $\text{Al}/\text{Ca}$  gesagte. Der Kalkanteil der Gesteine wird durch das äußerst enge Verhältnis von Ca und C-carbonat widerspiegelt.

**Tab. 8.1.2.1.: Elementkorrelationen über alle Schichten – Gesamtgehalte der Gesteine**

|                                          |                                         |                |
|------------------------------------------|-----------------------------------------|----------------|
| <b>Al / Ca (-)</b>                       | <b>Fe / Ni</b>                          | <b>Co / Ni</b> |
| <b>Al / K</b>                            | <b>Fe / V</b>                           | <b>Co / V</b>  |
| <b>Al / Mg</b>                           | <b>K / Mg</b>                           | <b>Cr / V</b>  |
| <b>Al / <math>\text{SO}_4</math> (-)</b> | <b>K / B</b>                            | <b>Cu / Se</b> |
| <b>Al / B</b>                            | <b>K / Ba</b>                           | <b>Ni / As</b> |
| <b>Al / Ba</b>                           | <b>Mg / B</b>                           | <b>Ni / Cr</b> |
| <b>Ca / C-carb.</b>                      | <b>Mg / Se (-)</b>                      | <b>Ni / Cu</b> |
| <b>Ca / K (-)</b>                        | <b>Mn / Co</b>                          | <b>Ni / Se</b> |
| <b>Ca / <math>\text{SO}_4</math></b>     | <b>Mn / Ni</b>                          | <b>Ni / V</b>  |
| <b>Ca / B (-)</b>                        | <b><math>\text{SO}_4</math> / B (-)</b> | <b>Zn / Cd</b> |
| <b>Ca / Ba (-)</b>                       | <b>Cd / As</b>                          | <b>Zn / Cu</b> |
| <b>Fe / Mn</b>                           | <b>Cd / Ni</b>                          | <b>Zn / Hg</b> |
| <b>Fe / As</b>                           | <b>Cd / Se</b>                          | <b>Zn / Ni</b> |
| <b>Fe / Cd</b>                           | <b>Cd / V</b>                           | <b>Zn / Se</b> |
| <b>Fe / Co</b>                           | <b>Co / As</b>                          | <b>Zn / V</b>  |
| <b>Fe / Cr</b>                           | <b>Co / Cr</b>                          |                |

Fettdruck = hochsignifikant korreliert, Normaldruck = signifikant korreliert, (-) = negativ korreliert

Die zahlreichen gemeinsamen physikalisch-chemischen Eigenschaften von Eisen und Mangan führen schließlich ebenfalls zu einer deutlichen Korrelation (*Abb. 8a*, Anhang). Dies beruht wohl in erster Linie auf dem gemeinsamen Auftreten von Fe- und Mn-Oxiden/-Hydroxiden.

Ähnlich den Hauptelementen verweisen die Korrelationen der Spurenelemente auf bekannte Mineralisationen bzw. gemeinsame Bindungsformen.

Die sehr deutliche Beziehung zwischen Zink und Cadmium (vgl. auch *Abb. 8a*, Anhang) beruht auf deren enger chemischer Verwandtschaft sowie der Vergesellschaftung des Cd mit Zinkmineralen (insbesondere mit Sphalerit  $[ZnS]$  und Smithsonit  $[ZnCO_3]$ , reine Cd-Mineralen sind dagegen selten).

Zink zeigt auch mit Nickel, Vanadium und Kupfer hochsignifikante Korrelationen. Dabei sollten insbesondere die sulfidischen Bindungsformen sowie die Fixierung an Tonminerale eine große Rolle spielen. Durch Korrelationen belegt ist allerdings nur die ebenfalls mineralogisch bekannte gemeinsame Bindung an Eisen- und Manganoxide (zur Beziehung von Cu und Zn zu Sulfid vgl. jedoch Abschnitt 8.1.4.).

Das Selen kommt in der Regel mit Schwefel und Kupfer, Nickel sowie anderen Metallen vergesellschaftet vor. Zudem vertritt Se den Schwefel im Mittel im Verhältnis 1:6000 und bildet Metallsele-nide. Diese Faktoren bestimmen auch das deutliche Korrelationsverhalten von Selen mit Zn, Cd, Ni und Cu.

Den hochsignifikanten Nickelkorrelationen mit Cd, V und Cu (vgl. auch *Abb. 8a*, Anhang) liegen die bereits für Zink erwähnten Beziehungen mit Ni, V, Cu und Cd (auch Cd/V, Co/V) zugrunde. Cobalt kommt zumeist mit Ni vergesellschaftet vor, was deren sehr enge Korrelation verdeutlicht.

Arsenverbindungen enthalten oft andere Metalle wie z.B. Nickel oder Eisen [SAVORY & WILLS 1984]. Dies zeigt sich auch in den (hoch-) signifikanten Kor-

relationen Ni/As, Fe/As und Cd/As. Auch die deutliche Korrelation von Arsen mit Cobalt wird erklärbar, wenn man berücksichtigt, daß Co, ebenso wie Ni, ein Bestandteil von z.B. Skutterudit  $[(Co, Ni, Fe) As_3]$  ist, und Co und Ni auch im Skorodit  $[FeAsO_4 \cdot 2H_2O]$  häufig anzutreffen sind.

Chrom kommt hauptsächlich als Chromit  $[FeCr_2O_4]$  vor, was die deutliche Fe/Cr-Korrelation erklärt. Darüber hinaus zeigt Cr eine sehr enge Korrelation mit Vanadium (siehe *Abb. 8a*, Anhang). Dies wird einerseits bedingt durch das Vorhandensein von V in praktisch allen Chrommineralen, andererseits durch die gemeinsame Bindung an Tonen, die allerdings bei der hier vorgenommenen Übersichtsbe-trachtung nicht durch Korrelationen belegt ist (vgl. jedoch Abschnitt 8.1.3.: Keuperschichten). Der Ersatz von Chrom durch Vanadium geht bis zur Bildung des eigenständigen Minerals Coulsonit  $[FeV_2O_4]$ . Hieraus ergibt sich wiederum die Fe/V-Beziehung. Allgemein ersetzt 3-wertiges Cr das  $Fe^{3+}$  und 2-wertiges V das  $Fe^{2+}$ . Die Korrelationen deuten somit auch auf eine mögliche Mischkristallbildung zwischen Chromit und Coulsonit. Die Korrelationen Co/Cr (*Abb. 8a*, Anhang) und Ni/Cr ergeben sich aus der gemeinsamen Bindung an Mn- und Fe-Oxide sowie Tonminerale und dem Einbau in Sulfiden.

Bor weist eine starke Adsorption durch Al-Oxide, Fe-Oxide, organische Substanz und Tonminerale (v.a. Illit und Vermiculit) auf [SCHEFFER & SCHACHT-SCHABEL 1992]. Dies zeigt auch die äußerst enge Korrelation mit Al, K und Mg (vgl. auch *Abb. 8a*, Anhang). Die leichten negativen Korrelationen mit Ca und  $SO_4$  scheinen auf Verdünnungseffekten durch Kalk und/oder Gips zu beruhen.

Eisen korreliert mit einigen Schwermetallen (siehe *Abb. 8a*, Anhang), was sich sowohl auf den Einbau der Elemente in Fe-Sulfide als auch durch adsorptive Bindung an Fe-Oxide oder Fe-reiche Tonminerale zurückführen läßt. Bei gleichzeitiger Korrelation

dieser Schwermetalle mit Mangan ist eine vorherrschende Bindung an Fe-Mn-Oxide zu vermuten. Allerdings können bei sehr hohen Fe-Gehalten die Fe/Cd-Beziehungen auf Schwierigkeiten in der instrumentellen Analytik beruhen, etwa durch Überlagerung der Wellenlängen bei der optischen Detektion in der Plasmaemission (*Pile-up*-Effekt).

Barium weist hochsignifikante Korrelationen zu Al und K auf. Dies beruht auf dem diadochen Ersatz von K durch Ba in Feldspäten und Tonen.

### 8.1.3. Korrelationsanalysen von Elementgesamtgehalten der nach stratigraphischen Serien getrennten Gesteine

Wie Abschnitt 8.1.2. zeigt, sind die Ergebnisse der Korrelationsanalysen der Datengesamtmenge

zwar konsistent mit mineralogisch allgemein bekannten Grundschemata, führen jedoch nicht zu anwendbaren differenzierten Resultaten und nur im Bereich der Spurenelemente zu weiterreichenden Folgerungen.

Bedingt durch die stratigraphischen und petrographischen Inhomogenitäten des Probenmaterials bedürfen die Daten einer entsprechenden Einteilung in Gruppen, um anhand von Korrelationsanalysen Unterschiede bezüglich Stoffbestand und Bindungsformen der Elemente zwischen den stratigraphischen Serien oder verschiedenen Gesteinsarten ermitteln zu können.

**Tab. 8.1.3.1.: Elementkorrelationen nach stratigraphischen Serien – Gesamtgehalte der Gesteine**

| Keuper                   |                          | Schwarzer Jura |         | Brauner Jura |         |
|--------------------------|--------------------------|----------------|---------|--------------|---------|
| Al / Fe                  | K / Cr                   | Al / Ca (-)    | Mn / Pb | Al / K       | Mn / As |
| Al / K                   | K / Zn                   | Al / C-c. (-)  | Na / Mg | Al / Mg      | Mn / Co |
| Al / SO <sub>4</sub> (-) | Mg / C-c.                | Al / K         | Na / Ni | Al / B       | Mn / Ni |
| Al / B                   | Mn / Zn                  | Al / As        | B / Cr  | Al / Cu      | Na / Mg |
| Al / Ba                  | Na / Hg                  | Al / B         | Cd / Cu | Al / Pb      | Na / B  |
| Al / Cd                  | Na / V                   | Al / Ba        | Cd / Ni | Al / Zn      | Na / Se |
| Al / Cr                  | SO <sub>4</sub> / Co (-) | Al / Co        | Cd / Se | Ca / C-carb. | As / Se |
| Al / V                   | B / Cr                   | Al / Cr        | Cd / V  | Ca / As      | B / Cu  |
| Al / Zn                  | B / Se (-)               | Al / Ni        | Co / Cr | Ca / Co      | B / Pb  |
| Ca / C-carb.             | B / Zn                   | Ca / C-carb.   | Cr / Ba | Ca / Ni      | Co / As |
| Ca / K (-)               | Ba / Hg                  | Ca / Co (-)    | Cu / As | Ca / Se      | Co / Cr |
| Ca / SO <sub>4</sub>     | Cd / Ba                  | Ca / Cr (-)    | Cu / Se | C-carb. / Co | Co / Ni |
| Ca / Cr (-)              | Cd / Hg                  | C-c. / Cr (-)  | Ni / Ba | C-carb. / Ni | Co / Se |
| Ca / Ni (-)              | Cr / V                   | C-org. / As    | Ni / Cr | C-carb. / As | Co / V  |
| Ca / V (-)               | Hg / Se                  | C-org. / Cd    | Ni / Cu | C-carb. / Se | Cr / As |
| C-c. / Co (-)            | Ni / Cr                  | C-org. / Cu    | Ni / V  | Fe / C-carb. | Cr / Se |
| C-c. / Ni                | Ni / V                   | C-org. / Ni    | V / As  | Fe / Mn      | Cr / V  |
| Fe / K                   | Pb / Co                  | C-org. / Se    | V / Cu  | Fe / Co      | Ni / As |
| Fe / SO <sub>4</sub> (-) | V / Ba                   | C-org. / V     | V / Se  | Fe / Cr      | Ni / Cr |
| Fe / B                   | Zn / Ba                  | C-org. / Zn    | Zn / Cd | Fe / Ni      | Pb / Ba |
| Fe / Ba                  | Zn / Cd                  | K / Ba         | Zn / Cu | Fe / V       | Pb / Cu |
| Fe / Cd                  | Zn / Hg                  | K / C-org.     | Zn / Ni | K / B        | Zn / Se |
| Fe / Cr                  | Zn / Ni                  | K / Cr         | Zn / V  | K / Cu       |         |
| Fe / Zn                  | Zn / V                   | K / Ni         |         | K / Zn       |         |
| K / B                    |                          | K / Zn         |         | Mg / B       |         |

Fettdruck = hochsignifikant korreliert, Normaldruck = signifikant korreliert, (-) = negativ korreliert

Insbesondere die Bindungsformen der Schwermetalle sind dabei für die Wiederverwendung des Gesteins von besonderem Interesse, da sie direkte Rückschlüsse auf das Gefährdungspotential des Materials zulassen. Untersuchungen mittels sequentieller Elutionen zur Bestimmung der Bindungsformen [etwa nach TESSIER et al. (1979), FÖRSTNER & CALMANO (1982), JACOB et al. (1990)] wären aufgrund der großen Probenanzahl sowie des Aufwandes bei der Probenaufbereitung im vorliegenden Fall wenig effizient. Korrelationen bieten diesbezüglich den weitaus schnelleren Lösungsweg.

Im folgenden sollen die Elementgesamtgehalte der Schichten mittels verschiedener Korrelationsanalysen getrennt nach den stratigraphischen Serien Keuper, Schwarzer Jura und Brauner Jura untersucht werden (die übrigen Serien müssen aufgrund einer jeweils zu geringen Anzahl an Schichten entfallen). Neben einer einfachen Korrelation erfolgen für jede Serie auch eine Cluster- und Faktorenanalyse. Ziel der Analysen ist einerseits die Verifizierung von Elementgemeinsamkeiten und Bindungsformen innerhalb der stratigraphischen Serien, andererseits der Versuch, entsprechende Unterschiede zwischen diesen Serien herauszuarbeiten.

Tab. 8.1.3.1. zeigt die Ergebnisse der paarweisen Elementkorrelationen, getrennt nach den stratigraphischen Serien (= statistischen Gruppen) Keuper, Schwarzer Jura und Brauner Jura.

#### Keuperschichten

Die hochsignifikante Korrelation  $\text{Ca}/\text{SO}_4$  in den Keuperschichten und die entsprechende starke Übereinstimmung im Dendrogramm der geclusterten Elementgesamtgehalte des Keuper (Abb. 8.1.3.1) sowie in Faktor 1 der Faktorenanalyse (vgl. Tab. 8.1.3.2., s.u.) charakterisieren den dort verstärkt auf-

tretenden Gips (Gipskeuperschichten). Diese Beziehung ist in den anderen stratigraphischen Serien nicht zu beobachten. Dagegen sind kalkhaltige Gesteine in allen drei statistischen Gruppen vertreten, so daß sich die entsprechenden  $\text{Ca}/\text{C-carb.}$ -Korrelationen auch für alle Serien generell nachweisen lassen (für den Braunen Jura auch in der Clusteranalyse, vgl. Abb. 8.1.3.3: Ähnlichkeitsgruppe Ca-C-ges.). Eine  $\text{Mg}/\text{C-carb.}$ -Beziehung ist dagegen nur für den Keuper zu verifizieren. Dies läßt auf Dolomit in den Keuperschichten schließen, was durch die Ergebnisse der Röntgenaufnahmen z.T. bestätigt wird (siehe Abschnitt 7.8.). Die für Dolomit zu erwartende  $\text{Ca}/\text{Mg}$ -Korrelation tritt allerdings nicht auf, was auf eine Elementüberlagerung durch Gips und/oder Tone zurückzuführen wäre.

Im Keuper sind die Elementkombinationen  $\text{Al}/\text{Fe}$  (vgl. auch Abb. 8b, Anhang),  $\text{Al}/\text{K}$  und  $\text{Fe}/\text{K}$  hochsignifikant korreliert. Dies deutet auf Fe-Chlorite und /oder Illit in dieser stratigraphischen Serie, wie in Abschnitt 7.8. belegt.

Die negativen signifikanten Korrelationen  $\text{Al}/\text{SO}_4$ ,  $\text{Ca}/\text{K}$  und  $\text{Fe}/\text{SO}_4$  im Keuper zeigen einen Verdünnungseffekt bei den Tonsteinen (v.a. Illit oder Fe-Chlorit, s.o.) durch Karbonate und Sulfate. Das gegenläufige  $\text{Fe}/\text{SO}_4$ -Verhältnis läßt überdies auf das Fehlen von Fe-Sulfiden in einem Großteil der Keuperschichten schließen.

Auffällig sind die verstärkt auftretenden Korrelationen  $\text{Ba}/\text{Schwermetall}$  (Zn, Cd, V, Hg). Ba selbst ist wiederum mit Al korreliert (s.u.). Somit verweist die Beziehung der SM zu Ba auf die Tone der Keupergesteine, da sowohl Ba als auch Zn, Cd und V als Spurenelemente in einer Reihe von Tonmineralen zu finden sind [RÖSLER & LANGE 1976]. Ebenso sind die hochsignifikanten Korrelationen von Zink mit Aluminium, Kalium, Eisen und Mangan im Keuper zu erklären (siehe auch Abb. 8b, Anhang).

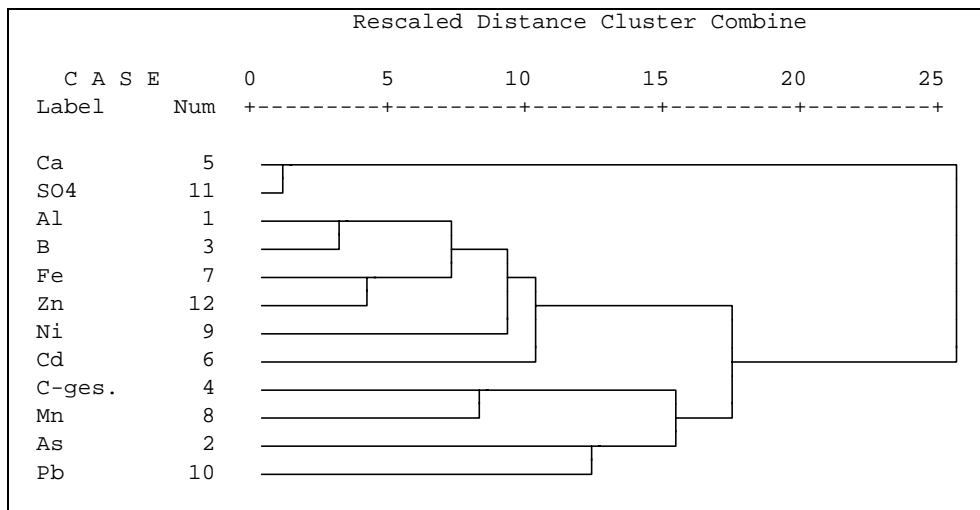


Abb. 8.1.3.1: Dendrogramm der Clusteranalyse von Elementgesamtgehalten im Keuper

Aus den Korrelationen und der Clusteranalyse (Abb. 8.1.3.1) ist zu ersehen, daß Bor in den Keuperschichten hochsignifikant sowohl mit Aluminium als auch mit Eisen korreliert und damit an die Tonminerale gebunden ist. Insgesamt entstammen im Keuper Bor, Zink, Cadmium, Chrom, Nickel und Barium hauptsächlich Fe-reichen Tonmineralen (**Cd, Cr, Ba**: Korrelationen sowohl mit Al als auch Fe und z.T. K;

vgl. auch Abb. 8b, Anhang. **Zn, Cd, Ni**: Übereinstimmungen im Keuper-Dendrogramm für Fe/Zn, Fe/Cd und Ni/Fe/Al/B; vgl. Abb. 8.1.3.1). Dies wird für B, Ni und Zn auch durch die Faktorenanalyse der Keuperschichten belegt (vgl. Tab. 8.1.3.2.), in der Faktor 1 eine Assoziation Ni-Al-Zn aufweist, zu der auch noch Fe und B hinzuzurechnen sind.

**Tab. 8.1.3.2.: Rotierte Faktormatrix der Faktorenanalyse von Elementgesamtgehalten der Keuperschichten (Elementauswahl entsprechend Kap. 8. c) Faktorenanalyse). As ist keinem Faktor zuzurechnen und wurde daher nicht berücksichtigt.**

|                       | Faktor 1 | Faktor 2 | Faktor 3 | Faktor 4 |
|-----------------------|----------|----------|----------|----------|
| <b>Ca</b>             | -0,92    | -0,12    | 0,11     | -0,07    |
| <b>SO<sub>4</sub></b> | -0,89    | -0,12    | -0,29    | 0,02     |
| <b>Ni</b>             | 0,79     | 0,11     | -0,22    | 0,05     |
| <b>Al</b>             | 0,65     | 0,58     | 0,18     | -0,25    |
| <b>Zn</b>             | 0,65     | 0,52     | 0,17     | 0,30     |
|                       |          |          |          |          |
| <b>Cd</b>             | 0,02     | 0,92     | -0,16    | 0,05     |
| <b>Fe</b>             | 0,53     | 0,74     | 0,12     | 0,01     |
|                       |          |          |          |          |
| <b>C-ges.</b>         | -0,04    | -0,07    | 0,95     | -0,01    |
| <b>Mn</b>             | 0,13     | 0,14     | 0,63     | 0,68     |
|                       |          |          |          |          |
| <b>Pb</b>             | 0,19     | 0,10     | -0,03    | 0,67     |
| <b>B</b>              | 0,48     | 0,46     | 0,07     | -0,63    |
|                       |          |          |          |          |
| <b>Eigenwert</b>      | 4,92     | 1,87     | 1,23     | 1,13     |

Diese Beziehungen in der Faktorenanalyse bestätigen somit das Vorhandensein von Fe-Chloriten in den Gesteinen des Keuper (z.B. Bochinger Horizont, siehe *Tab. 7.8.3.*). Letztlich kann Faktor 1 hier also auch als Tonmineralanteil und adsorptive Bindung von Schwermetallen an Tonminerale bezeichnet werden. Wie der hohe Eigenwert von Faktor 1 bei gleichzeitiger negativer Assoziation mit Ca und  $\text{SO}_4$  belegt, sind die Keupergesteine damit ganz überwiegend durch den Gegensatz Sulfat – Tonanteile dominiert.

Der zweite Faktor in *Tab. 8.1.3.2.* wird durch die Gemeinsamkeit von Eisen und Cadmium bestimmt. Ausschlaggebend dürfte hier die adsorptive Bindung des Cd an Fe-Tonminerale sein. Dafür spricht auch die gleichzeitige, allerdings etwas schwächere, Beziehung zu Al und Zn. Somit handelt es sich hierbei erneut um einen Tonfaktor, der durch einen Adsorptionsfaktor ergänzt wird. Nicht auszuschließen wäre jedoch auch eine adsorptive Bindung des Cd an Fe-Oxide/Hydroxide, wie z.B. Goethit [FORBES et al. 1976].

Die Übereinstimmungen von Mangan und C-ges. sind charakteristisch für den dritten Faktor in der Faktorenanalyse der Keuperschichten. Dieser Zusammenhang zeigt sich ebenfalls im Keuper-Dendrogramm (*Abb. 8.1.3.1*) und spricht für eine karbonatische Bindung von Mn (z.B. Ankerit), was sich aus den Einzelkorrelationen nicht ersehen läßt. Ähnliches gilt für Faktor 4, der Mangan und Blei (Pb an Mn-Oxide gebunden) sowie, mit gegenläufigem Verhalten, Bor in Beziehung setzt. Diese beiden letzten Faktoren spielen jedoch nur eine untergeordnete Rolle (siehe Eigenwerte) und sind somit bei der Betrachtung der Elementbeziehungen eher zu vernachlässigen.

Vanadium ist im Keuper ebenfalls an die Tone gebunden (Korrelation Al/V), worauf auch die Na/V-Korrelation zurückzuführen sein dürfte (gemeinsames

Auftreten in Tonmineralen). Das Vorhandensein von Sulfaten und Karbonaten führt bei Co, Cr und V zu einer Abnahme der Gehalte (Verdünnungseffekt; negative Korrelationen mit Ca,  $\text{SO}_4$  und C-carbonat).

Für die deutliche Korrelation von Natrium mit Quecksilber in den evaporitischen Keuperschichten (Gipskeuper) könnten Restanteile von NaCl verantwortlich sein, welche  $\text{Cl}^-$ -Ionen zur Stabilisierung für das Hg bereitstellen (Bildung von  $\text{Hg(I)-Chlorid}$ ). So sind unter einer ganzen Reihe stabiler Hg-Cl-Mineralisationen der Terlinguait [ $2\text{HgO} \cdot \text{Hg}_2\text{Cl}_2$ ] und Kalomel [ $\alpha - \text{Hg}_2\text{Cl}_2$ ] am bekanntesten.

Aus der gemeinsamen Betrachtung von Korrelationen, Cluster- und Faktorenanalyse bleibt insgesamt festzustellen, daß der hauptsächliche Faktor in den Keuperschichten der Tonanteil und das durch ihn gesteuerte adsorptive Verhalten einiger Schwermetalle ist. Wie weiter oben beschrieben und röntgenographisch belegt (siehe Abschnitt 7.8.), sind dabei besonders die Fe-Tonminerale (Chlorite) und Illit hervorzuheben. Gegenläufig zu diesem Tonanteil sind die Gips- und Kalkgehalte.

#### Schwarzjuraschichten

Die große petrographische Variabilität des Schwarzen Jura im Bereich Kalk-Mergel-Ton führt zu einer sehr deutlichen negativen Al/Ca-Korrelation. Im Gegensatz zu den Keuperschichten spielen Sulfatsedimente hier keine Rolle. Somit wird die Zusammensetzung der Schichten durch ein gegenläufiges Ton-/Kalk-Verhältnis repräsentiert. Dies wird noch von der negativen Al/C-carb.-Beziehung unterstrichen und durch Faktor 2 der Faktorenanalyse (vgl. *Tab. 8.1.3.3.*) bestätigt.

Die im Schwarzen Jura auftretende hochsignifikante Korrelation von Na/Mg weist deutlich auf das Vorhandensein von Montmorillonit in den Gesteinen

dieser Serie. Die hochsignifikante Al/K-Korrelation läßt daneben auch Illit vermuten (siehe *Tab. 8.1.3.1.*).

Zink, Cobalt, Nickel, Chrom, Barium und Arsen sind im Schwarzen Jura z.T. an die Tone gebunden (Korrelationen mit Al und/oder K). Bei kalkhaltigeren Gesteinen reduzieren sich die Cobalt- und Chromgehalte, was sich in den negativen Korrelationen dieser Elemente mit Calcium (Co) bzw. Calcium und C-carbonat (Cr) niederschlägt. In einigen Schwarzjuragesteinen scheint Blei an Manganoxide gebunden zu sein (Korrelation Mn/Pb).

In der Faktorenanalyse ist Faktor 1 der maßgebende Indikator für die Elementbeziehungen in den Schwarzjuraschichten (Eigenwert = 4,1, siehe *Tab. 8.1.3.3.*). Dieser wird bestimmt durch die positiven Beziehungen von Ni, Zn, Cd, Fe und SO<sub>4</sub> sowie etwas weniger deutlich auch As. In diesen Gesteinen sind neben Fe offensichtlich die Schwermetalle Nickel, Zink, Cadmium und z.T. As als Fe-Sulfide gebunden, die insbesondere in den Schwarzschiefern in größeren

Anteilen vorhanden sind (z.B. Pyrit in den Unteren Schwarzjuraemergeln, vgl. *Tab. 7.8.5.*). Dieser Befund wird durch die Clusteranalyse gestützt (vgl. *Abb. 8.1.3.2.*), welche die gleiche Gruppierung zeigt. Zu dieser Gruppe assoziiert sich auf Faktor 1 der Kohlenstoff, allerdings ohne Ca. Dies verweist auf den organischen Teil des Kohlenstoffs in Verbindung mit den Sulfiden (siehe auch enge Beziehung von C und SO<sub>4</sub> in der Clusteranalyse, *Abb. 8.1.3.2.*) und somit auf reduzierende Bedingungen bei der Bildung des Sediments. Entsprechend finden sich auch (hoch-) signifikante Korrelationen von C-org. mit Zn, Cd, Ni, Cu, V, As und Se (siehe *Tab. 8.1.3.1.*)

Der Zweite Faktor belegt den Zusammenhang der kalkbildenden Komponenten, ohne daß weitere Elemente mit Kalk assoziiert wären. Die negative Beziehung zu Al bedarf nach den vorhergehenden Diskussionen keiner weiteren Erklärung. Der Kalkanteil scheint somit keinen Einfluß auf die Schwermetallgehalte des Sediments zu haben.

**Tab. 8.1.3.3.: Rotierte Faktormatrix der Faktorenanalyse von Elementgesamtgehalten der Schwarzjuraschichten.**

|                       | Faktor 1 | Faktor 2 | Faktor 3 | Faktor 4 |
|-----------------------|----------|----------|----------|----------|
| <b>Ni</b>             | 0,90     | -0,09    | -0,08    | 0,19     |
| <b>Zn</b>             | 0,85     | 0,05     | -0,01    | -0,08    |
| <b>Cd</b>             | 0,80     | 0,09     | 0,26     | 0,11     |
| <b>Fe</b>             | 0,79     | -0,26    | -0,04    | 0,09     |
| <b>SO<sub>4</sub></b> | 0,60     | 0,37     | 0,56     | 0,06     |
|                       |          |          |          |          |
| <b>Ca</b>             | -0,01    | 0,89     | -0,16    | -0,24    |
| <b>Al</b>             | 0,20     | -0,86    | -0,12    | 0,12     |
| <b>C-ges.</b>         | 0,59     | 0,69     | 0,26     | -0,001   |
|                       |          |          |          |          |
| <b>Mn</b>             | 0,23     | -0,15    | -0,85    | -0,20    |
| <b>As</b>             | 0,43     | -0,35    | 0,71     | -0,15    |
|                       |          |          |          |          |
| <b>B</b>              | -0,04    | -0,24    | -0,10    | 0,83     |
| <b>Pb</b>             | 0,27     | -0,05    | 0,28     | 0,70     |
|                       |          |          |          |          |
| <b>Eigenwert</b>      | 4,17     | 2,66     | 1,60     | 1,04     |



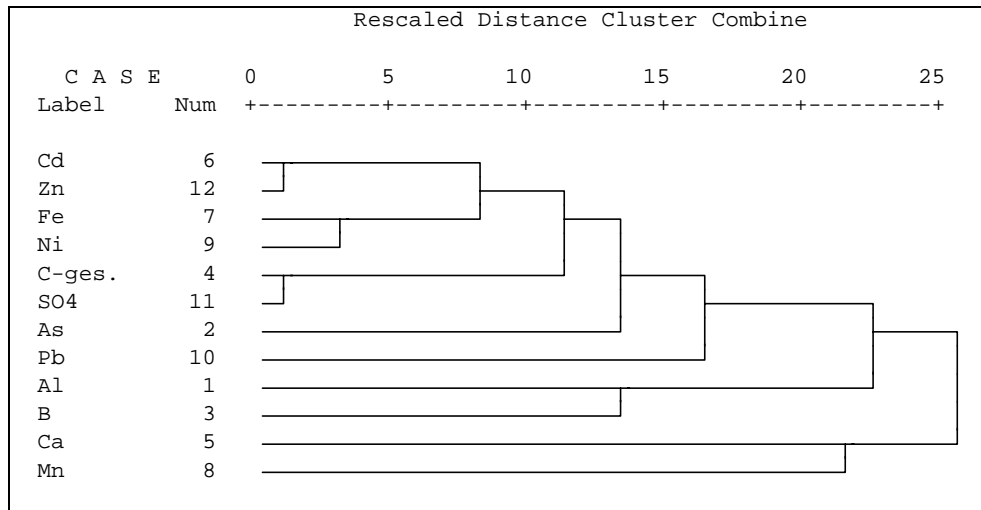


Abb. 8.1.3.2: Dendrogramm der Clusteranalyse von Elementgesamtgehalten im Schwarzen Jura

Der dritte Faktor in der Faktorenanalyse der Schwarzjuraschichten stellt As in gegensätzliche Beziehung zu Mn. Mangan steht hier für eine oxidische Bindung, während Arsen eher sulfidisch gebunden ist (z.T. auch an Tonminerale, siehe Korrelation) und zeigt somit, daß der Schwarze Jura, im Gegensatz zum Braunen Jura (vgl. Tab. 8.1.3.4.), kaum oxidische Bindungsformen aufweist. Der Eigenwert von Faktor 4 ist nur gering, so daß ihm hier keine Relevanz zugemessen wird.

Die Korrelationen belegen für den Schwarzen Jura die Bindung der SM an Sulfide, Tonminerale und organischen Kohlenstoff.

#### Braunjuraschichten

Im Braunen Jura ist eine hochsignifikante Al/K-Korrelation zu beobachten, die für ein Auftreten von Illit spricht. Die leichte Al/Mg-Korrelation deutet zudem auf die Anwesenheit von Chloriten (Tab. 8.1.3.1.).

Wie die enge Fe/Mn-Korrelation (vgl. Tab. 8.1.3.1.) zeigt, weisen die gröberklastischen sandigenen Schichten des Braunen Jura offenbar einen höheren Anteil an Eisen-/Mangan-Oxiden/-Hydroxiden auf als die anderen Serien. Ein Vergleich der durchschnittlichen Fe- und Mn-Gehalte der stratigraphischen Serien mag dies belegen:

| strat. Serie   | mittlerer Fe-Gehalt<br>(mg/kg) | mittlerer Mn-Gehalt<br>(mg/kg) |
|----------------|--------------------------------|--------------------------------|
| Keuper         | 21309                          | 465                            |
| Schwarzer Jura | 26285                          | 641                            |
| Brauner Jura   | 44686                          | 735                            |

Die zusätzliche Fe/C-carb.-Korrelation, die das Vorhandensein von Sideriten im Braunen Jura nahelegt, verweist in Verbindung mit dem Fe/Mn-Verhältnis auch auf eine gemeinsame Herkunft der Oxide aus teilweise zersetztem Ankerit [Ca (Mg, Fe, Mn) (CO<sub>3</sub>)<sub>2</sub>]. Für diesen Umstand sprechen überdies die Elementbeziehungen von Faktor 1 der Braunjura-Faktorenanalyse (siehe Tab. 8.1.3.4.). Sie charakterisieren sehr gut eine karbonatische Bindungsform entsprechend Ankerit, da dieser nicht nur aus Ca, Mn, Fe und CO<sub>3</sub> besteht, sondern auch Ni als Spurenelement enthält [RÖSLER & LANGE 1976].

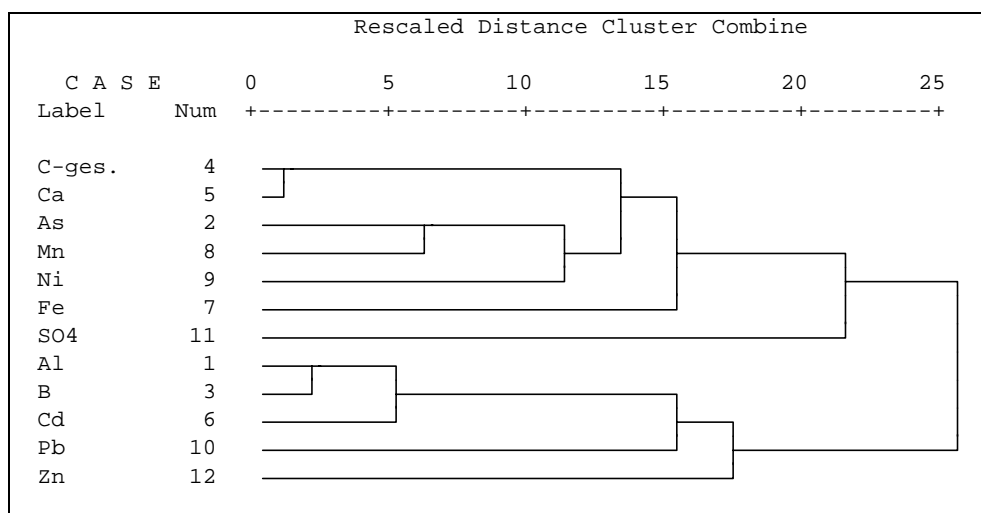
**Tab. 8.1.3.4.: Rotierte Faktormatrix der Faktorenanalyse von Elementgesamtgehalten der Braunjuraschichten.**

|                       | Faktor 1 | Faktor 2 | Faktor 3 |
|-----------------------|----------|----------|----------|
| <b>C-ges.</b>         | 0,88     | 0,08     | -0,04    |
| <b>Ca</b>             | 0,84     | -0,23    | -0,08    |
| <b>Mn</b>             | 0,80     | 0,001    | -0,06    |
| <b>As</b>             | 0,75     | -0,08    | 0,35     |
| <b>Fe</b>             | 0,53     | 0,25     | 0,36     |
|                       |          |          |          |
| <b>Al</b>             | -0,05    | 0,92     | 0,08     |
| <b>Cd</b>             | -0,03    | 0,89     | -0,13    |
| <b>B</b>              | -0,01    | 0,88     | 0,08     |
| <b>Zn</b>             | 0,08     | 0,52     | 0,02     |
|                       |          |          |          |
| <b>SO<sub>4</sub></b> | 0,004    | -0,12    | 0,85     |
| <b>Ni</b>             | 0,55     | 0,12     | 0,65     |
| <b>Pb</b>             | -0,26    | 0,46     | 0,49     |
|                       |          |          |          |
| <b>Eigenwert</b>      | 3,52     | 3,13     | 1,46     |

Daneben ist der Faktor aber auch als gemeinsames Auftreten von karbonatischen und oxidischen Mineralisationen zu deuten. Diese Interpretation stimmt mit den Feldbefunden überein, wonach Karbonate mit Fe-Mn-Oxiden vergesellschaftet auftreten. Da neben Ni auch As dem Faktor 1 zuzurechnen ist, wären diese dann eher als an die oxidischen Phasen gebunden zu deuten. Die Bindung von Ni und As an Fe-Mn-Oxide wird neben der Faktoren- auch durch die Clusteranalyse (Ähnlichkeitsgruppe As - Mn - Ni (-Fe), vgl. Dendrogramm *Abb. 8.1.3.3*) sowie den

Einzelkorrelationen (*Tab. 8.1.3.1.*) bestätigt. Letztere zeigen den selben Sachverhalt auch für Cobalt, Chrom und Vanadium ((hoch-) signifikante Korrelationen mit Fe und Mn, siehe auch *Abb. 8b*, Anhang). Wichtig sind hierbei die Fe-Oolithe.

Faktor 2 der Faktorenanalyse (*Tab. 8.1.3.4.*) belegt die Bindung von Bor, Zink und Cadmium an die Tonminerale (Assoziation mit Al). Wie die Korrelationen zeigen, gilt dies auch für Blei und Kupfer (Beziehungen zu Al und z.T. K, vgl. *Tab. 8.1.3.1.*).



**Abb. 8.1.3.3: Dendrogramm der Clusteranalyse von Elementgesamtgehalten im Braunen Jura**

Cobalt, Nickel, Arsen und Selen könnten z.T. auch an Ca-reiche Tonminerale oder karbonatisch gebunden sein (Korrelationen mit Ca, *Tab. 8.1.3.1.*), wobei eine Assoziation von As und Se etwa als Calciumarsenat bzw. Calciumselenit möglich wäre. Allerdings verweisen die bei diesen vier Elementen ebenfalls auftretenden Korrelationen zu C-carbonat eher auf ein lediglich gleichzeitiges Vorkommen mit  $\text{CaCO}_3$  (siehe auch Faktorenanalyse).

Die Kombination Ni-Pb-SO<sub>4</sub> im dritten Faktor der

Faktorenanalyse legt einen gewissen Einfluß von sulfidischer Bindung auf Ni und Pb nahe (z.B. Pyrit, siehe *Tab. 7.8.4.*). Diese Bindungsform dürfte aufgrund des geringen Eigenwertes von Faktor 3 (1,46) jedoch nur von untergeordneter Bedeutung sein.

Eine Na/Se-Korrelation im Braunen Jura resultiert aus den sandigen Mergeln, in denen sie hochsignifikant vorliegt. Diese Na/Se-Assoziation dürfte auf die Se-Stabilisierung durch Na als gering lösliches Na-Selenit zurückzuführen sein.

### Zusammenfassung

Zusammenfassend lassen die Korrelationen folgende mineralische Bindungsformen für die jeweili-

gen stratigraphischen Serien erkennen (wesentliche Bestandteile in Fettdruck):

| Keuper              | Schwarzer Jura        | Brauner Jura                 |
|---------------------|-----------------------|------------------------------|
| <b>Fe-Chlorite</b>  | <b>Fe-Sulfide</b>     | <b>Fe-Mn-Oxide/Hydroxide</b> |
| <b>Illit</b>        | <b>Illit</b>          | <b>Ca-Karbonate</b>          |
| <b>Gips</b>         | <b>Montmorillonit</b> | Siderit                      |
| <b>Ca-Karbonate</b> | <b>Ca-Karbonate</b>   | Ankerit                      |
| Mn-Karbonat         | Mn-Oxide              | Illit                        |
| Dolomit             |                       | Chlorit                      |
| Mn-Oxide            |                       | Sulfide                      |
| Na-Salze            |                       | Na-Selenit                   |

Darüber hinaus ergeben die Befunde der Korrelationsanalysen eine einfache Charakterisierung der

stratigraphischen Serien hinsichtlich ihrer hauptsächlichen Schwermetall-Bindungsformen:

| Schwermetalle gebunden an: |                            |         |                       |             |
|----------------------------|----------------------------|---------|-----------------------|-------------|
|                            | Tonminerale<br>(adsorptiv) | Sulfide | C-org.<br>(adsorptiv) | Fe-Mn-Oxide |
| Keuper                     | ++                         | —       | —                     | —           |
| Schwarzer Jura             | +                          | ++      | +                     | —           |
| Brauner Jura               | +                          | —       | —                     | ++          |

Für die Wiederverwertung der Gesteine bedeutet dies eine überwiegende Gefährdung durch Keuper- und insbesondere Schwarzjuraschichten. Adsorptiv an Tonminerale gebundene SM wie im Keuper lassen sich in der Regel durch einwirkende Wässer recht leicht mobilisieren. Darüber hinaus können im Keuper auch hohe Salzlasten, insbesondere gelöste Sul-

fate, zu einer vermehrten Freisetzung der adsorptiv gebundenen SM-Ionen führen. Dies ist v.a. abhängig vom jeweiligen Grad der Adsorption, da fließende Übergänge von nur schwacher Anlagerung der Ionen bis zum Einbau in Kristallgitter möglich sind.

Besonders problematisch sind die Schwarzjurgesteine, da zusätzlich zu den stabilen sulfidischen

leicht eluierbare adsorptive Bindungen an C-org. vorliegen. Unter dem Einfluß der Verwitterung wird neben Sulfid auch C-org. oxidiert und somit die schwache adsorptive Bindung aufgelöst. Über die Freisetzung der sulfidisch gebundenen SM während der verwitterungsbedingten Sulfatbildung hinaus bewirkt der gleichzeitig durch Sulfatlösung entstehende saure pH eine effiziente SM-Freisetzung aus den Tonmineralen.

Die vorwiegend oxidisch/hydroxidisch gebundenen SM im Braunen Jura stellen aufgrund ihrer stabileren Bindung ein eher geringeres Risiko bei der Wiederverwendung der Gesteine dar.

#### 8.1.4. Korrelationen Gesamt- / Eluatgehalte

Die Beziehungen zwischen Gesamt- und Eluatgehalten können Hinweise zu möglichen leicht löslichen Bindungsformen der Elemente liefern. Dies geschieht hier zunächst wiederum mittels einer einfachen Korrelationsanalyse über alle Schichten. Dabei sind zwei sinnvolle Kombinationsmöglichkeiten zu überprüfen:

- Korrelation d. Gesamtgehalte d. Hauptelemente mit den Eluatgehalten der Spurenelemente.

- Korrelation der Gesamt- und Eluatgehalte eines jeweiligen Elementes.

Da die ganz überwiegende Zahl der Na-Mineralisationen ein hohes Löslichkeitsprodukt aufweist, ist der Befund einer deutlich positiven  $\text{Na}_{\text{ges.}}/\text{Na}_{\text{el.}}$ -Korrelation (Tab. 8.1.4.2.) sicherlich trivial. Die hochsignifikante Korrelation von  $\text{Na}_{\text{ges.}}/\text{B}_{\text{el.}}$  in Tab. 8.1.4.1. zeigt, daß das Natrium in den untersuchten Gesteinen zum Teil in marinen Tonen mit hoher B-Adsorptionskapazität (v.a. Illit, siehe auch 7.8.) vorliegt, da bei erhöhten Na-Gehalten solcher Tone immer auch höhere Boranteile gelöst werden können. Generell ist Bor in Sedimentgesteinen hauptsächlich in Illiten und Smectiten vorhanden. Bedingt durch den hohen Borgehalt des Meerwassers (im Durchschnitt 4,6mg/l), sind insbesondere Tonminerale mariner Herkunft reich an Bor [SCHEFFER & SCHACHTSCHABEL 1992]. Die fehlende Korrelation  $\text{Na}_{\text{ges.}}/\text{B}_{\text{ges.}}$  bei den Gesamtgehalten der Gesteine kann darauf zurückgeführt werden, daß das Bor noch in weiteren, schwerer löslichen Verbindungen in den Gesteinen vorkommt, wie z.B. in Turmalinen.

Zink und Kupfer zeigen durch ihre  $\text{SO}_4$ -Korrelationen eine Bevorzugung der sulfidischen Bindungsform, bei gleichzeitiger relativ guter Löslichkeit aus den durch Aufoxidierung gebildeten Sulfaten.

**Tab. 8.1.4.1.: Elementkorrelationen über alle Schichten – Gesamtgehalte Hauptelemente / Eluatgehalte Spurenelemente**

| Na / B | $\text{SO}_4$ / Zn | $\text{SO}_4$ / Cu |
|--------|--------------------|--------------------|
|--------|--------------------|--------------------|

Fettdruck = hochsignifikant korreliert, Normaldruck = signifikant korreliert, (-) = negativ korreliert

**Tab. 8.1.4.2.: Elementkorrelationen über alle Schichten – Gesamt- und Eluatgehalte eines Elementes**

| Na / Na | Ca / Ca | $\text{SO}_4$ / $\text{SO}_4$ |
|---------|---------|-------------------------------|
|---------|---------|-------------------------------|

Fettdruck = hochsignifikant korreliert, Normaldruck = signifikant korreliert, (-) = negativ korreliert

Wie die geochemischen Modellierungen zeigen (siehe Kapitel 10), ist die Gesamtmenge an Gips in den Gesteinsproben für die Ca- und  $\text{SO}_4$ -Gehalte in den Eluatun unerheblich, da die Ionen stets nur bis zur Wassersättigung in Lösung gehen können. Obwohl somit die Gipsgehalte in der Lösung bei unterschiedlichen Gehalten im Gestein identisch sein sollten, und daher keine signifikanten  $\text{Ca}_{\text{ges.}}/\text{Ca}_{\text{el.}}$ - bzw.  $\text{SO}_{4\text{ges.}}/\text{SO}_{4\text{el.}}$ -Korrelationen entstehen dürften (Tab. 8.1.4.2.), liegen die Eluatwerte aus Gesteinen mit geringeren Gipsanteilen zumeist deutlich unterhalb der tatsächlich möglichen wassergesättigten Gehalte. Der Widerspruch löst sich aus der Tatsache, daß geringere Gesamtanteile an Gips, bei gleichzeitiger Gegenwart von Tonen, den einwirkenden Wässern auch eine kleinere Oberfläche zur Lösung darbieten („coating“ von Tonen). Dies ist insbesondere bei einer zeitlich begrenzten Einwirkung des Wassers (S4-Versuch) von Relevanz. Neben dem Anteil an Gips spiegelt die  $\text{SO}_{4\text{ges.}}/\text{SO}_{4\text{el.}}$ -Beziehung auch den Anteil oxidierte und dann leicht löslichen Sulfidverbindungen wider.

Um mögliche Unterschiede zwischen den stratigraphischen Serien aufzeigen zu können, werden im folgenden die Korrelationen der Gesamtgehalte der Hauptelemente mit den Eluatgehalten der Spurenelemente noch einmal getrennt nach den Serien Keuper, Schwarzer Jura und Brauner Jura durchgeführt

(siehe Tab. 8.1.4.3.).

#### Keuper

Die negativen Korrelationen von Gesamtgehalten an Aluminium, Eisen und Kalium mit den Eluatgehalten verschiedener Schwermetalle im Keuper (Tab. 8.1.4.3.) belegen die retardierende Wirkung der Tonminerale gegenüber Laugungsvorgängen. Blei scheint in hohem Maße mit Kalifeldspäten (vgl. km2, Tab. 7.8.2.) assoziiert zu sein, da eine positive Korrelation von eluiertem Pb mit Gesamtkalium festzustellen ist. Kupfer und Barium werden wahrscheinlich bei der Lösung von Ca-Sulfaten (Gips), Ca-Feldspäten (Ba) oder Karbonaten vermehrt freigesetzt (hochsignifikante Korrelationen Ca/Cu sowie Ca/Ba).

#### Schwarzer Jura

Die Gesamtsulfat/ $\text{SM}_{\text{el.}}$ -Korrelationen (Tab. 8.1.4.3.) spiegeln die vorherrschende sulfidische Bindung der Schwermetalle in diesen Schichten, insbesondere bei Tonen und Schwarzschiefern, wider. Wie die hochsignifikante  $\text{Mg}_{\text{ges.}}/\text{B}_{\text{el.}}$ -Korrelation zeigt, ist das Bor v.a. an Chlorite adsorptiv gebunden.

**Tab. 8.1.4.3.: Elementkorrelationen nach stratigraphischen Serien – Gesamtgehalte Hauptelemente / Eluatgehalte Spurenelemente**

| <b>Keuper</b>      | <b>Schwarzer Jura</b>      | <b>Brauner Jura</b> |
|--------------------|----------------------------|---------------------|
| <b>Al / Cr (-)</b> | <b>Mg / B</b>              | <b>Al / B</b>       |
| <b>Al / Cu (-)</b> | <b>SO<sub>4</sub> / Ba</b> | <b>Al / Pb (-)</b>  |
| <b>Al / Ni (-)</b> | <b>SO<sub>4</sub> / Cr</b> | <b>Fe / Ni</b>      |
| <b>Ca / Ba</b>     | <b>SO<sub>4</sub> / Cu</b> | <b>Fe / Pb (-)</b>  |
| <b>Ca / Cu</b>     | <b>SO<sub>4</sub> / Zn</b> | <b>K / B</b>        |
| <b>Fe / Cr (-)</b> |                            | <b>Mg / B</b>       |
| <b>Fe / Cu (-)</b> |                            | <b>Mg / Pb (-)</b>  |
| <b>K / Cu (-)</b>  |                            | <b>Na / B</b>       |
| <b>K / Pb</b>      |                            |                     |

Fettdruck = hochsignifikant korreliert, Normaldruck = signifikant korreliert, (-) = negativ korreliert

Brauner Jura

In den Schichten des Braunen Jura liegen hochsignifikante Korrelationen von eluiertem Bor mit den Gesamtgehalten von Natrium, Aluminium, Kalium und Magnesium vor (Tab. 8.1.4.3.). Dies unterstützt die bereits besprochene Herkunft aus marinen Tonen (Illit, vgl. 7.8.). Die negativen Verhältnisse von  $Pb_{el.}$  mit  $Al_{ges.}$ ,  $Fe_{ges.}$  und  $Mg_{ges.}$  deuten entweder auf eine zunehmende Festlegung des Schwermetalles bei erhöhtem Tonmineral-/Glimmeranteil im Gestein oder auf vorherrschende karbonatische Bindung des Pb. Leicht lösliches Nickel ist offenbar mit Fe-Oxiden assoziiert, wobei v.a. adsorptiv gebundenes Ni eluiert wird (Fe/Ni-Korrelation).

Zusammenfassung

Die Ergebnisse der Gesamtgehalt-/Eluat-Korrelationen belegen größtenteils die Feststellungen der vorhergehenden Untersuchungen. Insbesondere die vorherrschende sulfidische Bindung der Schwermetalle im Schwarzen Jura und das vermehrte Auftreten von Illit finden hier ihre Bestätigung.

Die nachfolgende Übersicht zeigt die Resultate dieser Untersuchung anhand der mineralischen Bindungen einiger Spurenelemente in den verschiedenen stratigraphischen Serien:

|                       | mineralische Bindung                                                     |
|-----------------------|--------------------------------------------------------------------------|
| <b>Keuper</b>         | Pb in Kalifeldspäten<br>Cu, Ba in Ca-reichen Verbindungen                |
| <b>Schwarzer Jura</b> | SM vorherrschend sulfidisch gebunden<br>B adsorptiv an Chlorite gebunden |
| <b>Brauner Jura</b>   | Ni an Fe-Oxide gebunden                                                  |

8.2. Gesamtübersicht

Nachfolgende Tabelle zeigt eine zusammenfassende Darstellung der sich aus der Diskussion dieses Kapitels ergebenden Bindungsformen der in den Gesteinen vorkommenden Spurenelemente bzw. Schwermetalle (Tab. 8.2.1.). Die Bindungsformen sind insbesondere bei der Wiederverwendung des Materials von Bedeutung, da sie Rückschlüsse auf das Eluierungspotential der toxischen Inhaltsstoffe durch einwirkende Wässer erlauben.

**Tab. 8.2.1.: Aus Korrelationsanalysen abgeleitete Bindungsformen der Spurenelemente in den verschiedenen untersuchten Serien**

| Serie                 | Schwermetall/Spurenelement   | Bindungsform                   |
|-----------------------|------------------------------|--------------------------------|
| <b>Keuper</b>         | B, Zn, Cd, Cr, Ni, V, Ba, Hg | tonmineralisch                 |
|                       | Zn, Cd, Cr, Ba, B, Ni        | an Fe-Chloriten                |
|                       | Cd                           | adsorptiv an Fe-Tonmineralen   |
|                       | Pb                           | in Kalifeldspäten u. Mn-Oxiden |
|                       | Cu, Ba                       | in Ca-reichen Verbindungen     |
|                       | Cd                           | an Fe-Oxide                    |
|                       | Hg                           | chloridisch                    |
| <b>Schwarzer Jura</b> | Cd, Zn, Ni, As               | (Fe-) sulfidisch               |
|                       | Zn, Co, Ni, Cr, Ba, As       | tonmineralisch                 |
|                       | Zn, Cd, Ni, Cu, V, As, Se    | adsorptiv an C-org.            |
|                       | B                            | adsorptiv an Chloriten         |
|                       | Pb                           | an Mn-Oxide                    |
| <b>Brauner Jura</b>   | Co, Ni, Cr, V, As            | an (Fe-, Mn-) Oxide/Hydroxide  |
|                       | B, Zn, Pb, Cd, Cu            | tonmineralisch (z.T. Illit)    |
|                       | Co, Ni, As, Se               | an Ca-reichen Tonmineralen     |
|                       | Ni, Pb                       | sulfidisch                     |
|                       | Ni                           | an Ca-Mn-Karbonaten (Ankerit)  |
|                       | Pb                           | karbonatisch ?                 |
|                       | Se                           | aus Na-Selenit ?               |

## 9. Vergleichsdaten

Zur besseren Einordnung der gemessenen Elementgehalte dieser Arbeit werden im folgenden Vergleichsdaten anderer Untersuchungen herangezogen. Zusätzlich sind die Eluatwerte den natürlichen Grundwassergehalten gegenübergestellt.

### 9.1. Elementgesamtgehalte in Gesteinen

#### Vergleichsdaten a:

Im Auftrag des Umweltamtes Stuttgart untersuchten JAHN et al. (1992) den geogenen Schwermetallbestand der Schichtenfolge des Stadtgebietes von Stuttgart. Die geologische Abfolge reicht dabei vom unteren Keuper bis zum Lias  $\gamma$  des Schwarzen Jura, ist dabei jedoch nicht vollständig. Da für die SM-Gehalte nur der Bereich minimaler bis maximaler Werte der Einzelproben angegeben ist, kann der Vergleich mit den Mittelwerten der vorliegenden Arbeit lediglich unter rein orientierenden Gesichtspunkten erfolgen.

Die Ergebnisse des Gutachtens (vgl. Tab. 9.1.1.) stimmen für Zink größtenteils mit den Bestimmungen der Zn-Gesamtgehalte der vorliegenden Untersuchung überein. Lediglich der Grundgips enthält bei JAHN et al. deutlich höhere Zn-Gehalte und ist eher mit den ausgelaugten Gipskeuperschichten dieser Arbeit zu vergleichen. Die Bleiwerte sind ebenfalls recht kongruent, lediglich die Gehalte im Lias fallen bei JAHN et al. z.T. etwas höher aus. Cadmium ist in den meisten Schichten des JAHN-Gutachtens jedoch deutlich geringer vorhanden (ca. Faktor 10 bei den Maximalwerten).

Die Cobaltgehalte in beiden Untersuchungen unterscheiden sich kaum voneinander. Ebenso bewegen sich die Nickelwerte in einem vergleichbaren Rahmen. Bezüglich Chrom liegen die Ergebnisse von JAHN et al. z.T. geringfügig höher. Die Kupfergehalte beider Arbeiten sind für den Lias gut vergleichbar, während die Angaben für den Keuper in der stuttgarter Untersuchung von 1992 teilweise zu stark divergierende Min.-Max.-Bereiche aufweisen, was einen Vergleich erschwert.

**Tab. 9.1.1.: Geogener Schwermetallbestand (mg/kg) der Schichtenfolge des Stadtgebietes von Stuttgart (min.-max. Angaben) [nach JAHN et al. 1992] – Gesamtgehalte**

| Schicht                 | Zn        | Pb        | Cd              | Co         | Ni      | Cr       | Cu        |
|-------------------------|-----------|-----------|-----------------|------------|---------|----------|-----------|
| ku                      | > 7 - 54  | 6 - 10    | > 0,006 - 0,011 | 8 - 14     | 15 - 75 | 43 - 46  | 11 - 33   |
| km1 Grundgips           | 4 - 65    | —         | < 0,003 - 0,53  | < 1 - 29   | 6 - 63  | < 1 - 55 | < 1 - 32  |
| km1 Dunkelrote Mergel   | 4 - 64    | —         | < 0,003 - 0,035 | 1 - 16     | 6 - 56  | < 1 - 67 | < 1 - 11  |
| km1 Mittl. Gipshorizont | 33 - 60   | —         | 0,008 - 0,026   | 2 - 20     | 18 - 50 | < 1 - 63 | < 1 - 31  |
| km3o                    | 45 - 75   | 4 - > 37  | > 0,006 - 0,052 | 8 - 23     | 16 - 82 | 39 - 68  | 3 - 27    |
| km4                     | 13 - 56   | 2 - > 55  | > 0,006 - 0,456 | 2 - 21     | 2 - 60  | 24 - 75  | > 0 - 42  |
| km5                     | 16 - 29   | —         | 0,029 - 0,099   | 6 - 9      | 22 - 51 | < 1 - 56 | < 1 - 15  |
| Lias $\alpha$ 2         | 14 - 69   | 4 - 28    | > 0,008 - 0,031 | > 4 - 18   | 4 - 72  | 33 - 99  | 2 - 26    |
| Lias $\beta$            | 70 - 101  | 21 - 26   | 0,049 - 0,111   | 11 - 20    | 39 - 77 | 73 - 96  | 21 - 36   |
| Lias $\gamma$           | > 38 - 85 | > 11 - 19 | > 0,096 - 0,325 | > 7 - > 10 | 33 - 42 | 20 - 21  | > 12 - 21 |

Eine Zusammenfassung der Meßergebnisse der Einzelproben bei JAHN et al. (inkl. Extremwerteliminierung und Mittelwertbildung) wäre zum Zweck der besseren Vergleichbarkeit mit anderen Daten wünschenswert gewesen, da bei Min.-Max.-Angaben die Spannweiten der Elementgehalte fast zwangsläufig zu groß ausfallen, so daß Abgleiche mit weiteren Untersuchungen kaum nennenswerte Aussagen zulassen. Auf Arsen oder Quecksilber wurde bei JAHN et al. nicht gemessen.

### Vergleichsdaten b:

Eine Untersuchung der Landesanstalt für Umweltschutz Baden-Württemberg (1994) beschäftigt sich mit Schwermetallgehalten in anthropogen unbelasteten Böden aus verschiedenen Ausgangsgesteinen Baden-Württembergs. Hierin wurden die Schichten grob nach ihrer Gesteinsart und Stratigraphie zusammengefaßt (siehe Tab. 9.1.2.).

Dabei ergeben sich für Cadmium, im Gegensatz zum vorgenannten Gutachten, durchaus vergleichbare Gehalte mit den Ergebnissen der vorliegenden Arbeit. Die Bleiwerte fallen dagegen etwas höher aus, wobei ein Pb-Eintrag aus der Luft in die Böden trotz weitgehender Vermeidung anthropogener Belastung sicher nicht auszuschließen ist. Die Chromgehalte

weisen daneben z.T. fast identische Werte auf. Kupfer unterscheidet sich lediglich in den Gehalten der Keupertonsteine, die in der Untersuchung der LfU teilweise höher ausfallen, während Nickel insgesamt eine deutliche Übereinstimmung zeigt. Auch die Zinkgehalte beider Untersuchungen sind sich zum großen Teil recht ähnlich.

Es gilt jedoch zu beachten, daß die Ergebnisse des LfU aus Böden gewonnen wurden. Rückschlüsse auf das entsprechende Ausgangsgestein sind durch An- oder Abreicherungsprozesse in den Böden insgesamt nur eingeschränkt möglich, was eine Vergleichbarkeit mit direkt aus den Gesteinen gemessenen Elementgehalten erschwert.

### Vergleichsdaten c:

Eine weitere Vergleichsmöglichkeit für Nickel bietet eine Untersuchung von GRUPE (1989), in der Schwermetallgehalte in Böden in Abhängigkeit vom Ausgangssubstrat ermittelt wurden. Dabei sollten geogene Ni-Gehalte am Beispiel eines Standortes in Baden-Württemberg (Rottenburg/Neckar) die Grenzen unterschiedlicher Ausgangssubstrate nachzeichnen. Die Schichtenfolge umfaßte den Unteren und Mittleren Keuper (Lettenkohle (ku), Gipskeuper (km1), Bunte Mergel (km3), Stubensandstein (km4)).

**Tab. 9.1.2.: Mittlere Schwermetallgehalte (mg/kg) in Böden aus verschiedenen Ausgangsgesteinen Baden-Württembergs (LfU Baden-Württemberg 1994)**

| Ausgangsgesteine       | Cd   | Pb   | Cr   | Cu   | Ni   | Zn    |
|------------------------|------|------|------|------|------|-------|
| Kalksteine Muschelkalk | 0,24 | 50,3 | 43,7 | 33,0 | 43,8 | 84,9  |
| Tonsteine Keuper       |      | 23,3 | 52,3 | 38,9 | 42,8 | 49,6  |
| Wechselfolgen Keuper   |      | 19,7 | 34,0 | 9,5  | 24,1 | 45,9  |
| Tonsteine              | 0,12 |      |      |      |      |       |
| Posidonienschiefer     | 1,00 |      |      |      |      |       |
| Tonsteine Jura         |      | 32,8 | 46,9 | 32,4 | 88,0 | 119,8 |
| Kalksteine Jura        | 0,52 | 30,9 | 66,0 | 27,2 | 59,7 | 97,3  |



**Tab. 9.1.3.: Elementgehalte des Lias epsilon**

| <b>Element</b> | <b>Hintergrundwerte Umweltministerium Bad.-Württ. (1994) - Boden (Werte in mg/kg)</b> | <b>Mittelwerte der Liasschichten dieser Arbeit - Gestein (Werte in mg/kg)</b> |
|----------------|---------------------------------------------------------------------------------------|-------------------------------------------------------------------------------|
| Arsen          | 45                                                                                    | 30 - 95                                                                       |
| Cadmium        | 2,2                                                                                   | 1,13 - 3,23                                                                   |
| Kupfer         | 75                                                                                    | 28 - 57,5                                                                     |
| Nickel         | 190                                                                                   | 29 - 99                                                                       |
| Zink           | 190                                                                                   | 33 - 143                                                                      |

Es zeigte sich, daß die Ni-Gehalte in den Horizonten des Stubensandsteins (km4) am geringsten (bis 15mg/kg) waren. Sie stiegen dann zu den Böden aus Gipskeuper (km1) hin stark an (bis 65mg/kg). Dies deckt sich zwar für den km4 mit den Ergebnissen dieser Arbeit (20mg/kg), die älteren Schichten schwanken jedoch in ihren Ni-Gehalten. Interessant ist dabei der identische Wert von 65mg/kg in km1 (GRUPE) und ku Vitriolschiefer (diese Arbeit). Möglicherweise handelt es sich im ersten Fall um eine irrtümliche Ansprache des Ausgangssubstrats. Die Einschränkungen bei dem Vergleich von Meßergebnissen aus Böden bezüglich des Ausgangsgesteins und direkten Messungen am Gestein wurden bereits im vorhergehenden Beispiel angesprochen.

#### **Vergleichsdaten d:**

Das Umweltministerium Baden-Württemberg hat 1994 einige Hintergrundwerte für Gesamtgehalte an anorganischen Schadstoffen für Böden aus den Ölschiefern des Lias ε bestimmt. Tabelle 9.1.3. zeigt die Ergebnisse und stellt die entsprechenden Werte der vorliegenden Untersuchung gegenüber.

Die Gehalte aus Lias-epsilon-Böden liegen für Cu, Ni und Zn höher als die Gesteinsgehalte dieser Arbeit. Dies ist nicht verwunderlich, hat doch in den

Böden bereits eine Akkumulation stattgefunden. Die Anteile an As und Cd erreichen dagegen im frischen Gesteinsmaterial z.T. deutlich höhere Werte, was auf einen teilweisen Abtransport dieser Schwermetalle in den Böden hinweist. Somit zeigt diese Gegenüberstellung erneut den recht problematischen Ansatz eines Rückschlusses vom Boden auf sein ursprüngliches Ausgangsgestein, selbst, wenn man dessen Inhaltsstoffe über den Kalkanteil korrigieren würde.

#### **Vergleichsdaten e:**

Einen zusammenfassenden Bericht (Datenkompilation) über die Schwermetallgesamtgehalte von Gesteinen Nordrhein-Westfalens liefern VIERECK-GÖTTE et al. (1997) in einer Auswertung verschiedener Untersuchungen. Dabei werden die vorhandenen Daten sowohl petrographisch als auch stratigraphisch geordnet. Die Tabelle 9.1.4. zeigt die entsprechenden Schwermetallgehalte derjenigen Schichten, die sich mit denen der vorliegenden Arbeit decken. Dabei ist zu berücksichtigen, daß in einigen Quellen lediglich Untersuchungen an Böden (C-Horizonte) durchgeführt wurden, wodurch eine genaue stratigraphische Zuordnung entfällt. Zum Vergleich werden die entsprechenden mittleren SM-Gehalte der Gesteine Baden-Württembergs (diese Arbeit) in Klammern angeführt.

**Tab. 9.1.4.: Geogene Schwermetallgehalte in Nordrhein-Westfalen nach petrographischer Zuordnung (in mg/kg) unter Angabe der verschiedenen Quellen. In Klammern die entsprechenden mittleren Gehalte in Baden-Württemberg (Ergebnisse der vorliegenden Arbeit in mg/kg)**

| Gesteinsart        | Schichten                            | As         | Cd           | Cr          | Cu         | Ni          | Pb        | Zn             |
|--------------------|--------------------------------------|------------|--------------|-------------|------------|-------------|-----------|----------------|
| Ton-/Schluffsteine | Mittlerer Keuper <sup>1</sup>        | 3 (0,1-10) | 0,15 (0,3-1) | -           | 27 (1-33)  | 46 (20-43)  | 37 (2-22) | 146 (18-89)    |
|                    | Oberer Keuper <sup>1</sup>           | 10 (23,5)  | 0,15 (0,1)   | -           | 18 (22)    | 30 (23)     | 31 (31)   | 61 (7)         |
|                    | Posidoniensfr. (Lias ε) <sup>2</sup> | -          | -            | 115 (28-32) | 41 (45-58) | 118 (78-99) | 25 (7-40) | 149 (110-143)  |
| Mergel             | Lias - Tonmergelstein <sup>3</sup>   | 13 (7-15)  | -            | 74 (14-36)  | 55 (13-54) | 98 (59-117) | 35 (5-23) | 1442 (max.256) |
|                    | Unt./Mittl. Malm <sup>4</sup>        | 7 (3-6)    | -            | 65 (27-29)  | 9 (7-14)   | 26 (21-80)  | 10 (7-15) | 29 (42-61)     |
| Kalksteine         | Ob. Muschelkalk <sup>1</sup>         | 4          | 0,35         | -           | 10         | 13          | 73        | 126            |

<sup>1</sup> HORNBURG 1993    <sup>2</sup> JOCHUM 1992    <sup>3</sup> GLA NRW 1996    <sup>4</sup> JUISTEN 1996

Da die NRW-Untersuchung nur eine Probe für den km berücksichtigt, ist ein Vergleich mit den entsprechenden Schichten Baden-Württembergs wenig aussagekräftig. Gleiches gilt für den Oberen Keuper, dessen Elementgehalte in beiden Untersuchungen nur auf einer geringen Probenanzahl basieren.

Bei den Posidonienschiefern zeigen sich die besten Übereinstimmungen bei Cu, Pb und Zn. Auch sind die Ni-Gehalte durchaus noch vergleichbar (B-W: max. 99mg Ni/kg, NRW: 118mg/kg). Die Cr-Werte unterscheiden sich dagegen stark (B-W: max. 32mg Cr/kg, NRW: 115mg/kg). Die Lias-ε-Ergebnisse der NRW-Untersuchung beruhen allerdings nur auf 5 Einzelwerten (diese Arbeit: 35), was ebenso zu differierenden Ergebnissen führen kann, wie regional unterschiedliche Zusammensetzungen der Gesteine und Bereiche lokaler Vererzung.

Die Lias-Tonmergelsteine in NRW sind für As, Cu und Ni gut mit den Gehalten der entsprechenden baden-württembergischen Schichten vergleichbar. Der hohe Zn-Wert der NRW-Untersuchung deutet bei nur 2 Proben auf eine lokale Vererzung, was eine Gegenüberstellung nicht erlaubt. Hierbei zeigt sich deutlich die Problematik der Bewertung von Gesteinsschichten anhand nur weniger Einzelproben: Punktuelle Maximalwerte lassen sich nicht durch Extremwerttests eliminieren und tragen somit zu einer erheblichen Verfälschung bezüglich allgemeingültiger Aussagen bei.

Die Elementgehalte der Mergel des Unteren Malm sind generell gut vergleichbar. Ausnahme bilden lediglich Zink und Chrom (B-W: max. 29mg/kg, NRW: 65mg/kg), dessen Gehalte auch in den übrigen untersuchten NRW-Schichten z.T. deutlich höher ausfallen.

Ein Vergleich der Schichten des Oberen Muschelkalk muß entfallen, da es sich bei den NRW-Proben um Kalksteine handelt, während für die vorliegende Arbeit tonigere Zwischenlagen zur Analytik ausgewählt wurden (mergelige Kalke und tonige Mergel).

Die folgende Tabelle 9.1.5. stellt eine Zusammenfassung der verschiedenen NRW-Untersuchungen dar und differenziert die Schwermetallgehalte der unterschiedlichen Gesteinsarten grob nach den stratigraphischen Systemen. Die mittleren SM-Gehalte der entsprechenden Schichten Baden-Württembergs werden in der Tabelle wiederum in Klammern angeführt. Dabei ist zu berücksichtigen, daß eine Gegenüberstellung der als Sandsteine deklarierten NRW-Proben mit den entsprechenden Gesteinen Baden-Württembergs nur schwer möglich ist, da für letztere insbesondere die tonigen und mergeligen Anteile der entsprechenden Schichten untersucht wurden. Allerdings ist die Vergleichbarkeit bei den Trias-Sandsteinen recht gut, was die Vermutung nahelegt, daß es sich bei den NRW-Sandsteinen auch um eher tonige Gesteinsanteile handelt.

**Tab. 9.1.5.: Geogene Schwermetallgehalte (Median) in Gesteinen Nordrhein-Westfalens differenziert nach stratigraphischen Systemen (Angaben in mg/kg). In Klammern die entsprechenden mittleren Gehalte in Baden-Württemberg (Ergebnisse der vorliegenden Arbeit in mg/kg)**

| Gestein    | System | As       | Cd           | Co        | Cr         | Cu          | Hg            | Ni          | Pb        | Zn          |
|------------|--------|----------|--------------|-----------|------------|-------------|---------------|-------------|-----------|-------------|
| Sandsteine | Trias  | 5 (2-3)  | 0,15 (0,3-1) | 11 (6-10) | 43 (20-33) | 10 (1,5-19) | 0,02 (0,07)   | 14 (20-34)  | 5 (2-10)  | 40 (18-47)  |
|            | Jura   | -        | -            | -         | -          | -           | -             | -           | -         | -           |
| Tonsteine  | Trias  | 8 (4-23) | 0,15 (0,1-1) | 11 (4-26) | 64 (18-51) | 18 (0,8-42) | 0,04 (0,05-1) | 37 (14-65)  | 28 (7-31) | 69 (7-46)   |
|            | Jura   | -        | -            | -         | -          | -           | -             | -           | -         | -           |
| Mergel     | Trias  | -        | -            | -         | 36 (19-53) | 6 (0,5-42)  | -             | 21 (19-64)  | 30 (2-13) | 38 (18-53)  |
|            | Jura   | 4 (5-15) | -            | 25 (6-21) | 64 (12-36) | 11 (3-55)   | -             | 27 (18-117) | 10 (5-36) | 27 (16-256) |
| Kalksteine | Trias  | 4        | 0,4          | 1,5       | -          | 10          | 0,01          | 15          | 60        | 128         |
|            | Jura   | 39       | -            | -         | 57         | 11          | -             | 37          | 9         | 34          |

Die Trias-Tonsteine in NRW zeigen für einige Elemente recht gute Übereinstimmungen mit den entsprechenden Werten Baden-Württembergs. Insgesamt ist die Spannweite der SM-Gehalte in den B-W-Gesteinen jedoch zu groß, um sich derart grob zusammenfassen zu lassen. Dies betrifft auch die Mergel der Trias.

Die As-Gehalte der Juramergel in Baden-Württemberg liegen generell deutlich über dem NRW-Wert von 4mg As/kg (B-W: max. 15mg/kg). Die Werte für Co, Cu, Ni und Pb sind dagegen z.T. vergleichbar. Da für die vorliegende Untersuchung kaum reine Kalksteine beprobt wurden, verbietet sich darüber hinaus eine entsprechende Gegenüberstellung mit den NRW-Kalken.

Die vorangegangenen Beispiele zeigen, daß Vergleiche zwischen den Elementgehalten von Gesteinen nur dort sinnvoll sind, wo zumindest nach Gesteinsart und grober stratigraphischer Zugehörigkeit unterschieden wird. Wirklich verlässlich sind Aussagen letztlich nur im direkten Vergleich entsprechender Schichten untereinander, da die SM-Gehalte zwischen den Gesteinen verschiedener stratigraphischer Horizonte zu stark differieren. Deshalb sollten Zusammenfassungen ähnlicher Gesteine bzw. stratigraphischer Horizonte mittels Medianwerten möglichst vermieden werden.

## **9.2. Natürliche Grundwasserbeschaffenheit / Eluatgehalte**

Seit 1985 wird in Baden-Württemberg ein landesweites Meßnetz zur Grundwasserbeschaffenheit betrieben (Grundwasserüberwachungsprogramm). Ein Teilmeßnetz ist das Basismeßnetz des Landesamtes für Umweltschutz von Baden-Württemberg, mit dem die natürliche, von menschlichen Einflüssen weitgehend unberührte Grundwasserbeschaffenheit an Quellen, Brunnen und Grundwasserbeobachtungsrohren regelmäßig erfaßt wird. Mit Einschränkungen ist das Basismeßnetz der unbelasteten Wässer als Referenz zur Beurteilung der Resultate der Elutionsversuche geeignet. Sowohl die natürlichen Grund- und Quellwässer als auch die Eluate equilibrieren mit den anstehenden Gesteinen, so daß die Elementgehalte für natürliche Wässer mit denjenigen der Eluate vergleichbar sein sollten. Die Vergleichbarkeit wird durch mehrere Faktoren eingeschränkt:

a) Die Eluate wurden mit Gestein einer eng und präzise definierten stratigraphischen Zuordnung equilibriert, während die natürlichen Wässer in der Regel mehrere Schichten durchlaufen.

b) Die Zeitdauer der Elution ist vorgegeben; über die Verweildauer der Wässer in den einzelnen stratigraphischen Serien sind keine präzisen Angaben möglich. Somit wird sehr oft in den natürlichen Wässern keine Equilibrierung mit dem Umgebungsgestein

erfolgen und die Gehalte unter dem Sättigungswert bleiben. Hieraus folgt, daß die Gehalte der natürlichen Wässer unterhalb derjenigen der Eluate bleiben bzw. maximal die Eluatwerte erreichen.

c) Die natürlichen Wässer equilibrieren mit Gestein, das bereits einer langen Auslaugungsphase unterworfen war, aus welchem somit die leicht löslichen Bestandteile bereits gelaugt sind. Dagegen stehen die Eluate im Gleichgewicht mit frischem Gestein und weisen folglich höhere Gehalte dieser leicht löslichen Komponenten auf als die Proben der natürlichen Wässer.

Dennoch können gerade aus diesen Gründen die Eluatversuche für die Beurteilung der Klassifizierung von Gesteinen von ausschlaggebender Bedeutung sein, da mit diesem Verfahren der „worst case“ einer Belastung des Grundwassers durch umgelagertes Gestein simuliert wird. Der Abgleich mit den Gehalten natürlicher Wässer soll die Plausibilität des Verfahrens belegen und Hinweise auf die Weiterentwicklung der Qualitäten von mit frischem Abraummaterial beaufschlagten natürlichen Wässern geben. Als weitere Einschränkung bleibt schließlich anzumerken:

d) Die Eluatversuche werden bei festgesetzter Temperatur unter Raumtemperatur mit luftgesättigtem, destilliertem Wasser durchgeführt. Die natürlichen Wässer variieren sowohl in T als auch  $p\text{CO}_2$  und

unterscheiden sich vor allem in der Ionenstärke von destilliertem Wasser. Entsprechende Versuchsreihen unter variierenden Bedingungen vorzunehmen würde entschieden zu weit führen. Zur effizienten Annäherung an diese Problematik wird die theoretische Simulation mit Rechnerprogrammen eingesetzt (vgl. Kapitel 10).

Insbesondere die theoretischen Simulationen bedürfen einer Koppelung an Meßbefunde, welche im vorliegenden Falle durch den Abgleich experimentell ermittelter Gehalte (Eluate) mit Gehalten natürlicher Wässer gegeben sind.

In der folgenden Tabelle 9.2.1. werden die in den Jahren 1985-1991 erhobenen Daten des Basismeßnetzes [LfU Baden-Württemberg 1994], eingeteilt nach Grundwasserlandschaften und Aquiferen, den aus der vorliegenden Untersuchung gewonnenen S4-Eluatgehalten gegenübergestellt. Letztere wurden dabei insoweit zusammengefaßt, daß sie den jeweiligen Grundwasserlandschaften gegenübergestellt werden konnten.

Die Zusammenfassung der gesamten Schwarz- und Braunjuraeluate ist aufgrund der Vielzahl an Schichten problematisch. Da in der Literatur bezüglich dieser Grundwasserlandschaft jedoch keine weitere Unterscheidung erfolgte, muß aus Vergleichbarkeitsgründen zunächst eine solche Pauschalisierung in Kauf genommen werden.

Die Tabellen sind wie folgt aufgebaut:

|                         |                                                                                                                                                                                                                                                      |
|-------------------------|------------------------------------------------------------------------------------------------------------------------------------------------------------------------------------------------------------------------------------------------------|
| Erster Wert:            | Mittelwert aus allen Probennahmestellen einer Grundwasserlandschaft des Basismeßnetzes in Baden-Württemberg.                                                                                                                                         |
| Werte in Klammern:      | Maximalwert der bei diesen Probennahmestellen insgesamt gemessenen Konzentrationen.                                                                                                                                                                  |
| Wert nach Schrägstrich: | Meßwerte aus der S4-Wasserelution der zugehörigen geologischen Formationen. Dabei handelt es sich um die jeweils niedrigsten und höchsten Mittelwerte aller Schichten, die in der genannten Grundwasserlandschaft anzutreffen sind (sofern beprobt). |

Tab. 9.2.1.:

**Vergleich geogen geprägte Beschaffenheit des Grundwassers in Baden-Württ. / Eluatgehalte**

Hintergrundwerte 1985-1991

Median-Werte im Vergleich mit den Mittelwerten des Eluates

**Schema: Mittelwerte d. Grundwasseruntersuchung, (jeweils gemessenes Maximum) / Bereiche der Eluatmessungen dieser Untersuchung.**

n.g. = nicht gemessen

| Grundwasserlandschaft          | Elektr. Leitfähigkeit (µS/cm) | pH - Wert               |
|--------------------------------|-------------------------------|-------------------------|
| Malm, Schwäbische Alb          | 46,65 (62,7) / 219 - 424      | 7,47 (8,3) / 8,0 - 8,3  |
| Lias & Dogger, Albvorland      | 46,6 (60,3) / 46 - 902        | 7,21 (7,5) / 5,9 - 8,3  |
| Höherer Keuper, Keuperbergland | 48,8 (103) / 194 - 740        | 7,5 (8,25) / 7,8 - 8,5  |
| Lettenkeuper                   | 50,6 (78,9) / 181 - 325       | 7,23 (7,5) / 8,0 - 8,3  |
| Muschelkalk                    | 67,8 (93) / 463 - 541         | 7,3 (7,83) / 8,0 - 8,3  |
| Buntsandstein                  | 6,5 (37,8) / 116              | 5,975 (7,8) / 8,0 - 8,1 |

| Grundwasserlandschaft          | Ca (mg/l)            | Mg (mg/l)              | Na (mg/l)          |
|--------------------------------|----------------------|------------------------|--------------------|
| Malm, Schwäbische Alb          | 84,6 (142) / 21 - 49 | 3,4 (19,9) / 4 - 13    | 1,2 (9,7) / 4 - 45 |
| Lias & Dogger, Albvorland      | 85,5 (111) / 6 - 237 | 8,8 (13) / 1 - 27      | 6,2 (9,8) / 2 - 57 |
| Höherer Keuper, Keuperbergland | 59 (196) / 3 - 92    | 29,05 (44,7) / 6 - 37  | 4,2 (25) / 11 - 29 |
| Lettenkeuper                   | 75,5 (125) / 14 - 17 | 20 (35,3) / 4 - 11     | 4,6 (6,4) / 3 - 4  |
| Muschelkalk                    | 118 (152) / 45 - 57  | 27,35 (51,8) / 23 - 35 | 2,2 (9,5) / 4 - 7  |
| Buntsandstein                  | 5,5 (58) / 14        | 2 (18,5) / 2           | 1,4 (4,7) / 3      |

| Grundwasserlandschaft          | K (mg/l)              | Fe (mg/l)                       | Mn (mg/l)                        |
|--------------------------------|-----------------------|---------------------------------|----------------------------------|
| Malm, Schwäbische Alb          | < 0,5 (1,8) / 28 - 41 | 0,003 (0,275) / < 0,005         | < 0,001 (0,02) / < 0,0012        |
| Lias & Dogger, Albvorland      | 0,9 (2,1) / 1 - 46    | 0,003 (0,055) / < 0,005 - 0,93  | < 0,001 (0,015) / < 0,0012 - 1,4 |
| Höherer Keuper, Keuperbergland | 1,3 (3,5) / 16 - 20   | 0,003 (0,18) / < 0,005          | < 0,001 (0,02) / 0,0015 - 0,058  |
| Lettenkeuper                   | 0,8 (1,0) / 22 - 48   | 0,001 (0,01) / < 0,005 - 0,16   | < 0,001 (0,001) / < 0,0012       |
| Muschelkalk                    | 0,8 (2,7) / 35 - 47   | 0,004 (0,185) / < 0,005 - 0,006 | 0,001 (0,02) / < 0,0012          |
| Buntsandstein                  | 1,7 (3,8) / 13        | 0,001 (0,05) / < 0,005          | 0,004 (0,83) / 0,0012            |

| Grundwasserlandschaft          | Chlorid (mg/l)            | SO4 (mg/l)              | Ammonium (mg/l)        |
|--------------------------------|---------------------------|-------------------------|------------------------|
| Malm, Schwäbische Alb          | 2,9 (27,2) / < 1,8        | 12,5 (22,4) / 33 - 193  | < 0,06 (0,132) / < 10  |
| Lias & Dogger, Albvorland      | 8,5 (32,9) / < 1,8 - 3,1  | 27 (34) / 6 - 648       | < 0,06 (0,06) / < 10   |
| Höherer Keuper, Keuperbergland | 5,7 (13) / < 1,8 - 1,8    | 27 (273) / 14 - 275     | < 0,06 (0,24) / < 10   |
| Lettenkeuper                   | 6,65 (20,8) / < 1,8 - 3,6 | 25,1 (29,3) / 22 - 66   | < 0,06 (< 0,06) / < 10 |
| Muschelkalk                    | 6,95 (27,9) / 2,8 - 6,9   | 55,25 (168) / 199 - 244 | < 0,06 (0,12) / < 10   |
| Buntsandstein                  | 2,7 (7,5) / 19,3          | 6,65 (48) / 5           | < 0,06 (0,4) / < 10    |

| Grundwasserlandschaft          | B (mg/l)                      | Al (mg/l)                     |
|--------------------------------|-------------------------------|-------------------------------|
| Malm, Schwäbische Alb          | < 0,01 (0,2) / 0,14 - 0,89    | 0,005 (0,7) / 0,006 - 0,024   |
| Lias & Dogger, Albvorland      | < 0,01 (0,079) / 0,074 - 0,95 | 0,005 (0,132) / 0,007 - 0,163 |
| Höherer Keuper, Keuperbergland | < 0,01 (0,22) / 0,3 - 0,7     | 0,007 (0,49) / 0,006 - 0,035  |
| Lettenkeuper                   | < 0,01 (0,02) / 0,13 - 0,21   | 0,003 (0,013) / 0,007 - 0,027 |
| Muschelkalk                    | < 0,01 (0,06) / 0,13 - 0,2    | 0,003 (0,03) / 0,013 - 0,025  |
| Buntsandstein                  | < 0,01 (0,02) / 0,09          | 0,0185 (1,66) / 0,13          |

| Grundwasserlandschaft          | As (mg/l)                  | Ba (mg/l)                    | Pb (mg/l)                             |
|--------------------------------|----------------------------|------------------------------|---------------------------------------|
| Malm, Schwäbische Alb          | < 0,0002 (0,0002) / n.g.   | < 0,01 (0,04) / 0,003 - 0,05 | < 0,0005 (0,002) / n.g.               |
| Lias & Dogger, Albvorland      | < 0,0002 (< 0,0002) / n.g. | 0,01 (0,09) / 0,004 - 0,33   | < 0,0005 (0,0005) / < 0,0045 - 0,05   |
| Höherer Keuper, Keuperbergland | 0,0006 (0,003) / n.g.      | 0,45 (0,982) / 0,014 - 0,07  | < 0,0005 (0,04) / 0,006               |
| Lettenkeuper                   | < 0,0002 (0,0002) / n.g.   | 0,08 (0,56) / 0,005 - 0,02   | < 0,0005 (< 0,0005) / < 0,0045 - 0,02 |
| Muschelkalk                    | 0,0014 (0,002) / n.g.      | 0,085 (0,5) / 0,007 - 0,009  | < 0,0005 (0,0024) / < 0,0045 - 0,02   |
| Buntsandstein                  | 0,0002 (0,01) / n.g.       | 0,067 (1,126) / 0,0038       | < 0,0005 (0,0018) / 0,006             |

| Grundwasserlandschaft          | Cd (mg/l)                             | Cr ges.(mg/l)                       | Ni (mg/l)                           |
|--------------------------------|---------------------------------------|-------------------------------------|-------------------------------------|
| Malm, Schwäbische Alb          | < 0,00005 (0,0001) / < 0,0006         | < 0,0002 (0,0014) / < 0,001         | < 0,0005 (0,0022) / < 0,002 - 0,004 |
| Lias & Dogger, Albvorland      | < 0,00005 (0,00005) / < 0,0006 - 0,01 | < 0,0002 (0,0009) / < 0,001 - 0,06  | < 0,0005 (0,0007) / < 0,002 - 0,1   |
| Höherer Keuper, Keuperbergland | < 0,00005 (0,00086) / < 0,0006        | 0,0002 (0,0006) / < 0,001 - 0,004   | < 0,0005 (0,0024) / < 0,002 - 0,004 |
| Lettenkeuper                   | < 0,00005 (dito) / < 0,0006           | 0,00085 (0,001) / < 0,001           | < 0,0005 (0,0005) / < 0,002 - 0,003 |
| Muschelkalk                    | < 0,00005 (0,0002) / < 0,0006         | < 0,0002 (0,0015) / < 0,001 - 0,001 | < 0,0005 (0,04) / < 0,002           |
| Buntsandstein                  | < 0,00005 (0,00087) / < 0,0006        | < 0,0002 (0,0124) / 0,0023          | 0,0008 (0,0098) / < 0,002           |

| Grundwasserlandschaft          | Hg (mg/l)                  | Se (mg/l)               | Zn (mg/l)                          |
|--------------------------------|----------------------------|-------------------------|------------------------------------|
| Malm, Schwäbische Alb          | < 0,00005 (0,00026) / n.g. | < 0,003 (dito) / n.g.   | < 0,01 (0,026) / < 0,0006 - 0,0016 |
| Lias & Dogger, Albvorland      | < 0,00005 (0,00017) / n.g. | < 0,003 (dito) / n.g.   | < 0,01 (dito) / < 0,0006 - 0,015   |
| Höherer Keuper, Keuperbergland | < 0,00005 (0,00038) / n.g. | < 0,003 (0,0038) / n.g. | < 0,01 (0,05) / 0,0008 - 0,007     |
| Lettenkeuper                   | < 0,00005 (0,00015) / n.g. | < 0,003 (dito) / n.g.   | < 0,01 (dito) / < 0,0006           |
| Muschelkalk                    | < 0,00005 (0,00014) / n.g. | < 0,003 (dito) / n.g.   | < 0,01 (0,06) / < 0,0006 - 0,001   |
| Buntsandstein                  | < 0,00005 (0,00018) / n.g. | < 0,003 (dito) / n.g.   | < 0,01 (0,035) / 0,0008            |

### 9.2.1. Ergebnisse der Gegenüberstellung

Die Leitfähigkeit liegt in den Eluaten wesentlich höher als in den Grundwasserproben des Basismeßnetzes. Selbst die dort gemessenen Maximalwerte werden deutlich überschritten. Dieses Meßergebnis bestätigt den Trivialbefund, nach welchem sich frisches Gestein durch einen höheren Anteil löslicher Komponenten auszeichnet.

Die pH-Werte stimmen mit den Grundwasserwerten relativ gut überein. Ebenso liegen Calcium und Magnesium in etwa im Wertebereich der Grundwasserproben oder geringfügig darunter.

In den Eluaten wurden z.T. höhere Na-Werte für die Schichten des Jura gemessen. Im höheren Keuper entsprechen sie den Maximalwerten der Grundwasseruntersuchung. Die Na-Gehalte für Lettenkeuper, Muschelkalk und Buntsandstein sind vergleichbar.

Die Kaliumgehalte in den Eluaten sind erheblich höher als in den Grundwasserproben. Dies gilt auch für das Sulfat, das im höheren Keuper allerdings ähnliche Maximalwerte im Grundwasser aufweist. Eisen-, Mangan- und Aluminiumgehalte unterscheiden sich kaum voneinander. Die Chloridgehalte im Eluat sind gegenüber den Grundwasserwerten leicht erniedrigt.

In den Eluaten konnten durchgängig deutliche Borgehalte nachgewiesen werden, wohingegen die Grundwasserwerte zum größten Teil unterhalb der Nachweisgrenze lagen. Die Bariumwerte in den Eluaten sind um ein Vielfaches niedriger als in den Grundwasserproben. Blei konnte im Grundwasser nur selten nachgewiesen werden. Auch in den Eluaten liegen die Werte häufig unterhalb der Nachweisgrenze. Allerdings sind die nachweisbaren Gehalte in den Eluaten meist höher als in den Grundwasserproben. Die Cadmiumwerte lassen keinen Vergleich zu, da fast alle unterhalb der jeweiligen Nachweisgrenze liegen.

Die Chromgehalte liegen sowohl bei den Eluaten als auch bei den Grundwasserproben häufig unterhalb der Nachweisgrenze. Meßbare Eluatgehalte liegen im Bereich der Grundwassermaximalwerte, z.T. auch darüber. Gleiches läßt sich bei Nickel feststellen. Die Zinkwerte im Grundwasser befinden sich größtenteils unterhalb der Nachweisgrenze, die allerdings zu hoch liegt, um einen eindeutigen Vergleich mit den Eluaten führen zu können. Die Zn-Maximalgehalte der Grundwasserproben sind jedoch größer als die Mittelwerte der Eluate.

Da Arsen aus meßtechnischen Gründen in dieser Untersuchung im Eluat nicht bestimmt werden konnte, muß ein Vergleich hier entfallen. Die As-Ergebnisse der Wasserproben des Basismeßnetzes fallen jedoch generell recht niedrig aus und zeigen keine Grenzwertüberschreitungen ( $10\mu\text{g As/l}$ ). Neuere Untersuchungen in Baden-Württemberg weisen allerdings in Trinkwasserbrunnen im Mittleren Buntsandstein sowie im Unteren und Mittleren Muschelkalk As-Konzentrationen von  $50\text{--}100\mu\text{g/l}$  nach [HEINRICHS & UDLUFT 1996]. Diese geologischen Formationen waren jedoch nicht Gegenstand der vorliegenden Arbeit.

Die Tabellen belegen eine gute Übereinstimmung der Resultate der Eluatuntersuchungen mit den Messungen an natürlichen Wässern. Die Konzentrationen der aus frischem Gestein relativ leicht löslichen Anteile liegen in den natürlichen Wässern unterhalb derjenigen der Eluate (Na, K, B). In Einzelfällen sind die Gehalte in beiden Lösungen gleich. Auch dieser Befund verweist auf die leichte Löslichkeit der Komponenten (Cl, Mg; Gipskomponenten: Ca,  $\text{SO}_4$ ). Bei der Wiederverwendung von Gesteinen ist mit der erhöhten Freisetzung dieser Elemente zu rechnen. Bis auf Bor bleiben die Spurenelementgehalte in diesem Zusammenhang ohne Belang, da auf Grund unterschiedlicher Nachweisgrenzen bei den Meßverfahren für die natürlichen Wässer und die Eluate eine direkte Vergleichbarkeit fragwürdig ist.

## **10. Geochemische Modellierungen**

Um Vorhersagen zum Löslichkeitsverhalten einiger Elemente unter Abweichung der Bedingungen bei den Elutionsversuchen stellen sowie mögliche Umweltszenarien durchprüfen zu können, war es notwendig, mit verschiedenen Programmen (WATEQ4F, PHREEQE) geochemische Modellierungen vorzunehmen [Computerprogramme siehe BALL et al. 1987 sowie PARKHURST et al. 1990]. Dabei sollten Equilibrierungen bestimmter Minerale mit unterschiedlichen Lösungen berechnet werden, um die jeweilige Sättigungsgrenze zu bestimmen und damit Prognosen für die höchstmöglichen Gehalte eines Elementes in einer definierten Lösung zu treffen.

Die Auswahl der zu den Equilibrierungsberechnungen herangezogenen Minerale orientierte sich an den in Kapitel 8 mittels Korrelationen bestimmten sowie den real auftretenden Bindungsformen der untersuchten Gesteine.

Von besonderem Interesse waren Al-, Fe-, Ca-, und Sulfat-/Sulfidminerale (v.a. Schwermetallsulfide) sowie die aus ihnen durch Verwitterung bzw. Alterungsprozesse hervorgehenden Umwandlungsprodukte. Dieser Ansatz läßt auch eine Unterscheidung bezüglich des kurz- und des langfristigen Lösungsverhaltens eines Elementes zu, was Aussagen zu Langzeitwirkungen und Ausbreitungen ermöglicht.

Wie in Kapitel 8 (Korrelationen) gezeigt und z.T. in Abschnitt 7.8. (Mineralbestand) röntgenographisch nachgewiesen, sind die Sulfate und Sulfide insbesondere im Hinblick auf ihr Vorkommen in den Keuper- (Ca-Sulfate) und Schwarzjuraschichten (Schwermetallsulfide) von Relevanz. Als Al-Mineral wurde

Kaolinit gewählt, welcher einen häufigen Bestandteil der untersuchten Gesteine darstellt (siehe 7.8.).

Weiterhin wurden einige natürlich vorkommende Minerale der Schwermetalle Pb, Zn und Cd in karbonatischer bzw. sulfatischer Bindung zu den Berechnungen herangezogen und jeweils sowohl mit Calcit als auch untereinander equilibriert (z.T. unter Einbeziehung von Siderit).

In den untersuchten Gesteinen sind jedoch die SM-Gehalte im Verhältnis zu den C-carb.-Gehalten bzw. Kalkanteilen zumeist außerordentlich gering. Auf Grund dieser extremen Disproportionierung ist das reale Vorhandensein von karbonatischen Schwermetallverbindungen weder durch röntgenographische Methoden noch rechnerisch über Korrelationen nachweisbar (Kapitel 8). Insgesamt ist allerdings ein Auftreten entsprechender Minerale recht wahrscheinlich, umso mehr, da die meisten Gesteinsschichten große Mengen an Kalk aufweisen, der in der Regel karbonatische Spurenanteile an Schwermetallen führt (v.a. Pb, Zn und Cd).

Daneben sind auch SM-Sulfate zu beachten, die als Umwandlungsprodukt aus den insbesondere im Schwarzen Jura in größeren Anteilen vorhandenen SM-Sulfiden hervorgehen können. Ebenso wie Karbonate führen Sulfate Spuren an Schwermetallen, in diesem Falle jedoch, der Matrix entsprechend, in sulfatischer Bindung. Stellvertretend für diese Sulfate wurde Anglesit [ $\text{PbSO}_4$ ] in die Gleichgewichtsrechnungen einbezogen.

Für die theoretische Equilibrierung wurden folgende Minerale und ihre Umwandlungsprodukte ausgewählt:

| Mineral    |                                                       |
|------------|-------------------------------------------------------|
| Kaolinit   | $\text{Al}_2 [(\text{OH})_4 / \text{Si}_2\text{O}_5]$ |
| Gibbsit    | $\text{Al} (\text{OH})_3$ (= Hydrargillit)            |
| Anhydrit   | $\text{CaSO}_4$                                       |
| Gips       | $\text{CaSO}_4 * 2 \text{H}_2\text{O}$                |
| Pyrit      | $\text{FeS}_2$                                        |
| Goethit    | $\alpha - \text{FeOOH}$                               |
| Galenit    | $\text{PbS}$                                          |
| Sphalerit  | $\text{ZnS}$                                          |
| Cerussit   | $\text{PbCO}_3$                                       |
| Anglesit   | $\text{PbSO}_4$                                       |
| Smithsonit | $\text{ZnCO}_3$                                       |
| Otavit     | $\text{CdCO}_3$                                       |
| Siderit    | $\text{FeCO}_3$                                       |

Zur realistischeren Simulation von natürlichen Stoffsystemen wurden die aufgeführten Minerale jeweils zusätzlich mit Calcit [ $\text{CaCO}_3$ ] equilibriert, da dieser in den untersuchten Schichten größtenteils anzutreffen ist. Darüber hinaus wurde in einigen Fällen zusätzlich auch Gips in die Berechnungen einbezogen.

Folgende Simulationsprozeduren wurden eingehalten:

**a) Equilibrierung von einem bzw. mehreren Mineralen** (z.B. Kaolinit, Kaolinit + Calcit, Kaolinit + Calcit + Gips) mit Wasser bei fest vorgegebenen, konstanten Parametern.

**b) Veränderung eines der Parameter unter Konstanzhaltung der übrigen**, z.B. Eh und T konstant – pH variiert zwischen 3 und 9. Ebenso wurde die Temperatur der Lösung bei konstantem pH- und Eh-Wert verändert (5-75°C). Als weiterer Parameter wurde der Einfluß der Fremdsalzlaster von Lösungen auf die Freisetzung von Elementen aus den entsprechenden Mineralen und die Sättigungsgrenzen der Lösung überprüft (Molaritäten von  $\text{Na}^+$  und  $\text{Cl}^-$ ). Zudem erfolgte die Vorgabe verschiedener  $\text{CO}_2$ -Gesamtgehalte, da  $\text{CO}_2$  zumindest in der Bodenluft in variablen Anteilen vorhanden ist.

Als Konstanten wurden gesetzt: pH = 7 (neutral), Eh = 200mV (durchschnittlicher oberflächennaher Wert), Ctot. = 0mg/l (z.T.), 300mg/l (z.T.), 1000mg/l (zumeist; durchschnittlicher Wert für Bodenluft). Die Temperatur wurde einerseits auf 25°C gesetzt (Standardberechnung), andererseits bei der Equilibrierung der Schwermetallkarbonate auf 10°C herabgesetzt, da dies der realistischere Wert für natürliche Wässer in unseren Breiten ist und Karbonate zudem empfindlich auf Temperaturerhöhungen reagieren.

Bei der Angabe der pH-Werte ist zu beachten, daß der effektive, also nach der Equilibrierung mit den Mineralen in der Lösung auftretende pH-Wert deutlich vom ursprünglichen pH-Wert der Lösung abweichen kann. So kann trotz Variation des Ausgangs-pH von 4-9 (bzw. 3-9) der resultierende Wert durch Abpufferung (Karbonatpufferung, Aluminiumpufferung, Silikatpufferung) durchgängig die gleichen Werte aufweisen, die dann z.T. deutlich über dem Ausgangs-pH liegen. Für die Auswertung ist nur der resultierende, effektive pH-Wert von Relevanz, da dieser das Milieu der wässrigen Lösung im Beisein des entsprechenden Mineralen beschreibt und somit die Löslichkeit von z.B. Schwermetallen kontrolliert.

Die Eh-Werte wurden in Bereichen zwischen -300mV und 600mV variiert, was in etwa dem Spielraum der Redoxbedingungen in Böden entspricht (-350mV bis 800mV [SCHEFFER & SCHACHTSCHABEL 1992]).

Die Berechnungen liefern die jeweils gelöste Menge eines Elementes bis zur Sättigungsgrenze. Diese errechneten Werte sind folglich die Maximalanteile, die unter den vorgegebenen Bedingungen (Mineral/Lösung) in Lösung gehen können. Gleichzeitig sind die Berechnungen eine Kontrolle für die in den Eluat analysierten gelösten Gehalte. Eine völlige Übereinstimmung zwischen Berechnungen und Meßwerten ist aus vielen Gründen nicht zu erwarten.



Insgesamt sind die Modellierungen auch für die Prognose von möglichen Grundwassergefährdungen durch toxische Elemente von großem Interesse. Entsprechende Vorhersagen lassen sich durch Vergleiche mit Grenzwerten nach der TVO (Trinkwasserverordnung) treffen.

Die Ergebnisse der Modellierungen werden im Anhang tabellarisch (Tab. 10.2.1. - 10.2.14.) und graphisch (Abb. 10.2.1 - 10.2.21) dargestellt. Es gilt zu beachten, daß S als  $\text{SO}_4^{2-}$  und C als  $\text{CO}_3^{2-}$  berechnet wurde.

## **10.1. Zusammenfassung der Ergebnisse**

### **10.1.1. Aluminium (aus Kaolinit u. Gibbsit)**

#### **a) Veränderung des pH-Wertes der Lösung**

Befindet sich kein  $\text{CO}_2$  in der Lösung, so ist der Ausgangs-pH für die Löslichkeit nicht relevant, da durch Aluminiumpufferung, hervorgerufen durch den Kaolinit, die resultierenden pH-Werte der Lösung generell nur zwischen 9 und 10 variieren. Ist die Lösung dagegen mit  $\text{CO}_2$  angereichert, unterscheiden sich die resultierenden pH-Werte nur unwesentlich von den Ausgangswerten, da der pH-Wert u.a. vom  $\text{CO}_2$ -Partialdruck gesteuert wird.

Die Löslichkeit von Aluminium aus Kaolinit und Gibbsit ist bei neutralen pH-Werten und einer einwirkenden wässrigen Lösung am geringsten (mit  $C_{\text{tot.}} = 0\text{mg/l}$ : Kaolinit = 0,02mg Al/l; Gibbsit = 0,0004-0,0007mg Al/l; mit  $C_{\text{tot.}} = 1000\text{mg/l}$ : Kaolinit = 0,02-0,03mg Al/l; Gibbsit = 0,001mg Al/l). Bei abneh-

menden pH-Werten bis 4,25 - 4,3 steigt die Löslichkeit steil an (mit  $C_{\text{tot.}} = 1000\text{mg/l}$ : aus Kaolinit bis 0,97mg Al/l, aus Gibbsit bis 0,92mg Al/l). Im alkalischen Bereich bis pH 9 ist ebenfalls eine, wenn auch allmählichere Zunahme zu beobachten (mit  $C_{\text{tot.}} = 1000\text{mg/l}$ : aus Kaolinit bis 0,32mg Al/l, aus Gibbsit bis 0,083mg Al/l).

Im Beisein von Calcit (mit  $C_{\text{tot.}} = 1000\text{mg/l}$ ) sind keine pH-Werte unterhalb 6 zu beobachten, da dieser wiederum die pH-Werte abpuffert (Karbonatpufferung:  $\text{CaCO}_3 + \text{H}^+ \leftrightarrow \text{Ca}^{2+} + \text{HCO}_3^-$ ). Ist zusätzlich noch Gips vorhanden, beschränkt sich der resultierende pH-Wert auf den Bereich zwischen 6 und 6,5 (siehe Abb. 10.2.1, Anhang).

Beim Gibbsit führt ein Anstieg des  $\text{CO}_2$ -Gesamtgehaltes zu einer leichten Zunahme der Al-Löslichkeit im mittleren pH-Bereich von 0,0007 auf 0,001mg Al/l (siehe Abb. 10.2.2, Anhang).

Die Löslichkeit von Aluminium aus Gibbsit ist in den pH-Bereichen von 5-9 deutlich geringer als aus Kaolinit (siehe Abb. 10.2.3, Anhang). Dies bedeutet für den Fall einer Wiederverwendung kaolinitreichen Gesteins eine Abnahme dessen Grundwasserbelastungspotential mit der Zeit, da Gibbsit das Alterungsprodukt von Kaolinit darstellt. Auch ein relevanter Langzeittransport von Al kann aus diesen Gründen ausgeschlossen werden, solange die auf das Gestein einwirkenden Wässer keine zu geringen oder hohen pH-Werte aufweisen.

Insgesamt ist für die Wiederverwendung kaolinitführender Schichten die Anwesenheit von Calcit günstig, da so keine pH-Werte unter 6 erzielt werden und die Al-Löslichkeit folglich im Gleichgewicht mit Kaolinit kaum über den Grenzwert der Trinkwasserverordnung (TVO) von 0,2mg Al/l ansteigen kann. Des weiteren wird bei diesen pH-Werten die Löslichkeit von Al durch die Fällung von Gibbsit kontrolliert, so daß langfristig die Al-Konzentration 0,01mg/l nicht überschreiten kann.

b) Veränderung der Lösungstemperatur

Bei der Temperaturänderung der Lösung ist für reinen Kaolinit nur ein leichter, fast linearer Anstieg der Al-Löslichkeit zu höheren Temperaturen zu beobachten (bis 0,16mg Al/l [ $C_{\text{tot.}} = 0\text{mg/l}$ ] bzw. 0,55mg Al/l [ $C_{\text{tot.}} = 1000\text{mg/l}$ ] bei 75°C). Im Beisein von Calcit steigt die Löslichkeit allerdings schnell exponentiell zu den höheren Temperaturen hin an (bis 0,7mg Al/l bei 75°C). Durch die Hinzunahme von Gips wird dieser Effekt dann wieder deutlich abgeschwächt (0,2mg Al/l bei 75°C). Ebenso bewirkt eine Erhöhung eines bereits vorhandenen Kohlenstoffgehaltes bei Anwesenheit von Calcit eine leichte Abnahme der Al-Löslichkeit. Insgesamt sind die Divergenzen von maximal löslichem Al bei den unterschiedlichen Mineralparagenesen bis zu Temperaturen von 15°C nur gering. Stärkere Unterschiede im Löslichkeitsverhalten zwischen den verschiedenen Kombinationen treten erst ab 25°C in Erscheinung (siehe Tab. 10.2.2. u. Abb. 10.2.4, Anhang).

Aus den Ergebnissen resultiert die Empfehlung, kaolinitführende Schichten bei einer Wiederverwertung keinen Lösungen mit Temperaturen oberhalb von 45°C auszusetzen, da ansonsten größere Mengen als 0,2mg Al/l in Lösung gehen können (TVO-Grenzwert).

c) Veränderung der Salzlast in der Lösung

Der Einfluß der Salzlast auf die Löslichkeit von Al aus Kaolinit ist insgesamt nur gering (0,01-0,05mg Al/l). Generell bewirkt eine Erhöhung der Molarität von  $\text{Na}^+$  und  $\text{Cl}^-$  nach anfänglicher leichter Zunahme eine im weiteren Verlauf stetige Abnahme der Sättigungsgrenze. Bei gleichzeitiger Erhöhung des Kohlenstoffgehaltes steigt bei geringerer Molarität auch die Löslichkeit. Allgemein ist die Al-Löslichkeit bei Vorhandensein von Kaolinit und Calcit am

größten (bis max. 0,05mg Al/l) und bei einer weiteren Hinzunahme von Gips am geringsten (bis Minimum 0,0096mg Al/l). Die Werte nähern sich bei zunehmender Molarität einander an (siehe Abb. 10.2.7, Anhang). Relevante Unterschiede im Lösungsverhalten des Al aus Gibbsit sind nicht festzustellen.

Salzlasten spielen somit für Grenzwertüberschreitungen von Al nach der TVO keine Rolle.

**10.1.2. Calcium und Sulfat (aus Anhydrit und Gips)**a) Veränderung des pH-Wertes der Lösung

Bei reinem Gips oder Anhydrit ist nur eine sehr leichte Erhöhung der Löslichkeit von Ca und  $\text{SO}_4$  mit zunehmendem pH-Wert zu beobachten (**Gips:**  $\text{SO}_4 = 1527\text{-}1655\text{mg/l}$ , Ca = 637-691mg/l; **Anhydrit:**  $\text{SO}_4 = 2275\text{-}2420\text{mg/l}$ , Ca = 940-1010mg/l). Lediglich bei pH-Werten <4 ist wiederum ein geringer Anstieg zu verzeichnen. Generell liegt jedoch die Löslichkeit beider Elemente im normalen Temperaturbereich im Anhydrit deutlich höher als im Gips. Dies hat zur Folge, daß unter Oberflächenbedingungen Gips die stabile Modifikation darstellt.

Das gleiche Löslichkeitsverhalten gilt auch bei der Hinzunahme von Calcit, wobei jedoch, bedingt durch die Karbonatpufferung, der resultierende pH-Wert auf Bereiche von 6,1-6,5 beschränkt bleibt. Dabei erhöht sich die Sulfatlöslichkeit bei Zunahme des pH-Wertes kontinuierlich (**Gips:** 1350mg/l bei Ausgangs-pH 3 bis 1837mg/l bei pH 9; **Anhydrit:** 2100mg/l bei Ausgangs-pH 3 bis 2593mg/l bei pH 9), wohingegen unter diesen Bedingungen die Ca-Löslichkeit ebenso stetig abnimmt (**Gips:** 784mg/l bei Ausgangs-pH 3 bis 564mg/l bei pH 9; **Anhydrit:** 1088mg/l bei

Ausgangs-pH 3 bis 867mg/l bei pH 9; siehe Abb. 10.2.10 und 10.2.11, Anhang).

#### b) Veränderung der Lösungstemperatur

Einem leichten Anstieg der Sulfat- und Calciumlöslichkeit im Gips mit zunehmenden Lösungstemperaturen (bis etwa 50°C, danach wieder leichter Rückgang) steht eine deutliche Abnahme im Anhydrit ab ca. 25°C gegenüber (**Maximalwerte Gips:**  $\text{SO}_4 = 1662\text{mg/l}$  und  $\text{Ca} = 693\text{mg/l}$  bei 45°C; **Maximalwerte Anhydrit:**  $\text{SO}_4 = 2361\text{mg/l}$  und  $\text{Ca} = 985\text{mg/l}$  bei 25°C). Prädominant bleibt bei normalen Umgebungstemperaturen jedoch immer noch die Stabilität des Gipses, so daß die für Anhydrit berechneten Werte zunächst belanglos sind. Beim Sulfat erhöht sich bei beiden Mineralen durch die Hinzunahme von Calcit auch die Löslichkeit (aus Gips bis 1797mg/l  $\text{SO}_4$  bei 45°C, aus Anhydrit bis 2470mg/l bei 25°C).

Bei Lösungstemperaturen zwischen 50°C und 70°C unterschreitet der Sättigungswert von Sulfat und Calcium aus Anhydrit denjenigen von Gips. Daraus und aus den Beobachtungen unter a) läßt sich folgern, daß die Kurzzeitbelastung mit Sulfat und Calcium aus ursprünglich abgelagertem Anhydrit die Sättigungswerte für Gips nicht überschreitet (Umwandlung von Anhydrit zu Gips). Bei Lösungstemperaturen oberhalb 50°C sind die Sättigungswerte von Anhydrit maßgebend (siehe Abb. 10.2.5 und 10.2.6, Anhang).

#### c) Veränderung der Salzlast in der Lösung

Bei einer Erhöhung der Salzlast in der Lösung steigen die Sulfat- und Calciumlöslichkeiten bis zu einer Molarität von 2 an (aus **Gips:**  $\text{SO}_4$  bis 4395 mg/l, Ca bis 1834mg/l; aus **Anhydrit:**  $\text{SO}_4$  bis 5337 mg/l, Ca bis 2227mg/l), um danach bei einer weiteren Erhöhung der Molarität wieder leicht abzunehmen.

Die Hinzunahme von Calcit bewirkt eine leichte Erhöhung der Sulfat- und eine geringe Abnahme der Calciumlöslichkeit (siehe Abb. 10.2.8 und 10.2.9, Anhang).

### **10.1.3. Eisen (Pyrit, Goethit) und Schwefel (Pyrit)**

Es ist zu beachten, daß Schwefel in den Tabellen und Diagrammen als Sulfat ( $\text{SO}_4$ ) berechnet wird. Dieser Ansatz ist insofern berechtigt, als Schwefel in Lösungen ganz überwiegend als Sulfation vorliegt.

Pyrit und Goethit wurden für die Berechnungen generell mit Calcit vergesellschaftet, da dies zumeist den natürlichen Bedingungen entspricht.

Für die Löslichkeit von Eisenmineralisationen hat neben dem pH-Wert der Eh-Wert eine zentrale Bedeutung.

#### a) Veränderung des pH-Wertes der Lösung

Der Eh von normalen Wässern liegt im Bereich von -300 bis 600mV. Für die Modellierungen wurde daher zunächst ein für ca. neutralen pH leicht reduzierender Eh von -190mV eingesetzt. Die Fe-Löslichkeit liegt im Bereich von pH 6-7 für Goethit (bis 19,4mg Fe/l) deutlich über derjenigen für Pyrit (bis 0,21mg Fe/l), sinkt mit zunehmendem pH-Wert jedoch bis zur Unlöslichkeit im alkalischen Bereich. Die Löslichkeit von Pyrit nimmt bei stabil gehaltenem Eh mit höherem pH stark zu (bis 52mg Fe/l bei pH 9; relative Zunahme des Eh). Der Kreuzungspunkt für beide Minerale liegt etwa bei einem pH-Wert von 7 und Fe- sowie Sulfatwerten von 0,15 bzw. 0,25mg/l. Durch die Carbonatpufferung werden keine pH-Werte unter 6 erreicht.

Da im basischen Bereich Goethit das die Fe-Löslichkeit limitierende Mineral darstellt und im sauren Bereich die Fixierung von Pyrit kontrolliert wird, sind, wie *Abbildung 10.2.12* (Anhang) zeigt, unter normalen Umgebungsbedingungen generell keine Fe-Konzentrationen  $>0,15\text{mg/l}$  möglich. Dies ist insbesondere unter dem Gesichtspunkt der Grenzwertüberschreitung nach der Trinkwasserverordnung beachtenswert, da dieser Wert mit  $0,2\text{mg Fe/l}$  festgeschrieben ist.

Das Löslichkeitsverhalten von Schwefel im Pyrit verhält sich analog zum Eisen. Unter den für das ungestört anstehende Gestein geltenden Bedingungen werden Grenzwertüberschreitungen nach der TVO ( $240\text{mg SO}_4/\text{l}$ ) nicht erreicht (Maximum bei pH 7,6:  $178\text{mg/l}$ ). Werden die Gesteine jedoch beim Abbau einem oxidierenden Milieu ausgesetzt, so kann der Sulfidanteil des Gesteins quantitativ in lösliches Sulfat übergehen und Grenzwertüberschreitungen in den Wässern verursachen.

#### b) Veränderung des Eh-Wertes der Lösung

Die Löslichkeit von Fe und Schwefel im Pyrit steigt mit zunehmenden Eh-Werten, also im Bereich des oxidierenden Milieus. Maßgebend für die Löslichkeit ist die Umwandlung des wenig löslichen Sulfides zum leicht löslichen Sulfat. Hierbei bildet sich ein saurer pH der Lösungen aus, so daß der pH nicht unabhängig vom Redoxmilieu gesehen werden kann. Um Grenzwertüberschreitungen bei Fe und  $\text{SO}_4$  zu vermeiden, dürfen eisensulfidhaltige Gesteinsschichten nicht im oxidierenden Bereich wiederverwendet werden.

Im Goethit sind nur geringe Mengen an Eisen löslich (max.  $0,17\text{mg/l}$  bei Eh  $-200\text{mV}$ ), wobei diese bei niedrigen Eh-Werten ( $-300$  bis  $-200\text{mV}$ ) die Anteile des gelösten Fe aus Pyrit (max.  $0,035\text{mg/l}$  bei Eh  $-200\text{mV}$ ) übersteigen (Reduktion von schwer löslichem  $\text{Fe}^{3+}$  des Goethit in lösliches  $\text{Fe}^{2+}$ ).

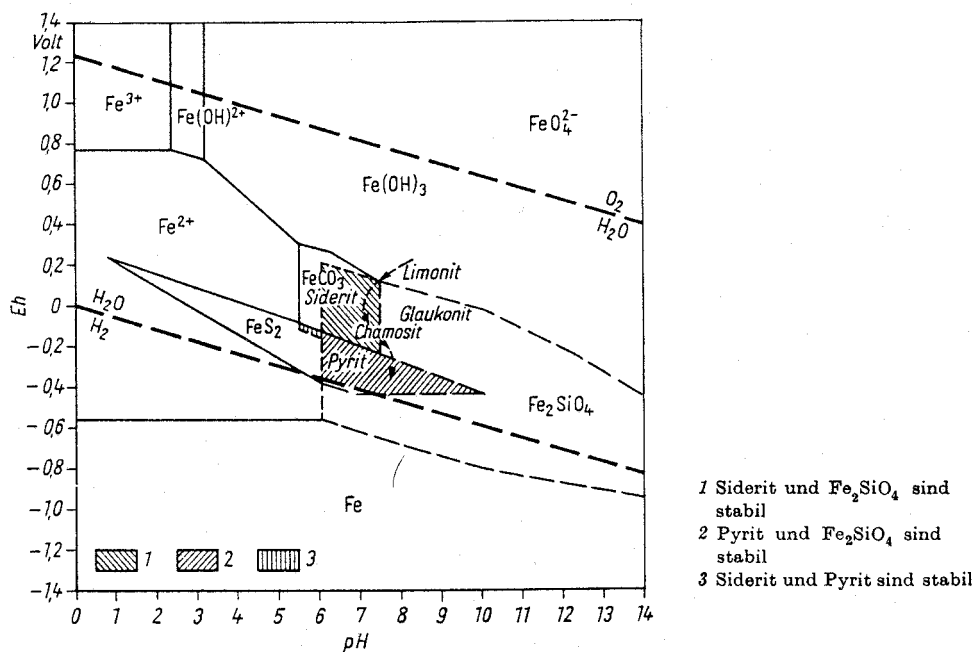


Abb. 10.1.3.1: Stabilitätsbeziehungen wichtiger Fe-Mineralen im System Fe-S-Si- $\text{CO}_2$ - $\text{H}_2\text{O}$  bei  $25^\circ\text{C}$  und 1 bar Gesamtdruck (aus: RÖSLER 1988).

Nach einer leichten Zunahme der Gehalte im Eh-Bereich von -300 bis -200mV sinkt die Konzentration des Fe in der Lösung mit zunehmendem Redoxpotential wieder ab (Oxidation zu schwer löslichem  $\text{Fe}^{3+}$  des Goethit). Oberhalb von -200mV fällt die Löslichkeit von Fe im Goethit dann unter diejenige des Pyrit.

Trägt man die zugehörigen gegenläufigen Löslichkeitskurven für Fe aus Goethit und Pyrit im Diagramm auf, so bildet die Fläche unterhalb des Schnittpunktes beider Geraden den Löslichkeitsbereich von Eisen bei gleichzeitigem Vorhandensein beider Minerale (siehe *Abb. 10.2.13*, Anhang). Eh-Werte sind für Goethit bezüglich Fe-Grenzwertüberschreitungen nicht relevant. Zu den Stabilitätsbeziehungen wichtiger Fe-Minerale vgl. auch *Abb. 10.1.3.1*.

Das Löslichkeitsverhalten von Schwefel im Pyrit ist analog dem des Fe.

#### 10.1.4. Fe, Zn, Pb und $\text{SO}_4$ (aus Pyrit/Goethit, Galenit u. Sphalerit)

Zur Simulation des Löslichkeitsverhaltens von Schwermetallen aus Sulfiden wurde ein Dreikomponentensystem, bestehend aus Pyrit, Galenit und Sphalerit, mit einer wässrigen Lösung equilibriert. In der Simulation erfolgte dann die Veränderung des Eh-Wertes der Lösung.

Die aus den Eh-Wert-Veränderungen resultierenden verschiedenen Lösungen wurden im Anschluß mit Goethit equilibriert. Neben dem Lösungsverhalten der Schwermetalle waren auch die Löslichkeitsveränderungen des Schwefels aus den Sulfiden von Interesse.

##### Ergebnis

Der Eh-Wert wurde von -200 bis 100mV variiert.

Dabei zeigt sich, daß der ursprünglich neutrale pH-Wert der Lösung bei Anstieg des Eh zunehmend in den sauren Bereich absinkt (100mV: pH 3,5; siehe *Abb. 10.2.14*, Anhang). Dies führt dann auch zu einer zunehmenden Löslichkeit der Metalle (Maximum bei Eh = 100mV, pH 3,5: Fe 12,6mg/l, Pb 0,09mg/l, Zn 233mg/l). Schwefel wird ebenfalls zunehmend stärker gelöst (bis 386mg/l bei Eh = 100mV). Die gelösten Elementgehalte steigen insgesamt bei einem Eh-Wert zwischen 0 und 50mV sprunghaft an.

*Abb. 10.2.15* (Anhang) zeigt das Löslichkeitsverhalten von Schwefel aus den Sulfiden bei unterschiedlichen pH- und Eh-Werten. Während der pH mit zunehmendem Eh deutlich sinkt (Oxidation des Sulfids zu Sulfat und Bildung von  $\text{H}_2\text{SO}_4$ ), steigt gleichzeitig die Schwefellöslichkeit stark an.

Bei der Zugabe von Goethit zu obiger resultierenden Lösung stellt man Unterschiede im Lösungsverhalten von Eisen fest (siehe *Abb. 10.2.16*, Anhang). Das aus dem Goethit stammende Fe wird bei niedrigen Eh-Werten wesentlich stärker gelöst als das Fe des Pyrits (Eh = -300mV: 0,015mg Fe/l aus Goethit,  $7^{-9}$ mg Fe/l aus Pyrit). Dabei wird durch zunehmende Reduktion das wenig lösliche  $\text{Fe}^{3+}$  des Goethit in lösliches  $\text{Fe}^{2+}$  umgewandelt. Ab einem Eh von ca. -100mV aufwärts ist die Löslichkeit aus beiden Mineralen etwa gleich stark.

Die Berechnungen belegen eine im Vergleich zu Pb deutlich stärkere Löslichkeit von Zn, insbesondere bei steigenden Eh- und abnehmenden pH-Werten (allgemein leichtere Mobilität von Zn; siehe *Abb. 10.2.14*, Anhang). Ebenso wie bei Pyrit wird in Gegenwart von Kalk der pH auf einen Minimalwert von ca. 6,4 stabilisiert. Unter diesen Bedingungen bleiben die Zn- und Pb-Konzentrationen im Eluat weit unter 0,001mg/l.

Auch in diesem Fall gilt, daß Gesteinsschichten mit sulfidisch gebundenen Schwermetallen nicht in oxidierenden, kalkfreien Milieus Verwendung finden

dürfen, da ansonsten die Schadstoffe gelöst und ins Grundwasser gelangen würden.

### 10.1.5. Blei (aus Cerussit und Anglesit)

Bei den Equilibrierungen wurde jeweils nur ein Parameter verändert, während die anderen konstant gehalten wurden. Als Ausgangskonstanten waren gesetzt: Temperatur 10°C, pH-Wert 7, Eh-Wert 200mV und C-total 1000mg/l. Die Eh-Wert-Modellierung von reinem Anglesit wurde sowohl mit  $C_{tot.} = 1000$  mg/l als auch mit  $C_{tot.} = 0$  mg/l durchgeführt.

#### a) Veränderung des pH-Wertes der Lösung (s. Abb. 10.2.17, Anhang)

Wie erwartet, steigen die Pb-Löslichkeiten bei reinem Cerussit mit abnehmendem pH-Wert stark an (115mg/l bei pH 3). Bei einem Anstieg von pH 5 auf pH 6 wird die Freisetzung drastisch reduziert (von 5,4 auf 0,3mg/l) und erreicht bei Werten von pH 7 und pH 8 0,2mg/l. Ab pH 9 steigt die Löslichkeit dann wiederum leicht an (0,5mg/l; Komplexierung durch Hydroxide).

Durch die Hinzunahme von Calcit wird der resultierende pH-Wert der Lösung durch Karbonatpufferung heraufgesetzt (6,5 bei Ausgangs-pH 3) und das freiwerdende Blei bei Werten von unter 0,2mg/l fixiert. Ab einem Ausgangs-pH-Wert von 8 (resultierend 8,1) steigt die Löslichkeit dann erneut leicht an (0,2mg/l), um bei pH 9 etwa 0,5mg/l zu erreichen, was der Löslichkeit aus der Berechnung ohne Calcit entspricht.

Bei der Equilibrierung mit reinem Anglesit steigt die Löslichkeit von Blei ab pH >6 deutlich an. Liegen die Gehalte bei pH-Werten von 3-5 bei ca. 28mg/l, so steigen sie von 48mg/l bei pH 6 auf 394mg/l bei pH 9. Dies wird bedingt durch den C-total-Gehalt der Lösung, der zur Bildung eines gelösten Bleikarbonatkomplexes führt ( $PbCO_3aq$ ), welcher die angege-

bene Lösungskonzentration hauptsächlich bestimmt (PHREEQE-Berechnung).

Kombiniert man Anglesit mit Calcit, so bewegen sich die resultierenden pH-Werte zwischen 6,5 (Ausgangswert 3) und 7,5 (Ausgangswert 9). Die Karbonatpufferung bewirkt hierbei allerdings keine Reduzierung der Löslichkeit von Blei. Die Gehalte sind im Gegenteil etwas höher als bei reinem Anglesit. Auch hier spielt wiederum die Bildung von  $PbCO_3aq$  die entscheidende Rolle. Durch eine Teillösung des Calcit wird der Anteil des gelösten Bleikarbonates noch erhöht.

Wird Anglesit mit Cerussit equilibriert, so weist das Blei wieder ein „normales“ Löslichkeitsverhalten auf: die Gehalte steigen mit abnehmendem pH-Wert. Der Anteil an  $PbCO_3aq$  geht somit fast vollständig zugunsten von  $Pb^{2+}$ -Ionen zurück. Der resultierende pH-Wert bewegt sich mit Werten zwischen 4,3 (Ausgangswert 3) und 5,7 (Ausgangswert 9) in z.T. deutlich niedrigeren Bereichen als bei reinem Cerussit bzw. Anglesit, was auf das Zusammenwirken von  $H_2CO_3$  und  $H_2SO_4$  zurückzuführen ist.

Die Hinzunahme von Calcit zum System Cerussit + Anglesit führt zu fast identischen Gehalten (ca. 0,7mg/l Pb) bei allen pH, da diese auf einen Wert von etwa 6 abgepuffert werden.

Die Equilibrierung eines karbonatischen Mineralgemenges mit Cerussit, Smithsonit, Otavit, Siderit und Calcit zeigt für Blei das gleiche Löslichkeitsverhalten wie das System Cerussit + Calcit. Die Pb-Gehalte in der Lösung reichen von 0,19mg/l bei pH 3 bis 1mg/l bei pH 10.

#### b) Veränderung des Eh-Wertes der Lösung (s. Abb. 10.2.18, Anhang)

Bei der Equilibrierung mit reinem Cerussit liegen die gelösten Bleiwerte im Bereich von -200mV bis

600mV konstant bei 0,2mg/l, da  $\text{Pb}^{2+}$  nicht Eh-abhängig ist. Unterhalb -200mV steigen die Gehalte auf 1,8mg/l (-250mV), um danach wieder leicht abzufallen (1,4mg/l bei Eh = -300mV). Das  $\text{PbCO}_3$  gerät hier in den Bereich seiner Stabilitätsgrenze (pH-abhängig). Der resultierende pH-Wert steigt bei Eh-Werten < -200mV leicht an (7,3 bei -250mV, 8 bei -300mV), was zu einer Absenkung der Stabilitätsgrenze führt, so daß sich die Menge an gelöstem Pb bei -300mV wieder verringert. Unter Hinzunahme von Calcit betragen die gelösten Bleigehalte in allen Eh-Bereichen 0,18mg/l.

Blei liegt im Anglesit ebenfalls als  $\text{Pb}^{2+}$  vor und ist somit nicht Eh-abhängig. Die Stabilität von  $\text{PbSO}_4$  nimmt allerdings durch die Reduktion des Sulfats zu Sulfid bei Eh-Werten < -100mV (pH 7) ab [RÖSLER 1988, siehe auch Stabilitätsbeziehungen einiger Pb-Verbindungen in Abb. 10.1.5.1]. Equilibriert man ohne  $\text{CO}_2$ , so liegen die gelösten Bleigehalte im Eh-Bereich -100mV bis 600mV bei 27mg/l. Bei kleineren Eh-Werten erhöht sich die Löslichkeit (-200mV =

33mg/l, -300mV = 204mg/l). Wird der Ctot.-Gehalt auf 1000mg/l heraufgesetzt, so steigen die Gehalte an gelöstem Pb sprunghaft an (-100 bis 600mV = 185mg/l, -200mV = 546mg/l, -300mV = 6983mg/l). Dabei handelt es sich jedoch in der Hauptsache um Komplexe von  $\text{PbCO}_3\text{aq}$ .

Die Equilibrierung von Anglesit mit Cerussit führt zu einer Verringerung der Bleilöslichkeit. Im Bereich von 600 bis -200mV sind die Gehalte nur noch gering (1,3-1,6mg/l), während sie bei Werten < -200mV erneut stark ansteigen (-250mV = 748mg/l, -300mV = 4076mg/l). Dabei wird offensichtlich das Pb bei Eh-Werten > -200mV durch die Anwesenheit des Cerussits in  $\text{PbCO}_3$  gebunden, während sich der Einfluß von Cerussit bei niedrigeren Eh-Werten stark reduziert (Erreichen der Stabilitätsgrenze von Cerussit) und es erneut zu einer erheblichen Bildung von  $\text{PbCO}_3\text{aq}$  kommt. Durch die Hinzunahme von Calcit wird eine einheitliche Pb-Löslichkeit von 0,7mg/l in allen Eh-Bereichen bis -145mV verursacht (niedrigere Eh-Werte von PHREEQE nicht berechenbar).

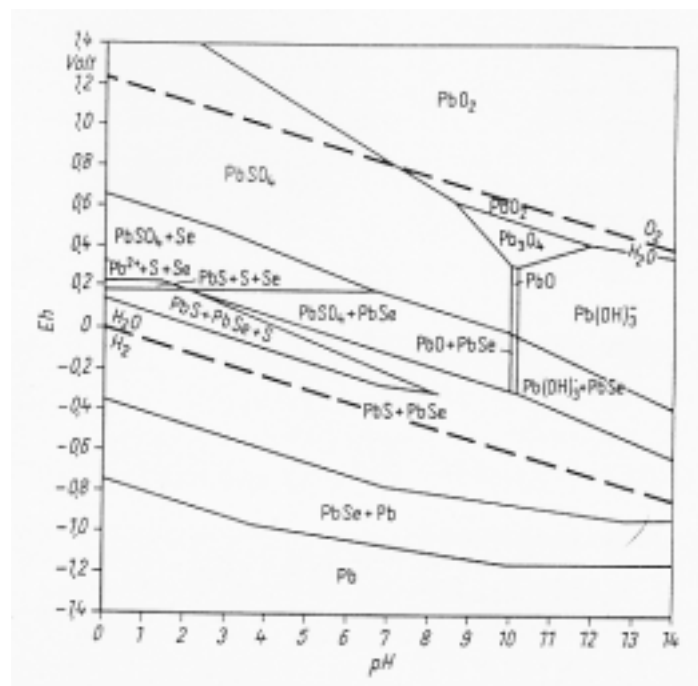


Abb. 10.1.5.1: Stabilitätsbeziehungen zwischen einigen Bleiverbindungen im System Pb-S-Se- $\text{H}_2\text{O}$  bei 25°C und 1 bar Gesamtdruck (aus: RÖSLER 1988).

Equilibriert man schließlich ein karbonatisches Mineralsystem mit Cerussit, Smithsonit, Otavit, Siderit und Calcit, so sind bei den Bleilöslichkeiten gegenüber dem System Cerussit/Calcit keine Veränderungen festzustellen (0,18mg/l gelöstes Blei maximal; gleichbleibend über alle Eh-Bereiche).

c) Veränderung der Lösungstemperatur (s. Abb. 10.2.19, Anhang)

In allen untersuchten Fällen nimmt die Löslichkeit von Blei mit einer Temperaturerhöhung zu. In den equilibrierten Systemen Cerussit, Cerussit/Calcit sowie Cerussit/Smithsonit/Otavit/Siderit/Calcit steigen die maximal löslichen Pb-Gehalte von 0,15mg/l (bei 5°C) auf 0,9mg/l (bei 75°C). Im System Cerussit/Anglesit sind diese Werte leicht erhöht (1,3-3,5mg/l). Durch die Hinzunahme von Calcit wird die Löslichkeit des Pb dann wieder herabgesetzt (0,6-2,6mg/l).

Bei der Equilibrierung mit reinem Anglesit sind die Pb-Löslichkeiten wesentlich größer (168-332 mg/l). Durch die Hinzunahme von Calcit erhöhen sich die Gehalte noch einmal (258-380mg/l). Dieses Verhalten entspricht den bereits unter a) diskutierten Effekten. Dabei ist offensichtlich der aus dem Calcit gelöste  $\text{CO}_3^{2-}$ -Anteil für die Erhöhung der Gehalte an  $\text{PbCO}_3\text{aq}$  verantwortlich. Da sich die Löslichkeit von Calcit mit zunehmenden Temperaturen verringert, steigen die gelösten Pb-Gehalte nicht proportional zu der Equilibrierung mit reinem Anglesit. So liegen die Pb-Werte im System Anglesit/Calcit bei 5°C um den Faktor 1,53 über den Gehalten des reinen Anglesit, bei 75°C jedoch nur noch um 1,14.

d) Variation des  $C_{\text{tot}}$ -Gehaltes der Lösung (s. Abb. 10.2.20, Anhang)

In den equilibrierten Systemen Cerussit, Cerussit/Calcit sowie Cerussit/Smithsonit/Otavit/Siderit/Calcit

bewegt sich bei Vorhandensein von  $\text{CO}_2$  der gelöste Bleigehalt in der Lösung um ca. 0,2mg/l. Bei Abwesenheit von  $\text{CO}_2$  steigt dieser Wert bei reinem Cerussit auf 1,5mg/l, da ein geringeres Angebot von  $\text{CO}_3^{2-}$ -Ionen mehr Blei in Lösung hält. Ebensolches ist unter Hinzunahme von Calcit zu beobachten, wobei jedoch nur 1mg/l Pb in Lösung geht. Dies erklärt sich durch ein etwas höheres Angebot an  $\text{CO}_3^{2-}$ -Ionen (aus gelöstem Calcit), die einen Teil des gelösten Pb als  $\text{PbCO}_3$  binden. Bei der Equilibrierung von Cerussit + Smithsonit + Otavit + Siderit + Calcit befindet sich genug  $\text{CO}_3^{2-}$  in Lösung, um das System abzupuffern und den Pb-Gehalt konstant bei etwa 0,2mg/l zu halten.

Die Equilibrierung mit reinem Anglesit zeigt dagegen ein anderes Bild. Hier steigen die gelösten Pb-Gehalte mit dem Gehalt an  $C_{\text{tot}}$ . ( $C_{\text{tot.}} = 0\text{mg/l}$ : 27mg/l Pb;  $C_{\text{tot.}} = 1000\text{mg/l}$ : 185mg/l Pb;  $C_{\text{tot.}} = 10000\text{mg/l}$ : 844mg/l Pb). Dies findet seine Begründung erneut in der Bildung von  $\text{PbCO}_3\text{aq}$ , dessen Konzentration mit dem Angebot an  $\text{CO}_3^{2-}$ -Ionen steigt. Durch die Hinzunahme von Calcit werden die Werte noch einmal erhöht (278-861mg/l Pb). Dabei steigen die Pb-Werte in den Bereichen niedrigerer  $C_{\text{tot.}}$ -Gehalte gegenüber reinem Anglesit stärker als bei hohen  $C_{\text{tot.}}$ -Konzentrationen, da die Ca-Löslichkeit dort aufgrund des Überangebotes von  $\text{CO}_3^{2-}$  wieder abnimmt.

Kombiniert man Cerussit mit Anglesit, so nehmen die Pb-Gehalte wieder mit zunehmenden  $C_{\text{tot.}}$ -Gehalten ab ( $C_{\text{tot.}} = 0\text{mg/l}$ : 28mg/l Pb;  $C_{\text{tot.}} = 100\text{mg/l}$ : 6,6mg/l Pb;  $C_{\text{tot.}} = 10000\text{mg/l}$ : 0,6mg/l Pb). Bei der Hinzunahme von Calcit ergibt sich ein ähnliches Bild, wobei die Pb-Gehalte bei niedrigeren  $C_{\text{tot.}}$ -Konzentrationen geringer sind ( $C_{\text{tot.}} = 0\text{mg/l}$ : 2,025 mg/l Pb;  $C_{\text{tot.}} = 10000\text{mg/l}$ : 0,619mg/l Pb).

Zusammenfassend läßt sich feststellen, daß bei Anwesenheit von Cerussit ein vermehrtes Angebot an Calcit bzw.  $\text{CO}_2$  zu einer Verminderung der Pb-Lös-



lichkeit führt, während diese bei reinem Anglesit deutlich erhöht ist.

e) Veränderung der Salzlast in der Lösung (s. Abb. 10.2.21, Anhang)

Da eine zunehmende Salzlast die Aktivität der gelösten Ionen (auch des Pb) vermindert, wird somit die mögliche Sättigungskonzentration an Pb erhöht. Bei der Equilibrierung mit reinem Cerussit steigen die maximal löslichen Pb-Gehalte von 0,18mg/l (0 Mol NaCl) auf 2,19mg/l (4 Mol NaCl). Nach der Hinzugabe von Calcit werden diese Werte leicht nach unten verschoben (0,18mg/l Pb bei 0 Mol NaCl; 0,57 mg/l Pb bei 4 Mol NaCl), da ein größeres  $\text{CO}_3^{2-}$ -Angebot einen Teil des gelösten Bleis zur Ausfällung zwingt. In ähnlichen Bereichen bewegen sich die Pb-Konzentrationen bei der Berechnung des Systems Cerussit/ Smithsonit/ Otavit/ Siderit/ Calcit (0,18mg/l bei 0 Mol NaCl; 0,45mg/l bei 4 Mol NaCl).

Auch in diesem Fall weist die Anglesit-Equilibrierung wesentlich höhere gelöste Pb-Gehalte auf. Sie steigen von 185mg/l Pb bei 0 Mol NaCl auf 2481mg/l Pb bei 4 Mol NaCl. Durch die Hinzunahme von Calcit werden die Sättigungskonzentrationen noch einmal erhöht (275mg/l Pb bei 0 Mol NaCl; 2551mg/l Pb bei 4 Mol NaCl). Dieses Verhalten deckt sich mit den bisherigen Beobachtungen unter a-d, da erneut  $\text{PbCO}_3\text{aq}$  in größeren Mengen in der Lösung vorliegt. Wird Anglesit mit Cerussit equilibriert, so zeigt sich eine Abnahme der Sättigungskonzentration für Pb insbesondere in den Bereichen geringerer Molarität (1,4mg/l Pb bei 0 Mol NaCl; 1836mg/l Pb bei 4 Mol NaCl). Die weitere Zugabe von Calcit führt dann zu einem drastischen Rückgang der Bleilöslichkeit (0,7mg/l bei 0 Mol NaCl; 122mg/l bei 4 Mol NaCl). Dabei werden die gelösten  $\text{PbCO}_3\text{aq}$ -Komplexe offenbar zugunsten von  $\text{PbCO}_3$  reduziert.

Insgesamt werden die Richt- und Grenzwerte der TVO (0,04mg/l) bzw. LAGA (0,02mg/l [Z0], 0,04 mg/l [Z1.1]) generell überschritten, und zwar unabhängig von den äußeren Systemparametern. Gesteinsmaterial mit erhöhten Mengen an Cerussit und insbesondere Anglesit stellt für das Grundwasser somit einen erheblichen Risikofaktor dar.

Fazit

Um potentielle Grundwasserbelastungen mit Blei zu verhindern, sollten stark anglesitführende Gesteine von einer Wiederverwendung generell ausgeschlossen sein. Bei Vorhandensein von Cerussit sind zumindest stark reduzierende Milieus sowie geringe pH-Werte und hohe Salzlasten möglicher einwirkender Lösungen zu vermeiden. Ebenso wäre bei Cerussit die Anwesenheit weiterer Karbonate (insbesondere Calcit) bzw. ein höherer  $\text{CO}_2$ -Partialdruck von großem Vorteil, um die Pb-Ionen zu binden (gilt nicht für reinen Anglesit, s.o.).

### 10.1.6. Zink (aus Smithsonit)

Auch bei diesen Equilibrierungen wurde jeweils nur ein Parameter verändert, während die übrigen konstant blieben. Als Ausgangskonstanten waren gesetzt: Temperatur 10°C, pH-Wert 7, Eh-Wert 200mV und C-total 1000mg/l.

a) Veränderung des pH-Wertes der Lösung (s. Abb. 10.2.17, Anhang)

Die Equilibrierung von reinem Smithsonit zeigt, daß Zink mit geringeren pH-Werten zunehmend stärker in Lösung geht. Bei alkalischen pH-Werten der Ausgangslösung können maximal 2mg/l Zn in Lösung

gehen. Unter neutralen pH-Werten (7) steigt diese Konzentration auf 5mg/l. Senkt man die Werte weiter ab, so steigen die Sättigungskonzentrationen für Zink sprunghaft an (52mg/l bei pH 6; 164mg/l bei pH 3).

Durch die Zunahme der Löslichkeit von Smithsonit werden vermehrt auch  $\text{CO}_3^{2-}$ -Ionen frei, die letztlich zu einem Anstieg des resultierenden pH-Wertes ( $\text{pH}_{\text{res}}$ ) der Lösung führen (pH 5:  $\text{pH}_{\text{res}} = 5,9$  [ $\text{CO}_3^{2-} = 1117\text{mg/l}$ ]; pH 3:  $\text{pH}_{\text{res}} = 5,8$  [ $\text{CO}_3^{2-} = 1153\text{mg/l}$ ]).

Unter Hinzunahme von Calcit zeigt sich die bekannte Verminderung der Zn-Löslichkeit. Die Gehalte bewegen sich nunmehr zwischen 2mg/l (pH 8) und 18mg/l (pH 3). Die resultierenden pH-Werte liegen bei den Ausgangs-pH von 3 bis 6 durch die Carbonatpufferung etwa gleichauf (ca. pH 6,5). Die selben Zn-Konzentrationen und  $\text{pH}_{\text{res}}$ -Werte können für das equilibrierte System Cerussit/Smithsonit/Otavit/Siderit/Calcit beobachtet werden.

#### b) Veränderung des Eh-Wertes der Lösung (s. Abb. 10.2.18, Anhang)

Bei der Equilibrierung mit reinem Smithsonit verändert sich die Zn-Sättigungskonzentration der Lösung im Eh-Bereich von -100mV bis 600mV nicht und liegt konstant bei 5,3mg/l, da  $\text{Zn}^{2+}$  nicht redox-abhängig ist. Ab -200mV steigen die Gehalte von 5,4mg/l Zn auf 22mg/l Zn bei Eh -250mV, um danach wieder abzufallen (13mg/l Zn bei Eh -300mV). Dies findet seine Begründung in der abnehmenden Stabilität von  $\text{ZnCO}_3$  in Eh-Bereichen  $< -100\text{mV}$  (pH-abhängig). Der resultierende pH-Wert steigt ab -250mV von 7,5 auf 8,2 bei -300mV, so daß die Stabilitätsgrenze für Smithsonit zu einem niedrigeren Eh hin verschoben und somit die Menge an gelösten Zn-Ionen wieder verringert wird.

Das System Smithsonit/Calcit wurde mit  $\text{C}_{\text{tot.}} = 0\text{mg/l}$  und  $\text{C}_{\text{tot.}} = 1000\text{mg/l}$  equilibriert. Bei Abwe-

senheit von  $\text{CO}_2$  liegen die gelösten Zn-Konzentrationen konstant bei 16mg/l. Die resultierenden pH-Werte sind auf 9,2 abgepuffert. Mit einem  $\text{C}_{\text{tot.}}$ -Gehalt von 1000mg/l erreichen die Sättigungskonzentrationen 4mg/l Zn. Lediglich bei -250mV steigen die Gehalte auf 6mg/l Zn. Der  $\text{pH}_{\text{res}}$ -Wert steigt von 7,2 auf 7,5 bei -250mV und 8,3 bei -300mV.

Im System Cerussit/Smithsonit/Otavit/Siderit/Calcit liegen die maximal löslichen Zinkgehalte zwischen 3,4mg/l (600mV) und 5,8mg/l (-250mV), wobei ein schwankender Verlauf keinen Trend erkennen läßt.

#### c) Veränderung der Lösungstemperatur (s. Abb. 10.2.19, Anhang)

$\text{ZnCO}_3$  weist ebenso wie  $\text{CaCO}_3$  bei geringeren Temperaturen eine höhere Löslichkeit auf. So sinken die Zn-Lösungskonzentrationen von 6,8mg/l bei 5°C auf 0,9mg/l bei 75°C. Die Hinzunahme von Calcit bewirkt eine leichte Absenkung dieser Werte, da ein vermehrtes Angebot an  $\text{CO}_3^{2-}$ -Ionen zu einer verstärkten Ausfällung ( $\text{ZnCO}_3$ ) des Zinks führt. Die Gehalte reichen dann von 5mg/l Zn bei 5°C bis 0,85mg/l Zn bei 75°C.

Die Lösungskonzentrationen aus der Equilibrierung mit Smithsonit und Calcit sind identisch mit denen des Systems Cerussit/Smithsonit/Otavit/Siderit/Calcit.

#### d) Variation des $\text{C}_{\text{tot.}}$ -Gehaltes der Lösung (s. Abb. 10.2.20, Anhang)

Die Equilibrierung mit reinem Smithsonit zeigt eine Abnahme der Zn-Löslichkeit mit zunehmenden  $\text{C}_{\text{tot.}}$ -Gehalten. Die Werte reichen von 14mg/l Zn bei  $\text{C}_{\text{tot.}} = 0$  bis 2,6mg/l Zn bei  $\text{C}_{\text{tot.}} = 10000\text{mg/l}$ . Offensichtlich führt eine größeres Angebot an  $\text{CO}_2$  zu einer vermehrten Ausfällung von Zink als  $\text{ZnCO}_3$ . Unter dem Gesichtspunkt einer möglichen Kontami-

nation von Grundwasser mit Zn ist somit ein möglichst großer Anteil  $\text{CO}_2$  in der Bodenluft wünschenswert.

Die Zugabe von Calcit führt zu leichten Löslichkeitsschwankungen. Die Zinkgehalte erreichen 16mg/l bei  $C_{\text{tot.}} = 0$  und fallen auf 3,3mg/l bei  $C_{\text{tot.}} = 100$  mg/l, um danach bis  $C_{\text{tot.}} = 1000$ mg/l wieder leicht bis auf 4mg/l Zn anzusteigen. Oberhalb eines  $C_{\text{tot.}}$ -Gehaltes von 1500mg/l nehmen die Zinkkonzentrationen dann wieder ab (3,8mg/l Zn bei  $C_{\text{tot.}} = 1500$  mg/l; 2,5mg/l Zn bei  $C_{\text{tot.}} = 10000$ mg/l). Die Zn-Gehalte liegen damit generell unter denen der reinen Smithsonit-Equilibrierung, da ein Teil des gelösten  $\text{CO}_2$  von freigesetzten Ca gebunden wird.

Bei der Equilibrierung von Cerussit-Smithsonit/Otavit/Siderit/Calcit sind höhere Zn-Gehalte auch bei  $C_{\text{tot.}} = 0$ mg/l nicht zu beobachten (4,8mg/l Zn). Das Angebot an  $\text{CO}_3^{2-}$ -Ionen ist in diesem System genügend hoch, um einen Großteil der freiwerdenden Zn-Ionen sofort wieder in die feste Phase zu überführen. Die übrigen Zn-Werte entsprechen denjenigen des Systems Smithsonit/Calcit.

#### e) Veränderung der Salzlast in der Lösung (s. Abb. 10.2.21, Anhang)

Eine Erhöhung der Salzlast in der Lösung bewirkt eine verstärkte Zn-Löslichkeit aus Smithsonit. Bei der Equilibrierung mit reinem  $\text{ZnCO}_3$  steigen die Gehalte von 5mg/l Zn ( $\text{NaCl} = 0$  Mol) auf 44mg/l Zn ( $\text{NaCl} = 4$  Mol). Nach der Zugabe von Calcit werden diese Werte durch das größere  $\text{CO}_3^{2-}$ -Angebot und eine damit verbundene stärkere Ausfällung von Zink reduziert (4mg/l Zn bei  $\text{NaCl} = 0$  Mol bis 23mg/l Zn bei  $\text{NaCl} = 4$  Mol). Die maximalen Zn-Löslichkeitskonzentrationen im System Cerussit-Smithsonit/Otavit/Siderit/Calcit sind entsprechend.

Bei der Wiederverwendung von smithsonithaltigem Gestein sind erhöhte Salzlasten folglich zu vermeiden.

#### Fazit

Um Grenzwertüberschreitungen von Zn nach der TVO (5mg/l) zu verhindern, sollten bei der Wiederverwendung von Gesteinsmaterialien mit Smithsonit die pH-Werte einwirkender Wässer den Wert von 7 möglichst nicht unterschreiten. Die Anwesenheit von Calcit und  $\text{CO}_2$  wäre günstig. Um die Stabilität von Smithsonit zu gewährleisten, sind stark reduzierende Milieus ( $< -200$ mV) zu vermeiden. Auch sollten keine Lösungen mit erhöhten Salzlasten auf das Gestein einwirken können.

#### **10.1.7. Cadmium (aus Otavit)**

Die Equilibrierungen wurden wiederum unter Veränderung jeweils nur eines Parameters durchgeführt, während die übrigen konstant blieben. Als Ausgangskonstanten waren gesetzt: Temperatur 10°C, pH-Wert 7, Eh-Wert 200mV und C-total 1000mg/l.

#### a) Veränderung des pH-Wertes der Lösung (s. Abb. 10.2.17, Anhang)

Die Cd-Löslichkeit aus reinem Otavit steigt mit abnehmendem pH-Wert stark an. Bei einem pH von 9 gehen lediglich 0,5µg/l Cd in Lösung. Die Konzentration erhöht sich auf 0,02mg/l Cd bei pH 6 und erreicht 58,5mg/l Cd bei pH 3. Die resultierenden pH-Werte entsprechen zwischen 5 und 9 ihren Ausgangswerten, sind darunter jedoch leicht angehoben ( $\text{pH } 4 = \text{pH}_{\text{res}} 4,5$ ;  $\text{pH } 3 = \text{pH}_{\text{res}} 4,2$ ). Dies resultiert aus dem wachsenden  $\text{CO}_2$ -Angebot in der Lösung ( $\text{pH } 5-9 = \text{ca. } 1000$ mg/l  $\text{CO}_2$ ;  $\text{pH } 4 = 1006$ mg/l  $\text{CO}_2$ ;  $\text{pH } 3 = 1032$ mg/l  $\text{CO}_2$ ).

Durch die Hinzunahme von Calcit wird der resultierende pH-Wert auf minimal 6,5 abgepuffert (bei Ausgangs-pH von 3 bis 6) und die maximale Cd-

Konzentration in der Lösung drastisch reduziert (0,0041mg/l Cd bei pH 3). Die Equilibrierung des Systems Cerussit/ Smithsonit/ Otavit/ Siderit/ Calcit zeigt dieselben Werte. Zur Vermeidung von Grenzwertüberschreitungen nach TVO (5µg/l) bzw. LAGA (2µg/l [Z0, Z1.1] ), sind bei einer Wiederverwertung Cd-karbonatreichen Gesteins pH-Werte < 7 zu verhindern.

b) Veränderung des Eh-Wertes der Lösung (s. Abb. 10.2.18, Anhang)

Bei reinem Otavit liegen die gelösten Cd-Gehalte im Eh-Bereich zwischen -200 und 600mV bei 0,0013 mg/l. Ab einem Eh-Wert von -210mV erhöhen sich die Konzentrationen von 0,002mg/l Cd auf 0,52mg/l bei -240mV. Darunter fallen die Cd-Gehalte dann wiederum ab (-250mV: 0,46mg/l Cd; -300mV: 0,21 mg/l Cd). Durch die Zugabe von Calcit werden diese Werte stark reduziert (-200 bis 600mV: 0,001mg/l Cd; -250mV: 0,0014mg/l). Ursache für diese sich kaum verändernden Konzentrationen ist das vermehrte Angebot an  $\text{CO}_3^{2-}$ -Ionen, welches zu einer Ausfällung von größeren Cd-Anteilen führt. Die Cd-Werte des Systems Cerussit/Smithsonit/Otavit/Siderit/Calcit entsprechen der Kombination Otavit/Calcit, vergleichbar dem Verhalten von Pb und Zn in den jeweiligen Karbonatsystemen.

c) Veränderung der Lösungstemperatur (s. Abb. 10.2.19, Anhang)

Die  $\text{CdCO}_3$ -Löslichkeit nimmt, wenn auch nur geringfügig, mit abnehmender Lösungstemperatur zu (vergleiche Zn). Die Gehalte steigen bei reinem Otavit von 0,7µg/l Cd (75°C) auf 1,5µg/l Cd (5°C). Entsprechend verringern sich diese Werte etwas bei der

Hinzunahme von Calcit (0,7µg/l Cd bei 75°C; 1,1 µg/l Cd bei 5°C). Selbiges gilt für das System Cerussit/Smithsonit/Otavit/Siderit/Calcit, in dem Zn das gleiche Verhalten wie Cd zeigt (im Gegensatz zu Pb, s.o.).

d) Variation des  $C_{\text{tot}}$ -Gehaltes der Lösung (s. Abb. 10.2.20, Anhang)

Die maximale Cd-Konzentration der Lösung nimmt bei reinem Otavit mit zunehmendem  $C_{\text{tot}}$ -Gehalt ab. Aufgrund mangelndem  $\text{CO}_3^{2-}$ -Angebot und einer geringen Ausfällungsrate ist der Cd-Gehalt bei Abwesenheit von  $C_{\text{tot}}$  somit am größten (0,143mg/l Cd). Durch die stufenweise Erhöhung von  $C_{\text{tot}}$  führt das zunehmende  $\text{CO}_3^{2-}$ -Angebot zu einer Cd-Ausfällung und die Cadmiumwerte verringern sich von 0,0065mg/l ( $C_{\text{tot}}=100\text{mg/l}$ ) auf 0,7µg/l ( $C_{\text{tot}}=10000\text{mg/l}$ ). Ein ausreichendes  $\text{CO}_2$ -Angebot ist somit bei der umweltgerechten Wiederverwendung von otavithaltigem Gestein unabdingbar.

Nach der Zugabe von Calcit liegen die gelösten Cadmiumgehalte zwischen 0 und 1µg/l. Die Werte schwanken insgesamt und lassen somit keinen Trend erkennen. Generell läßt sich sagen, daß das größere Angebot an  $\text{CO}_3^{2-}$  keine höheren Löslichkeiten für Cadmium zuläßt. Das equilibrierte System Cerussit/Smithsonit/Otavit/Siderit/Calcit zeigt fast identische Cd-Löslichkeiten.

e) Veränderung der Salzlast in der Lösung (s. Abb. 10.2.21, Anhang)

Eine Erhöhung der Salzlast in der Lösung bewirkt eine verstärkte Cd-Löslichkeit aus Otavit. Die Konzentrationen steigen von 0,0013mg/l Cd bei  $\text{NaCl} = 0$  Mol auf 2mg/l Cd bei  $\text{NaCl} = 4$  Mol. Durch Zugabe

von Calcit werden diese Werte verringert (0,001mg/l Cd bei NaCl = 0 Mol; 0,5mg/l Cd bei NaCl = 4 Mol). Das System Cerussit/Smithsonit/Otavit/Siderit/Calcit stellt zusätzliche  $\text{CO}_3^{2-}$ -Ionen zur Ausfällung bereit, so daß die Cd-Konzentrationen der Lösung weiter zurückgehen (0,001mg/l Cd bei NaCl = 0 Mol; 0,35 mg/l Cd bei NaCl = 4 Mol).

Wie die Ergebnisse zeigen, sind erhöhte Salzlaster bei der Wiederverwendung unbedingt zu vermeiden.

### 10.1.8. Sulfat (aus Anglesit)

Als Konstanten waren gesetzt: Temperatur 10°C, pH-Wert 7, Eh-Wert 200mV und C-total 1000mg/l. Jeweils ein Parameter wurde verändert.

#### a) Veränderung des pH-Wertes der Lösung (s. Abb. 10.2.17, Anhang)

Die Sulfatlöslichkeit aus reinem Anglesit steigt mit Zunahme des pH-Wertes. Dies geschieht, analog Pb, ab pH-Werten >5 (pH 3-5: 12-13mg/l  $\text{SO}_4$ ; pH 6: 22mg/l  $\text{SO}_4$ ; pH 9: 182mg/l  $\text{SO}_4$ ). Gleiches ist für das System Anglesit/Calcit zu beobachten, wo lediglich die absoluten Konzentrationen ansteigen (pH 3-5: 74-76mg/l  $\text{SO}_4$ ; pH 6: 83mg/l  $\text{SO}_4$ ; pH 9: 213mg/l  $\text{SO}_4$ ).

Im System Anglesit/Cerussit ist das Verhältnis von  $\text{SO}_4$  und Pb entgegengesetzt. Während Blei hier mit abnehmendem pH-Wert zunehmend stärker in Lösung geht, steigt die  $\text{SO}_4$ -Konzentration wiederum mit dem pH-Wert an (pH 3: 3mg/l  $\text{SO}_4$ ; pH 9: 756 mg/l  $\text{SO}_4$ ). Durch die Hinzunahme von Calcit wird dann die Sättigungskonzentration für  $\text{SO}_4$  deutlich angehoben, während Blei größtenteils sofort wieder als  $\text{PbCO}_3$  ausgefällt wird. Die  $\text{SO}_4$ -Gehalte steigen von 29408mg/l bei pH 3 auf 29871mg/l bei pH 9.

Bei der Wiederverwendung anglesithaltigen Gesteins sind daher alkalische Milieus unbedingt abzulehnen (Grenzwert TVO: 240mg  $\text{SO}_4$ /l; LAGA [Z0, Z1.1]: 50mg  $\text{SO}_4$ /l). Da jedoch die Pb-Grenzwerte in jedem Fall überschritten werden (vgl. 10.1.5.), ist von einer Verwertung stark anglesithaltigen Gesteins nachdrücklich abzuraten.

#### b) Veränderung des Eh-Wertes der Lösung (s. Abb. 10.2.18, Anhang)

Die  $\text{SO}_4$ -Löslichkeit aus Anglesit nimmt, ebenso wie bei Pb, mit abnehmenden Eh-Werten zu, wobei die  $C_{\text{tot}}$ -Gehalte der Lösung von entscheidender Bedeutung für die Höhe der Konzentrationen sind. In Abwesenheit von  $C_{\text{tot}}$  steigen die Werte von 12mg/l  $\text{SO}_4$  bei Eh = -100 bis 600mV auf 95mg/l  $\text{SO}_4$  bei Eh -300mV. Wird nun  $C_{\text{tot}}$  auf 1000mg/l erhöht, so nehmen die  $\text{SO}_4$ -Gehalte von 86mg/l bei Eh -100 bis 600mV auf 3237mg/l bei Eh = -300mV zu.

Das System Cerussit/Anglesit verhält sich analog den vorgenannten Systemen, wobei die Gehalte im oxidierenden Bereich allerdings stärker ansteigen (560mg/l  $\text{SO}_4$  bei Eh = 1-600mV). Die weitere Zugabe von Calcit vergrößert die Ausfällung des gelösten Pb als  $\text{PbCO}_3$  und hält große Mengen von  $\text{SO}_4$  in Lösung (Eh 1-600mV: 29763mg/l; Eh -145mV: 30546mg/l).

#### c) Veränderung der Lösungstemperatur (s. Abb. 10.2.19, Anhang)

Bei reinem Anglesit nimmt die Löslichkeit des  $\text{SO}_4$  mit der Temperatur zu. Sie steigt von 78mg/l  $\text{SO}_4$  bei 5°C auf 154mg/l  $\text{SO}_4$  bei 75°C. Die Hinzunahme von Calcit bewirkt eine weitere Erhöhung dieser Werte (120mg/l  $\text{SO}_4$  bei 5°C; 176mg/l  $\text{SO}_4$  bei 75°C).

Die Equilibrierung von Cerussit und Anglesit zeigt Schwankungen in den Konzentrationen. So steigen die  $\text{SO}_4$ -Gehalte von 545mg/l bei 5°C auf 600

mg/l bei 45-55°C, um danach wieder leicht auf 590 mg/l bei 75°C abzunehmen. Durch die Zugabe von Calcit werden die Werte erneut drastisch erhöht. Da die Löslichkeit von Calcit mit Zunahme der Temperatur abnimmt, zeigt auch  $\text{SO}_4$  dieses Verhalten (31762mg/l  $\text{SO}_4$  bei 5°C; 7727mg/l  $\text{SO}_4$  bei 75°C). Die Löslichkeit von  $\text{SO}_4$  aus Anglesit wird also direkt vom gelösten Anteil an Calcit bestimmt.

d) Variation des  $C_{\text{tot}}$ -Gehaltes der Lösung (s. Abb. 10.2.20, Anhang)

Die Equilibrierungen zeigen in allen Systemen eine Zunahme der  $\text{SO}_4$ -Löslichkeit mit Erhöhung des  $C_{\text{tot}}$ -Gehaltes der Lösung. So steigt bei reinem Anglesit die  $\text{SO}_4$ -Konzentration von 12mg/l bei  $C_{\text{tot.}} = 0$  mg/l auf 391mg/l bei  $C_{\text{tot.}} = 10000\text{mg/l}$ . Die Zugabe von Calcit erhöht diese Werte insbesondere in den unteren Bereichen (129mg/l  $\text{SO}_4$  bei  $C_{\text{tot.}} = 0\text{mg/l}$ ; 399mg/l  $\text{SO}_4$  bei  $C_{\text{tot.}} = 10000\text{mg/l}$ ).

Das System Cerussit + Anglesit zeigt eine deutliche steigende Konzentration von  $\text{SO}_4$ . Liegen die Gehalte bei  $C_{\text{tot.}} = 0\text{mg/l}$  noch bei 12mg/l  $\text{SO}_4$ , so steigen sie bereits bei  $C_{\text{tot.}} = 1000\text{mg/l}$  auf 560mg/l  $\text{SO}_4$  an, und erreichen bei  $C_{\text{tot.}} = 10000\text{mg/l}$  schließlich eine Lösungskonzentration von 5844mg/l  $\text{SO}_4$ . Die Zugabe von Calcit führt dann wiederum zu einer enormen Verstärkung der  $\text{SO}_4$ -Löslichkeit (29507-32792mg/l). Wie unter 10.1.5. gezeigt, sinken gleichzeitig die Pb-Konzentrationen, da das vermehrte Angebot an  $\text{CO}_2$  das gelöste Blei als  $\text{PbCO}_3$  bindet, was andererseits das Sulfat in Lösung hält.

e) Veränderung der Salzlast in der Lösung (s. Abb. 10.2.21, Anhang)

Generell steigt in allen Systemen die Löslichkeit von  $\text{SO}_4$  aus Anglesit mit zunehmender Salzlast der

Lösung. Bei reinem Anglesit erhöhen sich die Werte von 86mg/l  $\text{SO}_4$  bei 0 Mol auf 1150mg/l  $\text{SO}_4$  bei 4 Mol NaCl. Durch die Hinzunahme von Calcit vergrößern sich diese Gehalte von 127mg/l  $\text{SO}_4$  bei 0 Mol auf 1183mg/l  $\text{SO}_4$  bei 4 Mol NaCl.

Das System Cerussit/Anglesit führt zu noch höheren Konzentrationen an  $\text{SO}_4$  (560mg/l bei 0 Mol; 1524mg/l bei 4 Mol NaCl). Nach der Zugabe von Calcit zeigen sich die bereits aus a – e bekannten, immens hohen Löslichkeitskonzentrationen für  $\text{SO}_4$ . Dabei wird wiederum deutlich, daß das Ca die ausschlaggebende Komponente für diese starke Löslichkeit darstellt. So steigen die  $\text{SO}_4$ -Gehalte bis 1 Mol NaCl analog den Ca-Werten an und lassen bei einer weiteren Salzlasterhöhung mit diesen wieder nach (29763mg/l  $\text{SO}_4$  bei 0 Mol, 32528mg/l  $\text{SO}_4$  [max] bei 1 Mol, 25359mg/l  $\text{SO}_4$  bei 4 Mol NaCl).

Generell sind also höhere Salzlasten bei der Wiederverwendung zu vermeiden.

### 10.1.9. Eisen (aus Siderit)

Siderit wurde lediglich im System Cerussit/Smithsonit/Otavite/Siderit/Calcit equilibriert. Als Konstanten waren gesetzt: Temperatur 10°C, pH-Wert 7, Eh-Wert 200mV und C-total 1000mg/l. Jeweils ein Parameter wurde verändert.

Bei der Variation des pH-Wertes bleiben die Löslichkeiten des Fe von pH 3 bis 5 konstant (2 mg/l, s. Abb. 10.2.17, Anhang). Eine Anhebung des pH bis 8 führt zu einer Absenkung der Gehalte (bis 0,22mg/l Fe bei pH 8). Darüber hinaus steigen dann die Fe-

Konzentrationen deutlich an (pH 9: 7,3mg/l Fe; pH 10: 119mg/l Fe).

Unter stark oxidierenden Bedingungen können hohe Konzentrationen Fe aus Siderit in Lösung gehen (Eh 300mV: 0,6mg/l; Eh 600mV: 5087mg/l). Im reduzierenden bis leicht oxidierenden Bereich liegen die Werte relativ konstant bei 0,35-0,43mg/l Fe (s. *Abb. 10.2.18*, Anhang). Bei starker Reduktion sinkt die Löslichkeit weiter ab (Eh -300mV: 0,18mg/l Fe). Dabei ist jedoch zu bedenken, daß das Fe in stark oxidierenden Milieus als  $\text{Fe}^{3+}$  fixiert wird, was in der Berechnung nicht deutlich wird, da ohne Fe-Oxide equilibriert wurde (siehe dazu *Abb. 10.1.3.1: Stabilitätsbeziehungen wichtiger Fe-Mineralen*).

Bei Variation der Lösungstemperatur zeigen sich deutliche Schwankungen im Fe-Lösungsverhalten (s. *Abb. 10.2.19*, Anhang). So sinken die Gehalte mit zunehmender Temperatur anfänglich leicht ab (0,4 mg/l Fe bei 5°C; 0,28mg/l Fe bei 25°C). Danach steigt die Konzentration von 0,28mg/l Fe bei 35°C

auf 5,1mg/l Fe bei 75°C.

In Abwesenheit eines  $C_{\text{tot.}}$ -Gehaltes in der Lösung können 23mg/l Fe aus dem Siderit in Lösung gehen. Erfolgt eine Anreicherung mit  $C_{\text{tot.}} = 100 \text{ mg/l}$ , so reduziert sich dieser Wert auf 3mg/l Fe. Bei einer weiteren Anhebung des  $C_{\text{tot.}}$  werden die Fe-Gehalte bei etwa 0,3-0,35mg/l fixiert (siehe *Abb. 10.2.20*, Anhang).

Eine Anhebung der Salzlast bewirkt eine Zunahme der Fe-Löslichkeit von 0,35mg/l bei 0 Mol NaCl auf 0,645mg/l Fe bei 4 Mol NaCl (s. *Abb. 10.2.21*, Anhang).

Insgesamt erzeugt das equilibrierte System generell Lösungen mit Gehalten  $> 0,2 \text{ mg Fe/l}$  (TVO-Grenzwert). In diesem Zusammenhang sei jedoch noch einmal auf die Problematik der Equilibrierungsberechnung verwiesen, wonach fehlende Mineralparagenesen zu deutlich höheren Lösungskonzentrationen führen können (s.o.: Fe-Oxide im oxidierenden Milieu).

## **11. Elementbelastungen und Klassifizierungen**

Die aus den Untersuchungen der verschiedenen Gesteinsschichten des Großraumes Stuttgart gewonnenen Parameter bilden die Grundlage für Aussagen zur Verwendungsfähigkeit dieser Materialien. Grundsätzlich stellt dabei der Schutz der Umwelt, in diesem Falle insbesondere von Grundwasser und Böden, das Hauptkriterium für die Wiederverwertung dar. Geologisches Material mit hohen Gehalten an vor allem leicht löslichen Inhaltsstoffen von potentiell toxischem Charakter muß kritisch beurteilt und mit Einschränkungen zur Verwendungsfähigkeit versehen werden.

Bezugspunkte für eine auch im rechtlichen Rahmen vertretbare Entscheidung zur Nutzungsmöglichkeit von Gesteinen definierter stratigraphischer Horizonte bilden die für die vorliegende Problematik relevanten Grenz- und Richtwerte des Bundes und der Länder der Bundesrepublik Deutschland. Da diese Werte für die Beurteilung von Böden erstellt wurden, hier jedoch Gesteine zu klassifizieren sind, müssen weitergehende Kriterien und Relativierungen berücksichtigt werden, als dies für Böden der Fall ist.

Die Zuordnung der Sedimente zu Belastungsklas-

sen kann unter mehreren Gesichtspunkten erfolgen. Da die vorliegende Studie als eigentliches Ziel Aussagen zur Klassifizierung für eine Wiederverwendung abgebauter Gesteine anstrebt, soll im folgenden die Herleitung der schließlich vorgeschlagenen Zuordnungskriterien genauer aufgezeigt und belegt werden. Dabei wird die Herleitung einer möglichst einfach und schlüssig zu handhabenden Klassifizierung im Auge behalten, die dennoch alle für die hier untersuchten Gesteine wesentlichen Belastungskriterien berücksichtigt. Die Klassifizierungsmöglichkeiten beruhen auf verschiedenen Ansatzpunkten, die nachfolgend im einzelnen diskutiert werden sollen.

Die folgende Tabelle 11.1. gibt eine Übersicht über die Grenz- und Richtwertüberschreitungen einzelner Elemente in den verschiedenen Schichten. Bei den LAGA-Richtwerten ist jeweils die Überschreitung der zugehörigen Einbauklasse angegeben (Z-Wert). Im Falle der TVO werden aus analysetechnischen Gründen für Kalium und Ammonium die geogen bedingten Grenzwerte verwendet. Die relevanten Grenz- und Richtwerte entsprechen den in Kapitel 6 angegebenen Klassen.



**Tab. 11.1: Grenzwertüberschreitungen in den einzelnen Schichten:**

Angegeben sind die Parameter, bei denen eine Grenzwertüberschreitung in dem jeweiligen Bereich vorliegt.

Bei Überschreitung der LAGA-Richtlinien wurde zusätzlich die überschrittene Zuordnungseinheit angegeben (Z-Klassen 0 - 2).

Z 0: ca. natürlicher Hintergrundwert; bis Z 1: Einschränkungen bestimmter Nutzungsmöglichkeiten;

bei Einbau von Materialien mit Gehalten bis Z 2 müssen definierte techn. Sicherungsmaßnahmen für den Grundwasserschutz vorgenommen werden.

LF = Leitfähigkeit

| Geologische Formation                     | Trinkwasser-<br>verordnung               | Grenzwerte Boden<br>(KLOKE etc.) | Z-Werte Boden (LAGA)         | Z-Werte Eluat (LAGA)                                                            |
|-------------------------------------------|------------------------------------------|----------------------------------|------------------------------|---------------------------------------------------------------------------------|
| so, Röttone                               |                                          | Hg                               | Cd (Z 1.1), Hg (Z 1.1)       | Chlorid (Z 1.1)                                                                 |
| mo2, Mergel/Tone an d. Basis              |                                          |                                  |                              | SO <sub>4</sub> (Z 2)                                                           |
| mo2, Tonhorizonte                         | SO <sub>4</sub>                          | B, Ni                            | Cd (Z 0), Ni (Z 0), Cu (Z 0) | SO <sub>4</sub> (Z 2), LF (Z 1.1)                                               |
| mo2, Mergel/Tone im ob. Abschnitt         | SO <sub>4</sub>                          |                                  |                              | SO <sub>4</sub> (Z 2), LF (Z 1.1)                                               |
| ku Basis, Vitriolschiefer                 |                                          | Ni                               | Ni (Z 0), Cu (Z 0)           | SO <sub>4</sub> (Z 1.1), Pb (Z 0)                                               |
| ku, Estherienschichten                    |                                          | B, Ni                            | Ni (Z 0), Cr (Z 0), Cu (Z 0) |                                                                                 |
| km1, Grundgipsschichten, nicht ausgelaugt | Al, Ca, SO <sub>4</sub> , Cd, Ni, Cr, LF |                                  | Cd (Z 0)                     | SO <sub>4</sub> (Z 2), Cd (Z 1.2), Ni (Z 1.1), Cr (Z 1.1), Cu (Z 1.1), LF (Z 2) |
| km1, Grundgipsschichten, ausgelaugt       |                                          |                                  | Cd (Z 0), Ni (Z 0)           |                                                                                 |
| km1, Bochinger Horizont                   |                                          |                                  |                              |                                                                                 |
| km1, Dunkelrote Mergel                    |                                          | B                                | Cd (Z 0), Ni (Z 0), Cr (Z 0) |                                                                                 |
| km1, Mittlerer Gipshorizont               | Ca, SO <sub>4</sub> , LF                 |                                  |                              | SO <sub>4</sub> (Z 2), Cr (Z 0), LF (Z 2)                                       |
| km1, Estherienschichten                   |                                          | B                                |                              |                                                                                 |
| km2, dunkle Tonsteine im Schilfsandstein  | Al                                       |                                  | Cd (Z 0)                     |                                                                                 |
| km2, Schilfsandstein                      |                                          |                                  |                              |                                                                                 |
| km2, Dunkle Mergel des oberen km2         |                                          | B                                | Cd (Z 0)                     | Pb (Z 0)                                                                        |
| km3u, Rote Wand                           |                                          | B                                | Cd (Z 0), Cr (Z 0)           |                                                                                 |
| km3u, Untere Bunte Mergel                 | Pb                                       |                                  | Cd (Z 0)                     | Pb (Z 1.1)                                                                      |
| km3l, Lehrbergschichten                   |                                          | Se                               | Cd (Z 1.1), Ni (Z 0)         |                                                                                 |
| km3o, Obere Bunte Mergel                  |                                          | B                                |                              |                                                                                 |
| km4, Stubensandstein                      |                                          |                                  |                              |                                                                                 |
| km5, Knollenmergel                        |                                          | B                                | Cd (Z 0)                     |                                                                                 |
| ko, Rhät-Tonstein                         | Mn, SO <sub>4</sub>                      | As                               | As (Z 0)                     | SO <sub>4</sub> (Z 2), LF (Z 1.1)                                               |
| sj alpha1, Pylonotenschichten, Kalkstein  | Mn, SO <sub>4</sub>                      | Pb                               | Pb (Z 1.2), Cd (Z 0)         | SO <sub>4</sub> (Z 2), LF (Z 1.1)                                               |
| sj alpha1, Pylonotentone                  | Pb                                       |                                  |                              | Pb (Z 1.1)                                                                      |
| sj alpha2, Angulatensandstein             | Mn, SO <sub>4</sub>                      | Cd                               | Cd (Z 1.1)                   | SO <sub>4</sub> (Z 2)                                                           |
| sj alpha2, Angulatenschichten, Tonstein   |                                          |                                  | Cd (Z 0)                     | SO <sub>4</sub> (Z 2)                                                           |
| sj beta, Untere Schwarzjuratone           | Fe                                       |                                  | Cd (Z 1.1), Ni (Z 0)         |                                                                                 |
| sj gamma, Untere Schwarzjuramergel        | SO <sub>4</sub>                          | Ni                               | Zn (Z 0), Ni (Z 0)           | SO <sub>4</sub> (Z 2), LF (Z 1.1)                                               |
| sj delta, Obere Schwarzjuratone           |                                          | Ni                               | Cd (Z 1.1), Ni (Z 1.1)       |                                                                                 |

| Geologische Formation             | Trinkwasser-<br>verordnung       | Grenzwerte Boden<br>(KLOKE etc.) | Z-Werte Boden (LAGA)                                      | Z-Werte Eluat (LAGA)                                                                 |
|-----------------------------------|----------------------------------|----------------------------------|-----------------------------------------------------------|--------------------------------------------------------------------------------------|
| sj epsilon1, Seegrasschiefer      | Mn, SO <sub>4</sub> , Cd, Ni, Cr | Cd, Ni, V, Se                    | Zn (Z 0), Cd (Z 1.1), Ni (Z 0),<br>Cu (Z 0)               | SO <sub>4</sub> (Z 2), Cd (Z 1.2), Ni (Z 1.1),<br>Cr (Z 1.1), Cu (Z 1.1), LF (Z 1.1) |
| sj epsilon2, Tonmergel            | Mn, SO <sub>4</sub>              | Cd, Ni, V, Se                    | Cd (Z 1.1), Ni (Z 0), Cu (Z 0)                            | SO <sub>4</sub> (Z 2), Cd (Z 1.1), LF (Z 1.1)                                        |
| sj epsilon2, Stinkkalke           | SO <sub>4</sub>                  |                                  | Cd (Z 1.1)                                                | SO <sub>4</sub> (Z 2), LF (Z 1.1)                                                    |
| sj epsilon3, Wilde Schiefer       | Mn, SO <sub>4</sub> , Cd, Ni     | Cd, Ni, V, Se                    | Zn (Z 0), Cd (Z 1.2), Ni (Z 0),<br>Cu (Z 0)               | SO <sub>4</sub> (Z 2), Cd (Z 1.2), Ni (Z 1.1),<br>Cr (Z 1.1), LF (Z 1.1)             |
| sj zeta, Obere Schwarzjura-mergel | SO <sub>4</sub> , Zn             | Cd, Ni, V, Hg, Se                | Zn (Z 0), Cd (Z 1.2), Ni (Z 1.1),<br>Cu (Z 0), Hg (Z 1.1) | SO <sub>4</sub> (Z 2), LF (Z 1.1)                                                    |
| bj alpha, Opalinuston             |                                  | B, V                             | Cd (Z 1.1)                                                | SO <sub>4</sub> (Z 2), LF (Z 1.1)                                                    |
| bj beta; Zopfplatten              |                                  |                                  |                                                           | SO <sub>4</sub> (Z 1.2)                                                              |
| bj beta; Tolutariazone            |                                  | As                               | As (Z 0)                                                  | SO <sub>4</sub> (Z 1.1)                                                              |
| bj beta; unt. Donzdorfer Sandst.  | pH z.T < 6                       | Ni, As                           | As (Z 0)                                                  | SO <sub>4</sub> (Z 2), pH (Z 1.2)                                                    |
| bj beta; Personatensandstein      | Mn, SO <sub>4</sub>              | As                               | As (Z 0)                                                  | SO <sub>4</sub> (Z 2), LF (Z 1.1)                                                    |
| bj beta; ob. Donzdorfer Sandst.   | Mn                               | As                               | Ni (Z 0), As (Z 1.1)                                      | SO <sub>4</sub> (Z 2), LF (Z 1.1)                                                    |
| bj gamma; Wedelsandstein          |                                  |                                  |                                                           | SO <sub>4</sub> (Z 1.2)                                                              |
| bj delta; Dorsetensienbank        |                                  |                                  |                                                           | SO <sub>4</sub> (Z 2), LF (Z 1.1)                                                    |
| bj delta; Humphriesi-Oolith       |                                  | As                               | Ni (Z 0), As (Z 1.1)                                      | SO <sub>4</sub> (Z 2)                                                                |
| bj delta; Coronatenschichten      | SO <sub>4</sub>                  | As                               | As (Z 1.1)                                                | SO <sub>4</sub> (Z 2), LF (Z 1.1)                                                    |
| bj delta; Blagdeni-Schichten      | SO <sub>4</sub>                  | As                               | As (Z 0)                                                  | SO <sub>4</sub> (Z 2)                                                                |
| bj delta; Subfurcatus-Oolith      | SO <sub>4</sub>                  | Ni, Cr, V, As                    | Ni (Z 0), Cr (Z 1.1), As (Z 1.2)                          | SO <sub>4</sub> (Z 2), LF (Z 1.1)                                                    |
| bj delta; Hamitenton              |                                  | As                               | As (Z 0)                                                  | SO <sub>4</sub> (Z 2)                                                                |
| bj delta; Parkinsoni-Oolith       |                                  | Co, Ni, Cr, V, As                | Ni (Z 1.1), Cr (Z 1.2), As (Z 2), Hg<br>(Z 0)             | SO <sub>4</sub> (Z 2)                                                                |
| bj epsilon; Obere Braunjuratone   | SO <sub>4</sub>                  | Ni, As                           | Ni (Z 0), As (Z 1.1)                                      | SO <sub>4</sub> (Z 2), LF (Z 1.1)                                                    |
| bj zeta; Macrocephalus-Oolith     |                                  | Co, Ni, Cr, V, As                | Ni (Z 0), Cr (Z 1.2), As (Z 1.1)                          | SO <sub>4</sub> (Z 2)                                                                |
| bj zeta; Ornatenton               |                                  | Ni, As                           | Ni (Z 0), As (Z 1.1)                                      | SO <sub>4</sub> (Z 2)                                                                |
| wj alpha; Grenzglaukonit          |                                  | B, Ni                            | Ni (Z 0)                                                  | SO <sub>4</sub> (Z 1.2)                                                              |
| wj alpha, Untere Weißjura-mergel  |                                  |                                  | Cd (Z 0)                                                  | SO <sub>4</sub> (Z 2)                                                                |
| ob. wj gamma, Mergel              |                                  |                                  |                                                           |                                                                                      |

### **11.1. Schichteneinteilung nach Belastungsstärke auf der Basis von Gesamtgehalten im Gestein**

Als die zunächst am einfachsten erscheinende Möglichkeit werden nachfolgend die geologischen Formationen nach der Anzahl der Parameter eingeteilt, welche Überschreitungen der in der vorhergehenden Tabelle aufgelisteten Grenz- bzw. Richtwerte für Gesamtgehalte aufweisen (Kloke-Liste und Z-Werte Boden nach LAGA). Schichten ohne derartige Überschreitungen werden als unbelastet, solche mit einer Vielzahl an Überschreitungen als stark belastet angesprochen.

Der Auflistung von Richt- und Grenzwerten entsprechend sind unter Parametern je nach Regelwerk zu verstehen:

- die Stoffgehalte im Ausgangsgestein (Gesamtgehalte)
- die Stoffgehalte im Eluat sowie als Summenparameter die Leitfähigkeit (an dieser Stelle nicht relevant; siehe dazu 11.2.)

Die einfache Bewertung der Schichten auf der Grundlage der Gesamtgehalte ist als vorläufig anzusehen und wird in den späteren Abschnitten relativiert. Sie orientiert sich jedoch an den Vorschriften der Klärschlammverordnung bzw. den Vorschlägen der LAGA zur Beurteilung von Böden.

#### **a) Unbelastete Schichten**

Folgende Schichten weisen keinerlei Grenz- und Richtwertüberschreitungen bei den Gesamtgehalten auf:

- mo2: Mergel / Tone an der Basis
- mo2: Mergel / Tone im oberen Abschnitt
- km1: Bochinger Horizont
- km1: Mittlerer Gipschizont
- km2: Schilfsandstein
- km4: Stubensandstein
- sj α 1: Psilonotentone

- bj β: Zopfplatten
- bj γ: Wedelsandstein
- bj δ: Dorsetensienbank
- wj γ: Obere Weißjuramergel

#### **b) Schwach belastete Schichten**

Nachfolgend angegebene geologische Formationen enthalten maximal 2 Parameter, die zu einer Grenz- oder Richtwertüberschreitung bei den Gesamtgehalten führen. Ein Parameter wird dabei einfach gewertet, auch wenn dieser in mehreren Grenz- oder Richtwertklassen auftritt. So überschreiten z.B. die Hg-Gesamtgehalte in den Röttonen sowohl die Grenzwerte Boden nach KLOKE als auch die Z1.1-Werte Boden nach der LAGA. Die Wertung für Hg erfolgt jedoch nur einfach (1 Überschreitungsparameter).

- so: Röttonen
- ku Basis: Vitriolschiefer
- km1: Grundgipsschichten, nicht ausgelaugt
- km1: Grundgipsschichten, ausgelaugt
- km1: Estheriensschichten
- km2: Dunkle Tonsteine im Schilfsandstein
- km2: Dunkle Mergel des oberen km2
- km3u: Untere Bunte Mergel
- km3o: Obere Bunte Mergel
- km5: Knollenmergel
- ko: Rhät-Tonstein
- sj α 1: Psilonotenkalke
- sj α 2: Angulatensandstein
- sj α 2: Angulatentone
- sj β: Untere Schwarzjuratone
- sj γ: Untere Schwarzjuramergel
- sj δ: Obere Schwarzjuratone
- sj ε 2: Stinkkalke
- bj β: Tolutariazone
- bj β: Unterer Donzdorfer Sandstein
- bj β: Personatensandstein
- bj β: Oberer Donzdorfer Sandstein
- bj δ: Humphriesi-Oolith
- bj δ: Coronatenschichten
- bj δ: Blagdeni-Schichten
- bj δ: Hamitenton
- bj ε: Obere Braunjuratone
- bj ζ: Ornatenton
- wj α: Grenzglaukonit
- wj α: Untere Weißjuramergel

c) Schichten mit mittelstarker Belastung

Die in dieser Rubrik aufgeführten Schichten enthalten 3 – 4 grenz- bzw. richtwertüberschreitende Parameter für Gesamtgehalte, wobei auch hier gleichzeitig in mehreren Zuordnungsgrundlagen auftretende Parameter nur einfach gewertet wurden.

- mo2: Tonhorizonte
- ku: Estherienschichten
- km1: Dunkelrote Mergel
- km3u: Rote Wand
- km3l: Lehrbergschichten
- bj α: Opalinuston
- bj δ: Subfurcatus-Oolith

d) Stark belastete Schichten

Stark belastete Schichten enthalten 5 oder mehr grenz- oder richtwertüberschreitende Parameter für Gesamtgehalte, wobei wiederum jeder Parameter nur einfach gewertet wurde.

- sj ε 1: Seegrasschiefer
- sj ε 2: Tonmergel
- sj ε 3: Wilde Schiefer
- sj ζ: Obere Schwarzjuramergel
- bj δ: Parkinsoni-Oolith
- bj ζ: Macrocephalus-Oolith

Die hier vorgesehene Klassifizierung folgt, wie oben erwähnt, zunächst derjenigen zur Beurteilung von Böden anhand von Gesamtgehalten, wie sie etwa die Klärschlammverordnung oder die LAGA vorschlägt bzw. vorschreibt und scheint eine einfache Grundlage für die Bewertung von Schichten zu bieten.

Für eine grobe Übersicht ist diese Einteilung bei Böden möglich. Ihre Entstehung ist u.a. an die Verwitterung gekoppelt. Somit sind Böden unter Atmosphärenbedingungen mit deren Umfeld equilibriert. Natürliches Gesteinsmaterial besteht ebenso wie Böden aus einer Vielzahl von chemischen Verbindungen, die im einzelnen unterschiedlich stark

löslich sind. Daraus ergeben sich für die einzelnen Elemente generell weit höhere Gesamtgehalte als lösliche Anteile. Somit kann die Beurteilung auf der Basis von Gesamtgehalten zu einer Einteilung führen, die zur realen Stoffdynamik nur wenig Bezug aufweist. In die Diskussion muß daher auch die Klassifizierung entsprechend der löslichen Anteile einbezogen werden.

**11.2. Beurteilung der Schichten unter Beschränkung auf die Eluatwerte**

Gesteine unterscheiden sich von Böden grundsätzlich dadurch, daß sie zunächst nicht mit der offenen Atmosphäre im Gleichgewicht stehen. Bei der Exposition an die Atmosphäre wird ein gewisser Anteil der Gesteinskomponenten instabil und wandelt sich in Anpassung an die neuen Bedingungen um und/oder geht in Lösung. Im Gegensatz zu Böden enthalten somit frische Gesteine einen grundsätzlich höheren Anteil löslicher Komponenten. Bei der Wiederverwertung von Gesteinsmaterial sind durch Lösung von Inhaltsstoffen Belastungsspitzen zu erwarten, die sich mehr oder weniger schnell abbauen.

Diese Gegenüberstellung von Böden und Gesteinen muß jedoch insofern relativiert werden, als Böden wiederum erhebliche Anteile an Metallen adsorptiv gebunden führen und unter diesem Aspekt ein hohes Umweltrisiko darstellen können [BRÜMMER 1983, SPOSITO 1983, TILLER et al. 1984, GERTH 1985, LOTZE 1992, KOCH & GRUPE 1993, ZACHMANN & BLOCK 1994]. Adsorptive Bindungen sind in der Regel wenig stabil und somit leicht verfügbar.

Die Gegenüberstellung belegt, daß die Gesamtgehalte kein adäquates Kriterium zur Klassifizierung

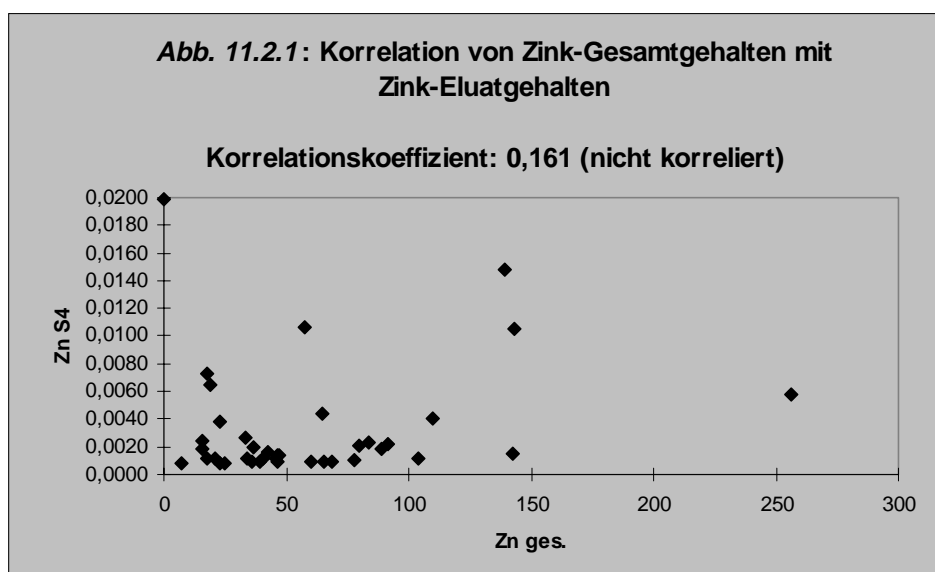
von Böden und Gesteinen darstellen. Vielmehr ist einer Einteilung als wichtigster bzw. minimaler Basisparameter der lösliche Anteil von Schadstoffen zugrunde zu legen. Auf Grund der Vielzahl möglicher Bindungsformen (Minerale) mit einer jeweils spezifischen Löslichkeit sind die einzelnen Gesteine entsprechend ihres Elutionsverhaltens zu überprüfen. Erst auf dieser Grundlage kann eine Klassifizierung aufgebaut werden.

Die Länderarbeitsgemeinschaft Abfall (LAGA) der Bundesrepublik Deutschland hat für die Verwertung von Bodenmaterial, worunter in diesem Zusammenhang auch natürliche Gesteine fallen, verschiedene Zuordnungsklassen für den Einbau (Z0-Z2) definiert. Hierbei unterscheidet die LAGA bereits zwischen Gesamtgehalten (Z-Werte Boden) und löslichen Anteilen (Z-Werte Eluat). Die von der LAGA vorgegebenen Gefährdungsklassen können somit zunächst für die Klassifizierung herangezogen werden. Im gleichen Sinne werden zur Beurteilung die Grenzwerte der TVO verwendet.

Zunächst belegen die nachfolgend dargestellten Diagramme (Abb. 11.2.1 - 11.2.3) von Korrelationen zwischen Gesamt- und Eluatgehalten für Zink,

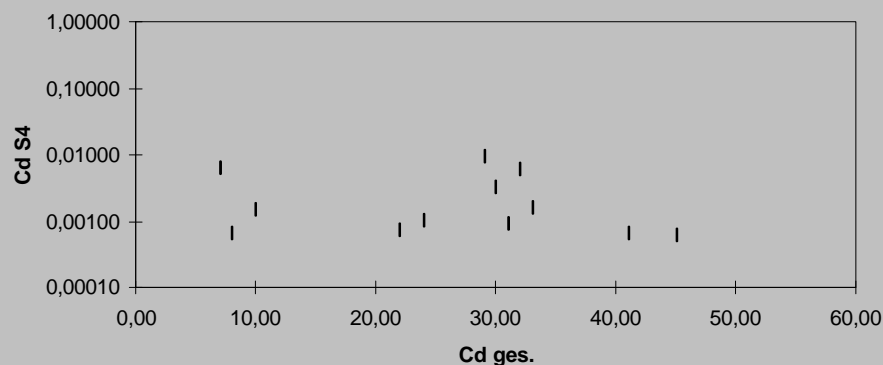
Cadmium und Kupfer, daß kein Zusammenhang zwischen der Höhe der Gesamtgehalte eines Elementes im Gestein und seiner Eluierbarkeit besteht. Grundlage für die Korrelation waren dabei die gemittelten Meßwerte der untersuchten Schichten. Dieser Befund, der auch durch die geochemischen Modellierungen untermauert wird (siehe Kapitel 10), bestätigt den oben diskutierten Ansatz, wonach für eine Klassifizierung nicht die Gesamtgehalte, sondern vielmehr die löslichen Anteile ausschlaggebend sein müssen.

Somit sind die Gesamtgehalte von Gesteinen für die vorliegende Problemstellung im Vergleich zu den eluierbaren Gehalten von nachrangiger Bedeutung. Die Bestimmung der löslichen Anteile erfolgte mit dem Verfahren der S4-Laugung. Wie die ausführliche Diskussion zum Abgleich der eluierbaren Gehalte mit den Konzentrationen natürlicher Wässer belegt (vgl. Kapitel 9), kann das Verfahren als geeignete Annäherung an die natürliche, von Gesteinen ausgehende Belastungssituation angesehen werden. Durch dieses Verfahren wird die Lösung vom Gestein selbst auf den seinem Mineralinhalt entsprechenden pH-Wert abgepuffert.



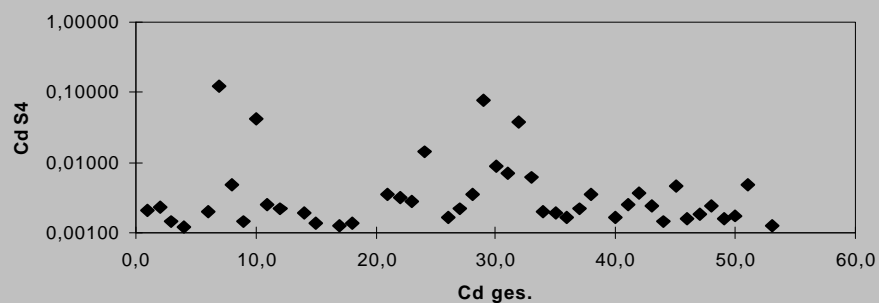
**Abb. 11.2.2: Korrelation von Cadmium-Gesamtgehalten mit Cadmium-Eluatgehalten**

Korrelationskoeffizient: 0,179 (nicht korreliert)



**Abb. 11.2.3: Korrelation von Kupfer-Gesamtgehalten mit Kupfer-Eluatgehalten**

Korrelationskoeffizient: 0,1 (nicht korreliert)



Bei den untersuchten und für Baden-Württemberg maßgebenden Gesteinen ist vor allem der ubiquitär vorhandene Kalk von kontrollierender Funktion für die Einstellung des pH der Lösungen (pH 7-8,5). Die thermodynamischen Modellierungen bestätigen den Befund, wonach die an den Equilibrierungen partizipierenden Minerale den pH der Lösungen bestimmen (vgl. Kapitel 10). Da diese Minerale in der Regel recht stabil sind, wird der eingestellte pH über eine sehr weite Gesteins-Lösungs-Relation konstant bleiben.

Auf Grund der hohen Pufferkapazität von Gesteinen wird, im Gegensatz zum S4-Verfahren, die relativ aufwendige pH-stat.-Methode den hier vorgegebenen Bedingungen nicht gerecht.

Nachfolgend wird eine Klassifizierung vorgenommen, welche nur die löslichen Anteile der toxischen Inhaltsstoffe berücksichtigt, wohingegen die Gesamtgehalte der Gesteine nicht bewertet werden. Die Basis dieser Klassifizierung bilden die Meßwerte der S4-Eluate, da diese die tatsächliche Grundwasserbeeinflussung durch die natürlichen Inhaltsstoffe von Gesteinen annähernd wiedergeben.

Grundlage für die neue Einteilung der Schichten sind die Grenzwerte der Trinkwasserverordnung (TVO) und die Z-Werte Eluat der LAGA. In den

nachfolgenden Auflistungen wird bei Überschreitungen von Grenzwerten die jeweilige Bezugsbasis angeführt (LAGA: Z0-Z2; TVO).

#### a) Unbelastete Schichten

Folgende Schichten weisen keinerlei Grenz- und Richtwertüberschreitungen in den Eluaten auf:

- ku: Estherienschiefer
- km1: Grundgipsschichten, ausgelaugt
- km1: Bochinger Horizont
- km1: Dunkelrote Mergel
- km1: Estherienschiefer
- km2: Schilfsandstein
- km3u: Rote Wand
- km3l: Lehrbergschichten
- km3o: Obere Bunte Mergel
- km4: Stubensandstein
- km5: Knollenmergel
- sj δ: Obere Schwarzjuratone
- wj γ: Obere Weißjuramergel

#### b) Schwach belastete Schichten

Die hier angegebenen geologischen Formationen enthalten maximal 2 Parameter, die zu einer Grenz- oder Richtwertüberschreitung in den Eluaten führen. Die Überschreitung ist gegeben, sobald die Konzentration im Eluat oberhalb eines der in den Bezugsbasen angegebenen Werte liegt. Somit wird ein Parameter nur einfach gewertet, auch wenn dieser in beiden Grenz-/Richtwertklassen auftritt.

- so: Rötton (Z 1.1)
- mo2: Mergel / Tone an der Basis (Z 2)
- mo2: Tonhorizonte (TVO, Z 2)
- mo2: Mergel / Tone im ob. Abschnitt (TVO, Z 2)
- ku Basis: Vitriolschiefer (Z 1.1)
- km2: Dunkle Tonsteine im Schilfsandstein (TVO)
- km2: Dunkle Mergel des oberen km2 (Z 0)
- km3u: Untere Bunte Mergel (TVO, Z 1.1)
- sj α 1: Psilonotone (TVO, Z 1.1)
- sj α 2: Angulatensandstein (TVO, Z 2)
- sj α 2: Angulatentone (Z 2)
- sj β: Untere Schwarzjuratone (TVO)

- sj γ: Untere Schwarzjuramergel (TVO, Z 2)
- sj ε 2: Stinkkalke (TVO, Z 2)
- bj α: Opalinuston (Z 2)
- bj β: Zopfplatten (Z 1.2)
- bj β: Tolutariazone (Z 1.2)
- bj β: Unterer Donzdorfer Sandstein (TVO, Z 2)
- bj γ: Wedelsandstein (Z 1.2)
- bj δ: Dorsetensienbank (Z 2)
- bj δ: Humphriesi-Oolith (Z 2)
- bj δ: Coronatenschichten (TVO, Z 2)
- bj δ: Blagdeni-Schichten (TVO, Z 2)
- bj δ: Subfurcatus-Oolith (TVO, Z 2)
- bj δ: Hamitenton (Z 2)
- bj δ: Parkinsoni-Oolith (TVO, Z 2)
- bj ε: Obere Braunjuratone (TVO, Z 2)
- bj ζ: Macrocephalus-Oolith (Z 2)
- bj ζ: Ornatenton (Z 2)
- wj α: Grenzglaukonit (Z 1.2)
- wj α: Untere Weißjuramergel (TVO, Z 2)

#### c) Schichten mit mittelstarker Belastung

Die in dieser Rubrik aufgeführten Schichten enthalten 3-5 grenz- bzw. richtwertüberschreitende Parameter, wobei auch hier identische Parameter nur einfach gewertet wurden.

- km1: Mittlerer Gipshorizont (TVO, Z 2)
- ko: Rhät-Tonstein (TVO, Z 2)
- sj α 1: Psilonotkalke (TVO, Z 2)
- sj ε 2: Tonmergel (TVO, Z 2)
- sj ζ: Obere Schwarzjuramergel (TVO, Z 2)
- bj β: Personatensandstein (TVO, Z 2)
- bj β: Oberer Donzdorfer Sandstein (TVO, Z 2)

#### d) Stark belastete Schichten

Stark belastete Schichten enthalten 6 oder mehr grenz- oder richtwertüberschreitende Parameter, wobei wiederum jeder Parameter nur einfach gewertet wurde.

- km1: Grundgipsschichten, nicht ausgelaugt (TVO, Z 2)
- sj ε 1: Seegrasschiefer (TVO, Z 2)
- sj ε 3: Wilde Schiefer (TVO, Z 2)

### 11.3. Bewertung

Wird die auf der Basis der Eluierbarkeit erfolgte neue Einteilung der Schichten mit der auf die Gesamtgehalte bezogenen Klassifizierung verglichen, so zeigen sich praktisch kaum Änderungen in der Belastungsstärke der einzelnen Kategorien:

| Klasse               | Anzahl der Schichten nach Gesamtgehalten | Anzahl der Schichten nach Elutionsgehalten |
|----------------------|------------------------------------------|--------------------------------------------|
| Unbelastet           | 11                                       | 13                                         |
| schwach belastet     | 30                                       | 31                                         |
| mittelstark belastet | 7                                        | 7                                          |
| stark belastet       | 6                                        | 3                                          |

Wie jedoch die Abbildungen 11.2.1 - 11.2.3 belegen, besteht zwischen Gesamtgehalten und eluierbaren Gehalten keine Beziehung. Somit ist die Aufteilung der Schichten auf die verschiedenen Klassen je nach Untersuchungsverfahren unterschiedlich. So werden auf der Basis der Gesamtgehalte die gipsführenden Schichten den unbelasteten bis schwach belasteten Klassen zugeordnet. Unter Berücksichtigung der Eluatgehalte sind diese Gesteine mittelstark bis stark belastet.

Das Verfahren zur Klassifizierung der Gesteine anhand der Elutionsgehalte beruht auf den Maßgaben der TVO und LAGA, wobei sich die Richtlinie auf das einfache Kriterium der Überschreitung von Richt- und Grenzwerten beschränkt, ohne daß das Ausmaß der Überschreitung oder die Art des Stoffes berücksichtigt wird. Diesen Anforderungen teilweise entsprechend lassen die Z-Werte der LAGA noch eine Klassifizierung gemäß des quantitativen Ausmaßes der Belastung zu.

Werden die auf dieser Basis erstellten Belastungseinteilungen der verschiedenen Schichtglieder mit den Meßwerttabellen der einzelnen Stoffgruppen entsprechend Kapitel 7 abgeglichen (Gesamt- und Eluatgehalte sämtlicher Parameter; siehe Anhang: Tabellen 7.1.1., 7.2.1. - 7.2.8., 7.3.1 - 7.3.11.), so wird ersichtlich, daß auch eine an den Eluaten vorgenommene Klassifizierung nach Maßgaben der LAGA und TVO den geochemisch-petrologischen Gegebenheiten und somit der vorgegebenen Problemstellung nicht entspricht.

Zunächst belegen die Meßwerttabellen, daß die meisten Überschreitungen von Grenz und Richtwerten in den Eluaten durch hohe Gehalte von Sulfat verursacht werden (*Tab. 7.2.8.*, Anhang sowie *Tab. 11.1.*), und somit eine sinnvolle Einteilung nicht allein auf der Überschreitung von Grenzwerten beruhen darf, sondern auch die Berücksichtigung von Stoffklassen voraussetzt.

Die hohen Sulfatgehalte bedingen überdies die hohen Werte der elektrischen Leitfähigkeit (vgl. Kapitel 8 sowie Kapitel 11, *Tab. 11.1.*). Die Leitfähigkeit kann daher in vielen Fällen die Klassifizierung mittels der Sulfatgehalte im Eluat ersetzen, wobei jedoch für die Wiederverwendung von Gesteinen die Sulfatanteile das vorherrschende Problem bleiben. Diese sind daher gesondert zu diskutieren, wobei der Zusammenhang der Klassifizierung mit der Problematik der Bindungsformen evident wird.

Insgesamt sind die Bindungsformen ein maßgeblicher Faktor für das aus den potentiell toxischen Elementen resultierende Belastungsrisiko bei einer Wiederverwendung (siehe auch Kapitel 8: Korrelationen). Im folgenden Kapitel soll daher eine entsprechende Einteilung zu den Verwendungsmöglichkeiten der Gesteine und geologischen Formationen entwickelt und begründet werden.



### 11.3.1 Klassifizierung nach Sulfatanteil im Eluat

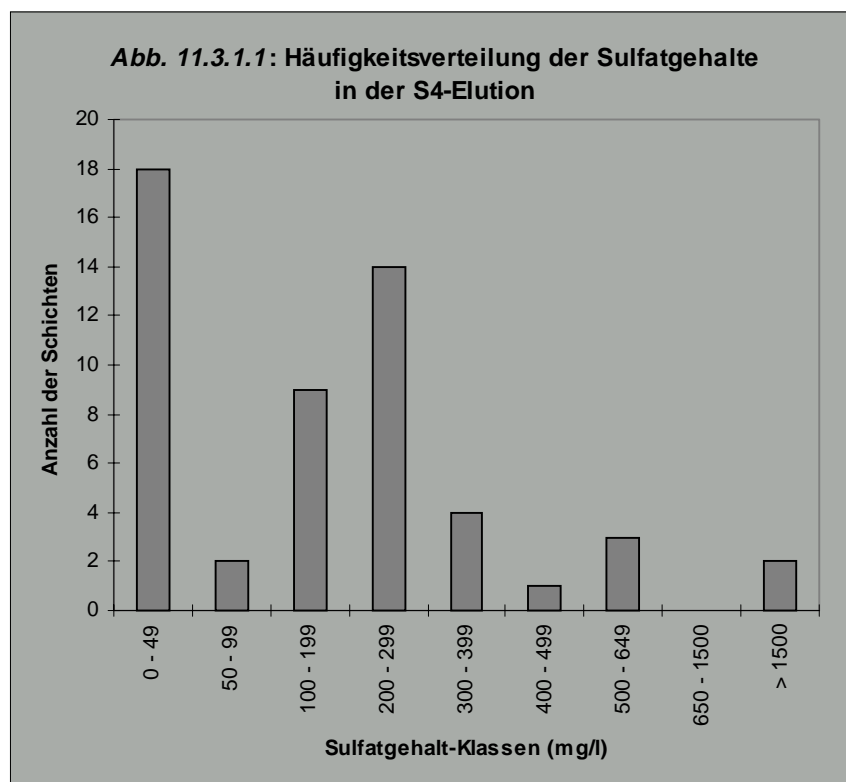
Nachfolgend aufgeführte Darstellung der Modalverteilung von Schwefelgehalten im Eluat beruht auf den in Kapitel 7, Tab. 7.2.8 (Anhang), aufgelisteten Werten und zeigt eine breite Streuung der Gehalte zwischen 10 und 600mg/l mit einer gewissen Häufung bei 250mg/l. Als weitere Gruppe mit 500-650 mg/l tritt der Lias ε in Erscheinung. Extrem hohe Gehalte mit ca. 1500mg/l weisen die Eluate der nicht ausgelaugten Gipsproben auf. Dagegen liegen die aus Proben von gelaugten Gipschichten gewonnenen Eluate unterhalb des Z0-Wertes von 50ppm. Die Häufigkeitsverteilung von Sulfatgehaltklassen im Eluat zeigt Abb. 11.3.1.1.

Die unterschiedlichen Sulfatgehalte im Eluat legen die Klassifizierung der Gesteine unter Berücksichtigung geochemischer Gesetzmäßigkeiten von Stoffgruppen nahe, wobei im Untersuchungsraum die Schwefelgehalte die ausschlaggebende Größe sind. Die Reduzierung der Zuordnungsparameter auf die maßgeblich kontrollierenden Größen ermöglicht die

Vereinfachung der Klassifizierung von Gesteinen für deren Wiederverwendung. Dieser neue Klassifizierungsansatz ist somit auf das Wesentliche eingengt und berücksichtigt die Bindungsformen der potentiell toxischen Elemente. Im folgenden soll ein definitiver Einteilungsvorschlag zu den Verwendungsmöglichkeiten der Gesteine und geologischen Schichten entwickelt und begründet werden.

#### a) Hohe Sulfatgehalte im Eluat

Die hohen Eluatgehalte liegen bei 1500mg/l  $\text{SO}_4$ . Diese Konzentration ist charakteristisch für das Aktivitätsprodukt (bzw. die Löslichkeit) von Gips und stellt den Sättigungswert für Sulfat in reinem Wasser dar (vgl. Kapitel 10). Sulfatgehalte dieser Größenordnung verweisen also auf Gips- bzw. Anhydritanteile im Sediment. Der Sättigungswert für Sulfat kann sich bei Erhöhung der Fremdsalzlast (z.B. NaCl) nach oben verschieben. Eine weitere Variation ist mit



Änderung der Temperatur gegeben, wobei die Sulfatkonzentrationen grundsätzlich im Bereich von 1500-1600mg/l bleiben.

Da die Ablagerung von gipsführenden Gesteinen in jedem Fall problematisch hinsichtlich der Sulfatbelastung des Grundwassers zu klassifizieren ist und das Ausmaß der Grundwasserbelastung leicht im Voraus berechnet werden kann, wurde die Beprobung solcher Gesteinsschichten nicht intensiviert. Darüber hinaus wurde bis auf extrem wenige Ausnahmen sowohl im Anstehenden als auch aus Bohrproben primär sulfatführender Gesteinsschichten Gips nicht angetroffen. Wie die Analysen der Gesamt- und Eluatgehalte belegen, wurde das Sulfat durch Verwitterungsvorgänge quantitativ gelaugt (Residualschichten, z.B. ausgelaugter Gipskeuper, vgl. Abschnitt 7.7.).

Selbstverständlich werden auch nur teilgelaugte Horizonte mit Restbeständen an Gips die gleichen hohen Sulfatgehalte im Eluat ergeben wie frische, ungelaugte Gipschichten. Vor der Weiterverwendung müssen also solche Gesteine auf Restbestände an Gips geprüft werden.

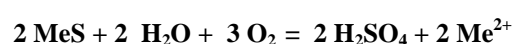
Gipse führen als reine mineralogische Phase in der Regel sehr geringe Gehalte an Schwermetallen. Im frischen, unverwitterten Gesteinsverband treten jedoch neben Gips auch tonige Sedimente auf, die recht hohe Gehalte an Schwermetallen im Eluat führen können (vgl. km1 – nicht ausgelaugte Grundgipschichten: Cd, Ni, Cr, Cu). Hinsichtlich der Gesamtgehalte an Schwermetallen ist der nicht gelaugte Grundgips allerdings unauffällig. Dagegen ist festzustellen, daß in den Eluaten der untersuchten Residualschichten keine erhöhten Schwermetallgehalte nachzuweisen sind (siehe Abschnitt 7.7.). Dies ist um so auffälliger, als in den Residualschichten z.T. höhere Gesamtgehalte als z.B. in den Grundgipschichten vorhanden sind. Offensichtlich sind aus den Residualgesteinen bereits die auslaugbaren Schwer-

metalle durch die Verwitterung ausgewaschen und nurmehr die stabil mineralisierten Anteile übrig. In den nicht gelaugten Gesteinsschichten sind dagegen auch die leicht löslichen Schwermetallanteile noch vorhanden. Diese werden dann unter dem Einfluß der hohen Aktivität der im S4-Versuch entstandenen sulfatreichen Lösung in größeren Anteilen freigesetzt. Unter dem Aspekt der Schwermetallgehalte sind somit die Residualschichten unbedenklich. Dagegen können aus frischem Material erhöhte Anteile an Schwermetallen eluiert werden, auch wenn deren Gesamtgehalte niedriger liegen als in den Residualsedimenten.

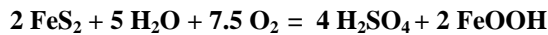
#### b) Mittlere Sulfatgehalte im Eluat

Die mittleren Gehalte der Eluate liegen bei 200-300mg/l Sulfat. Dieser recht häufige Eluatwert findet sich sowohl bei Tonsteinen als auch bei Mergeln, Sandsteinen und Oolithen, die allerdings in jedem Falle gipsfrei sind. Naheliegender ist die Herleitung des gelösten Sulfats aus oxidiertem Sulfidschwefel. Bei den Gesamtgehalten können diese Gesteine häufig hohe Anteile an Schwermetallen und bis zu 1 (Gew.-%) % Schwefel aufweisen. Die sulfidischen Mineralisationen von Schwermetallen gehören unter reduzierenden Bedingungen zu den stabilsten Bindungsformen der Natur. Sie sind daher auch bei hohen Gesamtgehalten unter den Bedingungen des Sedimentations- und Diageneseraumes der Gesteine nur äußerst gering löslich. Diese Annahme wird durch den Befund gestützt, wonach in den Eluaten dieser Gesteinsschichten keine erhöhten Schwermetallgehalte nachzuweisen sind.

Der gewisse Sulfidanteil macht die Gesteine dieser Gruppe jedoch anfällig für oxidative Verwitterung, etwa nach dem Schema (Me = Schwermetall):



**bzw. für Pyrit:**



Die Oxidation verläuft exotherm. Somit wird bei der Exposition gegen Sauerstoff nicht nur Sulfat freigesetzt, vielmehr gehen auch Schwermetalle in Lösung. Im Gegensatz zu den meisten übrigen Schwermetallen gilt für Eisen der Sonderfall, daß die Stabilität von oxidierten Fe-Verbindungen so hoch ist, daß Fe praktisch nicht transportiert wird. Dagegen wird auch bei der Oxidation von z.B. Pyrit, ebenso wie bei den anderen Metallsulfiden, Schwefelsäure freigesetzt.

Ein Schema zur Zersetzung von Fe-, Pb- und Zn-Sulfid (Pyrit, Galenit, Sphalerit) in Abhängigkeit vom Eh wurde in Kapitel 10 dargestellt (siehe *Abb. 10.2.14 - 10.2.16*, Anhang). Unter reduzierenden Bedingungen, wie sie im Bereich stagnierender Grundwasser vorherrschen, findet praktisch keine Zersetzung der Sulfide statt. Eine merkliche Freisetzung von Eisen und Zink ist in „normalen“ Grundwässern ab einem Eh von -50mV (pH 7) festzustellen. Gleichzeitig wird  $\text{H}_2\text{SO}_4$  frei, mit zunehmender Verschiebung zu einem sauren pH in den Wässern.

Besonders hervorzuheben ist hier die sehr geringe Mobilität von  $\text{Pb}^{2+}$ . So überschreiten erst im oxidierenden Grundwasserbereich mit Eh >50mV bei einem pH von ca. < 4 Bleikonzentrationen die TVO-Werte (40µg/l). Unter den angegebenen Bedingungen der oxidierenden Zersetzung wird Sulfat in relativ hohem Ausmaß freigesetzt. Mit diesem Anion bildet Blei als eines der wenigen Elemente wiederum eine stabile Mineralisation ( $\text{PbSO}_4$  – Anglesit; vgl. Abschnitt 10.1.5.).

Unter oxidierenden Bedingungen werden sulfidhaltige Sedimente unter bevorzugter Freisetzung von Zn bei gleichzeitiger Absenkung des pH zersetzt. Die Mobilität von Fe wird durch die sehr hohe Stabilität

der Fe-Oxide Goethit (vgl. Abschnitte 10.1.3. und 10.1.4.) und Hämatit limitiert.

Als Hauptproblem bei der Wiederverwendung sulfidhaltiger Gesteine ist der pH-Wert anzusehen, der allerdings auch von den Eh-Bedingungen gesteuert wird. Die hier bislang geführte Diskussion gilt jedoch für kalkfreie Sedimente, wie sie im Untersuchungsgebiet praktisch nicht vorkommen. Wie die in Kapitel 10 vorgenommenen thermodynamischen Berechnungen sowie am Labor durchgeführte Gleichgewichtsversuche belegen, wird der pH einer Lösung in Gegenwart von Kalk in den neutralen Bereich (>6) abgepuffert. Unter diesen Standardbedingungen erreichen die Schwermetallkonzentrationen zumeist Löslichkeiten, die sich im Ultraspurenbereich bewegen (<1µg/l), wobei Pb aus Anglesit und Cerussit sowie Zn aus Smithsonit Ausnahmen bilden (Anglesit + Calcit: >70mg/l Pb, Cerussit + Calcit: >0,1mg/l Pb, Smithsonit + Calcit: >1mg/l Zn; alle Werte abhängig von Eh- und Ausgangs-pH-Werten, vgl. Abschnitte 10.1.5. und 10.1.6.). Diesen Befunden entsprechend finden sich in den Eluaten der sulfidführenden Sedimente kaum erhöhte Schwermetallgehalte. Ausnahme bilden hier die Schichten des Lias ε, die noch gesondert zu diskutieren bleiben.

Die Sulfatgehalte der Eluate des Lias ε liegen im Bereich von 600mg/l. Sie stellen somit eine eigenständige Gruppe dar. Es handelt sich hierbei um generell hoch mit Schwermetallen belastete Schwarzschiefer und bituminöse Mergel. Die Anzahl der die Grenz- und Richtwerte für Böden überschreitenden Elemente ist in diesen Sedimenten besonders hoch. Neben sehr hohen Schwefelgesamtgehalten (bis nahe 4%) zeichnen sich die Schichten außerdem durch Anteile an organischem Kohlenstoff (C-org.) von bis zu 10% aus. Die Schwermetallgehalte sind in diesen Gesteinsschichten somit nicht nur sulfidisch, sondern auch an C-org. gebunden (siehe auch Korrelationen: Abschnitt 8.1.3.). Da C-org. die Schwermetalle durch

Adsorption bindet, liegt hier neben der stabilen sulfidischen eine leicht eluierbare adsorptive Bindungsform vor.

Unter oxidativen Bedingungen wird neben Sulfid auch C-org. oxidiert und somit die ohnehin schwache adsorptive Bindung aufgelöst. Der gleichzeitig entstehende saure pH sorgt für die effiziente Freisetzung der Schwermetalle (Ausnahme Pb; vgl. ZACHMANN & BLOCK 1994).

Entsprechend dem hohen Anteil an adsorptiven Bindungen weisen unter allen untersuchten Sedimenten die Eluate dieser Gesteinsschichten die größte Anzahl an Schwermetallen auf, welche die Grenz- und Richtwerte überschreiten. Somit ist in die Klassifizierung der Gesteine neben den Gehalten an Schwermetallen sowie Sulfid- und Sulfatschwefel auch der Anteil an C-org. einzubeziehen. Daher sind die Sedimente mit hohen Anteilen an Sulfid und C-org. sowie Schwermetallen bei einer Wiederverwendung als besonders umweltgefährdend zu klassifizieren.

Die eine Gefährdung indizierende Stoffkombination von hohen Gehalten an Sulfid, C-org. und Schwermetallen zeigt sich deutlich bei den Schichten des Lias ε. Der zum Hangende folgende, stofflich dem Lias ε sehr ähnliche Lias ζ weist jedoch bei gleichbleibendem C-org.-Anteil deutlich geringere Gesamtschwefelgehalte auf (ca. 1%). Dies hat letztlich eine geringere Eluierbarkeit von Schwermetallen zur Folge, so daß dieses Sediment als weniger gefährdend zu klassifizieren ist. Somit belegt das Beispiel des Lias ζ, daß nur die vollständige Kombination der gefährdungsindizierenden Parameter den Ausschlag für die Wiederverwendungsmöglichkeiten gibt.

### c) Niedrige Sulfatgehalte im Eluat

In dieser Gruppe finden sich Eluatwerte mit

<50mg/l SO<sub>4</sub>. Die Schichten sind grundsätzlich gipsfrei, gehören jedoch allen Gesteinstypen an. Auch die gelaugten Gips-schichten sind dieser Gruppe zuzuordnen.

Die Schichten zeichnen sich in der Regel durch geringe Gesamtgehalte an Schwefel und Schwermetallen im Gestein aus. Als Ausnahme ist Cd anzuführen, dessen Gesteinsgesamtgehalte häufig den Z0-Wert der LAGA überschreiten. In diesem Zusammenhang ist darauf zu verweisen, daß die LAGA-Werte sehr niedrig angesetzt sind (0,6mg/l). Eine Überschreitung der in der Kloke-Liste angegebenen Werte für Schwermetalle ist nur für ganz wenige Ausnahmen zu beobachten, die daher nicht zu Verallgemeinerungen herangezogen werden können.

Entsprechend der geringen Gesamtkonzentrationen weisen auch die Eluate keine nennenswerten Schwermetallanteile auf. Ausnahme bildet das Pb, dessen Eluatgehalte in drei Schichten die Grenz- bzw. Richtwerte von Eluaten überschreitet.

Die Kloke-Liste weist Grenzwerte für Gesteinsgesamtgehalte an Bor und Selen aus, die auch von den Konzentrationen in den gering belasteten Sedimenten überschritten werden. Erhöhte Anteile an Bor sind schon mehrfach in den Mergeln und Tonsteinen des Keuper nachgewiesen worden. Die Selenproblematik gründet sich auf die sowohl essentielle als auch toxische Wirkung auf den Menschen, wobei die Grenzziehung noch weitestgehend umstritten ist [EINBRODT & MICHELS 1984, FERGUSON 1990, SCHEFFER & SCHACHTSCHABEL 1992]. Für Baden-Württemberg ist im allgemeinen eher eine Unterversorgung der Böden mit Selen festzustellen.

Die hier als unbedenklich definierten Schichten können lokal Anreicherungen von überwiegend sulfidisch gebundenen Schwermetallen enthalten. So sind Gebiete mit vererztem Muschelkalk und Buntsandstein bekannt (z.B. östl. Schwarzwald: Cu, As,

Pb, Zn [LfU Baden-Württ. 1993] ). Die ebenfalls für den Muschelkalk, aber auch den Gipskeuper (km1) ausgewiesene Bleiglanzbank ist so selten anzutreffen und dann wiederum spärlich ausgebildet, daß sie als geologische Raritäten nicht in diese generelle Betrachtung einbezogen werden sollen. In gleicher Weise sind die äußerst selten lokal in Sandsteinen (z.B. Stubensandstein) ausgebildeten sulfidischen Mineralisationen anzusehen. Diese Sedimente sind natürlich von der Wiederverwendung auszuschließen.

### 11.3.2. Einteilung von Gefährdungsklassen

Die Diskussion belegt, daß für die Einteilung in Gefährdungsklassen die eluierbaren Schadstoffe der Gesteine sowie der Anteil an C-org. maßgebend sind. Als Hauptgröße der eluierbaren Anteile ist das Sulfat zu nennen, das u.a. auch auf die oxidierten Sulfidanteile eines Gesteins hinweist. Für die Bewertung und Einteilung der Gesteine ist somit die Bestimmung folgender Parameter hinreichend und notwendig:

- a) **Sulfatgehalt im Eluat**
- b) **Gesamtgehalt an organischem Kohlenstoff**
- c) **toxische Elemente im Eluat (nach LAGA bzw. TVO)**

Folgendes Klassifizierungssystem wurde für die Gesteins- bzw. Schichtbewertung (Tab. 11.3.2.1.) verwendet:

#### a) Sulfat:

Die Einteilung wird in 5 Belastungsgruppen vorgenommen:

| Konzentrationsbereich (mg/l) | Bewertung (Punkte) |
|------------------------------|--------------------|
| 0 - 50                       | 1                  |
| 50 - 250                     | 2                  |
| 250 - 500                    | 3                  |
| 500 - 750                    | 4                  |
| > 750                        | 5                  |

Die Einteilung richtet sich einerseits nach den natürlichen Befunden (vgl. Abschnitt 11.3.1. und Abb. 11.3.1.1), andererseits nach der TVO, die einen Grenzwert von 240mg Sulfat/l bei anthropogener Belastung vorsieht. Neben diesem Grenzwert läßt die TVO bei geogen bedingter Überschreitung einen Grenzwert von 500mg/l zu. Des weiteren soll auch der LAGA-Richtwert Z0 bzw. Z1.1 berücksichtigt werden (50mg SO<sub>4</sub>/l). Die Zuordnung der Belastungspunkte soll den Vorgaben der TVO und LAGA entsprechen.

#### b) C-org.

Gesamtgehalte an organischem Kohlenstoff >5% werden mit 1 Bewertungspunkt berücksichtigt.

#### c) toxische Elemente:

Um auch der Höhe der Schadstoffbelastung im Eluat Rechnung zu tragen, wurden nicht nur die Grenzwerte der TVO, sondern auch die Z0-Werte der LAGA zur Klassifizierung herangezogen. Überschreitet die Schadstoffkonzentration den Z0-Wert der LAGA, so erhält die entsprechende Gesteins-schicht 1 Bewertungspunkt. Bei Überschreitung der TVO-Grenzwerte werden 2 Punkte in die Wertung einbezogen. Ein Element, das sowohl die LAGA- als auch die TVO-Werte überschreitet wird lediglich mit 2 Punkten bewertet.

Aus dem oben angegebenen Bewertungssystem ergibt sich Tab. 11.3.2.1., die Schichtbewertungstabelle nach Punkten.

Tab. 11.3.2.1.: Schichtbewertungstabelle nach Punkten

| Geologische Formation                     | Sulfat-<br>belastung<br>im Eluat | C-org.-<br>Gehalt | tox. Elemen-<br>te über TVO<br>Grenzwert | tox. Elemen-<br>te über<br>LAGA Z-0-<br>Wert (Eluat) | Gesamt-<br>punkt-<br>zahl |
|-------------------------------------------|----------------------------------|-------------------|------------------------------------------|------------------------------------------------------|---------------------------|
| so, Röttone                               | 1                                |                   |                                          | 1                                                    | 2                         |
| mo2, Mergel/Tone an d. Basis              | 2                                |                   |                                          |                                                      | 2                         |
| mo2, Tonhorizonte                         | 2                                |                   |                                          |                                                      | 2                         |
| mo2, Mergel/Tone im ob. Abschnitt         | 2                                |                   |                                          |                                                      | 2                         |
| ku Basis, Vitriolschiefer                 | 2                                |                   |                                          | 1                                                    | 3                         |
| ku, Estherienschichten                    | 1                                |                   |                                          |                                                      | 1                         |
| km1, Grundgipsschichten, nicht ausgelaugt | 4                                |                   | 12                                       | 1                                                    | 17                        |
| km1, Grundgipsschichten, ausgelaugt       | 1                                |                   |                                          |                                                      | 1                         |
| km1, Bochinger Horizont                   | 1                                |                   |                                          |                                                      | 1                         |
| km1, Dunkelrote Mergel                    | 1                                |                   |                                          |                                                      | 1                         |
| km1, Mittlerer Gipshorizont               | 4                                |                   | 4                                        | 1                                                    | 9                         |
| km1, Estherienschichten                   | 1                                |                   |                                          |                                                      | 1                         |
| km2, dunkle Tonsteine im Schilfsandstein  | 1                                |                   | 2                                        |                                                      | 3                         |
| km2, Schilfsandstein                      | 1                                |                   |                                          |                                                      | 1                         |
| km2, Dunkle Mergel des oberen km2         | 1                                |                   |                                          | 1                                                    | 2                         |
| km3u, Rote Wand                           | 1                                |                   |                                          |                                                      | 1                         |
| km3u, Untere Bunte Mergel                 | 1                                |                   | 2                                        |                                                      | 3                         |
| km3l, Lehrbergschichten                   | 1                                |                   |                                          |                                                      | 1                         |
| km3o, Obere Bunte Mergel                  | 1                                |                   |                                          |                                                      | 1                         |
| km4, Stubensandstein                      | 1                                |                   |                                          |                                                      | 1                         |
| km5, Knollenmergel                        | 1                                |                   |                                          |                                                      | 1                         |
| ko, Rhät-Tonstein                         | 2                                |                   | 2                                        |                                                      | 4                         |
| sj alpha1, Pylonotenschichten, Kalkstein  | 2                                |                   | 2                                        |                                                      | 4                         |
| sj alpha1, Pylonotentone                  | 1                                |                   | 2                                        |                                                      | 3                         |
| sj alpha2, Angulatensandstein             | 2                                |                   | 2                                        |                                                      | 4                         |
| sj alpha2, Angulatenschichten, Tonstein   | 2                                |                   |                                          |                                                      | 2                         |
| sj beta, Untere Schwarzjuratone           | 1                                |                   | 2                                        |                                                      | 3                         |
| sj gamma, Untere Schwarzjuramergel        | 2                                |                   |                                          |                                                      | 2                         |
| sj delta, Obere Schwarzjuratone           | 1                                |                   |                                          |                                                      | 1                         |
| sj epsilon1, Seegrasschiefer              | 3                                | 1                 | 8                                        | 1                                                    | 13                        |
| sj epsilon2, Tonmergel                    | 3                                | 1                 | 2                                        | 1                                                    | 7                         |
| sj epsilon2, Stinkkalke                   | 3                                |                   |                                          |                                                      | 3                         |
| sj epsilon3, Wilde Schiefer               | 3                                | 1                 | 6                                        | 1                                                    | 11                        |
| sj zeta, Obere Schwarzjuramergel          | 2                                | 1                 | 2                                        |                                                      | 5                         |
| bj alpha, Opalinuston                     | 2                                |                   |                                          |                                                      | 2                         |
| bj beta; Zopfplatten                      | 2                                |                   |                                          |                                                      | 2                         |
| bj beta; Tolutariazone                    | 2                                |                   |                                          |                                                      | 2                         |
| bj beta; unt. Donzdorfer Sandst.          | 2                                |                   |                                          |                                                      | 2                         |
| bj beta; Personatensandstein              | 2                                |                   | 2                                        |                                                      | 4                         |
| bj beta; ob. Donzdorfer Sandst.           | 2                                |                   | 2                                        |                                                      | 4                         |
| bj gamma; Wedelsandstein                  | 2                                |                   |                                          |                                                      | 2                         |
| bj delta; Dorsetensienbank                | 2                                |                   |                                          |                                                      | 2                         |
| bj delta; Humphriesi-Oolith               | 2                                |                   |                                          |                                                      | 2                         |
| bj delta; Coronatenschichten              | 2                                |                   |                                          |                                                      | 2                         |
| bj delta; Blagdeni-Schichten              | 2                                |                   |                                          |                                                      | 2                         |
| bj delta; Subfurcatus-Oolith              | 2                                |                   |                                          |                                                      | 2                         |
| bj delta; Hamitenton                      | 2                                |                   |                                          |                                                      | 2                         |
| bj delta; Parkinsoni-Oolith               | 2                                |                   |                                          |                                                      | 2                         |
| bj epsilon; Obere Braunjuratone           | 2                                |                   |                                          |                                                      | 2                         |
| bj zeta; Macrocephalus-Oolith             | 2                                |                   |                                          |                                                      | 2                         |
| bj zeta; Ornatenton                       | 2                                |                   |                                          |                                                      | 2                         |
| wj alpha; Grenzglaukonit                  | 2                                |                   |                                          |                                                      | 2                         |
| wj alpha, Untere Weißjuramergel           | 2                                |                   |                                          |                                                      | 2                         |
| ob. wj gamma, Mergel                      | 1                                |                   |                                          |                                                      | 1                         |

**Tab. 11.3.2.2.: Gefährdungsgruppen**

| <b>Gefährdungsgruppen<br/>(G0 - G4):</b> | <b>Punkte</b> | <b>Anzahl der<br/>Schichten</b> | <b>Prozent-<br/>anteil aller<br/>Schichten</b> |
|------------------------------------------|---------------|---------------------------------|------------------------------------------------|
| G0: keine Gefährdung                     | 1 - 2         | 37                              | 68,5                                           |
| G1: geringe Gefährdung                   | 3             | 6                               | 11                                             |
| G2: mäßige Gefährdung                    | 4 - 6         | 6                               | 11                                             |
| G3: starke Gefährdung                    | 7 - 9         | 2                               | 4                                              |
| G4: sehr starke Gefährdung               | ≥ 10          | 3                               | 5,5                                            |

Aus der Aufsummierung der Belastungspunkte ergeben sich für die Gesteinsformationen fünf Gefährdungsgruppen (G0 bis G4, *Tab. 11.3.2.2.*).

Wie obige Tabelle belegt, weisen über 20% der Schichten eine mäßige bis sehr starke Gefährdung auf. Da geologische Schichten ein bestimmtes geographisches Verteilungsmuster aufweisen, kann die regionale Einteilung der Belastung mittels der zusammenfassenden Klassifizierung von größeren geologischen Abschnitten vorgenommen werden.

Auf die einzelnen untersuchten geologischen Serien zugeordnet sind die prozentualen Anteile der einzelnen Klassen wie in Tabelle 11.3.2.3. gezeigt (dazu in runden Klammern die Anzahl der untersuchten Schichten sowie in eckigen Klammern die jeweilige Anzahl der zugehörigen Proben).

Vom Weißen Jura (Malm) wurden nur die 3 Schichten beprobt, die auf Grund ihrer mineralogischen Zusammensetzung höhere Schadstoffgehalte erwarten lassen. Es handelt sich hierbei insgesamt um Tonsteine und tonige Mergel. Die ganz überwiegend den Malm aufbauenden Kalke sind grundsätzlich als schadstofffrei anzusehen.

In gleicher Weise wurden im Oberen Muschelkalk

mo2 nur die potentiell gefährdenden Tonsteine untersucht. Somit beziehen sich die angegebenen Prozentwerte nicht auf den gesamten Muschelkalk. Vielmehr ist mit diesen Gesteinen nur ein verschwindend geringer flächenhafter Anteil des Muschelkalk erfaßt, da die Hauptflächen von den Kalkbänken gebildet werden, welche für eine Wiederverwendung generell unbedenklich sind. Die angeführten Prozentangaben beziehen sich somit nur auf die stratigraphischen Schichten und haben keinen Bezug zu deren flächenhafter Verbreitung.

Wie Tabelle 11.3.2.3. belegt, weisen 50% der Sedimente des Lias eine mäßige bis sehr starke Gefährdung auf. Im Verbreitungsraum dieser Serie ist daher besondere Vorsicht bei der Wiederverwendung von Sedimentgesteinen geboten. Neben erhöhten Anteilen an eluierbaren Sulfat- und Schwermetallgehalten beruht die Einteilung auch auf TVO-Grenzwertüberschreitungen von Mn. Die Zuweisung zu einer ungünstigeren Gefährdungsklasse aufgrund dieses eher wenig problematischen Parameters erscheint zunächst unverhältnismäßig. In gleicher Weise sind Zuordnungen wegen erhöhter Fe-Elutionen fragwürdig (vgl. Abschn. 4.3.1.). Maßgabe für die Einbeziehung

**Tab. 11.3.2.3.: Gefährdungsklassen u. geologische Formationen – prozentualer Anteil der Schichten / (absoluter Anteil der jeweils zugehörigen Schichten) / [absoluter Anteil der jeweils zugehörigen Proben]**

| <b>Geol. Serie</b>   | <b>G0 (%)</b>            | <b>G1 (%)</b> | <b>G2 (%)</b>      | <b>G3 (%)</b>      | <b>G4 (%)</b>       |
|----------------------|--------------------------|---------------|--------------------|--------------------|---------------------|
| Muschelkalk (3) [20] | <b>100</b> (3) [20]      | --            | --                 | --                 | --                  |
| Keuper (18) [90]     | <b>67</b> (12) [62]      | <b>17</b> (3) | <b>5,5</b> (1) [1] | <b>5,5</b> (1) [5] | <b>5,5</b> (1) [10] |
| Lias (12) [61]       | <b>25</b> (3) [9]        | <b>25</b> (3) | <b>25</b> (3) [9]  | <b>8</b> (1) [10]  | <b>17</b> (2) [20]  |
| Dogger (17) [168]    | <b>88</b> (15) [147]     | --            | <b>12</b> (2)      | --                 | --                  |
| Malm (3) [22]        | <b>100</b> (3) [22] s.u. | --            | --                 | --                 | --                  |

dieser Parameter bleiben jedoch zunächst die Grenzwerte der TVO. Die Heranziehung von Fe und Mn zur Beurteilung der Sedimente ist auch insofern gerechtfertigt, als höhere Anteile an eluierbarem Fe und Mn zur Verockerung ihres Umfeldes und so zur erheblichen Beeinträchtigung der Permeabilität für Grundwasser führen können. Dies resultiert wiederum in der Veränderung des Redoxpotentials und Sauerstoffhaushaltes. Aus diesen Gründen werden die genannten Parameter zur Klassifizierung mit herangezogen.

Die mit 11% angegebene starke bis sehr starke Gefährdung durch Keuperschichten ist in der Hauptsache auf die hohen Sulfatgehalte in den nicht ausgelaugten Schichten des Gipskeuper zurückzuführen. In diesem Zusammenhang ist jedoch darauf hinzuweisen, daß in den ausgelaugten Schichten des Gipskeuper keine erhöhten Sulfatgehalte festgestellt wurden.

Somit reduziert sich das Belastungsproblem bei der Wiederverwendung in der Hauptsache auf die Schichten des Lias (vgl. auch Korrelationen: Abschnitt 8.1.3.). Seit längerem bekannt und in dieser Untersuchung bestätigt und genauer quantifiziert ist die Belastung der Schichten des Lias  $\epsilon$ . Wie die Schichtbewertungstabelle zeigt, müssen z.T. auch Sandsteine des unteren Lias einer höheren Belastungskategorie zugeordnet werden (Angulatensandstein, mäßige Gefährdung). Das Material zu diesen schwer zugänglichen Schichten wurde mittels eines Bohrkernes zur Verfügung gestellt, so daß in diesem Fall keine Aussage zur lateralen Stoffverbreitung vorliegt und somit die Klassifizierung nicht unbedingt repräsentativ sein muß. In diesem sowohl relativ hoch belasteten als auch dicht besiedelten Raum müßten daher die hier vorgestellten Untersuchungen intensiviert werden.

Nachfolgend sind die Schichten den einzelnen Bewertungsklassen (G0-G4) zugeordnet.

### 11.3.3. Gefährdungsklassen

#### G0: keine Gefährdung:

**Tab. 11.3.3.1.: Schichten der Klasse G0**

|                                           |
|-------------------------------------------|
| so: Röttone                               |
| mo2: Mergel / Tone an der Basis           |
| mo2: Tonhorizonte                         |
| mo2: Mergel / Tone im oberen Abschnitt    |
| ku: Estherienschichten                    |
| km1: Grundgipsschichten, ausgelaugt       |
| km1: Bochsinger Horizont                  |
| km1: Dunkelrote Mergel                    |
| km1: Estherienschichten                   |
| km2: Schilfsandstein                      |
| km2: Dunkle Mergel des oberen km2         |
| km3u: Rote Wand                           |
| km3l: Lehrbergsschichten                  |
| km3o: Obere Bunte Mergel                  |
| km4: Stubensandstein                      |
| km5: Knollenmergel                        |
| sj $\alpha$ 2: Angulatentone              |
| sj $\gamma$ : Untere Schwarzjuramergel    |
| sj $\delta$ : Obere Schwarzjuratone       |
| bj $\alpha$ : Opalinuston                 |
| bj $\beta$ : Zopfplatten                  |
| bj $\beta$ : Tolutariazone                |
| bj $\beta$ : Unterer Donzdorfer Sandstein |
| bj $\gamma$ : Wedelsandstein              |
| bj $\delta$ : Dorsetensienbank            |
| bj $\delta$ : Humphriesi-Oolith           |
| bj $\delta$ : Coronatenschichten          |
| bj $\delta$ : Blagdeni-Schichten          |
| bj $\delta$ : Subfurcatus-Oolith          |
| bj $\delta$ : Hamitenton                  |
| bj $\delta$ : Parkinsoni-Oolith           |
| bj $\epsilon$ : Obere Braunjuratone       |
| bj $\zeta$ : Macrocephalus-Oolith         |
| bj $\zeta$ : Ornatenton                   |
| wj $\alpha$ : Grenzglaukonit              |
| wj $\alpha$ : Untere Weißjuramergel       |
| wj $\gamma$ : Obere Weißjuramergel        |



**G1: geringe Gefährdung:*****Tab.11.3.3.2.: Schichten der Klasse G1***

|                                          |
|------------------------------------------|
| ku Basis: Vitriolschiefer                |
| km2: Dunkle Tonsteine im Schilfsandstein |
| km3u: Untere Bunte Mergel                |
| sj $\alpha$ 1: Psilonotentone            |
| sj $\beta$ : Untere Schwarzjuratone      |
| sj $\epsilon$ 2: Stinkkalke              |

**G2: mäßige Gefährdung:*****Tab. 11.3.3.3.: Schichten der Klasse G2***

|                                          |
|------------------------------------------|
| ko: Rhät-Tonstein                        |
| sj $\alpha$ 1: Psilonotenkalke           |
| sj $\alpha$ 2: Angulatensandstein        |
| sj $\zeta$ : Obere Schwarzjuramergel     |
| bj $\beta$ : Personatensandstein         |
| bj $\beta$ : Oberer Donzdorfer Sandstein |

**G3: starke Gefährdung:*****Tab. 11.3.3.4.: Schichten der Klasse G3***

|                             |
|-----------------------------|
| km1: Mittlerer Gipshorizont |
| sj $\epsilon$ 2: Tonmergel  |

**G4: sehr starke Gefährdung:*****Tab. 11.3.3.5.: Schichten der Klasse G4***

|                                           |
|-------------------------------------------|
| km1: Grundgipsschichten, nicht ausgelaugt |
| sj $\epsilon$ 1: Seegrasschiefer          |
| sj $\epsilon$ 3: Wilde Schiefer           |

## **12. Empfehlungen**

Läßt man den Bereich außer acht, in welchem die Schichten des Lias anstehen, so weisen 87% der geologischen Formationen keine bzw. nur schwache Gefährdungen auf. D.h., der ganz überwiegende Anteil von abgebauten Gesteinen kann uneingeschränkt in Regionen anderer geologischer Zusammensetzung verbracht und gelagert werden.

Die Gipshorizonte des nicht gelaugten km1 sollten nur an Ort und Stelle wiederverwendet werden. Dabei bleibt es unmaßgeblich, wieviel Gips die Sedimente führen. Eine Verwendung in der Gipsindustrie schließt sich auf Grund der Verunreinigungen des Materials größtenteils aus. In Gebieten mit anstehendem Gips kann die Wasserhärte den Bereich der Gipssättigung erreichen (ca. 80°dH). Die Lagerung solcher Gesteine in Arealen außerhalb der gipsführenden Schichten verursacht daher eine zu starke Aufhärtung des Grundwassers. Dies betrifft nicht die Gesteine des gelaugten Gipskeuper, der im Eluat extrem geringe Sulfatanteile aufweist. In diesen Fällen muß allerdings gewährleistet sein, daß die Gipslaugung vollständig ist, da eine Erhöhung der Wasserhärte bis zur Gips-Sättigungsgrenze auch durch nur teilgelaugte Gesteinsschichten hervorgerufen wird.

Gesteine mit hohen Anteilen an organischem Kohlenstoff führen zur Erniedrigung des Redoxpotentials von Wässern unter Entzug von Sauerstoff. Diese Gehalte sind stratigraphisch auf einen engen Bereich begrenzt, in welchem die Gesteine auf Grund hoher Belastung an eluierbaren toxischen Elementen prinzipiell schon höheren Gefährdungsklassen zuzuordnen sind.

Die als mäßig bis stark gefährdend klassifizierten Schichten treten zu über 50% im Schwarzen Jura auf.

Die Gefährdung beruht auf hohen Anteilen an Sulfid sowie an leicht eluierbaren toxischen Elementen, wobei es sich überwiegend um Schwermetalle handelt. Die Eluierbarkeit von Schwermetallen und Schwefel (in der Form von Sulfat) beruht auf der Oxidation dieser Sedimente. Im natürlichen, ungestörten Gesteinsverband sind diese Sedimente mit ihrem Umfeld equilibriert und stellen somit keine Gefahr dar. Beim Abbau wird das Gleichgewicht gestört, wobei vor allem die oxidative Wirkung der Atmosphäre zur Freisetzung von Schadstoffen führt. Eingriffe in den Verband dieser Sedimente sollten daher räumlich und zeitlich minimiert werden. Vor allem darf Aushubmaterial des Lias ε nur möglichst kurzfristig der Einwirkung der Atmosphäre ausgesetzt werden. Es müßte vielmehr umgehend im ursprünglichen geologischen Umfeld wieder eingebaut werden. Zur weiteren Minderung oxidativer Reaktionen sollte das Material möglichst grobstückig abgebaut (Verringerung der Oberfläche) und impermeabel wieder eingebaut werden.

Die Oxidation der stark sulfidhaltigen Gesteine (Schwarzschiefer des Lias) können zu einer extremen Versauerung der Lösungen unter Bildung von  $H_2SO_4$  führen, wobei eine deutliche Zunahme der Löslichkeit von Schwermetallen erfolgt (Cd bei pH < 6-6,5; Pb < 4-4,5; Ni < 5,5; Zn < 5,5; Cu < 5). In jedem Fall ist daher bei der Wiederverwendung solcher Sedimente auf einen gewissen Kalkanteil zu achten, da dieser auch sehr niedrige pH-Werte abpuffert. Hierbei ist darauf hinzuweisen, daß die Liassedimente in der Regel bereits recht hohe Kalkanteile führen und somit von Natur aus auf einen pH von ca. 8 abgepuffert sind. Die durch oxidative Prozesse bedingte Frei-

setzung von Schwermetallen wird somit herabgesetzt.

Aufgrund des relativ großen Anteiles an den höheren Gefährdungsklassen sollten Gesteine des Schwarzen Jura grundsätzlich nur im Ausstrichbereich des Lias wiederverwendet werden. Insbesondere müßte sich die Wiederverwendung des Lias  $\epsilon$  auf den geologischen Ablagerungsraum des Lias  $\epsilon$  selbst beschränken und dürfte nicht darüber hinaus verbreitet werden. So reichert der Posidonienschiefer, wie an rezenten Böden nachgewiesen werden konnte, bei der Bodenbildung durch Akkumulation einige Schwermetalle (z.B. Cadmium, Nickel und Kupfer) bis zu solchen Konzentrationen an, daß die Werte der Klärschlammverordnung im natürlichen Boden erreicht oder überschritten werden [PUCHELT 1989].

Wegen der hohen Gefährdungsklassifizierung eines Großteils der Liasschichten wäre sowohl eine Verdichtung der Probennahmepunkte je Gesteinsschicht als auch eine regionale Ausdehnung der Untersuchung in deren Ausstrichbereichen erforderlich.

Da die Umweltgefährdung in der Hauptsache durch sulfidische Bindungsformen verursacht wird, sind wegen ihres oxidativen Milieus insbesondere Karsthohlräume und Kiesabbau zur Aufnahme der als G2 bis G4 klassifizierten Gesteine nicht geeignet. Somit sollten z.B. alle Schichten des Lias  $\epsilon$  sowie einige weitere Liasschichten weder auf der Alb noch im Oberland wiederverwendet werden.

Aus der Bewertung der Gesteins- und Eluatanalytik resultiert ein einfaches Testschema zur Gefährdungsklassifizierung von Gesteinen. Da das Hauptbelastungsproblem generell durch Schwefelverbindungen verursacht wird, reduziert sich die Untersuchung zur Klassifizierung der abgebauten Gesteine auf die Leitfähigkeitsmessung am Eluat, die im Anschluß an den S4-Versuch erfolgt. Sehr hohe Leitfähigkeiten (vgl. *Tabelle 7.1.1.*, Anhang) verweisen auf Gips- bzw. Anhydritanteile in den Proben (G4). Hohe und

mittlere Leitfähigkeiten werden durch oxidierte Sulfidanteile verursacht. Eine gleichzeitige Schwarzfärbung der Sedimente deutet neben dem Sulfidanteil auf erhöhte Gehalte an C-org. hin. Sedimente dieses Typs wurden ausschließlich im Lias  $\epsilon$  angetroffen und sind ebenfalls der Gefährdungsklasse G4 zuzuordnen. In gleicher Weise können die Klassen G3 bis G0 über die Leitfähigkeit am Eluat definiert werden. Es wäre denkbar, diese Klassifizierung als Geländetest zu verwenden.

Vor allem bei Großbaumaßnahmen (Bahntrassen, Tunnelbauten etc.) sollten im stratigraphischen Niveau der den Gefährdungsklassen G3 und G4 zugeordneten Gesteinsschichten jeweils genauere Laboruntersuchungen durchgeführt werden, um laterale Stoffunterschiede in den Gesteinsschichten zu berücksichtigen. Dies ist umso wichtiger, als bei Großbaumaßnahmen bereits beim Ausbruch der Gesteine, etwa durch den Einsatz von Tunnelfräsen, technisch bedingt Mischungen zwischen Gesteinsschichten unterschiedlicher Gefährdungsklassen stattfinden. In diesen Fällen müßte für die Wiederverwendung des Abraums die Zuordnung zu einer Gefährdungsklasse im einzelnen aus den anfallenden Gesteinsproportionen und deren jeweiliger Klassifizierung berechnet werden. Ansonsten sollte die generelle Regelung bei der Entsorgung von belastetem Material beachtet werden, wonach die Besserklassifizierung der Qualität eines Abraumes nicht durch die Zumischung von unbelastetem Material erreicht wird, um dann unbedenklich wiederverwendet werden zu können [HAGELAUER & WOLFF 1993].

Eine Sonderstellung in der Schwermetallbelastung nehmen lokale Vererzungen ein. Hierbei sind die seltenen Bleiglanzmineralisationen des Keuper aufgrund ihrer relativen Seltenheit zu vernachlässigen. Eine weitere Verbreitung von Schwermetallmineralisationen (Pb, Zn, Cu) mit zum Teil hohen Konzentrationen sind aus Muschelkalkschichten bekannt,

wie z.B. die Vererzungen im Umfeld von Wiesloch (Bleiglanz-, Zinkblende- und Zinkspat-Vererzungen im Oberen Trochitenkalk m<sup>o</sup>l) und Neubulach (Schwerspatgänge mit Kupfer- und Silbererzen) [GEYER & GWINNER 1991]. In diesen Fällen ist neben dem eigentlichen geogenen Vorkommen auch die abbautechnisch bedingte Verbreitung der Schwerme-

talle durch Abraummateriale und Verhüttungsabfälle zu berücksichtigen. Für diese Gebiete, die bereits z.T. in römischer Zeit abgebaut wurden, lassen sich keine stratigraphisch bedingten Klassifizierungen und generalisierenden Empfehlungen für die Wiederverwendung treffen.

## Zusammenfassung

Im Zuge von Bauprojekten und Tagebauen fallen im Großraum Stuttgart jährlich große Mengen an Gesteins- und Bodenmaterial an, deren Entsorgung einen hohen Kostenfaktor darstellt und gravierende organisatorische Probleme mit sich bringt. Dabei weisen diese Materialien ein erhebliches Nutzungspotential auf. Zur Vermeidung einer kostspieligen und ressourcenschädigenden Entsorgung bemüht sich das Bundesland Baden-Württemberg daher seit einiger Zeit um eine kontrollierte Wiederverwertung von Böden und Gesteinen. Im Vorfeld einer entsprechenden Projektplanung bedarf es neben der vordergründig rein kommerziell orientierten Entsorgungslogistik einer Klärung der Umweltverträglichkeit der anfallenden Materialien, um diese möglichst einer umweltschonenden Wiederverwertung zugänglich zu machen. Dies ist für natürlich vorkommende Gesteine bisher noch nicht in einem befriedigenden Umfang geschehen. Dabei ist die Nachhaltigkeit der Auswirkungen, also eine mögliche Langzeitbeeinflussung der potentiellen Nutzungsumgebung, von besonderer Relevanz.

Ziel der im Rahmen dieser Dissertation vorgenommenen Untersuchungen war daher die Bestimmung der geogenen Inhaltsstoffe von im besonders bauaktiven Großraum Stuttgart vorkommenden Gesteinen sowie die darauf aufbauende Klassifizierung zu deren Weiterverwendbarkeit, z.B. bei der Verfüllung von Rohstoffabbauen. Das Hauptaugenmerk lag auf den Gehalten an Schwermetallen und anderen potentiell toxischen Elementen. Deren leicht verfügbare Anteile waren dabei von besonderem Interesse, da wiederverwendete Gesteine, vor allem im frisch abgebauten Zustand, im Kontakt mit Grundwasser und Niederschlag mit ihren leicht löslichen Anteilen

zu einer Überschreitung von Richt- und Grenzwerten in Trinkwasser und Böden im Umfeld des Einlagerungsraumes führen können.

Ein wesentlicher Aspekt des Vorhabens war daher die Eluierbarkeit von Schadstoffen aus dem Gestein. Bei der anthropogenen Nutzung werden v.a. im Ballungsraum Stuttgart große Mengen der Gesteine aus ihrem ursprünglichen geogenen Verband bewegt und somit aus ihrem natürlichen Gleichgewicht gebracht. Dies hat die potentielle Freisetzung von Schwermetallen, Sulfaten und anderen Schadstoffen zur Folge.

Im einzelnen umfaßten die Untersuchungen Literaturrecherchen, Feststellungen zur geologischen Situation im Großraum Stuttgart, eine Auswahl der Probennahmeorte, Probennahmen sowie Aufbereitung und Analyse der gewonnenen Proben im Labor. Danach erfolgte eine Auswertung des resultierenden Datenmaterials, das mit Hilfe von statistischen Tests aufbereitet und durch geochemische Modellierungen verifiziert wurde. Die zu untersuchenden geologischen Schichtglieder entstammen der Trias (z.T. Oberer Buntsandstein, oberer Muschelkalk mo2 sowie die nahezu vollständige Keuperabfolge), dem Schwarzen und Braunen Jura und untergeordnet Teilbereichen des Weißen Jura.

Im Verlauf von zwei größeren und einigen kleineren Probennahmekampagnen wurden im Großraum Stuttgart an zahlreichen genau lokalisierten Punkten ca. 400 Proben aus 53 stratigraphisch definierten Sedimentschichten gewonnen. Das Material stammt einerseits aus Bohrungen, wie z.B. den Bundesbahn-Bohrungen im Braunen Jura am Albaufstieg bei Gruibingen, andererseits (und zum größeren Teil) aus

Tagesaufschlüssen aus dem Bereich zwischen Geislingen - Nürtingen - Reutlingen - Leonberg - Maulbronn - Marbach.

Schwerpunkt dieser Arbeit war die Untersuchung toxischer Spurenelemente (v.a. Schwermetalle) sowie leicht löslicher grundwassergefährdender Hauptelemente. Darüber hinaus mußten jedoch zur Charakterisierung auch die Hauptkationen und -anionen erfaßt werden (Sulfat, Eisen, Aluminium).

In der Untersuchung sollten die Löslichkeiten von Schadstoffen aus dem Gesteinsmaterial mittels Eluierungen mit deionisiertem Wasser (nach DIN 38414 S4) überprüft werden, die gleichsam eine Simulation der Einwirkung von Oberflächenwasser auf das Gestein darstellen. Zu diesem Zweck waren auch geochemische Modellierungen von Bedeutung, deren Anwendung Prognosen und Aussagen über das Löslichkeitsverhalten von Inhaltsstoffen zulassen.

Um einen Gesamteindruck der Elementverteilung in den einzelnen Gesteinshorizonten zu gewinnen und Aussagen über die Langzeitbeeinflussung des Umfeldes bei einer möglichen Einlagerung treffen zu können, wurden die Proben zunächst einem Königswasseraufschluß nach DIN 38414 Teil 7 unterzogen und anschließend mit ICP-OES auf folgende Haupt-, Neben- und Spurenelemente untersucht:

1.: Haupt- und Nebenelemente: Aluminium, Natrium, Calcium, Eisen, Mangan, Kalium, Magnesium, Schwefel (als Sulfat ( $\text{SO}_4$ ) berechnet).

2.: Spurenelemente: Arsen, Quecksilber, Selen, Bor, Zink, Blei, Cadmium, Cobalt, Nickel, Chrom, Vanadium, Kupfer, Barium.

Zur Einschätzung der Grundwasserrelevanz und der kurzfristig durch Wasser freisetzbaren Anteile der verschiedenen geologischen Formationen folgte dann eine Wassereluierung nach DIN 38414 Teil 4. An den gewonnenen Eluat wurden wiederum die oben aufgeführten Hauptelemente und ausgewählte Spurenelemente mittels ICP-OES und Graphitofen-AAS

sowie pH-Werte und Leitfähigkeiten gemessen. Hinzu kamen Sondenmessungen von Ammonium- und Chloridgehalten. Schließlich wurde jede Probe auf ihren Gesamt-Kohlenstoffgehalt und ausgewählte Proben auf organischen Kohlenstoff (C-org.) untersucht. Zur Identifizierung des Mineralbestandes erfolgten mittels RDA (Röntgendiffraktometeranalyse) Röntgenaufnahmen an ausgewählten Gesteinsproben.

Insgesamt resultierte aus den Untersuchungen eine Gesamtzahl von ca. 20 000 Analysenwerten. Die Bewertung der Ergebnisse der analysierten Gesteine diente der Empfehlung von Konsequenzen und Machbarkeiten für die Wiederverwertung des Materials. Dies ist um so mehr von Bedeutung, da die Länderarbeitsgemeinschaft Abfall (LAGA) der Bundesrepublik Deutschland bereits Richtwerte für eine Reihe von Schadstoffen in Böden und Gesteinen vorgelegt hat, die eine Einteilung der Materialien in verschiedene Verwertungsklassen vorsieht und im Falle der Wiederverwendung als Baustoff für Erdbauwerke oder bei der Verfüllung von Rohstoffabbau bundesweit Gültigkeit besitzt.

Für die vorliegenden Untersuchungen wurden verschiedene Grenz- und Richtwertlisten zur Einstufung der geologischen Formationen bezüglich ihrer Wiederverwertung herangezogen. Im einzelnen sind dies:

- **Verordnung über Trinkwasser und über Wasser für Lebensmittelbetriebe (Trinkwasserverordnung – TrinkwV) im Bundesgesetzblatt Nr.66 vom 12. 12. 1990 (Seiten 2612-2632),**
- **KLOKE - Grenzwertliste [Bad.-Württ. 1980],**
- **Klärschlammverordnung [1992],**
- **VwV Anorganische Schadstoffe – Prüfwerte [Umweltminist. Bad.-Württ. 1993],**
- **„Hollandliste“ [1988] (nur für Barium),**
- **Grenzwertliste nach EIKMANN-KLOKE [1993] (nur für Arsen, Quecksilber, Selen),**
- **Zuordnungswerte für Boden bzw. Eluat der Länderarbeitsgemeinschaft Abfall (LAGA) – Technische Regeln vom 1. März 1994 („Anforderungen an die stoffliche Verwertung von mineralischen Reststoffen/Abfällen“).**

Die pH-Werte der Gesteine wurden analog DIN 38414 Teil 5 bestimmt. Sie liegen generell zwischen 7,1 und 8,7 und sind somit gemäß Trinkwasserverordnung (6,5-9,5) nicht grenzwertrelevant. Dies gilt im selben Maße für die Z-Werte (Eluat) der LAGA.

Die Ergebnisse der Leitfähigkeitsmessungen zeigen eine deutliche Variabilität zwischen den Formationen. Die höchsten Werte werden hier in den Grundgipsschichten und dem Mittleren Gipshorizont des km1 erreicht ( $>2000\mu\text{S}/\text{cm}$ ), wo der Grenzwert der Trinkwasserverordnung ( $2000\mu\text{S}/\text{cm}$ ) überschritten wird. Weiterhin sind hohe Werte in vielen Schichten des Oberen Muschelkalkes sowie des Schwarzen und Braunen Jura festzustellen, die sich in Bereichen zwischen 500 und  $900\mu\text{S}/\text{cm}$  bewegen, wobei die Z0-Z1.1-Werte (Eluat) der LAGA von  $500\mu\text{S}/\text{cm}$  z.T. deutlich überschritten werden.

Trias und Schwarzer Jura zeigen, mit Ausnahme einiger Kalk- und Sandsteine sowie dem bereits angesprochenen Grundgips, zumeist höhere Gehalte an Al. Der weitaus höchste Gehalt wird mit fast  $45000\text{mg}/\text{kg}$  Al in den äußerst tonreichen Gesteinen der Roten Wand (km3u) erreicht. Der tonmineralärmere Braune Jura führt größtenteils weniger Al (z.T.  $<10000\text{mg}/\text{kg}$  Al). Die S4-Gehalte zeigen im allgemeinen Al-Werte  $<0,1\text{mg}/\text{l}$ , wobei diesen Werten eine Filtration der Elutionslösungen mit  $0,1\mu\text{m}$  zugrunde liegen. Spitzenwerte werden lediglich im Keuper bei den Grundgipsschichten des km1 ( $0,28\text{mg}/\text{l}$ ) und den Tonsteinen im Schilfsandstein ( $0,78\text{mg}/\text{l}$ ) erreicht. Diese Gehalte überschreiten auch die Grenzwerte der Trinkwasserverordnung von  $0,2\text{mg}$  Al/l.

Die **Natrium**-Gesamtgehalte variieren von  $14\text{mg}/\text{kg}$  in den Röttonen des Oberen Buntsandstein bis  $974\text{mg}/\text{kg}$  im Grenzglaukonit des Weißen Jura  $\alpha$ . Lediglich im Angulatensandstein des Schwarzen Jura  $\alpha 2$  liegen die Gehalte unterhalb der Nachweisgrenze ( $<1\text{mg}/\text{kg}$ ). Die weit überwiegende Anzahl der geo-

logischen Formationen enthält Na-Gehalte  $>200\text{mg}/\text{kg}$ . Die Eluatgehalte erstrecken sich von  $1,9\text{mg}$  Na/l bei den Psilonotentoniten des Schwarzen Jura  $\alpha 1$  bis zu  $56,6\text{mg}$  Na/l bei den Ornatentoniten des Braunen Jura  $\zeta$ . Der Grenzwert der Trinkwasserverordnung wird insgesamt nicht berührt.

Die **Calcium**-Gesamtgehalte folgen dem Kalkgehalt eines Gesteins. Daneben sorgen auch die gipsreichen Schichten für hohe Ca-Werte. Die höchsten Gehalte werden in den Mergeln des oberen Weißen Jura  $\gamma$  erreicht ( $303320\text{mg}/\text{kg}$  Ca). Der Stubensandstein des km4 weist mit  $1170\text{mg}/\text{kg}$  die geringsten Ca-Werte auf. Die eluierten Ca-Gehalte variieren stark (die Sättigungskonzentration der Lösung mit Ca ist in hohem Maße vom Ausgangsmineral abhängig). Die geringsten Eluatgehalte ( $3\text{mg}$  Ca/l) finden sich im Stubensandstein, die höchsten gelösten Ca-Gehalte bieten die Eluate der gipsreichen Gesteine. So überschreiten die Grundgipsschichten mit  $622\text{mg}/\text{l}$  und der Mittlere Gipshorizont mit  $615\text{mg}/\text{l}$  (beide Schichten km1) deutlich den Grenzwert der Trinkwasserverordnung ( $400\text{mg}$  Ca/l). Trotzdem weisen die Schichten des Keuper insgesamt die geringsten Gehalte an gelöstem Ca auf, was insbesondere auch für die gelaugten Gipskeuperschichten zutrifft.

Die Grundgipsschichten des km1 enthalten die geringsten Mengen an **Eisen**, der Macrocephalus-Oolith des Braunen Jura  $\zeta$  die höchsten, wobei die Konzentrationen des letzteren durch Fe-Oolithe hervorgerufen werden. Eisen ist in den S4-Eluaten größtenteils nur in geringen Mengen vorhanden. Im überwiegenden Teil der Gesteinseluaten konnten keine Fe-Gehalte oberhalb der instrumentellen Nachweisgrenze ( $0,005\text{mg}/\text{l}$ ) festgestellt werden. Der höchste Wert wurde, wiederum bei einer Filtration mit  $0,1\mu\text{m}$ , mit  $0,925\text{mg}$  Fe/l in den Eluaten der Unteren Schwarzjurate gemessen. Dies ist auch der einzige

Fall, in dem der Grenzwert der Trinkwasserverordnung von 0,2mg Fe/l überschritten wurde.

Die **Mangan**-Gesamtgehalte reichen von 19mg/kg im Stubensandstein des km4 bis zu 4048mg/kg im Parkinsoni-Oolith des Braunen Jura  $\delta$ . Die Gesteine der meisten Schichten enthalten Mengen <1000mg Mn/kg. Die Mn-Eluatgehalte fallen in den Triasschichten am geringsten aus. Hier wird selten der Wert von 0,02mg/l überschritten. Die Lösungskonzentrationen der Juraschichten sind dagegen zumeist deutlich höher (ca. Faktor 10). Der Spitzenwert wird mit 1,39mg Mn/l in den Eluaten des Angulaten-sandstein (Schwarzer Jura  $\alpha_2$ ) erreicht. Der Grenzwert der Trinkwasserverordnung von 0,05mg Mn/l wird in 8 Fällen überschritten. Neben dem Angulaten-sandstein sind davon der Rhät-Tonstein (ko), der Psilonoten-Kalkstein (sj $\alpha_1$ ), die Seegrasschiefer, Tonmergel und Wilden Schiefer des sj $\epsilon$  sowie Personatensandstein und Oberer Donzdorfer Sandstein (beide bj $\beta$ ) betroffen.

Die niedrigsten **Kalium**-Gehalte finden sich in den Psilonotenkalken des sj $\alpha_1$  (<9mg/kg), die höchsten in den Unteren Bunten Mergeln des km3u (22946 mg/kg). Alle Schichten des Jura enthalten dabei K-Mengen <8000mg/kg. Gehalte >10000mg/kg sind dagegen ausschließlich in den Keuperschichten anzutreffen. In den Gesteinseluaten liegen die Kaliumgehalte in den meisten Schichten zwischen 10 und 30mg/l. Die geringsten Werte weisen die Eluate der Oberen Schwarzjuratone auf (1mg K/l), die höchsten sind in den Lösungen der Vitriolschiefer des ku zu finden (48mg K/l). Da es sich bei den Eluatgehalten um geogen bedingte Werte handelt, wird der Grenzwert der Trinkwasserverordnung (50mg K/l, wenn geogen; andernfalls 12mg K/l) in keinem Fall überschritten.

Die **Magnesium**-Gesamtgehalte sind im Angulaten-sandstein des sj $\alpha_2$  am geringsten (1046mg/kg).

Überhaupt finden sich unter den gesamten Juraschichten keine Gesteine mit Gehalten >10000mg Mg/kg. Dagegen sind Gesteine mit Werten >15000 mg Mg/kg in den Triasschichten eher die Regel. Der Höchstwert an Magnesium ist in den Dunkelroten Mergeln des km1 zu verzeichnen (68989mg/kg). Die Mg-Werte in den Eluaten bewegen sich zwischen 1mg/l in den Oberen Schwarzjuratonen und 37mg/l im Rhät-Tonstein des ko. Die Variabilität ist insgesamt gering.

Die Gesamtgehalte an **Schwefel** in den untersuchten Gesteinen werden in der Hauptsache von Sulfiden und Gips bestimmt. Die Meßergebnisse geben die Gehalte als **Sulfat** wieder. Dabei finden sich die höchsten Sulfatwerte in den Gips-gesteinen der Grundgipsschichten und des Mittleren Gipshorizontes (461411 bzw. 316492mg/kg). Die geringsten SO<sub>4</sub>-Gehalte weisen mit 132mg/kg die Röttone des Oberen Buntsandsteins auf. Mit Ausnahme der stark gipshaltigen Schichten (nicht ausgelaugter Gipskeuper) sind die Sulfatgehalte im Keuper eher niedrig (meist <2000mg/kg), in den Juraschichten dagegen eher höher (meist >20000mg/kg). Hierbei scheint der größere Sulfidanteil der Juraschichten ausschlaggebend zu sein. Die SO<sub>4</sub>-Gehalte in den Eluaten zeigen ein Bild ähnlich den Leitfähigkeiten, die überwiegend durch sie bestimmt werden. Die Sättigungskonzentrationen von SO<sub>4</sub> in den Lösungen sind zum großen Teil von der Art des Ausgangsminerales und der Mineralparagenese abhängig. So lassen sich aus Gips unter den gegebenen Bedingungen theoretisch etwa 1600mg SO<sub>4</sub>/l lösen, was bei den eluierten Gipsschichten des Keuper mit ca. 1530mg SO<sub>4</sub>/l auch erreicht wird. Die nächstkleinere Gehaltegruppe bildet dann der Lias  $\epsilon$  mit Eluatwerten zwischen 500 und 650mg SO<sub>4</sub>/l. Darunter folgt eine weitere Gruppe mit bis zu ca. 350mg/l. Insgesamt überschreiten 35 SO<sub>4</sub>-Eluatgehalte die Z0-Z 1.1-Werte (Eluat; 50mg



SO<sub>4</sub>/l) der LAGA, 33 den Z1.2-Wert (100mg SO<sub>4</sub>/l) und 30 den Z2-Wert (150mg SO<sub>4</sub>/l). Der Grenzwert der Trinkwasserverordnung von 240mg SO<sub>4</sub>/l wird immerhin noch in 18 Fällen übertroffen. Von diesen Überschreitungen sind der gesamte Braune Jura, der größte Teil des Schwarzen Jura, alle untersuchten Schichten des mo2 sowie der Obere Keuper und insbesondere die stark gipshaltigen Schichten des km1 (Grundgips, mittlerer Gipshorizont) betroffen.

Die höchsten Gesamtgehalte an **Bor** finden sich in den Dunkelroten Mergeln des km1 (63mg/kg). Insgesamt überschreiten 10 Gesteinsschichten den Grenzwert nach KLOKE (bzw. Klärschlammverordnung (25mg B/kg)), von denen allein 8 dem Keuper angehören. Die Gesteinseluat zeigen dagegen keinerlei Grenzwertüberschreitungen für Bor auf. Die Gehalte variieren hier zwischen 0,008mg B/l im Mittleren Gipshorizont des km1 und 0,954mg B/l im Ornatenton des Braunen Jura ζ. Dabei enthält der größte Teil der Eluate Werte >0,1mg B/l. Die Borgehalte aus den Braunjuragesteinen sind insgesamt höher als diejenigen der anderen Formationen.

Die **Zink**-Gesamtgehalte liegen größtenteils zwischen 10 und 100mg/kg. Der geringste Wert findet sich im Grundgips des km1 (0,2mg Zn/kg), der höchste in den Oberen Schwarzjura mergeln des sjζ (256mg Zn/kg). Letzterer überschreitet somit den Grenzwert nach KLOKE bzw. der Klärschlammverordnung von 200mg Zn/kg. In drei weiteren Schichten wird zudem der Z0-Wert der LAGA von 120mg Zn/kg übertroffen (Untere Schwarzjura mergel sjγ, Seegrasschiefer sjε1, Wilde Schiefer sjε3). In den S4-Eluaten liegen die Zn-Gehalte in 15 Fällen unterhalb der Nachweisgrenze von 0,0006mg/l. Obwohl die Grundgipsschichten die bei weitem niedrigsten Zn-Gesamtgehalte aufweisen, treten in ihren Lösungen, aufgrund der starken Sulfatlöslichkeit, die höchsten Werte auf (0,02mg Zn/l). Insgesamt sind bei den

Eluaten keinerlei Grenz- bzw. Richtwertüberschreitungen für Zn festzustellen.

Die **Blei**-Gesamtgehalte bewegen sich generell zwischen 1,8mg/kg in den Estherienschiefern des km1 und 40,5mg/kg in den Wilden Schiefern des sjε3. Lediglich die Psilonotenkalke im Schwarzen Jura α1 weisen einen Spitzenwert von 349mg Pb/kg auf (wahrscheinlich lokale, punktuelle Vererzung). Dieser Wert bleibt auch die einzige Grenzwertüberschreitung nach KLOKE (100mg Pb/kg). Aufgrund meßtechnischer Schwierigkeiten konnten 9 Gesteinseluat nicht auf Blei untersucht werden. Von den gemessenen Lösungen liegen 15 unterhalb der Nachweisgrenze von 0,0045mg Pb/l. In 2 Fällen wird der Grenzwert der Trinkwasserverordnung von 40µg Pb/l und der Z1.1-Wert (Eluat) LAGA überschritten (Untere Bunte Mergel km3u: 51µg Pb/l, Psilonotentone sjα1: 50µg Pb/l) sowie in 2 weiteren der Z0-Wert (Eluat) von 20µg/l (Vitriolschiefer ku: 21µg Pb/l, Dunkle Mergel km2: 27µg Pb/l).

Die **Cadmium**-Gesamtgehalte in den Braunjuraproben, die aus Bohrkernen gewonnen wurden, liegen sämtlich unterhalb der Nachweisgrenze von 0,002mg/kg. Hier handelt es sich möglicherweise um lokale Abreicherungen an Cd, da demgegenüber der andernorts beprobte, ebenfalls dem Braunjura entstammende Opalinuston mit 1,22mg Cd/kg den Z1.1-Wert (Boden) der LAGA (1mg Cd/kg) überschreitet. Insgesamt übertreffen 22 Gesteinsschichten Grenz- bzw. Richtwerte für Boden, davon 2 den Z1.2-Wert LAGA von 3mg Cd/kg (Obere Schwarzjura mergel sjζ: 4,77mg Cd/kg, Wilde Schiefer sjε3: 3,23mg Cd/kg) und weitere 3 den Grenzwert nach KLOKE von 1,5mg Cd/kg (Angulatensandstein sjα2: 1,67mg Cd/kg, Seegrasschiefer sjε1: 1,82mg Cd/kg, Tonmergel sjε2: 2,22mg Cd/kg). Die höchsten Cd-Gehalte finden sich hauptsächlich in den stärker sulfidischen Tongesteinen des Schwarzen Jura. Von den S4-Eluaten liegen 41 unterhalb der Nachweisgrenze

(0,0006mg Cd/l). Die Lösungen der Tonmergel des sje2 (3,4µg Cd/l) überschreiten den Z1.1-Wert der LAGA von 2µg Cd/l. Die Eluate der Seegrasschiefer sje1 (9,7µg Cd/l), Grundgipsschichten km1 (6,6µg Cd/l) sowie der Wilden Schiefer sje3 (6,2µg Cd/l) liegen oberhalb des Grenzwertes der Trinkwasserverordnung bzw. des Z1.2-Wertes (Eluat) der LAGA von 5µg Cd/l. Die Tonschiefer des Lias ε zeigen somit ein starkes Löslichkeitspotential an Cadmium.

Die Gesamtgehalte an **Cobalt** variieren zum Großteil zwischen 1,7mg/kg (Grundgipsschichten km1) und 39,7mg/kg (Obere Braunjuratone bje). Lediglich 2 Oolithe des Braunen Jura bilden grenzwertüberschreitende Spitzenwerte (Parkinsoni-Oolith bjδ: 155mg Co/kg, Macrocephalus-Oolith bjζ: 56mg Co/kg). In den Eluaten wird die Nachweisgrenze von 0,0015mg Co/l in 33 Fällen unterschritten. In den übrigen Lösungen reichen die Gehalte von 0,0015mg Co/l in den Unteren Schwarzzuramergeln des sjγ bis zu 0,219mg Co/l in den Estherienschiefern des ku.

Die niedrigsten **Nickel**-Gesamtgehalte finden sich mit 2mg/kg in den Grundgipsschichten des km1, die höchsten im Parkinsoni-Oolith des bjδ, wo 166mg/kg erreicht werden. Insgesamt überschreiten 17 Gesteinsschichten den Z0-Wert (Boden) der LAGA (40 mg Ni/kg) und 3 weitere den Z1.1-Wert (100mg Ni/kg). Den Grenzwert nach KLOKE von 50mg Ni/kg übertreffen 16 Schichten. Dabei ist eine Konzentration der hohen Werte im Bereich der Schwarzschiefer des Schwarzen Jura (Sulfid-Vererzungen) sowie bei den Oolithen des Braunen Jura (Fe-Oolith-Bindungen) festzustellen. Die Ni-Nachweisgrenze von 0,002 mg/l wird in den Eluaten in 21 Fällen unterschritten. Dies betrifft insbesondere die Lösungen der Triasgesteine. Die Spitzenwerte finden sich in den Eluaten der Seegrasschiefer des sje1 (0,105mg Ni/l), der Wilden Schiefer des sje3 (0,074mg Ni/l) sowie der Grundgipsschichten des km1 (0,069mg Ni/l). Deren Gehalte überschreiten den Grenzwert der Trinkwas-

serverordnung bzw. den Z1.1-Wert (Eluat) LAGA von jeweils 50µg Ni/l.

Die **Chrom**-Gesamtgehalte bewegen sich im allgemeinen zwischen 7mg/kg (Psilonotenkalke sjα1) und 53mg/kg (Estherienschiefern ku, Dunkelrote Mergel km1). Drei Oolith-Gesteine des Braunen Jura erreichen Höchstwerte von 437mg Cr/kg (Macrocephalus-Oolith) bzw. 318mg Cr/kg (Parkinsoni-Oolith) und 176mg Cr/kg (Subfurcatus-Oolith). Damit werden sowohl der Grenzwert nach KLOKE (100mg Cr/kg) als auch die Z 1.1 und Z1.2 Werte der LAGA (100 bzw. 200 mg Cr/kg) übertroffen. Bei den Eluaten liegen 27 Werte, v.a. der Juraschichten, unterhalb der Nachweisgrenze von 0,001mg Cr/l. Der Grenzwert der Trinkwasserverordnung (50µg Cr/l) wird in 2 Fällen überschritten (Grundgipsschichten km1: 72,5µg Cr/l, Seegrasschiefer sje1: 58,6µg Cr/l). Zwei weitere Schichten liegen oberhalb des Z0- (15µg Cr/l) bzw. Z1.1-Wertes (30µg Cr/l) der LAGA (Wilde Schiefer sje3: 35µg Cr/l, Mittlerer Gipshorizont km1: 25µg Cr/l).

Die Gesamtgehalte an **Vanadium** zeigen insgesamt eine ähnliche quantitative Verteilung wie Nickel und Chrom, was auf ein gemeinsames Vorkommen in bestimmten Sulfiden und Fe-Oolithen zurückzuführen ist. Die höchsten Gehalte finden sich also in den Schwarzschiefern des Schwarzen Jura sowie den Oolithen des Braunen Jura. In letzteren wird der Spitzenwert von 359mg V/kg erreicht (Macrocephalus-Oolith). Die geringsten Werte sind in den Grundgipsschichten des km1 festzustellen (3mg V/kg). Die Eluate wurden nicht auf Vanadium gemessen.

Die höchsten **Kupfer**-Gesamtgehalte zeigen sich in den Schwarzschiefern des Schwarzen Jura (Sulfid-Vererzungen) sowie im Übergangsbereich zwischen Unterem Keuper und Oberem Muschelkalk. Mit 57,5 mg Cu/kg erreichen die Wilden Schiefer des sje3 den Spitzenwert. Insgesamt liegen 7 Gesteinsschichten oberhalb des Z0-Wertes (Boden) der LAGA von 40

mg Cu/kg. Der Grenzwert nach KLOKE (60mg Cu/kg) wird nicht übertroffen. Die geringsten Gehalte sind in den dunklen Tonsteinen des Schilfsandstein (km2) zu verzeichnen, wo die Nachweisgrenze von 0,01mg Cu/kg unterschritten wird. Bei den S4-Eluaten liegen 8 Proben unterhalb der Nachweisgrenze von 0,001mg Cu/l. Die höchsten gelösten Kupfermengen finden sich in den Eluaten der Grundgips-schichten des km1 (0,124mg Cu/l) sowie der Seegrasschiefer des sjε1 (0,076mg Cu/l).

In den untersuchten Schichten liegen die **Barium**-Gesamtgehalte der Gesteine des Oberen Buntsandstein, des mo2 sowie der Grundgipsschichten des km1 unterhalb der Nachweisgrenze von 1,5mg Ba/kg. Der Stubensandstein des km4 erreicht mit 231mg Ba/kg den höchsten Wert. Insgesamt weisen die Keuperschichten höhere Bariumgesamtgehalte als die Juraschichten auf. Der Prüfwert nach der Hollandliste (400mg Ba/kg) wird nicht überschritten. In den S4-Eluaten reichen die Ba-Gehalte von 0,003mg/l in den Oberen Weißjuramergeln des Weißen Jura γ bis zu 0,328mg/l in den Seegrasschiefern des Schwarzen Jura ε1. Der Grenzwert der Trinkwasserverordnung (1mg Ba/l) wird in keinem Fall erreicht.

Die **Arsen**-Gesamtgehalte bewegen sich zu einem Großteil zwischen 1 und 20mg/kg, wobei die Lehrbergschichten des km3 mit 0,14mg/kg die geringsten Gehalte aufweisen. Allerdings überschreiten 14 Gesteinsschichten den Arsengrenzwert nach EIKMANN-KLOKE bzw. den Z0-Wert (Boden) der LAGA, der jeweils 20mg As/kg beträgt. Von diesen 14 Schichten liegen 8 oberhalb des Z1.1-Wertes, von denen sich wiederum einer oberhalb Z1.2 und ein letzter oberhalb Z2 befindet. Dieser Spitzenwert wird mit 440mg As/kg im Parkinsoni-Oolith erreicht, offenbar hervorgerufen durch arsenhaltige Minerale in der Probe. Die Überschreitungen der Grenz- und Z-Werte bleiben, mit Ausnahme des Rhät-Tonsteins

(ko), auf den Braunen Jura beschränkt. Die S4-Eluate wurden nicht auf Arsen gemessen.

In 34 Fällen liegen die Gesamtgehalte an **Quecksilber** unterhalb der Nachweisgrenze von 0,0007mg/kg. Die übrigen Werte reichen von 0,04mg Hg/kg (Estherienschichten km1, Tonmergel sjε2, Obere Weißjuramergel wjγ) bis zu 1,16mg Hg/kg in den Röttonen des Oberen Buntsandstein. Insgesamt überschreiten sowohl die Röttone als auch die Oberen Schwarzzjuramergel des sjζ den Hg-Grenzwert nach EIKMANN-KLOKE (0,5mg/kg) bzw. den Z1.1-Wert (Boden) der LAGA (1mg Hg/kg). Eine weitere Schicht liegt oberhalb des Z0-Wertes von 0,3mg Hg/kg (Parkinsoni-Oolith bjδ: 0,32mg Hg/kg). Quecksilbermessungen an den Eluaten fanden nicht statt.

Bei den **Selen**-Gesamtgehalten liegen 6 Gesteinsschichten, in der Hauptsache Formationen des Keuper, unterhalb der Nachweisgrenze von 0,0005mg/kg. Die übrigen Gehalte variieren zwischen 0,02mg Se/kg (Dunkelrote Mergel km1, Estherienschichten km1) und 1,91mg Se/kg (Wilde Schiefer sjε3). Insgesamt überschreiten 5 Schichten den Se-Grenzwert nach EIKMANN-KLOKE (1mg/kg). Dies sind im einzelnen die Schichten des Schwarzen Jura ε (mit Ausnahme der Stinkkalke) und die oberhalb anschließenden Oberen Schwarzzjuramergel sowie die Lehrbergschichten des km3. An den Eluaten wurden keine Selenmessungen vorgenommen.

Die geringsten Gehalte an **organischem Kohlenstoff** weisen mit 970mg/kg die Lehrbergschichten des km3 auf. Die höchsten C-org.-Anteile finden sich in den Seegrasschiefern des sjε1 (96000mg/kg), den Tonmergeln des sjε2 (78500mg/kg), den Stinkkalcken des sjε2 (37000mg/kg), den Wilden Schiefern des

sjε3 (89400mg/kg) sowie den Oberen Schwarzjura-mergeln des sjζ (93600mg/kg).

Die **Kohlenstoff**-Gesamtgehalte sind im Stubensandstein des km4 am geringsten (667mg/kg) und in den Schichten des Schwarzen Jura ε sowie ζ am höchsten. In den letzteren variieren die Gehalte von 112000 – 125000mg C-ges./kg. Ausschlaggebend hierfür sind die extrem hohen Anteile an organischem Kohlenstoff in den Schwarzschiefern. Ansonsten bestimmt ganz überwiegend der Karbonatanteil den Gehalt an C-ges.

Zur besseren Einordnung der gemessenen Elementgehalte dieser Arbeit wurden Vergleichsdaten anderer Untersuchungen herangezogen. Dabei zeigte sich, daß entweder zumeist nur Bodenproben im Hinblick auf das Ausgangsgestein untersucht worden waren, oder die Datenbasis der gemessenen Proben für eine aussagekräftige Bewertung zu gering ausfiel. Weiterhin konnten die Eluatwerte den natürlichen Grundwassergehalten gegenübergestellt werden. Dabei fanden sich z.T. gute Übereinstimmungen zwischen den Elementgehalten. Die Konzentrationen der aus frischem Gestein relativ leicht löslichen Anteile liegen in den natürlichen Wässern unterhalb derjenigen der Eluate (Na, K, B). In Einzelfällen sind die Gehalte in beiden Lösungen gleich. Der Befund verweist auf die leichte Löslichkeit einiger Komponenten wie Cl, Mg sowie die Gips-Komponenten Ca und SO<sub>4</sub>. Bis auf Bor bleiben die Spurenelementgehalte ohne Belang, da auf Grund unterschiedlicher Nachweisgrenzen bei den Meßverfahren für die natürlichen Wässer und die Eluate eine direkte Vergleichbarkeit nicht gegeben war.

Anhand von Korrelationsanalysen (Elementkorrelationen, Clusteranalysen, Faktorenanalysen) des Datenmaterials wurden Unterschiede bezüglich Stoffbestand und Bindungsformen der Elemente zwischen den stratigraphischen Serien oder verschiedenen Gesteinsarten ermittelt. Die Befunde dieser Korrela-

tionen ergeben eine Charakterisierung der stratigraphischen Serien hinsichtlich ihres hauptsächlichen Steuerungsverhaltens für Schwermetall-Bindungsformen. Die Bindungsformen sind dabei für die Wiederverwendung des Gesteins von besonderem Interesse, da sie direkte Rückschlüsse auf das Gefährdungspotential des Materials zulassen. Untersuchungen zur Bestimmung der Bindungsformen mittels sequentieller Elutionen, wie etwa von TESSIER et al. (1979) bzw. FÖRSTNER & CALMANO (1982) sowie JACOB et al. (1990) vorgeschlagen, waren wegen des zu hohen Aufwandes bei einer zugleich großen Anzahl an Proben nicht durchzuführen. Die Korrelationen boten diesbezüglich den weitaus effektiveren Weg zur Bestimmung der Bindungsformen.

Die Korrelationen zeigten, daß im Keuper die Schwermetalle überwiegend adsorptiv an (Fe-) Tonminerale gebunden sind, während die SM im Schwarzen Jura größtenteils in (Fe-) sulfidischen Mineralisationen, aber auch adsorptiv an Tone und organischen Kohlenstoff gebunden vorliegen. Im Braunen Jura sind die SM sowohl tonmineralisch als auch an Fe-/Mn- Oxide/Hydroxide gebunden, die aus Fe-(Mn-) Karbonaten hervorgehen. Die Korrelationsergebnisse weisen den Schwarzjuraschichten das größte Gefährdungspotential bei einer möglichen Wiederverwendung zu, da sie den höchsten Anteil an leicht eluierbaren Schwermetallen führen.

Um Prognosen zum Löslichkeitsverhalten einiger Elemente unter Abweichung der Bedingungen bei den Elutionsversuchen stellen sowie mögliche Szenarien durchprüfen zu können, war es notwendig, mit verschiedenen Programmen (WATEQ4F, PHREEQE) geochemische Modellierungen vorzunehmen. Neben der Verifizierung der analytischen und experimentellen Arbeiten gehört die geochemische Modellierung zur Methodik der Prognose beim

Umgang und der Wiederverwertung von Gesteinen. Mit Hilfe dieses Ansatzes wurden die Auswirkungen einer Vielzahl von Parametern auf das Gestein simuliert. Dabei sollten bestimmte Minerale mit unterschiedlichen Lösungen equilibriert werden, um die jeweilige Sättigungsgrenze und damit die höchstmöglichen Gehalte eines Elementes in einer definierten Lösung zu bestimmen. Als zu variierende Parameter wurden pH, Eh, Temperatur, Salzlast und Gesamtgehalt an  $\text{CO}_2$  in der Lösung gewählt.

Von besonderem Interesse bei den Modellierungen waren Al-, Fe-, Ca- und Sulfat-/Sulfidminerale (Schwermetallsulfide) sowie die aus ihnen durch Verwitterung bzw. Alterungsprozesse hervorgehenden Umwandlungsprodukte (Unterscheidung bezüglich des kurz- und des langfristigen Lösungsverhaltens eines Elementes). Weiterhin wurden einige natürlich vorkommende Minerale der Schwermetalle Pb, Zn und Cd in karbonatischer bzw. sulfatischer Bindung zu den Berechnungen herangezogen und jeweils sowohl mit Calcit als auch untereinander equilibriert. Wie in den Korrelationen gezeigt, sind die Sulfate und Sulfide insbesondere im Hinblick auf ihr Vorkommen in den Keuper- (Ca-Sulfate) und Schwarzhurasschichten (Schwermetallsulfide) von Relevanz. Insgesamt orientierte sich die Auswahl der zu den Equilibrierungen herangezogenen Minerale an den aus den Korrelationen bestimmten Bindungsformen der Elemente sowie an den röntgenographischen Untersuchungen.

Die Ergebnisse der Modellierungen mit schwermetallhaltigen Mineralen legt für Pb nahe, stark anglesitführende Gesteine von einer Wiederverwendung generell auszuschließen, um potentielle Grundwasserbelastungen mit Blei zu verhindern. Bei Vorhandensein von Cerussit sind zumindest stark reduzierende Milieus sowie geringe pH-Werte und hohe Salzlasten möglicher einwirkender Lösungen zu vermeiden. Ebenso wäre bei Cerussit die Anwesen-

heit weiterer Karbonate (insbesondere Calcit) bzw. ein höherer  $\text{CO}_2$ -Partialdruck von großem Vorteil, um die Pb-Ionen zu binden. Sind sulfidische Pb-Mineralisationen vorhanden (z.B. Schwarzer Jura), darf das Gestein keinen oxidativen Prozessen ausgesetzt werden.

Im Falle von Zink sollten bei der Wiederverwendung von Gesteinsmaterialien mit Smithsonit die pH-Werte einwirkender Wässer nicht unterhalb von 7 liegen, um Grenzwertüberschreitungen von Zn nach der TVO (5mg/l) zu verhindern. Die Anwesenheit von Calcit und  $\text{CO}_2$  ist günstig. Zur Gewährleistung der Stabilität von Smithsonit sind stark reduzierende Milieus (<-200mV) zu vermeiden. Auch sollten keine Lösungen mit erhöhten Salzlasten auf das Gestein einwirken können. Demgegenüber fördern im Falle von sulfidischen Zn-Mineralen oxidierende Milieus die Freisetzung von Zn.

Bei Cadmium sind zur Vermeidung von Grenzwertüberschreitungen nach TVO (5µg/l) bzw. LAGA (2µg/l [Z0, Z1.1] bei einer Wiederverwertung Cd-karbonatreichen (Otavit) Gesteins pH-Werte < 7 zu verhindern. Auch dürfen keine erhöhten Salzlasten bei der Wiederverwendung auftreten.

Generell sollten stark SM-sulfidhaltige Gesteine, aufgrund einer erhöhten Löslichkeit sowohl der Schwermetalle als auch des Schwefels (Oxidation zu Sulfat), nicht in oxidierenden Bereichen wiederverwendet werden.

Auf Grundlage der durchgeführten Untersuchungen entstand letztlich eine Klassifizierung der Gesteine zum Zweck ihrer umweltschonenden Wiederverwendung. Dabei wurden die Gesteinsmaterialien verschiedenen Belastungsklassen zugeordnet, die sich an den Maßgaben von TVO, KLOKE-Liste, LAGA u.a. orientieren.

Es wird belegt, daß für die Einteilung in Gefährungsklassen die eluierbaren Schadstoffe der Gesteine sowie der Anteil an C-org. maßgebend sind. Als Hauptgröße der eluierbaren Anteile ist das Sulfat zu nennen. Für die Bewertung und Einteilung der Gesteine ist somit die Bestimmung des Sulfatgehaltes im Eluat, des Gesamtgehaltes an organischem Kohlenstoff sowie der toxischen Elemente im Eluat (nach den Richtlinien von TVO bzw. LAGA) hinreichend und notwendig. Insgesamt konnten 5 Gefährungsgruppen unterschieden werden, deren Belastungspotential von *keine Gefährdung* bis *sehr starke Gefährdung* im Falle der Wiederverwendung des Materiales reicht.

Insgesamt weisen 50% der Sedimente des Lias eine mäßige bis sehr starke Gefährdung auf. Diese beruht auf hohen Anteilen an Sulfid sowie an leicht eluierbaren toxischen Elementen, wobei es sich überwiegend um Schwermetalle handelt. Im Verbreitungsraum dieser Serien ist daher besondere Vorsicht bei der Wiederverwendung von Sedimentgesteinen geboten. 11% der Keuperschichten bewirken eine

starke bis sehr starke Gefährdung, was in der Hauptsache auf die hohen Sulfatgehalte in den nicht ausgelagten Schichten des Gipskeuper zurückzuführen ist (so sollten die Gipshorizonte des nicht gelaugten km1 nur an Ort und Stelle wiederverwendet werden).

Das Belastungsproblem bei der Wiederverwertung liegt somit in der Hauptsache bei den Serien des Lias. Seit längerem bekannt und in dieser Untersuchung bestätigt und genauer quantifiziert ist die Belastung der Schichten des Lias ε.

Läßt man die Bereiche außer acht, in welchen die Schichten des Lias anstehen, so weisen 87% der geologischen Formationen keine bzw. nur schwache Gefährdungen auf. D.h., der ganz überwiegende Anteil von abgebauten Gesteinen kann uneingeschränkt in Regionen anderer geologischer Zusammensetzung verbracht und gelagert werden. Aufgrund des relativ großen Anteiles an den höheren Gefährungsklassen sollten Gesteine des Schwarzen Jura grundsätzlich nur im Ausstrichbereich des Lias wiederverwendet werden.

## **Anhang**

## **Tabellen zu Kapitel 3: Entnahmestellen der Proben / Probenlisten**

Die folgenden Tabellen listen die einzelnen Proben und ihre Entnahmestellen auf. Wenn möglich, wurden Rechts- und Hochwerte sowie Ortsbezeichnungen angegeben. Da jedoch nicht alle geologischen Karten bzw. TK-Blätter greifbar waren, können manche Probennahmestellen nur mit ihrer Ortsbezeichnung angegeben werden.

**Tab. 3.2.2.: Probenliste 1**

| ID | Geologische Formation                | TK-Nr. | Rechts-Wert | Hoch-Wert | Lokation                                        |
|----|--------------------------------------|--------|-------------|-----------|-------------------------------------------------|
| 1  | so, Röttone                          | 7218   | 34 84 125   | 53 98 200 | westlich Althengstett, nördlich des Tafelberges |
| 2  | so, Röttone                          | 7218   | 34 84 125   | 53 98 200 | s.o.                                            |
| 3  | so, Röttone                          | 7218   | 34 84 125   | 53 98 200 | s.o.                                            |
| 4  | so, Röttone                          | 7218   | 34 84 125   | 53 98 200 | s.o.                                            |
| 5  | so, Röttone                          | 7218   | 34 84 125   | 53 98 200 | s.o.                                            |
| 6  | so, Röttone                          | 7218   | 34 84 125   | 53 98 200 | s.o.                                            |
| 7  | so, Röttone                          | 7218   | 34 84 125   | 53 98 200 | s.o.                                            |
| 8  | so, Röttone                          | 7218   | 34 84 125   | 53 98 200 | s.o.                                            |
| 9  | so, Röttone                          | 7218   | 34 84 125   | 53 98 200 | s.o.                                            |
| 10 | so, Röttone                          | 7218   | 34 84 125   | 53 98 200 | s.o.                                            |
| 11 | mo2, Mergel/Tone an d. Basis         |        |             |           | Steinbruch bei Rielingshausen                   |
| 12 | mo2, Mergel/Tone an d. Basis         |        |             |           | s.o.                                            |
| 13 | mo2, Mergel/Tone an d. Basis         |        |             |           | s.o.                                            |
| 14 | mo2, Mergel/Tone an d. Basis         |        |             |           | s.o.                                            |
| 15 | mo2, Mergel/Tone an d. Basis         |        |             |           | s.o.                                            |
| 16 | mo2, Tonhorizonte                    |        |             |           | Steinbruch bei Rielingshausen                   |
| 17 | mo2, Tonhorizonte                    |        |             |           | s.o.                                            |
| 18 | mo2, Tonhorizonte                    |        |             |           | s.o.                                            |
| 19 | mo2, Tonhorizonte                    |        |             |           | s.o.                                            |
| 20 | mo2, Tonhorizonte                    |        |             |           | s.o.                                            |
| 21 | mo2, Tonhorizonte                    |        |             |           | s.o.                                            |
| 22 | mo2, Tonhorizonte                    |        |             |           | s.o.                                            |
| 23 | mo2, Tonhorizonte                    |        |             |           | s.o.                                            |
| 24 | mo2, Tonhorizonte                    |        |             |           | s.o.                                            |
| 25 | mo2, Tonhorizonte                    |        |             |           | s.o.                                            |
| 26 | mo2, Mergel/Tone im oberen Abschnitt |        |             |           | Steinbruch bei Rielingshausen                   |
| 27 | mo2, Mergel/Tone i.o. Abschnitt      |        |             |           | s.o.                                            |
| 28 | mo2, Mergel/Tone i.o. Abschnitt      |        |             |           | s.o.                                            |
| 29 | mo2, Mergel/Tone i.o. Abschnitt      |        |             |           | s.o.                                            |
| 30 | mo2, Mergel/Tone i.o. Abschnitt      |        |             |           | s.o.                                            |
| 31 | ku Basis, Vitriolschiefer            |        |             |           | Steinbruch bei Rielingshausen                   |
| 32 | ku Basis, Vitriolschiefer            |        |             |           | s.o.                                            |
| 33 | ku Basis, Vitriolschiefer            |        |             |           | s.o.                                            |
| 34 | ku Basis, Vitriolschiefer            |        |             |           | s.o.                                            |
| 35 | ku Basis, Vitriolschiefer            |        |             |           | s.o.                                            |
| 36 | ku Basis, Vitriolschiefer            |        |             |           | s.o.                                            |
| 37 | ku Basis, Vitriolschiefer            |        |             |           | s.o.                                            |
| 38 | ku Basis, Vitriolschiefer            |        |             |           | s.o.                                            |
| 39 | ku Basis, Vitriolschiefer            |        |             |           | s.o.                                            |
| 40 | ku Basis, Vitriolschiefer            |        |             |           | s.o.                                            |
| 41 | ku, Estherienschichten               |        |             |           | Steinbruch bei Rielingshausen                   |
| 42 | ku, Estherienschichten               |        |             |           | s.o.                                            |
| 43 | ku, Estherienschichten               |        |             |           | s.o.                                            |
| 44 | ku, Estherienschichten               |        |             |           | s.o.                                            |
| 45 | ku, Estherienschichten               |        |             |           | s.o.                                            |
| 46 | km1, Grundgipsschichten              | 7220   | 35 01 250   | 54 06 250 | Leonberg/Eltingen, Park                         |
| 47 | km1, Grundgipsschichten              | 7220   | 35 01 250   | 54 06 250 | s.o.                                            |
| 48 | km1, Grundgipsschichten              | 7220   | 35 01 250   | 54 06 250 | s.o.                                            |



| ID  | Geologische Formation                    | TK-Nr. | Rechts-Wert | Hoch-Wert | Lokation                                       |
|-----|------------------------------------------|--------|-------------|-----------|------------------------------------------------|
| 49  | km1, Grundgipsschichten                  | 7220   | 35 01 250   | 54 06 250 | s.o.                                           |
| 50  | km1, Grundgipsschichten                  | 7220   | 35 01 250   | 54 06 250 | s.o.                                           |
| 51  | km1, Grundgipsschichten                  | 7220   | 35 01 250   | 54 06 250 | s.o.                                           |
| 52  | km1, Grundgipsschichten                  | 7220   | 35 01 250   | 54 06 250 | s.o.                                           |
| 53  | km1, Grundgipsschichten                  | 7220   | 35 01 250   | 54 06 250 | s.o.                                           |
| 54  | km1, Grundgipsschichten                  | 7220   | 35 01 250   | 54 06 250 | s.o.                                           |
| 55  | km1, Grundgipsschichten                  | 7220   | 35 01 250   | 54 06 250 | s.o.                                           |
| 56  | km1, Bochinger Horizont                  | 7220   | 35 01 875   | 54 04 950 | Hinterer Ehrenberg, südöstlich Eltingen        |
| 57  | km1, Bochinger Horizont                  | 7220   | 35 01 875   | 54 04 950 | s.o.                                           |
| 58  | km1, Bochinger Horizont                  | 7220   | 35 01 875   | 54 04 950 | s.o.                                           |
| 59  | km1, Bochinger Horizont                  | 7220   | 35 01 875   | 54 04 950 | s.o.                                           |
| 60  | km1, Bochinger Horizont                  | 7220   | 35 01 875   | 54 04 950 | s.o.                                           |
| 61  | km1, Bochinger Horizont                  | 7220   | 35 01 875   | 54 04 950 | s.o.                                           |
| 62  | km1, Dunkelrote Mergel                   | 7220   | 35 00 500   | 54 04 975 | Hinterer Ehrenberg, südöstlich Eltingen        |
| 63  | km1, Dunkelrote Mergel                   | 7220   | 35 00 500   | 54 04 975 | s.o.                                           |
| 64  | km1, Dunkelrote Mergel                   | 7220   | 35 00 500   | 54 04 975 | s.o.                                           |
| 65  | km1, Dunkelrote Mergel                   | 7220   | 35 00 500   | 54 04 975 | s.o.                                           |
| 66  | km1, Dunkelrote Mergel                   | 7220   | 35 00 500   | 54 04 975 | s.o.                                           |
| 67  | km1, Mittlerer Gipshorizont              | 7220   | 35 02 000   | 54 05 000 | Hinterer Ehrenberg, südöstlich Eltingen        |
| 68  | km1, Mittlerer Gipshorizont              | 7220   | 35 02 000   | 54 05 000 | s.o.                                           |
| 69  | km1, Mittlerer Gipshorizont              | 7220   | 35 02 000   | 54 05 000 | s.o.                                           |
| 70  | km1, Mittlerer Gipshorizont              | 7220   | 35 02 000   | 54 05 000 | s.o.                                           |
| 71  | km1, Mittlerer Gipshorizont              | 7220   | 35 02 000   | 54 05 000 | s.o.                                           |
| 72  | km1, Estheriensschichten                 | 7220   | 35 00 975   | 54 04 300 | Hinterer Ehrenberg, südöstlich Eltingen        |
| 73  | km1, Estheriensschichten                 | 7220   | 35 00 975   | 54 04 300 | s.o.                                           |
| 74  | km1, Estheriensschichten                 | 7220   | 35 00 975   | 54 04 300 | s.o.                                           |
| 75  | km1, Estheriensschichten                 | 7220   | 35 00 975   | 54 04 300 | s.o.                                           |
| 76  | km1, Estheriensschichten                 | 7220   | 35 00 975   | 54 04 300 | s.o.                                           |
| 77  | km1, Estheriensschichten                 | 7220   | 35 00 975   | 54 04 300 | s.o.                                           |
| 78  | km2, dunkle Tonsteine im Schilfsandstein | 7220   | 35 00 950   | 54 03 800 | Hinterer Ehrenberg, südöstlich Eltingen        |
| 79  | km2, dunkle Tonst. i. Schilfsst.         | 7220   | 35 00 950   | 54 03 800 | s.o.                                           |
| 80  | km2, dunkle Tonst. i. Schilfsst.         | 7220   | 35 00 950   | 54 03 800 | s.o.                                           |
| 81  | km2, dunkle Tonst. i. Schilfsst.         | 7220   | 35 00 950   | 54 03 800 | s.o.                                           |
| 82  | km2, dunkle Tonst. i. Schilfsst.         | 7220   | 35 00 950   | 54 03 800 | s.o.                                           |
| 83  | km2, Dunkle Mergel des oberen km2        | 7220   | 35 00 900   | 54 04 100 | Hinterer Ehrenberg, südöstlich Eltingen        |
| 84  | km2, Dunkle Mergel d. ob. km2            | 7220   | 35 00 900   | 54 04 100 | s.o.                                           |
| 85  | km2, Dunkle Mergel d. ob. km2            | 7220   | 35 00 900   | 54 04 100 | s.o.                                           |
| 86  | km2, Dunkle Mergel d. ob. km2            | 7220   | 35 00 900   | 54 04 100 | s.o.                                           |
| 87  | km2, Dunkle Mergel d. ob. km2            | 7220   | 35 00 900   | 54 04 100 | s.o.                                           |
| 88  | km3u, Rote Wand                          | 7220   | 35 00 900   | 54 03 750 | Hinterer Ehrenberg, südöstlich Eltingen        |
| 89  | km3u, Rote Wand                          | 7220   | 35 00 900   | 54 03 750 | s.o.                                           |
| 90  | km3u, Rote Wand                          | 7220   | 35 00 900   | 54 03 750 | s.o.                                           |
| 91  | km3u, Rote Wand                          | 7220   | 35 00 900   | 54 03 750 | s.o.                                           |
| 92  | km3u, Rote Wand                          | 7220   | 35 00 900   | 54 03 750 | s.o.                                           |
| 93  | km3u, Rote Wand                          | 7220   | 35 00 900   | 54 03 750 | s.o.                                           |
| 94  | km3o, Bunte Mergel                       |        |             |           | Auf dem Stromberg bei Hohenhaslach             |
| 95  | km3o, Bunte Mergel                       |        |             |           | s.o.                                           |
| 96  | km3o, Bunte Mergel                       |        |             |           | s.o.                                           |
| 97  | km3o, Bunte Mergel                       |        |             |           | s.o.                                           |
| 98  | km3o, Bunte Mergel                       |        |             |           | s.o.                                           |
| 99  | km3o, Bunte Mergel                       |        |             |           | s.o.                                           |
| 100 | km3o, Bunte Mergel                       |        |             |           | s.o.                                           |
| 101 | km3o, Bunte Mergel                       |        |             |           | s.o.                                           |
| 102 | km3o, Bunte Mergel                       |        |             |           | s.o.                                           |
| 103 | km3o, Bunte Mergel                       |        |             |           | s.o.                                           |
| 104 | sj alpha1, Psilonotentone                | 7220   | 35 06 425   | 54 00 350 | Alter Steinbruch im Büsnauer Rain              |
| 105 | sj alpha1, Psilonotentone                | 7220   | 35 06 425   | 54 00 350 | s.o.                                           |
| 106 | sj alpha1, Psilonotentone                | 7220   | 35 06 425   | 54 00 350 | s.o.                                           |
| 107 | sj alpha1, Psilonotentone                | 7220   | 35 06 425   | 54 00 350 | s.o.                                           |
| 108 | sj alpha1, Psilonotentone                | 7220   | 35 06 425   | 54 00 350 | s.o.                                           |
| 109 | sj beta, Untere Schwarzjurate            | 7322   | 35 34 250   | 53 95 200 | Baugrube in Hochdorf, 100 m südlich der Kirche |
| 110 | sj beta, Untere Schwarzjurate            | 7322   | 35 34 250   | 53 95 200 | s.o.                                           |
| 111 | sj gamma, Untere Schwarzjura-mergel      | 7322   | 35 33 900   | 53 92 600 | Baugrube in Notzingen, Ortskern                |

| ID  | Geologische Formation             | TK-Nr. | Rechts-Wert | Hoch-Wert | Lokation                                                        |
|-----|-----------------------------------|--------|-------------|-----------|-----------------------------------------------------------------|
| 112 | sj gamma, U. Schwarzj.-Mergel     | 7322   | 35 33 900   | 53 92 600 | s.o.                                                            |
| 113 | sj gamma, U. Schwarzj.-Mergel     | 7322   | 35 33 900   | 53 92 600 | s.o.                                                            |
| 114 | sj gamma, U. Schwarzj.-Mergel     | 7322   | 35 33 900   | 53 92 600 | s.o.                                                            |
| 115 | sj gamma, U. Schwarzj.-Mergel     | 7322   | 35 33 900   | 53 92 600 | s.o.                                                            |
| 116 | sj delta, Obere Schwarzjuratone   | 7322   | 35 31 450   | 53 91 850 | Autobahnböschung zwischen Ötlingen und Notzingen                |
| 117 | sj delta, Obere Schwarzjuratone   | 7322   | 35 31 450   | 53 91 850 | s.o.                                                            |
| 118 | sj delta, Obere Schwarzjuratone   | 7322   | 35 31 450   | 53 91 850 | s.o.                                                            |
| 119 | sj epsilon1, Seegrasschiefer      | 7323   | 35 39 750   | 53 90 800 | Schieferbruch K. Gonser bei Ohmden                              |
| 120 | sj epsilon1, Seegrasschiefer      | 7323   | 35 39 750   | 53 90 800 | s.o.                                                            |
| 121 | sj epsilon1, Seegrasschiefer      | 7323   | 35 39 750   | 53 90 800 | s.o.                                                            |
| 122 | sj epsilon1, Seegrasschiefer      | 7323   | 35 39 750   | 53 90 800 | s.o.                                                            |
| 123 | sj epsilon1, Seegrasschiefer      | 7323   | 35 39 750   | 53 90 800 | s.o.                                                            |
| 124 | sj epsilon1, Seegrasschiefer      | 7323   | 35 39 750   | 53 90 800 | s.o.                                                            |
| 125 | sj epsilon1, Seegrasschiefer      | 7323   | 35 39 750   | 53 90 800 | s.o.                                                            |
| 126 | sj epsilon1, Seegrasschiefer      | 7323   | 35 39 750   | 53 90 800 | s.o.                                                            |
| 127 | sj epsilon1, Seegrasschiefer      | 7323   | 35 39 750   | 53 90 800 | s.o.                                                            |
| 128 | sj epsilon1, Seegrasschiefer      | 7323   | 35 39 750   | 53 90 800 | s.o.                                                            |
| 129 | sj epsilon2, Tonmergel            | 7323   | 35 39 750   | 53 90 800 | Schieferbruch K. Gonser bei Ohmden                              |
| 130 | sj epsilon2, Tonmergel            | 7323   | 35 39 750   | 53 90 800 | s.o.                                                            |
| 131 | sj epsilon2, Tonmergel            | 7323   | 35 39 750   | 53 90 800 | s.o.                                                            |
| 132 | sj epsilon2, Tonmergel            | 7323   | 35 39 750   | 53 90 800 | s.o.                                                            |
| 133 | sj epsilon2, Tonmergel            | 7323   | 35 39 750   | 53 90 800 | s.o.                                                            |
| 134 | sj epsilon2, Tonmergel            | 7323   | 35 39 750   | 53 90 800 | s.o.                                                            |
| 135 | sj epsilon2, Tonmergel            | 7323   | 35 39 750   | 53 90 800 | s.o.                                                            |
| 136 | sj epsilon2, Tonmergel            | 7323   | 35 39 750   | 53 90 800 | s.o.                                                            |
| 137 | sj epsilon2, Tonmergel            | 7323   | 35 39 750   | 53 90 800 | s.o.                                                            |
| 138 | sj epsilon2, Tonmergel            | 7323   | 35 39 750   | 53 90 800 | s.o.                                                            |
| 139 | sj epsilon2, Stinkkalke           | 7323   | 35 39 750   | 53 90 800 | Schieferbruch K. Gonser bei Ohmden                              |
| 140 | sj epsilon2, Stinkkalke           | 7323   | 35 39 750   | 53 90 800 | s.o.                                                            |
| 141 | sj epsilon2, Stinkkalke           | 7323   | 35 39 750   | 53 90 800 | s.o.                                                            |
| 142 | sj epsilon2, Stinkkalke           | 7323   | 35 39 750   | 53 90 800 | s.o.                                                            |
| 143 | sj epsilon2, Stinkkalke           | 7323   | 35 39 750   | 53 90 800 | s.o.                                                            |
| 144 | sj epsilon3, Wilde Schiefer       | 7323   | 35 39 750   | 53 90 800 | Schieferbruch K. Gonser bei Ohmden                              |
| 145 | sj epsilon3, Wilde Schiefer       | 7323   | 35 39 750   | 53 90 800 | s.o.                                                            |
| 146 | sj epsilon3, Wilde Schiefer       | 7323   | 35 39 750   | 53 90 800 | s.o.                                                            |
| 147 | sj epsilon3, Wilde Schiefer       | 7323   | 35 39 750   | 53 90 800 | s.o.                                                            |
| 148 | sj epsilon3, Wilde Schiefer       | 7323   | 35 39 750   | 53 90 800 | s.o.                                                            |
| 149 | sj epsilon3, Wilde Schiefer       | 7323   | 35 39 750   | 53 90 800 | s.o.                                                            |
| 150 | sj epsilon3, Wilde Schiefer       | 7323   | 35 39 750   | 53 90 800 | s.o.                                                            |
| 151 | sj epsilon3, Wilde Schiefer       | 7323   | 35 39 750   | 53 90 800 | s.o.                                                            |
| 152 | sj epsilon3, Wilde Schiefer       | 7323   | 35 39 750   | 53 90 800 | s.o.                                                            |
| 153 | sj epsilon3, Wilde Schiefer       | 7323   | 35 39 750   | 53 90 800 | s.o.                                                            |
| 154 | sj zeta, Obere Schwarzjura-mergel | 7322   | 35 33 500   | 53 93 300 | Hochdorf Richtung Notzingen                                     |
| 155 | sj zeta, Ob. Schwarzjuramergel    | 7322   | 35 33 500   | 53 93 300 | s.o.                                                            |
| 156 | sj zeta, Ob. Schwarzjuramergel    | 7322   | 35 33 500   | 53 93 300 | s.o.                                                            |
| 157 | sj zeta, Ob. Schwarzjuramergel    | 7322   | 35 33 500   | 53 93 300 | s.o.                                                            |
| 158 | sj zeta, Ob. Schwarzjuramergel    | 7322   | 35 33 500   | 53 93 300 | s.o.                                                            |
| 159 | bj alpha, Opalinuston             | 7323   |             |           | Albaufstieg Aichelberg, Tunnelröhren-Südende rechts d. Autobahn |
| 160 | bj alpha, Opalinuston             | 7323   |             |           | s.o.                                                            |
| 161 | bj alpha, Opalinuston             | 7323   |             |           | s.o.                                                            |
| 162 | bj alpha, Opalinuston             | 7323   |             |           | s.o.                                                            |
| 163 | bj alpha, Opalinuston             | 7323   |             |           | s.o.                                                            |
| 164 | bj alpha, Opalinuston             | 7323   |             |           | s.o.                                                            |
| 165 | bj alpha, Opalinuston             | 7323   |             |           | s.o.                                                            |
| 166 | bj alpha, Opalinuston             | 7323   |             |           | s.o.                                                            |
| 167 | bj alpha, Opalinuston             | 7323   |             |           | s.o.                                                            |
| 168 | bj alpha, Opalinuston             | 7323   |             |           | s.o.                                                            |
| 169 | bj alpha, Opalinuston             | 7323   |             |           | s.o.                                                            |
| 170 | bj alpha, Opalinuston             | 7323   |             |           | s.o.                                                            |
| 171 | bj alpha, Opalinuston             | 7323   |             |           | s.o.                                                            |
| 172 | bj alpha, Opalinuston             | 7323   |             |           | s.o.                                                            |
| 173 | bj alpha, Opalinuston             | 7323   |             |           | s.o.                                                            |
| 174 | wj alpha, Untere Weißjuramergel   | 7422   | 35 25 875   | 53 78 750 | Steinbruch am Hörnle                                            |
| 175 | wj alpha, Untere Weißjuramergel   | 7422   | 35 25 875   | 53 78 750 | s.o.                                                            |

| ID  | Geologische Formation           | TK-Nr. | Rechts-Wert | Hoch-Wert | Lokation          |
|-----|---------------------------------|--------|-------------|-----------|-------------------|
| 176 | wj alpha, Untere Weißjuramergel | 7422   | 35 25 875   | 53 78 750 | s.o.              |
| 177 | wj alpha, Untere Weißjuramergel | 7422   | 35 25 875   | 53 78 750 | s.o.              |
| 178 | wj alpha, Untere Weißjuramergel | 7422   | 35 25 875   | 53 78 750 | s.o.              |
| 179 | wj alpha, Untere Weißjuramergel | 7422   | 35 25 875   | 53 78 750 | s.o.              |
| 180 | wj alpha, Untere Weißjuramergel | 7422   | 35 25 875   | 53 78 750 | s.o.              |
| 181 | ob. wj gamma, Mergel            | 7422   |             |           | Hochwanger Steige |
| 182 | ob. wj gamma, Mergel            | 7422   |             |           | s.o.              |
| 183 | ob. wj gamma, Mergel            | 7422   |             |           | s.o.              |
| 184 | ob. wj gamma, Mergel            | 7422   |             |           | s.o.              |
| 185 | ob. wj gamma, Mergel            | 7422   |             |           | s.o.              |
| 186 | ob. wj gamma, Mergel            | 7422   |             |           | s.o.              |
| 187 | ob. wj gamma, Mergel            | 7422   |             |           | s.o.              |
| 188 | ob. wj gamma, Mergel            | 7422   |             |           | s.o.              |
| 189 | ob. wj gamma, Mergel            | 7422   |             |           | s.o.              |
| 190 | ob. wj gamma, Mergel            | 7422   |             |           | s.o.              |
| 191 | ob. wj gamma, Mergel            | 7422   |             |           | s.o.              |
| 192 | ob. wj gamma, Mergel            | 7422   |             |           | s.o.              |

Bis auf den Opalinuston (s.o.) wurden sämtliche Braunjuraproben den Bohrkernen der Bohrungen Gruibingen 401, 403 und 404 entnommen:

**Tab. 3.2.3.: Probenliste 2 (Bohrproben)**

| ID   | Geologische Formation            |
|------|----------------------------------|
| 3124 | bj beta; Zopfplatten             |
| 3125 | bj beta; Zopfplatten             |
| 3179 | bj beta; Zopfplatten             |
| 3258 | bj beta; Zopfplatten             |
| 3257 | bj beta; Zopfplatten             |
| 3172 | bj beta; Tolutariazone           |
| 3171 | bj beta; Tolutariazone           |
| 3253 | bj beta; Tolutariazone           |
| 3252 | bj beta; Tolutariazone           |
| 3165 | bj beta; unt. Donzdorfer Sandst. |
| 3164 | bj beta; unt. Donzdorfer Sandst. |
| 3163 | bj beta; unt. Donzdorfer Sandst. |
| 3162 | bj beta; unt. Donzdorfer Sandst. |
| 3161 | bj beta; unt. Donzdorfer Sandst. |
| 3160 | bj beta; unt. Donzdorfer Sandst. |
| 3243 | bj beta; unt. Donzdorfer Sandst. |
| 3242 | bj beta; unt. Donzdorfer Sandst. |
| 3241 | bj beta; unt. Donzdorfer Sandst. |
| 3240 | bj beta; unt. Donzdorfer Sandst. |
| 3348 | bj beta; unt. Donzdorfer Sandst. |
| 3347 | bj beta; unt. Donzdorfer Sandst. |
| 3156 | bj beta; Personatensandstein     |
| 3155 | bj beta; Personatensandstein     |
| 3154 | bj beta; Personatensandstein     |
| 3238 | bj beta; Personatensandstein     |
| 3237 | bj beta; Personatensandstein     |
| 3341 | bj beta; Personatensandstein     |
| 3148 | bj beta; ob. Donzdorfer Sandst.  |
| 3147 | bj beta; ob. Donzdorfer Sandst.  |
| 3146 | bj beta; ob. Donzdorfer Sandst.  |
| 3145 | bj beta; ob. Donzdorfer Sandst.  |
| 3144 | bj beta; ob. Donzdorfer Sandst.  |
| 3143 | bj beta; ob. Donzdorfer Sandst.  |
| 3232 | bj beta; ob. Donzdorfer Sandst.  |
| 3231 | bj beta; ob. Donzdorfer Sandst.  |
| 3230 | bj beta; ob. Donzdorfer Sandst.  |
| 3229 | bj beta; ob. Donzdorfer Sandst.  |
| 3228 | bj beta; ob. Donzdorfer Sandst.  |
| 3227 | bj beta; ob. Donzdorfer Sandst.  |
| 3332 | bj beta; ob. Donzdorfer Sandst.  |
| 3331 | bj beta; ob. Donzdorfer Sandst.  |
| 3330 | bj beta; ob. Donzdorfer Sandst.  |
| 3142 | bj gamma; Wedelsandstein         |
| 3141 | bj gamma; Wedelsandstein         |
| 3140 | bj gamma; Wedelsandstein         |
| 3139 | bj gamma; Wedelsandstein         |
| 3138 | bj gamma; Wedelsandstein         |
| 3226 | bj gamma; Wedelsandstein         |
| 3225 | bj gamma; Wedelsandstein         |
| 3224 | bj gamma; Wedelsandstein         |
| 3223 | bj gamma; Wedelsandstein         |
| 3222 | bj gamma; Wedelsandstein         |
| 3221 | bj gamma; Wedelsandstein         |
| 3220 | bj gamma; Wedelsandstein         |
| 3219 | bj gamma; Wedelsandstein         |

| ID   | Geologische Formation        |
|------|------------------------------|
| 3218 | bj gamma; Wedelsandstein     |
| 3217 | bj gamma; Wedelsandstein     |
| 3216 | bj gamma; Wedelsandstein     |
| 3329 | bj gamma; Wedelsandstein     |
| 3328 | bj gamma; Wedelsandstein     |
| 3327 | bj gamma; Wedelsandstein     |
| 3326 | bj gamma; Wedelsandstein     |
| 3325 | bj gamma; Wedelsandstein     |
| 3324 | bj gamma; Wedelsandstein     |
| 3323 | bj gamma; Wedelsandstein     |
| 3322 | bj gamma; Wedelsandstein     |
| 3321 | bj gamma; Wedelsandstein     |
| 3320 | bj gamma; Wedelsandstein     |
| 3319 | bj gamma; Wedelsandstein     |
| 3318 | bj gamma; Wedelsandstein     |
| 3317 | bj gamma; Wedelsandstein     |
| 3137 | bj delta; Dorsetensienbank   |
| 3315 | bj delta; Dorsetensienbank   |
| 3314 | bj delta; Dorsetensienbank   |
| 3313 | bj delta; Dorsetensienbank   |
| 3312 | bj delta; Dorsetensienbank   |
| 3311 | bj delta; Dorsetensienbank   |
| 3310 | bj delta; Dorsetensienbank   |
| 3309 | bj delta; Dorsetensienbank   |
| 3136 | bj delta; Humphriesi-Oolith  |
| 3215 | bj delta; Humphriesi-Oolith  |
| 3214 | bj delta; Humphriesi-Oolith  |
| 3213 | bj delta; Humphriesi-Oolith  |
| 3308 | bj delta; Humphriesi-Oolith  |
| 3212 | bj delta; Coronatenschichten |
| 3211 | bj delta; Coronatenschichten |
| 3210 | bj delta; Coronatenschichten |
| 3209 | bj delta; Coronatenschichten |
| 3208 | bj delta; Coronatenschichten |
| 3207 | bj delta; Coronatenschichten |
| 3135 | bj delta; Blagdeni-Schichten |
| 3134 | bj delta; Blagdeni-Schichten |
| 3133 | bj delta; Blagdeni-Schichten |
| 3132 | bj delta; Blagdeni-Schichten |
| 3131 | bj delta; Blagdeni-Schichten |
| 3130 | bj delta; Blagdeni-Schichten |
| 3307 | bj delta; Blagdeni-Schichten |
| 3306 | bj delta; Blagdeni-Schichten |
| 3305 | bj delta; Blagdeni-Schichten |
| 3304 | bj delta; Blagdeni-Schichten |
| 3129 | bj delta; Subfurcatus-Oolith |
| 3206 | bj delta; Subfurcatus-Oolith |
| 3303 | bj delta; Subfurcatus-Oolith |
| 3302 | bj delta; Subfurcatus-Oolith |
| 3301 | bj delta; Subfurcatus-Oolith |
| 3128 | bj delta; Hamitenton         |
| 3127 | bj delta; Hamitenton         |
| 3126 | bj delta; Hamitenton         |
| 3205 | bj delta; Hamitenton         |
| 3204 | bj delta; Hamitenton         |

| ID   | Geologische Formation           |
|------|---------------------------------|
| 3203 | bj delta; Hamitenton            |
| 3202 | bj delta; Hamitenton            |
| 3201 | bj delta; Hamitenton            |
| 3200 | bj delta; Hamitenton            |
| 3199 | bj delta; Hamitenton            |
| 3198 | bj delta; Hamitenton            |
| 3300 | bj delta; Hamitenton            |
| 3299 | bj delta; Hamitenton            |
| 3298 | bj delta; Hamitenton            |
| 3297 | bj delta; Hamitenton            |
| 3296 | bj delta; Hamitenton            |
| 3295 | bj delta; Hamitenton            |
| 3294 | bj delta; Hamitenton            |
| 3293 | bj delta; Hamitenton            |
| 3292 | bj delta; Parkinsoni-Oolith     |
| 3291 | bj epsilon; Obere Braunjuratone |
| 3290 | bj epsilon; Obere Braunjuratone |
| 3289 | bj epsilon; Obere Braunjuratone |
| 3288 | bj epsilon; Obere Braunjuratone |
| 3197 | bj zeta; Macrocephalus-Oolith   |
| 3196 | bj zeta; Macrocephalus-Oolith   |
| 3287 | bj zeta; Macrocephalus-Oolith   |
| 3195 | bj zeta; Ornatenton             |
| 3194 | bj zeta; Ornatenton             |
| 3193 | bj zeta; Ornatenton             |
| 3192 | bj zeta; Ornatenton             |
| 3191 | bj zeta; Ornatenton             |
| 3190 | bj zeta; Ornatenton             |
| 3189 | bj zeta; Ornatenton             |
| 3188 | bj zeta; Ornatenton             |
| 3187 | bj zeta; Ornatenton             |
| 3186 | bj zeta; Ornatenton             |
| 3286 | bj zeta; Ornatenton             |
| 3285 | bj zeta; Ornatenton             |
| 3284 | bj zeta; Ornatenton             |
| 3283 | bj zeta; Ornatenton             |
| 3282 | bj zeta; Ornatenton             |
| 3281 | bj zeta; Ornatenton             |
| 3280 | bj zeta; Ornatenton             |
| 3279 | bj zeta; Ornatenton             |
| 3278 | bj zeta; Ornatenton             |
| 3277 | bj zeta; Ornatenton             |
| 3276 | bj zeta; Ornatenton             |
| 3275 | wj alpha; Grenzglaukonit        |
| 3274 | wj alpha; Grenzglaukonit        |
| 3273 | wj alpha; Grenzglaukonit        |

Weiterhin fanden folgende zusätzliche Bohrproben Berücksichtigung:

**Tab. 3.2.4.: Probenliste 3 (zusätzliche Bohrproben 1)**

| <b>Stuttgart, Tunnel „Waldau“ SF1; Bohrung B3:</b> |                                   |                                                    |                       |
|----------------------------------------------------|-----------------------------------|----------------------------------------------------|-----------------------|
| <b>Probe</b>                                       | <b>Entnahme</b>                   | <b>Geologie, Gesteinsart</b>                       | <b>Kartiereinheit</b> |
| P1                                                 | Tunnelortsbrust,<br>Station 282,6 | oberste Stubensandsteinschichten; mürbe Sst.       | km4                   |
| P2                                                 | 6,9 m                             | Lias alpha2, Angulatenschichten; Sandstein         | he2                   |
| P3                                                 | 11,0 m                            | Lias alpha2, Angulatenschichten; Tonstein          | he2                   |
| P4                                                 | 18,7 m                            | Lias alpha2, Angulatenschichten; Sandstein, rostig | he2                   |
| P5                                                 | 16,6 m                            | Lias alpha1, Psilonotenschichten; Tonstein         | he1                   |
| P6                                                 | 18,4 m                            | Lias alpha1, Psilonotenschichten; Kalkstein        | he1                   |
| P7                                                 | 30,6 m                            | Knollenmergel                                      | km5                   |
| P8                                                 | 25,8 m                            | Rät; Tonstein                                      | ko                    |
| P9                                                 | 25,0 m                            | Psilonotenschichten; Kalkstein (Psilonotenbank)    | he1                   |
| P10                                                | 36,5 m                            | Knollenmergel                                      | km5                   |
| P11                                                | 30,0 m                            | Knollenmergel                                      | km5                   |
| P12                                                | 39,1 m                            | Knollenmergel                                      | km5                   |
| P13                                                | 42,9 m                            | Knollenmergel                                      | km5                   |
| P14                                                | 48,0 m                            | Knollenmergel                                      | km5                   |
| P15                                                | 52,0 m                            | Knollenmergel                                      | km5                   |
| P16                                                | 57,6 m                            | Knollenmergel                                      | km5                   |
| P17                                                | 61,3 m                            | Stubensandsteinschichten; ton. Sandstein           | km4                   |
| P18                                                | 65,0 m                            | Stubensandsteinschichten; Tonstein                 | km4                   |
| P19                                                | 65,5 m                            | Stubensandsteinschichten; Sandstein                | km4                   |

**Tab. 3.2.5.: Probenliste 4 (zusätzliche Bohrproben 2)**

| <b>Kernbohrung B 231:</b> |                          |                              |                       |                      |
|---------------------------|--------------------------|------------------------------|-----------------------|----------------------|
| <b>Probe</b>              | <b>Entnahmetiefe (m)</b> | <b>Geologie, Gesteinsart</b> | <b>Kartiereinheit</b> | <b>Synonym Probe</b> |
| P 1                       | 5,5                      | Lehrbergschichten            | km3l                  | DP1                  |
| <b>Kernbohrung B 12:</b>  |                          |                              |                       |                      |
| <b>Probe</b>              | <b>Entnahmetiefe (m)</b> | <b>Geologie, Gesteinsart</b> | <b>Kartiereinheit</b> | <b>Synonym Probe</b> |
| P5                        | 65,9                     | Untere Bunte Mergel          | km3u                  | EP5                  |
| P6                        | 67,3                     | Untere Bunte Mergel          | km3u                  | EP6                  |
| P7                        | 69,8                     | Untere Bunte Mergel          | km3u                  | EP7                  |
| P8                        | 80,7                     | Untere Bunte Mergel          | km3u                  | EP8                  |
| P9                        | 82,9                     | Untere Bunte Mergel          | km3u                  | EP9                  |
| P10                       | 85,6                     | Untere Bunte Mergel          | km3u                  | EP10                 |
| P12                       | 88,5                     | Schilfsandstein              | km2                   | EP12                 |
| P13                       | 95,6                     | Schilfsandstein              | km2                   | EP13                 |
| P14                       | 97,3                     | Schilfsandstein              | km2                   | EP14                 |

## **Tabellen und Abbildungen zu Kapitel 7:**

### **Meßwerte**

Tab. 7.A1.: Meßwerte Hauptelemente - Gesamtgehalte [mg/kg]

n.g. = nicht gemessen

| ID | Geologische Formation             | Al    | Na    | Ca     | Fe    | Mn   | K     | Mg    | SO <sub>4</sub> | C ges. | C org. |
|----|-----------------------------------|-------|-------|--------|-------|------|-------|-------|-----------------|--------|--------|
| NG | Untere Nachweisgrenze             | 1     | 1     | 4      | 2     | 2    | 9     | 1     | 2               |        |        |
| 1  | so, Röttone                       | 11636 | 70    | 5156   | 31813 | 132  | 6277  | 2396  | 272             | 1953   | n.g.   |
| 2  | so, Röttone                       | 10446 | 64    | 3586   | 24459 | 101  | 6637  | 2289  | 272             | 1197   | n.g.   |
| 3  | so, Röttone                       | 12512 | < 1,0 | 2174   | 25106 | 117  | 6818  | 2478  | 296             | 720    | n.g.   |
| 4  | so, Röttone                       | 10980 | < 1,0 | 2449   | 26506 | 134  | 5012  | 2369  | < 2,0           | 1387   | n.g.   |
| 5  | so, Röttone                       | 9720  | < 1,0 | 5568   | 19245 | 150  | 4831  | 2168  | 178             | 1880   | n.g.   |
| 6  | so, Röttone                       | 14189 | < 1,0 | 8191   | 26507 | 151  | 6583  | 2761  | 25              | 3250   | 1188   |
| 7  | so, Röttone                       | 11256 | < 1,0 | 5945   | 24061 | 128  | 6583  | 2312  | 25              | 2347   | n.g.   |
| 8  | so, Röttone                       | 12700 | < 1,0 | 25710  | 28669 | 941  | 6583  | 2341  | 152             | 8393   | 2812   |
| 9  | so, Röttone                       | 15496 | < 1,0 | 3960   | 31544 | 666  | 9076  | 2603  | 76              | 1265   | n.g.   |
| 10 | so, Röttone                       | 13692 | < 1,0 | 8203   | 24081 | 579  | 6762  | 2489  | 25              | 2700   | n.g.   |
| 11 | mo2, Mergel/Tone an d. Basis      | 11891 | 81    | 247552 | 13150 | 233  | 4792  | 28170 | 14577           | 76533  | 3890   |
| 12 | mo2, Mergel/Tone an d. Basis      | 9187  | < 1,0 | 262723 | 12189 | 196  | 2630  | 6474  | 2329            | 81020  | 3090   |
| 13 | mo2, Mergel/Tone an d. Basis      | 11572 | 124   | 251352 | 12780 | 202  | 4046  | 22610 | 6938            | 79683  | 2870   |
| 14 | mo2, Mergel/Tone an d. Basis      | 9867  | 88    | 267123 | 10408 | 211  | 3508  | 27231 | 12523           | 88905  | 2960   |
| 15 | mo2, Mergel/Tone an d. Basis      | 7757  | 75    | 241459 | 12117 | 183  | 2971  | 6343  | 14202           | 79000  | 3150   |
| 16 | mo2, Tonhorizonte                 | 19657 | 184   | 55666  | 27094 | 284  | 6184  | 30169 | 29205           | 30700  | 2860   |
| 17 | mo2, Tonhorizonte                 | 22026 | 142   | 53978  | 28393 | 284  | 8487  | 31211 | 31284           | 31300  | 3110   |
| 18 | mo2, Tonhorizonte                 | 23988 | 262   | 35374  | 28435 | 274  | 10248 | 24736 | 26925           | 22300  | 6090   |
| 19 | mo2, Tonhorizonte                 | 16552 | 371   | 102918 | 22485 | 271  | 6717  | 27531 | 25949           | 41800  | 3060   |
| 20 | mo2, Tonhorizonte                 | 23387 | 245   | 67171  | 28022 | 306  | 9721  | 32769 | 17162           | 32900  | 3760   |
| 21 | mo2, Tonhorizonte                 | 23682 | 375   | 60548  | 28572 | 300  | 11668 | 32338 | 27532           | 31400  | 3590   |
| 22 | mo2, Tonhorizonte                 | 23358 | 270   | 53722  | 27934 | 300  | 11609 | 32385 | 29286           | 31100  | 3570   |
| 23 | mo2, Tonhorizonte                 | 18951 | 393   | 81398  | 26542 | 264  | 5899  | 21303 | 37784           | 32600  | 4450   |
| 24 | mo2, Tonhorizonte                 | 26264 | 319   | 29509  | 29648 | 293  | 11974 | 26520 | 28001           | 20000  | 6920   |
| 25 | mo2, Tonhorizonte                 | 24338 | 369   | 52288  | 27974 | 322  | 8857  | 28969 | 29064           | 30400  | 4200   |
| 26 | mo2, Mergel/Tone im ob. Abschnitt | 14379 | 294   | 138160 | 18532 | 388  | 5899  | 49394 | 18021           | 66900  | 4860   |
| 27 | mo2, Mergel/Tone im ob. Abschnitt | 14168 | 332   | 119513 | 20007 | 342  | 6641  | 41447 | 21183           | 60300  | 5560   |
| 28 | mo2, Mergel/Tone im ob. Abschnitt | 11296 | 326   | 154975 | 17504 | 373  | 3870  | 51133 | 16391           | 69400  | 4860   |
| 29 | mo2, Mergel/Tone im ob. Abschnitt | 10784 | 326   | 197578 | 15677 | 349  | 5555  | 37864 | 15156           | 79700  | 4800   |
| 30 | mo2, Mergel/Tone im ob. Abschnitt | 9516  | 332   | 182764 | 15366 | 372  | 4995  | 49421 | 12018           | 85800  | 3780   |
| 31 | ku Basis, Vitriolschiefer         | 19249 | 227   | 11737  | 15244 | 135  | 9827  | 10598 | 10019           | 10400  | 7828   |
| 32 | ku Basis, Vitriolschiefer         | 19284 | 326   | 14216  | 14572 | 150  | 10380 | 10856 | 8406            | 8600   | n.g.   |
| 33 | ku Basis, Vitriolschiefer         | 16434 | 221   | 6705   | 12342 | 115  | 8717  | 8417  | 5299            | 6800   | n.g.   |
| 34 | ku Basis, Vitriolschiefer         | 19993 | 215   | 9029   | 14279 | 132  | 10011 | 9745  | 6334            | 8600   | n.g.   |
| 35 | ku Basis, Vitriolschiefer         | 19975 | 215   | 2508   | 19690 | 87   | 10380 | 7129  | 4769            | 4600   | n.g.   |
| 36 | ku Basis, Vitriolschiefer         | 20259 | 172   | 4005   | 26243 | 159  | 7976  | 8663  | 47230           | 7800   | n.g.   |
| 37 | ku Basis, Vitriolschiefer         | 19848 | 163   | 7272   | 14646 | 137  | 11640 | 10465 | 4480            | 6700   | n.g.   |
| 38 | ku Basis, Vitriolschiefer         | 19226 | 227   | 8357   | 14422 | 133  | 10268 | 9931  | 5780            | 7600   | n.g.   |
| 39 | ku Basis, Vitriolschiefer         | 17586 | 277   | 7985   | 13544 | 130  | 10623 | 9685  | 5564            | 7100   | n.g.   |
| 40 | ku Basis, Vitriolschiefer         | 20358 | 307   | 13187  | 14798 | 175  | 9200  | 11449 | 4022            | 9700   | 7607   |
| 41 | ku, Estherienschiefer             | 19033 | 233   | 5884   | 10182 | 52   | 12573 | 5693  | 539             | 3150   | n.g.   |
| 42 | ku, Estherienschiefer             | 17009 | 197   | 5128   | 9740  | 62   | 10446 | 5164  | 726             | 3280   | 4743   |
| 43 | ku, Estherienschiefer             | 17901 | 215   | 5744   | 11071 | 49   | 12396 | 6016  | 351             | 2500   | n.g.   |
| 44 | ku, Estherienschiefer             | 18524 | 123   | 7792   | 10742 | 57   | 10802 | 5985  | 328             | 3400   | 4675   |
| 45 | ku, Estherienschiefer             | 25298 | 324   | 6202   | 13345 | 78   | 15523 | 7091  | 328             | 3200   | n.g.   |
| 46 | km1, Grundgipsschichten           | 1835  | 134   | 227241 | 1386  | 28   | 1245  | < 1,0 | 496474          | 4200   | n.g.   |
| 47 | km1, Grundgipsschichten           | 1322  | 202   | 224604 | 863   | 10   | < 9,0 | 1906  | 501008          | 920    | n.g.   |
| 48 | km1, Grundgipsschichten           | 1040  | 288   | 222537 | 765   | 14   | 2503  | 1784  | 528212          | 1400   | n.g.   |
| 49 | km1, Grundgipsschichten           | 1399  | 361   | 220194 | 1021  | 22   | 2503  | 1986  | 491940          | 2200   | n.g.   |
| 50 | km1, Grundgipsschichten           | 2604  | 312   | 158022 | 2334  | 102  | < 9,0 | 16743 | 344836          | 15500  | n.g.   |
| 51 | km1, Grundgipsschichten           | 2995  | < 1,0 | 204433 | 2803  | 112  | < 9,0 | 19720 | 406297          | 16500  | n.g.   |
| 52 | km1, Grundgipsschichten           | 4756  | < 1,0 | 182726 | 3976  | 127  | < 9,0 | 32906 | 329975          | 29100  | n.g.   |
| 53 | km1, Grundgipsschichten           | 1985  | 166   | 208075 | 1384  | 5    | < 9,0 | 2934  | 491688          | 1100   | n.g.   |
| 54 | km1, Grundgipsschichten           | 1823  | < 1,0 | 218624 | 1328  | 8    | < 9,0 | 3022  | 509320          | 1700   | n.g.   |
| 55 | km1, Grundgipsschichten           | 1497  | < 1,0 | 228862 | 1386  | 54   | < 9,0 | 8498  | 514358          | 8000   | n.g.   |
| 56 | km1, Bochinger Horizont           | 23764 | 130   | 106582 | 16269 | 1320 | 6436  | 90865 | 1173            | 69650  | 2550   |
| 57 | km1, Bochinger Horizont           | 26040 | 364   | 66007  | 17497 | 836  | 9561  | 65447 | 1321            | 45200  | 3530   |
| 58 | km1, Bochinger Horizont           | 27295 | 328   | 64227  | 19404 | 868  | 11834 | 66855 | 3873            | 43600  | 3680   |
| 59 | km1, Bochinger Horizont           | 8859  | 139   | 99602  | 14335 | 429  | 1381  | 21571 | 186126          | 47200  | 1670   |
| 60 | km1, Bochinger Horizont           | 23299 | 290   | 71048  | 16482 | 850  | 9439  | 68630 | 3724            | 54000  | 3640   |
| 61 | km1, Bochinger Horizont           | 22596 | 299   | 70087  | 16841 | 895  | 9439  | 67380 | 1544            | 49100  | 2560   |
| 62 | km1, Dunkelrote Mergel            | 33817 | 308   | 89838  | 29781 | 511  | 13146 | 61547 | 627             | 41100  | 1500   |
| 63 | km1, Dunkelrote Mergel            | 38100 | 388   | 43261  | 34206 | 535  | 13556 | 70941 | 727             | 29200  | 2070   |
| 64 | km1, Dunkelrote Mergel            | 45841 | 361   | 34294  | 36022 | 435  | 18029 | 66173 | 330             | 22100  | 1960   |
| 65 | km1, Dunkelrote Mergel            | 42450 | 388   | 51519  | 33557 | 572  | 16206 | 77058 | 1321            | 32500  | 1910   |
| 66 | km1, Dunkelrote Mergel            | 39697 | 379   | 42862  | 32684 | 543  | 16003 | 69226 | 744             | 27400  | 1480   |
| 67 | km1, Mittlerer Gipshorizont       | 5678  | 103   | 188938 | 3838  | 13   | 1274  | 6027  | 351671          | 1800   | n.g.   |
| 68 | km1, Mittlerer Gipshorizont       | 5417  | < 1,0 | 167196 | 3408  | 22   | 1908  | 5705  | 391681          | 3300   | n.g.   |
| 69 | km1, Mittlerer Gipshorizont       | 15523 | 192   | 104751 | 12025 | 78   | 3806  | 19704 | 224567          | 3800   | n.g.   |
| 70 | km1, Mittlerer Gipshorizont       | 6052  | < 1,0 | 152386 | 4429  | 27   | 2066  | 6763  | 368748          | 1700   | n.g.   |
| 71 | km1, Mittlerer Gipshorizont       | 19895 | 136   | 127717 | 14549 | 195  | 8395  | 32585 | 245792          | 11500  | n.g.   |
| 72 | km1, Estherienschiefer            | 42329 | 172   | 10411  | 20065 | 158  | 14612 | 30353 | 437             | 6500   | n.g.   |
| 73 | km1, Estherienschiefer            | 22325 | 272   | 76806  | 16626 | 872  | 11617 | 76913 | 865             | 51100  | 2010   |
| 74 | km1, Estherienschiefer            | 36027 | 236   | 75429  | 22363 | 496  | 15604 | 54579 | 1823            | 31900  | 2360   |
| 75 | km1, Estherienschiefer            | 20116 | 254   | 72524  | 20003 | 742  | 10010 | 72240 | 916             | 47700  | 2170   |
| 76 | km1, Estherienschiefer            | 19796 | 181   | 60809  | 20782 | 653  | 10211 | 63269 | 437             | 39800  | 950    |
| 77 | km1, Estherienschiefer            | 18130 | 181   | 54797  | 18775 | 622  | 9607  | 57037 | 437             | 38300  | 6270   |

| ID   | Geologische Formation            | Al    | Na    | Ca     | Fe     | Mn   | K     | Mg    | SO <sub>4</sub> | C ges. | C org. |
|------|----------------------------------|-------|-------|--------|--------|------|-------|-------|-----------------|--------|--------|
| 78   | km2, dunkle Tonst. i. Schilfsst. | 20535 | 63    | 1943   | 32598  | 88   | 8395  | 9795  | 286             | 1600   | n.g.   |
| 79   | km2, dunkle Tonst. i. Schilfsst. | 24249 | 72    | 1654   | 36570  | 105  | 9808  | 9750  | 311             | 1100   | n.g.   |
| 80   | km2, dunkle Tonst. i. Schilfsst. | 17002 | < 1,0 | 1719   | 30018  | 99   | 8351  | 6908  | 235             | 1500   | n.g.   |
| 81   | km2, dunkle Tonst. i. Schilfsst. | 20510 | < 1,0 | 1408   | 34068  | 102  | 8351  | 7163  | 474             | 1100   | n.g.   |
| 82   | km2, dunkle Tonst. i. Schilfsst. | 21659 | 216   | 1564   | 37840  | 111  | 11798 | 7900  | 207             | 1500   | n.g.   |
| EP14 | Schilfsandstein                  | 21518 | 762   | 6768   | 23811  | 1758 | 32085 | 1966  | 6926            | 10200  | 2140   |
| EP13 | Schilfsandstein                  | 15602 | 574   | 1688   | 23449  | 495  | 20765 | 972   | 1299            | 4060   | n.g.   |
| EP12 | Schilfsandstein                  | 7580  | 1333  | 2411   | 16426  | 406  | 8066  | 408   | < 2,0           | 4390   | n.g.   |
| 83   | km2, Dunkle Mergel d. ob. km2    | 34873 | 278   | 3130   | 47663  | 120  | 20557 | 11117 | 280             | 1500   | 2020   |
| 84   | km2, Dunkle Mergel d. ob. km2    | 28011 | 305   | 89379  | 26656  | 412  | 13609 | 19912 | 1204            | 30800  | 1340   |
| 85   | km2, Dunkle Mergel d. ob. km2    | 33581 | 386   | 72958  | 27596  | 420  | 17201 | 19606 | 1253            | 25500  | 2540   |
| 86   | km2, Dunkle Mergel d. ob. km2    | 35759 | 305   | 3170   | 39267  | 117  | 21734 | 12911 | 207             | 1400   | 1710   |
| 87   | km2, Dunkle Mergel d. ob. km2    | 34613 | 386   | 39923  | 28089  | 616  | 11596 | 48126 | 499             | 24400  | 1680   |
| 88   | km3u, Rote Wand                  | 41146 | 431   | 5498   | 36800  | 141  | 20164 | 18491 | 304             | 2700   | n.g.   |
| 89   | km3u, Rote Wand                  | 49988 | 407   | 29396  | 37936  | 173  | 22898 | 24571 | 426             | 12000  | 3473   |
| 90   | km3u, Rote Wand                  | 46182 | 370   | 6668   | 37383  | 160  | 25456 | 19503 | 353             | 4000   | n.g.   |
| 91   | km3u, Rote Wand                  | 47264 | 425   | 5309   | 39974  | 140  | 25260 | 20416 | 294             | 1600   | n.g.   |
| 92   | km3u, Rote Wand                  | 35581 | 307   | 9070   | 30574  | 120  | 18721 | 15878 | 98              | 3900   | n.g.   |
| 93   | km3u, Rote Wand                  | 48232 | 389   | 19432  | 38113  | 153  | 25064 | 23536 | 294             | 7600   | 2381   |
| EP10 | km3u, Untere Bunte Mergel        | 21876 | 577   | 24466  | 19116  | 2674 | 25275 | 2405  | 3309            | 34000  | 7830   |
| EP9  | km3u, Untere Bunte Mergel        | 23089 | 615   | 18440  | 28911  | 2428 | 27169 | 1387  | 15584           | 22070  | 2120   |
| EP8  | km3u, Untere Bunte Mergel        | 23533 | 520   | 27209  | 30134  | 2610 | 27800 | 1374  | 23810           | 31800  | 1250   |
| EP7  | km3u, Untere Bunte Mergel        | 33518 | 539   | 7466   | 32748  | 1383 | 21476 | 4459  | 433             | 10150  | n.g.   |
| EP6  | km3u, Untere Bunte Mergel        | 28420 | 539   | 17090  | 27687  | 2460 | 20841 | 3967  | 6061            | 23450  | 1060   |
| EP5  | km3u, Untere Bunte Mergel        | 25073 | 615   | 11623  | 33702  | 2655 | 15112 | 3656  | 5628            | 23470  | 1220   |
| DP1  | km3l, Lehrbergsschichten         | 26226 | 776   | 5418   | 44399  | 1340 | 12887 | 2508  | 1732            | 8820   | 970    |
| 94   | km3o, Obere Bunte Mergel         | 41646 | 316   | 22875  | 19228  | 263  | 14490 | 35533 | 196             | 15000  | n.g.   |
| 95   | km3o, Obere Bunte Mergel         | 48814 | 307   | 14232  | 22248  | 219  | 18120 | 36786 | 196             | 10400  | n.g.   |
| 96   | km3o, Obere Bunte Mergel         | 26559 | 343   | 30026  | 22002  | 313  | 11844 | 31105 | 881             | 19700  | 2310   |
| 97   | km3o, Obere Bunte Mergel         | 30991 | 226   | 7608   | 15982  | 147  | 12865 | 18136 | 245             | 4000   | 2730   |
| 98   | km3o, Obere Bunte Mergel         | 20804 | 256   | 86813  | 15570  | 916  | 9954  | 79457 | 7246            | 55300  | 1310   |
| 99   | km3o, Obere Bunte Mergel         | 23560 | 346   | 16926  | 12239  | 153  | 9333  | 17868 | 759             | 9800   | 1260   |
| 100  | km3o, Obere Bunte Mergel         | 37550 | 391   | 34514  | 24133  | 393  | 13449 | 42019 | 1983            | 22100  | 3140   |
| 101  | km3o, Obere Bunte Mergel         | 32339 | 184   | 8460   | 17095  | 133  | 12219 | 22765 | 171             | 5300   | n.g.   |
| 102  | km3o, Obere Bunte Mergel         | 22310 | 741   | 85619  | 11925  | 707  | 6632  | 65174 | 2765            | 55600  | n.g.   |
| 103  | km3o, Obere Bunte Mergel         | 34421 | 319   | 8712   | 18287  | 143  | 12014 | 21910 | 377             | 4900   | n.g.   |
| P19  | km4, Stubensst. Sandstein        | 17994 | 627   | 830    | 3757   | 13   | 1195  | 4574  | 764             | 500    | n.g.   |
| P18  | km4, Stubensst. Tonstein         | 20792 | 673   | 2318   | 28131  | 33   | 5939  | 5156  | 228             | 800    | n.g.   |
| P17  | km4, Stubensst. ton. Sandstein   | 24599 | 828   | 23785  | 12180  | 344  | 5295  | 18140 | 979             | 14500  | n.g.   |
| P1   | km4, ob. Stubenssandst.          | 7101  | 191   | 362    | 1843   | 9    | 1081  | 1318  | 577             | 700    | n.g.   |
| P16  | km5, Knollenmergel               | 22390 | 911   | 7261   | 28373  | 91   | 7222  | 10718 | 40              | 7100   | 5830   |
| P15  | km5, Knollenmergel               | 26810 | 856   | 56857  | 22427  | 423  | 4005  | 21028 | 174             | 25800  | 1030   |
| P14  | km5, Knollenmergel               | 18946 | 883   | 77370  | 21005  | 849  | 3143  | 28288 | 830             | 39900  | 1100   |
| P13  | km5, Knollenmergel               | 21544 | 572   | 121975 | 21612  | 1015 | 3359  | 27588 | 316             | 50000  | 1160   |
| P12  | km5, Knollenmergel               | 18696 | 618   | 38738  | 19198  | 456  | 4221  | 18004 | 316             | 20200  | 3920   |
| P10  | km5, Knollenmergel               | 19363 | 627   | 47930  | 20024  | 264  | 5510  | 10805 | 370             | 20600  | 1310   |
| P7   | km5, Knollenmergel               | 10185 | 463   | 69533  | 21222  | 1201 | 3447  | 34782 | 2939            | 41000  | 1130   |
| P11  | km5, Knollenmergel               | 11105 | 499   | 82459  | 15582  | 1256 | 4866  | 39981 | 2858            | 48900  | 3650   |
| P8   | ko, Rhät-Tonstein                | 9688  | 209   | 5616   | 10294  | 67   | 1728  | 3075  | 29364           | 6800   | n.g.   |
| P9   | sj alpha1, Psilonotenkalk        | 2616  | 169   | 312047 | 15931  | 2303 | < 9,0 | 3052  | 36342           | 101400 | 8240   |
| P6   | sj alpha1, Psilonotenkalk        | 3364  | < 1,0 | 138974 | 7321   | 1177 | < 9,0 | 1765  | 6320            | 44000  | 1590   |
| P5   | sj alpha1, Psilonotentone        | 13842 | 372   | 21204  | 32561  | 320  | 5799  | 7802  | 15110           | 19900  | 5420   |
| 104  | sj alpha1, Psilonotentone        | 21917 | 121   | 3961   | 7310   | 70   | 4120  | 3423  | 325             | 6100   | 8036   |
| 105  | sj alpha1, Psilonotentone        | 26353 | 130   | 3367   | 10555  | 94   | 5169  | 3709  | 325             | 5900   | 8450   |
| 106  | sj alpha1, Psilonotentone        | 18613 | 130   | 3723   | 7318   | 55   | 3700  | 3218  | 300             | 3500   | n.g.   |
| 107  | sj alpha1, Psilonotentone        | 19624 | 103   | 3691   | 7306   | 36   | 956   | 3270  | 351             | 3700   | n.g.   |
| 108  | sj alpha1, Psilonotentone        | 21392 | 77    | 3843   | 8327   | 49   | 1795  | 3488  | 454             | 3600   | n.g.   |
| P4   | sj alpha2, Angulatensandstein    | 5556  | < 1,0 | 49058  | 112672 | 1405 | 1081  | 998   | 211378          | 29100  | 5380   |
| P3   | sj alpha2, Angulatentonstein     | 8967  | 109   | 66337  | 21364  | 434  | 1728  | 3620  | 10534           | 17700  | 2950   |
| P2   | sj alpha2, Angulatensandstein    | 6582  | < 1,0 | 171001 | 9465   | 714  | 1728  | 1095  | 1195            | 53300  | 2940   |
| 109  | sj beta, unt. Schwarzjuratone    | 21623 | 250   | 4159   | 34360  | 436  | 5564  | 4384  | 325             | 3400   | n.g.   |
| 110  | sj beta, unt. Schwarzjuratone    | 24469 | 232   | 4248   | 33598  | 414  | 5564  | 4549  | 557             | 3100   | n.g.   |
| 111  | sj gamma, unt. Schwarzjuramergel | 10365 | 486   | 228836 | 14949  | 952  | 3056  | 10981 | 7940            | 76500  | 4030   |
| 112  | sj gamma, unt. Schwarzjuramergel | 7484  | 340   | 327960 | 11268  | 908  | 1373  | 6435  | 7205            | 98260  | 3080   |
| 113  | sj gamma, unt. Schwarzjuramergel | 16107 | 558   | 191760 | 19325  | 790  | 5564  | 10325 | 21877           | 67500  | 7850   |
| 114  | sj gamma, unt. Schwarzjuramergel | 10669 | 604   | 226011 | 17981  | 1015 | 5282  | 9822  | 27808           | 76700  | 7120   |
| 115  | sj gamma, unt. Schwarzjuramergel | 11951 | 531   | 215285 | 17275  | 902  | 4521  | 9555  | 21509           | 71500  | 5440   |
| 116  | sj delta, ob. Schwarzjuratone    | 22093 | 386   | 65218  | 26886  | 899  | 5487  | 5233  | 827             | 29200  | 5600   |
| 117  | sj delta, ob. Schwarzjuratone    | 27570 | 722   | 49972  | 46494  | 1638 | 5897  | 6418  | 1430            | 21600  | 5390   |
| 118  | sj delta, ob. Schwarzjuratone    | 30630 | 758   | 51913  | 48793  | 1693 | 6512  | 5889  | 2008            | 23800  | 5170   |
| 119  | sj epsilon1, Seegrasschiefer     | 14071 | 277   | 142537 | 30202  | 326  | 4253  | 3933  | 96942           | 145600 | 103480 |
| 120  | sj epsilon1, Seegrasschiefer     | 14500 | 377   | 111932 | 24456  | 337  | 5897  | 4275  | 68963           | 100600 | 73260  |
| 121  | sj epsilon1, Seegrasschiefer     | 19477 | 359   | 105865 | 25625  | 320  | 6307  | 5701  | n.g.            | 109400 | 81400  |
| 122  | sj epsilon1, Seegrasschiefer     | 26182 | 368   | 107531 | 27472  | 327  | 8755  | 6387  | 68966           | 115400 | 78450  |
| 123  | sj epsilon1, Seegrasschiefer     | 16856 | 309   | 161337 | 26834  | 443  | 6553  | 4386  | 77398           | 145300 | 99700  |
| 124  | sj epsilon1, Seegrasschiefer     | 12826 | 281   | 153415 | 24216  | 359  | 3293  | 3983  | 73052           | 143400 | 106930 |
| 125  | sj epsilon1, Seegrasschiefer     | 15771 | 300   | 131247 | 37288  | 317  | 6148  | 3703  | 119038          | 142700 | 114100 |
| 126  | sj epsilon1, Seegrasschiefer     | 15075 | 290   | 148430 | 25200  | 323  | 6553  | 3894  | 75639           | 155400 | 101430 |
| 127  | sj epsilon1, Seegrasschiefer     | 15676 | 218   | 135152 | 27014  | 332  | 5945  | 3762  | 87666           | 155300 | 115870 |
| 128  | sj epsilon1, Seegrasschiefer     | 15264 | 281   | 141157 | 49068  | 316  | 6351  | 3869  | 156075          | 121200 | 86520  |



| ID   | Geologische Formation            | Al    | Na  | Ca     | Fe     | Mn   | K    | Mg    | SO <sub>4</sub> | C ges. | C org. |
|------|----------------------------------|-------|-----|--------|--------|------|------|-------|-----------------|--------|--------|
| 129  | sj epsilon2, Tonmergel           | 15676 | 290 | 140665 | 20509  | 328  | 6756 | 4948  | 55206           | 121100 | 76090  |
| 130  | sj epsilon2, Tonmergel           | 15684 | 261 | 135046 | 24676  | 334  | 3858 | 5137  | 72225           | 124030 | 86790  |
| 131  | sj epsilon2, Tonmergel           | 19673 | 242 | 124928 | 23154  | 330  | 5983 | 5602  | 62786           | 109510 | 74900  |
| 132  | sj epsilon2, Tonmergel           | 15864 | 288 | 135387 | 20960  | 340  | 4922 | 5227  | 56138           | 112600 | 82960  |
| 133  | sj epsilon2, Tonmergel           | 15768 | 233 | 136182 | 20155  | 324  | 5983 | 5041  | 53568           | 113400 | 75080  |
| 134  | sj epsilon2, Tonmergel           | 15696 | 224 | 131044 | 20585  | 338  | 7674 | 5085  | 54425           | 106500 | 78300  |
| 135  | sj epsilon2, Tonmergel           | 24042 | 462 | 116008 | 26403  | 314  | 9356 | 6229  | 77430           | 119600 | 82600  |
| 136  | sj epsilon2, Tonmergel           | 16666 | 279 | 120716 | 34380  | 334  | 6195 | 5254  | 104850          | 106900 | 72700  |
| 137  | sj epsilon2, Tonmergel           | 11643 | 187 | 137335 | 23820  | 60   | 5543 | 4462  | 71718           | 111500 | 74000  |
| 138  | sj epsilon2, Tonmergel           | 12499 | 242 | 145867 | 21607  | 64   | 6146 | 4818  | 62682           | 109700 | 82500  |
| 139  | sj epsilon2, Stinkkalke          | 7535  | 297 | 275281 | 21439  | 175  | 3121 | 7468  | 50738           | 100700 | 41920  |
| 140  | sj epsilon2, Stinkkalke          | 4170  | 306 | 309531 | 15006  | 183  | 2514 | 5668  | 39567           | 125900 | 32860  |
| 141  | sj epsilon2, Stinkkalke          | 2064  | 151 | 263357 | 11792  | 199  | 2311 | 3474  | 62446           | 109900 | 18250  |
| 142  | sj epsilon2, Stinkkalke          | 2230  | 114 | 392974 | 12377  | 253  | 1091 | 4423  | 30496           | 111900 | 25110  |
| 143  | sj epsilon2, Stinkkalke          | 6954  | 306 | 218663 | 20812  | 119  | 2919 | 7590  | 49769           | 117300 | 66700  |
| 144  | sj epsilon3, Wilde Schiefer      | 11465 | 278 | 125858 | 28009  | 61   | 5342 | 3667  | 77466           | 125300 | 85510  |
| 145  | sj epsilon3, Wilde Schiefer      | 12318 | 198 | 123777 | 27372  | 326  | 5301 | 3664  | 74505           | 128000 | 85890  |
| 146  | sj epsilon3, Wilde Schiefer      | 11362 | 261 | 129035 | 28051  | 345  | 4085 | 4012  | 81826           | 122900 | 84760  |
| 147  | sj epsilon3, Wilde Schiefer      | 10255 | 139 | 132171 | 32978  | 340  | 5273 | 3879  | 101367          | 127000 | 93560  |
| 148  | sj epsilon3, Wilde Schiefer      | 11166 | 126 | 127193 | 28927  | 357  | 4896 | 3812  | 86321           | 128300 | 85910  |
| 149  | sj epsilon3, Wilde Schiefer      | 10809 | 171 | 145922 | 29475  | 396  | 3475 | 3613  | 93703           | 142700 | 104460 |
| 150  | sj epsilon3, Wilde Schiefer      | 12975 | 306 | 124804 | 42252  | 329  | 3678 | 3947  | 121108          | 114500 | 83980  |
| 151  | sj epsilon3, Wilde Schiefer      | 10130 | 324 | 136522 | 34994  | 357  | 3475 | 3745  | 112009          | 121700 | 90880  |
| 152  | sj epsilon3, Wilde Schiefer      | 12986 | 180 | 131511 | 28051  | 361  | 3882 | 4347  | 86805           | 124500 | 88380  |
| 153  | sj epsilon3, Wilde Schiefer      | 15428 | 246 | 133286 | 27011  | 350  | 5273 | 4623  | 79236           | 123200 | 90640  |
| 154  | sj zeta, ob. Schwarzuramergel    | 17344 | 345 | 117639 | 27523  | 656  | 3888 | 3384  | 35592           | 114180 | 74040  |
| 155  | sj zeta, ob. Schwarzuramergel    | 16885 | 282 | 115346 | 26926  | 592  | 4680 | 3514  | 46731           | 124300 | 106780 |
| 156  | sj zeta, ob. Schwarzuramergel    | 19594 | 264 | 92574  | 29210  | 468  | 6259 | 3857  | 8750            | 87800  | 78420  |
| 157  | sj zeta, ob. Schwarzuramergel    | 17114 | 201 | 70698  | 35104  | 379  | 6062 | 3153  | 9233            | 110100 | 100040 |
| 158  | sj zeta, ob. Schwarzuramergel    | 18916 | 139 | 114038 | 27608  | 498  | 5865 | 3527  | 41497           | 124900 | 108710 |
| 159  | bj alpha, Opalinuston            | 28405 | 416 | 19945  | 39241  | 425  | 8223 | 7240  | 12639           | 26200  | 20320  |
| 160  | bj alpha, Opalinuston            | 29549 | 362 | 17454  | 33644  | 313  | 7635 | 7024  | 20197           | 23400  | 18380  |
| 161  | bj alpha, Opalinuston            | 29547 | 423 | 17232  | 33239  | 357  | 7486 | 7077  | 11198           | 23800  | 20080  |
| 162  | bj alpha, Opalinuston            | 29064 | 379 | 13426  | 27672  | 303  | 7486 | 6965  | 10920           | 22200  | 19220  |
| 163  | bj alpha, Opalinuston            | 29018 | 423 | 17846  | 29235  | 298  | 8070 | 7119  | 13549           | 24700  | 20610  |
| 164  | bj alpha, Opalinuston            | 29305 | 468 | 15754  | 29256  | 293  | 7486 | 7210  | 14282           | 24000  | 21120  |
| 165  | bj alpha, Opalinuston            | 29041 | 325 | 11307  | 22977  | 219  | 6315 | 6781  | 11603           | 24200  | 19790  |
| 166  | bj alpha, Opalinuston            | 27051 | 370 | 15084  | 26132  | 255  | 7681 | 6937  | 12690           | 21300  | 17740  |
| 167  | bj alpha, Opalinuston            | 22391 | 432 | 35964  | 67645  | 775  | 6119 | 8962  | 14889           | 38100  | 18390  |
| 168  | bj alpha, Opalinuston            | 25925 | 379 | 16407  | 34110  | 360  | 7876 | 6909  | 12867           | 24900  | 21030  |
| 169  | bj alpha, Opalinuston            | 28549 | 560 | 28790  | 116137 | 922  | 6157 | 13941 | 11612           | 47400  | 10960  |
| 170  | bj alpha, Opalinuston            | 33021 | 569 | 25178  | 65987  | 600  | 7356 | 9044  | 17425           | 37200  | 19130  |
| 171  | bj alpha, Opalinuston            | 27856 | 436 | 14772  | 27778  | 271  | 7755 | 7117  | 13907           | 25600  | 23110  |
| 172  | bj alpha, Opalinuston            | 27339 | 445 | 19973  | 31277  | 344  | 8750 | 6997  | 15386           | 27100  | 21110  |
| 173  | bj alpha, Opalinuston            | 27586 | 445 | 18248  | 30765  | 377  | 7755 | 7228  | 12785           | 27100  | 20360  |
| 3124 | bj beta; Zopfplatten             | 7829  | 367 | 44314  | 32398  | 504  | 2068 | 4867  | 17730           | 29440  | 12710  |
| 3125 | bj beta; Zopfplatten             | 7396  | 268 | 31777  | 25613  | 263  | 2007 | 3138  | 36780           | 20400  | n.g.   |
| 3179 | bj beta; Zopfplatten             | 24054 | 512 | 34514  | 132802 | 1202 | 3297 | 15502 | 16170           | 45620  | 10160  |
| 3258 | bj beta; Zopfplatten             | 6348  | 460 | 39874  | 34631  | 475  | 1862 | 4916  | 20070           | 27910  | 14800  |
| 3257 | bj beta; Zopfplatten             | 4094  | 298 | 48353  | 15140  | 336  | 1302 | 2713  | 20940           | 24510  | n.g.   |
| 3172 | bj beta; Tolutariazone           | 11820 | 328 | 8709   | 23256  | 585  | 2954 | 5487  | 12930           | 13890  | 12000  |
| 3171 | bj beta; Tolutariazone           | 9322  | 286 | 15302  | 43792  | 785  | 2657 | 5817  | 15450           | 22180  | 9840   |
| 3253 | bj beta; Tolutariazone           | 10912 | 403 | 99479  | 137206 | 1959 | 1576 | 15038 | 7830            | 60090  | 6140   |
| 3252 | bj beta; Tolutariazone           | 6686  | 226 | 41432  | 18691  | 293  | 1470 | 3419  | 13410           | 22470  | 15450  |
| 3165 | bj beta; unt. Donzdorfer Sandst. | 1566  | 37  | 1682   | 3021   | 28   | 775  | 403   | 7230            | 6960   | n.g.   |
| 3164 | bj beta; unt. Donzdorfer Sandst. | 1089  | 19  | 445    | 5321   | 191  | 239  | 117   | 990             | 2370   | n.g.   |
| 3163 | bj beta; unt. Donzdorfer Sandst. | 1824  | 45  | 6811   | 70821  | 1029 | 369  | 313   | 3900            | 3130   | n.g.   |
| 3162 | bj beta; unt. Donzdorfer Sandst. | 4988  | 60  | 2297   | 19047  | 172  | 2067 | 1729  | 3540            | 7550   | n.g.   |
| 3161 | bj beta; unt. Donzdorfer Sandst. | 2636  | 54  | 10604  | 108596 | 1154 | 928  | 826   | 7500            | 12220  | n.g.   |
| 3160 | bj beta; unt. Donzdorfer Sandst. | 2558  | 152 | 114255 | 32610  | 1351 | 1320 | 2254  | 40800           | 42400  | 6680   |
| 3243 | bj beta; unt. Donzdorfer Sandst. | 6639  | 104 | 5594   | 13277  | 75   | 2732 | 1540  | 27150           | 18470  | 15750  |
| 3242 | bj beta; unt. Donzdorfer Sandst. | 3262  | 74  | 3259   | 10955  | 62   | 1004 | 780   | 16680           | 5520   | n.g.   |
| 3241 | bj beta; unt. Donzdorfer Sandst. | 1608  | 96  | 5647   | 33181  | 479  | 347  | 2431  | 7740            | 9000   | n.g.   |
| 3240 | bj beta; unt. Donzdorfer Sandst. | 10321 | 313 | 21721  | 146657 | 1694 | 2823 | 12548 | 10380           | 42890  | 5960   |
| 3348 | bj beta; unt. Donzdorfer Sandst. | 8047  | 214 | 4712   | 25155  | 94   | 2309 | 1240  | 47280           | 15950  | 13110  |
| 3347 | bj beta; unt. Donzdorfer Sandst. | 20227 | 279 | 3211   | 27986  | 103  | 3976 | 2186  | 42870           | 21320  | 16860  |
| 3156 | bj beta; Personatensandstein     | 2826  | 65  | 6039   | 20564  | 138  | 1556 | 1997  | 23670           | 16390  | n.g.   |
| 3155 | bj beta; Personatensandstein     | 3297  | 54  | 3770   | 14236  | 46   | 1673 | 660   | 22290           | 15630  | n.g.   |
| 3154 | bj beta; Personatensandstein     | 2868  | 77  | 5764   | 24694  | 141  | 1387 | 1944  | 22050           | 14350  | 10970  |
| 3238 | bj beta; Personatensandstein     | 2369  | 99  | 24788  | 33786  | 668  | 1015 | 2605  | 24150           | 16720  | 4580   |
| 3237 | bj beta; Personatensandstein     | 3602  | 102 | 7727   | 27153  | 171  | 1665 | 1609  | 34890           | 13830  | n.g.   |
| 3341 | bj beta; Personatensandstein     | 8309  | 251 | 5904   | 38779  | 177  | 2247 | 3272  | 34680           | 15960  | 1550   |
| 3148 | bj beta; ob. Donzdorfer Sandst.  | 1250  | 42  | 16291  | 13878  | 265  | 898  | 944   | 18000           | 13110  | n.g.   |
| 3147 | bj beta; ob. Donzdorfer Sandst.  | 3021  | 61  | 4300   | 22849  | 88   | 1846 | 1197  | 14400           | 49620  | 20390  |
| 3146 | bj beta; ob. Donzdorfer Sandst.  | 3081  | 238 | 17845  | 176114 | 1999 | 1741 | 13426 | 36900           | 21660  | n.g.   |
| 3145 | bj beta; ob. Donzdorfer Sandst.  | 2127  | 106 | 22693  | 50294  | 787  | 1247 | 4035  | 15000           | 25460  | n.g.   |
| 3144 | bj beta; ob. Donzdorfer Sandst.  | 909   | 52  | 16844  | 12276  | 284  | 711  | 1352  | 11100           | 11060  | n.g.   |
| 3143 | bj beta; ob. Donzdorfer Sandst.  | 2437  | 278 | 124928 | 146438 | 3466 | 878  | 12829 | 15000           | 72400  | 2980   |
| 3232 | bj beta; ob. Donzdorfer Sandst.  | 3467  | 103 | 5576   | 19593  | 120  | 1787 | 1422  | 29400           | 14740  | n.g.   |
| 3231 | bj beta; ob. Donzdorfer Sandst.  | 4613  | 109 | 4668   | 31952  | 1521 | 1887 | 2241  | 33600           | 25220  | n.g.   |
| 3230 | bj beta; ob. Donzdorfer Sandst.  | 5432  | 199 | 223619 | 111755 | 2204 | 344  | 2961  | 1800            | 74230  | 1660   |
| 3229 | bj beta; ob. Donzdorfer Sandst.  | 5363  | 295 | 74762  | 35195  | 1206 | 1642 | 3207  | 9000            | 34670  | n.g.   |
| 3228 | bj beta; ob. Donzdorfer Sandst.  | 1382  | 426 | 183572 | 32848  | 3501 | 600  | 4091  | 10800           | 66100  | 3160   |
| 3227 | bj beta; ob. Donzdorfer Sandst.  | 1892  | 192 | 67725  | 39071  | 1122 | 1056 | 3682  | 12600           | 30960  | n.g.   |
| 3332 | bj beta; ob. Donzdorfer Sandst.  | 17591 | 415 | 167909 | 197786 | 3545 | 540  | 4780  | 7200            | 66420  | 4490   |
| 3331 | bj beta; ob. Donzdorfer Sandst.  | 22422 | 725 | 149686 | 81456  | 2785 | 880  | 5985  | 4500            | 63830  | 2750   |
| 3330 | bj beta; ob. Donzdorfer Sandst.  | 2815  | 319 | 88615  | 67186  | 3036 | 999  | 6228  | 8700            | 46260  | 3180   |

| ID   | Geologische Formation           | Al    | Na  | Ca     | Fe     | Mn   | K    | Mg    | SO <sub>4</sub> | C ges. | C org. |
|------|---------------------------------|-------|-----|--------|--------|------|------|-------|-----------------|--------|--------|
| 3142 | bj gamma; Wedelsandstein        | 4629  | 149 | 27979  | 14583  | 289  | 2746 | 2570  | 20700           | 20900  | n.g.   |
| 3141 | bj gamma; Wedelsandstein        | 4469  | 197 | 36993  | 24238  | 380  | 2673 | 3945  | 12900           | 23600  | n.g.   |
| 3140 | bj gamma; Wedelsandstein        | 4279  | 188 | 34620  | 23996  | 332  | 2760 | 4052  | 12900           | 20800  | n.g.   |
| 3139 | bj gamma; Wedelsandstein        | 5087  | 262 | 41793  | 51084  | 615  | 2370 | 4800  | 9000            | 28800  | 7250   |
| 3138 | bj gamma; Wedelsandstein        | 4141  | 171 | 50579  | 11615  | 187  | 2252 | 2817  | 17100           | 21500  | n.g.   |
| 3226 | bj gamma; Wedelsandstein        | 5221  | 296 | 26395  | 18881  | 366  | 2747 | 3181  | 15600           | 20300  | n.g.   |
| 3225 | bj gamma; Wedelsandstein        | 9457  | 327 | 27203  | 22452  | 519  | 3845 | 4138  | 23100           | 22900  | n.g.   |
| 3224 | bj gamma; Wedelsandstein        | 8505  | 378 | 38181  | 20026  | 378  | 3920 | 4245  | 15900           | 22800  | n.g.   |
| 3223 | bj gamma; Wedelsandstein        | 11350 | 380 | 17611  | 11809  | 166  | 4590 | 3950  | 15600           | 12900  | n.g.   |
| 3222 | bj gamma; Wedelsandstein        | 8416  | 439 | 38116  | 40442  | 588  | 3726 | 5354  | 12900           | 27600  | 8610   |
| 3221 | bj gamma; Wedelsandstein        | 7013  | 449 | 46305  | 31343  | 363  | 3231 | 4967  | 8400            | 27000  | n.g.   |
| 3220 | bj gamma; Wedelsandstein        | 4548  | 326 | 70121  | 10778  | 315  | 2388 | 2553  | 10500           | 26400  | n.g.   |
| 3219 | bj gamma; Wedelsandstein        | 5653  | 322 | 28926  | 7962   | 176  | 2965 | 2376  | 10800           | 15200  | n.g.   |
| 3218 | bj gamma; Wedelsandstein        | 2210  | 212 | 100807 | 17576  | 867  | 1267 | 8309  | 10800           | 41200  | 2720   |
| 3217 | bj gamma; Wedelsandstein        | 4226  | 515 | 13083  | 27633  | 142  | 2659 | 4621  | 15000           | 16600  | n.g.   |
| 3216 | bj gamma; Wedelsandstein        | 3110  | 373 | 58785  | 9532   | 215  | 1932 | 2431  | 13500           | 23500  | n.g.   |
| 3329 | bj gamma; Wedelsandstein        | 3555  | 218 | 76050  | 28412  | 1108 | 1398 | 2771  | 15600           | 33000  | 10000  |
| 3328 | bj gamma; Wedelsandstein        | 13266 | 441 | 26322  | 15463  | 396  | 3705 | 2705  | 15900           | 21400  | n.g.   |
| 3327 | bj gamma; Wedelsandstein        | 10102 | 468 | 30729  | 22049  | 437  | 3560 | 3464  | 17400           | 22400  | n.g.   |
| 3326 | bj gamma; Wedelsandstein        | 10727 | 503 | 56845  | 22448  | 469  | 3631 | 3891  | 19200           | 31200  | n.g.   |
| 3325 | bj gamma; Wedelsandstein        | 9716  | 498 | 76952  | 18614  | 469  | 3406 | 3560  | 21900           | 34400  | 7540   |
| 3324 | bj gamma; Wedelsandstein        | 9461  | 566 | 46620  | 46275  | 668  | 4067 | 4779  | 15600           | 28700  | 5770   |
| 3323 | bj gamma; Wedelsandstein        | 5373  | 425 | 67999  | 18762  | 444  | 3150 | 3254  | 17700           | 32100  | 8000   |
| 3322 | bj gamma; Wedelsandstein        | 6207  | 477 | 48871  | 15589  | 361  | 3318 | 3197  | 11400           | 26400  | n.g.   |
| 3321 | bj gamma; Wedelsandstein        | 6850  | 470 | 37960  | 15635  | 269  | 3577 | 3308  | 9300            | 22500  | n.g.   |
| 3320 | bj gamma; Wedelsandstein        | 6520  | 405 | 43456  | 15704  | 218  | 3679 | 3427  | 13200           | 23900  | n.g.   |
| 3319 | bj gamma; Wedelsandstein        | 2920  | 297 | 104042 | 16781  | 321  | 2159 | 2272  | 26100           | 34800  | 4560   |
| 3318 | bj gamma; Wedelsandstein        | 5785  | 412 | 62239  | 14771  | 255  | 3432 | 2905  | 16200           | 28500  | 11800  |
| 3317 | bj gamma; Wedelsandstein        | 6923  | 462 | 38188  | 14179  | 187  | 4086 | 3160  | 18000           | 18900  | n.g.   |
| 3137 | bj delta; Dorsetensienbank      | 7554  | 156 | 23930  | 17501  | 128  | 3317 | 4075  | 21000           | 16600  | n.g.   |
| 3315 | bj delta; Dorsetensienbank      | 7291  | 429 | 15773  | 14299  | 85   | 3989 | 2925  | 18600           | 14300  | n.g.   |
| 3314 | bj delta; Dorsetensienbank      | 5444  | 387 | 30719  | 26493  | 184  | 2900 | 3607  | 18600           | 21500  | n.g.   |
| 3313 | bj delta; Dorsetensienbank      | 3172  | 215 | 96430  | 11080  | 412  | 1602 | 2242  | 7800            | 35300  | n.g.   |
| 3312 | bj delta; Dorsetensienbank      | 2980  | 682 | 173908 | 18676  | 294  | 2050 | 3454  | 21300           | 57100  | 4690   |
| 3311 | bj delta; Dorsetensienbank      | 2666  | 567 | 173108 | 24633  | 348  | 1802 | 4043  | 20100           | 60900  | 5890   |
| 3310 | bj delta; Dorsetensienbank      | 4804  | 528 | 82853  | 36516  | 303  | 2456 | 5185  | 20100           | 38100  | 6760   |
| 3309 | bj delta; Dorsetensienbank      | 4616  | 464 | 177515 | 48203  | 944  | 1924 | 5292  | 21300           | 62600  | 4220   |
| 3136 | bj delta; Humphriesi-Oolith     | 1943  | 138 | 99636  | 18188  | 789  | 1068 | 7070  | 8400            | 38700  | 8170   |
| 3215 | bj delta; Humphriesi-Oolith     | 3111  | 321 | 61216  | 40913  | 285  | 1698 | 3115  | 38400           | 26200  | n.g.   |
| 3214 | bj delta; Humphriesi-Oolith     | 4671  | 568 | 71873  | 18693  | 264  | 2344 | 4001  | 20400           | 27700  | n.g.   |
| 3213 | bj delta; Humphriesi-Oolith     | 5971  | 624 | 67016  | 24024  | 251  | 2685 | 4792  | 23400           | 28100  | 6970   |
| 3308 | bj delta; Humphriesi-Oolith     | 9673  | 663 | 68671  | 156619 | 449  | 2438 | 10578 | 19800           | 44900  | 6940   |
| 3212 | bj delta; Coronatenschichten    | 8292  | 765 | 115909 | 49449  | 366  | 2631 | 6789  | 23100           | 41700  | 6750   |
| 3211 | bj delta; Coronatenschichten    | 5806  | 711 | 113067 | 32730  | 278  | 2765 | 5581  | 41100           | 43400  | 8850   |
| 3210 | bj delta; Coronatenschichten    | 6418  | 719 | 62005  | 27882  | 204  | 2923 | 6357  | 34500           | 28200  | n.g.   |
| 3209 | bj delta; Coronatenschichten    | 8764  | 717 | 69162  | 27808  | 229  | 3552 | 6908  | 27900           | 30900  | n.g.   |
| 3208 | bj delta; Coronatenschichten    | 8247  | 329 | 228395 | 109607 | 941  | 1745 | 6022  | 12000           | 73600  | 3500   |
| 3207 | bj delta; Coronatenschichten    | 2860  | 258 | 227938 | 21751  | 538  | 1629 | 4374  | 19200           | 82900  | 2460   |
| 3135 | bj delta; Blagdeni-Schichten    | 10136 | 216 | 22264  | 15833  | 126  | 3290 | 4207  | 18900           | 17500  | n.g.   |
| 3134 | bj delta; Blagdeni-Schichten    | 8688  | 199 | 47111  | 17960  | 236  | 2784 | 3819  | 19350           | 28750  | n.g.   |
| 3133 | bj delta; Blagdeni-Schichten    | 12850 | 356 | 62448  | 23682  | 259  | 3834 | 5783  | 20580           | 30800  | n.g.   |
| 3132 | bj delta; Blagdeni-Schichten    | 12281 | 388 | 84064  | 38898  | 312  | 3531 | 6413  | 28320           | 40000  | 7580   |
| 3131 | bj delta; Blagdeni-Schichten    | 13087 | 377 | 77591  | 30040  | 267  | 4181 | 7828  | 34950           | 34400  | n.g.   |
| 3130 | bj delta; Blagdeni-Schichten    | 10886 | 354 | 62940  | 26137  | 206  | 3850 | 6914  | 37770           | 34200  | 10000  |
| 3307 | bj delta; Blagdeni-Schichten    | 6839  | 694 | 73697  | 26105  | 253  | 3309 | 5576  | 31920           | 36750  | 8700   |
| 3306 | bj delta; Blagdeni-Schichten    | 6121  | 692 | 83637  | 28871  | 257  | 3179 | 6367  | 27960           | 39800  | 9850   |
| 3305 | bj delta; Blagdeni-Schichten    | 5977  | 620 | 88438  | 34332  | 247  | 3193 | 6384  | 47610           | 43700  | 10580  |
| 3304 | bj delta; Blagdeni-Schichten    | 6705  | 682 | 65750  | 25986  | 211  | 3462 | 5979  | 31470           | 31700  | n.g.   |
| 3129 | bj delta; Subfucatus-Oolith     | 13424 | 249 | 96596  | 164724 | 684  | 2264 | 10268 | 23520           | 54200  | 6420   |
| 3206 | bj delta; Subfucatus-Oolith     | 11905 | 672 | 38948  | 108429 | 458  | 3082 | 9558  | 35520           | 34000  | 8720   |
| 3303 | bj delta; Subfucatus-Oolith     | 6084  | 698 | 74794  | 38832  | 216  | 2834 | 5381  | 55260           | 38800  | 11360  |
| 3302 | bj delta; Subfucatus-Oolith     | 7176  | 584 | 70489  | 114048 | 611  | 2609 | 12491 | 30480           | 50700  | 8170   |
| 3301 | bj delta; Subfucatus-Oolith     | 8552  | 598 | 42277  | 105425 | 542  | 2893 | 11331 | 40710           | 44800  | 7890   |
| 3128 | bj delta; Hamitenton            | 8347  | 380 | 86556  | 32820  | 336  | 2901 | 5260  | 47340           | 39780  | 7700   |
| 3127 | bj delta; Hamitenton            | 12034 | 325 | 63660  | 26639  | 276  | 3562 | 5587  | 33210           | 30760  | n.g.   |
| 3126 | bj delta; Hamitenton            | 11599 | 288 | 92263  | 24541  | 291  | 3544 | 4810  | 32280           | 39450  | 7320   |
| 3205 | bj delta; Hamitenton            | 11524 | 760 | 51157  | 30699  | 263  | 3718 | 5750  | 37770           | 25950  | n.g.   |
| 3204 | bj delta; Hamitenton            | 10766 | 731 | 87612  | 30447  | 348  | 3527 | 5528  | 38970           | 41820  | 9600   |
| 3203 | bj delta; Hamitenton            | 10672 | 753 | 67023  | 30509  | 294  | 3482 | 5454  | 40440           | 33280  | n.g.   |
| 3202 | bj delta; Hamitenton            | 10869 | 749 | 69106  | 24375  | 256  | 3559 | 5320  | 29490           | 33530  | n.g.   |
| 3201 | bj delta; Hamitenton            | 9988  | 788 | 81141  | 27748  | 261  | 3260 | 5329  | 41700           | 43220  | 12340  |
| 3200 | bj delta; Hamitenton            | 12401 | 785 | 54600  | 26989  | 262  | 3558 | 5292  | 31770           | 33170  | n.g.   |
| 3199 | bj delta; Hamitenton            | 7652  | 634 | 74436  | 96203  | 435  | 2593 | 4023  | 183900          | 84390  | 11120  |
| 3198 | bj delta; Hamitenton            | 10851 | 803 | 61074  | 32636  | 362  | 3264 | 5568  | 40350           | 28670  | n.g.   |
| 3300 | bj delta; Hamitenton            | 7430  | 721 | 62404  | 22210  | 310  | 3058 | 4695  | 26580           | 32500  | n.g.   |
| 3299 | bj delta; Hamitenton            | 7942  | 779 | 67803  | 30174  | 284  | 3379 | 5123  | 35670           | 34100  | n.g.   |
| 3298 | bj delta; Hamitenton            | 7223  | 659 | 68786  | 31533  | 260  | 2998 | 4653  | 50970           | 34100  | n.g.   |
| 3297 | bj delta; Hamitenton            | 7618  | 711 | 80385  | 24229  | 277  | 3014 | 4759  | 28890           | 37180  | n.g.   |
| 3296 | bj delta; Hamitenton            | 6164  | 687 | 100117 | 27601  | 334  | 2862 | 4620  | 45360           | 44600  | 9870   |
| 3295 | bj delta; Hamitenton            | 8205  | 755 | 76280  | 31805  | 258  | 3161 | 4903  | 45750           | 37860  | 9780   |
| 3294 | bj delta; Hamitenton            | 8757  | 708 | 61225  | 27096  | 232  | 3185 | 4716  | 40590           | 35300  | n.g.   |
| 3293 | bj delta; Hamitenton            | 7773  | 708 | 67818  | 38449  | 248  | 2873 | 4579  | 62700           | 40700  | n.g.   |
| 3292 | bj delta; Parkinsoni-Oolith     | 6408  | 426 | 218464 | 78200  | 4048 | 1521 | 4868  | 19260           | 74490  | 5240   |
| 3291 | bj epsilon; Obere Braunjuratone | 12571 | 714 | 25331  | 28697  | 120  | 2826 | 4943  | 28260           | 19270  | 11260  |
| 3290 | bj epsilon; Obere Braunjuratone | 13621 | 766 | 25748  | 29742  | 133  | 2954 | 5163  | 27240           | 19330  | 11780  |
| 3289 | bj epsilon; Obere Braunjuratone | 18460 | 865 | 131962 | 85284  | 2461 | 2260 | 5557  | 46680           | 44700  | 6360   |
| 3288 | bj epsilon; Obere Braunjuratone | 13396 | 600 | 89393  | 64607  | 590  | 3634 | 6842  | 47040           | 47590  | 11730  |
| 3197 | bj zeta; Macrocephalus-Oolith   | 17451 | 623 | 115074 | 192991 | 1917 | 2351 | 7403  | 16980           | 45690  | 5900   |
| 3196 | bj zeta; Macrocephalus-Oolith   | 17446 | 789 | 25712  | 30606  | 113  | 3301 | 5479  | 27480           | 21550  | 1280   |
| 3287 | bj zeta; Macrocephalus-Oolith   | 16828 | 460 | 160004 | 122935 | 737  | 2650 | 5606  | 6900            | 58830  | n.g.   |

| ID   | Geologische Formation         | Al    | Na   | Ca     | Fe     | Mn  | K    | Mg    | SO <sub>4</sub> | C ges. | C org. |
|------|-------------------------------|-------|------|--------|--------|-----|------|-------|-----------------|--------|--------|
| 3195 | bj zeta; Ornatenton           | 18049 | 779  | 26574  | 31475  | 123 | 3353 | 5549  | 24330           | 19320  | n.g.   |
| 3194 | bj zeta; Ornatenton           | 11356 | 754  | 121596 | 43450  | 525 | 3546 | 6561  | 30450           | 46560  | 3890   |
| 3193 | bj zeta; Ornatenton           | 25419 | 899  | 101055 | 105721 | 736 | 4306 | 8957  | 15060           | 41130  | 6480   |
| 3192 | bj zeta; Ornatenton           | 7938  | 701  | 146980 | 21015  | 577 | 3232 | 5128  | 20760           | 49830  | 6760   |
| 3191 | bj zeta; Ornatenton           | 10358 | 799  | 80385  | 25844  | 234 | 4021 | 6369  | 25500           | 33720  | n.g.   |
| 3190 | bj zeta; Ornatenton           | 9380  | 776  | 97141  | 21506  | 263 | 3613 | 6335  | 16830           | 36690  | n.g.   |
| 3189 | bj zeta; Ornatenton           | 15160 | 894  | 51925  | 23561  | 201 | 4939 | 10573 | 16320           | 25240  | n.g.   |
| 3188 | bj zeta; Ornatenton           | 22953 | 1309 | 73495  | 26319  | 235 | 6146 | 12400 | 12810           | 23740  | n.g.   |
| 3187 | bj zeta; Ornatenton           | 19097 | 1200 | 99774  | 25918  | 184 | 6747 | 7060  | 12810           | 29400  | n.g.   |
| 3186 | bj zeta; Ornatenton           | 10896 | 732  | 95107  | 22555  | 187 | 4293 | 5400  | 11580           | 36090  | n.g.   |
| 3286 | bj zeta; Ornatenton           | 12838 | 810  | 119235 | 40775  | 614 | 4240 | 6486  | 34830           | 47350  | 11760  |
| 3285 | bj zeta; Ornatenton           | 10577 | 700  | 112382 | 22710  | 376 | 4340 | 5297  | 25620           | 43780  | 9190   |
| 3284 | bj zeta; Ornatenton           | 10034 | 637  | 109479 | 19837  | 309 | 4091 | 6175  | 14760           | 43620  | 8250   |
| 3283 | bj zeta; Ornatenton           | 8338  | 660  | 78180  | 116582 | 252 | 3779 | 5623  | 237030          | 34410  | n.g.   |
| 3282 | bj zeta; Ornatenton           | 21621 | 931  | 61545  | 28627  | 240 | 6262 | 11754 | 11730           | 23580  | n.g.   |
| 3281 | bj zeta; Ornatenton           | 16671 | 811  | 43210  | 25877  | 214 | 5108 | 11944 | 13830           | 22730  | n.g.   |
| 3280 | bj zeta; Ornatenton           | 18331 | 791  | 49972  | 30503  | 266 | 5403 | 14854 | 11580           | 24650  | n.g.   |
| 3279 | bj zeta; Ornatenton           | 14426 | 751  | 65675  | 25526  | 221 | 4479 | 12017 | 12600           | 29700  | n.g.   |
| 3278 | bj zeta; Ornatenton           | 12904 | 713  | 89634  | 20472  | 170 | 4678 | 6337  | 12480           | 36340  | n.g.   |
| 3277 | bj zeta; Ornatenton           | 13682 | 660  | 87138  | 21331  | 149 | 4566 | 5827  | 14970           | 38000  | 11000  |
| 3276 | bj zeta; Ornatenton           | 12689 | 694  | 92764  | 21936  | 160 | 4508 | 5640  | 16680           | 40550  | 12470  |
| 3275 | wj alpha; Grenzglaukonit      | 12286 | 646  | 96526  | 20088  | 148 | 4643 | 5098  | 12120           | 40900  | 12770  |
| 3274 | wj alpha; Grenzglaukonit      | 22884 | 1486 | 139885 | 27244  | 144 | 9374 | 5941  | 10770           | 39370  | n.g.   |
| 3273 | wj alpha; Grenzglaukonit      | 6747  | 789  | 221127 | 13261  | 188 | 3317 | 5339  | 15930           | 72380  | 6230   |
| 174  | wj alpha, unt. Weißjuramergel | 17979 | 409  | 226507 | 14282  | 151 | 8153 | 6659  | 9369            | 73000  | 4630   |
| 175  | wj alpha, unt. Weißjuramergel | 18961 | 489  | 231784 | 13885  | 149 | 7755 | 7244  | 10236           | 67400  | 4680   |
| 176  | wj alpha, unt. Weißjuramergel | 14990 | 445  | 201456 | 14929  | 139 | 6357 | 6600  | 16456           | 65000  | 4430   |
| 177  | wj alpha, unt. Weißjuramergel | 16949 | 428  | 215049 | 15341  | 144 | 5779 | 6938  | 11944           | 68000  | 5720   |
| 178  | wj alpha, unt. Weißjuramergel | 18359 | 472  | 236048 | 14184  | 152 | 7820 | 7252  | 10822           | 74000  | 4340   |
| 179  | wj alpha, unt. Weißjuramergel | 19406 | 507  | 216062 | 14449  | 141 | 7820 | 6960  | 9987            | 69200  | 4890   |
| 180  | wj alpha, unt. Weißjuramergel | 15505 | 525  | 230026 | 14281  | 148 | 5574 | 6721  | 10701           | 69800  | 4550   |
| 181  | ob. wj gamma, Mergel          | 10042 | 410  | 320554 | 8685   | 292 | 5164 | 6155  | 2471            | 88800  | 3020   |
| 182  | ob. wj gamma, Mergel          | 8709  | 295  | 290035 | 8528   | 313 | 3931 | 5858  | 2471            | 93800  | 2860   |
| 183  | ob. wj gamma, Mergel          | 4844  | 236  | 330394 | 4967   | 344 | 4139 | 5467  | 2395            | 101300 | 2230   |
| 184  | ob. wj gamma, Mergel          | 7326  | 315  | 280714 | 5935   | 259 | 6272 | 8052  | 6140            | 88900  | 2970   |
| 185  | ob. wj gamma, Mergel          | 6498  | 378  | 272823 | 6940   | 311 | 2457 | 8467  | 6115            | 91300  | 3110   |
| 186  | ob. wj gamma, Mergel          | 5228  | 189  | 322405 | 6267   | 293 | 2457 | 5743  | 2726            | 95300  | 1960   |
| 187  | ob. wj gamma, Mergel          | 3586  | 198  | 368496 | 4553   | 307 | 2031 | 5843  | 2714            | 105800 | 1410   |
| 188  | ob. wj gamma, Mergel          | 3796  | 279  | 314672 | 4474   | 264 | 2457 | 5541  | 2714            | 89900  | 1510   |
| 189  | ob. wj gamma, Mergel          | 8120  | 342  | 291215 | 7457   | 327 | 6482 | 7976  | 4430            | 90900  | 2920   |
| 190  | ob. wj gamma, Mergel          | 9532  | 351  | 301896 | 8936   | 365 | 4369 | 6501  | 2911            | 85100  | 2810   |
| 191  | ob. wj gamma, Mergel          | 10607 | 450  | 293175 | 7802   | 374 | 5850 | 5623  | 3418            | 93600  | 2980   |
| 192  | ob. wj gamma, Mergel          | 8026  | 225  | 318635 | 6477   | 388 | 4369 | 4793  | 4037            | 92600  | 2240   |

Tab. 7.A2.: Meßwerte Spurenelemente - Gesamtgehalte [mg/kg]

n.g. = nicht gemessen

| ID | Geologische Formation             | B   | Zn      | Pb      | Cd      | Co      | Ni      | Cr      | V       | Cu     | Ba    | As     | Hg       | Se       |
|----|-----------------------------------|-----|---------|---------|---------|---------|---------|---------|---------|--------|-------|--------|----------|----------|
| NG | Untere Nachweisgrenze (ppm)       | 1,0 | 0,001   | 0,011   | 0,002   | 0,003   | 0,004   | 0,001   | 0,001   | 0,01   | 1,5   | 0,0008 | 0,0007   | 0,0005   |
| 1  | so, Röttone                       | 15  | 23      | 5       | 1,26    | 4       | 12      | 31      | 23      | < 0,01 | < 1,5 | 11     | < 0,0007 | < 0,0005 |
| 2  | so, Röttone                       | 16  | 22      | 4       | 0,96    | 3       | 11      | 25      | 25      | 1      | < 1,5 | 8      | 1        | 0,24     |
| 3  | so, Röttone                       | 11  | 24      | 10      | 0,94    | 4       | 13      | 24      | 23      | 1      | 81    | 11     | 2,38     | < 0,0005 |
| 4  | so, Röttone                       | 15  | 24      | 8       | 1,28    | 5       | 13      | 25      | 27      | 1      | < 1,5 | 14     | 1,81     | < 0,0005 |
| 5  | so, Röttone                       | 9   | 19      | 6       | 0,80    | 3       | 10      | 18      | 19      | 2      | < 1,5 | 7      | 2,29     | < 0,0005 |
| 6  | so, Röttone                       | 11  | 23      | 9       | 1,03    | 4       | 13      | 25      | 24      | 0,44   | < 1,5 | 13     | 1,43     | 0,26     |
| 7  | so, Röttone                       | 14  | 21      | 8       | 0,94    | 3       | 13      | 24      | 22      | 0,08   | < 1,5 | 7      | 0,81     | < 0,0005 |
| 8  | so, Röttone                       | 19  | 21      | 9       | 1,15    | 5       | 20      | 24      | 20      | 1      | 36    | 16     | < 0,0007 | < 0,0005 |
| 9  | so, Röttone                       | 18  | 24      | 6       | 1,25    | 4       | 19      | 27      | 23      | 4      | 11    | 22     | 0,94     | < 0,0005 |
| 10 | so, Röttone                       | 16  | 24      | 6       | 0,79    | 4       | 16      | 23      | 19      | 0,37   | 3     | 11     | 1,35     | < 0,0005 |
| 11 | mo2, Mergel/Tone an d. Basis      | 16  | 22      | 6       | 0,50    | 6       | 29      | 21      | 16      | 15     | < 1,5 | 3      | 0,10     | 0,37     |
| 12 | mo2, Mergel/Tone an d. Basis      | 18  | 21      | 11      | 0,54    | 7       | 25      | 18      | 18      | 18     | < 1,5 | n.g.   | n.g.     | n.g.     |
| 13 | mo2, Mergel/Tone an d. Basis      | 18  | 23      | 5       | 0,84    | 9       | 42      | 21      | 17      | 20     | < 1,5 | 4      | 0,40     | 0,25     |
| 14 | mo2, Mergel/Tone an d. Basis      | 12  | 17      | 6       | 0,40    | 6       | 32      | 20      | 14      | 14     | < 1,5 | 8      | 0,43     | 0,29     |
| 15 | mo2, Mergel/Tone an d. Basis      | 12  | 20      | 12      | 0,43    | 7       | 30      | 15      | 12      | 18     | < 1,5 | 5      | 0,12     | 0,17     |
| 16 | mo2, Tonhorizonte                 | 28  | 37      | 8       | 0,96    | 20      | 79      | 43      | 23      | 45     | < 1,5 | 3      | 0,20     | 0,32     |
| 17 | mo2, Tonhorizonte                 | 29  | 45      | 9       | 1,21    | 27      | 111     | 62      | 32      | 52     | 38    | 4      | < 0,0007 | < 0,0005 |
| 18 | mo2, Tonhorizonte                 | 29  | 42      | 6       | 0,87    | 14      | 61      | 49      | 25      | 34     | < 1,5 | 3      | 0,18     | 0,07     |
| 19 | mo2, Tonhorizonte                 | 27  | 29      | 6       | 0,75    | 18      | 60      | 39      | 24      | 38     | < 1,5 | 4      | 0,02     | 0,10     |
| 20 | mo2, Tonhorizonte                 | 30  | 38      | 7       | 1,07    | 22      | 70      | 48      | 24      | 53     | < 1,5 | 4      | < 0,0007 | < 0,0005 |
| 21 | mo2, Tonhorizonte                 | 29  | 37      | 0,13    | 0,76    | 18      | 68      | 44      | 22      | 38     | < 1,5 | 4      | 0,30     | 0,08     |
| 22 | mo2, Tonhorizonte                 | 26  | 35      | 9       | 0,92    | 19      | 69      | 37      | 20      | 46     | < 1,5 | 5      | < 0,0007 | < 0,0005 |
| 23 | mo2, Tonhorizonte                 | 19  | 27      | 12      | 0,88    | 12      | 46      | 28      | 18      | 54     | < 1,5 | 5      | < 0,0007 | < 0,0005 |
| 24 | mo2, Tonhorizonte                 | 25  | 39      | 9       | 0,79    | 14      | 57      | 42      | 22      | 33     | < 1,5 | 3      | < 0,0007 | < 0,0005 |
| 25 | mo2, Tonhorizonte                 | 31  | 41      | 3       | 0,98    | 15      | 64      | 53      | 26      | 33     | < 1,5 | 3      | < 0,0007 | 0,05     |
| 26 | mo2, Mergel/Tone im ob. Abschnitt | 22  | 23      | 2       | 0,65    | 9       | 41      | 32      | 22      | 14     | < 1,5 | 4      | 0,19     | 0,07     |
| 27 | mo2, Mergel/Tone im ob. Abschnitt | 19  | 24      | 12      | 0,49    | 10      | 43      | 31      | 22      | 22     | < 1,5 | 5      | 0,07     | 0,09     |
| 28 | mo2, Mergel/Tone im ob. Abschnitt | 17  | 19      | 7       | 0,51    | 7       | 30      | 23      | 17      | 22     | < 1,5 | 3      | < 0,0007 | < 0,0005 |
| 29 | mo2, Mergel/Tone im ob. Abschnitt | 11  | 17      | 4       | 0,37    | 5       | 29      | 21      | 15      | 22     | < 1,5 | 4      | < 0,0007 | 0,12     |
| 30 | mo2, Mergel/Tone im ob. Abschnitt | 12  | 16      | 2       | 0,43    | 5       | 24      | 18      | 15      | 16     | < 1,5 | 3      | 0,05     | 0,12     |
| 31 | ku Basis, Vitriolschiefer         | 22  | 34      | 7       | 0,46    | 13      | 67      | 51      | 26      | 42     | 24    | 5      | 0,20     | < 0,0005 |
| 32 | ku Basis, Vitriolschiefer         | 27  | 31      | 10      | 0,65    | 12      | 63      | 45      | 22      | 31     | 21    | 5      | < 0,0007 | < 0,0005 |
| 33 | ku Basis, Vitriolschiefer         | 20  | 28      | 7       | 0,38    | 12      | 59      | 38      | 18      | 46     | 14    | 3      | < 0,0007 | < 0,0005 |
| 34 | ku Basis, Vitriolschiefer         | 23  | 33      | 2       | 0,35    | 15      | 66      | 47      | 23      | 26     | 21    | 5      | < 0,0007 | < 0,0005 |
| 35 | ku Basis, Vitriolschiefer         | 26  | 31      | 13      | 0,44    | 10      | 59      | 46      | 24      | 58     | 23    | 9      | < 0,0007 | 0,13     |
| 36 | ku Basis, Vitriolschiefer         | 28  | 36      | 25      | 0,75    | 22      | 119     | 63      | 34      | 49     | 27    | 17     | 0,20     | 0,50     |
| 37 | ku Basis, Vitriolschiefer         | 22  | 32      | 9       | 0,35    | 15      | 72      | 46      | 24      | 38     | 20    | 4      | < 0,0007 | < 0,0005 |
| 38 | ku Basis, Vitriolschiefer         | 23  | 32      | 2       | 0,31    | 12      | 65      | 46      | 22      | 45     | 18    | 3      | < 0,0007 | < 0,0005 |
| 39 | ku Basis, Vitriolschiefer         | 22  | 31      | 3       | 0,55    | 14      | 68      | 47      | 22      | 37     | 21    | n.g.   | n.g.     | n.g.     |
| 40 | ku Basis, Vitriolschiefer         | 31  | 42      | 6       | 0,77    | 21      | 102     | 82      | 38      | 40     | 34    | n.g.   | n.g.     | n.g.     |
| 41 | ku, Estherienschiefer             | 42  | 30      | 3       | 0,47    | 7       | 49      | 55      | 24      | 29     | 98    | n.g.   | n.g.     | n.g.     |
| 42 | ku, Estherienschiefer             | 39  | 28      | 2       | 0,27    | 8       | 48      | 50      | 21      | 19     | 96    | 0,18   | < 0,0007 | < 0,0005 |
| 43 | ku, Estherienschiefer             | 41  | 30      | 5       | 0,55    | 7       | 60      | 54      | 25      | 71     | 99    | n.g.   | n.g.     | n.g.     |
| 44 | ku, Estherienschiefer             | 42  | 30      | 7       | 0,41    | 8       | 55      | 52      | 24      | 88     | 99    | 0,52   | < 0,0007 | < 0,0005 |
| 45 | ku, Estherienschiefer             | 53  | 33      | < 0,011 | 0,49    | 11      | 56      | 70      | 30      | 14     | 107   | 1,32   | < 0,0007 | 0,32     |
| 46 | km1, Grundgipsschichten           | 6   | 7       | 27      | 2,36    | 8       | 10      | 9       | 15      | 21     | 12    | n.g.   | n.g.     | n.g.     |
| 47 | km1, Grundgipsschichten           | < 1 | 0,14    | < 0,011 | 0,21    | 1       | 0,21    | 0,43    | 0,09    | < 0,01 | < 1,5 | 0,47   | < 0,0007 | < 0,0005 |
| 48 | km1, Grundgipsschichten           | < 1 | 0,41    | 4       | 0,20    | < 0,003 | 2       | 2       | 2       | 1      | < 1,5 | 1,06   | < 0,0007 | < 0,0005 |
| 49 | km1, Grundgipsschichten           | < 1 | < 0,001 | 9       | 0,27    | 1       | 2       | 1       | 1       | < 0,01 | < 1,5 | 1,74   | < 0,0007 | < 0,0005 |
| 50 | km1, Grundgipsschichten           | < 1 | 0,97    | 14      | 1,35    | 3       | 5       | 6       | 9       | 8      | < 1,5 | 1,84   | < 0,0007 | < 0,0005 |
| 51 | km1, Grundgipsschichten           | < 1 | 0,48    | 14      | 1,33    | 5       | 4       | 4       | 7       | 8      | < 1,5 | 5      | < 0,0007 | < 0,0005 |
| 52 | km1, Grundgipsschichten           | < 1 | < 0,001 | < 0,011 | < 0,002 | 0,06    | < 0,004 | < 0,001 | < 0,001 | < 0,01 | < 1,5 | 1,74   | < 0,0007 | < 0,0005 |
| 53 | km1, Grundgipsschichten           | < 1 | 0,30    | 3       | 1,04    | 3       | 5       | 3       | 5       | 7      | < 1,5 | 2,13   | < 0,0007 | < 0,0005 |
| 54 | km1, Grundgipsschichten           | < 1 | 0,29    | 11      | 0,87    | 2       | 0,36    | 3       | 4       | 7      | < 1,5 | 2,12   | < 0,0007 | 0,05     |
| 55 | km1, Grundgipsschichten           | < 1 | < 0,001 | 4       | < 0,002 | 0,46    | < 0,004 | < 0,001 | 0,19    | 2      | < 1,5 | 0,78   | < 0,0007 | < 0,0005 |
| 56 | km1, Bochsinger Horizont          | 10  | 33      | 1       | 0,45    | 8       | 20      | 26      | 31      | 1      | 71    | 1,72   | 0,01     | < 0,0005 |
| 57 | km1, Bochsinger Horizont          | 23  | 41      | 37      | 0,54    | 15      | 33      | 35      | 33      | 18     | 59    | 12     | < 0,0007 | < 0,0005 |
| 58 | km1, Bochsinger Horizont          | 46  | 40      | 5       | 0,43    | 7       | 26      | 40      | 36      | 162    | 51    | 1,68   | 0,24     | < 0,0005 |
| 59 | km1, Bochsinger Horizont          | 4   | 0,22    | 1       | 0,11    | 1       | < 0,004 | 0,42    | < 0,001 | 1      | < 1,5 | 32     | < 0,0007 | < 0,0005 |
| 60 | km1, Bochsinger Horizont          | 34  | 36      | 33      | 0,30    | 14      | 36      | 39      | 36      | 21     | 65    | 15     | < 0,0007 | < 0,0005 |
| 61 | km1, Bochsinger Horizont          | 2   | 0,18    | < 0,011 | 0,03    | < 0,003 | < 0,004 | 5       | < 0,001 | 0,35   | 3     | 9      | < 0,0007 | 0,06     |
| 62 | km1, Dunkelrote Mergel            | 60  | 51      | 5       | 0,93    | 13      | 47      | 49      | 35      | 2      | 133   | 3      | < 0,0007 | 0,06     |
| 63 | km1, Dunkelrote Mergel            | 60  | 59      | 3       | 0,83    | 15      | 50      | 54      | 38      | 2      | 132   | 4      | 0,39     | < 0,0005 |
| 64 | km1, Dunkelrote Mergel            | 67  | 53      | 0,36    | 0,83    | 14      | 48      | 61      | 40      | 1      | 130   | 4      | 0,11     | < 0,0005 |
| 65 | km1, Dunkelrote Mergel            | 65  | 57      | < 0,011 | 1,09    | 14      | 46      | 51      | 36      | 1      | 86    | 4      | 0,07     | < 0,0005 |
| 66 | km1, Dunkelrote Mergel            | 61  | 48      | 4       | 0,98    | 13      | 41      | 49      | 35      | 1      | 116   | 3      | < 0,0007 | 0,05     |
| 67 | km1, Mittlerer Gipshorizont       | 8   | 10      | 3       | < 0,002 | < 0,003 | 6       | 7       | 4       | 3      | 30    | 3      | < 0,0007 | 0,11     |
| 68 | km1, Mittlerer Gipshorizont       | 4   | 14      | 5       | 0,34    | 2       | 8       | 9       | 5       | 5      | 36    | 1,17   | < 0,0007 | < 0,0005 |
| 69 | km1, Mittlerer Gipshorizont       | 1   | 31      | < 0,011 | < 0,002 | 1       | 17      | 21      | 15      | 5      | 76    | 0,59   | < 0,0007 | < 0,0005 |
| 70 | km1, Mittlerer Gipshorizont       | < 1 | 13      | 5       | 0,51    | 2       | 7       | 9       | 7       | 5      | 41    | 1,18   | < 0,0007 | 0,29     |
| 71 | km1, Mittlerer Gipshorizont       | 3   | 27      | 1       | 0,22    | 5       | 17      | 20      | 17      | 44     | 65    | n.g.   | n.g.     | n.g.     |
| 72 | km1, Estherienschiefer            | 63  | 61      | 14      | 0,51    | 16      | 45      | 47      | 64      | 215    | 215   | 0,55   | 0,08     | < 0,0005 |
| 73 | km1, Estherienschiefer            | 35  | 43      | < 0,011 | 0,34    | 7       | 21      | 24      | 24      | 0,34   | 80    | 1,48   | < 0,0007 | < 0,0005 |
| 74 | km1, Estherienschiefer            | 50  | 49      | 1       | 1,05    | 9       | 28      | 38      | 25      | 3      | 92    | 2,14   | < 0,0007 | < 0,0005 |
| 75 | km1, Estherienschiefer            | 30  | 43      | 4       | 0,55    | 7       | 20      | 22      | 20      | 1      | 64    | 3      | < 0,0007 | 0,07     |
| 76 | km1, Estherienschiefer            | 28  | 39      | 2       | 0,46    | 7       | 18      | 21      | 19      | 1      | 89    | 5      | 0,17     | 0,22     |
| 77 | km1, Estherienschiefer            | 23  | 36      | 2       | 0,38    | 6       | 16      | 19      | 16      | 1      | 111   | 4      | < 0,0007 | 0,05     |

| ID   | Geologische Formation            | B    | Zn  | Pb      | Cd      | Co | Ni  | Cr | V   | Cu     | Ba   | As       | Hg       | Se       |
|------|----------------------------------|------|-----|---------|---------|----|-----|----|-----|--------|------|----------|----------|----------|
| 78   | km2, dunkle Tonst. i. Schiffsst. | 17   | 42  | < 0,011 | 0,85    | 8  | 27  | 29 | 24  | < 0,01 | 118  | 2        | < 0,0007 | < 0,0005 |
| 79   | km2, dunkle Tonst. i. Schiffsst. | 23   | 45  | 2       | 0,94    | 9  | 32  | 34 | 31  | < 0,01 | 153  | 2        | < 0,0007 | 0,08     |
| 80   | km2, dunkle Tonst. i. Schiffsst. | 18   | 34  | 1       | 0,83    | 8  | 24  | 28 | 26  | < 0,01 | 137  | 3        | < 0,0007 | 0,10     |
| 81   | km2, dunkle Tonst. i. Schiffsst. | 20   | 40  | 4       | 0,87    | 9  | 27  | 33 | 29  | 0,19   | 139  | 4        | 0,26     | 0,40     |
| 82   | km2, dunkle Tonst. i. Schiffsst. | 26   | 43  | 3       | 1,06    | 10 | 30  | 38 | 31  | < 0,01 | 191  | 3        | 0,10     | 0,34     |
| EP14 | Schiffsandstein                  | < 1  | 56  | 13      | 0,53    | 12 | 42  | 37 | 16  | 0,3    | 45   | 6        | < 0,0007 | < 0,0005 |
| EP13 | Schiffsandstein                  | < 1  | 55  | 4       | 0,64    | 12 | 43  | 26 | 25  | 4      | 30   | 3        | 0,16     | 0,11     |
| EP12 | Schiffsandstein                  | < 1  | 30  | 5       | 0,40    | 6  | 18  | 20 | 24  | 0,44   | 36   | < 0,0008 | < 0,0007 | 0,50     |
| 83   | km2, Dunkle Mergel d. ob. km2    | 65   | 41  | 6       | 1,28    | 9  | 38  | 45 | 29  | < 0,01 | 219  | 9        | 0,12     | 0,15     |
| 84   | km2, Dunkle Mergel d. ob. km2    | 29   | 46  | 11      | 0,65    | 11 | 30  | 37 | 27  | 4      | 103  | 7        | < 0,0007 | < 0,0005 |
| 85   | km2, Dunkle Mergel d. ob. km2    | 32   | 51  | 10      | 0,49    | 11 | 35  | 42 | 28  | 5      | 194  | 7        | < 0,0007 | < 0,0005 |
| 86   | km2, Dunkle Mergel d. ob. km2    | 86   | 36  | 11      | 1,22    | 8  | 38  | 44 | 30  | 0,3    | 251  | 12       | 0,27     | 0,24     |
| 87   | km2, Dunkle Mergel d. ob. km2    | 32   | 54  | 7       | 0,60    | 13 | 37  | 39 | 28  | 4      | 171  | 4        | 0,05     | < 0,0005 |
| 88   | km3u, Rote Wand                  | 57   | 43  | 9       | 0,97    | 11 | 33  | 48 | 18  | 1      | 187  | 14       | 0,16     | < 0,0005 |
| 89   | km3u, Rote Wand                  | 68   | 53  | 13      | 1,04    | 17 | 43  | 62 | 31  | 3      | 210  | < 0,0008 | < 0,0007 | < 0,0005 |
| 90   | km3u, Rote Wand                  | 62   | 48  | 6       | 1,02    | 11 | 34  | 52 | 21  | 4      | 194  | 10       | < 0,0007 | < 0,0005 |
| 91   | km3u, Rote Wand                  | 64   | 46  | 8       | 1,00    | 11 | 35  | 51 | 23  | < 0,01 | 180  | 16       | 0,26     | 0,26     |
| 92   | km3u, Rote Wand                  | 46   | 37  | 11      | 0,87    | 11 | 31  | 42 | 17  | < 0,01 | 167  | 11       | 0,28     | < 0,0005 |
| 93   | km3u, Rote Wand                  | 58   | 49  | 11      | 1,04    | 14 | 39  | 56 | 24  | < 0,01 | 203  | 8        | 0,07     | < 0,0005 |
| EP10 | km3u, Untere Bunte Mergel        | < 1  | 45  | 10      | 0,48    | 13 | 27  | 27 | 36  | 82     | 733  | 9        | 0,38     | 0,83     |
| EP9  | km3u, Untere Bunte Mergel        | < 1  | 53  | 22      | 0,77    | 12 | 37  | 39 | 27  | 3      | 215  | 9        | 0,06     | 0,80     |
| EP8  | km3u, Untere Bunte Mergel        | < 1  | 53  | 19      | 0,49    | 12 | 35  | 39 | 26  | 2      | 241  | 0,95     | < 0,0007 | 0,68     |
| EP7  | km3u, Untere Bunte Mergel        | < 1  | 103 | 34      | 0,67    | 16 | 39  | 40 | 43  | 2      | 108  | < 0,0008 | 0,15     | < 0,0005 |
| EP6  | km3u, Untere Bunte Mergel        | < 1  | 81  | 21      | 0,76    | 13 | 35  | 45 | 24  | 3      | 112  | 6        | < 0,0007 | < 0,0005 |
| EP5  | km3u, Untere Bunte Mergel        | < 1  | 78  | 29      | 0,98    | 13 | 39  | 37 | 27  | 3      | 218  | 11       | 0,27     | 0,46     |
| DP1  | km3l, Lehrbergschichten          | < 1  | 89  | 14      | 1,35    | 13 | 43  | 36 | 35  | 5      | 227  | 0,14     | 0,29     | 1,04     |
| 94   | km3o, Obere Bunte Mergel         | 66   | 58  | 17      | 0,47    | 14 | 42  | 45 | 41  | 60     | 201  | 0,42     | < 0,0007 | < 0,0005 |
| 95   | km3o, Obere Bunte Mergel         | 67   | 60  | 14      | 0,61    | 14 | 45  | 47 | 43  | 74     | 206  | 0,55     | < 0,0007 | < 0,0005 |
| 96   | km3o, Obere Bunte Mergel         | 38   | 34  | 11      | 0,67    | 8  | 28  | 26 | 22  | 7      | 154  | 1,67     | 0,04     | 0,24     |
| 97   | km3o, Obere Bunte Mergel         | 36   | 36  | 7       | 0,42    | 10 | 32  | 31 | 21  | 20     | 180  | < 0,0008 | < 0,0007 | < 0,0005 |
| 98   | km3o, Obere Bunte Mergel         | 7    | 39  | 4       | < 0,002 | 1  | 18  | 15 | 20  | < 0,01 | 68   | 2,63     | < 0,0007 | < 0,0005 |
| 99   | km3o, Obere Bunte Mergel         | 31   | 26  | 9       | 0,24    | 7  | 22  | 22 | 53  | 39     | 161  | 0,42     | < 0,0007 | < 0,0005 |
| 100  | km3o, Obere Bunte Mergel         | 55   | 51  | 15      | 0,63    | 12 | 39  | 36 | 23  | 4      | 178  | 1,42     | 0,02     | 0,15     |
| 101  | km3o, Obere Bunte Mergel         | 41   | 42  | 6       | 0,54    | 10 | 36  | 33 | 17  | 3      | 178  | 1,48     | 0,85     | 0,48     |
| 102  | km3o, Obere Bunte Mergel         | 33   | 36  | 8       | 0,45    | 10 | 28  | 32 | 50  | 83     | 1324 | 0,95     | < 0,0007 | 0,15     |
| 103  | km3o, Obere Bunte Mergel         | 44   | 41  | 7       | 0,47    | 10 | 28  | 32 | 29  | 39     | 195  | 0,50     | < 0,0007 | 0,10     |
| P19  | km4, Stubensst, Sandstein        | 4    | 22  | 4       | < 0,002 | 9  | 25  | 6  | 13  | 15     | 191  | < 0,0008 | < 0,0007 | < 0,0005 |
| P18  | km4, Stubensst, Tonstein         | 21   | 19  | 11      | 0,87    | 5  | 26  | 40 | 18  | < 0,01 | 26   | 1,07     | < 0,0007 | 0,19     |
| P17  | km4, Stubensst, ton. Sandstein   | 25   | 20  | 8       | 0,28    | 8  | 23  | 25 | 31  | 3      | 128  | 0,99     | < 0,0007 | 0,38     |
| P1   | km4, ob. Stubenssandst.          | 3    | 10  | 18      | 0,07    | 3  | 7   | 9  | 54  | 60     | 580  | 6        | < 0,0007 | < 0,0005 |
| P16  | km5, Knollenmergel               | 29   | 24  | 16      | 0,74    | 8  | 36  | 34 | 23  | < 0,01 | 81   | < 0,0008 | < 0,0007 | 0,37     |
| P15  | km5, Knollenmergel               | 34   | 23  | 15      | 0,51    | 10 | 35  | 32 | 19  | 0,01   | 60   | 0,74     | < 0,0007 | < 0,0005 |
| P14  | km5, Knollenmergel               | 37   | 21  | 15      | 0,64    | 9  | 28  | 25 | 28  | 1      | 583  | 0,60     | < 0,0007 | 0,09     |
| P13  | km5, Knollenmergel               | 30   | 20  | 10      | 0,65    | 10 | 24  | 26 | 19  | 1      | 312  | 0,64     | < 0,0007 | 0,07     |
| P12  | km5, Knollenmergel               | 30   | 15  | 12      | 0,56    | 7  | 34  | 25 | 98  | 0,15   | 119  | 0,44     | < 0,0007 | 0,17     |
| P10  | km5, Knollenmergel               | 36   | 16  | 17      | 0,68    | 6  | 31  | 27 | 25  | 0,35   | 66   | < 0,0008 | < 0,0007 | 0,09     |
| P7   | km5, Knollenmergel               | 39   | 11  | 10      | 0,63    | 4  | 17  | 20 | 21  | 22     | 3226 | 0,04     | < 0,0007 | < 0,0005 |
| P11  | km5, Knollenmergel               | 41   | 11  | 11      | 0,46    | 10 | 21  | 17 | 26  | 10     | 96   | 7        | < 0,0007 | 0,27     |
| P8   | ko, Rhät-Tonstein                | 14   | 7   | 31      | 0,11    | 26 | 23  | 18 | 18  | 22     | 11   | 23       | < 0,0007 | 0,19     |
| P9   | sj alpha1, Psilonotenkalk        | 2    | 89  | 685     | 1,00    | 15 | 27  | 7  | 17  | 24     | 19   | n.g.     | n.g.     | n.g.     |
| P6   | sj alpha1, Psilonotenkalk        | 2    | 40  | 13      | 0,49    | 5  | 6   | 6  | 5   | 4      | 17   | 1,49     | < 0,0007 | 0,16     |
| P5   | sj alpha1, Psilonotentone        | 12   | 42  | 18      | 0,91    | 17 | 53  | 31 | 32  | 25     | 25   | < 0,0008 | < 0,0007 | 0,18     |
| 104  | sj alpha1, Psilonotentone        | 13   | 16  | 22      | 0,15    | 18 | 31  | 31 | 21  | 15     | 48   | 16       | < 0,0007 | 0,31     |
| 105  | sj alpha1, Psilonotentone        | 16   | 21  | 23      | 0,39    | 16 | 31  | 35 | 24  | 17     | 57   | 14       | < 0,0007 | 1,55     |
| 106  | sj alpha1, Psilonotentone        | 14   | 13  | 19      | 0,07    | 24 | 30  | 26 | 18  | 21     | 41   | 20       | 0,1168   | 0,25     |
| 107  | sj alpha1, Psilonotentone        | 12   | 13  | 17      | 0,16    | 20 | 30  | 28 | 19  | 21     | 43   | 21       | < 0,0007 | 0,1      |
| 108  | sj alpha1, Psilonotentone        | 15   | 14  | 19      | 0,15    | 21 | 32  | 30 | 21  | 24     | 44   | 28       | < 0,0007 | 0,2      |
| P4   | sj alpha2, Angulatenssandstein   | < 1  | 19  | 66      | 3,13    | 17 | 33  | 9  | 17  | 3      | 27   | n.g.     | < 0,0007 | 1,02     |
| P3   | sj alpha2, Angulatentonstein     | 5    | 23  | 8       | 0,60    | 9  | 18  | 23 | 31  | 17     | 23   | 6        | < 0,0007 | < 0,0005 |
| P2   | sj alpha2, Angulatenssandstein   | < 1  | 13  | 5       | 0,21    | 2  | 5   | 14 | 35  | 3      | 38   | 5        | < 0,0007 | 0,03     |
| 109  | sj beta, unt. Schwarzjuratone    | 15   | 65  | 12      | 1,00    | 19 | 46  | 40 | 45  | 27     | 154  | 12       | < 0,0007 | 0,08     |
| 110  | sj beta, unt. Schwarzjuratone    | 16   | 66  | 14      | 1,09    | 19 | 46  | 41 | 45  | 25     | 154  | 11       | < 0,0007 | 0,32     |
| 111  | sj gamma, unt. Schwarzjuramergel | 1    | 68  | 3       | 0,20    | 9  | 60  | 12 | 10  | 15     | 41   | 4        | < 0,0007 | 0,09     |
| 112  | sj gamma, unt. Schwarzjuramergel | < 1  | 86  | < 0,011 | 0,12    | 4  | 42  | 16 | 6   | 3      | 34   | 4        | < 0,0007 | 0,04     |
| 113  | sj gamma, unt. Schwarzjuramergel | 25   | 243 | 15      | 0,91    | 27 | 82  | 22 | 19  | 24     | 72   | 9        | < 0,0007 | 0,56     |
| 114  | sj gamma, unt. Schwarzjuramergel | < 1  | 191 | < 0,011 | 0,83    | 17 | 58  | 12 | 11  | 11     | 69   | 13       | < 0,0007 | 0,32     |
| 115  | sj gamma, unt. Schwarzjuramergel | 15   | 125 | 8       | 0,22    | 17 | 53  | 12 | 11  | 15     | 53   | 7        | < 0,0007 | 0,2      |
| 116  | sj delta, ob. Schwarzjuratone    | 16   | 94  | 13      | 0,90    | 19 | 95  | 41 | 39  | 23     | 86   | 9        | < 0,0007 | 0,15     |
| 117  | sj delta, ob. Schwarzjuratone    | 14   | 105 | 8       | 1,29    | 21 | 136 | 44 | 48  | 33     | 125  | 8        | < 0,0007 | < 0,0005 |
| 118  | sj delta, ob. Schwarzjuratone    | 15   | 113 | 15      | 1,45    | 21 | 139 | 49 | 51  | 26     | 192  | 8        | < 0,0007 | 0,18     |
| 119  | sj epsilon1, Seegrasschiefer     | 2    | 167 | 7       | 2,23    | 13 | 114 | 26 | 101 | 47     | 69   | 18       | < 0,0007 | 1,13     |
| 120  | sj epsilon1, Seegrasschiefer     | < 1  | 102 | 13      | 0,90    | 6  | 78  | 29 | 52  | 43     | 61   | 13       | < 0,0007 | 1,4      |
| 121  | sj epsilon1, Seegrasschiefer     | 2    | 81  | 3       | 0,97    | 12 | 74  | 38 | 71  | 43     | 59   | 11       | < 0,0007 | 1,38     |
| 122  | sj epsilon1, Seegrasschiefer     | 11   | 98  | 14      | 0,76    | 9  | 75  | 43 | 98  | 43     | 72   | 10       | < 0,0007 | 1,82     |
| 123  | sj epsilon1, Seegrasschiefer     | 8    | 139 | 15      | 1,84    | 9  | 104 | 27 | 101 | 43     | 67   | 11       | < 0,0007 | 0,7      |
| 124  | sj epsilon1, Seegrasschiefer     | < 1  | 195 | 2       | 2,24    | 11 | 105 | 26 | 85  | 45     | 67   | 11       | < 0,0007 | 1,87     |
| 125  | sj epsilon1, Seegrasschiefer     | 6    | 165 | 10      | 2,56    | 10 | 124 | 30 | 122 | 49     | 74   | 18       | 0,3668   | 2,96     |
| 126  | sj epsilon1, Seegrasschiefer     | 0,35 | 148 | < 0,011 | 1,77    | 11 | 107 | 26 | 100 | 46     | 76   | 12       | < 0,0007 | < 0,0005 |
| 127  | sj epsilon1, Seegrasschiefer     | 3    | 184 | 4       | 2,60    | 11 | 128 | 30 | 129 | 51     | 78   | 14       | < 0,0007 | < 0,0005 |
| 128  | sj epsilon1, Seegrasschiefer     | < 1  | 112 | 3       | 2,35    | 8  | 78  | 24 | 87  | 37     | 68   | 49       | 0,0568   | 0,42     |

| ID   | Geologische Formation            | B    | Zn  | Pb      | Cd      | Co | Ni  | Cr  | V   | Cu     | Ba    | As       | Hg       | Se       |
|------|----------------------------------|------|-----|---------|---------|----|-----|-----|-----|--------|-------|----------|----------|----------|
| 129  | sj epsilon2, Tonmergel           | 0,41 | 107 | < 0,011 | 1,83    | 6  | 68  | 30  | 69  | 42     | 78    | 12       | < 0,0007 | 4        |
| 130  | sj epsilon2, Tonmergel           | 32   | 100 | 13      | 2,35    | 10 | 80  | 38  | 78  | 47     | 76    | 9        | < 0,0007 | < 0,0005 |
| 131  | sj epsilon2, Tonmergel           | 1    | 99  | 6       | 1,83    | 9  | 79  | 38  | 92  | 46     | 71    | 18       | 0,5968   | 1,99     |
| 132  | sj epsilon2, Tonmergel           | < 1  | 143 | 1       | 2,31    | 9  | 79  | 30  | 78  | 57     | 71    | 12       | 0,0068   | 2,13     |
| 133  | sj epsilon2, Tonmergel           | < 1  | 180 | < 0,011 | 3,29    | 7  | 69  | 31  | 72  | 39     | 75    | 9        | < 0,0007 | 1,69     |
| 134  | sj epsilon2, Tonmergel           | 26   | 87  | 16      | 1,77    | 10 | 72  | 35  | 69  | 44     | 67    | 9        | < 0,0007 | 1,63     |
| 135  | sj epsilon2, Tonmergel           | 36   | 103 | 14      | 1,93    | 12 | 95  | 48  | 120 | 50     | 74    | 14       | 0,1568   | 1,83     |
| 136  | sj epsilon2, Tonmergel           | 21   | 135 | 14      | 2,59    | 15 | 91  | 32  | 97  | 50     | 68    | 23       | 0,1668   | 1,51     |
| 137  | sj epsilon2, Tonmergel           | 14   | 98  | 13      | 1,81    | 9  | 73  | 26  | 55  | 44     | 63    | 13       | < 0,0007 | 1,74     |
| 138  | sj epsilon2, Tonmergel           | 24   | 118 | 18      | 2,50    | 9  | 78  | 29  | 61  | 47     | 66    | 12       | < 0,0007 | 1,74     |
| 139  | sj epsilon2, Stinkkalke          | 12   | 53  | 7       | 1,53    | 9  | 37  | 14  | 37  | 37     | 69    | 7        | < 0,0007 | 0,85     |
| 140  | sj epsilon2, Stinkkalke          | 7    | 36  | 3       | 1,19    | 6  | 33  | 8   | 30  | 28     | 65    | 4        | < 0,0007 | 0,68     |
| 141  | sj epsilon2, Stinkkalke          | 1    | 14  | < 0,011 | 0,76    | 3  | 14  | 4   | 19  | 13     | 102   | 8        | 0,0268   | 0,77     |
| 142  | sj epsilon2, Stinkkalke          | < 1  | 16  | < 0,011 | 0,84    | 3  | 12  | 4   | 22  | 12     | 47    | 5        | < 0,0007 | 0,55     |
| 143  | sj epsilon2, Stinkkalke          | 15   | 47  | 8       | 1,36    | 11 | 50  | 17  | 42  | 50     | 93    | 3        | < 0,0007 | 0,75     |
| 144  | sj epsilon3, Wilde Schiefer      | 10   | 74  | 24      | 1,66    | 14 | 103 | 26  | 79  | 56     | 83    | 13       | < 0,0007 | 2,29     |
| 145  | sj epsilon3, Wilde Schiefer      | 12   | 260 | 43      | 5,51    | 16 | 108 | 29  | 84  | 59     | 87    | 15       | < 0,0007 | 2,85     |
| 146  | sj epsilon3, Wilde Schiefer      | 10   | 251 | 43      | 5,20    | 14 | 105 | 31  | 82  | 60     | 86    | 16       | < 0,0007 | 2,41     |
| 147  | sj epsilon3, Wilde Schiefer      | 20   | 110 | 58      | 3,39    | 16 | 98  | 28  | 81  | 63     | 83    | 15       | < 0,0007 | 1,35     |
| 148  | sj epsilon3, Wilde Schiefer      | 14   | 72  | 39      | 1,60    | 17 | 101 | 28  | 87  | 58     | 81    | 14       | < 0,0007 | 2,07     |
| 149  | sj epsilon3, Wilde Schiefer      | 10   | 116 | 67      | 2,34    | 15 | 127 | 24  | 98  | 60     | 87    | 19       | 0,3768   | 1,75     |
| 150  | sj epsilon3, Wilde Schiefer      | 8    | 347 | 28      | 7,13    | 14 | 98  | 32  | 98  | 54     | 76    | 42       | 0,0668   | 1,6      |
| 151  | sj epsilon3, Wilde Schiefer      | 1    | 66  | 49      | 1,84    | 12 | 92  | 24  | 79  | 54     | 77    | 20       | < 0,0007 | 1,65     |
| 152  | sj epsilon3, Wilde Schiefer      | 11   | 91  | 37      | 2,23    | 14 | 96  | 31  | 91  | 59     | 82    | 17       | < 0,0007 | 2,28     |
| 153  | sj epsilon3, Wilde Schiefer      | 6    | 67  | 34      | 1,43    | 15 | 96  | 32  | 101 | 56     | 77    | 14       | < 0,0007 | 0,89     |
| 154  | sj zeta, ob. Schwarzjuraemrgel   | 4    | 431 | 34      | 5,85    | 21 | 140 | 37  | 123 | 53     | 143   | n.g.     | n.g.     | n.g.     |
| 155  | sj zeta, ob. Schwarzjuraemrgel   | 3    | 260 | 18      | 5,15    | 18 | 133 | 33  | 122 | 55     | 109   | 20       | 1,2668   | 2,34     |
| 156  | sj zeta, ob. Schwarzjuraemrgel   | 4    | 187 | 21      | 2,62    | 15 | 84  | 38  | 96  | 49     | 91    | 16       | 0,6168   | 0,71     |
| 157  | sj zeta, ob. Schwarzjuraemrgel   | 16   | 215 | 23      | 4,55    | 13 | 110 | 39  | 109 | 59     | 128   | 15       | 1,6568   | 2,98     |
| 158  | sj zeta, ob. Schwarzjuraemrgel   | 7    | 213 | 20      | 5,80    | 16 | 122 | 38  | 129 | 56     | 86    | 15       | 0,7368   | 1,4      |
| 159  | bj alpha, Opalinuston            | 24   | 117 | 15      | 1,32    | 15 | 36  | 49  | 62  | 22     | 59    | 11       | 0,3068   | 0,05     |
| 160  | bj alpha, Opalinuston            | 25   | 71  | 25      | 1,42    | 17 | 40  | 53  | 62  | 29     | 63    | 20       | 0,5368   | 0,13     |
| 161  | bj alpha, Opalinuston            | 20   | 175 | 23      | 1,02    | 15 | 37  | 50  | 58  | 26     | 59    | 12       | 0,2268   | 0,27     |
| 162  | bj alpha, Opalinuston            | 32   | 76  | 30      | 1,03    | 14 | 38  | 52  | 54  | 26     | 57    | 11       | 0,1868   | < 0,0005 |
| 163  | bj alpha, Opalinuston            | 26   | 78  | 18      | 0,67    | 18 | 42  | 49  | 53  | 23     | 57    | 11       | 0,0468   | 0,1      |
| 164  | bj alpha, Opalinuston            | 26   | 85  | 26      | 1,02    | 20 | 44  | 53  | 57  | 26     | 62    | 12       | < 0,0007 | 0,02     |
| 165  | bj alpha, Opalinuston            | 16   | 63  | 10      | 0,68    | 17 | 42  | 51  | 52  | 30     | 58    | 10       | 0,5468   | 0,15     |
| 166  | bj alpha, Opalinuston            | 24   | 75  | 17      | 0,79    | 16 | 44  | 51  | 52  | 27     | 58    | 13       | 0,3868   | 0,29     |
| 167  | bj alpha, Opalinuston            | 35   | 53  | 21      | 1,99    | 13 | 34  | 40  | 59  | 19     | 62    | 12       | 0,3868   | < 0,0005 |
| 168  | bj alpha, Opalinuston            | 26   | 80  | 26      | 0,80    | 16 | 36  | 46  | 53  | 24     | 53    | 15       | 0,2068   | 0,25     |
| 169  | bj alpha, Opalinuston            | 31   | 118 | 15      | 2,91    | 14 | 30  | 41  | 90  | 12     | 62    | 12       | 0,3968   | 0,46     |
| 170  | bj alpha, Opalinuston            | 37   | 856 | 20      | 2,00    | 15 | 36  | 52  | 83  | 21     | 67    | 18       | 0,5768   | 0,16     |
| 171  | bj alpha, Opalinuston            | 26   | 79  | 21      | 0,82    | 19 | 44  | 49  | 51  | 26     | 54    | 11       | 0,1368   | 0,01     |
| 172  | bj alpha, Opalinuston            | 37   | 105 | 13      | 1,16    | 17 | 38  | 49  | 53  | 26     | 63    | 14       | 0,1268   | 0,31     |
| 173  | bj alpha, Opalinuston            | 35   | 89  | 20      | 0,70    | 16 | 37  | 47  | 54  | 23     | 56    | 11       | < 0,0007 | 0,4      |
| 3124 | bj beta; Zopfplatten             | 4    | 39  | 17      | < 0,002 | 12 | 24  | 21  | 19  | 15     | 55    | 13,3     | < 0,0007 | 0,37     |
| 3125 | bj beta; Zopfplatten             | 4    | 75  | 22      | < 0,002 | 13 | 29  | 21  | 20  | 15     | 460   | 33,8     | 0,0926   | 0,26     |
| 3179 | bj beta; Zopfplatten             | 15   | 42  | 33      | < 0,002 | 26 | 43  | 59  | 108 | 11     | 29    | n.g.     | 0,1673   | < 0,0005 |
| 3258 | bj beta; Zopfplatten             | 10   | 76  | 12      | < 0,002 | 13 | 24  | 17  | 17  | 17     | 63    | 10,9     | < 0,0007 | 0,05     |
| 3257 | bj beta; Zopfplatten             | 9    | 41  | 17      | < 0,002 | 11 | 23  | 14  | 12  | 16     | 383   | 19,1     | < 0,0007 | 0,12     |
| 3172 | bj beta; Tolutariazone           | 17   | 44  | 34      | < 0,002 | 27 | 53  | 25  | 25  | 24     | 23    | 29,6     | < 0,0007 | 0,16     |
| 3171 | bj beta; Tolutariazone           | 17   | 57  | 22      | < 0,002 | 18 | 39  | 22  | 27  | 20     | 20    | 26,6     | < 0,0007 | 0,11     |
| 3253 | bj beta; Tolutariazone           | 12   | 46  | 23      | < 0,002 | 14 | 28  | 46  | 86  | 4      | 17    | n.g.     | < 0,0007 | 0,20     |
| 3252 | bj beta; Tolutariazone           | 15   | 38  | 13      | < 0,002 | 10 | 21  | 20  | 21  | 12     | 16    | 9,1      | < 0,0007 | 0,33     |
| 3165 | bj beta; unt. Donzdorfer Sandst. | 4    | 14  | 3       | < 0,002 | 6  | 9   | 6   | 5   | 8      | 8     | 3,3      | < 0,0007 | 0,10     |
| 3164 | bj beta; unt. Donzdorfer Sandst. | 4    | 14  | 2       | < 0,002 | 5  | 11  | 4   | 3   | 4      | 3     | 3,5      | < 0,0007 | 0,12     |
| 3163 | bj beta; unt. Donzdorfer Sandst. | 5    | 59  | 8       | < 0,002 | 7  | 16  | 13  | 59  | 0,47   | 6     | n.g.     | n.g.     | n.g.     |
| 3162 | bj beta; unt. Donzdorfer Sandst. | 7    | 26  | 10      | < 0,002 | 12 | 28  | 21  | 22  | 15     | 12    | 59,9     | < 0,0007 | 0,08     |
| 3161 | bj beta; unt. Donzdorfer Sandst. | 5    | 31  | 3       | < 0,002 | 11 | 26  | 23  | 72  | 2      | 10    | 15,6     | < 0,0007 | < 0,0005 |
| 3160 | bj beta; unt. Donzdorfer Sandst. | 10   | 20  | 10      | < 0,002 | 23 | 53  | 22  | 18  | 10     | 11    | n.g.     | n.g.     | n.g.     |
| 3243 | bj beta; unt. Donzdorfer Sandst. | 12   | 13  | 16      | < 0,002 | 16 | 42  | 21  | 15  | 16     | 19    | 21,2     | < 0,0007 | 0,16     |
| 3242 | bj beta; unt. Donzdorfer Sandst. | 12   | 13  | 11      | < 0,002 | 6  | 14  | 14  | 16  | 3      | 9     | n.g.     | n.g.     | n.g.     |
| 3241 | bj beta; unt. Donzdorfer Sandst. | 5    | 87  | 12      | < 0,002 | 6  | 12  | 21  | 47  | 1      | 5     | n.g.     | n.g.     | n.g.     |
| 3240 | bj beta; unt. Donzdorfer Sandst. | 8    | 32  | 16      | < 0,002 | 12 | 30  | 24  | 44  | 14     | 21    | n.g.     | n.g.     | n.g.     |
| 3348 | bj beta; unt. Donzdorfer Sandst. | 7    | 27  | 36      | < 0,002 | 17 | 33  | 19  | 16  | 15     | < 1,5 | n.g.     | n.g.     | n.g.     |
| 3347 | bj beta; unt. Donzdorfer Sandst. | 10   | 23  | 20      | < 0,002 | 40 | 72  | 42  | 43  | 17     | 2     | 46,0     | 0,1568   | 0,08     |
| 3156 | bj beta; Personatensandstein     | 4    | 27  | 8       | < 0,002 | 15 | 55  | 20  | 17  | 13     | 13    | 13,5     | < 0,0007 | 0,16     |
| 3155 | bj beta; Personatensandstein     | 6    | 10  | 9       | < 0,002 | 18 | 72  | 19  | 18  | 11     | 14    | 17,5     | < 0,0007 | 0,35     |
| 3154 | bj beta; Personatensandstein     | 6    | 29  | 8       | < 0,002 | 13 | 34  | 21  | 25  | 8      | 12    | 29,5     | < 0,0007 | 0,05     |
| 3238 | bj beta; Personatensandstein     | 6    | 31  | 15      | < 0,002 | 10 | 21  | 16  | 21  | 7      | 9     | 9,1      | < 0,0007 | 0,20     |
| 3237 | bj beta; Personatensandstein     | 7    | 74  | 12      | < 0,002 | 13 | 22  | 20  | 22  | 13     | 13    | 31,1     | < 0,0007 | 0,0020   |
| 3341 | bj beta; Personatensandstein     | 6    | 47  | 17      | < 0,002 | 17 | 31  | 27  | 30  | 8      | 6     | n.g.     | n.g.     | n.g.     |
| 3148 | bj beta; ob. Donzdorfer Sandst.  | 4    | 22  | 10      | < 0,002 | 9  | 17  | 11  | 10  | 7      | 7     | < 0,0008 | < 0,0007 | 0,18     |
| 3147 | bj beta; ob. Donzdorfer Sandst.  | 6    | 14  | 17      | < 0,002 | 41 | 68  | 11  | 16  | 11     | 14    | n.g.     | 1,0059   | < 0,0005 |
| 3146 | bj beta; ob. Donzdorfer Sandst.  | 3    | 44  | 15      | < 0,002 | 87 | 120 | 41  | 181 | 4      | 19    | n.g.     | < 0,0007 | 0,14     |
| 3145 | bj beta; ob. Donzdorfer Sandst.  | 6    | 73  | 7       | < 0,002 | 16 | 32  | 34  | 57  | 8      | 9     | n.g.     | n.g.     | n.g.     |
| 3144 | bj beta; ob. Donzdorfer Sandst.  | 5    | 24  | 5       | < 0,002 | 7  | 18  | 8   | 10  | 6      | 5     | n.g.     | n.g.     | n.g.     |
| 3143 | bj beta; ob. Donzdorfer Sandst.  | 6    | 118 | 50      | < 0,002 | 74 | 124 | 41  | 137 | 2      | 11    | n.g.     | n.g.     | n.g.     |
| 3232 | bj beta; ob. Donzdorfer Sandst.  | 15   | 11  | 15      | < 0,002 | 21 | 36  | 15  | 11  | 6      | 19    | 38,0     | < 0,0007 | 0,35     |
| 3231 | bj beta; ob. Donzdorfer Sandst.  | < 1  | 33  | 15      | < 0,002 | 89 | 79  | 25  | 0   | 9      | 20    | n.g.     | n.g.     | n.g.     |
| 3230 | bj beta; ob. Donzdorfer Sandst.  | 3    | 57  | 17      | < 0,002 | 10 | 25  | 39  | 1   | < 0,01 | 8     | n.g.     | n.g.     | n.g.     |
| 3229 | bj beta; ob. Donzdorfer Sandst.  | < 1  | 32  | 6       | < 0,002 | 35 | 96  | 67  | 1   | 2      | 23    | n.g.     | < 0,0007 | 0,18     |
| 3228 | bj beta; ob. Donzdorfer Sandst.  | < 1  | 12  | 8       | < 0,002 | 13 | 26  | 21  | 0   | < 0,01 | 533   | 60,9     | < 0,0007 | < 0,0005 |
| 3227 | bj beta; ob. Donzdorfer Sandst.  | < 1  | 30  | 6       | < 0,002 | 12 | 25  | 15  | 0   | < 0,01 | 8     | 41,9     | < 0,0007 | 0,29     |
| 3332 | bj beta; ob. Donzdorfer Sandst.  | 18   | 70  | 19      | < 0,002 | 32 | 89  | 107 | 391 | < 0,01 | < 1,5 | n.g.     | n.g.     | n.g.     |
| 3331 | bj beta; ob. Donzdorfer Sandst.  | 13   | 36  | 12      | < 0,002 | 24 | 97  | 179 | 305 | < 0,01 | < 1,5 | n.g.     | n.g.     | n.g.     |
| 3330 | bj beta; ob. Donzdorfer Sandst.  | 3    | 21  | 36      | < 0,002 | 14 | 46  | 31  | 73  | 8      | 41    | n.g.     | n.g.     | n.g.     |

| ID   | Geologische Formation           | B    | Zn  | Pb      | Cd      | Co  | Ni  | Cr  | V   | Cu     | Ba    | As       | Hg       | Se       |
|------|---------------------------------|------|-----|---------|---------|-----|-----|-----|-----|--------|-------|----------|----------|----------|
| 3142 | bj gamma; Wedelsandstein        | 13   | 64  | 18      | < 0,002 | 16  | 30  | 15  | 15  | 16     | 14    | 7,6      | 0,1356   | 0,19     |
| 3141 | bj gamma; Wedelsandstein        | 14   | 61  | 11      | < 0,002 | 12  | 25  | 15  | 18  | 15     | 82    | 9,4      | < 0,0007 | 0,14     |
| 3140 | bj gamma; Wedelsandstein        | 18   | 55  | 5       | < 0,002 | 14  | 26  | 13  | 15  | 15     | 48    | n.g.     | n.g.     | n.g.     |
| 3139 | bj gamma; Wedelsandstein        | 5    | 65  | 11      | < 0,002 | 9   | 25  | 13  | 23  | 10     | 23    | 6,3      | < 0,0007 | < 0,0005 |
| 3138 | bj gamma; Wedelsandstein        | 4    | 48  | 15      | < 0,002 | 9   | 23  | 8   | 7   | 8      | 52    | n.g.     | n.g.     | n.g.     |
| 3226 | bj gamma; Wedelsandstein        | < 1  | 66  | 15      | < 0,002 | 13  | 27  | 16  | 18  | 11     | 31    | 12,4     | < 0,0007 | 0,24     |
| 3225 | bj gamma; Wedelsandstein        | < 1  | 71  | 15      | < 0,002 | 16  | 36  | 21  | 20  | 17     | 50    | 14,4     | < 0,0007 | 0,31     |
| 3224 | bj gamma; Wedelsandstein        | < 1  | 56  | 10      | < 0,002 | 12  | 28  | 17  | 15  | 11     | 53    | n.g.     | n.g.     | n.g.     |
| 3223 | bj gamma; Wedelsandstein        | 0,24 | 52  | 13      | < 0,002 | 9   | 24  | 19  | 14  | 16     | 48    | n.g.     | n.g.     | n.g.     |
| 3222 | bj gamma; Wedelsandstein        | < 1  | 53  | 4       | < 0,002 | 11  | 30  | 16  | 17  | 5      | 172   | n.g.     | n.g.     | n.g.     |
| 3221 | bj gamma; Wedelsandstein        | < 1  | 49  | 5       | < 0,002 | 7   | 22  | 13  | 14  | 4      | 23    | n.g.     | n.g.     | n.g.     |
| 3220 | bj gamma; Wedelsandstein        | 2    | 23  | 5       | < 0,002 | 5   | 16  | 9   | 7   | 2      | 335   | n.g.     | n.g.     | n.g.     |
| 3219 | bj gamma; Wedelsandstein        | < 1  | 34  | 9       | < 0,002 | 7   | 17  | 10  | 7   | 3      | 185   | n.g.     | n.g.     | n.g.     |
| 3218 | bj gamma; Wedelsandstein        | < 1  | 19  | 10      | < 0,002 | 3   | 12  | 7   | 7   | < 0,01 | 2555  | n.g.     | n.g.     | n.g.     |
| 3217 | bj gamma; Wedelsandstein        | 1    | 53  | 12      | < 0,002 | 13  | 34  | 13  | 30  | 12     | 51    | n.g.     | n.g.     | n.g.     |
| 3216 | bj gamma; Wedelsandstein        | < 1  | 31  | 6       | < 0,002 | 7   | 20  | 8   | 7   | 7      | 28    | n.g.     | n.g.     | n.g.     |
| 3329 | bj gamma; Wedelsandstein        | 6    | 60  | 18      | < 0,002 | 24  | 59  | 20  | 35  | 11     | < 1,5 | n.g.     | n.g.     | n.g.     |
| 3328 | bj gamma; Wedelsandstein        | 10   | 67  | 25      | < 0,002 | 14  | 32  | 20  | 17  | 18     | < 1,5 | n.g.     | n.g.     | n.g.     |
| 3327 | bj gamma; Wedelsandstein        | 11   | 67  | 24      | < 0,002 | 16  | 36  | 18  | 19  | 16     | 3     | n.g.     | n.g.     | n.g.     |
| 3326 | bj gamma; Wedelsandstein        | 12   | 69  | 20      | < 0,002 | 13  | 32  | 17  | 15  | 15     | 10    | n.g.     | n.g.     | n.g.     |
| 3325 | bj gamma; Wedelsandstein        | 12   | 78  | 29      | < 0,002 | 10  | 30  | 15  | 12  | 10     | 7     | n.g.     | n.g.     | n.g.     |
| 3324 | bj gamma; Wedelsandstein        | 8    | 275 | 18      | < 0,002 | 15  | 29  | 18  | 20  | 16     | 227   | n.g.     | n.g.     | n.g.     |
| 3323 | bj gamma; Wedelsandstein        | 6    | 52  | 19      | < 0,002 | 16  | 31  | 13  | 11  | 9      | 25    | 9,7      | < 0,0007 | 0,27     |
| 3322 | bj gamma; Wedelsandstein        | 8    | 51  | 14      | < 0,002 | 11  | 26  | 15  | 13  | 11     | 28    | 8,6      | < 0,0007 | 0,06     |
| 3321 | bj gamma; Wedelsandstein        | 7    | 57  | 9       | < 0,002 | 11  | 25  | 16  | 12  | 11     | 26    | 6,2      | < 0,0007 | 0,12     |
| 3320 | bj gamma; Wedelsandstein        | 5    | 47  | 14      | < 0,002 | 11  | 27  | 11  | 9   | 9      | 23    | 18,6     | < 0,0007 | 0,11     |
| 3319 | bj gamma; Wedelsandstein        | 4    | 22  | 25      | < 0,002 | 10  | 23  | 7   | 6   | 7      | 16    | n.g.     | n.g.     | n.g.     |
| 3318 | bj gamma; Wedelsandstein        | 5    | 36  | 18      | < 0,002 | 13  | 25  | 11  | 9   | 8      | 13    | n.g.     | n.g.     | n.g.     |
| 3317 | bj gamma; Wedelsandstein        | 7    | 46  | 16      | < 0,002 | 15  | 31  | 13  | 9   | 12     | 15    | n.g.     | n.g.     | n.g.     |
| 3137 | bj delta; Dorsetensienbank      | 6    | 47  | 17      | < 0,002 | 14  | 35  | 15  | 17  | 11     | 19    | 25,2     | < 0,0007 | 0,23     |
| 3315 | bj delta; Dorsetensienbank      | 9    | 204 | 19      | < 0,002 | 19  | 41  | 18  | 16  | 15     | 25    | 14,5     | < 0,0007 | 0,29     |
| 3314 | bj delta; Dorsetensienbank      | 8    | 44  | 15      | < 0,002 | 15  | 37  | 16  | 19  | 12     | 15    | 18,8     | < 0,0007 | < 0,0005 |
| 3313 | bj delta; Dorsetensienbank      | 9    | 27  | 16      | < 0,002 | 8   | 19  | 11  | 10  | 10     | 59    | 3,4      | < 0,0007 | 0,05     |
| 3312 | bj delta; Dorsetensienbank      | 5    | 41  | 3       | < 0,002 | 10  | 22  | 11  | 16  | 5      | 11    | 23,7     | < 0,0007 | 0,35     |
| 3311 | bj delta; Dorsetensienbank      | 5    | 255 | 2       | 0,48    | 12  | 26  | 11  | 21  | 5      | 216   | n.g.     | n.g.     | n.g.     |
| 3310 | bj delta; Dorsetensienbank      | 7    | 59  | < 0,011 | < 0,002 | 15  | 38  | 18  | 30  | 8      | 14    | 31,4     | < 0,0007 | 0,61     |
| 3309 | bj delta; Dorsetensienbank      | 6    | 53  | < 0,011 | < 0,002 | 19  | 49  | 83  | 142 | 5      | 13    | n.g.     | n.g.     | n.g.     |
| 3136 | bj delta; Humphriesi-Oolith     | < 1  | 15  | 18      | < 0,002 | 4   | 13  | 8   | 8   | 4      | 859   | < 0,0008 | < 0,0007 | 0,13     |
| 3215 | bj delta; Humphriesi-Oolith     | < 1  | 40  | 15      | < 0,002 | 15  | 75  | 10  | 15  | 6      | 36    | n.g.     | 0,3075   | 0,25     |
| 3214 | bj delta; Humphriesi-Oolith     | 2    | 42  | 7       | < 0,002 | 11  | 30  | 14  | 22  | 6      | 14    | 23,4     | 0,2827   | 0,47     |
| 3213 | bj delta; Humphriesi-Oolith     | 2    | 36  | 4       | < 0,002 | 13  | 38  | 16  | 22  | 3      | 61    | < 0,0008 | 0,1983   | 0,25     |
| 3308 | bj delta; Humphriesi-Oolith     | 14   | 144 | < 0,011 | < 0,002 | 22  | 70  | 403 | 661 | 4      | 12    | 98,1     | < 0,0007 | 0,52     |
| 3212 | bj delta; Coronatenschichten    | < 1  | 71  | 5       | < 0,002 | 18  | 44  | 85  | 138 | 2      | 16    | 50,6     | < 0,0007 | 0,35     |
| 3211 | bj delta; Coronatenschichten    | 3    | 38  | 15      | < 0,002 | 14  | 42  | 22  | 34  | 5      | 14    | n.g.     | < 0,0007 | 0,84     |
| 3210 | bj delta; Coronatenschichten    | 10   | 85  | 22      | < 0,002 | 12  | 37  | 15  | 18  | 6      | 16    | 36,8     | < 0,0007 | 0,38     |
| 3209 | bj delta; Coronatenschichten    | 18   | 81  | 15      | 0,16    | 14  | 37  | 24  | 26  | 13     | 20    | 36,7     | < 0,0007 | 0,28     |
| 3208 | bj delta; Coronatenschichten    | 15   | 66  | 10      | < 0,002 | 14  | 33  | 271 | 379 | 1      | 11    | n.g.     | < 0,0007 | 0,23     |
| 3207 | bj delta; Coronatenschichten    | 7    | 18  | 9       | < 0,002 | 6   | 18  | 13  | 16  | 4      | 10    | 35,8     | < 0,0007 | 0,25     |
| 3135 | bj delta; Blagdeni-Schichten    | 8    | 39  | 16      | < 0,002 | 12  | 34  | 20  | 20  | 14     | 18    | 18,2     | < 0,0007 | 0,12     |
| 3134 | bj delta; Blagdeni-Schichten    | 6    | 51  | 13      | < 0,002 | 11  | 31  | 20  | 22  | 10     | 29    | 18,4     | < 0,0007 | < 0,0005 |
| 3133 | bj delta; Blagdeni-Schichten    | 11   | 42  | 9       | < 0,002 | 20  | 38  | 24  | 29  | 14     | 19    | 5,7      | < 0,0007 | 0,26     |
| 3132 | bj delta; Blagdeni-Schichten    | 11   | 54  | 12      | < 0,002 | 19  | 48  | 66  | 113 | 14     | 32    | n.g.     | < 0,0007 | 0,74     |
| 3131 | bj delta; Blagdeni-Schichten    | 15   | 114 | 16      | < 0,002 | 13  | 40  | 26  | 31  | 11     | 262   | n.g.     | n.g.     | n.g.     |
| 3130 | bj delta; Blagdeni-Schichten    | 15   | 75  | 16      | < 0,002 | 13  | 35  | 25  | 27  | 12     | 21    | n.g.     | n.g.     | n.g.     |
| 3307 | bj delta; Blagdeni-Schichten    | 14   | 40  | 4       | < 0,002 | 15  | 37  | 38  | 53  | 7      | 16    | n.g.     | n.g.     | n.g.     |
| 3306 | bj delta; Blagdeni-Schichten    | 13   | 107 | 4       | < 0,002 | 11  | 29  | 19  | 24  | 10     | 23    | 35,1     | < 0,0007 | 0,77     |
| 3305 | bj delta; Blagdeni-Schichten    | 12   | 158 | 19      | 0,16    | 14  | 39  | 18  | 22  | 11     | 115   | n.g.     | n.g.     | n.g.     |
| 3304 | bj delta; Blagdeni-Schichten    | 15   | 95  | 5       | < 0,002 | 10  | 30  | 17  | 21  | 10     | 17    | 44,7     | < 0,0007 | 0,32     |
| 3129 | bj delta; Subfurcatu-Oolith     | 8    | 81  | 16      | < 0,002 | 22  | 41  | 314 | 551 | < 0,01 | 11    | 26,9     | < 0,0007 | 0,13     |
| 3206 | bj delta; Subfurcatu-Oolith     | 17   | 51  | 16      | < 0,002 | 41  | 83  | 231 | 349 | 14     | 16    | 76,2     | 0,2811   | 0,16     |
| 3303 | bj delta; Subfurcatu-Oolith     | 13   | 36  | 29      | < 0,002 | 21  | 58  | 20  | 30  | 15     | 36    | n.g.     | < 0,0007 | 0,73     |
| 3302 | bj delta; Subfurcatu-Oolith     | 14   | 78  | 3       | < 0,002 | 29  | 46  | 161 | 171 | 2      | 14    | 69,6     | < 0,0007 | 0,41     |
| 3301 | bj delta; Subfurcatu-Oolith     | 17   | 41  | 13      | < 0,002 | 41  | 78  | 151 | 196 | 10     | 15    | 82,2     | < 0,0007 | 0,18     |
| 3128 | bj delta; Hamitenton            | 6    | 549 | 17      | 0,36    | 12  | 33  | 18  | 20  | 10     | 16    | 31,7     | < 0,0007 | 0,49     |
| 3127 | bj delta; Hamitenton            | 9    | 88  | 17      | < 0,002 | 17  | 38  | 22  | 24  | 13     | 22    | 24,5     | < 0,0007 | 0,45     |
| 3126 | bj delta; Hamitenton            | 7    | 80  | 17      | < 0,002 | 11  | 29  | 23  | 23  | 9      | 22    | 12,4     | < 0,0007 | 0,24     |
| 3205 | bj delta; Hamitenton            | 20   | 49  | 11      | < 0,002 | 16  | 43  | 34  | 34  | 10     | 20    | 41,3     | < 0,0007 | 0,34     |
| 3204 | bj delta; Hamitenton            | 16   | 76  | 11      | < 0,002 | 13  | 36  | 24  | 25  | 18     | 17    | n.g.     | n.g.     | n.g.     |
| 3203 | bj delta; Hamitenton            | 20   | 47  | 12      | < 0,002 | 16  | 42  | 24  | 27  | 13     | 19    | n.g.     | n.g.     | n.g.     |
| 3202 | bj delta; Hamitenton            | 20   | 74  | 13      | < 0,002 | 14  | 33  | 23  | 24  | 20     | 21    | 16,5     | < 0,0007 | 0,43     |
| 3201 | bj delta; Hamitenton            | 22   | 105 | 19      | < 0,002 | 13  | 32  | 25  | 25  | 16     | 18    | n.g.     | n.g.     | n.g.     |
| 3200 | bj delta; Hamitenton            | 27   | 63  | 16      | < 0,002 | 15  | 34  | 27  | 28  | 15     | 19    | n.g.     | n.g.     | n.g.     |
| 3199 | bj delta; Hamitenton            | 18   | 36  | 58      | < 0,002 | 17  | 81  | 24  | 243 | 35     | 14    | n.g.     | n.g.     | n.g.     |
| 3198 | bj delta; Hamitenton            | 16   | 159 | 18      | < 0,002 | 25  | 54  | 37  | 33  | 11     | 18    | n.g.     | < 0,0007 | 0,45     |
| 3300 | bj delta; Hamitenton            | 16   | 78  | 7       | < 0,002 | 13  | 28  | 21  | 24  | 11     | 16    | n.g.     | n.g.     | n.g.     |
| 3299 | bj delta; Hamitenton            | 18   | 72  | 9       | < 0,002 | 14  | 33  | 19  | 25  | 9      | 17    | n.g.     | n.g.     | n.g.     |
| 3298 | bj delta; Hamitenton            | 16   | 54  | 10      | < 0,002 | 14  | 37  | 16  | 21  | 11     | 17    | n.g.     | n.g.     | n.g.     |
| 3297 | bj delta; Hamitenton            | 14   | 73  | 12      | < 0,002 | 13  | 30  | 21  | 23  | 11     | 17    | n.g.     | n.g.     | n.g.     |
| 3296 | bj delta; Hamitenton            | 15   | 54  | 19      | 2       | 10  | 31  | 17  | 18  | 9      | 14    | n.g.     | n.g.     | n.g.     |
| 3295 | bj delta; Hamitenton            | 15   | 80  | 14      | < 0,002 | 14  | 34  | 22  | 23  | 12     | 23    | n.g.     | n.g.     | n.g.     |
| 3294 | bj delta; Hamitenton            | 20   | 64  | 12      | < 0,002 | 12  | 31  | 19  | 19  | 8      | 16    | n.g.     | n.g.     | n.g.     |
| 3293 | bj delta; Hamitenton            | 18   | 77  | 31      | < 0,002 | 15  | 54  | 24  | 21  | 13     | 15    | n.g.     | n.g.     | n.g.     |
| 3292 | bj delta; Parkinsoni-Oolith     | 13   | 80  | 12      | < 0,002 | 155 | 166 | 318 | 196 | 18     | 8     | 440,7    | 0,3212   | 0,69     |
| 3291 | bj epsilon; Obere Braunjuratone | 24   | 35  | 6       | < 0,002 | 18  | 59  | 22  | 28  | 19     | 25    | 28,0     | < 0,0007 | 0,24     |
| 3290 | bj epsilon; Obere Braunjuratone | 24   | 40  | 9       | < 0,002 | 18  | 57  | 24  | 28  | 35     | 19    | 37,5     | < 0,0007 | 0,34     |
| 3289 | bj epsilon; Obere Braunjuratone | 23   | 44  | 36      | < 0,002 | 93  | 201 | 374 | 313 | 41     | 13    | n.g.     | 0,9877   | 0,17     |
| 3288 | bj epsilon; Obere Braunjuratone | 14   | 39  | 15      | < 0,002 | 31  | 66  | 28  | 39  | 6      | 23    | n.g.     | < 0,0007 | 0,10     |
| 3197 | bj zeta; Macrocephalus-Oolith   | 25   | 169 | 19      | < 0,002 | 68  | 106 | 951 | 690 | 1      | 23    | n.g.     | < 0,0007 | 0,25     |
| 3196 | bj zeta; Macrocephalus-Oolith   | 18   | 39  | 11      | < 0,002 | 16  | 61  | 27  | 32  | 22     | 25    | 33,4     | < 0,0007 | 0,58     |
| 3287 | bj zeta; Macrocephalus-Oolith   | 18   | 60  | 12      | < 0,002 | 83  | 118 | 334 | 356 | 13     | 11    | 56,7     | 0,4955   | 0,78     |

| ID   | Geologische Formation         | B  | Zn  | Pb      | Cd      | Co | Ni  | Cr  | V   | Cu | Ba   | As       | Hg       | Se       |
|------|-------------------------------|----|-----|---------|---------|----|-----|-----|-----|----|------|----------|----------|----------|
| 3195 | bj zeta; Ornatenton           | 18 | 39  | 8       | < 0,002 | 19 | 66  | 27  | 30  | 20 | 26   | n.g.     | n.g.     | n.g.     |
| 3194 | bj zeta; Ornatenton           | 12 | 73  | 18      | < 0,002 | 42 | 87  | 66  | 71  | 15 | 19   | n.g.     | < 0,0007 | 0,26     |
| 3193 | bj zeta; Ornatenton           | 21 | 64  | 8       | < 0,002 | 64 | 110 | 244 | 259 | 16 | 15   | 34,4     | 0,0134   | 0,28     |
| 3192 | bj zeta; Ornatenton           | 11 | 62  | 16      | 0,12    | 13 | 35  | 20  | 11  | 10 | 15   | n.g.     | n.g.     | n.g.     |
| 3191 | bj zeta; Ornatenton           | 16 | 75  | 14      | 0,12    | 15 | 39  | 22  | 12  | 14 | 18   | n.g.     | n.g.     | n.g.     |
| 3190 | bj zeta; Ornatenton           | 20 | 59  | 14      | < 0,002 | 11 | 31  | 20  | 12  | 12 | 16   | n.g.     | n.g.     | n.g.     |
| 3189 | bj zeta; Ornatenton           | 14 | 54  | 13      | < 0,002 | 16 | 45  | 24  | 14  | 34 | 21   | n.g.     | n.g.     | n.g.     |
| 3188 | bj zeta; Ornatenton           | 17 | 98  | 12      | 0,16    | 15 | 42  | 31  | 25  | 26 | 26   | n.g.     | n.g.     | n.g.     |
| 3187 | bj zeta; Ornatenton           | 28 | 80  | 9       | < 0,002 | 16 | 57  | 33  | 25  | 30 | 23   | 8,4      | 0,2746   | 0,39     |
| 3186 | bj zeta; Ornatenton           | 17 | 99  | 13      | 0,16    | 16 | 72  | 22  | 15  | 29 | 47   | n.g.     | n.g.     | n.g.     |
| 3286 | bj zeta; Ornatenton           | 13 | 50  | 14      | < 0,002 | 32 | 76  | 46  | 68  | 12 | 15   | 75,0     | < 0,0007 | 0,44     |
| 3285 | bj zeta; Ornatenton           | 14 | 103 | 20      | < 0,002 | 13 | 40  | 20  | 10  | 13 | 17   | n.g.     | n.g.     | n.g.     |
| 3284 | bj zeta; Ornatenton           | 13 | 58  | 13      | < 0,002 | 10 | 29  | 21  | 12  | 12 | 16   | n.g.     | n.g.     | n.g.     |
| 3283 | bj zeta; Ornatenton           | 9  | 104 | 34      | < 0,002 | 19 | 117 | 16  | 13  | 23 | 14   | 88,3     | 1,6996   | 1,90     |
| 3282 | bj zeta; Ornatenton           | 25 | 76  | 22      | < 0,002 | 18 | 47  | 37  | 30  | 22 | 28   | n.g.     | n.g.     | n.g.     |
| 3281 | bj zeta; Ornatenton           | 17 | 46  | 15      | < 0,002 | 15 | 44  | 24  | 16  | 15 | 20   | 7,4      | < 0,0007 | 0,21     |
| 3280 | bj zeta; Ornatenton           | 15 | 43  | 12      | < 0,002 | 16 | 45  | 26  | 16  | 19 | 23   | n.g.     | n.g.     | n.g.     |
| 3279 | bj zeta; Ornatenton           | 15 | 50  | 17      | < 0,002 | 19 | 61  | 22  | 15  | 18 | 20   | n.g.     | n.g.     | n.g.     |
| 3278 | bj zeta; Ornatenton           | 13 | 63  | 15      | < 0,002 | 12 | 50  | 22  | 13  | 15 | 19   | n.g.     | n.g.     | n.g.     |
| 3277 | bj zeta; Ornatenton           | 14 | 67  | 14      | < 0,002 | 13 | 57  | 21  | 16  | 17 | 52   | 11,5     | < 0,0007 | 0,61     |
| 3276 | bj zeta; Ornatenton           | 15 | 87  | 13      | < 0,002 | 21 | 76  | 21  | 16  | 14 | 18   | 9,0      | < 0,0007 | 0,72     |
| 3275 | wj alpha; Grenzglaukonit      | 19 | 68  | 15      | < 0,002 | 18 | 84  | 22  | 18  | 14 | 83   | 13,8     | < 0,0007 | 0,37     |
| 3274 | wj alpha; Grenzglaukonit      | 44 | 165 | 18      | 0,39    | 36 | 119 | 51  | 46  | 18 | 2342 | 5,7      | < 0,0007 | 0,83     |
| 3273 | wj alpha; Grenzglaukonit      | 13 | 54  | 12      | 0,13    | 8  | 35  | 13  | 11  | 8  | 21   | 5,6      | < 0,0007 | 0,51     |
| 174  | wj alpha, unt. Weißjuramergel | 13 | 35  | 5       | 0,59    | 7  | 23  | 27  | 36  | 6  | 32   | 2,56     | < 0,0007 | 0,35     |
| 175  | wj alpha, unt. Weißjuramergel | 14 | 40  | < 0,011 | 0,86    | 6  | 20  | 30  | 39  | 8  | 36   | 1,24     | 0,1568   | 0,25     |
| 176  | wj alpha, unt. Weißjuramergel | 6  | 53  | 7       | 0,65    | 6  | 26  | 24  | 31  | 8  | 26   | 5        | < 0,0007 | 0,14     |
| 177  | wj alpha, unt. Weißjuramergel | 12 | 42  | 17      | 0,77    | 5  | 23  | 25  | 33  | 7  | 28   | 3        | 0,0368   | 0,5      |
| 178  | wj alpha, unt. Weißjuramergel | 9  | 37  | 9       | 0,54    | 5  | 20  | 27  | 34  | 6  | 29   | 1,54     | < 0,0007 | 0,19     |
| 179  | wj alpha, unt. Weißjuramergel | 11 | 41  | 8       | 0,67    | 6  | 19  | 29  | 40  | 7  | 35   | 2,15     | < 0,0007 | < 0,0005 |
| 180  | wj alpha, unt. Weißjuramergel | 7  | 48  | < 0,011 | 0,59    | 5  | 19  | 23  | 29  | 7  | 27   | n.g.     | n.g.     | n.g.     |
| 181  | ob. wj gamma, Mergel          | 19 | 17  | 4       | 0,49    | 4  | 20  | 16  | 12  | 5  | 22   | 0,1      | < 0,0007 | < 0,0005 |
| 182  | ob. wj gamma, Mergel          | 17 | 19  | 1       | 0,53    | 5  | 24  | 16  | 12  | 7  | 22   | 0,36     | 0,0668   | < 0,0005 |
| 183  | ob. wj gamma, Mergel          | 13 | 16  | 3       | 0,55    | 2  | 13  | 10  | 7   | 5  | 17   | 2,16     | < 0,0007 | < 0,0005 |
| 184  | ob. wj gamma, Mergel          | 19 | 15  | < 0,011 | 0,66    | 5  | 24  | 15  | 11  | 5  | 27   | 0,1      | < 0,0007 | < 0,0005 |
| 185  | ob. wj gamma, Mergel          | 18 | 18  | 7       | 0,47    | 6  | 26  | 15  | 11  | 7  | 18   | 6        | 0,4268   | 0,89     |
| 186  | ob. wj gamma, Mergel          | 10 | 13  | 1       | 0,40    | 2  | 12  | 9   | 7   | 4  | 16   | 2        | 0,1668   | < 0,0005 |
| 187  | ob. wj gamma, Mergel          | 4  | 11  | 4       | 0,31    | 3  | 11  | 7   | 5   | 3  | 12   | 1,79     | < 0,0007 | < 0,0005 |
| 188  | ob. wj gamma, Mergel          | 6  | 13  | 5       | 0,43    | 3  | 12  | 8   | 6   | 3  | 13   | 1,2      | < 0,0007 | 0,21     |
| 189  | ob. wj gamma, Mergel          | 15 | 18  | 4       | 0,50    | 4  | 21  | 14  | 10  | 7  | 20   | 1,15     | 0,1668   | 0,49     |
| 190  | ob. wj gamma, Mergel          | 20 | 19  | 4       | 0,42    | 4  | 20  | 14  | 12  | 6  | 21   | 0,78     | < 0,0007 | 0,07     |
| 191  | ob. wj gamma, Mergel          | 28 | 20  | 1       | 0,66    | 5  | 23  | 15  | 13  | 6  | 24   | < 0,0008 | < 0,0007 | 0,07     |
| 192  | ob. wj gamma, Mergel          | 18 | 17  | 6       | 0,47    | 4  | 21  | 13  | 10  | 6  | 18   | 1,35     | < 0,0007 | 0,18     |



Tab. 7.A3.: Meßwerte Hauptelemente - S4-Eluatgehalte [mg/l]

n.g. = nicht gemessen

| ID | Geologische Formation             | Al      | Na   | Ca     | Fe      | Mn       | K     | Mg    | SO <sub>4</sub> |
|----|-----------------------------------|---------|------|--------|---------|----------|-------|-------|-----------------|
| NG | Untere Nachweisgrenze (mg/l)      | 0,0050  | 0,09 | 0,02   | 0,0050  | 0,0012   | 0,80  | 0,001 | 0,2             |
| 1  | so, Röttone                       | 0,0882  | 2,46 | 15,23  | < 0,005 | 0,0023   | 14,00 | 2,43  | 2,9             |
| 2  | so, Röttone                       | 1,0050  | 2,32 | 14,88  | 0,0208  | < 0,0012 | 11,47 | 2,40  | 4,6             |
| 3  | so, Röttone                       | 3,3422  | 2,76 | 6,11   | 0,0706  | 0,0030   | 14,00 | 1,60  | 3,4             |
| 4  | so, Röttone                       | 0,4654  | 3,49 | 7,12   | 0,0101  | < 0,0012 | 23,44 | 3,03  | 3,9             |
| 5  | so, Röttone                       | 0,3745  | 2,68 | 16,71  | 0,0078  | < 0,0012 | 14,00 | 2,31  | 6,6             |
| 6  | so, Röttone                       | 0,0344  | 3,26 | 17,71  | < 0,005 | < 0,0012 | 12,10 | 2,53  | 4,9             |
| 7  | so, Röttone                       | 0,0100  | 2,90 | 16,03  | < 0,005 | < 0,0012 | 13,37 | 2,54  | 3,4             |
| 8  | so, Röttone                       | 0,0345  | 3,26 | 17,70  | < 0,005 | < 0,0012 | 14,57 | 2,46  | 4,4             |
| 9  | so, Röttone                       | 0,0114  | 3,42 | 15,82  | < 0,005 | 0,0024   | 13,31 | 2,41  | 4,6             |
| 10 | so, Röttone                       | 0,0244  | 3,31 | 14,78  | < 0,005 | 0,0013   | 14,67 | 2,28  | 7,1             |
| 11 | mo2, Mergel/Tone an d. Basis      | 0,0200  | 7,20 | 53,46  | < 0,005 | < 0,0012 | 41,30 | 23,57 | 237,1           |
| 12 | mo2, Mergel/Tone an d. Basis      | 0,0305  | 6,76 | 41,90  | < 0,005 | < 0,0012 | 27,08 | 14,92 | 163,8           |
| 13 | mo2, Mergel/Tone an d. Basis      | < 0,005 | 6,68 | 149,30 | < 0,005 | 0,0023   | 38,22 | 38,44 | 574,9           |
| 14 | mo2, Mergel/Tone an d. Basis      | 0,0114  | 7,20 | 43,30  | < 0,005 | < 0,0012 | 37,61 | 19,71 | 171,3           |
| 15 | mo2, Mergel/Tone an d. Basis      | 0,0239  | 5,30 | 62,73  | 0,0168  | 0,0014   | 33,29 | 18,77 | 225,5           |
| 16 | mo2, Tonhorizonte                 | 0,0142  | 3,56 | 52,46  | 0,0075  | 0,0014   | 50,92 | 31,07 | 230,6           |
| 17 | mo2, Tonhorizonte                 | 0,0143  | 3,70 | 52,99  | < 0,005 | < 0,0012 | 47,87 | 30,51 | 241,1           |
| 18 | mo2, Tonhorizonte                 | 0,0140  | 4,45 | 59,13  | 0,0121  | 0,0026   | 44,19 | 29,75 | 271,6           |
| 19 | mo2, Tonhorizonte                 | 0,0114  | 5,17 | 63,51  | < 0,005 | < 0,0012 | 53,36 | 31,55 | 290,4           |
| 20 | mo2, Tonhorizonte                 | 0,0059  | 3,42 | 52,32  | < 0,005 | 0,0023   | 53,97 | 28,43 | 249,2           |
| 21 | mo2, Tonhorizonte                 | 0,0127  | 3,11 | 42,88  | < 0,005 | < 0,0012 | 45,42 | 25,17 | 198,2           |
| 22 | mo2, Tonhorizonte                 | 0,0051  | 4,25 | 75,64  | 0,0101  | < 0,0012 | 53,97 | 48,03 | 373,7           |
| 23 | mo2, Tonhorizonte                 | 0,0213  | 4,60 | 74,56  | < 0,005 | < 0,0012 | 33,35 | 31,53 | 298,8           |
| 24 | mo2, Tonhorizonte                 | 0,0198  | 3,96 | 50,61  | 0,0128  | < 0,0012 | 37,06 | 25,50 | 214,9           |
| 25 | mo2, Tonhorizonte                 | 0,0137  | 3,80 | 43,08  | < 0,005 | < 0,0012 | 49,35 | 26,35 | 205,6           |
| 26 | mo2, Mergel/Tone im ob. Abschnitt | 0,0056  | 4,66 | 49,65  | < 0,005 | < 0,0012 | 44,45 | 41,79 | 272,6           |
| 27 | mo2, Mergel/Tone im ob. Abschnitt | 0,0171  | 5,19 | 55,52  | < 0,005 | < 0,0012 | 48,13 | 42,56 | 297,7           |
| 28 | mo2, Mergel/Tone im ob. Abschnitt | 0,0104  | 4,66 | 43,35  | < 0,005 | < 0,0012 | 46,29 | 33,98 | 233,7           |
| 29 | mo2, Mergel/Tone im ob. Abschnitt | 0,0355  | 4,60 | 44,65  | < 0,005 | < 0,0012 | 40,15 | 30,57 | 232,9           |
| 30 | mo2, Mergel/Tone im ob. Abschnitt | 0,0586  | 4,07 | 29,98  | < 0,005 | < 0,0012 | 40,76 | 28,57 | 165,9           |
| 31 | ku Basis, Vitriolschiefer         | 0,0111  | 1,85 | 18,59  | < 0,005 | < 0,0012 | 45,57 | 11,87 | 71,8            |
| 32 | ku Basis, Vitriolschiefer         | 0,0075  | 2,72 | 21,58  | < 0,005 | < 0,0012 | 51,33 | 13,76 | 90,4            |
| 33 | ku Basis, Vitriolschiefer         | < 0,005 | 2,75 | 17,53  | < 0,005 | < 0,0012 | 55,78 | 12,16 | 71,5            |
| 34 | ku Basis, Vitriolschiefer         | 0,0084  | 2,75 | 15,87  | < 0,005 | < 0,0012 | 48,77 | 11,40 | 67,9            |
| 35 | ku Basis, Vitriolschiefer         | < 0,005 | 2,75 | 16,90  | < 0,005 | < 0,0012 | 34,61 | 17,88 | 165,2           |
| 36 | ku Basis, Vitriolschiefer         | < 0,005 | 2,29 | 66,65  | < 0,005 | 0,0057   | 58,32 | 51,59 | 421,6           |
| 37 | ku Basis, Vitriolschiefer         | < 0,005 | 3,69 | 17,49  | < 0,005 | < 0,0012 | 57,76 | 12,68 | 95,7            |
| 38 | ku Basis, Vitriolschiefer         | 0,0148  | 3,72 | 13,55  | < 0,005 | < 0,0012 | 47,79 | 9,36  | 34,6            |
| 39 | ku Basis, Vitriolschiefer         | 0,0151  | 2,86 | 14,16  | < 0,005 | < 0,0012 | 41,51 | 9,76  | 49,9            |
| 40 | ku Basis, Vitriolschiefer         | 0,0084  | 3,61 | 15,26  | < 0,005 | < 0,0012 | 39,62 | 9,76  | 47,4            |
| 41 | ku, Estherienschieften            | 0,0270  | 3,64 | 14,01  | < 0,005 | < 0,0012 | 21,13 | 4,19  | 35,5            |
| 42 | ku, Estherienschieften            | 0,0097  | 3,78 | 27,90  | < 0,005 | < 0,0012 | 22,42 | 7,19  | 95,7            |
| 43 | ku, Estherienschieften            | 0,3924  | 3,67 | 14,57  | 0,4643  | < 0,0012 | 21,77 | 4,21  | 21,8            |
| 44 | ku, Estherienschieften            | 0,0439  | 3,72 | 13,55  | < 0,005 | < 0,0012 | 20,49 | 3,97  | 13,7            |
| 45 | ku, Estherienschieften            | n.g.    | 4,50 | 12,42  | 0,3342  | < 0,0012 | 23,45 | 4,28  | 18,0            |
| 46 | km1, Grundgipsschieften           | 0,7829  | 2,90 | 628,35 | 0,0307  | 0,0069   | 4,38  | 9,54  | 1559,7          |
| 47 | km1, Grundgipsschieften           | 0,2630  | 3,28 | 629,83 | 0,0402  | 0,0123   | 0,88  | 6,48  | 1530,3          |
| 48 | km1, Grundgipsschieften           | < 0,005 | 3,44 | 628,10 | 0,0763  | 0,0340   | 4,38  | 5,14  | 1475,2          |
| 49 | km1, Grundgipsschieften           | < 0,005 | 3,20 | 624,89 | 0,0940  | 0,0334   | 4,38  | 6,18  | 1499,1          |
| 50 | km1, Grundgipsschieften           | < 0,005 | 3,67 | 615,03 | 0,1191  | 0,0319   | 6,13  | 11,83 | 1557,9          |
| 51 | km1, Grundgipsschieften           | 0,6775  | 1,53 | 636,59 | < 0,005 | 0,0019   | 9,54  | 15,30 | 1605,9          |
| 52 | km1, Grundgipsschieften           | 1,0704  | 2,18 | 610,44 | 0,0561  | 0,0171   | < 0,8 | 18,34 | 1499,5          |
| 53 | km1, Grundgipsschieften           | < 0,005 | 2,10 | 608,66 | 0,0834  | 0,0196   | 4,34  | 6,95  | 1505,1          |
| 54 | km1, Grundgipsschieften           | < 0,005 | 2,02 | 635,31 | 0,0725  | 0,0226   | 9,54  | 7,99  | 1516,3          |
| 55 | km1, Grundgipsschieften           | < 0,005 | 2,34 | 601,58 | 0,0725  | 0,0231   | 7,81  | 9,72  | 1540,6          |
| 56 | km1, Bochinger Horizont           | n.g.    | 3,32 | 25,57  | 0,0208  | 0,0013   | 23,66 | 11,74 | 31,8            |
| 57 | km1, Bochinger Horizont           | n.g.    | 3,49 | 28,53  | 0,0236  | 0,0014   | 29,33 | 8,84  | 29,6            |
| 58 | km1, Bochinger Horizont           | 0,0156  | 3,00 | 33,78  | 0,0076  | 0,0013   | 28,71 | 8,55  | 47,1            |
| 59 | km1, Bochinger Horizont           | n.g.    | 1,86 | 581,92 | 0,0882  | 0,0195   | 33,64 | 17,97 | 1546,1          |
| 60 | km1, Bochinger Horizont           | 0,0147  | 4,03 | 100,63 | < 0,005 | < 0,0012 | 30,21 | 18,47 | 297,3           |
| 61 | km1, Bochinger Horizont           | 0,0220  | 3,94 | 38,61  | 0,0076  | 0,0017   | 25,82 | 9,26  | 69,7            |
| 62 | km1, Dunkelrote Mergel            | n.g.    | 3,11 | 14,81  | < 0,005 | < 0,0012 | 15,37 | 6,33  | 3,3             |
| 63 | km1, Dunkelrote Mergel            | 0,0186  | 2,73 | 17,35  | 0,0173  | < 0,0012 | 10,17 | 5,96  | 330,7           |
| 64 | km1, Dunkelrote Mergel            | n.g.    | 3,46 | 15,50  | 0,0434  | 0,0038   | 13,42 | 5,52  | 8,1             |
| 65 | km1, Dunkelrote Mergel            | 0,0181  | 3,37 | 37,47  | < 0,005 | < 0,0012 | 10,82 | 10,43 | 92,8            |
| 66 | km1, Dunkelrote Mergel            | 0,0111  | 1,50 | 16,49  | < 0,005 | 0,0013   | 9,51  | 5,97  | 2,8             |
| 67 | km1, Mittlerer Gipshorizont       | < 0,005 | 3,15 | 608,92 | 0,0772  | 0,0184   | 6,07  | 10,24 | 1466,0          |
| 68 | km1, Mittlerer Gipshorizont       | < 0,005 | 3,71 | 609,93 | 0,0886  | 0,0225   | 19,90 | 11,39 | 1568,5          |
| 69 | km1, Mittlerer Gipshorizont       | < 0,005 | 5,57 | 613,73 | 0,0561  | 0,0158   | 31,93 | 16,55 | 1531,2          |
| 70 | km1, Mittlerer Gipshorizont       | < 0,005 | 3,48 | 635,34 | 0,0566  | 0,0184   | 4,42  | 10,61 | 1588,9          |
| 71 | km1, Mittlerer Gipshorizont       | 0,1108  | 3,57 | 608,87 | 0,0842  | 0,0256   | 29,01 | 19,64 | 1533,9          |
| 72 | km1, Estherienschieften           | n.g.    | 2,15 | 12,67  | 0,0116  | 0,0021   | 12,54 | 5,58  | 3,8             |
| 73 | km1, Estherienschieften           | 0,0120  | 2,78 | 22,82  | 0,0078  | < 0,0012 | 23,63 | 9,89  | 26,9            |
| 74 | km1, Estherienschieften           | n.g.    | 2,43 | 35,04  | < 0,005 | 0,0016   | 12,54 | 13,13 | 111,0           |
| 75 | km1, Estherienschieften           | 0,0053  | 2,26 | 21,11  | 0,0748  | 0,0057   | 19,73 | 9,47  | 23,8            |
| 76 | km1, Estherienschieften           | 0,0149  | 2,78 | 19,72  | 0,0289  | 0,0025   | 17,77 | 9,50  | 10,0            |
| 77 | km1, Estherienschieften           | 0,0160  | 5,63 | 14,38  | 0,0093  | < 0,0012 | 32,03 | 14,52 | 8,9             |

| ID   | Geologische Formation            | Al      | Na    | Ca     | Fe      | Mn       | K     | Mg    | SO <sub>4</sub> |
|------|----------------------------------|---------|-------|--------|---------|----------|-------|-------|-----------------|
| 78   | km2, dunkle Tonst. i. Schilfsst. | 2,2069  | 3,54  | 5,69   | 0,1030  | 0,0079   | 20,76 | 7,02  | 9,2             |
| 79   | km2, dunkle Tonst. i. Schilfsst. | 1,0246  | 3,66  | 4,90   | 0,0482  | 0,0023   | 27,80 | 8,20  | 6,6             |
| 80   | km2, dunkle Tonst. i. Schilfsst. | 0,0443  | 2,68  | 16,13  | < 0,005 | 0,0026   | 17,54 | 4,23  | 8,6             |
| 81   | km2, dunkle Tonst. i. Schilfsst. | 0,3255  | 2,54  | 19,45  | 0,0189  | 0,0022   | 12,38 | 4,13  | 2,6             |
| 82   | km2, dunkle Tonst. i. Schilfsst. | 0,3148  | 2,79  | 4,50   | 0,0192  | 0,0054   | 28,57 | 8,14  | 6,5             |
| EP14 | Schilfsandstein                  | < 0,005 | 3,04  | 14,75  | < 0,005 | < 0,0012 | 11,39 | 4,24  | 18,3            |
| EP13 | Schilfsandstein                  | 0,1916  | 3,55  | 11,27  | 0,0979  | 0,0015   | 14,10 | 3,66  | 10,5            |
| EP12 | Schilfsandstein                  | 0,1224  | 4,29  | 9,90   | 0,1421  | < 0,0012 | 21,77 | 3,65  | 5,6             |
| 83   | km2, Dunkle Mergel d. ob. km2    | 0,1692  | 2,98  | 9,76   | 0,0074  | < 0,0012 | 30,63 | 6,36  | 6,2             |
| 84   | km2, Dunkle Mergel d. ob. km2    | 0,0163  | 5,36  | 6,16   | < 0,005 | 0,0031   | 27,89 | 6,67  | 3,2             |
| 85   | km2, Dunkle Mergel d. ob. km2    | 0,0218  | 4,09  | 4,61   | 0,0116  | 0,0015   | 32,69 | 8,71  | 13,0            |
| 86   | km2, Dunkle Mergel d. ob. km2    | 0,6395  | 2,98  | 9,68   | 0,0225  | < 0,0012 | 21,68 | 5,36  | 6,2             |
| 87   | km2, Dunkle Mergel d. ob. km2    | 0,0198  | 2,37  | 22,53  | 0,0063  | < 0,0012 | 12,38 | 4,41  | 15,2            |
| 88   | km3u, Rote Wand                  | 0,0061  | 3,57  | 13,60  | < 0,005 | < 0,0012 | 18,83 | 5,77  | 2,4             |
| 89   | km3u, Rote Wand                  | < 0,005 | 3,86  | 17,91  | < 0,005 | < 0,0012 | 18,83 | 6,82  | 2,4             |
| 90   | km3u, Rote Wand                  | < 0,005 | 4,08  | 15,90  | < 0,005 | < 0,0012 | 24,60 | 6,78  | 3,2             |
| 91   | km3u, Rote Wand                  | 0,0080  | 3,25  | 13,87  | < 0,005 | < 0,0012 | 13,17 | 5,33  | 0,3             |
| 92   | km3u, Rote Wand                  | < 0,005 | 3,79  | 14,33  | < 0,005 | 0,0044   | 24,60 | 5,29  | 1,9             |
| 93   | km3u, Rote Wand                  | < 0,005 | 3,88  | 15,11  | < 0,005 | < 0,0012 | 18,91 | 5,28  | 0,3             |
| EP10 | km3u, Untere Bunte Mergel        | n.g.    | 4,95  | 44,04  | < 0,005 | < 0,0012 | 16,37 | 11,38 | 201,3           |
| EP9  | km3u, Untere Bunte Mergel        | < 0,005 | 4,74  | 22,08  | < 0,005 | < 0,0012 | 16,37 | 4,36  | 67,6            |
| EP8  | km3u, Untere Bunte Mergel        | < 0,005 | 5,31  | 20,31  | 0,0057  | < 0,0012 | 16,37 | 4,18  | 59,3            |
| EP7  | km3u, Untere Bunte Mergel        | < 0,005 | 4,71  | 10,66  | < 0,005 | 0,0057   | 8,21  | 3,32  | 8,8             |
| EP6  | km3u, Untere Bunte Mergel        | < 0,005 | 3,14  | 9,50   | < 0,005 | 0,0089   | 10,94 | 4,18  | 7,1             |
| EP5  | km3u, Untere Bunte Mergel        | 0,0102  | 2,66  | 10,27  | < 0,005 | 0,0084   | 12,98 | 5,21  | 10,4            |
| DP1  | km3l, Lehrbergsschichten         | 0,0117  | 3,83  | 9,98   | < 0,005 | < 0,0012 | 14,33 | 4,99  | 8,8             |
| 94   | km3o, Obere Bunte Mergel         | 0,0070  | 2,74  | 11,57  | < 0,005 | < 0,0012 | 13,17 | 5,42  | < 0,2           |
| 95   | km3o, Obere Bunte Mergel         | < 0,005 | 2,42  | 9,24   | < 0,005 | 0,0078   | 11,26 | 6,16  | < 0,2           |
| 96   | km3o, Obere Bunte Mergel         | 0,0190  | 3,31  | 11,38  | 0,1171  | 0,0101   | 17,00 | 5,76  | 1,1             |
| 97   | km3o, Obere Bunte Mergel         | < 0,005 | 2,22  | 13,40  | 0,0117  | 0,0016   | 21,44 | 5,86  | 2,8             |
| 98   | km3o, Obere Bunte Mergel         | < 0,005 | 2,91  | 192,90 | < 0,005 | 0,0094   | 30,90 | 45,24 | 728,8           |
| 99   | km3o, Obere Bunte Mergel         | < 0,005 | 3,54  | 13,74  | < 0,005 | < 0,0012 | 20,99 | 5,93  | 6,2             |
| 100  | km3o, Obere Bunte Mergel         | 0,0349  | 2,64  | 11,44  | 0,0301  | 0,0035   | 18,91 | 5,75  | 1,4             |
| 101  | km3o, Obere Bunte Mergel         | 0,0107  | 2,87  | 9,98   | < 0,005 | < 0,0012 | 21,19 | 6,80  | 3,2             |
| 102  | km3o, Obere Bunte Mergel         | < 0,005 | 4,59  | 19,77  | 0,0523  | 0,0052   | 21,90 | 9,47  | 12,3            |
| 103  | km3o, Obere Bunte Mergel         | 0,0201  | 3,24  | 13,96  | 0,0129  | 0,0027   | 13,34 | 5,44  | 6,8             |
| P19  | km4, Stubensst, Sandstein        | 0,0463  | 18,00 | 4,14   | < 0,005 | 0,0013   | 18,31 | 7,30  | 52,5            |
| P18  | km4, Stubensst, Tonstein         | 8,0979  | 24,61 | 2,52   | 0,2095  | 0,0023   | 26,34 | 4,35  | 17,6            |
| P17  | km4, Stubensst, ton. Sandstein   | 0,0093  | 28,11 | 15,68  | < 0,005 | 0,0014   | 32,33 | 10,47 | 69,0            |
| P1   | km4, ob. Stubenssandst.          | n.g.    | 5,60  | 2,24   | < 0,005 | 0,0033   | 2,52  | 5,13  | 18,3            |
| P16  | km5, Knollenmergel               | 4,9425  | 42,26 | 6,71   | 0,1177  | 0,0030   | 14,27 | 5,22  | 12,9            |
| P15  | km5, Knollenmergel               | 0,1049  | 37,67 | 7,15   | < 0,005 | < 0,0012 | 13,59 | 4,27  | 9,4             |
| P14  | km5, Knollenmergel               | 0,7544  | 34,46 | 8,71   | 0,0203  | 0,0015   | 9,53  | 4,59  | 17,3            |
| P13  | km5, Knollenmergel               | 0,0134  | 27,89 | 10,16  | < 0,005 | < 0,0012 | 13,59 | 5,35  | 15,7            |
| P12  | km5, Knollenmergel               | 0,0422  | 30,11 | 8,21   | < 0,005 | 0,0022   | 19,36 | 5,17  | 16,5            |
| P10  | km5, Knollenmergel               | 0,3041  | 27,30 | 9,93   | 0,0100  | < 0,0012 | 13,86 | 5,51  | 12,5            |
| P7   | km5, Knollenmergel               | 0,0096  | 16,58 | 12,57  | < 0,005 | 0,0016   | 20,73 | 7,56  | 15,0            |
| P11  | km5, Knollenmergel               | 0,0060  | 14,91 | 17,50  | < 0,005 | 0,0016   | 24,83 | 9,39  | 36,9            |
| P8   | ko, Rhät-Tonstein                | 0,0064  | 10,73 | 91,96  | < 0,005 | 0,0580   | 16,61 | 37,15 | 275,2           |
| P9   | sj alpha1, Psilonotenkalk        | < 0,005 | 4,33  | 238,65 | < 0,005 | 0,2048   | 20,73 | 19,60 | 611,3           |
| P6   | sj alpha1, Psilonotenkalk        | 0,0257  | 3,54  | 54,71  | < 0,005 | 0,0125   | 11,79 | 6,49  | 93,2            |
| P5   | sj alpha1, Psilonotentone        | 0,0121  | 5,09  | 56,63  | < 0,005 | 0,0119   | 32,98 | 29,78 | 160,8           |
| 104  | sj alpha1, Psilonotentone        | 0,7405  | 1,73  | 7,24   | 0,1854  | 0,0173   | 7,59  | 1,46  | 7,0             |
| 105  | sj alpha1, Psilonotentone        | 0,0457  | 2,50  | 4,43   | 0,2473  | 0,0160   | 5,43  | 2,61  | 6,2             |
| 106  | sj alpha1, Psilonotentone        | 0,1060  | 1,63  | 5,12   | 0,8849  | 0,0048   | 5,43  | 2,33  | 2,8             |
| 107  | sj alpha1, Psilonotentone        | 0,1142  | 1,63  | 5,09   | 0,1831  | 0,0030   | 8,31  | 2,43  | 3,7             |
| 108  | sj alpha1, Psilonotentone        | n.g.    | 2,03  | 6,27   | 0,1167  | 0,0082   | < 0,8 | 0,84  | 9,0             |
| P4   | sj alpha2, Angulatensandstein    | 0,0218  | 3,67  | 428,05 | < 0,005 | 1,3909   | 23,88 | 13,90 | 524,0           |
| P3   | sj alpha2, Angulatentonstein     | 0,0242  | 2,46  | 49,63  | < 0,005 | < 0,0012 | 15,38 | 15,38 | 155,3           |
| P2   | sj alpha2, Angulatensandstein    | 0,1284  | 2,97  | 26,66  | < 0,005 | 0,0036   | 28,10 | 2,73  | 29,2            |
| 109  | sj beta, unt. Schwarzjuratone    | 0,2377  | 4,14  | 6,69   | 0,5582  | 0,0054   | 9,71  | 1,57  | 6,8             |
| 110  | sj beta, unt. Schwarzjuratone    | 0,0877  | 3,80  | 6,93   | 1,2913  | 0,0095   | 6,13  | 2,49  | 6,5             |
| 111  | sj gamma, unt. Schwarzjuramergel | 0,0102  | 10,45 | 41,20  | 0,0052  | 0,0151   | 37,73 | 18,27 | 139,3           |
| 112  | sj gamma, unt. Schwarzjuramergel | 0,0223  | 11,58 | 57,19  | < 0,005 | 0,0096   | 37,73 | 17,11 | 188,8           |
| 113  | sj gamma, unt. Schwarzjuramergel | 0,0150  | 12,31 | 103,44 | < 0,005 | 0,0199   | 67,13 | 34,18 | 417,8           |
| 114  | sj gamma, unt. Schwarzjuramergel | 0,0200  | 9,80  | 111,30 | 0,0085  | 0,0407   | 34,25 | 32,09 | 405,0           |
| 115  | sj gamma, unt. Schwarzjuramergel | 0,0119  | 11,09 | 88,02  | < 0,005 | 0,0182   | 52,89 | 28,23 | 287,7           |
| 116  | sj delta, ob. Schwarzjuratone    | 0,0242  | 13,71 | 23,50  | 0,0146  | 0,0027   | 1,81  | 1,29  | 9,7             |
| 117  | sj delta, ob. Schwarzjuratone    | 0,0574  | 28,30 | 12,97  | 0,1735  | 0,0161   | 0,70  | 0,63  | 6,8             |
| 118  | sj delta, ob. Schwarzjuratone    | 0,0199  | 32,91 | 28,06  | 0,0348  | 0,0030   | 1,40  | 1,04  | 6,8             |
| 119  | sj epsilon1, Seegrasschiefer     | < 0,005 | 3,67  | 226,73 | < 0,005 | 0,0659   | 33,65 | 17,42 | 601,1           |
| 120  | sj epsilon1, Seegrasschiefer     | 0,0900  | 6,33  | 273,43 | 0,0231  | 0,0970   | 33,65 | 21,02 | 727,6           |
| 121  | sj epsilon1, Seegrasschiefer     | < 0,005 | 4,88  | 178,30 | 0,0186  | 0,1173   | 42,42 | 18,71 | 509,5           |
| 122  | sj epsilon1, Seegrasschiefer     | 0,0169  | 4,32  | 191,38 | < 0,005 | 0,0253   | 37,16 | 18,01 | 475,8           |
| 123  | sj epsilon1, Seegrasschiefer     | 0,0216  | 6,17  | 243,67 | 0,0087  | 0,0749   | 12,47 | 16,96 | 681,0           |
| 124  | sj epsilon1, Seegrasschiefer     | < 0,005 | 5,19  | 230,06 | 0,0519  | 0,2472   | 14,12 | 17,09 | 548,4           |
| 125  | sj epsilon1, Seegrasschiefer     | 0,1907  | 3,77  | 267,27 | 0,0398  | 0,3093   | 40,34 | 13,60 | 608,4           |
| 126  | sj epsilon1, Seegrasschiefer     | 0,2622  | 5,66  | 224,87 | 0,0650  | 0,1669   | 12,36 | 12,37 | 544,8           |
| 127  | sj epsilon1, Seegrasschiefer     | 0,4814  | 2,59  | 273,08 | 0,0371  | 0,3392   | 36,86 | 11,88 | 653,8           |
| 128  | sj epsilon1, Seegrasschiefer     | < 0,005 | 3,06  | 240,42 | 0,0577  | 0,1714   | 14,12 | 13,62 | 612,0           |

| ID   | Geologische Formation            | Al      | Na    | Ca     | Fe      | Mn       | K     | Mg    | SO <sub>4</sub> |
|------|----------------------------------|---------|-------|--------|---------|----------|-------|-------|-----------------|
| 129  | sj epsilon2, Tonmergel           | < 0,005 | 7,54  | 178,47 | 0,0450  | 0,0863   | 33,38 | 27,99 | 515,7           |
| 130  | sj epsilon2, Tonmergel           | < 0,005 | 6,99  | 168,00 | 0,0300  | 0,1241   | 28,02 | 26,37 | 527,4           |
| 131  | sj epsilon2, Tonmergel           | < 0,005 | 6,92  | 194,45 | 0,0183  | 0,1048   | 16,17 | 28,74 | 532,1           |
| 132  | sj epsilon2, Tonmergel           | 0,0543  | 10,30 | 166,68 | 0,0230  | 0,0633   | 19,57 | 31,43 | 546,1           |
| 133  | sj epsilon2, Tonmergel           | 0,1838  | 6,77  | 169,80 | 0,0374  | 0,0526   | 33,07 | 26,62 | 513,4           |
| 134  | sj epsilon2, Tonmergel           | < 0,005 | 4,96  | 177,44 | < 0,005 | 0,1325   | 21,26 | 26,66 | 548,4           |
| 135  | sj epsilon2, Tonmergel           | < 0,005 | 5,41  | 166,10 | < 0,005 | 0,1165   | 34,76 | 28,52 | 504,1           |
| 136  | sj epsilon2, Tonmergel           | 0,0373  | 4,21  | 186,52 | 0,0213  | 0,0224   | 29,19 | 26,43 | 595,1           |
| 137  | sj epsilon2, Tonmergel           | < 0,005 | 4,28  | 172,88 | 0,0282  | 0,0904   | 24,36 | 28,14 | 527,4           |
| 138  | sj epsilon2, Tonmergel           | 0,0703  | 3,55  | 155,85 | 0,0303  | 0,1211   | 17,89 | 27,43 | 506,4           |
| 139  | sj epsilon2, Stinkkalke          | 0,0280  | 3,62  | 174,96 | 0,0136  | 0,0531   | 34,02 | 27,24 | 553,1           |
| 140  | sj epsilon2, Stinkkalke          | 0,0190  | 3,40  | 197,52 | < 0,005 | 0,0279   | 22,74 | 23,89 | 600,0           |
| 141  | sj epsilon2, Stinkkalke          | 0,0169  | 4,65  | 139,80 | < 0,005 | 0,0205   | 17,89 | 17,07 | 411,1           |
| 142  | sj epsilon2, Stinkkalke          | 0,0254  | 1,58  | 114,00 | < 0,005 | 0,0090   | 19,15 | 15,77 | 319,0           |
| 143  | sj epsilon2, Stinkkalke          | < 0,005 | 6,26  | 200,86 | < 0,005 | 0,0519   | 17,56 | 30,59 | 606,9           |
| 144  | sj epsilon3, Wilde Schiefer      | 0,2151  | 5,46  | 258,83 | 0,0180  | 0,2003   | 14,38 | 18,18 | 682,9           |
| 145  | sj epsilon3, Wilde Schiefer      | 0,0084  | 8,09  | 246,75 | < 0,005 | 0,0361   | 23,91 | 18,26 | 682,9           |
| 146  | sj epsilon3, Wilde Schiefer      | 0,0314  | 6,70  | 243,09 | 0,0167  | 0,4357   | 17,56 | 19,60 | 696,7           |
| 147  | sj epsilon3, Wilde Schiefer      | < 0,005 | 5,31  | 234,06 | 0,0370  | 0,1398   | 3,20  | 18,88 | 620,7           |
| 148  | sj epsilon3, Wilde Schiefer      | < 0,005 | 4,24  | 253,87 | 0,0160  | 0,1964   | 6,91  | 15,21 | 708,3           |
| 149  | sj epsilon3, Wilde Schiefer      | < 0,005 | 4,86  | 232,45 | 0,0394  | 0,3153   | 14,56 | 15,51 | 618,4           |
| 150  | sj epsilon3, Wilde Schiefer      | < 0,005 | 3,62  | 220,78 | < 0,005 | 0,0163   | 5,37  | 20,53 | 659,8           |
| 151  | sj epsilon3, Wilde Schiefer      | < 0,005 | 4,72  | 226,34 | 0,0317  | 0,1360   | 22,18 | 17,89 | 567,8           |
| 152  | sj epsilon3, Wilde Schiefer      | < 0,005 | 5,96  | 229,30 | 0,0601  | 0,1853   | 25,22 | 21,22 | 655,2           |
| 153  | sj epsilon3, Wilde Schiefer      | 0,2139  | 4,93  | 225,60 | 0,0609  | 0,1714   | 20,66 | 20,32 | 590,8           |
| 154  | sj zeta, ob. Schwarzjuramergel   | 0,8115  | 7,73  | 188,23 | 0,0119  | 0,0859   | 21,46 | 8,45  | 498,9           |
| 155  | sj zeta, ob. Schwarzjuramergel   | < 0,005 | 6,83  | 202,60 | 0,0128  | 0,5577   | 32,12 | 7,40  | 508,0           |
| 156  | sj zeta, ob. Schwarzjuramergel   | 0,0118  | 6,01  | 48,08  | < 0,005 | < 0,0012 | 24,51 | 2,82  | 64,4            |
| 157  | sj zeta, ob. Schwarzjuramergel   | 0,0110  | 4,56  | 41,25  | < 0,005 | < 0,0012 | 9,22  | 2,09  | 57,5            |
| 158  | sj zeta, ob. Schwarzjuramergel   | 0,0058  | 4,42  | 174,86 | 0,0169  | 0,0843   | 9,22  | 6,78  | 404,6           |
| 159  | bj alpha, Opalinuston            | 0,0083  | 8,97  | 65,98  | < 0,005 | 0,0443   | 29,08 | 19,96 | 193,1           |
| 160  | bj alpha, Opalinuston            | 0,0084  | 8,83  | 41,83  | < 0,005 | < 0,0012 | 24,51 | 12,09 | 108,0           |
| 161  | bj alpha, Opalinuston            | < 0,005 | 8,70  | 50,81  | < 0,005 | < 0,0012 | 38,77 | 16,33 | 134,8           |
| 162  | bj alpha, Opalinuston            | 0,0116  | 6,75  | 40,42  | < 0,005 | < 0,0012 | 22,14 | 12,71 | 89,5            |
| 163  | bj alpha, Opalinuston            | 0,0243  | 11,97 | 64,90  | < 0,005 | < 0,0012 | 26,69 | 19,60 | 235,0           |
| 164  | bj alpha, Opalinuston            | 0,0279  | 12,11 | 61,11  | < 0,005 | 0,0055   | 22,14 | 17,87 | 206,4           |
| 165  | bj alpha, Opalinuston            | 0,0058  | 7,59  | 41,28  | < 0,005 | < 0,0012 | 14,53 | 11,17 | 99,0            |
| 166  | bj alpha, Opalinuston            | 0,0108  | 11,21 | 53,76  | < 0,005 | < 0,0012 | 31,23 | 13,99 | 158,6           |
| 167  | bj alpha, Opalinuston            | 0,0078  | 12,40 | 95,59  | < 0,005 | 0,0041   | 34,81 | 28,19 | 297,0           |
| 168  | bj alpha, Opalinuston            | 0,0217  | 13,16 | 78,27  | 0,0124  | 0,0358   | 27,29 | 22,35 | 268,4           |
| 169  | bj alpha, Opalinuston            | 0,0254  | 9,14  | 53,87  | < 0,005 | 0,0239   | 31,81 | 24,14 | 182,5           |
| 170  | bj alpha, Opalinuston            | 0,0201  | 11,56 | 64,57  | 0,0057  | 0,0183   | 24,28 | 21,85 | 211,1           |
| 171  | bj alpha, Opalinuston            | 0,0194  | 12,05 | 65,39  | < 0,005 | 0,0747   | 21,26 | 18,51 | 226,5           |
| 172  | bj alpha, Opalinuston            | 0,0087  | 14,68 | 82,17  | < 0,005 | 0,0201   | 22,77 | 21,85 | 309,5           |
| 173  | bj alpha, Opalinuston            | 0,0192  | 9,21  | 68,98  | < 0,005 | 0,0456   | 28,80 | 21,86 | 238,3           |
| 3124 | bj beta; Zopfplatten             | 0,0183  | 24,39 | 31,74  | < 0,005 | < 0,0012 | 14,27 | 8,29  | 94,1            |
| 3125 | bj beta; Zopfplatten             | 0,0194  | 15,77 | 56,17  | < 0,005 | 0,0122   | 14,49 | 8,66  | 159,0           |
| 3179 | bj beta; Zopfplatten             | 0,0283  | 24,67 | 34,40  | < 0,005 | < 0,0012 | 13,81 | 10,06 | 84,2            |
| 3258 | bj beta; Zopfplatten             | 0,0237  | 27,84 | 35,78  | < 0,005 | < 0,0012 | 22,00 | 7,96  | 113,7           |
| 3257 | bj beta; Zopfplatten             | 0,0244  | 17,42 | 65,43  | < 0,005 | 0,0204   | 13,12 | 8,95  | 189,4           |
| 3172 | bj beta; Tolutariazone           | 0,0291  | 19,96 | 35,75  | < 0,005 | 0,0314   | 22,69 | 9,07  | 85,8            |
| 3171 | bj beta; Tolutariazone           | 0,0202  | 14,60 | 38,75  | < 0,005 | 0,0528   | 19,96 | 10,03 | 93,0            |
| 3253 | bj beta; Tolutariazone           | 0,0279  | 14,60 | 26,24  | 0,0051  | < 0,0012 | 19,28 | 8,17  | 48,4            |
| 3252 | bj beta; Tolutariazone           | 0,0247  | 12,41 | 32,46  | 0,0175  | 0,0018   | 14,49 | 5,65  | 84,6            |
| 3165 | bj beta; unt. Donzdorfer Sandst. | 0,0187  | 1,36  | 47,36  | < 0,005 | 0,0284   | 6,57  | 4,58  | 54,7            |
| 3164 | bj beta; unt. Donzdorfer Sandst. | 0,0141  | 0,21  | 9,89   | < 0,005 | 0,0078   | < 0,8 | 0,62  | < 0,2           |
| 3163 | bj beta; unt. Donzdorfer Sandst. | 0,0198  | 0,94  | 68,00  | < 0,005 | < 0,0012 | 10,20 | 3,18  | 139,3           |
| 3162 | bj beta; unt. Donzdorfer Sandst. | 0,0123  | 1,98  | 27,99  | < 0,005 | < 0,0012 | 20,81 | 13,69 | 92,0            |
| 3161 | bj beta; unt. Donzdorfer Sandst. | 0,0176  | 1,71  | 32,48  | < 0,005 | < 0,0012 | 11,15 | 6,31  | 55,2            |
| 3160 | bj beta; unt. Donzdorfer Sandst. | 0,0072  | 1,98  | 117,94 | < 0,005 | 0,0847   | 20,81 | 21,15 | 287,5           |
| 3243 | bj beta; unt. Donzdorfer Sandst. | 0,0173  | 3,36  | 95,24  | < 0,005 | 0,0639   | 31,73 | 11,04 | 245,1           |
| 3242 | bj beta; unt. Donzdorfer Sandst. | 0,0271  | 3,33  | 41,50  | < 0,005 | 0,0129   | 18,06 | 4,35  | 86,1            |
| 3241 | bj beta; unt. Donzdorfer Sandst. | 0,0376  | 3,92  | 37,44  | < 0,005 | 0,0314   | 13,23 | 5,91  | 44,0            |
| 3240 | bj beta; unt. Donzdorfer Sandst. | 0,0159  | 3,00  | 45,91  | < 0,005 | 0,1325   | 20,81 | 10,20 | 49,8            |
| 3348 | bj beta; unt. Donzdorfer Sandst. | 0,0055  | 3,36  | 121,07 | < 0,005 | 0,1264   | 25,60 | 17,66 | 329,7           |
| 3347 | bj beta; unt. Donzdorfer Sandst. | 0,0055  | 4,35  | 110,46 | < 0,005 | 0,5333   | 36,66 | 27,72 | 476,5           |
| 3156 | bj beta; Personatensandstein     | 0,0239  | 1,73  | 93,93  | < 0,005 | 0,0577   | 10,20 | 12,90 | 204,6           |
| 3155 | bj beta; Personatensandstein     | 0,0072  | 1,40  | 88,20  | < 0,005 | 0,0300   | 15,98 | 5,50  | n.g.            |
| 3154 | bj beta; Personatensandstein     | 0,0050  | 1,82  | 125,12 | < 0,005 | 0,0703   | 15,98 | 15,26 | 366,9           |
| 3238 | bj beta; Personatensandstein     | 0,0149  | 1,76  | 110,15 | < 0,005 | 0,0495   | 10,20 | 15,75 | 238,5           |
| 3237 | bj beta; Personatensandstein     | 0,0205  | 3,14  | 134,46 | < 0,005 | 0,1550   | 14,54 | 17,84 | 293,4           |
| 3341 | bj beta; Personatensandstein     | 0,0202  | 2,26  | 157,24 | < 0,005 | 0,1566   | 19,58 | 31,03 | 387,7           |
| 3148 | bj beta; ob. Donzdorfer Sandst.  | < 0,005 | 0,82  | 123,65 | < 0,005 | 0,0850   | 15,18 | 14,34 | 250,2           |
| 3147 | bj beta; ob. Donzdorfer Sandst.  | 0,1731  | 1,41  | 143,14 | 0,6471  | 2,8829   | 15,91 | 22,19 | 436,9           |
| 3146 | bj beta; ob. Donzdorfer Sandst.  | 0,0172  | 1,61  | 115,87 | < 0,005 | 0,0207   | 14,45 | 18,17 | 267,6           |
| 3145 | bj beta; ob. Donzdorfer Sandst.  | n.g.    | 1,48  | 69,47  | < 0,005 | 0,1247   | 17,38 | 8,91  | 99,9            |
| 3144 | bj beta; ob. Donzdorfer Sandst.  | n.g.    | 0,33  | 99,99  | < 0,005 | 0,1379   | 9,29  | 11,96 | 211,3           |
| 3143 | bj beta; ob. Donzdorfer Sandst.  | n.g.    | 2,23  | 98,13  | < 0,005 | 0,1904   | 9,29  | 19,70 | 217,5           |
| 3232 | bj beta; ob. Donzdorfer Sandst.  | 0,0322  | 4,11  | 191,57 | < 0,005 | 0,3728   | 22,19 | 21,89 | 347,4           |
| 3231 | bj beta; ob. Donzdorfer Sandst.  | 0,0198  | 4,25  | 207,14 | < 0,005 | 0,3690   | 22,19 | 33,43 | 482,5           |
| 3230 | bj beta; ob. Donzdorfer Sandst.  | 0,0122  | 2,82  | 35,20  | < 0,005 | < 0,0012 | < 0,8 | 3,75  | 17,3            |
| 3229 | bj beta; ob. Donzdorfer Sandst.  | < 0,005 | 8,43  | 68,03  | < 0,005 | 0,0634   | 24,28 | 12,10 | 160,5           |
| 3228 | bj beta; ob. Donzdorfer Sandst.  | < 0,005 | 8,53  | 96,25  | < 0,005 | 0,1202   | 6,75  | 11,89 | 213,9           |
| 3227 | bj beta; ob. Donzdorfer Sandst.  | 0,0211  | 5,51  | 73,10  | < 0,005 | 0,0667   | 11,69 | 12,42 | 176,9           |
| 3332 | bj beta; ob. Donzdorfer Sandst.  | 0,0202  | 4,65  | 82,69  | < 0,005 | 0,0422   | 10,98 | 9,86  | 118,7           |
| 3331 | bj beta; ob. Donzdorfer Sandst.  | 0,0205  | 6,94  | 32,94  | < 0,005 | 0,0823   | 3,24  | 7,19  | 38,4            |
| 3330 | bj beta; ob. Donzdorfer Sandst.  | 0,0229  | 3,83  | 67,17  | < 0,005 | 0,0216   | 11,80 | 10,53 | 163,0           |

| ID   | Geologische Formation           | Al      | Na     | Ca     | Fe      | Mn       | K     | Mg      | SO <sub>4</sub> |
|------|---------------------------------|---------|--------|--------|---------|----------|-------|---------|-----------------|
| 3142 | bj gamma; Wedelsandstein        | 0,0106  | 5,31   | 52,68  | < 0,005 | 0,0281   | 24,51 | 23,18   | 402,2           |
| 3141 | bj gamma; Wedelsandstein        | < 0,005 | 6,91   | 40,64  | < 0,005 | 0,0170   | 25,21 | 17,09   | 119,0           |
| 3140 | bj gamma; Wedelsandstein        | 0,0107  | 7,45   | 34,29  | < 0,005 | < 0,0012 | 28,01 | 13,10   | 118,9           |
| 3139 | bj gamma; Wedelsandstein        | 0,0204  | 6,72   | 31,92  | < 0,005 | < 0,0012 | 23,11 | 13,23   | 89,0            |
| 3138 | bj gamma; Wedelsandstein        | 0,0147  | 5,85   | 36,76  | < 0,005 | < 0,0012 | 23,81 | 12,26   | 131,5           |
| 3226 | bj gamma; Wedelsandstein        | 0,0150  | 16,90  | 36,43  | < 0,005 | 0,0195   | 32,20 | 13,96   | 126,6           |
| 3225 | bj gamma; Wedelsandstein        | 0,0138  | 19,27  | 38,76  | < 0,005 | 0,0197   | 27,73 | 15,99   | 136,8           |
| 3224 | bj gamma; Wedelsandstein        | 0,0211  | 21,29  | 36,13  | < 0,005 | 0,0025   | 37,26 | 14,85   | 137,4           |
| 3223 | bj gamma; Wedelsandstein        | 0,0187  | 27,31  | 36,55  | < 0,005 | 0,0019   | 41,98 | 15,33   | 176,1           |
| 3222 | bj gamma; Wedelsandstein        | 0,0185  | 23,82  | 29,97  | < 0,005 | 0,0026   | 33,19 | 15,20   | 129,9           |
| 3221 | bj gamma; Wedelsandstein        | 0,0189  | 24,94  | 19,41  | < 0,005 | < 0,0012 | 31,83 | 10,38   | 79,1            |
| 3220 | bj gamma; Wedelsandstein        | 0,0237  | 15,96  | 35,30  | < 0,005 | < 0,0012 | 31,83 | 11,21   | 127,4           |
| 3219 | bj gamma; Wedelsandstein        | 0,0104  | 22,15  | 34,29  | < 0,005 | 0,0036   | 46,01 | 12,39   | 141,5           |
| 3218 | bj gamma; Wedelsandstein        | 0,0161  | 9,74   | 93,42  | < 0,005 | 0,0163   | 21,56 | 25,08   | 334,4           |
| 3217 | bj gamma; Wedelsandstein        | 0,0141  | 38,71  | 30,59  | < 0,005 | 0,0043   | 35,49 | 18,16   | 143,8           |
| 3216 | bj gamma; Wedelsandstein        | 0,0090  | 24,61  | 27,24  | < 0,005 | < 0,0012 | 23,24 | 10,43   | 88,4            |
| 3329 | bj gamma; Wedelsandstein        | < 0,005 | 5,14   | 70,45  | < 0,005 | 0,0483   | 18,43 | 10,52   | 178,0           |
| 3328 | bj gamma; Wedelsandstein        | 0,0129  | 13,82  | 36,61  | 0,0259  | 0,0300   | 32,10 | 9,62    | 105,6           |
| 3327 | bj gamma; Wedelsandstein        | 0,0130  | 16,13  | 35,96  | < 0,005 | 0,0118   | 32,10 | 10,16   | 108,9           |
| 3326 | bj gamma; Wedelsandstein        | 0,0213  | 14,33  | 30,98  | < 0,005 | < 0,0012 | 28,70 | 9,04    | 89,9            |
| 3325 | bj gamma; Wedelsandstein        | 0,0159  | 13,98  | 43,86  | < 0,005 | 0,0051   | 25,97 | 11,41   | 130,8           |
| 3324 | bj gamma; Wedelsandstein        | 0,0209  | 18,13  | 46,30  | < 0,005 | 0,0342   | 28,70 | 13,65   | 142,0           |
| 3323 | bj gamma; Wedelsandstein        | 0,0136  | 15,11  | 42,94  | < 0,005 | 0,0037   | 38,20 | 11,63   | 129,7           |
| 3322 | bj gamma; Wedelsandstein        | 0,0258  | 16,42  | 22,71  | < 0,005 | < 0,0012 | 30,48 | 7,55    | 71,3            |
| 3321 | bj gamma; Wedelsandstein        | 0,0902  | 18,58  | 18,71  | < 0,005 | < 0,0012 | 30,48 | 6,55    | 66,7            |
| 3320 | bj gamma; Wedelsandstein        | 0,0159  | 21,48  | 32,16  | < 0,005 | < 0,0012 | 42,82 | 10,71   | 139,7           |
| 3319 | bj gamma; Wedelsandstein        | 0,0160  | 12,26  | 43,36  | < 0,005 | < 0,0012 | 27,72 | 10,31   | 152,5           |
| 3318 | bj gamma; Wedelsandstein        | 0,0150  | 22,96  | 45,55  | < 0,005 | < 0,0012 | 36,67 | 14,41   | 466,8           |
| 3317 | bj gamma; Wedelsandstein        | 0,0092  | 29,39  | 37,59  | < 0,005 | < 0,0012 | 40,78 | 13,39   | 195,2           |
| 3137 | bj delta; Dorsetensienbank      | 0,0150  | 6,13   | 66,46  | < 0,005 | < 0,0012 | 35,99 | 21,01   | 245,0           |
| 3315 | bj delta; Dorsetensienbank      | 0,0071  | 29,39  | 72,65  | 0,0263  | 0,0265   | 38,73 | 22,42   | 345,6           |
| 3314 | bj delta; Dorsetensienbank      | n.g.    | 22,02  | 34,83  | n.g.    | n.g.     | 23,53 | 12,49   | 140,5           |
| 3313 | bj delta; Dorsetensienbank      | n.g.    | 10,77  | 26,37  | n.g.    | n.g.     | 10,57 | 6,41    | 70,0            |
| 3312 | bj delta; Dorsetensienbank      | n.g.    | 20,33  | 59,46  | n.g.    | n.g.     | 21,39 | 15,83   | 218,5           |
| 3311 | bj delta; Dorsetensienbank      | 0,0113  | 18,45  | 53,05  | < 0,005 | 0,0173   | 22,10 | 14,63   | 194,9           |
| 3310 | bj delta; Dorsetensienbank      | < 0,005 | 24,49  | 77,19  | < 0,005 | 0,0072   | 26,39 | 23,79   | 327,8           |
| 3309 | bj delta; Dorsetensienbank      | 0,0158  | 18,97  | 79,55  | < 0,005 | < 0,0012 | 10,57 | 18,64   | 254,0           |
| 3136 | bj delta; Humphriesi-Oolith     | n.g.    | 3,67   | 46,06  | < 0,005 | 0,0184   | 9,12  | 14,69   | 121,3           |
| 3215 | bj delta; Humphriesi-Oolith     | < 0,005 | 19,45  | 63,75  | < 0,005 | 0,0253   | 24,97 | 19,16   | 212,8           |
| 3214 | bj delta; Humphriesi-Oolith     | 0,0150  | 36,14  | 40,62  | < 0,005 | 0,0057   | 23,72 | 17,00   | 224,2           |
| 3213 | bj delta; Humphriesi-Oolith     | 0,0053  | 29,31  | 62,10  | < 0,005 | 0,0127   | 22,93 | 19,93   | 394,3           |
| 3308 | bj delta; Humphriesi-Oolith     | 0,0293  | 26,11  | 36,60  | < 0,005 | < 0,0012 | 14,94 | 13,79   | n.g.            |
| 3212 | bj delta; Coronatenschichten    | 0,0135  | 34,36  | 115,35 | < 0,005 | < 0,0012 | 25,31 | 30,24   | 555,2           |
| 3211 | bj delta; Coronatenschichten    | 0,0156  | 41,00  | 83,42  | < 0,005 | 0,0088   | 30,86 | 26,78   | 446,9           |
| 3210 | bj delta; Coronatenschichten    | 0,0196  | 54,00  | 46,26  | < 0,005 | 0,0017   | 22,13 | 22,41   | 242,6           |
| 3209 | bj delta; Coronatenschichten    | 0,0087  | 54,56  | 67,80  | < 0,005 | 0,0060   | 35,58 | 27,39   | 385,1           |
| 3208 | bj delta; Coronatenschichten    | 0,0119  | 23,47  | 30,48  | < 0,005 | < 0,0012 | 14,94 | 8,23    | 93,9            |
| 3207 | bj delta; Coronatenschichten    | 0,0213  | 18,64  | 27,90  | < 0,005 | < 0,0012 | 17,22 | 10,43   | 90,6            |
| 3135 | bj delta; Blagdeni-Schichten    | < 0,005 | 10,93  | 31,60  | < 0,005 | 0,0012   | 24,52 | 11,76   | 136,2           |
| 3134 | bj delta; Blagdeni-Schichten    | 0,0152  | 8,78   | 35,42  | < 0,005 | 0,0044   | 19,66 | 9,88    | 104,5           |
| 3133 | bj delta; Blagdeni-Schichten    | 0,0055  | 17,12  | 43,36  | < 0,005 | < 0,0012 | 25,32 | 16,11   | 173,5           |
| 3132 | bj delta; Blagdeni-Schichten    | 0,0082  | 17,38  | 106,53 | < 0,005 | < 0,0012 | 27,74 | 26,05   | 405,1           |
| 3131 | bj delta; Blagdeni-Schichten    | 0,0073  | 18,94  | 65,30  | < 0,005 | 0,0062   | 24,52 | 24,28   | 287,6           |
| 3130 | bj delta; Blagdeni-Schichten    | 0,0122  | 15,79  | 101,96 | < 0,005 | 0,0064   | 44,53 | 31,89   | 450,6           |
| 3307 | bj delta; Blagdeni-Schichten    | < 0,005 | 34,63  | 33,77  | < 0,005 | < 0,0012 | 24,52 | 13,42   | 192,7           |
| 3306 | bj delta; Blagdeni-Schichten    | 0,0220  | < 0,09 | < 0,02 | < 0,005 | < 0,0012 | < 0,8 | < 0,001 | n.g.            |
| 3305 | bj delta; Blagdeni-Schichten    | 0,0114  | 35,68  | 65,17  | < 0,005 | 0,0184   | 33,93 | 25,55   | 297,6           |
| 3304 | bj delta; Blagdeni-Schichten    | 0,0231  | 40,41  | 35,23  | < 0,005 | < 0,0012 | 39,48 | 16,87   | 192,7           |
| 3129 | bj delta; Subfurcatus-Oolith    | n.g.    | 10,09  | 53,23  | < 0,005 | 0,0134   | 28,34 | 14,33   | 177,5           |
| 3206 | bj delta; Subfurcatus-Oolith    | 0,0156  | 53,76  | 94,35  | < 0,005 | 0,0168   | 32,33 | 28,97   | 472,7           |
| 3303 | bj delta; Subfurcatus-Oolith    | 0,0239  | 38,23  | 89,53  | < 0,005 | 0,0430   | 38,68 | 26,96   | 409,5           |
| 3302 | bj delta; Subfurcatus-Oolith    | 0,0176  | 33,78  | 64,47  | < 0,005 | 0,0266   | 33,13 | 23,96   | 275,8           |
| 3301 | bj delta; Subfurcatus-Oolith    | 0,0110  | 38,78  | 121,04 | < 0,005 | 0,0341   | 29,14 | 28,11   | 524,5           |
| 3128 | bj delta; Hamitenton            | n.g.    | 17,76  | 46,85  | < 0,005 | 0,0281   | 26,75 | 18,26   | 169,0           |
| 3127 | bj delta; Hamitenton            | 0,0244  | 13,69  | 61,77  | < 0,005 | 0,0095   | 45,19 | 20,42   | 231,7           |
| 3126 | bj delta; Hamitenton            | 0,0139  | 4,83   | 62,62  | < 0,005 | 0,0034   | 36,00 | 11,18   | 180,4           |
| 3205 | bj delta; Hamitenton            | 0,0119  | 58,23  | 33,64  | < 0,005 | < 0,0012 | 39,84 | 15,36   | 241,0           |
| 3204 | bj delta; Hamitenton            | 0,0101  | 53,03  | 35,84  | < 0,005 | 0,0034   | 30,60 | 15,56   | 192,6           |
| 3203 | bj delta; Hamitenton            | 0,0125  | 58,49  | 39,27  | < 0,005 | 0,0037   | 34,46 | 16,30   | 227,0           |
| 3202 | bj delta; Hamitenton            | 0,0214  | 58,49  | 48,26  | < 0,005 | 0,0051   | 29,83 | 17,61   | 268,4           |
| 3201 | bj delta; Hamitenton            | 0,0100  | 61,85  | 38,71  | < 0,005 | 0,0196   | 37,54 | 15,26   | 266,1           |
| 3200 | bj delta; Hamitenton            | 0,0179  | 62,53  | 25,13  | < 0,005 | < 0,0012 | 31,37 | 10,90   | 192,3           |
| 3199 | bj delta; Hamitenton            | 0,0099  | 44,67  | 103,03 | < 0,005 | 0,1162   | 24,61 | 23,10   | 381,0           |
| 3198 | bj delta; Hamitenton            | 0,0075  | 60,74  | 67,87  | < 0,005 | 0,0143   | 29,75 | 20,87   | 403,0           |
| 3300 | bj delta; Hamitenton            | 0,0131  | 40,31  | 41,31  | < 0,005 | 0,0055   | 32,68 | 13,89   | 205,2           |
| 3299 | bj delta; Hamitenton            | < 0,005 | 45,46  | 80,24  | < 0,005 | 0,0039   | 37,06 | 22,77   | 394,0           |
| 3298 | bj delta; Hamitenton            | 0,0127  | 41,85  | 35,06  | < 0,005 | < 0,0012 | 31,95 | 14,78   | 184,0           |
| 3297 | bj delta; Hamitenton            | 0,0107  | 40,09  | 24,20  | < 0,005 | < 0,0012 | 37,78 | 10,89   | 147,3           |
| 3296 | bj delta; Hamitenton            | 0,0146  | 40,70  | 30,74  | < 0,005 | 0,0054   | 31,22 | 13,37   | 159,7           |
| 3295 | bj delta; Hamitenton            | 0,0092  | 44,46  | 29,31  | < 0,005 | < 0,0012 | 21,66 | 12,77   | 158,0           |
| 3294 | bj delta; Hamitenton            | 0,0227  | 48,64  | 23,18  | < 0,005 | < 0,0012 | 16,62 | 10,70   | 134,2           |
| 3293 | bj delta; Hamitenton            | 0,0263  | 45,98  | 51,65  | < 0,005 | 0,0026   | 21,32 | 18,93   | 273,4           |
| 3292 | bj delta; Parkinsoni-Oolith     | 0,0136  | 22,25  | 72,71  | < 0,005 | 0,0323   | 18,97 | 15,39   | 202,3           |
| 3291 | bj epsilon; Obere Braunjuratone | 0,0118  | 48,46  | 43,63  | < 0,005 | 0,0123   | 22,89 | 14,56   | 189,4           |
| 3290 | bj epsilon; Obere Braunjuratone | 0,0179  | 46,81  | 21,75  | < 0,005 | 0,0060   | 18,19 | 8,90    | 157,5           |
| 3289 | bj epsilon; Obere Braunjuratone | 0,0061  | 32,00  | 152,13 | < 0,005 | 0,0774   | 19,76 | 21,11   | 482,0           |
| 3288 | bj epsilon; Obere Braunjuratone | 0,0094  | 41,77  | 45,02  | < 0,005 | 0,0188   | 24,45 | 15,65   | 235,4           |
| 3197 | bj zeta; Macrocephalus-Oolith   | 0,0074  | 38,88  | 50,99  | < 0,005 | < 0,0012 | 23,67 | 10,37   | n.g.            |
| 3196 | bj zeta; Macrocephalus-Oolith   | 0,0074  | 62,15  | 50,58  | < 0,005 | < 0,0012 | 24,34 | 14,84   | 229,8           |
| 3287 | bj zeta; Macrocephalus-Oolith   | 0,0155  | 31,35  | 21,05  | < 0,005 | < 0,0012 | 21,18 | 6,94    | 85,5            |

| ID   | Geologische Formation         | Al      | Na    | Ca     | Fe      | Mn       | K     | Mg    | SO <sub>4</sub> |
|------|-------------------------------|---------|-------|--------|---------|----------|-------|-------|-----------------|
| 3195 | bj zeta; Ornatenton           | < 0,005 | 60,74 | 47,69  | < 0,005 | < 0,0012 | 24,34 | 13,71 | 229,9           |
| 3194 | bj zeta; Ornatenton           | 0,0112  | 53,47 | 118,55 | < 0,005 | 0,0190   | 36,11 | 30,11 | 514,1           |
| 3193 | bj zeta; Ornatenton           | 0,0187  | 57,43 | 27,55  | < 0,005 | < 0,0012 | 25,13 | 10,19 | 157,5           |
| 3192 | bj zeta; Ornatenton           | 0,0139  | 51,38 | 52,02  | < 0,005 | 0,0046   | 31,42 | 19,20 | 243,6           |
| 3191 | bj zeta; Ornatenton           | 0,0090  | 68,59 | 59,90  | < 0,005 | 0,0080   | 36,89 | 22,73 | 564,7           |
| 3190 | bj zeta; Ornatenton           | 0,0117  | 61,93 | 26,74  | < 0,005 | < 0,0012 | 29,85 | 12,94 | 195,3           |
| 3189 | bj zeta; Ornatenton           | 0,0162  | 74,93 | 28,60  | < 0,005 | 0,0016   | 29,73 | 14,53 | 253,6           |
| 3188 | bj zeta; Ornatenton           | 0,0116  | 72,99 | 31,52  | < 0,005 | 0,0033   | 38,19 | 14,69 | 257,2           |
| 3187 | bj zeta; Ornatenton           | 0,0089  | 59,38 | 55,62  | < 0,005 | 0,0018   | 42,77 | 17,05 | 294,1           |
| 3186 | bj zeta; Ornatenton           | n.g.    | 59,23 | 29,42  | < 0,005 | 0,0071   | 33,58 | 11,29 | 196,3           |
| 3286 | bj zeta; Ornatenton           | 0,0252  | 44,62 | 51,59  | < 0,005 | 0,0086   | 25,87 | 20,69 | 286,9           |
| 3285 | bj zeta; Ornatenton           | 0,0149  | 48,52 | 25,60  | < 0,005 | 0,0044   | 25,87 | 13,76 | 183,6           |
| 3284 | bj zeta; Ornatenton           | 0,0226  | 45,41 | 26,03  | < 0,005 | 0,0017   | 22,76 | 13,93 | 145,7           |
| 3283 | bj zeta; Ornatenton           | 0,0143  | 42,05 | 93,19  | < 0,005 | 0,0625   | 32,04 | 31,41 | 540,1           |
| 3282 | bj zeta; Ornatenton           | 0,0166  | 53,29 | 16,10  | < 0,005 | < 0,0012 | 25,26 | 8,84  | 110,7           |
| 3281 | bj zeta; Ornatenton           | 0,0117  | 62,78 | 24,93  | < 0,005 | 0,0038   | 36,13 | 13,82 | 213,5           |
| 3280 | bj zeta; Ornatenton           | < 0,005 | 57,69 | 21,56  | < 0,005 | 0,0050   | 34,59 | 11,65 | 196,9           |
| 3279 | bj zeta; Ornatenton           | 0,0058  | 56,25 | 23,35  | < 0,005 | 0,0035   | 31,49 | 12,74 | 183,4           |
| 3278 | bj zeta; Ornatenton           | < 0,005 | 54,88 | 26,45  | < 0,005 | < 0,0012 | 33,81 | 11,62 | 201,8           |
| 3277 | bj zeta; Ornatenton           | < 0,005 | 51,41 | 35,53  | < 0,005 | < 0,0012 | 26,82 | 13,85 | 189,9           |
| 3276 | bj zeta; Ornatenton           | 0,0121  | 51,05 | 19,72  | < 0,005 | < 0,0012 | 27,60 | 6,28  | 134,4           |
| 3275 | wj alpha; Grenzglaukonit      | 0,0180  | 45,96 | 18,03  | < 0,005 | < 0,0012 | 25,26 | 7,68  | 131,4           |
| 3274 | wj alpha; Grenzglaukonit      | 0,0089  | 50,87 | 20,25  | < 0,005 | < 0,0012 | 31,03 | 7,80  | 129,4           |
| 3273 | wj alpha; Grenzglaukonit      | 0,0170  | 39,17 | 33,67  | < 0,005 | < 0,0012 | 30,93 | 11,38 | 141,1           |
| 174  | wj alpha, unt. Weißjuramergel | 0,0104  | 7,23  | 41,32  | < 0,005 | < 0,0012 | 46,72 | 10,98 | 167,2           |
| 175  | wj alpha, unt. Weißjuramergel | < 0,005 | 6,40  | 44,25  | < 0,005 | < 0,0012 | 49,65 | 12,68 | 181,4           |
| 176  | wj alpha, unt. Weißjuramergel | < 0,005 | 4,24  | 68,53  | < 0,005 | < 0,0012 | 32,01 | 16,91 | 250,2           |
| 177  | wj alpha, unt. Weißjuramergel | < 0,005 | 5,63  | 59,41  | < 0,005 | < 0,0012 | 40,85 | 15,22 | 217,0           |
| 178  | wj alpha, unt. Weißjuramergel | 0,0061  | 6,12  | 53,61  | < 0,005 | < 0,0012 | 55,49 | 12,92 | 209,9           |
| 179  | wj alpha, unt. Weißjuramergel | 0,0123  | 7,86  | 41,66  | < 0,005 | < 0,0012 | 37,91 | 11,21 | 179,1           |
| 180  | wj alpha, unt. Weißjuramergel | 0,0311  | 5,63  | 36,20  | < 0,005 | < 0,0012 | 27,58 | 8,72  | 145,8           |
| 181  | ob. wj gamma, Mergel          | < 0,005 | 4,77  | 20,37  | < 0,005 | < 0,0012 | 32,08 | 3,43  | 17,7            |
| 182  | ob. wj gamma, Mergel          | 0,0054  | 4,45  | 20,08  | < 0,005 | < 0,0012 | 27,99 | 3,32  | 20,6            |
| 183  | ob. wj gamma, Mergel          | 0,0471  | 3,85  | 19,42  | < 0,005 | < 0,0012 | 21,84 | 3,60  | 15,3            |
| 184  | ob. wj gamma, Mergel          | < 0,005 | 4,26  | 44,75  | < 0,005 | < 0,0012 | 40,88 | 14,39 | 168,5           |
| 185  | ob. wj gamma, Mergel          | 0,0221  | 5,94  | 25,31  | < 0,005 | < 0,0012 | 45,59 | 7,80  | 74,1            |
| 186  | ob. wj gamma, Mergel          | 0,0184  | 4,13  | 19,67  | < 0,005 | < 0,0012 | 19,78 | 3,67  | 19,3            |
| 187  | ob. wj gamma, Mergel          | 0,0379  | 3,63  | 19,78  | < 0,005 | < 0,0012 | 14,26 | 4,84  | 19,7            |
| 188  | ob. wj gamma, Mergel          | 0,0474  | 3,56  | 19,32  | < 0,005 | < 0,0012 | 20,46 | 4,16  | 20,3            |
| 189  | ob. wj gamma, Mergel          | 0,0196  | 7,83  | 16,18  | < 0,005 | < 0,0012 | 70,11 | 5,47  | 62,4            |
| 190  | ob. wj gamma, Mergel          | 0,0199  | 4,52  | 19,96  | < 0,005 | < 0,0012 | 29,50 | 4,44  | 27,1            |
| 191  | ob. wj gamma, Mergel          | 0,0397  | 5,19  | 19,64  | < 0,005 | < 0,0012 | 26,69 | 4,23  | 35,6            |
| 192  | ob. wj gamma, Mergel          | 0,0266  | 3,67  | 27,79  | < 0,005 | < 0,0012 | 25,99 | 4,14  | 54,2            |

Tab. 7.A4.: Meßwerte Spurenelemente - S4-Eluatgehalte [mg/l]

n.g. = nicht gemessen

| ID | Geologische Formation             | Zn       | Pb       | Cd       | Co       | Ni      | Cr      | Cu      | B       | Ba      |
|----|-----------------------------------|----------|----------|----------|----------|---------|---------|---------|---------|---------|
| NG | untere Nachweisgrenze (mg/l)      | 0,0006   | 0,0045   | 0,0006   | 0,0015   | 0,0020  | 0,0010  | 0,0010  | 0,0010  | 0,0010  |
| 1  | so, Röttone                       | < 0,0006 | n.g.     | < 0,0006 | 0,0023   | 0,0048  | < 0,001 | 0,0030  | 0,0836  | 0,0025  |
| 2  | so, Röttone                       | 0,0016   | n.g.     | < 0,0006 | < 0,0015 | < 0,002 | 0,0014  | 0,0020  | 0,0898  | 0,0041  |
| 3  | so, Röttone                       | 0,0019   | n.g.     | < 0,0006 | < 0,0015 | 0,0025  | 0,0016  | 0,0026  | 0,1028  | 0,0056  |
| 4  | so, Röttone                       | 0,0062   | 0,0059   | < 0,0006 | < 0,0015 | < 0,002 | 0,0019  | 0,0028  | 0,0940  | 0,0062  |
| 5  | so, Röttone                       | 0,0041   | n.g.     | < 0,0006 | < 0,0015 | < 0,002 | 0,0017  | 0,0024  | 0,0889  | 0,0046  |
| 6  | so, Röttone                       | < 0,0006 | n.g.     | < 0,0006 | < 0,0015 | 0,0023  | 0,0021  | 0,0023  | 0,0908  | 0,0033  |
| 7  | so, Röttone                       | < 0,0006 | n.g.     | < 0,0006 | < 0,0015 | 0,0027  | < 0,001 | < 0,001 | 0,0947  | 0,0026  |
| 8  | so, Röttone                       | 0,0012   | n.g.     | < 0,0006 | 0,0022   | < 0,002 | 0,0118  | < 0,001 | 0,0817  | 0,0026  |
| 9  | so, Röttone                       | < 0,0006 | n.g.     | < 0,0006 | < 0,0015 | < 0,002 | 0,0063  | 0,0028  | 0,0833  | 0,0032  |
| 10 | so, Röttone                       | < 0,0006 | n.g.     | < 0,0006 | < 0,0015 | < 0,002 | 0,0050  | 0,0026  | 0,0946  | 0,0037  |
| 11 | mo2, Mergel/Tone an d. Basis      | < 0,0006 | n.g.     | < 0,0006 | < 0,0015 | 0,0050  | < 0,001 | 0,0021  | 0,1540  | 0,0084  |
| 12 | mo2, Mergel/Tone an d. Basis      | 0,0009   | < 0,0045 | < 0,0006 | < 0,0015 | < 0,002 | 0,0018  | 0,0038  | 0,1108  | 0,0069  |
| 13 | mo2, Mergel/Tone an d. Basis      | 0,0120   | n.g.     | < 0,0006 | 0,0094   | 0,0217  | 0,0117  | 0,0211  | 0,1158  | 0,1245  |
| 14 | mo2, Mergel/Tone an d. Basis      | 0,0008   | n.g.     | < 0,0006 | < 0,0015 | < 0,002 | < 0,001 | 0,0013  | 0,1669  | 0,0055  |
| 15 | mo2, Mergel/Tone an d. Basis      | < 0,0006 | n.g.     | 0,0009   | < 0,0015 | < 0,002 | < 0,001 | 0,0019  | 0,1244  | 0,0092  |
| 16 | mo2, Tonhorizonte                 | < 0,0006 | < 0,0045 | < 0,0006 | 0,0017   | 0,0032  | < 0,001 | 0,0015  | 0,1880  | 0,0092  |
| 17 | mo2, Tonhorizonte                 | 0,0035   | 0,0168   | < 0,0006 | < 0,0015 | 0,0046  | < 0,001 | 0,0024  | 0,2069  | 0,0109  |
| 18 | mo2, Tonhorizonte                 | 0,0217   | < 0,0045 | < 0,0006 | < 0,0015 | < 0,002 | < 0,001 | 0,0011  | 0,2056  | 0,0248  |
| 19 | mo2, Tonhorizonte                 | 0,0013   | < 0,0045 | 0,0006   | < 0,0015 | < 0,002 | 0,0017  | 0,0013  | 0,1870  | 0,0408  |
| 20 | mo2, Tonhorizonte                 | < 0,0006 | < 0,0045 | < 0,0006 | < 0,0015 | < 0,002 | < 0,001 | 0,0023  | 0,2223  | 0,0078  |
| 21 | mo2, Tonhorizonte                 | 0,0014   | < 0,0045 | < 0,0006 | < 0,0015 | 0,0026  | 0,0010  | 0,0018  | 0,1950  | 0,0072  |
| 22 | mo2, Tonhorizonte                 | 0,0013   | 0,1580   | 0,0007   | < 0,0015 | < 0,002 | < 0,001 | < 0,001 | 0,1934  | 0,0129  |
| 23 | mo2, Tonhorizonte                 | 0,0019   | < 0,0045 | < 0,0006 | < 0,0015 | < 0,002 | < 0,001 | 0,0012  | 0,1776  | 0,0181  |
| 24 | mo2, Tonhorizonte                 | < 0,0006 | < 0,0045 | < 0,0006 | < 0,0015 | < 0,002 | < 0,001 | 0,0015  | 0,2150  | 0,0086  |
| 25 | mo2, Tonhorizonte                 | 0,0011   | < 0,0045 | < 0,0006 | < 0,0015 | < 0,002 | < 0,001 | < 0,001 | 0,2067  | 0,0074  |
| 26 | mo2, Mergel/Tone im ob. Abschnitt | < 0,0006 | n.g.     | < 0,0006 | < 0,0015 | < 0,002 | 0,0014  | < 0,001 | 0,1616  | 0,0075  |
| 27 | mo2, Mergel/Tone im ob. Abschnitt | < 0,0006 | < 0,0045 | < 0,0006 | < 0,0015 | < 0,002 | < 0,001 | < 0,001 | 0,1873  | 0,0070  |
| 28 | mo2, Mergel/Tone im ob. Abschnitt | < 0,0006 | n.g.     | < 0,0006 | < 0,0015 | 0,0022  | 0,0017  | 0,0020  | 0,1599  | 0,0077  |
| 29 | mo2, Mergel/Tone im ob. Abschnitt | 0,0012   | n.g.     | < 0,0006 | < 0,0015 | 0,0046  | 0,0010  | 0,0024  | 0,1528  | 0,0054  |
| 30 | mo2, Mergel/Tone im ob. Abschnitt | 0,0007   | n.g.     | 0,0007   | 0,2918   | < 0,002 | < 0,001 | < 0,001 | 0,1429  | 0,0059  |
| 31 | ku Basis, Vitriolschiefer         | < 0,0006 | n.g.     | < 0,0006 | < 0,0015 | < 0,002 | < 0,001 | 0,0016  | 0,2178  | 0,0056  |
| 32 | ku Basis, Vitriolschiefer         | < 0,0006 | < 0,0045 | < 0,0006 | < 0,0015 | < 0,002 | < 0,001 | < 0,001 | 0,1832  | 0,0043  |
| 33 | ku Basis, Vitriolschiefer         | 0,0013   | n.g.     | < 0,0006 | < 0,0015 | 0,0031  | < 0,001 | 0,0012  | 0,2267  | 0,0056  |
| 34 | ku Basis, Vitriolschiefer         | 0,0008   | n.g.     | < 0,0006 | 0,0728   | 0,0037  | 0,0012  | < 0,001 | 0,2272  | 0,0053  |
| 35 | ku Basis, Vitriolschiefer         | 0,0009   | n.g.     | < 0,0006 | < 0,0015 | 0,0058  | < 0,001 | 0,0051  | 0,4731  | 0,0122  |
| 36 | ku Basis, Vitriolschiefer         | < 0,0006 | 0,0495   | < 0,0006 | < 0,0015 | 0,0043  | < 0,001 | < 0,001 | 0,2054  | 0,0082  |
| 37 | ku Basis, Vitriolschiefer         | 0,0008   | n.g.     | < 0,0006 | 0,8242   | 0,0038  | 0,0014  | < 0,001 | 0,2133  | 0,0051  |
| 38 | ku Basis, Vitriolschiefer         | < 0,0006 | n.g.     | < 0,0006 | < 0,0015 | 0,0027  | < 0,001 | < 0,001 | 0,2016  | 0,0038  |
| 39 | ku Basis, Vitriolschiefer         | < 0,0006 | n.g.     | < 0,0006 | < 0,0015 | 0,0038  | 0,0013  | 0,0017  | 0,1980  | 0,0069  |
| 40 | ku Basis, Vitriolschiefer         | < 0,0006 | 0,0118   | 0,0008   | < 0,0015 | 0,0031  | < 0,001 | < 0,001 | 0,1340  | 0,0034  |
| 41 | ku, Estherienschiefer             | < 0,0006 | n.g.     | 0,0013   | 0,4337   | < 0,002 | < 0,001 | 0,0031  | 0,1110  | 0,0198  |
| 42 | ku, Estherienschiefer             | < 0,0006 | n.g.     | < 0,0006 | < 0,0015 | 0,0031  | < 0,001 | 0,0019  | 0,1048  | 0,0374  |
| 43 | ku, Estherienschiefer             | < 0,0006 | < 0,0045 | < 0,0006 | 0,4412   | < 0,002 | < 0,001 | 0,0026  | 0,1230  | 0,0188  |
| 44 | ku, Estherienschiefer             | 0,0046   | n.g.     | < 0,0006 | < 0,0015 | < 0,002 | < 0,001 | < 0,001 | 0,1769  | 0,0217  |
| 45 | ku, Estherienschiefer             | n.g.     | n.g.     | n.g.     | n.g.     | n.g.    | n.g.    | n.g.    | n.g.    | n.g.    |
| 46 | km1, Grundgipsschichten           | 0,0312   | < 0,0045 | 0,0319   | 0,0787   | 0,1140  | 0,1827  | 0,2859  | 0,1500  | 0,5943  |
| 47 | km1, Grundgipsschichten           | 0,0243   | n.g.     | 0,0024   | < 0,0015 | < 0,002 | 0,5938  | < 0,001 | 0,4273  | < 0,001 |
| 48 | km1, Grundgipsschichten           | 0,0243   | n.g.     | 0,0066   | 0,0220   | 0,0892  | 0,0862  | 0,1396  | 0,0689  | 0,3214  |
| 49 | km1, Grundgipsschichten           | 0,0139   | n.g.     | 0,0079   | 0,0289   | 0,0419  | 0,0509  | 0,0819  | 0,1942  | 0,1578  |
| 50 | km1, Grundgipsschichten           | 0,0180   | n.g.     | 0,0094   | 0,0284   | 0,0532  | 0,0629  | 0,1101  | 0,1193  | 0,1731  |
| 51 | km1, Grundgipsschichten           | 0,0249   | n.g.     | 0,0201   | 0,0467   | 0,0874  | 0,1115  | 0,2065  | 0,1598  | 0,4675  |
| 52 | km1, Grundgipsschichten           | 0,0486   | n.g.     | 0,0486   | 0,1221   | 0,1742  | 0,2724  | 0,4345  | 0,2266  | 0,7488  |
| 53 | km1, Grundgipsschichten           | 0,0179   | n.g.     | 0,0069   | 0,0205   | 0,0510  | 0,0884  | 0,1164  | 0,0723  | 0,1787  |
| 54 | km1, Grundgipsschichten           | 0,0112   | n.g.     | 0,0069   | 0,0168   | 0,0358  | 0,0391  | 0,0710  | 0,0654  | 0,2480  |
| 55 | km1, Grundgipsschichten           | 0,0133   | n.g.     | 0,0058   | 0,0166   | 0,0399  | 0,0681  | 0,1001  | 0,5814  | 0,1568  |
| 56 | km1, Bochinger Horizont           | n.g.     | n.g.     | n.g.     | n.g.     | n.g.    | n.g.    | n.g.    | n.g.    | n.g.    |
| 57 | km1, Bochinger Horizont           | 0,0063   | 0,0079   | 0,0015   | < 0,0015 | 0,0028  | 0,0040  | 0,0064  | 0,0860  | 0,0145  |
| 58 | km1, Bochinger Horizont           | 0,0007   | n.g.     | 0,0006   | < 0,0015 | < 0,002 | 0,0015  | 0,0052  | 0,1227  | 0,0314  |
| 59 | km1, Bochinger Horizont           | n.g.     | n.g.     | n.g.     | n.g.     | n.g.    | n.g.    | n.g.    | n.g.    | n.g.    |
| 60 | km1, Bochinger Horizont           | 0,0006   | < 0,0045 | < 0,0006 | < 0,0015 | 0,0032  | 0,0014  | 0,0036  | 0,1151  | 0,0388  |
| 61 | km1, Bochinger Horizont           | 0,0011   | n.g.     | < 0,0006 | < 0,0015 | < 0,002 | < 0,001 | 0,0048  | 0,1048  | 0,0407  |
| 62 | km1, Dunkelrote Mergel            | n.g.     | 0,0148   | n.g.     | n.g.     | n.g.    | n.g.    | n.g.    | n.g.    | n.g.    |
| 63 | km1, Dunkelrote Mergel            | < 0,0006 | n.g.     | < 0,0006 | 0,0028   | 0,0029  | 0,0015  | < 0,001 | 0,0877  | 0,0391  |
| 64 | km1, Dunkelrote Mergel            | < 0,0006 | n.g.     | 0,0008   | < 0,0015 | < 0,002 | < 0,001 | < 0,001 | 0,0474  | 0,0099  |
| 65 | km1, Dunkelrote Mergel            | < 0,0006 | < 0,0045 | < 0,0006 | < 0,0015 | < 0,002 | < 0,001 | 0,0021  | 0,1046  | 0,0387  |
| 66 | km1, Dunkelrote Mergel            | < 0,0006 | n.g.     | < 0,0006 | < 0,0015 | 0,0024  | 0,0015  | 0,0027  | 0,0970  | 0,0385  |
| 67 | km1, Mittlerer Gipshorizont       | 0,0091   | n.g.     | 0,0010   | 0,0035   | 0,0176  | 0,0174  | 0,0409  | < 0,001 | 0,0999  |
| 68 | km1, Mittlerer Gipshorizont       | 0,0041   | n.g.     | < 0,0006 | < 0,0015 | < 0,002 | < 0,001 | < 0,001 | < 0,001 | < 0,001 |
| 69 | km1, Mittlerer Gipshorizont       | 0,0078   | 0,0128   | 0,0024   | 0,0120   | 0,0370  | 0,0316  | 0,0739  | 0,0125  | 0,2671  |
| 70 | km1, Mittlerer Gipshorizont       | 0,0098   | n.g.     | < 0,0006 | 0,0084   | 0,0244  | 0,0455  | 0,0499  | 0,0102  | 0,1634  |
| 71 | km1, Mittlerer Gipshorizont       | 0,0017   | n.g.     | 0,0034   | 0,0094   | 0,0277  | 0,0310  | 0,0425  | 0,0171  | 0,2268  |
| 72 | km1, Estherienschiefer            | n.g.     | < 0,0045 | n.g.     | n.g.     | n.g.    | n.g.    | n.g.    | n.g.    | n.g.    |
| 73 | km1, Estherienschiefer            | < 0,0006 | n.g.     | < 0,0006 | < 0,0015 | < 0,002 | 0,0017  | 0,0062  | 0,0982  | 0,0601  |
| 74 | km1, Estherienschiefer            | n.g.     | < 0,0045 | n.g.     | n.g.     | n.g.    | n.g.    | n.g.    | n.g.    | n.g.    |
| 75 | km1, Estherienschiefer            | < 0,0006 | n.g.     | < 0,0006 | 0,0015   | < 0,002 | 0,0021  | < 0,001 | 0,0906  | 0,0493  |
| 76 | km1, Estherienschiefer            | < 0,0006 | n.g.     | < 0,0006 | 0,0022   | < 0,002 | < 0,001 | 0,0011  | 0,0877  | 0,1288  |
| 77 | km1, Estherienschiefer            | 0,0014   | n.g.     | 0,0006   | < 0,0015 | < 0,002 | < 0,001 | 0,0024  | 0,1282  | 0,0940  |

| ID   | Geologische Formation            | Zn       | Pb       | Cd       | Co       | Ni      | Cr      | Cu      | B      | Ba     |
|------|----------------------------------|----------|----------|----------|----------|---------|---------|---------|--------|--------|
| 78   | km2, dunkle Tonst. i. Schilfsst. | 0,0111   | n.g.     | < 0,0006 | 0,0015   | 0,0029  | 0,0018  | 0,0028  | 0,1253 | 0,0232 |
| 79   | km2, dunkle Tonst. i. Schilfsst. | 0,0020   | n.g.     | < 0,0006 | < 0,0015 | 0,0055  | 0,0011  | 0,0019  | 0,1308 | 0,0183 |
| 80   | km2, dunkle Tonst. i. Schilfsst. | 0,0006   | n.g.     | < 0,0006 | < 0,0015 | < 0,002 | < 0,001 | 0,0029  | 0,1248 | 0,0565 |
| 81   | km2, dunkle Tonst. i. Schilfsst. | < 0,0006 | < 0,0045 | < 0,0006 | < 0,0015 | 0,0072  | 0,0011  | < 0,001 | 0,1512 | 0,0244 |
| 82   | km2, dunkle Tonst. i. Schilfsst. | 0,0019   | < 0,0045 | < 0,0006 | < 0,0015 | 0,0208  | < 0,001 | 0,0033  | 0,1637 | 0,0585 |
| EP14 | Schilfsandstein                  | 0,0007   | < 0,0045 | < 0,0006 | 0,0016   | < 0,002 | 0,0038  | 0,0012  | 0,1400 | 0,0020 |
| EP13 | Schilfsandstein                  | 0,0026   | n.g.     | < 0,0006 | < 0,0015 | < 0,002 | 0,0018  | < 0,001 | 0,1299 | 0,0031 |
| EP12 | Schilfsandstein                  | 0,0008   | n.g.     | < 0,0006 | < 0,0015 | < 0,002 | 0,0013  | < 0,001 | 0,0897 | 0,0073 |
| 83   | km2, Dunkle Mergel d. ob. km2    | < 0,0006 | 0,0513   | < 0,0006 | < 0,0015 | < 0,002 | 0,0021  | 0,0021  | 0,1494 | 0,0504 |
| 84   | km2, Dunkle Mergel d. ob. km2    | < 0,0006 | n.g.     | < 0,0006 | < 0,0015 | < 0,002 | 0,0025  | 0,0018  | 0,0812 | 0,0152 |
| 85   | km2, Dunkle Mergel d. ob. km2    | 0,0015   | n.g.     | < 0,0006 | < 0,0015 | 0,0022  | 0,0020  | 0,0029  | 0,0603 | 0,0529 |
| 86   | km2, Dunkle Mergel d. ob. km2    | 0,0017   | < 0,0045 | < 0,0006 | < 0,0015 | 0,0021  | 0,0027  | 0,0020  | 0,1961 | 0,0601 |
| 87   | km2, Dunkle Mergel d. ob. km2    | 0,0021   | n.g.     | < 0,0006 | 0,0017   | 0,0031  | < 0,001 | < 0,001 | 0,0600 | 0,0611 |
| 88   | km3u, Rote Wand                  | 0,0023   | n.g.     | < 0,0006 | < 0,0015 | < 0,002 | < 0,001 | 0,0018  | 0,0926 | 0,0589 |
| 89   | km3u, Rote Wand                  | < 0,0006 | < 0,0045 | < 0,0006 | 0,0019   | 0,0023  | 0,0074  | 0,0021  | 0,1125 | 0,0727 |
| 90   | km3u, Rote Wand                  | 0,0021   | n.g.     | < 0,0006 | 0,0017   | < 0,002 | 0,0042  | 0,0016  | 0,1095 | 0,0660 |
| 91   | km3u, Rote Wand                  | < 0,0006 | n.g.     | < 0,0006 | 0,0024   | 0,0028  | 0,0019  | 0,0017  | 0,1104 | 0,0465 |
| 92   | km3u, Rote Wand                  | 0,0023   | n.g.     | < 0,0006 | < 0,0015 | < 0,002 | < 0,001 | < 0,001 | 0,1108 | 0,0449 |
| 93   | km3u, Rote Wand                  | 0,0007   | 0,0050   | < 0,0006 | < 0,0015 | 0,0020  | < 0,001 | < 0,001 | 0,0991 | 0,0558 |
| EP10 | km3u, Untere Bunte Mergel        | < 0,0006 | n.g.     | < 0,0006 | 0,0018   | < 0,002 | 0,0024  | < 0,001 | 0,2035 | 0,0720 |
| EP9  | km3u, Untere Bunte Mergel        | < 0,0006 | 0,0101   | < 0,0006 | < 0,0015 | 0,0179  | 0,0061  | 0,0037  | 0,1893 | 0,4588 |
| EP8  | km3u, Untere Bunte Mergel        | 0,0025   | n.g.     | 0,0015   | < 0,0015 | 0,0405  | 0,0055  | 0,0136  | 0,1547 | 0,4378 |
| EP7  | km3u, Untere Bunte Mergel        | < 0,0006 | n.g.     | < 0,0006 | < 0,0015 | < 0,002 | < 0,001 | < 0,001 | 0,1189 | 0,0123 |
| EP6  | km3u, Untere Bunte Mergel        | < 0,0006 | n.g.     | < 0,0006 | < 0,0015 | 0,0037  | 0,0018  | < 0,001 | 0,1632 | 0,0333 |
| EP5  | km3u, Untere Bunte Mergel        | < 0,0006 | 0,0927   | < 0,0006 | 0,0017   | < 0,002 | < 0,001 | < 0,001 | 0,1461 | 0,1298 |
| DP1  | km3l, Lehrbergschichten          | 0,0019   | n.g.     | < 0,0006 | < 0,0015 | < 0,002 | 0,0020  | 0,0012  | 0,0626 | 0,0673 |
| 94   | km3o, Obere Bunte Mergel         | 0,0007   | 0,0060   | < 0,0006 | 0,0022   | < 0,002 | < 0,001 | 0,0010  | 0,1145 | 0,0772 |
| 95   | km3o, Obere Bunte Mergel         | 0,0024   | 0,0071   | 0,0006   | < 0,0015 | < 0,002 | 0,0011  | 0,0032  | 0,1136 | 0,0684 |
| 96   | km3o, Obere Bunte Mergel         | < 0,0006 | n.g.     | < 0,0006 | < 0,0015 | < 0,002 | 0,0016  | < 0,001 | 0,1527 | 0,0885 |
| 97   | km3o, Obere Bunte Mergel         | < 0,0006 | n.g.     | < 0,0006 | < 0,0015 | < 0,002 | 0,0062  | 0,0020  | 0,1224 | 0,0895 |
| 98   | km3o, Obere Bunte Mergel         | 0,0155   | n.g.     | 0,0051   | < 0,0015 | < 0,002 | 0,0124  | 0,0013  | 0,0555 | 0,0444 |
| 99   | km3o, Obere Bunte Mergel         | 0,0010   | n.g.     | < 0,0006 | < 0,0015 | 0,0028  | 0,0024  | 0,0014  | 0,1414 | 0,1311 |
| 100  | km3o, Obere Bunte Mergel         | 0,0062   | < 0,0045 | < 0,0006 | 0,0024   | 0,0042  | 0,0026  | 0,0021  | 0,1424 | 0,0835 |
| 101  | km3o, Obere Bunte Mergel         | < 0,0006 | n.g.     | < 0,0006 | 0,0018   | < 0,002 | 0,0013  | < 0,001 | 0,1332 | 0,1043 |
| 102  | km3o, Obere Bunte Mergel         | 0,0007   | n.g.     | < 0,0006 | < 0,0015 | < 0,002 | 0,0015  | < 0,001 | 0,1428 | 0,2773 |
| 103  | km3o, Obere Bunte Mergel         | < 0,0006 | n.g.     | 0,0007   | < 0,0015 | < 0,002 | 0,0040  | 0,0016  | 0,1194 | 0,1244 |
| P19  | km4, Stubensst, Sandstein        | 0,0047   | n.g.     | < 0,0006 | 0,0027   | 0,0048  | 0,0017  | < 0,001 | 0,1246 | 0,0406 |
| P18  | km4, Stubensst, Tonstein         | 0,0155   | n.g.     | 0,0007   | < 0,0015 | 0,0022  | 0,0098  | < 0,001 | 0,4125 | 0,0078 |
| P17  | km4, Stubensst, ton. Sandstein   | 0,0015   | n.g.     | < 0,0006 | < 0,0015 | 0,0039  | < 0,001 | 0,0014  | 0,3991 | 0,0212 |
| P1   | km4, ob. Stubenssandst.          | n.g.     | n.g.     | n.g.     | n.g.     | n.g.    | n.g.    | n.g.    | n.g.   | n.g.   |
| P16  | km5, Knollenmergel               | 0,0134   | n.g.     | < 0,0006 | < 0,0015 | 0,0034  | 0,0048  | 0,0027  | 0,6281 | 0,0146 |
| P15  | km5, Knollenmergel               | 0,0030   | n.g.     | 0,0007   | < 0,0015 | < 0,002 | 0,0018  | 0,0015  | 0,6966 | 0,0049 |
| P14  | km5, Knollenmergel               | 0,0035   | 0,0060   | < 0,0006 | 0,0021   | < 0,002 | 0,0019  | 0,0045  | 0,7845 | 0,1114 |
| P13  | km5, Knollenmergel               | < 0,0006 | n.g.     | < 0,0006 | < 0,0015 | < 0,002 | < 0,001 | < 0,001 | 0,6110 | 0,1156 |
| P12  | km5, Knollenmergel               | < 0,0006 | n.g.     | < 0,0006 | < 0,0015 | < 0,002 | < 0,001 | < 0,001 | 0,6670 | 0,0301 |
| P10  | km5, Knollenmergel               | < 0,0006 | n.g.     | < 0,0006 | 0,0016   | < 0,002 | < 0,001 | < 0,001 | 0,8367 | 0,0233 |
| P7   | km5, Knollenmergel               | < 0,0006 | n.g.     | < 0,0006 | 0,0016   | < 0,002 | < 0,001 | < 0,001 | 0,6775 | 0,1933 |
| P11  | km5, Knollenmergel               | < 0,0006 | n.g.     | 0,0006   | < 0,0015 | < 0,002 | < 0,001 | < 0,001 | 0,6377 | 0,0410 |
| P8   | ko, Rhät-Tonstein                | 0,0008   | n.g.     | < 0,0006 | 0,0036   | < 0,002 | < 0,001 | 0,0036  | 0,5976 | 0,0145 |
| P9   | sj alpha1, Psilonotenkalk        | 0,0081   | 0,0071   | 0,0011   | 0,0045   | 0,0033  | < 0,001 | < 0,001 | 0,1403 | 0,0162 |
| P6   | sj alpha1, Psilonotenkalk        | 0,0008   | 0,0131   | < 0,0006 | < 0,0015 | < 0,002 | < 0,001 | 0,0060  | 0,0959 | 0,0129 |
| P5   | sj alpha1, Psilonotentone        | 0,0025   | n.g.     | 0,0010   | < 0,0015 | 0,0036  | 0,0015  | 0,0024  | 0,2585 | 0,0105 |
| 104  | sj alpha1, Psilonotentone        | < 0,0006 | 0,0864   | < 0,0006 | < 0,0015 | < 0,002 | 0,0020  | 0,0034  | 0,1343 | 0,0127 |
| 105  | sj alpha1, Psilonotentone        | 0,0008   | 0,0131   | 0,0010   | < 0,0015 | 0,0022  | 0,0016  | 0,0027  | 0,2279 | 0,0084 |
| 106  | sj alpha1, Psilonotentone        | < 0,0006 | n.g.     | < 0,0006 | < 0,0015 | < 0,002 | 0,0022  | < 0,001 | 0,1264 | 0,0034 |
| 107  | sj alpha1, Psilonotentone        | 0,0054   | n.g.     | < 0,0006 | 0,0033   | 0,0022  | < 0,001 | 0,0047  | 0,1377 | 0,0042 |
| 108  | sj alpha1, Psilonotentone        | n.g.     | n.g.     | n.g.     | n.g.     | n.g.    | n.g.    | n.g.    | n.g.   | n.g.   |
| P4   | sj alpha2, Angulatensandstein    | 0,0046   | n.g.     | 0,0018   | 0,0092   | 0,0304  | 0,0013  | 0,0272  | 0,0489 | 0,1185 |
| P3   | sj alpha2, Angulatentonstein     | 0,0039   | n.g.     | < 0,0006 | < 0,0015 | < 0,002 | < 0,001 | < 0,001 | 0,1338 | 0,0251 |
| P2   | sj alpha2, Angulatensandstein    | < 0,0006 | < 0,0045 | < 0,0006 | < 0,0015 | < 0,002 | < 0,001 | 0,0011  | 0,1267 | 0,0135 |
| 109  | sj beta, unt. Schwarzjuratone    | 0,0010   | n.g.     | < 0,0006 | 0,0028   | 0,0046  | 0,0096  | < 0,001 | 0,1223 | 0,0048 |
| 110  | sj beta, unt. Schwarzjuratone    | 0,0008   | 0,0131   | < 0,0006 | < 0,0015 | 0,0041  | 0,0016  | 0,0029  | 0,1357 | 0,0049 |
| 111  | sj gamma, unt. Schwarzjuramergel | 0,0021   | n.g.     | < 0,0006 | < 0,0015 | 0,0134  | < 0,001 | < 0,001 | 0,2824 | 0,0220 |
| 112  | sj gamma, unt. Schwarzjuramergel | < 0,0006 | n.g.     | < 0,0006 | < 0,0015 | 0,0065  | 0,0016  | 0,0034  | 0,2989 | 0,0128 |
| 113  | sj gamma, unt. Schwarzjuramergel | < 0,0006 | 0,0070   | 0,0009   | < 0,0015 | 0,0030  | < 0,001 | 0,0030  | 0,3635 | 0,0281 |
| 114  | sj gamma, unt. Schwarzjuramergel | 0,0037   | n.g.     | < 0,0006 | 0,0026   | 0,0036  | < 0,001 | 0,0033  | 0,2802 | 0,0188 |
| 115  | sj gamma, unt. Schwarzjuramergel | 0,0014   | < 0,0045 | < 0,0006 | 0,0027   | 0,0035  | < 0,001 | 0,0010  | 0,2696 | 0,0268 |
| 116  | sj delta, ob. Schwarzjuratone    | 0,0157   | < 0,0045 | < 0,0006 | < 0,0015 | 0,0021  | 0,0031  | 0,0036  | 0,1171 | 0,0066 |
| 117  | sj delta, ob. Schwarzjuratone    | 0,0011   | n.g.     | < 0,0006 | 0,0013   | 0,0022  | 0,0044  | 0,0038  | 0,1500 | 0,0046 |
| 118  | sj delta, ob. Schwarzjuratone    | 0,0013   | 0,0070   | < 0,0006 | 0,0016   | < 0,002 | 0,0012  | 0,0032  | 0,0942 | 0,0095 |
| 119  | sj epsilon1, Seegrasschiefer     | 0,0201   | n.g.     | 0,0112   | 0,0293   | 0,0880  | 0,0574  | 0,0983  | 0,1349 | 0,4498 |
| 120  | sj epsilon1, Seegrasschiefer     | 0,0169   | n.g.     | 0,0162   | 0,0458   | 0,0635  | 0,0708  | 0,0988  | 0,1536 | 0,2731 |
| 121  | sj epsilon1, Seegrasschiefer     | 0,0116   | n.g.     | 0,0007   | 0,0102   | 0,0399  | 0,0223  | 0,0394  | 0,1131 | 0,2726 |
| 122  | sj epsilon1, Seegrasschiefer     | < 0,0006 | < 0,0045 | 0,0009   | 0,0025   | 0,0154  | 0,0018  | 0,0046  | 0,1771 | 0,0312 |
| 123  | sj epsilon1, Seegrasschiefer     | 0,0027   | 0,0191   | < 0,0006 | 0,0030   | 0,0666  | 0,0060  | 0,0104  | 0,1434 | 0,2617 |
| 124  | sj epsilon1, Seegrasschiefer     | 0,0107   | n.g.     | 0,0019   | 0,0430   | 0,1464  | < 0,001 | < 0,001 | 0,0651 | 0,0530 |
| 125  | sj epsilon1, Seegrasschiefer     | 0,0318   | n.g.     | 0,0247   | 0,0715   | 0,2342  | 0,0981  | 0,1698  | 0,1649 | 0,5786 |
| 126  | sj epsilon1, Seegrasschiefer     | 0,0181   | n.g.     | 0,0141   | 0,0375   | 0,0853  | 0,0684  | 0,1130  | 0,1553 | 0,4730 |
| 127  | sj epsilon1, Seegrasschiefer     | 0,0172   | n.g.     | 0,0191   | 0,0562   | 0,2305  | 0,1419  | 0,1267  | 0,1331 | 0,3879 |
| 128  | sj epsilon1, Seegrasschiefer     | 0,0187   | n.g.     | 0,0074   | 0,0310   | 0,0819  | 0,1188  | 0,0981  | 0,1256 | 0,4993 |

| ID   | Geologische Formation            | Zn       | Pb       | Cd       | Co       | Ni      | Cr      | Cu      | B      | Ba     |
|------|----------------------------------|----------|----------|----------|----------|---------|---------|---------|--------|--------|
| 129  | sj epsilon2, Tonmergel           | < 0,0006 | n.g.     | 0,0102   | 0,0336   | 0,0163  | 0,0365  | 0,0082  | 0,1112 | 0,0486 |
| 130  | sj epsilon2, Tonmergel           | 0,0057   | n.g.     | 0,0061   | < 0,0015 | 0,0289  | < 0,001 | 0,0054  | 0,0192 | 0,0221 |
| 131  | sj epsilon2, Tonmergel           | 0,0113   | n.g.     | < 0,0006 | 0,0323   | 0,0443  | 0,0093  | 0,0038  | 0,0613 | 0,0501 |
| 132  | sj epsilon2, Tonmergel           | < 0,0006 | n.g.     | < 0,0006 | 0,0075   | 0,0265  | < 0,001 | < 0,001 | 0,1779 | 0,0507 |
| 133  | sj epsilon2, Tonmergel           | < 0,0006 | n.g.     | 0,0097   | 0,0044   | 0,0321  | 0,0629  | 0,0244  | 0,0767 | 0,0549 |
| 134  | sj epsilon2, Tonmergel           | 0,0027   | n.g.     | < 0,0006 | < 0,0015 | 0,0167  | 0,0172  | 0,0043  | 0,0605 | 0,0402 |
| 135  | sj epsilon2, Tonmergel           | 0,0011   | n.g.     | < 0,0006 | < 0,0015 | 0,0129  | < 0,001 | < 0,001 | 0,0580 | 0,0412 |
| 136  | sj epsilon2, Tonmergel           | 0,0013   | 0,0100   | 0,0026   | 0,0037   | 0,0312  | 0,0020  | 0,0025  | 0,1554 | 0,2954 |
| 137  | sj epsilon2, Tonmergel           | 0,0082   | n.g.     | < 0,0006 | < 0,0015 | 0,0230  | 0,0134  | 0,0123  | 0,1574 | 0,5181 |
| 138  | sj epsilon2, Tonmergel           | 0,0088   | < 0,0045 | 0,0036   | 0,0129   | 0,0408  | 0,0299  | 0,0279  | 0,1402 | 0,4430 |
| 139  | sj epsilon2, Stinkkalke          | 0,0046   | < 0,0045 | 0,0017   | 0,0076   | 0,0233  | 0,0138  | 0,0129  | 0,1606 | 0,3084 |
| 140  | sj epsilon2, Stinkkalke          | 0,0029   | n.g.     | 0,0020   | 0,0037   | 0,0136  | 0,0053  | 0,0051  | 0,1161 | 0,4028 |
| 141  | sj epsilon2, Stinkkalke          | < 0,0006 | n.g.     | < 0,0006 | < 0,0015 | < 0,002 | < 0,001 | 0,0051  | 0,1134 | 0,0276 |
| 142  | sj epsilon2, Stinkkalke          | 0,0051   | n.g.     | < 0,0006 | 0,0019   | 0,0013  | < 0,001 | 0,0025  | 0,0808 | 0,0304 |
| 143  | sj epsilon2, Stinkkalke          | < 0,0006 | < 0,0045 | < 0,0006 | < 0,0015 | 0,0232  | < 0,001 | 0,0099  | 0,1500 | 0,3571 |
| 144  | sj epsilon3, Wilde Schiefer      | 0,0171   | n.g.     | 0,0196   | 0,0593   | 0,1088  | 0,0836  | 0,0921  | 0,1111 | 0,4253 |
| 145  | sj epsilon3, Wilde Schiefer      | < 0,0006 | < 0,0045 | < 0,0006 | 0,0020   | 0,0254  | 0,0014  | 0,0027  | 0,1491 | 0,0410 |
| 146  | sj epsilon3, Wilde Schiefer      | 0,0010   | 0,0052   | 0,0021   | 0,0144   | 0,1211  | 0,0016  | < 0,001 | 0,1631 | 0,0447 |
| 147  | sj epsilon3, Wilde Schiefer      | 0,0032   | n.g.     | 0,0008   | 0,0082   | 0,0260  | 0,0048  | 0,0050  | 0,0993 | 0,0393 |
| 148  | sj epsilon3, Wilde Schiefer      | 0,0129   | n.g.     | < 0,0006 | 0,0109   | 0,0544  | 0,0448  | 0,0216  | 0,0458 | 0,0438 |
| 149  | sj epsilon3, Wilde Schiefer      | 0,0278   | < 0,0045 | 0,0057   | 0,0520   | 0,0949  | 0,0694  | 0,0271  | 0,0771 | 0,0959 |
| 150  | sj epsilon3, Wilde Schiefer      | 0,0048   | < 0,0045 | < 0,0006 | 0,0019   | 0,0361  | 0,0013  | < 0,001 | 0,0457 | 0,0207 |
| 151  | sj epsilon3, Wilde Schiefer      | 0,0094   | 0,0048   | 0,0041   | 0,0153   | 0,1043  | 0,0308  | 0,0450  | 0,1062 | 0,3766 |
| 152  | sj epsilon3, Wilde Schiefer      | 0,0144   | n.g.     | 0,0098   | 0,0296   | 0,0786  | 0,0478  | 0,0746  | 0,1277 | 0,3565 |
| 153  | sj epsilon3, Wilde Schiefer      | 0,0148   | n.g.     | 0,0186   | 0,0445   | 0,0882  | 0,0674  | 0,1038  | 0,1061 | 0,4147 |
| 154  | sj zeta, ob. Schwarzjuraemergel  | 0,0095   | 0,0115   | 0,0047   | 0,0038   | 0,0173  | 0,0017  | 0,0077  | 0,2263 | 0,3769 |
| 155  | sj zeta, ob. Schwarzjuraemergel  | 0,0126   | n.g.     | 0,0025   | 0,0046   | 0,0380  | 0,0127  | 0,0237  | 0,0979 | 0,5411 |
| 156  | sj zeta, ob. Schwarzjuraemergel  | 0,0030   | n.g.     | < 0,0006 | < 0,0015 | 0,0507  | < 0,001 | 0,0068  | 0,1979 | 0,0373 |
| 157  | sj zeta, ob. Schwarzjuraemergel  | 0,0022   | n.g.     | < 0,0006 | 0,0021   | 0,0074  | 0,0014  | 0,0067  | 0,0997 | 0,0654 |
| 158  | sj zeta, ob. Schwarzjuraemergel  | 0,0014   | n.g.     | < 0,0006 | < 0,0015 | 0,0070  | < 0,001 | 0,0033  | 0,1472 | 0,0412 |
| 159  | bj alpha, Opalinuston            | 0,0031   | < 0,0045 | < 0,0006 | 0,0019   | < 0,002 | < 0,001 | < 0,001 | 0,7478 | 0,0170 |
| 160  | bj alpha, Opalinuston            | 0,0039   | n.g.     | 0,0010   | < 0,0015 | 0,0021  | 0,0018  | 0,0048  | 0,7000 | 0,0395 |
| 161  | bj alpha, Opalinuston            | 0,0021   | n.g.     | < 0,0006 | 0,3257   | < 0,002 | < 0,001 | 0,0031  | 0,8518 | 0,0148 |
| 162  | bj alpha, Opalinuston            | 0,0009   | 0,0078   | < 0,0006 | < 0,0015 | 0,0044  | 0,0012  | 0,0015  | 0,7554 | 0,0099 |
| 163  | bj alpha, Opalinuston            | 0,0031   | n.g.     | < 0,0006 | < 0,0015 | < 0,002 | 0,0011  | 0,0032  | 0,9818 | 0,0148 |
| 164  | bj alpha, Opalinuston            | 0,0029   | n.g.     | < 0,0006 | < 0,0015 | < 0,002 | < 0,001 | 0,0011  | 0,8144 | 0,0148 |
| 165  | bj alpha, Opalinuston            | 0,0018   | n.g.     | < 0,0006 | < 0,0015 | 0,0025  | < 0,001 | 0,0010  | 0,7042 | 0,0143 |
| 166  | bj alpha, Opalinuston            | 0,0029   | n.g.     | < 0,0006 | < 0,0015 | < 0,002 | < 0,001 | < 0,001 | 0,7091 | 0,0127 |
| 167  | bj alpha, Opalinuston            | 0,0014   | n.g.     | < 0,0006 | < 0,0015 | < 0,002 | < 0,001 | 0,0022  | 0,7171 | 0,0158 |
| 168  | bj alpha, Opalinuston            | 0,0017   | 0,0127   | < 0,0006 | < 0,0015 | 0,0026  | < 0,001 | 0,0021  | 0,8739 | 0,0180 |
| 169  | bj alpha, Opalinuston            | 0,0118   | n.g.     | < 0,0006 | < 0,0015 | < 0,002 | < 0,001 | 0,0012  | 0,8471 | 0,0118 |
| 170  | bj alpha, Opalinuston            | 0,0027   | n.g.     | 0,0014   | < 0,0015 | 0,0041  | 0,0022  | 0,0029  | 0,8561 | 0,0204 |
| 171  | bj alpha, Opalinuston            | 0,0013   | n.g.     | 0,0008   | 0,0020   | 0,0061  | 0,0013  | 0,0026  | 0,9067 | 0,0193 |
| 172  | bj alpha, Opalinuston            | 0,0013   | n.g.     | < 0,0006 | < 0,0015 | 0,0021  | < 0,001 | < 0,001 | 0,9334 | 0,0225 |
| 173  | bj alpha, Opalinuston            | 0,0026   | n.g.     | < 0,0006 | 0,0016   | 0,0043  | 0,0011  | 0,0025  | 0,8812 | 0,0155 |
| 3124 | bj beta; Zopfplatten             | < 0,0006 | n.g.     | < 0,0006 | < 0,0015 | < 0,002 | < 0,001 | < 0,001 | 0,3787 | 0,0266 |
| 3125 | bj beta; Zopfplatten             | 0,0030   | n.g.     | < 0,0006 | < 0,0015 | 0,0044  | < 0,001 | 0,0023  | 0,2711 | 0,0308 |
| 3179 | bj beta; Zopfplatten             | 0,0006   | 0,0161   | < 0,0006 | 0,0029   | 0,0029  | 0,0012  | 0,0038  | 0,4205 | 0,0053 |
| 3258 | bj beta; Zopfplatten             | < 0,0006 | n.g.     | < 0,0006 | < 0,0015 | 0,0024  | < 0,001 | 0,0017  | 0,3819 | 0,0316 |
| 3257 | bj beta; Zopfplatten             | < 0,0006 | n.g.     | < 0,0006 | < 0,0015 | < 0,002 | < 0,001 | 0,0013  | 0,2450 | 0,0283 |
| 3172 | bj beta; Tolutariazone           | 0,0018   | < 0,0045 | 0,0008   | 0,0030   | 0,0028  | 0,0021  | 0,0025  | 0,4613 | 0,0047 |
| 3171 | bj beta; Tolutariazone           | 0,0012   | n.g.     | < 0,0006 | < 0,0015 | < 0,002 | < 0,001 | 0,0020  | 0,4221 | 0,0048 |
| 3253 | bj beta; Tolutariazone           | < 0,0006 | n.g.     | < 0,0006 | < 0,0015 | < 0,002 | < 0,001 | 0,0011  | 0,2357 | 0,0026 |
| 3252 | bj beta; Tolutariazone           | < 0,0006 | n.g.     | 0,0007   | < 0,0015 | < 0,002 | < 0,001 | 0,0013  | 0,2370 | 0,0052 |
| 3165 | bj beta; unt. Donzdorfer Sandst. | < 0,0006 | n.g.     | < 0,0006 | < 0,0015 | 0,0021  | < 0,001 | 0,0012  | 0,0453 | 0,0058 |
| 3164 | bj beta; unt. Donzdorfer Sandst. | 0,0016   | n.g.     | < 0,0006 | < 0,0015 | < 0,002 | 0,0016  | < 0,001 | 0,0312 | 0,0029 |
| 3163 | bj beta; unt. Donzdorfer Sandst. | 0,0009   | n.g.     | < 0,0006 | < 0,0015 | 0,0029  | 0,0014  | 0,0022  | 0,0526 | 0,0034 |
| 3162 | bj beta; unt. Donzdorfer Sandst. | 0,0011   | n.g.     | < 0,0006 | < 0,0015 | 0,0020  | 0,0025  | 0,0022  | 0,1657 | 0,0029 |
| 3161 | bj beta; unt. Donzdorfer Sandst. | 0,0029   | n.g.     | < 0,0006 | < 0,0015 | < 0,002 | < 0,001 | < 0,001 | 0,0791 | 0,0025 |
| 3160 | bj beta; unt. Donzdorfer Sandst. | 0,0012   | n.g.     | < 0,0006 | 0,0048   | 0,0029  | < 0,001 | 0,0044  | 0,1127 | 0,0108 |
| 3243 | bj beta; unt. Donzdorfer Sandst. | < 0,0006 | n.g.     | < 0,0006 | 0,0036   | 0,0031  | < 0,001 | 0,0033  | 0,1001 | 0,0157 |
| 3242 | bj beta; unt. Donzdorfer Sandst. | 0,0010   | n.g.     | < 0,0006 | < 0,0015 | 0,0024  | < 0,001 | 0,0012  | 0,0626 | 0,0075 |
| 3241 | bj beta; unt. Donzdorfer Sandst. | 0,0012   | n.g.     | < 0,0006 | < 0,0015 | 0,0026  | < 0,001 | 0,0036  | 0,0484 | 0,0040 |
| 3240 | bj beta; unt. Donzdorfer Sandst. | < 0,0006 | n.g.     | < 0,0006 | < 0,0015 | < 0,002 | < 0,001 | < 0,001 | 0,1282 | 0,0082 |
| 3348 | bj beta; unt. Donzdorfer Sandst. | 0,0023   | n.g.     | < 0,0006 | 0,0031   | 0,0057  | < 0,001 | 0,0027  | 0,0846 | 0,0097 |
| 3347 | bj beta; unt. Donzdorfer Sandst. | 0,0044   | 0,0182   | 0,0011   | 0,0637   | 0,1299  | 0,0013  | 0,0048  | 0,1583 | 0,0178 |
| 3156 | bj beta; Personatensandstein     | < 0,0006 | n.g.     | < 0,0006 | 0,0027   | 0,0101  | < 0,001 | 0,0031  | 0,0829 | 0,0158 |
| 3155 | bj beta; Personatensandstein     | 0,0027   | n.g.     | < 0,0006 | 0,0052   | 0,0108  | < 0,001 | 0,0038  | 0,0638 | 0,0121 |
| 3154 | bj beta; Personatensandstein     | 0,0036   | n.g.     | 0,0007   | < 0,0015 | 0,0023  | < 0,001 | 0,0034  | 0,0660 | 0,0145 |
| 3238 | bj beta; Personatensandstein     | 0,0022   | n.g.     | < 0,0006 | 0,0030   | < 0,002 | < 0,001 | 0,0023  | 0,0531 | 0,0245 |
| 3237 | bj beta; Personatensandstein     | 0,0023   | n.g.     | 0,0016   | 0,0039   | 0,0059  | 0,0025  | 0,0027  | 0,0873 | 0,0119 |
| 3341 | bj beta; Personatensandstein     | 0,0010   | n.g.     | < 0,0006 | 0,0039   | 0,0043  | 0,0016  | 0,0056  | 0,0921 | 0,0231 |
| 3148 | bj beta; ob. Donzdorfer Sandst.  | < 0,0006 | n.g.     | < 0,0006 | < 0,0015 | < 0,002 | < 0,001 | < 0,001 | 0,0543 | 0,0056 |
| 3147 | bj beta; ob. Donzdorfer Sandst.  | 0,0511   | n.g.     | 0,0012   | 0,7853   | 1,2982  | 0,0013  | 0,0182  | 0,1954 | 0,0357 |
| 3146 | bj beta; ob. Donzdorfer Sandst.  | < 0,0006 | n.g.     | < 0,0006 | 0,0144   | 0,0200  | < 0,001 | 0,0045  | 0,0575 | 0,0119 |
| 3145 | bj beta; ob. Donzdorfer Sandst.  | n.g.     | n.g.     | n.g.     | n.g.     | n.g.    | n.g.    | n.g.    | n.g.   | n.g.   |
| 3144 | bj beta; ob. Donzdorfer Sandst.  | n.g.     | n.g.     | n.g.     | n.g.     | n.g.    | n.g.    | n.g.    | n.g.   | n.g.   |
| 3143 | bj beta; ob. Donzdorfer Sandst.  | < 0,0006 | n.g.     | < 0,0006 | 0,0150   | 0,0105  | < 0,001 | < 0,001 | 0,1368 | 0,0040 |
| 3232 | bj beta; ob. Donzdorfer Sandst.  | 0,0038   | n.g.     | < 0,0006 | 0,0132   | 0,0231  | 0,0028  | < 0,001 | 0,1518 | 0,0108 |
| 3231 | bj beta; ob. Donzdorfer Sandst.  | 0,0093   | 0,0147   | 0,0012   | 0,0870   | 0,0552  | 0,0021  | 0,0084  | 0,1160 | 0,0078 |
| 3230 | bj beta; ob. Donzdorfer Sandst.  | < 0,0006 | n.g.     | < 0,0006 | 0,0037   | < 0,002 | < 0,001 | < 0,001 | 0,0779 | 0,0167 |
| 3229 | bj beta; ob. Donzdorfer Sandst.  | < 0,0006 | n.g.     | < 0,0006 | 0,0023   | 0,0049  | < 0,001 | < 0,001 | 0,3169 | 0,0166 |
| 3228 | bj beta; ob. Donzdorfer Sandst.  | 0,0044   | n.g.     | < 0,0006 | < 0,0015 | < 0,002 | < 0,001 | 0,0034  | 0,1849 | 0,0206 |
| 3227 | bj beta; ob. Donzdorfer Sandst.  | 0,0007   | n.g.     | < 0,0006 | < 0,0015 | 0,0020  | < 0,001 | 0,0014  | 0,2136 | 0,0084 |
| 3332 | bj beta; ob. Donzdorfer Sandst.  | 0,0017   | n.g.     | 0,0007   | < 0,0015 | < 0,002 | < 0,001 | 0,0011  | 0,1523 | 0,0090 |
| 3331 | bj beta; ob. Donzdorfer Sandst.  | 0,0008   | n.g.     | < 0,0006 | 0,0019   | < 0,002 | 0,0033  | < 0,001 | 0,2651 | 0,0035 |
| 3330 | bj beta; ob. Donzdorfer Sandst.  | < 0,0006 | n.g.     | < 0,0006 | 0,0017   | < 0,002 | 0,0013  | < 0,001 | 0,1421 | 0,0205 |



| ID   | Geologische Formation           | Zn       | Pb       | Cd       | Co       | Ni      | Cr      | Cu      | B      | Ba     |
|------|---------------------------------|----------|----------|----------|----------|---------|---------|---------|--------|--------|
| 3142 | bj gamma; Wedelsandstein        | 0,0080   | n.g.     | < 0,0006 | 0,0030   | 0,0021  | 0,0018  | 0,0029  | 0,2468 | 0,0078 |
| 3141 | bj gamma; Wedelsandstein        | 0,0254   | n.g.     | < 0,0006 | < 0,0015 | 0,0067  | < 0,001 | 0,0039  | 0,3577 | 0,0316 |
| 3140 | bj gamma; Wedelsandstein        | < 0,0006 | n.g.     | < 0,0006 | 0,0027   | 0,0032  | < 0,001 | 0,0019  | 0,4207 | 0,0234 |
| 3139 | bj gamma; Wedelsandstein        | 0,0014   | n.g.     | < 0,0006 | < 0,0015 | 0,0127  | 0,0011  | 0,0034  | 0,3506 | 0,0163 |
| 3138 | bj gamma; Wedelsandstein        | 0,0008   | n.g.     | 0,0015   | < 0,0015 | 0,0023  | < 0,001 | 0,0023  | 0,2255 | 0,0240 |
| 3226 | bj gamma; Wedelsandstein        | 0,0007   | n.g.     | < 0,0006 | < 0,0015 | 0,0024  | < 0,001 | < 0,001 | 0,3497 | 0,0225 |
| 3225 | bj gamma; Wedelsandstein        | < 0,0006 | n.g.     | 0,0006   | 0,0028   | 0,0020  | 0,0018  | 0,0030  | 0,3806 | 0,0154 |
| 3224 | bj gamma; Wedelsandstein        | 0,0006   | n.g.     | < 0,0006 | 0,0046   | < 0,002 | < 0,001 | 0,0014  | 0,4472 | 0,0201 |
| 3223 | bj gamma; Wedelsandstein        | < 0,0006 | n.g.     | < 0,0006 | 0,0024   | < 0,002 | < 0,001 | 0,0038  | 0,4692 | 0,0171 |
| 3222 | bj gamma; Wedelsandstein        | < 0,0006 | n.g.     | < 0,0006 | < 0,0015 | < 0,002 | < 0,001 | < 0,001 | 0,4493 | 0,0373 |
| 3221 | bj gamma; Wedelsandstein        | < 0,0006 | n.g.     | < 0,0006 | 0,0025   | 0,0029  | 0,0029  | 0,0017  | 0,3125 | 0,0073 |
| 3220 | bj gamma; Wedelsandstein        | < 0,0006 | n.g.     | < 0,0006 | < 0,0015 | < 0,002 | < 0,001 | 0,0016  | 0,2185 | 0,0365 |
| 3219 | bj gamma; Wedelsandstein        | 0,0017   | n.g.     | < 0,0006 | < 0,0015 | 0,0045  | < 0,001 | 0,0023  | 0,2744 | 0,0327 |
| 3218 | bj gamma; Wedelsandstein        | < 0,0006 | n.g.     | < 0,0006 | < 0,0015 | 0,0027  | 0,0013  | 0,0019  | 0,1277 | 0,0305 |
| 3217 | bj gamma; Wedelsandstein        | < 0,0006 | n.g.     | < 0,0006 | < 0,0015 | 0,0031  | < 0,001 | < 0,001 | 0,4512 | 0,0196 |
| 3216 | bj gamma; Wedelsandstein        | 0,0023   | n.g.     | < 0,0006 | < 0,0015 | 0,0021  | < 0,001 | < 0,001 | 0,3640 | 0,0155 |
| 3329 | bj gamma; Wedelsandstein        | 0,0006   | n.g.     | < 0,0006 | 0,0018   | 0,0043  | 0,0013  | < 0,001 | 0,1372 | 0,0070 |
| 3328 | bj gamma; Wedelsandstein        | 0,0008   | n.g.     | < 0,0006 | < 0,0015 | < 0,002 | < 0,001 | 0,0016  | 0,2732 | 0,0064 |
| 3327 | bj gamma; Wedelsandstein        | < 0,0006 | n.g.     | < 0,0006 | 0,0020   | 0,0027  | 0,0014  | 0,0016  | 0,2853 | 0,0091 |
| 3326 | bj gamma; Wedelsandstein        | < 0,0006 | n.g.     | < 0,0006 | 0,0049   | < 0,002 | < 0,001 | 0,0022  | 0,2697 | 0,0109 |
| 3325 | bj gamma; Wedelsandstein        | 0,0012   | < 0,0045 | < 0,0006 | 0,0015   | 0,0025  | 0,0013  | < 0,001 | 0,2492 | 0,0130 |
| 3324 | bj gamma; Wedelsandstein        | 0,0009   | n.g.     | < 0,0006 | < 0,0015 | < 0,002 | 0,0021  | 0,0027  | 0,4021 | 0,0262 |
| 3323 | bj gamma; Wedelsandstein        | 0,0013   | n.g.     | 0,0009   | < 0,0015 | 0,0038  | < 0,001 | 0,0028  | 0,3498 | 0,0181 |
| 3322 | bj gamma; Wedelsandstein        | < 0,0006 | n.g.     | < 0,0006 | < 0,0015 | 0,0035  | < 0,001 | < 0,001 | 0,3111 | 0,0078 |
| 3321 | bj gamma; Wedelsandstein        | < 0,0006 | n.g.     | < 0,0006 | < 0,0015 | < 0,002 | 0,0011  | < 0,001 | 0,3230 | 0,0068 |
| 3320 | bj gamma; Wedelsandstein        | < 0,0006 | n.g.     | < 0,0006 | 0,0019   | < 0,002 | < 0,001 | < 0,001 | 0,3126 | 0,0116 |
| 3319 | bj gamma; Wedelsandstein        | < 0,0006 | n.g.     | < 0,0006 | < 0,0015 | < 0,002 | < 0,001 | 0,0013  | 0,1705 | 0,0104 |
| 3318 | bj gamma; Wedelsandstein        | 0,0009   | n.g.     | < 0,0006 | < 0,0015 | 0,0025  | < 0,001 | 0,0016  | 0,2568 | 0,0052 |
| 3317 | bj gamma; Wedelsandstein        | < 0,0006 | n.g.     | < 0,0006 | < 0,0015 | < 0,002 | < 0,001 | 0,0012  | 0,3300 | 0,0051 |
| 3137 | bj delta; Dorsetensienbank      | 0,0025   | n.g.     | 0,0012   | < 0,0015 | 0,0026  | < 0,001 | 0,0024  | 0,2800 | 0,0326 |
| 3315 | bj delta; Dorsetensienbank      | 0,0027   | n.g.     | < 0,0006 | 0,0026   | 0,0039  | 0,0015  | 0,0025  | 0,6324 | 0,0357 |
| 3314 | bj delta; Dorsetensienbank      | n.g.     | n.g.     | n.g.     | n.g.     | n.g.    | n.g.    | n.g.    | n.g.   | n.g.   |
| 3313 | bj delta; Dorsetensienbank      | n.g.     | n.g.     | n.g.     | n.g.     | n.g.    | n.g.    | n.g.    | n.g.   | n.g.   |
| 3312 | bj delta; Dorsetensienbank      | n.g.     | n.g.     | n.g.     | n.g.     | n.g.    | n.g.    | n.g.    | n.g.   | n.g.   |
| 3311 | bj delta; Dorsetensienbank      | 0,0034   | n.g.     | < 0,0006 | 0,0022   | < 0,002 | < 0,001 | 0,0018  | 0,4303 | 0,0203 |
| 3310 | bj delta; Dorsetensienbank      | 0,0019   | n.g.     | 0,0007   | < 0,0015 | 0,0035  | < 0,001 | 0,0023  | 0,5022 | 0,0071 |
| 3309 | bj delta; Dorsetensienbank      | < 0,0006 | n.g.     | 0,0007   | 0,0029   | < 0,002 | < 0,001 | 0,0036  | 0,3539 | 0,0069 |
| 3136 | bj delta; Humphriesi-Oolith     | n.g.     | n.g.     | n.g.     | n.g.     | n.g.    | n.g.    | n.g.    | n.g.   | n.g.   |
| 3215 | bj delta; Humphriesi-Oolith     | 0,0006   | n.g.     | < 0,0006 | 0,0018   | < 0,002 | < 0,001 | 0,0046  | 0,3662 | 0,0184 |
| 3214 | bj delta; Humphriesi-Oolith     | < 0,0006 | 0,0156   | < 0,0006 | < 0,0015 | 0,0054  | < 0,001 | < 0,001 | 0,6136 | 0,0117 |
| 3213 | bj delta; Humphriesi-Oolith     | < 0,0006 | n.g.     | 0,0009   | < 0,0015 | < 0,002 | < 0,001 | 0,0078  | 0,7586 | 0,0141 |
| 3308 | bj delta; Humphriesi-Oolith     | 0,0011   | n.g.     | < 0,0006 | < 0,0015 | 0,0025  | 0,0018  | 0,0021  | 0,4847 | 0,0043 |
| 3212 | bj delta; Coronatenschichten    | < 0,0006 | n.g.     | < 0,0006 | 0,0035   | 0,0040  | 0,0013  | 0,0029  | 0,4939 | 0,0105 |
| 3211 | bj delta; Coronatenschichten    | 0,0009   | n.g.     | < 0,0006 | 0,0024   | < 0,002 | 0,0010  | 0,0047  | 0,7147 | 0,0098 |
| 3210 | bj delta; Coronatenschichten    | < 0,0006 | 0,0143   | < 0,0006 | < 0,0015 | 0,0053  | 0,0016  | < 0,001 | 0,7039 | 0,0091 |
| 3209 | bj delta; Coronatenschichten    | 0,0019   | n.g.     | < 0,0006 | < 0,0015 | 0,0024  | < 0,001 | 0,0019  | 0,7884 | 0,0106 |
| 3208 | bj delta; Coronatenschichten    | 0,0015   | n.g.     | < 0,0006 | < 0,0015 | < 0,002 | 0,0015  | 0,0043  | 0,3648 | 0,0067 |
| 3207 | bj delta; Coronatenschichten    | < 0,0006 | n.g.     | < 0,0006 | 0,0017   | < 0,002 | < 0,001 | < 0,001 | 0,3484 | 0,0044 |
| 3135 | bj delta; Blagdeni-Schichten    | 0,0006   | n.g.     | < 0,0006 | < 0,0015 | < 0,002 | < 0,001 | 0,0011  | 0,3958 | 0,0072 |
| 3134 | bj delta; Blagdeni-Schichten    | 0,0024   | n.g.     | < 0,0006 | < 0,0015 | 0,0049  | < 0,001 | 0,0018  | 0,4323 | 0,0195 |
| 3133 | bj delta; Blagdeni-Schichten    | 0,0009   | n.g.     | 0,0010   | < 0,0015 | < 0,002 | < 0,001 | < 0,001 | 0,6999 | 0,0073 |
| 3132 | bj delta; Blagdeni-Schichten    | 0,0043   | n.g.     | < 0,0006 | 0,0015   | 0,0030  | 0,0017  | 0,0021  | 0,6216 | 0,0152 |
| 3131 | bj delta; Blagdeni-Schichten    | 0,0008   | n.g.     | < 0,0006 | < 0,0015 | < 0,002 | < 0,001 | 0,0015  | 0,7924 | 0,0257 |
| 3130 | bj delta; Blagdeni-Schichten    | 0,0006   | n.g.     | < 0,0006 | < 0,0015 | 0,0042  | < 0,001 | < 0,001 | 0,9211 | 0,0148 |
| 3307 | bj delta; Blagdeni-Schichten    | < 0,0006 | n.g.     | < 0,0006 | < 0,0015 | < 0,002 | 0,0011  | 0,0016  | 0,7350 | 0,0069 |
| 3306 | bj delta; Blagdeni-Schichten    | < 0,0006 | n.g.     | < 0,0006 | < 0,0015 | 0,0033  | < 0,001 | 0,0019  | 0,7089 | 0,0102 |
| 3305 | bj delta; Blagdeni-Schichten    | 0,0008   | n.g.     | < 0,0006 | < 0,0015 | < 0,002 | < 0,001 | 0,0015  | 0,8442 | 0,0195 |
| 3304 | bj delta; Blagdeni-Schichten    | 0,0022   | n.g.     | < 0,0006 | < 0,0015 | 0,0054  | < 0,001 | 0,0022  | 0,7904 | 0,0104 |
| 3129 | bj delta; Subfurcatu-Oolith     | n.g.     | n.g.     | n.g.     | n.g.     | n.g.    | n.g.    | n.g.    | n.g.   | n.g.   |
| 3206 | bj delta; Subfurcatu-Oolith     | 0,0075   | n.g.     | < 0,0006 | < 0,0015 | 0,0057  | 0,0011  | 0,0074  | 0,7767 | 0,0093 |
| 3303 | bj delta; Subfurcatu-Oolith     | 0,0133   | 0,0096   | 0,0009   | 0,0036   | 0,0039  | < 0,001 | 0,0024  | 0,9333 | 0,0225 |
| 3302 | bj delta; Subfurcatu-Oolith     | 0,0166   | n.g.     | 0,0010   | 0,0019   | 0,0043  | < 0,001 | 0,0084  | 0,7232 | 0,0102 |
| 3301 | bj delta; Subfurcatu-Oolith     | 0,0051   | n.g.     | < 0,0006 | 0,0019   | 0,0056  | < 0,001 | < 0,001 | 0,7783 | 0,0104 |
| 3128 | bj delta; Hamitenton            | < 0,0006 | n.g.     | 0,0014   | < 0,0015 | 0,0039  | 0,0046  | < 0,001 | 0,8291 | 0,0061 |
| 3127 | bj delta; Hamitenton            | 0,0009   | n.g.     | 0,0007   | 0,0019   | 0,0025  | < 0,001 | 0,0033  | 0,8376 | 0,0104 |
| 3126 | bj delta; Hamitenton            | 0,0023   | n.g.     | < 0,0006 | < 0,0015 | 0,0206  | < 0,001 | 0,0032  | 0,6858 | 0,0106 |
| 3205 | bj delta; Hamitenton            | 0,0007   | n.g.     | < 0,0006 | < 0,0015 | 0,0043  | < 0,001 | 0,0012  | 0,8030 | 0,0048 |
| 3204 | bj delta; Hamitenton            | 0,0007   | n.g.     | < 0,0006 | < 0,0015 | 0,0029  | < 0,001 | 0,0012  | 0,7363 | 0,0043 |
| 3203 | bj delta; Hamitenton            | 0,0139   | n.g.     | 0,0006   | < 0,0015 | 0,0034  | 0,0020  | 0,0017  | 0,8427 | 0,0057 |
| 3202 | bj delta; Hamitenton            | 0,0019   | n.g.     | < 0,0006 | < 0,0015 | < 0,002 | < 0,001 | 0,0027  | 0,8229 | 0,0078 |
| 3201 | bj delta; Hamitenton            | 0,0016   | n.g.     | 0,0007   | < 0,0015 | 0,0050  | < 0,001 | 0,0028  | 0,9527 | 0,0072 |
| 3200 | bj delta; Hamitenton            | < 0,0006 | n.g.     | < 0,0006 | < 0,0015 | < 0,002 | < 0,001 | < 0,001 | 0,8825 | 0,0031 |
| 3199 | bj delta; Hamitenton            | < 0,0006 | n.g.     | 0,0007   | < 0,0015 | 0,0118  | < 0,001 | 0,0068  | 1,9154 | 0,0126 |
| 3198 | bj delta; Hamitenton            | 0,0022   | n.g.     | < 0,0006 | 0,0041   | 0,0099  | < 0,001 | 0,0025  | 1,0125 | 0,0077 |
| 3300 | bj delta; Hamitenton            | < 0,0006 | n.g.     | < 0,0006 | < 0,0015 | < 0,002 | < 0,001 | < 0,001 | 0,7643 | 0,0053 |
| 3299 | bj delta; Hamitenton            | 0,0087   | 0,0132   | < 0,0006 | < 0,0015 | 0,0023  | < 0,001 | < 0,001 | 0,8868 | 0,0093 |
| 3298 | bj delta; Hamitenton            | < 0,0006 | n.g.     | < 0,0006 | < 0,0015 | < 0,002 | 0,0011  | 0,0017  | 0,7741 | 0,0046 |
| 3297 | bj delta; Hamitenton            | < 0,0006 | n.g.     | < 0,0006 | < 0,0015 | < 0,002 | < 0,001 | < 0,001 | 0,7706 | 0,0034 |
| 3296 | bj delta; Hamitenton            | < 0,0006 | 0,0146   | < 0,0006 | < 0,0015 | 0,0024  | < 0,001 | 0,0018  | 0,8556 | 0,0068 |
| 3295 | bj delta; Hamitenton            | 0,0023   | n.g.     | < 0,0006 | < 0,0015 | < 0,002 | < 0,001 | 0,0049  | 0,7502 | 0,0053 |
| 3294 | bj delta; Hamitenton            | 0,0011   | n.g.     | < 0,0006 | < 0,0015 | < 0,002 | < 0,001 | 0,0012  | 0,7601 | 0,0027 |
| 3293 | bj delta; Hamitenton            | < 0,0006 | n.g.     | < 0,0006 | < 0,0015 | < 0,002 | < 0,001 | 0,0012  | 0,8578 | 0,0051 |
| 3292 | bj delta; Parkinsoni-Oolith     | 0,0021   | n.g.     | < 0,0006 | 0,0100   | 0,0244  | < 0,001 | 0,0019  | 0,4693 | 0,0063 |
| 3291 | bj epsilon; Obere Braunjuratone | 0,0009   | n.g.     | < 0,0006 | < 0,0015 | 0,0039  | < 0,001 | < 0,001 | 1,1553 | 0,0077 |
| 3290 | bj epsilon; Obere Braunjuratone | < 0,0006 | n.g.     | 0,0012   | < 0,0015 | < 0,002 | 0,0017  | 0,0033  | 1,0700 | 0,0057 |
| 3289 | bj epsilon; Obere Braunjuratone | < 0,0006 | 0,0132   | < 0,0006 | 0,0036   | 0,0154  | < 0,001 | 0,0023  | 0,6306 | 0,0082 |
| 3288 | bj epsilon; Obere Braunjuratone | 0,0024   | n.g.     | < 0,0006 | < 0,0015 | 0,0042  | < 0,001 | 0,0038  | 0,9133 | 0,0233 |
| 3197 | bj zeta; Macrocephalus-Oolith   | 0,0054   | 0,0052   | < 0,0006 | < 0,0015 | < 0,002 | 0,0014  | 0,0011  | 0,5905 | 0,0129 |
| 3196 | bj zeta; Macrocephalus-Oolith   | < 0,0006 | n.g.     | < 0,0006 | < 0,0015 | < 0,002 | < 0,001 | 0,0016  | 1,1304 | 0,0060 |
| 3287 | bj zeta; Macrocephalus-Oolith   | < 0,0006 | n.g.     | < 0,0006 | < 0,0015 | 0,0026  | < 0,001 | 0,0021  | 0,5989 | 0,0021 |

| ID   | Geologische Formation         | Zn       | Pb       | Cd       | Co       | Ni      | Cr      | Cu      | B      | Ba     |
|------|-------------------------------|----------|----------|----------|----------|---------|---------|---------|--------|--------|
| 3195 | bj zeta; Ornatenton           | < 0,0006 | n.g.     | < 0,0006 | < 0,0015 | < 0,002 | < 0,001 | < 0,001 | 1,1059 | 0,0074 |
| 3194 | bj zeta; Ornatenton           | < 0,0006 | n.g.     | < 0,0006 | 0,0022   | 0,0057  | < 0,001 | 0,0027  | 0,8740 | 0,0131 |
| 3193 | bj zeta; Ornatenton           | < 0,0006 | n.g.     | < 0,0006 | < 0,0015 | 0,0027  | < 0,001 | 0,0016  | 0,8114 | 0,0058 |
| 3192 | bj zeta; Ornatenton           | < 0,0006 | n.g.     | < 0,0006 | < 0,0015 | < 0,002 | < 0,001 | 0,0026  | 0,8134 | 0,0069 |
| 3191 | bj zeta; Ornatenton           | < 0,0006 | n.g.     | < 0,0006 | < 0,0015 | 0,0032  | < 0,001 | 0,0072  | 0,9981 | 0,0066 |
| 3190 | bj zeta; Ornatenton           | < 0,0006 | n.g.     | < 0,0006 | < 0,0015 | < 0,002 | < 0,001 | 0,0011  | 0,8950 | 0,0324 |
| 3189 | bj zeta; Ornatenton           | < 0,0006 | n.g.     | < 0,0006 | < 0,0015 | < 0,002 | 0,0011  | 0,0028  | 0,9870 | 0,0054 |
| 3188 | bj zeta; Ornatenton           | < 0,0006 | n.g.     | < 0,0006 | < 0,0015 | < 0,002 | < 0,001 | < 0,001 | 1,0804 | 0,0080 |
| 3187 | bj zeta; Ornatenton           | < 0,0006 | n.g.     | < 0,0006 | < 0,0015 | < 0,002 | < 0,001 | 0,0014  | 0,9212 | 0,0106 |
| 3186 | bj zeta; Ornatenton           | n.g.     | n.g.     | n.g.     | n.g.     | n.g.    | n.g.    | n.g.    | n.g.   | n.g.   |
| 3286 | bj zeta; Ornatenton           | < 0,0006 | n.g.     | < 0,0006 | < 0,0015 | 0,0029  | < 0,001 | 0,0023  | 0,8339 | 0,0067 |
| 3285 | bj zeta; Ornatenton           | < 0,0006 | n.g.     | < 0,0006 | < 0,0015 | 0,0041  | < 0,001 | 0,0013  | 0,8318 | 0,0047 |
| 3284 | bj zeta; Ornatenton           | < 0,0006 | n.g.     | < 0,0006 | 0,0018   | < 0,002 | < 0,001 | 0,0017  | 0,8635 | 0,0054 |
| 3283 | bj zeta; Ornatenton           | 0,0008   | < 0,0045 | < 0,0006 | 0,0048   | 0,0064  | < 0,001 | 0,0028  | 0,7883 | 0,0089 |
| 3282 | bj zeta; Ornatenton           | < 0,0006 | n.g.     | < 0,0006 | 0,0017   | < 0,002 | < 0,001 | 0,0015  | 1,0469 | 0,0093 |
| 3281 | bj zeta; Ornatenton           | 0,0044   | n.g.     | < 0,0006 | < 0,0015 | < 0,002 | < 0,001 | < 0,001 | 1,2611 | 0,0540 |
| 3280 | bj zeta; Ornatenton           | < 0,0006 | n.g.     | < 0,0006 | 0,0019   | < 0,002 | < 0,001 | 0,0039  | 1,1504 | 0,0078 |
| 3279 | bj zeta; Ornatenton           | < 0,0006 | n.g.     | < 0,0006 | < 0,0015 | < 0,002 | < 0,001 | 0,0020  | 0,9989 | 0,0373 |
| 3278 | bj zeta; Ornatenton           | < 0,0006 | n.g.     | 0,0007   | < 0,0015 | < 0,002 | < 0,001 | < 0,001 | 0,8780 | 0,0399 |
| 3277 | bj zeta; Ornatenton           | 0,0014   | n.g.     | < 0,0006 | < 0,0015 | 0,0032  | 0,0017  | 0,0029  | 0,8920 | 0,0340 |
| 3276 | bj zeta; Ornatenton           | 0,0011   | n.g.     | < 0,0006 | < 0,0015 | 0,0045  | < 0,001 | < 0,001 | 1,0394 | 0,0232 |
| 3275 | wj alpha; Grenzglaukonit      | 0,0036   | n.g.     | < 0,0006 | 0,0032   | < 0,002 | < 0,001 | 0,0031  | 0,9375 | 0,0541 |
| 3274 | wj alpha; Grenzglaukonit      | < 0,0006 | n.g.     | < 0,0006 | < 0,0015 | 0,0060  | 0,0020  | < 0,001 | 0,9655 | 0,0746 |
| 3273 | wj alpha; Grenzglaukonit      | < 0,0006 | n.g.     | < 0,0006 | < 0,0015 | 0,0062  | < 0,001 | 0,0111  | 0,7778 | 0,0200 |
| 174  | wj alpha, unt. Weißjuramergel | < 0,0006 | n.g.     | < 0,0006 | < 0,0015 | 0,0032  | < 0,001 | 0,0015  | 0,2266 | 0,0057 |
| 175  | wj alpha, unt. Weißjuramergel | < 0,0006 | n.g.     | < 0,0006 | < 0,0015 | 0,0065  | < 0,001 | < 0,001 | 0,2271 | 0,0056 |
| 176  | wj alpha, unt. Weißjuramergel | 0,0036   | < 0,0045 | < 0,0006 | < 0,0015 | < 0,002 | < 0,001 | 0,0015  | 0,1799 | 0,0108 |
| 177  | wj alpha, unt. Weißjuramergel | 0,0016   | n.g.     | < 0,0006 | < 0,0015 | < 0,002 | < 0,001 | < 0,001 | 0,1977 | 0,0098 |
| 178  | wj alpha, unt. Weißjuramergel | < 0,0006 | n.g.     | < 0,0006 | < 0,0015 | < 0,002 | < 0,001 | < 0,001 | 0,2025 | 0,0070 |
| 179  | wj alpha, unt. Weißjuramergel | 0,0050   | < 0,0045 | < 0,0006 | < 0,0015 | 0,0021  | < 0,001 | < 0,001 | 0,2704 | 0,0056 |
| 180  | wj alpha, unt. Weißjuramergel | < 0,0006 | n.g.     | < 0,0006 | < 0,0015 | < 0,002 | < 0,001 | < 0,001 | 0,1978 | 0,0061 |
| 181  | ob. wj gamma, Mergel          | < 0,0006 | n.g.     | 0,0008   | < 0,0015 | < 0,002 | < 0,001 | < 0,001 | 0,1478 | 0,0022 |
| 182  | ob. wj gamma, Mergel          | < 0,0006 | n.g.     | < 0,0006 | < 0,0015 | < 0,002 | 0,0030  | 0,0011  | 0,1407 | 0,0021 |
| 183  | ob. wj gamma, Mergel          | < 0,0006 | 0,0110   | < 0,0006 | < 0,0015 | < 0,002 | < 0,001 | 0,0011  | 0,1299 | 0,0026 |
| 184  | ob. wj gamma, Mergel          | < 0,0006 | n.g.     | < 0,0006 | 0,0020   | 0,0037  | < 0,001 | 0,0028  | 0,1533 | 0,0114 |
| 185  | ob. wj gamma, Mergel          | < 0,0006 | n.g.     | < 0,0006 | < 0,0015 | 0,0041  | < 0,001 | 0,0012  | 0,1470 | 0,0039 |
| 186  | ob. wj gamma, Mergel          | < 0,0006 | 0,0150   | < 0,0006 | < 0,0015 | 0,0027  | < 0,001 | < 0,001 | 0,1234 | 0,0020 |
| 187  | ob. wj gamma, Mergel          | < 0,0006 | n.g.     | < 0,0006 | < 0,0015 | < 0,002 | 0,0013  | < 0,001 | 0,0969 | 0,0033 |
| 188  | ob. wj gamma, Mergel          | < 0,0006 | n.g.     | < 0,0006 | < 0,0015 | < 0,002 | < 0,001 | 0,0026  | 0,1068 | 0,0021 |
| 189  | ob. wj gamma, Mergel          | 0,0007   | n.g.     | < 0,0006 | < 0,0015 | < 0,002 | < 0,001 | < 0,001 | 0,1499 | 0,0022 |
| 190  | ob. wj gamma, Mergel          | 0,0009   | n.g.     | < 0,0006 | < 0,0015 | < 0,002 | < 0,001 | 0,0012  | 0,2080 | 0,0021 |
| 191  | ob. wj gamma, Mergel          | < 0,0006 | n.g.     | < 0,0006 | < 0,0015 | < 0,002 | < 0,001 | < 0,001 | 0,2412 | 0,0030 |
| 192  | ob. wj gamma, Mergel          | < 0,0006 | n.g.     | < 0,0006 | < 0,0015 | 0,0026  | < 0,001 | 0,0024  | 0,1643 | 0,0034 |

Tab. 7.A5.: Ausgelaugter Gipskeuper - Gesamtgehalte (mg/kg):

| ID           | Geologische Formation                   | pH-Wert | Leitf.<br>(µS/cm) | Al    | Na   | Ca    | Fe    | Mn    | K     | Mg   | SO <sub>4</sub> |
|--------------|-----------------------------------------|---------|-------------------|-------|------|-------|-------|-------|-------|------|-----------------|
| AP1          | km1: Grundgips, ausgelaugter Gipskeuper | 8,33    |                   | 23780 | 1138 | 39259 | 26706 | 2570  | 27699 | 3390 | 11688           |
| AP2          | km1: Grundgips, ausgelaugter Gipskeuper | 8,39    |                   | 28581 | 837  | 18896 | 26900 | 2472  | 38318 | 5600 | 2597            |
| AP3          | km1: Grundgips, ausgelaugter Gipskeuper | 8,38    |                   | 31295 | 931  | 19391 | 29065 | 2126  | 40181 | 5508 | 6926            |
| BP4          | km1: Bochinger Horizont, ausgel. Gipsk. | 8,42    |                   | 17287 | 552  | 31839 | 15421 | 2686  | 18129 | 4992 | 16544           |
| BP5          | km1: Bochinger Horizont, ausgel. Gipsk. | 8,21    |                   | 25539 | 552  | 14349 | 20762 | 2076  | 25294 | 4219 | 69118           |
| BP1          | km1: Dunkelrote Mergel, ausgel. Gipsk.  | 8,35    |                   | 27879 | 571  | 20960 | 28338 | 4178  | 37552 | 5805 | 6985            |
| BP2          | km1: Dunkelrote Mergel, ausgel. Gipsk.  | 8,42    |                   | 46430 | 571  | 10831 | 38433 | 1585  | 54717 | 5498 | 7721            |
| BP3          | km1: Dunkelrote Mergel, ausgel. Gipsk.  | 8,38    |                   | 38375 | 552  | 8612  | 36061 | 1857  | 43307 | 4907 | 22794           |
| CP1          | km1: Estheriensichten, ausgel. Gipsk.   | 8,41    |                   | 17340 | 702  | 22846 | 19971 | 6093  | 24645 | 3749 | 12132           |
| DP5          | km1: Estheriensichten, ausgel. Gipsk.   | 8,61    |                   | 13555 | 931  | 41046 | 18124 | 14287 | 13819 | 7946 | 18750           |
| Mittelwerte: | km1: Grundgips, ausgelaugter Gipskeuper | 8,37    |                   | 27885 | 969  | 25849 | 27557 | 2389  | 35399 | 4833 | 7071            |
|              | km1: Bochinger Horizont, ausgel. Gipsk. | 8,32    |                   | 21413 | 552  | 23094 | 18091 | 2381  | 21712 | 4606 | 42831           |
|              | km1: Dunkelrote Mergel, ausgel. Gipsk.  | 8,38    |                   | 37561 | 571  | 13468 | 34277 | 2540  | 45192 | 5403 | 12500           |
|              | km1: Estheriensichten, ausgel. Gipsk.   | 8,51    |                   | 15447 | 816  | 31946 | 19048 | 10190 | 19232 | 5848 | 15441           |

| ID           | Geologische Formation                   | B     | Zn    | Pb    | Cd   | Co    | Ni    | Cr    | V     | Cu    | Ba     |
|--------------|-----------------------------------------|-------|-------|-------|------|-------|-------|-------|-------|-------|--------|
| AP1          | km1: Grundgips, ausgelaugter Gipskeuper | < 1,0 | 37,72 | 5,26  | 0,74 | 7,17  | 37,97 | 38,54 | 30,79 | 3,38  | 112,94 |
| AP2          | km1: Grundgips, ausgelaugter Gipskeuper | < 1,0 | 37,08 | 6,29  | 0,47 | 8,22  | 37,71 | 47,88 | 41,27 | 1,88  | 187,47 |
| AP3          | km1: Grundgips, ausgelaugter Gipskeuper | < 1,0 | 41,15 | 6,16  | 0,77 | 11,40 | 43,37 | 48,26 | 39,03 | 8,08  | 197,93 |
| BP4          | km1: Bochinger Horizont, ausgel. Gipsk. | < 1,0 | 33,86 | 3,81  | 0,22 | 8,87  | 29,85 | 25,29 | 18,07 | 5,73  | 127,44 |
| BP5          | km1: Bochinger Horizont, ausgel. Gipsk. | < 1,0 | 42,39 | 14,30 | 0,44 | 23,04 | 53,25 | 39,89 | 26,46 | 18,34 | 29,86  |
| BP1          | km1: Dunkelrote Mergel, ausgel. Gipsk.  | < 1,0 | 45,62 | 7,09  | 0,80 | 7,21  | 32,15 | 34,96 | 25,49 | 0,17  | 60,08  |
| BP2          | km1: Dunkelrote Mergel, ausgel. Gipsk.  | < 1,0 | 62,17 | 9,83  | 0,95 | 14,01 | 49,27 | 58,56 | 37,70 | 0,51  | 99,75  |
| BP3          | km1: Dunkelrote Mergel, ausgel. Gipsk.  | < 1,0 | 57,75 | 7,16  | 0,62 | 14,85 | 50,36 | 55,75 | 39,92 | 1,54  | 2410   |
| CP1          | km1: Estheriensichten, ausgel. Gipsk.   | < 1,0 | 59,84 | 7,07  | 1,65 | 8,51  | 28,80 | 21,70 | 16,65 | 22,91 | 149,20 |
| DP5          | km1: Estheriensichten, ausgel. Gipsk.   | < 1,0 | 34,91 | 4,61  | 0,57 | 5,73  | 14,86 | 16,16 | 17,26 | 5,34  | 118,04 |
| Mittelwerte: | km1: Grundgips, ausgelaugter Gipskeuper | < 1,0 | 39    | 6     | 0,66 | 9     | 40    | 45    | 37    | 4,45  | 166    |
|              | km1: Bochinger Horizont, ausgel. Gipsk. | < 1,0 | 38    | 9     | 0,33 | 16    | 42    | 33    | 22    | 12,03 | 79     |
|              | km1: Dunkelrote Mergel, ausgel. Gipsk.  | < 1,0 | 55    | 8     | 0,79 | 12    | 44    | 50    | 34    | 0,74  | 80     |
|              | km1: Estheriensichten, ausgel. Gipsk.   | < 1,0 | 47    | 6     | 1,11 | 7     | 22    | 19    | 17    | 14,13 | 134    |

Tab. 7.A6.: Ausgelaugter Gipskeuper - S4-Eluatgehalte (mg/l):

| ID           | Geologische Formation                   | pH-Wert | Leitf.<br>(µS/cm) | Al      | Na   | Ca   | Fe      | Mn       | K    | Mg   | SO <sub>4</sub> |
|--------------|-----------------------------------------|---------|-------------------|---------|------|------|---------|----------|------|------|-----------------|
| AP1          | km1: Grundgips, ausgelaugter Gipskeuper | 8,33    | 204               | < 0,005 | 1,83 | 1,57 | < 0,005 | 0,0041   | 3,60 | 0,56 | < 0,2           |
| AP2          | km1: Grundgips, ausgelaugter Gipskeuper | 8,39    | 228               | 0,007   | 2,42 | 1,51 | < 0,005 | 0,0016   | 4,72 | 0,63 | 24              |
| AP3          | km1: Grundgips, ausgelaugter Gipskeuper | 8,38    | 221               | 0,012   | 2,49 | 1,45 | < 0,005 | 0,0015   | 4,85 | 0,58 | 29              |
| BP4          | km1: Bochinger Horizont, ausgel. Gipsk. | 8,42    | 181               | 0,011   | 1,10 | 1,33 | 0,014   | 0,0034   | 3,37 | 0,89 | 19              |
| BP5          | km1: Bochinger Horizont, ausgel. Gipsk. | 8,21    | 376               | < 0,005 | 1,52 | 2,63 | < 0,005 | 0,0028   | 6,51 | 1,76 | 129             |
| BP1          | km1: Dunkelrote Mergel, ausgel. Gipsk.  | 8,35    | 180               | 0,006   | 1,01 | 1,43 | < 0,005 | 0,0013   | 3,07 | 0,72 | 10              |
| BP2          | km1: Dunkelrote Mergel, ausgel. Gipsk.  | 8,42    | 162               | 0,006   | 0,80 | 1,08 | < 0,005 | < 0,0012 | 3,21 | 0,95 | 4               |
| BP3          | km1: Dunkelrote Mergel, ausgel. Gipsk.  | 8,38    | 178               | < 0,005 | 0,74 | 1,32 | < 0,005 | < 0,0012 | 2,72 | 0,95 | 18              |
| CP1          | km1: Estheriensichten, ausgel. Gipsk.   | 8,41    | 187               | < 0,005 | 1,06 | 1,34 | < 0,005 | 0,0024   | 4,01 | 0,83 | 14              |
| DP5          | km1: Estheriensichten, ausgel. Gipsk.   | 8,61    | 335               | 0,011   | 1,47 | 1,03 | < 0,005 | 0,0045   | 9,84 | 2,16 | 42              |
| Mittelwerte: | km1: Grundgips, ausgelaugter Gipskeuper | 8,37    | 218               | 0,007   | 2,25 | 1,51 | < 0,005 | 0,0024   | 4,39 | 0,59 | 18              |
|              | km1: Bochinger Horizont, ausgel. Gipsk. | 8,32    | 279               | 0,007   | 1,31 | 1,98 | 0,008   | 0,0031   | 4,94 | 1,32 | 74              |
|              | km1: Dunkelrote Mergel, ausgel. Gipsk.  | 8,38    | 173               | < 0,005 | 0,85 | 1,28 | < 0,005 | < 0,0012 | 3,00 | 0,87 | 11              |
|              | km1: Estheriensichten, ausgel. Gipsk.   | 8,51    | 261               | 0,007   | 1,26 | 1,19 | < 0,005 | 0,0034   | 6,92 | 1,50 | 28              |

| ID           | Geologische Formation                   | B    | Zn       | Pb    | Cd       | Co       | Ni      | Cr      | V | Cu      | Ba    |
|--------------|-----------------------------------------|------|----------|-------|----------|----------|---------|---------|---|---------|-------|
| AP1          | km1: Grundgips, ausgelaugter Gipskeuper | 0,17 | < 0,0006 |       | < 0,0006 | < 0,0015 | 0,0042  | < 0,001 |   | < 0,001 | 0,036 |
| AP2          | km1: Grundgips, ausgelaugter Gipskeuper | 0,20 | < 0,0006 |       | < 0,0006 | 0,0016   | < 0,002 | 0,0022  |   | < 0,001 | 0,123 |
| AP3          | km1: Grundgips, ausgelaugter Gipskeuper | 0,21 | 0,0010   |       | < 0,0006 | < 0,0015 | 0,0021  | 0,0013  |   | 0,004   | 0,114 |
| BP4          | km1: Bochinger Horizont, ausgel. Gipsk. | 0,15 | 0,0006   |       | < 0,0006 | 0,0029   | 0,0041  | 0,0012  |   | 0,0026  | 0,131 |
| BP5          | km1: Bochinger Horizont, ausgel. Gipsk. | 0,23 | < 0,0006 |       | < 0,0006 | < 0,0015 | < 0,002 | < 0,001 |   | 0,0016  | 0,010 |
| BP1          | km1: Dunkelrote Mergel, ausgel. Gipsk.  | 0,13 | < 0,0006 |       | < 0,0006 | < 0,0015 | 0,0040  | < 0,001 |   | < 0,001 | 0,012 |
| BP2          | km1: Dunkelrote Mergel, ausgel. Gipsk.  | 0,18 | < 0,0006 |       | 0,0015   | < 0,0015 | < 0,002 | 0,0012  |   | 0,0012  | 0,039 |
| BP3          | km1: Dunkelrote Mergel, ausgel. Gipsk.  | 0,13 | < 0,0006 |       | < 0,0006 | < 0,0015 | 0,0025  | 0,0017  |   | 0,0012  | 0,224 |
| CP1          | km1: Estheriensichten, ausgel. Gipsk.   | 0,18 | < 0,0006 | 0,019 | < 0,0006 | < 0,0015 | 0,0046  | 0,0052  |   | 0,0012  | 0,027 |
| DP5          | km1: Estheriensichten, ausgel. Gipsk.   | 0,23 | < 0,0006 | 0,019 | < 0,0006 | < 0,0015 | < 0,002 | 0,0025  |   | 0,0012  | 0,089 |
| Mittelwerte: | km1: Grundgips, ausgelaugter Gipskeuper | 0,19 | < 0,0006 |       | < 0,0006 | < 0,0015 | 0,0024  | 0,0014  |   | < 0,001 | 0,091 |
|              | km1: Bochinger Horizont, ausgel. Gipsk. | 0,19 | < 0,0006 |       | < 0,0006 | 0,0018   | 0,0025  | < 0,001 |   | 0,0021  | 0,070 |
|              | km1: Dunkelrote Mergel, ausgel. Gipsk.  | 0,15 | < 0,0006 |       | < 0,0006 | < 0,0015 | 0,0025  | 0,0012  |   | < 0,001 | 0,092 |
|              | km1: Estheriensichten, ausgel. Gipsk.   | 0,21 | < 0,0006 |       | < 0,0006 | < 0,0015 | 0,0028  | 0,0039  |   | 0,0012  | 0,058 |

Tab. 7.1.1.: Ergebnisse der Chlorid- (mg/l), pH- und Leitfähigkeitmessungen (LF [ $\mu\text{S}/\text{cm}$  ]):

| Grenzwert TrinkwV [1990]:<br>pH: nicht unter 6,5 und<br>nicht über 9,5<br><br>LF: 2000 $\mu\text{S}/\text{cm}$ |           | Z-Werte (Boden) LAGA [1994]:<br><br>pH<br>Z 0 : 5,5 - 8<br>Z 1.1 : 5,5 - 8<br>Z 1.2 : 5,0 - 9 |                 | Z - Werte (Eluat) LAGA [1994]:<br>Z 0 : 6,5 - 9<br>pH<br>Z 1.1 : 6,5 - 9<br>Z 1.2 : 6,0 - 12<br>Z 2 : 5,5 - 12                                                                              |  |
|----------------------------------------------------------------------------------------------------------------|-----------|-----------------------------------------------------------------------------------------------|-----------------|---------------------------------------------------------------------------------------------------------------------------------------------------------------------------------------------|--|
| Geologische Formation                                                                                          | pH        | LF                                                                                            | Cl <sup>-</sup> | Z - Werte (Eluat) LAGA [1994]:<br>Z 0 : 500 $\mu\text{S}/\text{cm}$ LF<br>Z 1.1 : 500 $\mu\text{S}/\text{cm}$<br>Z 1.2 : 1000 $\mu\text{S}/\text{cm}$<br>Z 2 : 1500 $\mu\text{S}/\text{cm}$ |  |
| Untere Nachweisgrenze                                                                                          |           |                                                                                               | 1,8             | Grenzwert TrinkwV [1990]:<br>Chlorid<br><br>250 mg/l                                                                                                                                        |  |
| so, Röttone                                                                                                    | 8,0 - 8,1 | 116                                                                                           | 19,3            |                                                                                                                                                                                             |  |
| mo2, Mergel/Tone an d. Basis                                                                                   | 8,0 - 8,1 | 463                                                                                           | 6,9             | Z - Werte (Eluat) LAGA [1994]:<br>Chlorid<br><br>Z 0 / Z 1.1 : 10 mg/l<br>Z 1.2 : 20 mg/l<br>Z 2 : 30 mg/l                                                                                  |  |
| mo2, Tonhorizonte                                                                                              | 8,0 - 8,2 | 541                                                                                           | 2,8             |                                                                                                                                                                                             |  |
| mo2, Mergel/Tone im ob. Abschnitt                                                                              | 8,2 - 8,3 | 538                                                                                           | 4,1             |                                                                                                                                                                                             |  |
| ku Basis, Vitriolschiefer                                                                                      | 8,2 - 8,3 | 325                                                                                           | < 1,8           |                                                                                                                                                                                             |  |
| ku, Estherienschiefer                                                                                          | 8,0 - 8,2 | 181                                                                                           | 3,6             |                                                                                                                                                                                             |  |
| km1, Grundgipsschichten                                                                                        | 7,7 - 7,9 | 2092                                                                                          | < 1,8           |                                                                                                                                                                                             |  |
| km1, Bochinger Horizont                                                                                        | 8,3 - 8,5 | 260                                                                                           | < 1,8           |                                                                                                                                                                                             |  |
| km1, Dunkelrote Mergel                                                                                         | 8,2 - 8,4 | 163                                                                                           | < 1,8           |                                                                                                                                                                                             |  |
| km1, Mittlerer Gipshorizont                                                                                    | 7,6 - 8,0 | 2162                                                                                          | < 1,8           |                                                                                                                                                                                             |  |
| km1, Estherienschiefer                                                                                         | 8,0 - 8,6 | 220                                                                                           | 9,3             |                                                                                                                                                                                             |  |
| km2, dunkle Tonsteine im Schilfsandstein                                                                       | 7,4 - 7,9 | 89                                                                                            | < 1,8           |                                                                                                                                                                                             |  |
| km2, Schilfsandstein                                                                                           | 8,6 - 8,7 | 121                                                                                           | < 1,8           |                                                                                                                                                                                             |  |
| km2, Dunkle Mergel des oberen km2                                                                              | 7,9 - 8,4 | 136                                                                                           | < 1,8           |                                                                                                                                                                                             |  |
| km3u, Rote Wand                                                                                                | 8,1 - 8,3 | 143                                                                                           | < 1,8           |                                                                                                                                                                                             |  |
| km3u, Untere Bunte Mergel                                                                                      | 8,1 - 8,7 | 198                                                                                           | < 1,8           |                                                                                                                                                                                             |  |
| km3l, Lehrbergschichten                                                                                        | 8,6       | 123                                                                                           | < 1,8           |                                                                                                                                                                                             |  |
| km3o, Obere Bunte Mergel                                                                                       | 8,1 - 8,3 | 146                                                                                           | 2,4             |                                                                                                                                                                                             |  |
| km4, Stubensandstein                                                                                           | 7,8 - 8,5 | 194                                                                                           | < 1,8           |                                                                                                                                                                                             |  |
| km5, Knollenmergel                                                                                             | 8,4 - 8,5 | 226                                                                                           | 1,8             |                                                                                                                                                                                             |  |
| ko, Rhät-Tonstein                                                                                              | 7,8 - 7,9 | 740                                                                                           | < 1,8           |                                                                                                                                                                                             |  |
| sj alpha1, Psilonotenschichten, Kalkstein                                                                      | 7,6 - 8,2 | 620                                                                                           | < 1,8           |                                                                                                                                                                                             |  |
| sj alpha1, Psilonotentone                                                                                      | 7,1 - 8,1 | 46                                                                                            | 2,5             |                                                                                                                                                                                             |  |
| sj alpha2, Angulatensandstein                                                                                  | 7,3 - 8,3 | 220                                                                                           | 2,2             |                                                                                                                                                                                             |  |
| sj alpha2, Angulatenschichten, Tonstein                                                                        | 8,1 - 8,2 | 430                                                                                           | < 1,8           |                                                                                                                                                                                             |  |
| sj beta, Untere Schwarzjuratone                                                                                | 7,2 - 7,6 | 59                                                                                            | 2,4             |                                                                                                                                                                                             |  |
| sj gamma, Untere Schwarzjuramergel                                                                             | 7,9 - 8,1 | 572                                                                                           | 2,9             |                                                                                                                                                                                             |  |
| sj delta, Obere Schwarzjuratone                                                                                | 8,0 - 8,2 | 186                                                                                           | < 1,8           |                                                                                                                                                                                             |  |
| sj epsilon1, Seegrasschiefer                                                                                   | 7,3 - 7,7 | 854                                                                                           | < 1,8           |                                                                                                                                                                                             |  |
| sj epsilon2, Tonmergel                                                                                         | 7,2 - 7,8 | 740                                                                                           | < 1,8           |                                                                                                                                                                                             |  |
| sj epsilon2, Stinkkalke                                                                                        | 7,2 - 7,5 | 682                                                                                           | < 1,8           |                                                                                                                                                                                             |  |
| sj epsilon3, Wilde Schiefer                                                                                    | 7,2 - 7,4 | 902                                                                                           | < 1,8           |                                                                                                                                                                                             |  |
| sj zeta, Obere Schwarzjuramergel                                                                               | 7,4 - 7,8 | 522                                                                                           | < 1,8           |                                                                                                                                                                                             |  |
| bj alpha, Opalinuston                                                                                          | 7,9 - 8,0 | 501                                                                                           | < 1,8           |                                                                                                                                                                                             |  |
| bj beta; Zopfplatten                                                                                           | 8,0 - 8,2 | 354                                                                                           | 2,1             |                                                                                                                                                                                             |  |
| bj beta; Tolutariazone                                                                                         | 8,1 - 8,2 | 291                                                                                           | < 1,8           |                                                                                                                                                                                             |  |
| bj beta; unt. Donzdorfer Sandst.                                                                               | 5,9 - 8,0 | 379                                                                                           | < 1,8           |                                                                                                                                                                                             |  |
| bj beta; Personatensandstein                                                                                   | 7,6       | 629                                                                                           | < 1,8           |                                                                                                                                                                                             |  |
| bj beta; ob. Donzdorfer Sandst.                                                                                | 7,6 - 7,9 | 547                                                                                           | 2,1             |                                                                                                                                                                                             |  |
| bj gamma; Wedelsandstein                                                                                       | 7,8 - 8,2 | 384                                                                                           | 3,1             |                                                                                                                                                                                             |  |
| bj delta; Dorsetensienbank                                                                                     | 7,9 - 8,1 | 501                                                                                           | 2               |                                                                                                                                                                                             |  |
| bj delta; Humphriesi-Oolith                                                                                    | 8,1       | 471                                                                                           | < 1,8           |                                                                                                                                                                                             |  |
| bj delta; Coronatenschichten                                                                                   | 7,9 - 8,2 | 564                                                                                           | < 1,8           |                                                                                                                                                                                             |  |
| bj delta; Blagdeni-Schichten                                                                                   | 8,1 - 8,2 | 492                                                                                           | < 1,8           |                                                                                                                                                                                             |  |
| bj delta; Subfurcatus-Oolith                                                                                   | 7,8 - 8,1 | 697                                                                                           | < 1,8           |                                                                                                                                                                                             |  |
| bj delta; Hamitenton                                                                                           | 7,7 - 8,1 | 479                                                                                           | < 1,8           |                                                                                                                                                                                             |  |
| bj delta; Parkinsoni-Oolith                                                                                    | 7,8       | 471                                                                                           | < 1,8           |                                                                                                                                                                                             |  |
| bj epsilon; Obere Braunjuratone                                                                                | 7,9 - 8,0 | 505                                                                                           | < 1,8           |                                                                                                                                                                                             |  |
| bj zeta; Macrocephalus-Oolith                                                                                  | 8,1 - 8,3 | 406                                                                                           | < 1,8           |                                                                                                                                                                                             |  |
| bj zeta; Ornatenton                                                                                            | 7,7 - 8,3 | 467                                                                                           | 2,7             |                                                                                                                                                                                             |  |
| wj alpha; Grenzglaukonit                                                                                       | 8,0 - 8,3 | 322                                                                                           | < 1,8           |                                                                                                                                                                                             |  |
| wj alpha, Untere Weißjuramergel                                                                                | 8,0 - 8,2 | 424                                                                                           | < 1,8           |                                                                                                                                                                                             |  |
| ob. wj gamma, Mergel                                                                                           | 8,1 - 8,3 | 219                                                                                           | < 1,8           |                                                                                                                                                                                             |  |



Tab. 7.2.2.: Durchschnittliche Natriumgehalte in den geologischen Formationen:

| <b>Grenzwert TrinkwV [1990]:</b><br><b>150 mg/l</b><br>(nur für S4-Werte) |        |    |     |     |                |                |                |      |    |      |       |                |                |                |  |
|---------------------------------------------------------------------------|--------|----|-----|-----|----------------|----------------|----------------|------|----|------|-------|----------------|----------------|----------------|--|
| Geologische Formation                                                     | Ges.   | n  | x   | s   | n <sub>E</sub> | x <sub>E</sub> | s <sub>E</sub> | S4   | n  | x    | s     | n <sub>E</sub> | x <sub>E</sub> | s <sub>E</sub> |  |
| Untere Nachweisgrenze                                                     | 1,0000 |    |     |     |                |                |                | 0,09 |    |      |       |                |                |                |  |
| so, Röttone                                                               | 14     | 10 | 14  | 28  | 10             |                |                | 3,0  | 10 | 3,0  | 0,42  | 10             |                |                |  |
| mo2, Mergel/Tone an d. Basis                                              | 74     | 5  | 74  | 45  | 5              |                |                | 6,6  | 5  | 6,6  | 0,78  | 5              |                |                |  |
| mo2, Tonhorizonte                                                         | 293    | 10 | 293 | 87  | 10             |                |                | 4,0  | 10 | 4,0  | 0,62  | 10             |                |                |  |
| mo2, Mergel/Tone im ob. Abschnitt                                         | 322    | 5  | 322 | 16  | 5              |                |                | 4,6  | 5  | 4,6  | 0,39  | 5              |                |                |  |
| ku Basis, Vitriolschiefer                                                 | 235    | 10 | 235 | 53  | 10             |                |                | 2,9  | 10 | 2,9  | 0,61  | 10             |                |                |  |
| ku, Estherienschiefer                                                     | 218    | 5  | 218 | 72  | 5              |                |                | 3,9  | 5  | 3,9  | 0,36  | 5              |                |                |  |
| km1, Grundgipsschichten                                                   | 146    | 10 | 146 | 142 | 10             |                |                | 2,7  | 10 | 2,7  | 0,72  | 10             |                |                |  |
| km1, Bochinger Horizont                                                   | 258    | 6  | 258 | 99  | 6              |                |                | 3,3  | 6  | 3,3  | 0,79  | 6              |                |                |  |
| km1, Dunkelrote Mergel                                                    | 365    | 5  | 365 | 34  | 5              |                |                | 2,8  | 5  | 2,8  | 0,80  | 5              |                |                |  |
| km1, Mittlerer Gipshorizont                                               | 86     | 5  | 86  | 84  | 5              |                |                | 3,5  | 5  | 3,9  | 0,96  | 4              | 3,5            | 0,24           |  |
| km1, Estherienschiefer                                                    | 216    | 6  | 216 | 43  | 6              |                |                | 3,0  | 6  | 3,0  | 1,31  | 6              |                |                |  |
| km2, dunkle Tonsteine im Schilfsandstein                                  | 70     | 5  | 70  | 88  | 5              |                |                | 3,0  | 5  | 3,0  | 0,52  | 5              |                |                |  |
| km2, Schilfsandstein                                                      | 890    | 3  | 890 | 395 | 3              |                |                | 3,6  | 3  | 3,6  | 0,63  | 3              |                |                |  |
| km2, Dunkle Mergel des oberen km2                                         | 332    | 5  | 332 | 50  | 5              |                |                | 3,6  | 5  | 3,6  | 1,18  | 5              |                |                |  |
| km3u, Rote Wand                                                           | 388    | 6  | 388 | 46  | 6              |                |                | 3,7  | 6  | 3,7  | 0,29  | 6              |                |                |  |
| km3u, Untere Bunte Mergel                                                 | 567    | 6  | 567 | 41  | 6              |                |                | 4,3  | 6  | 4,3  | 1,08  | 6              |                |                |  |
| km3l, Lehrbergschichten                                                   | 776    | 1  | 776 |     |                |                |                | 3,8  | 1  | 3,8  |       |                |                |                |  |
| km3o, Obere Bunte Mergel                                                  | 299    | 10 | 343 | 153 | 9              | 299            | 65             | 2,9  | 10 | 3,0  | 0,68  | 9              | 2,9            | 0,43           |  |
| km4, Stubensandstein                                                      | 580    | 4  | 580 | 273 | 4              |                |                | 19,1 | 4  | 19,1 | 9,91  | 4              |                |                |  |
| km5, Knollenmergel                                                        | 679    | 8  | 679 | 179 | 8              |                |                | 28,9 | 8  | 28,9 | 9,55  | 8              |                |                |  |
| ko, Rhät-Tonstein                                                         | 209    | 1  | 209 |     |                |                |                | 10,7 | 1  | 10,7 |       |                |                |                |  |
| sj alpha1, Psilonotenschichten, Kalkstein                                 | 85     | 2  | 85  | 119 |                |                |                | 3,9  | 2  | 3,9  | 0,56  |                |                |                |  |
| sj alpha1, Psilonotone                                                    | 113    | 6  | 156 | 108 | 5              | 113            | 23             | 1,9  | 6  | 2,4  | 1,34  | 5              | 1,9            | 0,37           |  |
| sj alpha2, Angulatensandstein                                             | < 1,0  |    |     |     |                |                |                | 3,3  | 2  | 3,3  | 0,49  |                |                |                |  |
| sj alpha2, Angulatenschichten, Tonstein                                   | 109    | 1  | 109 |     |                |                |                | 2,5  | 1  | 2,5  |       |                |                |                |  |
| sj beta, Untere Schwarzjuratone                                           | 241    | 2  | 241 | 13  |                |                |                | 4,0  | 2  | 4,0  | 0,24  |                |                |                |  |
| sj gamma, Untere Schwarzjuramergel                                        | 504    | 5  | 504 | 101 | 5              |                |                | 11,0 | 5  | 11,0 | 0,97  | 5              |                |                |  |
| sj delta, Obere Schwarzjuratone                                           | 622    | 3  | 622 | 205 | 3              |                |                | 25,0 | 3  | 25,0 | 10,02 | 3              |                |                |  |
| sj epsilon1, Seegrasschiefer                                              | 306    | 10 | 306 | 49  | 10             |                |                | 4,6  | 10 | 4,6  | 1,29  | 10             |                |                |  |
| sj epsilon2, Tonmergel                                                    | 250    | 10 | 271 | 74  | 9              | 250            | 34             | 6,1  | 10 | 6,1  | 2,02  | 10             |                |                |  |
| sj epsilon2, Stinkkalke                                                   | 235    | 5  | 235 | 94  | 5              |                |                | 3,9  | 5  | 3,9  | 1,72  | 5              |                |                |  |
| sj epsilon3, Wilde Schiefer                                               | 223    | 10 | 223 | 70  | 10             |                |                | 5,4  | 10 | 5,4  | 1,28  | 10             |                |                |  |
| sj zeta, Obere Schwarzjuramergel                                          | 246    | 5  | 246 | 79  | 5              |                |                | 5,9  | 5  | 5,9  | 1,43  | 5              |                |                |  |
| bj alpha, Opalinuston                                                     | 429    | 15 | 429 | 67  | 15             |                |                | 10,6 | 15 | 10,6 | 2,26  | 15             |                |                |  |
| bj beta; Zopfplatten                                                      | 381    | 5  | 381 | 104 | 5              |                |                | 22,0 | 5  | 22,0 | 5,16  | 5              |                |                |  |
| bj beta; Tolutariazone                                                    | 311    | 4  | 311 | 74  | 4              |                |                | 13,9 | 4  | 15,4 | 3,21  | 3              | 13,9           | 1,26           |  |
| bj beta; unt. Donzdorfer Sandst.                                          | 121    | 12 | 121 | 98  | 12             |                |                | 2,5  | 12 | 2,5  | 1,28  | 12             |                |                |  |
| bj beta; Personatensandstein                                              | 79     | 6  | 108 | 72  | 5              | 79             | 21             | 2,0  | 6  | 2,0  | 0,62  | 6              |                |                |  |
| bj beta; ob. Donzdorfer Sandst.                                           | 203    | 15 | 237 | 184 | 14             | 203            | 130            | 3,8  | 15 | 3,8  | 2,64  | 15             |                |                |  |
| bj gamma; Wedelsandstein                                                  | 366    | 29 | 366 | 117 | 29             |                |                | 16,3 | 29 | 17,1 | 8,05  | 28             | 16,3           | 7,02           |  |
| bj delta; Dorsetensienbank                                                | 428    | 8  | 428 | 176 | 8              |                |                | 18,8 | 8  | 18,8 | 7,39  | 8              |                |                |  |
| bj delta; Humphriesi-Oolith                                               | 463    | 5  | 463 | 225 | 5              |                |                | 22,9 | 5  | 22,9 | 12,33 | 5              |                |                |  |
| bj delta; Coronatenschichten                                              | 583    | 6  | 583 | 226 | 6              |                |                | 37,7 | 6  | 37,7 | 15,08 | 6              |                |                |  |
| bj delta; Blagdeni-Schichten                                              | 458    | 10 | 458 | 196 | 10             |                |                | 22,2 | 10 | 20,0 | 12,98 | 9              | 22,2           | 11,60          |  |
| bj delta; Subfurcatus-Oolith                                              | 560    | 5  | 560 | 180 | 5              |                |                | 34,9 | 5  | 34,9 | 15,80 | 5              |                |                |  |
| bj delta; Hamitenton                                                      | 733    | 19 | 670 | 158 | 16             | 733            | 48             | 44,3 | 19 | 44,3 | 16,43 | 19             |                |                |  |
| bj delta; Parkinsoni-Oolith                                               | 426    | 1  | 426 |     |                |                |                | 22,2 | 1  | 22,2 |       |                |                |                |  |
| bj epsilon; Obere Braunjuratone                                           | 736    | 4  | 736 | 110 | 4              |                |                | 42,3 | 4  | 42,3 | 7,41  | 4              |                |                |  |
| bj zeta; Macrocephalus-Oolith                                             | 624    | 3  | 624 | 164 | 3              |                |                | 44,1 | 3  | 44,1 | 16,06 | 3              |                |                |  |
| bj zeta; Ornatenton                                                       | 763    | 21 | 810 | 168 | 19             | 763            | 83             | 56,6 | 21 | 56,6 | 8,67  | 21             |                |                |  |
| wj alpha; Grenzglaukonit                                                  | 974    | 3  | 974 | 449 | 3              |                |                | 45,3 | 3  | 45,3 | 5,88  | 3              |                |                |  |
| wj alpha, Untere Weißjuramergel                                           | 468    | 7  | 468 | 42  | 7              |                |                | 6,2  | 7  | 6,2  | 1,18  | 7              |                |                |  |
| ob. wj gamma, Mergel                                                      | 306    | 12 | 306 | 84  | 12             |                |                | 4,2  | 12 | 4,6  | 1,22  | 10             | 4,2            | 0,54           |  |

Ges. = Gesamtgehalte (mg/kg)

n = Probenanzahl

x = Mittelwert aller Meßwerte

s = Standardabweichung aller Meßwerte

S4 = S4-Elutionsgehalte (mg/l)

n<sub>E</sub> = Anzahl der Extremwertex<sub>E</sub> = Mittelwert nach Extremwerteliminierungs<sub>E</sub> = Standardabweichung nach Extremwerteliminierung

Tab. 7.2.3.: Durchschnittliche Calciumgehalte in den geologischen Formationen:

| <b>Grenzwert TrinkwV [1990]:</b>          |        |    |        |        |                |                |                |      |    |     |       |                |                |                |  |
|-------------------------------------------|--------|----|--------|--------|----------------|----------------|----------------|------|----|-----|-------|----------------|----------------|----------------|--|
| <b>400 mg/l</b>                           |        |    |        |        |                |                |                |      |    |     |       |                |                |                |  |
| (nur für S4-Werte)                        |        |    |        |        |                |                |                |      |    |     |       |                |                |                |  |
| Geologische Formation                     | Ges.   | n  | x      | s      | n <sub>E</sub> | x <sub>E</sub> | s <sub>E</sub> | S4   | n  | x   | s     | n <sub>E</sub> | x <sub>E</sub> | s <sub>E</sub> |  |
| Untere Nachweisgrenze                     | 4,0000 |    |        |        |                |                |                | 0,02 |    |     |       |                |                |                |  |
| so, Röttone                               | 5026   | 10 | 7094   | 6866   | 9              | 5026           | 2215           | 14   | 10 | 14  | 4,1   | 10             |                |                |  |
| mo2, Mergel/Tone an d. Basis              | 254042 | 5  | 254042 | 10656  | 5              |                |                | 50   | 5  | 70  | 45,1  | 4              | 50             | 9,7            |  |
| mo2, Tonhorizonte                         | 59257  | 10 | 59257  | 21177  | 10             |                |                | 57   | 10 | 57  | 11,5  | 10             |                |                |  |
| mo2, Mergel/Tone im ob. Abschnitt         | 158598 | 5  | 158598 | 31867  | 5              |                |                | 45   | 5  | 45  | 9,5   | 5              |                |                |  |
| ku Basis, Vitriolschiefer                 | 8500   | 10 | 8500   | 3749   | 10             |                |                | 17   | 10 | 22  | 15,9  | 9              | 17             | 2,4            |  |
| ku, Estherienschiechten                   | 6150   | 5  | 6150   | 997    | 5              |                |                | 14   | 5  | 16  | 6,4   | 4              | 14             | 0,9            |  |
| km 1, Grundgipsschichten                  | 219321 | 10 | 209532 | 22803  | 8              | 219321         | 8794           | 622  | 10 | 622 | 12,1  | 10             |                |                |  |
| km 1, Bochinger Horizont                  | 79592  | 6  | 79592  | 18508  | 6              |                |                | 135  | 6  | 135 | 220,8 | 6              |                |                |  |
| km 1, Dunkelrote Mergel                   | 42984  | 5  | 52355  | 21822  | 4              | 42984          | 7035           | 20   | 5  | 20  | 9,6   | 5              |                |                |  |
| km 1, Mittlerer Gipshorizont              | 148198 | 5  | 148198 | 32959  | 5              |                |                | 615  | 5  | 615 | 11,3  | 5              |                |                |  |
| km 1, Estherienschiechten                 | 68073  | 6  | 58463  | 25100  | 5              | 68073          | 9737           | 21   | 6  | 21  | 7,9   | 6              |                |                |  |
| km2, dunkle Tonsteine im Schilfsandstein  | 1657   | 5  | 1657   | 197    | 5              |                |                | 10   | 5  | 10  | 7,1   | 5              |                |                |  |
| km2, Schilfsandstein                      | 3622   | 3  | 3622   | 2748   | 3              |                |                | 12   | 3  | 12  | 2,5   | 3              |                |                |  |
| km2, Dunkle Mergel des oberen km2         | 41712  | 5  | 41712  | 39452  | 5              |                |                | 11   | 5  | 11  | 7,1   | 5              |                |                |  |
| km3u, Rote Wand                           | 12562  | 6  | 12562  | 9798   | 6              |                |                | 15   | 6  | 15  | 1,6   | 6              |                |                |  |
| km3u, Untere Bunte Mergel                 | 17716  | 6  | 17716  | 7467   | 6              |                |                | 19   | 6  | 19  | 13,2  | 6              |                |                |  |
| km3l, Lehrbergschichten                   | 5418   | 1  | 5418   |        |                |                |                | 10   | 1  | 10  |       |                |                |                |  |
| km3o, Obere Bunte Mergel                  | 31579  | 10 | 31579  | 30195  | 10             |                |                | 13   | 10 | 31  | 57,1  | 9              | 13             | 3,1            |  |
| km4, Stubensandstein                      | 1170   | 4  | 6824   | 11338  | 3              | 1170           | 1021           | 3    | 4  | 6   | 6,4   | 3              | 3              | 1,0            |  |
| km5, Knollenmergel                        | 62766  | 8  | 62766  | 33945  | 8              |                |                | 9    | 8  | 10  | 3,5   | 7              | 9              | 2,0            |  |
| ko, Rhät-Tonstein                         | 5616   | 1  | 5616   |        |                |                |                | 92   | 1  | 92  |       |                |                |                |  |
| sj alpha1, Psilonotenschichten, Kalkstein | 225511 | 2  | 225511 | 122381 |                |                |                | 147  | 2  | 147 | 130,1 |                |                |                |  |
| sj alpha1, Psilonotentone                 | 3717   | 6  | 6631   | 7142   |                |                |                | 6    | 6  | 14  | 20,8  | 5              | 6              | 1,1            |  |
| sj alpha2, Angulatensandstein             | 110029 | 2  | 110029 | 86227  |                |                |                | 227  | 2  | 227 | 283,8 |                |                |                |  |
| sj alpha2, Angulatenschichten, Tonstein   | 66337  | 1  | 66337  |        |                |                |                | 50   | 1  | 50  |       |                |                |                |  |
| sj beta, Untere Schwarzjuratone           | 4204   | 2  | 4204   | 63     |                |                |                | 7    | 2  | 7   | 0,2   |                |                |                |  |
| sj gamma, Untere Schwarzjuramergel        | 215473 | 5  | 237970 | 52380  | 4              | 215473         | 16852          | 80   | 5  | 80  | 30,1  | 5              |                |                |  |
| sj delta, Obere Schwarzjuratone           | 55701  | 3  | 55701  | 8299   | 3              |                |                | 22   | 3  | 22  | 7,7   | 3              |                |                |  |
| sj epsilon1, Seegrasschiefer              | 133860 | 10 | 133860 | 19563  | 10             |                |                | 235  | 10 | 235 | 32,3  | 10             |                |                |  |
| sj epsilon2, Tonmergel                    | 132318 | 10 | 132318 | 9232   | 10             |                |                | 174  | 10 | 174 | 11,1  | 10             |                |                |  |
| sj epsilon2, Stinkkalke                   | 291961 | 5  | 291961 | 65156  | 5              |                |                | 165  | 5  | 165 | 37,7  | 5              |                |                |  |
| sj epsilon3, Wilde Schiefer               | 129351 | 10 | 131008 | 6628   | 9              | 129351         | 4304           | 237  | 10 | 237 | 12,9  | 10             |                |                |  |
| sj zeta, Obere Schwarzjuramergel          | 102059 | 5  | 102059 | 20225  | 5              |                |                | 131  | 5  | 131 | 79,5  | 5              |                |                |  |
| bj alpha, Opalinuston                     | 16454  | 15 | 19159  | 6389   | 12             | 16454          | 2562           | 62   | 15 | 62  | 15,7  | 15             |                |                |  |
| bj beta; Zopflatten                       | 39767  | 5  | 39767  | 6816   | 5              |                |                | 45   | 5  | 45  | 15,1  | 5              |                |                |  |
| bj beta; Tolutariazone                    | 41231  | 4  | 41231  | 41323  | 4              |                |                | 33   | 4  | 33  | 5,4   | 4              |                |                |  |
| bj beta; unt. Donzdorfer Sandst.          | 4426   | 12 | 15020  | 31755  | 10             | 4426           | 2935           | 63   | 12 | 63  | 38,5  | 12             |                |                |  |
| bj beta; Personatensandstein              | 5841   | 6  | 8999   | 7837   | 5              | 5841           | 1405           | 118  | 6  | 118 | 26,0  | 6              |                |                |  |
| bj beta; ob. Donzdorfer Sandst.           | 77936  | 15 | 77936  | 74778  | 15             |                |                | 100  | 15 | 100 | 50,2  | 15             |                |                |  |
| bj gamma; Wedelsandstein                  | 43293  | 29 | 47371  | 22494  | 27             | 43293          | 17154          | 35   | 29 | 39  | 14,5  | 27             | 35             | 7,9            |  |
| bj delta; Dorsetensienbank                | 96779  | 8  | 96779  | 70427  | 8              |                |                | 59   | 8  | 59  | 19,6  | 8              |                |                |  |
| bj delta; Humphriesi-Oolith               | 67194  | 5  | 73683  | 15015  | 4              | 67194          | 4467           | 50   | 5  | 50  | 12,4  | 5              |                |                |  |
| bj delta; Coronatenschichten              | 136079 | 6  | 136079 | 74648  | 6              |                |                | 62   | 6  | 62  | 33,9  | 6              |                |                |  |
| bj delta; Blagdeni-Schichten              | 71742  | 10 | 66794  | 20055  | 9              | 71742          | 13307          | 58   | 10 | 52  | 33,2  | 9              | 58             | 29,4           |  |
| bj delta; Subfurcatus-Oolith              | 64621  | 5  | 64621  | 24076  | 5              |                |                | 85   | 5  | 85  | 26,6  | 5              |                |                |  |
| bj delta; Hamitenton                      | 72287  | 19 | 72287  | 13009  | 19             |                |                | 43   | 19 | 46  | 21,0  | 18             | 43             | 16,3           |  |
| bj delta; Parkinsoni-Oolith               | 218464 | 1  | 218464 |        |                |                |                | 73   | 1  | 73  |       |                |                |                |  |
| bj epsilon; Obere Braunjuratone           | 68108  | 4  | 68108  | 52136  | 4              |                |                | 66   | 4  | 66  | 58,6  | 4              |                |                |  |
| bj zeta; Macrocephalus-Oolith             | 100263 | 3  | 100263 | 68360  | 3              |                |                | 51   | 3  | 41  | 17,2  | 2              | 51             | 0,3            |  |
| bj zeta; Ornatenton                       | 85869  | 21 | 85869  | 29242  | 21             |                |                | 33   | 21 | 40  | 25,5  | 19             | 33             | 13,3           |  |
| wj alpha; Grenzglaukonit                  | 152513 | 3  | 152513 | 63253  | 3              |                |                | 24   | 3  | 24  | 8,5   | 3              |                |                |  |
| wj alpha, Untere Weißjuramergel           | 222419 | 7  | 222419 | 12126  | 7              |                |                | 49   | 7  | 49  | 11,6  | 7              |                |                |  |
| ob. wj gamma, Mergel                      | 303320 | 12 | 308751 | 26148  | 11             | 303320         | 19044          | 21   | 12 | 23  | 7,6   | 11             | 21             | 3,2            |  |

Ges. = Gesamtgehalte (mg/kg)

n = Probenanzahl

x = Mittelwert aller Meßwerte

s = Standardabweichung aller Meßwerte

S4 = S4-Elutionsgehalte (mg/l)

n<sub>E</sub> = Anzahl der Extremwertex<sub>E</sub> = Mittelwert nach Extremwerteliminierungs<sub>E</sub> = Standardabweichung nach Extremwerteliminierung





Tab. 7.2.5.: Durchschnittliche Mangangehalte in den geologischen Formationen:

| <b>Grenzwert TrinkwV [1990]:</b><br><b>0,05 mg/l</b><br>(nur für S4-Werte) |        |    |      |      |                |                |                |               |    |        |        |                |                |                |  |  |
|----------------------------------------------------------------------------|--------|----|------|------|----------------|----------------|----------------|---------------|----|--------|--------|----------------|----------------|----------------|--|--|
| Geologische Formation                                                      | Ges.   | n  | x    | s    | n <sub>E</sub> | x <sub>E</sub> | s <sub>E</sub> | S4            | n  | x      | s      | n <sub>E</sub> | x <sub>E</sub> | s <sub>E</sub> |  |  |
| Untere Nachweisgrenze                                                      | 2,0000 |    |      |      |                |                |                | 0,0012        |    |        |        |                |                |                |  |  |
| so, Röttone                                                                | 310    | 10 | 310  | 303  | 10             |                |                | 0,0012        | 10 | 0,0012 | 0,0009 | 10             |                |                |  |  |
| mo2, Mergel/Tone an d. Basis                                               | 205    | 5  | 205  | 19   | 5              |                |                | < 0,0012      | 5  |        |        |                |                |                |  |  |
| mo2, Tonhorizonte                                                          | 290    | 10 | 290  | 18   | 10             |                |                | < 0,0012      | 10 |        |        |                |                |                |  |  |
| mo2, Mergel/Tone im ob. Abschnitt                                          | 365    | 5  | 365  | 19   | 5              |                |                | < 0,0012      | 5  |        |        |                |                |                |  |  |
| ku Basis, Vitriolschiefer                                                  | 135    | 10 | 135  | 24   | 10             |                |                | < 0,0012      | 10 |        |        |                |                |                |  |  |
| ku, Estheriensichten                                                       | 60     | 5  | 60   | 11   | 5              |                |                | < 0,0012      | 5  |        |        |                |                |                |  |  |
| km1, Grundgipsschichten                                                    | 48     | 10 | 48   | 48   | 10             |                |                | 0,0203        | 10 | 0,0203 | 0,0111 | 10             |                |                |  |  |
| km1, Bochinger Horizont                                                    | 866    | 6  | 866  | 282  | 6              |                |                | 0,0013        | 6  | 0,0043 | 0,0075 | 5              | 0,0013         | 0,0004         |  |  |
| km1, Dunkelrote Mergel                                                     | 519    | 5  | 519  | 52   | 5              |                |                | < 0,0012      | 5  | 0,0014 | 0,0014 | 4              | 0,0008         | 0,0004         |  |  |
| km1, Mittlerer Gipschizont                                                 | 67     | 5  | 67   | 76   | 5              |                |                | 0,0201        | 5  | 0,0201 | 0,0039 | 5              |                |                |  |  |
| km1, Estheriensichten                                                      | 590    | 6  | 590  | 246  | 6              |                |                | 0,0022        | 6  | 0,0022 | 0,0019 | 6              |                |                |  |  |
| km2, dunkle Tonsteine im Schilfsandstein                                   | 101    | 5  | 101  | 9    | 5              |                |                | 0,0041        | 5  | 0,0041 | 0,0025 | 5              |                |                |  |  |
| km2, Schilfsandstein                                                       | 886    | 3  | 886  | 756  | 3              |                |                | < 0,0012      | 3  |        |        |                |                |                |  |  |
| km2, Dunkle Mergel des oberen km2                                          | 337    | 5  | 337  | 216  | 5              |                |                | 0,0014        | 5  | 0,0014 | 0,0011 | 5              |                |                |  |  |
| km3u, Rote Wand                                                            | 148    | 6  | 148  | 18   | 6              |                |                | < 0,0012      | 6  | 0,0012 | 0,0015 | 5              | 0,0006         | 0,0000         |  |  |
| km3u, Untere Bunte Mergel                                                  | 2368   | 6  | 2368 | 493  | 6              |                |                | 0,0042        | 6  | 0,0042 | 0,0040 | 6              |                |                |  |  |
| km3l, Lehrbergschichten                                                    | 1340   | 1  | 1340 |      |                |                |                | < 0,0012      | 1  |        |        |                |                |                |  |  |
| km3o, Obere Bunte Mergel                                                   | 339    | 10 | 339  | 268  | 10             |                |                | 0,0041        | 10 | 0,0041 | 0,0037 | 10             |                |                |  |  |
| km4, Stubensandstein                                                       | 19     | 4  | 100  | 163  | 3              | 19             | 13             | 0,0021        | 4  | 0,0021 | 0,0009 | 4              |                |                |  |  |
| km5, Knollenmergel                                                         | 694    | 8  | 694  | 444  | 8              |                |                | 0,0015        | 8  | 0,0015 | 0,0009 | 8              |                |                |  |  |
| ko, Rhät-Tonstein                                                          | 67     | 1  | 67   |      |                |                |                | <b>0,0580</b> | 1  | 0,0580 |        |                |                |                |  |  |
| sj alpha1, Psilonotenschichten, Kalkstein                                  | 1740   | 2  | 1740 | 796  |                |                |                | <b>0,1086</b> | 2  | 0,1086 | 0,1360 |                |                |                |  |  |
| sj alpha1, Psilonotentone                                                  | 61     | 6  | 104  | 108  | 5              | 61             | 22             | 0,0102        | 6  | 0,0102 | 0,0058 | 6              |                |                |  |  |
| sj alpha2, Angulatensandstein                                              | 1059   | 2  | 1059 | 489  |                |                |                | <b>1,3909</b> | 2  | 1,3909 | 0,9810 |                |                |                |  |  |
| sj alpha2, Angulatenschichten, Tonstein                                    | 434    | 1  | 434  |      |                |                |                | 0,0021        | 1  | 0,0021 |        |                |                |                |  |  |
| sj beta, Untere Schwarzjuratone                                            | 425    | 2  | 425  | 16   |                |                |                | 0,0074        | 2  | 0,0074 | 0,0029 |                |                |                |  |  |
| sj gamma, Untere Schwarzjuramergel                                         | 913    | 5  | 913  | 82   | 5              |                |                | 0,0207        | 5  | 0,0207 | 0,0119 | 5              |                |                |  |  |
| sj delta, Obere Schwarzjuratone                                            | 1410   | 3  | 1410 | 443  | 3              |                |                | 0,0029        | 3  | 0,0073 | 0,0076 | 2              | 0,0029         | 0,0002         |  |  |
| sj epsilon1, Seegrasschiefer                                               | 325    | 10 | 340  | 38   | 8              | 325            | 7              | <b>0,1614</b> | 10 | 0,1614 | 0,1066 | 10             |                |                |  |  |
| sj epsilon2, Tonmergel                                                     | 277    | 10 | 277  | 113  | 10             |                |                | <b>0,0914</b> | 10 | 0,0914 | 0,0358 | 10             |                |                |  |  |
| sj epsilon2, Stinkkalke                                                    | 186    | 5  | 186  | 48   | 5              |                |                | 0,0325        | 5  | 0,0325 | 0,0195 | 5              |                |                |  |  |
| sj epsilon3, Wilde Schiefer                                                | 345    | 10 | 322  | 94   | 8              | 345            | 13             | <b>0,1833</b> | 10 | 0,1833 | 0,1227 | 10             |                |                |  |  |
| sj zeta, Obere Schwarzjuramergel                                           | 519    | 5  | 519  | 108  | 5              |                |                | 0,0428        | 5  | 0,1458 | 0,2341 | 4              | 0,0428         | 0,0488         |  |  |
| bj alpha, Opalinuston                                                      | 318    | 15 | 407  | 201  | 12             | 318            | 57             | 0,0143        | 15 | 0,0184 | 0,0227 | 14             | 0,0143         | 0,0171         |  |  |
| bj beta; Zopfplatten                                                       | 394    | 5  | 556  | 374  | 4              | 394            | 114            | 0,0067        | 5  | 0,0067 | 0,0091 | 5              |                |                |  |  |
| bj beta; Tolutariazone                                                     | 905    | 4  | 905  | 730  | 4              |                |                | 0,0217        | 4  | 0,0217 | 0,0252 | 4              |                |                |  |  |
| bj beta; unt. Donzdorfer Sandst.                                           | 536    | 12 | 536  | 600  | 12             |                |                | 0,0445        | 12 | 0,0853 | 0,1489 | 11             | 0,0445         | 0,0500         |  |  |
| bj beta; Personatensandstein                                               | 135    | 6  | 224  | 223  | 5              | 135            | 53             | <b>0,0865</b> | 6  | 0,0865 | 0,0552 | 6              |                |                |  |  |
| bj beta; ob. Donzdorfer Sandst.                                            | 1729   | 15 | 1729 | 1300 | 15             |                |                | <b>0,1471</b> | 15 | 0,3295 | 0,7146 | 14             | 0,1471         | 0,1121         |  |  |
| bj gamma; Wedelsandstein                                                   | 353    | 29 | 397  | 216  | 27             | 353            | 142            | 0,0046        | 29 | 0,0088 | 0,0126 | 25             | 0,0046         | 0,0065         |  |  |
| bj delta; Dorsetensienbank                                                 | 251    | 8  | 337  | 269  | 7              | 251            | 121            | 0,0104        | 5  | 0,0104 | 0,0113 | 5              |                |                |  |  |
| bj delta; Humphriesi-Oolith                                                | 407    | 5  | 407  | 227  | 5              |                |                | 0,0125        | 5  | 0,0125 | 0,0098 | 5              |                |                |  |  |
| bj delta; Coronatenschichten                                               | 426    | 6  | 426  | 280  | 6              |                |                | 0,0030        | 6  | 0,0030 | 0,0035 | 6              |                |                |  |  |
| bj delta; Blagdeni-Schichten                                               | 250    | 10 | 237  | 49   | 9              | 250            | 31             | 0,0023        | 10 | 0,0040 | 0,0056 | 9              | 0,0023         | 0,0025         |  |  |
| bj delta; Subfurcatus-Oolith                                               | 502    | 5  | 502  | 181  | 5              |                |                | 0,0268        | 5  | 0,0268 | 0,0122 | 5              |                |                |  |  |
| bj delta; Hamitenton                                                       | 286    | 19 | 294  | 50   | 18             | 286            | 37             | 0,0026        | 19 | 0,0118 | 0,0263 | 14             | 0,0026         | 0,0020         |  |  |
| bj delta; Parkinsoni-Oolith                                                | 4048   | 1  | 4048 |      |                |                |                | 0,0323        | 1  | 0,0323 |        |                |                |                |  |  |
| bj epsilon; Obere Braunjuratone                                            | 826    | 4  | 826  | 1112 | 4              |                |                | 0,0286        | 4  | 0,0286 | 0,0329 | 4              |                |                |  |  |
| bj zeta; Macrocephalus-Oolith                                              | 922    | 3  | 922  | 916  | 3              |                |                | < 0,0012      | 3  |        |        |                |                |                |  |  |
| bj zeta; Ornatenton                                                        | 213    | 21 | 297  | 170  | 16             | 213            | 49             | 0,0030        | 21 | 0,0066 | 0,0135 | 19             | 0,0030         | 0,0027         |  |  |
| wj alpha; Grenzglaukonit                                                   | 160    | 3  | 160  | 24   | 3              |                |                | < 0,0012      | 3  |        |        |                |                |                |  |  |
| wj alpha, Untere Weißjuramergel                                            | 146    | 7  | 146  | 5    | 7              |                |                | < 0,0012      | 7  |        |        |                |                |                |  |  |
| ob. wj gamma, Mergel                                                       | 320    | 12 | 320  | 41   | 12             |                |                | < 0,0012      | 12 |        |        |                |                |                |  |  |

Ges. = Gesamtgehalte (mg/kg)

n = Probenanzahl

x = Mittelwert aller Meßwerte

s = Standardabweichung aller Meßwerte

S4 = S4-Elutionsgehalte (mg/l)

n<sub>E</sub> = Anzahl der Extremwertex<sub>E</sub> = Mittelwert nach Extremwerteeliminierungs<sub>E</sub> = Standardabweichung nach Extremwerteeliminierung

**Tab. 7.2.6.: Durchschnittliche Kaliumgehalte in den geologischen Formationen:**

| <b>Grenzwert TrinkwV [1990]:</b><br><b>12 mg/l (50, wenn geogen bedingt)</b><br>(nur für S4-Werte) |        |    |       |       |                |                |                |     |    |    |      |                |                |                |  |  |
|----------------------------------------------------------------------------------------------------|--------|----|-------|-------|----------------|----------------|----------------|-----|----|----|------|----------------|----------------|----------------|--|--|
| Geologische Formation                                                                              | Ges.   | n  | x     | s     | n <sub>E</sub> | x <sub>E</sub> | s <sub>E</sub> | S4  | n  | x  | s    | n <sub>E</sub> | x <sub>E</sub> | s <sub>E</sub> |  |  |
| Untere Nachweisgrenze                                                                              | 9,0000 |    |       |       |                |                |                | 0,8 |    |    |      |                |                |                |  |  |
| so, Rötöne                                                                                         | 6232   | 10 | 6516  | 1149  | 9              | 6232           | 759            | 13  | 10 | 15 | 3,3  | 9              | 13             | 1,1            |  |  |
| mo2, Mergel/Tone an d. Basis                                                                       | 3589   | 5  | 3589  | 861   | 5              |                |                | 35  | 5  | 35 | 5,5  | 5              |                |                |  |  |
| mo2, Tonhorizonte                                                                                  | 9137   | 10 | 9137  | 2302  | 10             |                |                | 47  | 10 | 47 | 7,1  | 10             |                |                |  |  |
| mo2, Mergel/Tone im ob. Abschnitt                                                                  | 5392   | 5  | 5392  | 1039  | 5              |                |                | 44  | 5  | 44 | 3,5  | 5              |                |                |  |  |
| ku Basis, Vitriolschiefer                                                                          | 9902   | 10 | 9902  | 1041  | 10             |                |                | 48  | 10 | 48 | 8,0  | 10             |                |                |  |  |
| ku, Estherienschiefer                                                                              | 12348  | 5  | 12348 | 2009  | 5              |                |                | 22  | 5  | 22 | 1,1  | 5              |                |                |  |  |
| km1, Grundgipsschichten                                                                            | 628    | 10 | 628   | 1061  | 10             |                |                | 6   | 10 | 5  | 3,2  | 9              | 6              | 2,8            |  |  |
| km1, Bochinger Horizont                                                                            | 8015   | 6  | 8015  | 3675  | 6              |                |                | 29  | 6  | 29 | 3,5  | 6              |                |                |  |  |
| km1, Dunkelrote Mergel                                                                             | 15388  | 5  | 15388 | 2025  | 5              |                |                | 12  | 5  | 12 | 2,5  | 5              |                |                |  |  |
| km1, Mittlerer Gipschizont                                                                         | 3490   | 5  | 3490  | 2898  | 5              |                |                | 18  | 5  | 18 | 12,7 | 5              |                |                |  |  |
| km1, Estherienschiefer                                                                             | 11943  | 6  | 11943 | 2562  | 6              |                |                | 20  | 6  | 20 | 7,4  | 6              |                |                |  |  |
| km2, dunkle Tonsteine im Schiffsandstein                                                           | 9341   | 5  | 9341  | 1509  | 5              |                |                | 21  | 5  | 21 | 6,9  | 5              |                |                |  |  |
| km2, Schiffsandstein                                                                               | 20306  | 3  | 20306 | 12016 | 3              |                |                | 16  | 3  | 16 | 5,4  | 3              |                |                |  |  |
| km2, Dunkle Mergel des oberen km2                                                                  | 16939  | 5  | 16939 | 4353  | 5              |                |                | 25  | 5  | 25 | 8,2  | 5              |                |                |  |  |
| km3u, Rote Wand                                                                                    | 22927  | 6  | 22927 | 2889  | 6              |                |                | 20  | 6  | 20 | 4,3  | 6              |                |                |  |  |
| km3u, Untere Bunte Mergel                                                                          | 22946  | 6  | 22946 | 4791  | 6              |                |                | 14  | 6  | 14 | 3,4  | 6              |                |                |  |  |
| km3l, Lehrbergschichten                                                                            | 12887  | 1  | 12887 |       |                |                |                | 14  | 1  | 14 |      |                |                |                |  |  |
| km3o, Obere Bunte Mergel                                                                           | 12092  | 10 | 12092 | 3102  | 10             |                |                | 19  | 10 | 19 | 5,7  | 10             |                |                |  |  |
| km4, Stubensandstein                                                                               | 3378   | 4  | 3378  | 2600  | 4              |                |                | 20  | 4  | 20 | 12,9 | 4              |                |                |  |  |
| km5, Knollenmergel                                                                                 | 4472   | 8  | 4472  | 1370  | 8              |                |                | 16  | 8  | 16 | 5,0  | 8              |                |                |  |  |
| ko, Rhät-Tonstein                                                                                  | 1728   | 1  | 1728  |       |                |                |                | 17  | 1  | 17 |      |                |                |                |  |  |
| sj alpha1, Psilonotenschichten, Kalkstein                                                          | < 9,0  | 2  |       |       |                |                |                | 16  | 2  | 16 | 6,3  |                |                |                |  |  |
| sj alpha1, Psilonotone                                                                             | 3590   | 6  | 3590  | 1888  | 6              |                |                | 7   | 6  | 10 | 11,6 | 4              | 7              | 1,5            |  |  |
| sj alpha2, Angulatensandstein                                                                      | 1404   | 2  | 1404  | 457   |                |                |                | 26  | 2  | 26 | 3,0  |                |                |                |  |  |
| sj alpha2, Angulatenschichten, Tonstein                                                            | 1728   | 1  | 1728  |       |                |                |                | 15  | 1  | 15 |      |                |                |                |  |  |
| sj beta, Untere Schwarzjuratone                                                                    | 5564   | 2  | 5564  | 0     |                |                |                | 8   | 2  | 8  | 2,5  |                |                |                |  |  |
| sj gamma, Untere Schwarzjuramergel                                                                 | 3959   | 5  | 3959  | 1742  | 5              |                |                | 46  | 5  | 46 | 13,9 | 5              |                |                |  |  |
| sj delta, Obere Schwarzjuratone                                                                    | 5966   | 3  | 5966  | 516   | 3              |                |                | 1   | 3  | 1  | 0,6  | 3              |                |                |  |  |
| sj epsilon1, Seegrasschiefer                                                                       | 6006   | 10 | 6006  | 1447  | 10             |                |                | 28  | 10 | 28 | 12,7 | 10             |                |                |  |  |
| sj epsilon2, Tonmergel                                                                             | 6242   | 10 | 6242  | 1493  | 10             |                |                | 26  | 10 | 26 | 6,9  | 10             |                |                |  |  |
| sj epsilon2, Stinkkalke                                                                            | 2391   | 5  | 2391  | 794   | 5              |                |                | 22  | 5  | 22 | 6,9  | 5              |                |                |  |  |
| sj epsilon3, Wilde Schiefer                                                                        | 4468   | 10 | 4468  | 818   | 10             |                |                | 15  | 10 | 15 | 8,0  | 10             |                |                |  |  |
| sj zeta, Obere Schwarzjuramergel                                                                   | 5351   | 5  | 5351  | 1023  | 5              |                |                | 19  | 5  | 19 | 10,0 | 5              |                |                |  |  |
| bj alpha, Opalinuston                                                                              | 7477   | 15 | 7477  | 749   | 15             |                |                | 27  | 15 | 27 | 6,1  | 15             |                |                |  |  |
| bj beta, Zopfplatten                                                                               | 2107   | 5  | 2107  | 731   | 5              |                |                | 16  | 5  | 16 | 3,7  | 5              |                |                |  |  |
| bj beta, Tolutariazone                                                                             | 2164   | 4  | 2164  | 752   | 4              |                |                | 19  | 4  | 19 | 3,4  | 4              |                |                |  |  |
| bj beta; unt. Donzdorfer Sandst.                                                                   | 1574   | 12 | 1574  | 1192  | 12             |                |                | 20  | 12 | 18 | 10,4 | 11             | 20             | 9,2            |  |  |
| bj beta; Personatensandstein                                                                       | 1591   | 6  | 1591  | 404   | 6              |                |                | 14  | 6  | 14 | 3,7  | 6              |                |                |  |  |
| bj beta; ob. Donzdorfer Sandst.                                                                    | 1137   | 15 | 1137  | 520   | 15             |                |                | 14  | 15 | 13 | 6,9  | 14             | 14             | 6,1            |  |  |
| bj gamma; Wedelsandstein                                                                           | 3077   | 29 | 3077  | 812   | 29             |                |                | 31  | 29 | 31 | 6,8  | 29             |                |                |  |  |
| bj delta; Dorsetensienbank                                                                         | 2505   | 8  | 2505  | 834   | 8              |                |                | 24  | 8  | 24 | 10,3 | 8              |                |                |  |  |
| bj delta; Humphriesi-Oolith                                                                        | 2047   | 5  | 2047  | 657   | 5              |                |                | 19  | 5  | 19 | 6,8  | 5              |                |                |  |  |
| bj delta; Coronatenschichten                                                                       | 2541   | 6  | 2541  | 733   | 6              |                |                | 24  | 6  | 24 | 7,9  | 6              |                |                |  |  |
| bj delta; Blagdeni-Schichten                                                                       | 3461   | 10 | 3461  | 405   | 10             |                |                | 29  | 10 | 26 | 12,0 | 9              | 29             | 8,2            |  |  |
| bj delta; Subfucatus-Oolith                                                                        | 2736   | 5  | 2736  | 313   | 5              |                |                | 32  | 5  | 32 | 4,1  | 5              |                |                |  |  |
| bj delta; Hamitenton                                                                               | 3237   | 19 | 3237  | 312   | 19             |                |                | 31  | 19 | 31 | 7,0  | 19             |                |                |  |  |
| bj delta; Parkinsoni-Oolith                                                                        | 1521   | 1  | 1521  |       |                |                |                | 19  | 1  | 19 |      |                |                |                |  |  |
| bj epsilon; Obere Braunjuratone                                                                    | 2918   | 4  | 2918  | 564   | 4              |                |                | 21  | 4  | 21 | 2,9  | 4              |                |                |  |  |
| bj zeta; Macrocephalus-Oolith                                                                      | 2767   | 3  | 2767  | 485   | 3              |                |                | 23  | 3  | 23 | 1,7  | 3              |                |                |  |  |
| bj zeta; Ornatenton                                                                                | 4555   | 21 | 4555  | 947   | 21             |                |                | 31  | 21 | 31 | 5,3  | 21             |                |                |  |  |
| wj alpha; Grenzglaukonit                                                                           | 5778   | 3  | 5778  | 3184  | 3              |                |                | 29  | 3  | 29 | 3,3  | 3              |                |                |  |  |
| wj alpha, Untere Weißjuramergel                                                                    | 7037   | 7  | 7037  | 1093  | 7              |                |                | 41  | 7  | 41 | 9,9  | 7              |                |                |  |  |
| ob. wj gamma, Mergel                                                                               | 4165   | 12 | 4165  | 1569  | 12             |                |                | 28  | 12 | 31 | 15,1 | 11             | 28             | 9,2            |  |  |

Ges. = Gesamtgehalte (mg/kg)

n = Probenanzahl

x = Mittelwert aller Meßwerte

s = Standardabweichung aller Meßwerte

S4 = S4-Elutionsgehalte (mg/l)

n<sub>E</sub> = Anzahl der Extremwertex<sub>E</sub> = Mittelwert nach Extremwerteliminierungs<sub>E</sub> = Standardabweichung nach Extremwerteliminierung

Tab. 7.2.7.: Durchschnittliche Magnesiumgehalte in den geologischen Formationen:

| <b>Grenzwert TrinkwV [1990]:</b><br><b>50 mg/l (120, wenn geogen bedingt)</b><br>(nur für S4-Werte) |        |    |       |       |                |                |                |       |    |    |      |                |                |                |  |
|-----------------------------------------------------------------------------------------------------|--------|----|-------|-------|----------------|----------------|----------------|-------|----|----|------|----------------|----------------|----------------|--|
| Geologische Formation                                                                               | Ges.   | n  | x     | s     | n <sub>E</sub> | x <sub>E</sub> | s <sub>E</sub> | S4    | n  | x  | s    | n <sub>E</sub> | x <sub>E</sub> | s <sub>E</sub> |  |
| Untere Nachweisgrenze                                                                               | 1,0000 |    |       |       |                |                |                | 0,001 |    |    |      |                |                |                |  |
| so, Röttone                                                                                         | 2420   | 10 | 2420  | 170   | 10             |                |                | 2     | 10 | 2  | 0,3  | 10             |                |                |  |
| mo2, Mergel/Tone an d. Basis                                                                        | 18166  | 5  | 18166 | 10937 | 5              |                |                | 23    | 5  | 23 | 9,1  | 5              |                |                |  |
| mo2, Tonhorizonte                                                                                   | 28793  | 10 | 28793 | 3777  | 10             |                |                | 29    | 10 | 31 | 6,5  | 9              | 29             | 2,6            |  |
| mo2, Mergel/Tone im ob. Abschnitt                                                                   | 45852  | 5  | 45852 | 5839  | 5              |                |                | 35    | 5  | 35 | 6,4  | 5              |                |                |  |
| ku Basis, Vitriolschiefer                                                                           | 9694   | 10 | 9694  | 1298  | 10             |                |                | 11    | 10 | 16 | 12,7 | 8              | 11             | 1,6            |  |
| ku, Estherienschiefer                                                                               | 5990   | 5  | 5990  | 704   | 5              |                |                | 4     | 5  | 5  | 1,4  | 4              | 4              | 0,1            |  |
| km1, Grundgipsschichten                                                                             | 6288   | 10 | 8950  | 10810 | 9              | 6288           | 7194           | 10    | 10 | 10 | 4,3  | 10             |                |                |  |
| km1, Bochinger Horizont                                                                             | 63458  | 6  | 63458 | 22642 | 6              |                |                | 12    | 6  | 12 | 4,6  | 6              |                |                |  |
| km1, Dunkelrote Mergel                                                                              | 68989  | 5  | 68989 | 5751  | 5              |                |                | 7     | 5  | 7  | 2,0  | 5              |                |                |  |
| km1, Mittlerer Gipshorizont                                                                         | 14157  | 5  | 14157 | 11859 | 5              |                |                | 14    | 5  | 14 | 4,2  | 5              |                |                |  |
| km1, Estherienschiefer                                                                              | 59065  | 6  | 59065 | 16483 | 6              |                |                | 10    | 6  | 10 | 3,1  | 6              |                |                |  |
| km2, dunkle Tonsteine im Schilfsandstein                                                            | 8303   | 5  | 8303  | 1390  | 5              |                |                | 6     | 5  | 6  | 2,0  | 5              |                |                |  |
| km2, Schilfsandstein                                                                                | 1116   | 3  | 1116  | 789   | 3              |                |                | 4     | 3  | 4  | 0,3  | 3              |                |                |  |
| km2, Dunkle Mergel des oberen km2                                                                   | 15887  | 5  | 22335 | 14942 | 4              | 15887          | 4533           | 6     | 5  | 6  | 1,6  | 5              |                |                |  |
| km3u, Rote Wand                                                                                     | 20399  | 6  | 20399 | 3229  | 6              |                |                | 6     | 6  | 6  | 0,7  | 6              |                |                |  |
| km3u, Untere Bunte Mergel                                                                           | 2875   | 6  | 2875  | 1341  | 6              |                |                | 4     | 6  | 5  | 3,0  | 5              | 4              | 0,7            |  |
| km3l, Lehrbergschichten                                                                             | 2508   | 1  | 2508  |       |                |                |                | 5     | 1  | 5  |      |                |                |                |  |
| km3o, Obere Bunte Mergel                                                                            | 37075  | 10 | 37075 | 20577 | 10             |                |                | 6     | 10 | 10 | 12,4 | 8              | 6              | 0,4            |  |
| km4, Stubensandstein                                                                                | 7297   | 4  | 7297  | 7423  | 4              |                |                | 7     | 4  | 7  | 2,7  | 4              |                |                |  |
| km5, Knollenmergel                                                                                  | 23899  | 8  | 23899 | 10678 | 8              |                |                | 6     | 8  | 6  | 1,7  | 8              |                |                |  |
| ko, Rhät-Tonstein                                                                                   | 3075   | 1  | 3075  |       |                |                |                | 37    | 1  | 37 |      |                |                |                |  |
| sj alpha1, Psilonotenschichten, Kalkstein                                                           | 2408   | 2  | 2408  | 909   |                |                |                | 13    | 2  | 13 | 9,3  |                |                |                |  |
| sj alpha1, Psilonotentone                                                                           | 3422   | 6  | 4152  | 1797  | 5              | 3422           | 195            | 2     | 6  | 7  | 11,4 | 5              | 2              | 0,8            |  |
| sj alpha2, Angulatensandstein                                                                       | 1046   | 2  | 1046  | 69    |                |                |                | 8     | 2  | 8  | 7,9  |                |                |                |  |
| sj alpha2, Angulatenschichten, Tonstein                                                             | 3620   | 1  | 3620  |       |                |                |                | 15    | 1  | 15 |      |                |                |                |  |
| sj beta, Untere Schwarzjuratone                                                                     | 4467   | 2  | 4467  | 117   |                |                |                | 2     | 2  | 2  | 0,6  |                |                |                |  |
| sj gamma, Untere Schwarzjuramergel                                                                  | 9424   | 5  | 9424  | 1757  | 5              |                |                | 26    | 5  | 26 | 7,9  | 5              |                |                |  |
| sj delta, Obere Schwarzjuratone                                                                     | 5847   | 3  | 5847  | 594   | 3              |                |                | 1     | 3  | 1  | 0,3  | 3              |                |                |  |
| sj epsilon1, Seegrasschiefer                                                                        | 3976   | 10 | 4389  | 911   | 8              | 3976           | 238            | 16    | 10 | 16 | 3,0  | 10             |                |                |  |
| sj epsilon2, Tonmergel                                                                              | 5064   | 10 | 5181  | 473   | 9              | 5064           | 315            | 27    | 10 | 28 | 1,5  | 9              | 27             | 0,9            |  |
| sj epsilon2, Stinkkalke                                                                             | 5725   | 5  | 5725  | 1822  | 5              |                |                | 23    | 5  | 23 | 6,4  | 5              |                |                |  |
| sj epsilon3, Wilde Schiefer                                                                         | 3931   | 10 | 3931  | 325   | 10             |                |                | 19    | 10 | 19 | 2,0  | 10             |                |                |  |
| sj zeta, Obere Schwarzjuramergel                                                                    | 3487   | 5  | 3487  | 256   | 5              |                |                | 6     | 5  | 6  | 2,9  | 5              |                |                |  |
| bj alpha, Opalinuston                                                                               | 7050   | 15 | 7770  | 1843  | 12             | 7050           | 141            | 19    | 15 | 19 | 4,9  | 15             |                |                |  |
| bj beta; Zopfplatten                                                                                | 3909   | 5  | 6227  | 5279  | 4              | 3909           | 1148           | 9     | 5  | 9  | 0,8  | 5              |                |                |  |
| bj beta; Tolutariazone                                                                              | 7440   | 4  | 7440  | 5175  | 4              |                |                | 8     | 4  | 8  | 1,9  | 4              |                |                |  |
| bj beta; unt. Donzdorfer Sandst.                                                                    | 1256   | 12 | 2197  | 3354  | 11             | 1256           | 829            | 11    | 12 | 11 | 8,2  | 12             |                |                |  |
| bj beta; Personatensandstein                                                                        | 2015   | 6  | 2015  | 887   | 6              |                |                | 16    | 6  | 16 | 8,4  | 6              |                |                |  |
| bj beta; ob. Donzdorfer Sandst.                                                                     | 4559   | 15 | 4559  | 3849  | 15             |                |                | 13    | 15 | 15 | 7,4  | 14             | 13             | 5,5            |  |
| bj gamma; Wedelsandstein                                                                            | 3525   | 29 | 3690  | 1227  | 28             | 3525           | 862            | 12    | 29 | 13 | 4,1  | 27             | 12             | 2,8            |  |
| bj delta; Dorsetensienbank                                                                          | 3853   | 8  | 3853  | 1042  | 8              |                |                | 17    | 8  | 17 | 5,8  | 8              |                |                |  |
| bj delta; Humphriesi-Oolith                                                                         | 5911   | 5  | 5911  | 2993  | 5              |                |                | 17    | 5  | 17 | 2,7  | 5              |                |                |  |
| bj delta; Coronatenschichten                                                                        | 6005   | 6  | 6005  | 937   | 6              |                |                | 21    | 6  | 21 | 9,3  | 6              |                |                |  |
| bj delta; Blagdeni-Schichten                                                                        | 5927   | 10 | 5927  | 1191  | 10             |                |                | 20    | 10 | 18 | 9,5  | 9              | 20             | 7,6            |  |
| bj delta; Subfurcatus-Oolith                                                                        | 9806   | 5  | 9806  | 2711  | 5              |                |                | 24    | 5  | 24 | 6,0  | 5              |                |                |  |
| bj delta; Hamitenton                                                                                | 5051   | 19 | 5051  | 454   | 19             |                |                | 16    | 19 | 16 | 4,0  | 19             |                |                |  |
| bj delta; Parkinsoni-Oolith                                                                         | 4868   | 1  | 4868  |       |                |                |                | 15    | 1  | 15 |      |                |                |                |  |
| bj epsilon; Obere Braunjuratone                                                                     | 5626   | 4  | 5626  | 850   | 4              |                |                | 15    | 4  | 15 | 5,0  | 4              |                |                |  |
| bj zeta; Macrocephalus-Oolith                                                                       | 6163   | 3  | 6163  | 1076  | 3              |                |                | 11    | 3  | 11 | 4,0  |                |                |                |  |
| bj zeta; Ornatenton                                                                                 | 7918   | 21 | 7918  | 3005  | 21             |                |                | 14    | 21 | 15 | 6,3  | 19             | 14             | 3,9            |  |
| wj alpha; Grenzglaukonit                                                                            | 5459   | 3  | 5459  | 434   | 3              |                |                | 9     | 3  | 9  | 2,1  | 3              |                |                |  |
| wj alpha, Untere Weißjuramergel                                                                     | 6911   | 7  | 6911  | 266   | 7              |                |                | 13    | 7  | 13 | 2,7  | 7              |                |                |  |
| ob. wj gamma, Mergel                                                                                | 6335   | 12 | 6335  | 1181  | 12             |                |                | 4     | 12 | 5  | 3,1  | 10             | 4              | 0,7            |  |

Ges. = Gesamtgehalte (mg/kg)

n = Probenanzahl

x = Mittelwert aller Meßwerte

s = Standardabweichung aller Meßwerte

S4 = S4-Elutionsgehalte (mg/l)

n<sub>E</sub> = Anzahl der Extremwertex<sub>E</sub> = Mittelwert nach Extremwerteeliminierungs<sub>E</sub> = Standardabweichung nach Extremwerteeliminierung

**Tab. 7.2.8.: Durchschnittliche Sulfatgehalte (SO<sub>4</sub>) in d. geologischen Formationen:**

|                                                                               |                                       |          |          |          |                      |                      |                      |           |          |          |          |                      |                      |                      |  |  |  |  |  |
|-------------------------------------------------------------------------------|---------------------------------------|----------|----------|----------|----------------------|----------------------|----------------------|-----------|----------|----------|----------|----------------------|----------------------|----------------------|--|--|--|--|--|
| <b>Grenzwert TrinkwV [1990]:</b><br><br><b>240 mg/l</b><br>(nur für S4-Werte) | <b>Z - Werte (Eluat) LAGA [1994]:</b> |          |          |          |                      |                      |                      |           |          |          |          |                      |                      |                      |  |  |  |  |  |
|                                                                               | <b>Z 0 : 50 mg/l</b>                  |          |          |          |                      |                      | nur                  |           |          |          |          |                      |                      |                      |  |  |  |  |  |
|                                                                               | <b>Z 1.1 : 50 mg/l</b>                |          |          |          |                      |                      | für                  |           |          |          |          |                      |                      |                      |  |  |  |  |  |
|                                                                               | <b>Z 1.2 : 100 mg/l</b>               |          |          |          |                      |                      | S4-Werte             |           |          |          |          |                      |                      |                      |  |  |  |  |  |
| <b>Z 2 : 150 mg/l</b>                                                         |                                       |          |          |          |                      |                      |                      |           |          |          |          |                      |                      |                      |  |  |  |  |  |
| <b>Geologische Formation</b>                                                  | <b>Ges.</b>                           | <b>n</b> | <b>X</b> | <b>S</b> | <b>n<sub>E</sub></b> | <b>X<sub>E</sub></b> | <b>S<sub>E</sub></b> | <b>S4</b> | <b>n</b> | <b>X</b> | <b>S</b> | <b>n<sub>E</sub></b> | <b>X<sub>E</sub></b> | <b>S<sub>E</sub></b> |  |  |  |  |  |
| Untere Nachweisgrenze                                                         | 2,0000                                |          |          |          |                      |                      |                      | 0,2       |          |          |          |                      |                      |                      |  |  |  |  |  |
| so, Röttone                                                                   | 132                                   | 10       | 132      | 117      | 10                   |                      |                      | 5         | 10       | 5        | 1,3      | 10                   |                      |                      |  |  |  |  |  |
| mo2, Mergel/Tone an d. Basis                                                  | 10114                                 | 5        | 10114    | 53188    | 5                    |                      |                      | 199       | 5        | 275      | 171,0    | 4                    | 199                  | 37,2                 |  |  |  |  |  |
| mo2, Tonhorizonte                                                             | 28219                                 | 10       | 28219    | 5091     | 10                   |                      |                      | 244       | 10       | 257      | 53,3     | 9                    | 244                  | 36,3                 |  |  |  |  |  |
| mo2, Mergel/Tone im ob. Abschnitt                                             | 16554                                 | 5        | 16554    | 33396    | 5                    |                      |                      | 241       | 5        | 241      | 49,9     | 5                    |                      |                      |  |  |  |  |  |
| ku Basis, Vitriolschiefer                                                     | 6075                                  | 10       | 10190    | 13144    | 9                    | 6075                 | 1952                 | 66        | 10       | 112      | 114,8    | 8                    | 66                   | 21,2                 |  |  |  |  |  |
| ku, Estherienschiechten                                                       | 454                                   | 5        | 454      | 176      | 5                    |                      |                      | 22        | 5        | 37       | 33,8     | 4                    | 22                   | 9,4                  |  |  |  |  |  |
| km1, Grundgipsschichten                                                       | 461411                                | 10       | 461411   | 73113    | 10                   |                      |                      | 1529      | 10       | 1529     | 38,3     | 10                   |                      |                      |  |  |  |  |  |
| km1, Bochinger Horizont                                                       | 2327                                  | 6        | 32960    | 75045    | 5                    | 2327                 | 1351                 | 45        | 6        | 337      | 601,1    | 4                    | 45                   | 18,5                 |  |  |  |  |  |
| km1, Dunkelrote Mergel                                                        | 750                                   | 5        | 750      | 360      | 5                    |                      |                      | 5         | 5        | 88       | 141,2    | 3                    | 5                    | 2,9                  |  |  |  |  |  |
| km1, Mittlerer Gipshorizont                                                   | 316492                                | 5        | 316492   | 75945    | 5                    |                      |                      | 1538      | 5        | 1538     | 46,8     | 5                    |                      |                      |  |  |  |  |  |
| km1, Estherienschiechten                                                      | 819                                   | 6        | 819      | 540      | 6                    |                      |                      | 15        | 6        | 31       | 40,3     | 5                    | 15                   | 10,1                 |  |  |  |  |  |
| km2, dunkle Tonsteine im Schiffsandstein                                      | 303                                   | 5        | 303      | 104      | 5                    |                      |                      | 7         | 5        | 7        | 2,6      | 5                    |                      |                      |  |  |  |  |  |
| km2, Schiffsandstein                                                          | 1033                                  | 3        | 1033     | 578      | 3                    |                      |                      | 11        | 3        | 11       | 6,4      | 3                    |                      |                      |  |  |  |  |  |
| km2, Dunkle Mergel des oberen km2                                             | 689                                   | 5        | 689      | 505      | 5                    |                      |                      | 9         | 5        | 9        | 5,1      | 5                    |                      |                      |  |  |  |  |  |
| km3u, Rote Wand                                                               | 295                                   | 6        | 295      | 109      | 6                    |                      |                      | 2         | 6        | 2        | 1,2      | 6                    |                      |                      |  |  |  |  |  |
| km3u, Untere Bunte Mergel                                                     | 2177                                  | 6        | 2177     | 1553     | 6                    |                      |                      | 31        | 6        | 59       | 74,7     | 5                    | 31                   | 30,1                 |  |  |  |  |  |
| km3l, Lehrbergschichten                                                       | 1732                                  | 1        | 1732     |          |                      |                      |                      | 9         | 1        | 9        |          |                      |                      |                      |  |  |  |  |  |
| km3o, Obere Bunte Mergel                                                      | 841                                   | 10       | 1482     | 2206     | 9                    | 841                  | 927                  | 4         | 10       | 76       | 229,3    | 9                    | 4                    | 4,0                  |  |  |  |  |  |
| km4, Stubensandstein                                                          | 637                                   | 4        | 637      | 318      | 4                    |                      |                      | 39        | 4        | 39       | 25,6     | 4                    |                      |                      |  |  |  |  |  |
| km5, Knollenmergel                                                            | 980                                   | 8        | 980      | 1206     | 8                    |                      |                      | 14        | 8        | 17       | 8,4      | 7                    | 14                   | 2,7                  |  |  |  |  |  |
| ko, Rhät-Tonstein                                                             | 29364                                 | 1        | 29364    |          |                      |                      |                      | 275       | 1        | 275      |          |                      |                      |                      |  |  |  |  |  |
| sj alpha1, Psilonotenschichten, Kalkstein                                     | 21331                                 | 2        | 21331    | 21228    |                      |                      |                      | 352       | 2        | 352      | 366,3    |                      |                      |                      |  |  |  |  |  |
| sj alpha1, Psilonotentone                                                     | 351                                   | 6        | 2811     | 6025     | 5                    | 351                  | 60                   | 6         | 6        | 32       | 63,3     | 5                    | 6                    | 2,5                  |  |  |  |  |  |
| sj alpha2, Angulatensandstein                                                 | 106287                                | 2        | 106287   | 148622   |                      |                      |                      | 277       | 2        | 277      | 349,9    |                      |                      |                      |  |  |  |  |  |
| sj alpha2, Angulatenschichten, Tonstein                                       | 10534                                 | 1        | 10534    |          |                      |                      |                      | 155       | 1        | 155      |          |                      |                      |                      |  |  |  |  |  |
| sj beta, Untere Schwarzjuratone                                               | 441                                   | 2        | 441      | 163      |                      |                      |                      | 7         | 2        | 7        | 0,2      |                      |                      |                      |  |  |  |  |  |
| sj gamma, Untere Schwarzjuramergel                                            | 17268                                 | 5        | 17268    | 9201     | 5                    |                      |                      | 288       | 5        | 288      | 125,0    | 5                    |                      |                      |  |  |  |  |  |
| sj delta, Obere Schwarzjuratone                                               | 1422                                  | 3        | 1422     | 591      | 3                    |                      |                      | 7         | 3        | 8        | 1,7      | 2                    | 7                    | 0,0                  |  |  |  |  |  |
| sj epsilon1, Seegrasschiefer                                                  | 83458                                 | 9        | 91527    | 29110    | 8                    | 83458                | 17286                | 596       | 10       | 596      | 78,3     | 10                   |                      |                      |  |  |  |  |  |
| sj epsilon2, Tonmergel                                                        | 62909                                 | 10       | 67103    | 115716   | 9                    | 62909                | 8942                 | 525       | 10       | 532      | 29,9     | 9                    | 525                  | 16,0                 |  |  |  |  |  |
| sj epsilon2, Stinkkalke                                                       | 46603                                 | 5        | 46603    | 12114    | 5                    |                      |                      | 498       | 5        | 498      | 127,4    | 5                    |                      |                      |  |  |  |  |  |
| sj epsilon3, Wilde Schiefer                                                   | 91434                                 | 10       | 91434    | 15557    | 10                   |                      |                      | 648       | 10       | 648      | 47,1     | 10                   |                      |                      |  |  |  |  |  |
| sj zeta, Obere Schwarzjuramergel                                              | 28361                                 | 5        | 28361    | 18116    | 5                    |                      |                      | 307       | 5        | 307      | 227,9    | 5                    |                      |                      |  |  |  |  |  |
| bj alpha, Opalinuston                                                         | 12948                                 | 15       | 13730    | 2495     | 13                   | 12948                | 1406                 | 197       | 15       | 197      | 69,0     | 15                   |                      |                      |  |  |  |  |  |
| bj beta; Zopfplatten                                                          | 18728                                 | 5        | 22338    | 8291     | 4                    | 18728                | 2178                 | 128       | 5        | 128      | 44,7     | 5                    |                      |                      |  |  |  |  |  |
| bj beta; Tolutariazone                                                        | 12405                                 | 4        | 12405    | 3240     | 4                    |                      |                      | 88        | 4        | 78       | 20,0     | 3                    | 88                   | 4,5                  |  |  |  |  |  |
| bj beta; unt. Donzdorfer Sandst.                                              | 18005                                 | 12       | 18005    | 16970    | 12                   |                      |                      | 169       | 12       | 155      | 146,4    | 11                   | 169                  | 144,8                |  |  |  |  |  |
| bj beta; Personatensandstein                                                  | 26955                                 | 6        | 26955    | 6117     | 6                    |                      |                      | 298       | 5        | 298      | 79,2     | 5                    |                      |                      |  |  |  |  |  |
| bj beta; ob. Donzdorfer Sandst.                                               | 15200                                 | 15       | 15200    | 10355    | 15                   |                      |                      | 213       | 15       | 213      | 131,5    | 15                   |                      |                      |  |  |  |  |  |
| bj gamma; Wedelsandstein                                                      | 14861                                 | 29       | 15248    | 4289     | 28                   | 14861                | 3815                 | 125       | 29       | 154      | 92,4     | 26                   | 125                  | 32,0                 |  |  |  |  |  |
| bj delta; Dorsetensienbank                                                    | 20143                                 | 8        | 18600    | 4496     | 7                    | 20143                | 1167                 | 220       | 8        | 225      | 91,4     | 3                    | 220                  | 25,0                 |  |  |  |  |  |
| bj delta; Humphriesi-Oolith                                                   | 22080                                 | 5        | 22080    | 10762    | 5                    |                      |                      | 238       | 4        | 238      | 113,8    | 4                    |                      |                      |  |  |  |  |  |
| bj delta; Coronatenschichten                                                  | 26300                                 | 6        | 26300    | 10526    | 6                    |                      |                      | 302       | 6        | 302      | 191,6    | 6                    |                      |                      |  |  |  |  |  |
| bj delta; Blagdeni-Schichten                                                  | 29883                                 | 10       | 29883    | 9025     | 10                   |                      |                      | 249       | 9        | 249      | 119,6    | 9                    |                      |                      |  |  |  |  |  |
| bj delta; Subfurcatus-Oolith                                                  | 37098                                 | 5        | 37098    | 11974    | 5                    |                      |                      | 372       | 5        | 372      | 143,1    | 5                    |                      |                      |  |  |  |  |  |
| bj delta; Hamitenton                                                          | 38066                                 | 19       | 47038    | 34264    | 17                   | 38066                | 7019                 | 232       | 19       | 232      | 82,4     | 19                   |                      |                      |  |  |  |  |  |
| bj delta; Parkinsoni-Oolith                                                   | 19260                                 | 1        | 19260    |          |                      |                      |                      | 202       | 1        | 202      |          |                      |                      |                      |  |  |  |  |  |
| bj epsilon; Obere Braunjuratone                                               | 37305                                 | 4        | 37305    | 11042    | 4                    |                      |                      | 266       | 4        | 266      | 147,5    | 4                    |                      |                      |  |  |  |  |  |
| bj zeta; Macrocephalus-Oolith                                                 | 17120                                 | 3        | 17120    | 10291    | 3                    |                      |                      | 158       | 2        | 158      | 102,0    |                      |                      |                      |  |  |  |  |  |
| bj zeta; Ornatenton                                                           | 16125                                 | 21       | 28217    | 48306    | 18                   | 16125                | 4763                 | 204       | 21       | 252      | 129,2    | 18                   | 204                  | 50,3                 |  |  |  |  |  |
| wj alpha; Grenzglaukonit                                                      | 12940                                 | 3        | 12940    | 2676     | 3                    |                      |                      | 134       | 3        | 134      | 6,3      | 3                    |                      |                      |  |  |  |  |  |
| wj alpha, Untere Weißjuramergel                                               | 10510                                 | 7        | 11359    | 2386     | 6                    | 10510                | 876                  | 193       | 7        | 193      | 35,0     | 7                    |                      |                      |  |  |  |  |  |
| ob. wj gamma, Mergel                                                          | 3545                                  | 12       | 3545     | 1364     | 12                   |                      |                      | 33        | 12       | 45       | 43,7     | 11                   | 33                   | 20,7                 |  |  |  |  |  |

Ges. = Gesamtgehalte (mg/kg)

n = Probenanzahl

x = Mittelwert aller Meßwerte

s = Standardabweichung aller Meßwerte

S4 = S4-Elutionsgehalte (mg/l)

n<sub>E</sub> = Anzahl der Extremwertex<sub>E</sub> = Mittelwert nach Extremwerteliminierungs<sub>E</sub> = Standardabweichung nach Extremwerteliminierung

Tab. 7.3.1.: Durchschnittliche Borgehalte in den geologischen Formationen:

| <u>Grenzwert TrinkwV [1990]:</u>          |             | <u>Grenzwert nach KLOKE [1980]</u><br><u>bzw. AbfKlärV [1992] bzw. VwV</u><br><u>anorg. Schadst.[Bad.-Württ. 1993]</u> |          |          |                      |                      |                      |           |          |          |          |                      |                      |                      |
|-------------------------------------------|-------------|------------------------------------------------------------------------------------------------------------------------|----------|----------|----------------------|----------------------|----------------------|-----------|----------|----------|----------|----------------------|----------------------|----------------------|
| <u>1 mg/l</u><br><br>(nur für S4-Werte)   |             | <u>25 mg/kg</u><br><br>(nur für Gesamtgehalte)                                                                         |          |          |                      |                      |                      |           |          |          |          |                      |                      |                      |
| <u>Geologische Formation</u>              | <u>Ges.</u> | <u>n</u>                                                                                                               | <u>X</u> | <u>S</u> | <u>n<sub>E</sub></u> | <u>X<sub>E</sub></u> | <u>S<sub>E</sub></u> | <u>S4</u> | <u>n</u> | <u>X</u> | <u>S</u> | <u>n<sub>E</sub></u> | <u>X<sub>E</sub></u> | <u>S<sub>E</sub></u> |
| Untere Nachweisgrenze                     | 1,0000      |                                                                                                                        |          |          |                      |                      |                      | 0,001     |          |          |          |                      |                      |                      |
| so, Röttone                               | 14          | 10                                                                                                                     | 14       | 3,1      | 10                   |                      |                      | 0,090     | 10       | 0,090    | 0,007    | 10                   |                      |                      |
| mo2, Mergel/Tone an d. Basis              | 15          | 5                                                                                                                      | 15       | 3,2      | 5                    |                      |                      | 0,134     | 5        | 0,134    | 0,025    | 5                    |                      |                      |
| mo2, Tonhorizonte                         | 27          | 10                                                                                                                     | 27       | 3,3      | 10                   |                      |                      | 0,200     | 10       | 0,200    | 0,014    | 10                   |                      |                      |
| mo2, Mergel/Tone im ob. Abschnitt         | 16          | 5                                                                                                                      | 16       | 4,7      | 5                    |                      |                      | 0,161     | 5        | 0,161    | 0,017    | 5                    |                      |                      |
| ku Basis, Vitriolschiefer                 | 23,8        | 10                                                                                                                     | 24,4     | 3,4      | 7                    | 23,8                 | 1,8                  | 0,209     | 10       | 0,228    | 0,090    | 8                    | 0,209                | 0,015                |
| ku, Estherienschiechten                   | 41          | 5                                                                                                                      | 43       | 5,4      | 4                    | 41                   | 1,5                  | 0,129     | 4        | 0,129    | 0,033    | 4                    |                      |                      |
| km1, Grundgipsschichten                   | < 1,00      | 10                                                                                                                     | 1        | 1,6      | 9                    | 0,5                  | 0,0                  | 0,132     | 10       | 0,207    | 0,170    | 8                    | 0,132                | 0,061                |
| km1, Bochinger Horizont                   | 17          | 6                                                                                                                      | 20       | 17,4     | 2                    | 17                   | 8,8                  | 0,107     | 4        | 0,107    | 0,016    | 4                    |                      |                      |
| km1, Dunkelrote Mergel                    | 63          | 5                                                                                                                      | 63       | 3,3      | 5                    |                      |                      | 0,084     | 4        | 0,084    | 0,026    | 4                    |                      |                      |
| km1, Mittlerer Gipschizont                | 3           | 5                                                                                                                      | 3        | 2,9      | 5                    |                      |                      | 0,008     | 5        | 0,008    | 0,007    | 5                    |                      |                      |
| km1, Estherienschiechten                  | 38          | 6                                                                                                                      | 38       | 15,5     | 6                    |                      |                      | 0,101     | 4        | 0,101    | 0,019    | 4                    |                      |                      |
| km2, dunkle Tonsteine im Schilfsandstein  | 21          | 5                                                                                                                      | 21       | 3,9      | 5                    |                      |                      | 0,139     | 5        | 0,139    | 0,017    | 5                    |                      |                      |
| km2, Schilfsandstein                      | < 1,00      | 3                                                                                                                      |          |          |                      |                      |                      | 0,120     | 3        | 0,120    | 0,027    | 3                    |                      |                      |
| km2, Dunkle Mergel des oberen km2         | 49          | 5                                                                                                                      | 49       | 25,4     | 5                    |                      |                      | 0,109     | 5        | 0,109    | 0,061    | 5                    |                      |                      |
| km3u, Rote Wand                           | 59          | 6                                                                                                                      | 59       | 7,4      | 6                    |                      |                      | 0,106     | 6        | 0,106    | 0,008    | 6                    |                      |                      |
| km3u, Untere Bunte Mergel                 | < 1,00      | 6                                                                                                                      |          |          |                      |                      |                      | 0,163     | 6        | 0,163    | 0,030    | 6                    |                      |                      |
| km3l, Lehrbergschichten                   | < 1,00      | 1                                                                                                                      |          |          |                      |                      |                      | 0,063     | 1        | 0,063    |          |                      |                      |                      |
| km3o, Obere Bunte Mergel                  | 42          | 10                                                                                                                     | 42       | 17,8     | 10                   |                      |                      | 0,131     | 10       | 0,124    | 0,028    | 9                    | 0,131                | 0,014                |
| km4, Stubensandstein                      | 13          | 4                                                                                                                      | 13       | 11,3     | 4                    |                      |                      | 0,312     | 3        | 0,312    | 0,163    | 3                    |                      |                      |
| km5, Knollenmergel                        | 34          | 8                                                                                                                      | 34       | 4,6      | 8                    |                      |                      | 0,692     | 8        | 0,692    | 0,079    | 8                    |                      |                      |
| ko, Rhät-Tonstein                         | 14          | 1                                                                                                                      | 14       |          |                      |                      |                      | 0,598     | 1        | 0,598    |          |                      |                      |                      |
| sj alpha1, Psilonotenschichten, Kalkstein | 2           | 2                                                                                                                      | 2        | 0,3      |                      |                      |                      | 0,118     | 2        | 0,118    | 0,031    |                      |                      |                      |
| sj alpha1, Psilonotentone                 | 13          | 6                                                                                                                      | 13       | 1,6      | 6                    |                      |                      | 0,177     | 5        | 0,177    | 0,062    | 5                    |                      |                      |
| sj alpha2, Angulatussandstein             | < 1,00      | 2                                                                                                                      |          |          |                      |                      |                      | 0,088     | 2        | 0,088    | 0,055    |                      |                      |                      |
| sj alpha2, Angulatusschichten, Tonstein   | 5           | 1                                                                                                                      | 5        |          |                      |                      |                      | 0,134     | 1        | 0,134    |          |                      |                      |                      |
| sj beta, Untere Schwarzjuratone           | 15          | 2                                                                                                                      | 15       | 0,7      |                      |                      |                      | 0,129     | 2        | 0,129    | 0,010    |                      |                      |                      |
| sj gamma, Untere Schwarzjuramergel        | 8           | 5                                                                                                                      | 8        | 11,3     | 5                    |                      |                      | 0,283     | 5        | 0,299    | 0,038    | 4                    | 0,283                | 0,012                |
| sj delta, Obere Schwarzjuratone           | 15          | 3                                                                                                                      | 15       | 1,0      | 3                    |                      |                      | 0,120     | 3        | 0,120    | 0,028    | 3                    |                      |                      |
| sj epsilon1, Seegrasschiefer              | 3           | 10                                                                                                                     | 3        | 3,6      | 10                   |                      |                      | 0,145     | 10       | 0,137    | 0,032    | 9                    | 0,145                | 0,020                |
| sj epsilon2, Tonmergel                    | 15          | 10                                                                                                                     | 15       | 14,0     | 10                   |                      |                      | 0,102     | 10       | 0,102    | 0,054    | 10                   |                      |                      |
| sj epsilon2, Stinkkalke                   | 7           | 5                                                                                                                      | 7        | 6,5      | 5                    |                      |                      | 0,124     | 5        | 0,124    | 0,032    | 5                    |                      |                      |
| sj epsilon3, Wilde Schiefer               | 10          | 10                                                                                                                     | 10       | 5,0      | 10                   |                      |                      | 0,103     | 10       | 0,103    | 0,039    | 10                   |                      |                      |
| sj zeta, Obere Schwarzjuramergel          | 7           | 5                                                                                                                      | 7        | 5,6      | 5                    |                      |                      | 0,154     | 5        | 0,154    | 0,058    | 5                    |                      |                      |
| bj alpha, Opalinuston                     | 28          | 15                                                                                                                     | 28       | 6,4      | 15                   |                      |                      | 0,819     | 15       | 0,819    | 0,091    | 15                   |                      |                      |
| bj beta; Zopfplatten                      | 8           | 5                                                                                                                      | 8        | 4,5      | 5                    |                      |                      | 0,339     | 5        | 0,339    | 0,077    | 5                    |                      |                      |
| bj beta; Tolutariazone                    | 15          | 4                                                                                                                      | 15       | 2,1      | 4                    |                      |                      | 0,339     | 4        | 0,339    | 0,120    | 4                    |                      |                      |
| bj beta; unt. Donzdorfer Sandst.          | 7           | 12                                                                                                                     | 7        | 2,9      | 12                   |                      |                      | 0,089     | 12       | 0,089    | 0,045    | 12                   |                      |                      |
| bj beta; Personatensandstein              | 6           | 6                                                                                                                      | 6        | 0,8      | 6                    |                      |                      | 0,074     | 6        | 0,074    | 0,015    | 6                    |                      |                      |
| bj beta; ob. Donzdorfer Sandst.           | 5           | 15                                                                                                                     | 6        | 5,4      | 9                    | 5                    | 3,1                  | 0,159     | 13       | 0,159    | 0,078    | 13                   |                      |                      |
| bj gamma; Wedelsandstein                  | 5           | 29                                                                                                                     | 5        | 5,0      | 29                   |                      |                      | 0,314     | 29       | 0,314    | 0,091    | 29                   |                      |                      |
| bj delta; Dorsetensienbank                | 7           | 8                                                                                                                      | 7        | 1,7      | 8                    |                      |                      | 0,440     | 5        | 0,440    | 0,136    | 5                    |                      |                      |
| bj delta; Humphriesi-Oolith               | 1           | 5                                                                                                                      | 4        | 5,7      | 4                    | 1                    | 0,9                  | 0,556     | 4        | 0,556    | 0,169    | 4                    |                      |                      |
| bj delta; Coronatenschichten              | 9           | 6                                                                                                                      | 9        | 6,6      | 6                    |                      |                      | 0,569     | 6        | 0,569    | 0,192    | 6                    |                      |                      |
| bj delta; Blagdeni-Schichten              | 12          | 10                                                                                                                     | 12       | 3,0      | 10                   |                      |                      | 0,694     | 10       | 0,694    | 0,169    | 10                   |                      |                      |
| bj delta; Subfurcatus-Oolith              | 14          | 5                                                                                                                      | 14       | 3,7      | 5                    |                      |                      | 0,803     | 4        | 0,803    | 0,091    | 4                    |                      |                      |
| bj delta; Hamitenton                      | 16          | 19                                                                                                                     | 16       | 5,1      | 19                   |                      |                      | 0,812     | 19       | 0,881    | 0,262    | 17                   | 0,812                | 0,066                |
| bj delta; Parkinsoni-Oolith               | 13          | 1                                                                                                                      | 13       |          |                      |                      |                      | 0,469     | 1        | 0,469    |          |                      |                      |                      |
| bj epsilon; Obere Braunjuratone           | 21          | 4                                                                                                                      | 21       | 4,8      | 4                    |                      |                      | 0,942     | 4        | 0,942    | 0,231    | 4                    |                      |                      |
| bj zeta; Macrocephalus-Oolith             | 20          | 3                                                                                                                      | 20       | 3,9      | 3                    |                      |                      | 0,595     | 3        | 0,773    | 0,309    | 2                    | 0,595                | 0,006                |
| bj zeta; Ornatenton                       | 15          | 21                                                                                                                     | 16       | 4,6      | 19                   | 15                   | 3,1                  | 0,954     | 20       | 0,954    | 0,130    | 20                   |                      |                      |
| wj alpha; Grenzglaukonit                  | 25          | 3                                                                                                                      | 25       | 16,8     | 3                    |                      |                      | 0,894     | 3        | 0,894    | 0,101    | 3                    |                      |                      |
| wj alpha, Untere Weißjuramergel           | 10          | 7                                                                                                                      | 10       | 3,1      | 7                    |                      |                      | 0,215     | 7        | 0,215    | 0,030    | 7                    |                      |                      |
| ob. wj gamma, Mergel                      | 15          | 12                                                                                                                     | 15       | 6,6      | 12                   |                      |                      | 0,143     | 12       | 0,151    | 0,040    | 11                   | 0,143                | 0,030                |

Ges. = Gesamtgehalte (mg/kg)

n = Probenanzahl

x = Mittelwert aller Meßwerte

s = Standardabweichung aller Meßwerte

S4 = S4-Elutionsgehalte (mg/l)

n<sub>E</sub> = Anzahl der Extremwertex<sub>E</sub> = Mittelwert nach Extremwerteliminierungs<sub>E</sub> = Standardabweichung nach Extremwerteliminierung

Tab. 7.3.2.: Durchschnittliche Zinkgehalte in den geologischen Formationen:

| Grenzwert nach KLOKE [1980]<br>bzw. AbfKlärV [1992] bzw.<br>VwV an. Schadst.[B.-W. 1993]<br><br>200 mg/kg<br>(nur für Gesamtgehalte) | Grenzwert<br>TrinkwV [1990]:<br><br>5 mg/l<br>(nur für S4-Werte) |    |     | Z - Werte (Boden) LAGA [1994]:<br>Z 0 : 120 mg/kg<br>Z 1.1 : 300 mg/kg<br>Z 1.2 : 500 mg/kg<br>Z 2 : 1500 mg/kg |                |                |                |          | Z - Werte (Eluat) LAGA [1994]:<br>Z 0 : 100 µg/l<br>Z 1.1 : 100 µg/l<br>Z 1.2 : 300 µg/l<br>Z 2 : 600 µg/l<br>nur<br>für<br>S4-Werte |        |        |                |                |                |
|--------------------------------------------------------------------------------------------------------------------------------------|------------------------------------------------------------------|----|-----|-----------------------------------------------------------------------------------------------------------------|----------------|----------------|----------------|----------|--------------------------------------------------------------------------------------------------------------------------------------|--------|--------|----------------|----------------|----------------|
| Geologische Formation                                                                                                                | Ges.                                                             | n  | X   | S                                                                                                               | n <sub>E</sub> | X <sub>E</sub> | S <sub>E</sub> | S4       | n                                                                                                                                    | X      | S      | n <sub>E</sub> | X <sub>E</sub> | S <sub>E</sub> |
| Untere Nachweisgrenze                                                                                                                | 0,0010                                                           |    |     |                                                                                                                 |                |                |                | 0,0006   |                                                                                                                                      |        |        |                |                |                |
| so, Röttone                                                                                                                          | 23                                                               | 10 | 23  | 1,7                                                                                                             | 10             |                |                | 0,0008   | 10                                                                                                                                   | 0,0016 | 0,0020 | 8              | 0,0008         | 0,0007         |
| mo2, Mergel/Tone an d. Basis                                                                                                         | 21                                                               | 5  | 21  | 1,9                                                                                                             | 5              |                |                | < 0,0006 | 5                                                                                                                                    | 0,0029 | 0,0051 | 4              | 0,00059        | 0,0003         |
| mo2, Tonhorizonte                                                                                                                    | 36                                                               | 10 | 37  | 5,6                                                                                                             | 9              | 36             | 5,2            | 0,0010   | 10                                                                                                                                   | 0,0033 | 0,0065 | 8              | 0,0010         | 0,0006         |
| mo2, Mergel/Tone im ob. Abschnitt                                                                                                    | 20                                                               | 5  | 20  | 3,5                                                                                                             | 5              |                |                | < 0,0006 | 5                                                                                                                                    |        |        |                |                |                |
| ku Basis, Vitriolschiefer                                                                                                            | 32                                                               | 10 | 33  | 3,7                                                                                                             | 9              | 32             | 2,3            | < 0,0006 | 10                                                                                                                                   |        |        |                |                |                |
| ku, Estherienschichten                                                                                                               | 30                                                               | 5  | 30  | 1,7                                                                                                             | 5              |                |                | < 0,0006 | 4                                                                                                                                    | 0,0014 | 0,0021 | 3              | 0,0003         | 0,0000         |
| km1, Grundgipsschichten                                                                                                              | 0,20                                                             | 10 | 0,9 | 2,0                                                                                                             | 8              | 0,2            | 0,2            | 0,0199   | 10                                                                                                                                   | 0,0228 | 0,0110 | 9              | 0,0199         | 0,0067         |
| km1, Bochinger Horizont                                                                                                              | 25                                                               | 6  | 25  | 19,5                                                                                                            | 6              |                |                | 0,0008   | 4                                                                                                                                    | 0,0022 | 0,0027 | 3              | 0,0008         | 0,0003         |
| km1, Dunkelrote Mergel                                                                                                               | 53                                                               | 5  | 53  | 4,1                                                                                                             | 5              |                |                | < 0,0006 | 4                                                                                                                                    |        |        |                |                |                |
| km1, Mittlerer Gipshorizont                                                                                                          | 19                                                               | 5  | 19  | 9,4                                                                                                             | 5              |                |                | 0,0065   | 5                                                                                                                                    | 0,0065 | 0,0034 | 5              |                |                |
| km1, Estherienschichten                                                                                                              | 45                                                               | 6  | 45  | 9,0                                                                                                             | 6              |                |                | < 0,0006 | 4                                                                                                                                    |        |        |                |                |                |
| km2, dunkle Tonsteine im Schilfsandstein                                                                                             | 41                                                               | 5  | 41  | 4,4                                                                                                             | 5              |                |                | 0,0012   | 5                                                                                                                                    | 0,0032 | 0,0045 | 4              | 0,0012         | 0,0009         |
| km2, Schilfsandstein                                                                                                                 | 47                                                               | 3  | 47  | 14,8                                                                                                            | 3              |                |                | 0,0014   | 3                                                                                                                                    | 0,0014 | 0,0011 | 3              |                |                |
| km2, Dunkle Mergel des oberen km2                                                                                                    | 46                                                               | 5  | 46  | 7,1                                                                                                             | 5              |                |                | 0,0012   | 5                                                                                                                                    | 0,0012 | 0,0008 | 5              |                |                |
| km3u, Rote Wand                                                                                                                      | 46                                                               | 6  | 46  | 5,4                                                                                                             | 6              |                |                | 0,0013   | 6                                                                                                                                    | 0,0013 | 0,0010 | 6              |                |                |
| km3u, Untere Bunte Mergel                                                                                                            | 69                                                               | 6  | 69  | 22,4                                                                                                            | 6              |                |                | < 0,0006 | 6                                                                                                                                    | 0,0007 | 0,0009 | 5              | 0,0003         | 0,0000         |
| km3l, Lehrbergschichten                                                                                                              | 89                                                               | 1  | 89  |                                                                                                                 |                |                |                | 0,0019   | 1                                                                                                                                    | 0,0019 |        |                |                |                |
| km3o, Obere Bunte Mergel                                                                                                             | 42                                                               | 10 | 42  | 10,9                                                                                                            | 10             |                |                | < 0,0006 | 10                                                                                                                                   | 0,0028 | 0,0048 | 7              | 0,0005         | 0,0003         |
| km4, Stubensandstein                                                                                                                 | 18                                                               | 4  | 18  | 5,6                                                                                                             | 4              |                |                | 0,0072   | 3                                                                                                                                    | 0,0072 | 0,0074 | 3              |                |                |
| km5, Knollenmergel                                                                                                                   | 18                                                               | 8  | 18  | 4,9                                                                                                             | 8              |                |                | 0,0011   | 8                                                                                                                                    | 0,0027 | 0,0045 | 7              | 0,0011         | 0,0015         |
| ko, Rhät-Tonstein                                                                                                                    | 7                                                                | 1  | 7   |                                                                                                                 |                |                |                | 0,0008   | 1                                                                                                                                    | 0,0008 |        |                |                |                |
| sj alpha1, Psilonotenschichten, Kalkstein                                                                                            | 65                                                               | 2  | 65  | 34,7                                                                                                            |                |                |                | 0,0044   | 2                                                                                                                                    | 0,0044 | 0,0052 |                |                |                |
| sj alpha1, Psilonotentone                                                                                                            | 16                                                               | 6  | 20  | 11,2                                                                                                            | 5              | 16             | 3,5            | 0,0019   | 5                                                                                                                                    | 0,0019 | 0,0022 | 5              |                |                |
| sj alpha2, Angulatensandstein                                                                                                        | 16                                                               | 2  | 16  | 4,1                                                                                                             |                |                |                | 0,0025   | 2                                                                                                                                    | 0,0025 | 0,0030 |                |                |                |
| sj alpha2, Angulatenschichten, Tonstein                                                                                              | 23                                                               | 1  | 23  |                                                                                                                 |                |                |                | 0,0039   | 1                                                                                                                                    | 0,0039 |        |                |                |                |
| sj beta, Untere Schwarzjuratone                                                                                                      | 66                                                               | 2  | 66  | 0,6                                                                                                             |                |                |                | 0,0009   | 2                                                                                                                                    | 0,0009 | 0,0001 |                |                |                |
| sj gamma, Untere Schwarzjuramergel                                                                                                   | 143                                                              | 5  | 143 | 73,4                                                                                                            | 5              |                |                | 0,0016   | 5                                                                                                                                    | 0,0016 | 0,0014 | 5              |                |                |
| sj delta, Obere Schwarzjuratone                                                                                                      | 104                                                              | 3  | 104 | 9,5                                                                                                             | 3              |                |                | 0,0012   | 3                                                                                                                                    | 0,0060 | 0,0084 | 2              | 0,0012         | 0,0001         |
| sj epsilon1, Seegrasschiefer                                                                                                         | 139                                                              | 10 | 139 | 39,2                                                                                                            | 10             |                |                | 0,0148   | 10                                                                                                                                   | 0,0148 | 0,0090 | 10             |                |                |
| sj epsilon2, Tonmergel                                                                                                               | 110                                                              | 10 | 117 | 28,2                                                                                                            | 9              | 110            | 18,6           | 0,0040   | 10                                                                                                                                   | 0,0040 | 0,0041 | 10             |                |                |
| sj epsilon2, Stinkkalke                                                                                                              | 33                                                               | 5  | 33  | 17,5                                                                                                            | 5              |                |                | 0,0026   | 5                                                                                                                                    | 0,0026 | 0,0023 | 5              |                |                |
| sj epsilon3, Wilde Schiefer                                                                                                          | 143                                                              | 10 | 143 | 101,7                                                                                                           | 10             |                |                | 0,0106   | 10                                                                                                                                   | 0,0106 | 0,0086 | 10             |                |                |
| sj zeta, Obere Schwarzjuramergel                                                                                                     | 256                                                              | 5  | 256 | 98,7                                                                                                            | 5              |                |                | 0,0057   | 5                                                                                                                                    | 0,0057 | 0,0050 | 5              |                |                |
| bj alpha, Opalinuston                                                                                                                | 84                                                               | 15 | 141 | 200,0                                                                                                           | 13             | 84             | 19,3           | 0,0023   | 15                                                                                                                                   | 0,0029 | 0,0026 | 14             | 0,0023         | 0,0009         |
| bj beta; Zopfplatten                                                                                                                 | 55                                                               | 5  | 55  | 19,2                                                                                                            | 5              |                |                | < 0,0006 | 5                                                                                                                                    | 0,0009 | 0,0012 | 4              | 0,0004         | 0,0002         |
| bj beta; Tolutariazone                                                                                                               | 46                                                               | 4  | 46  | 8,2                                                                                                             | 4              |                |                | 0,0009   | 4                                                                                                                                    | 0,0009 | 0,0008 | 4              |                |                |
| bj beta; unt. Donzdorfer Sandst.                                                                                                     | 21                                                               | 12 | 30  | 22,0                                                                                                            | 10             | 21             | 7,5            | 0,0012   | 12                                                                                                                                   | 0,0015 | 0,0012 | 11             | 0,0012         | 0,0008         |
| bj beta; Personatensandstein                                                                                                         | 36                                                               | 6  | 36  | 22,0                                                                                                            | 6              |                |                | 0,0020   | 6                                                                                                                                    | 0,0020 | 0,0012 | 6              |                |                |
| bj beta; ob. Donzdorfer Sandst.                                                                                                      | 34                                                               | 15 | 40  | 29,1                                                                                                            | 14             | 34             | 20,2           | 0,0012   | 13                                                                                                                                   | 0,0057 | 0,0139 | 11             | 0,0012         | 0,0015         |
| bj gamma; Wedelsandstein                                                                                                             | 52                                                               | 29 | 60  | 44,1                                                                                                            | 28             | 52             | 15,4           | < 0,0006 | 29                                                                                                                                   | 0,0018 | 0,0048 | 25             | 0,00055        | 0,0004         |
| bj delta; Dorsetensienbank                                                                                                           | 91                                                               | 8  | 91  | 87,1                                                                                                            | 8              |                |                | 0,0022   | 5                                                                                                                                    | 0,0022 | 0,0012 | 5              |                |                |
| bj delta; Humphriesi-Oolith                                                                                                          | 33                                                               | 5  | 55  | 50,7                                                                                                            | 4              | 33             | 12,6           | < 0,0006 | 4                                                                                                                                    |        |        |                |                |                |
| bj delta; Coronatenschichten                                                                                                         | 60                                                               | 6  | 60  | 26,3                                                                                                            | 6              |                |                | 0,0009   | 6                                                                                                                                    | 0,0009 | 0,0007 | 6              |                |                |
| bj delta; Blagdeni-Schichten                                                                                                         | 78                                                               | 10 | 78  | 40,0                                                                                                            | 10             |                |                | 0,0010   | 10                                                                                                                                   | 0,0013 | 0,0013 | 9              | 0,0010         | 0,0008         |
| bj delta; Subfurcatus-Oolith                                                                                                         | 57                                                               | 5  | 57  | 20,9                                                                                                            | 5              |                |                | 0,0106   | 4                                                                                                                                    | 0,0106 | 0,0053 | 4              |                |                |
| bj delta; Hamitenton                                                                                                                 | 69                                                               | 19 | 99  | 112,1                                                                                                           | 17             | 69             | 17,0           | 0,0010   | 19                                                                                                                                   | 0,0020 | 0,0035 | 17             | 0,0010         | 0,0008         |
| bj delta; Parkinsoni-Oolith                                                                                                          | 80                                                               | 1  | 80  |                                                                                                                 |                |                |                | 0,0021   | 1                                                                                                                                    | 0,0021 |        |                |                |                |
| bj epsilon; Obere Braunjuratone                                                                                                      | 39                                                               | 4  | 39  | 4,0                                                                                                             | 4              |                |                | 0,0010   | 4                                                                                                                                    | 0,0010 | 0,0010 | 4              |                |                |
| bj zeta; Macrocephalus-Oolith                                                                                                        | 89                                                               | 3  | 89  | 69,8                                                                                                            | 3              |                |                | < 0,0006 | 3                                                                                                                                    | 0,0020 | 0,0029 | 2              | 0,0003         | 0,0000         |
| bj zeta; Ornatenton                                                                                                                  | 69                                                               | 21 | 69  | 20,1                                                                                                            | 21             |                |                | < 0,0006 | 20                                                                                                                                   | 0,0006 | 0,0010 | 19             | 0,0004         | 0,0003         |
| wj alpha; Grenzglaukonit                                                                                                             | 61                                                               | 3  | 95  | 60,4                                                                                                            | 2              | 61             | 10,3           | < 0,0006 | 3                                                                                                                                    | 0,0014 | 0,0019 | 2              | 0,0003         | 0,0000         |
| wj alpha, Untere Weißjuramergel                                                                                                      | 42                                                               | 7  | 42  | 6,0                                                                                                             | 7              |                |                | 0,0016   | 7                                                                                                                                    | 0,0016 | 0,0019 | 7              |                |                |
| ob. wj gamma, Mergel                                                                                                                 | 16                                                               | 12 | 16  | 2,8                                                                                                             | 12             |                |                | < 0,0006 | 12                                                                                                                                   |        |        |                |                |                |

Ges. = Gesamtgehalte (mg/kg)

n = Probenanzahl

x = Mittelwert aller Meßwerte

s = Standardabweichung aller Meßwerte

S4 = S4-Elutionsgehalte (mg/l)

n<sub>E</sub> = Anzahl der Extremwertex<sub>E</sub> = Mittelwert nach Extremwerteliminierungs<sub>E</sub> = Standardabweichung nach Extremwerteliminierung

Tab. 7.3.3.: Durchschnittliche Bleigehalte in den geologischen Formationen:

| Grenzwert nach KLOKE [1980]<br>bzw. AbfKlärV [1992] bzw.<br>VwV an. Schadst.[B.-W. 1993]<br><br>100 mg/kg<br>(nur für Gesamtgehalte) | Grenzwert<br>TrinkwV [1990]:<br><br>40 µg/l<br>(nur für S4-Werte) |    |       | Z - Werte (Boden) LAGA [1994]:<br>Z 0 : 100 mg/kg<br>Z 1.1 : 200 mg/kg<br>Z 1.2 : 300 mg/kg<br>Z 2 : 1000 mg/kg |                |                |                |                | Z - Werte (Eluat) LAGA [1994]:<br>Z 0 : 20 µg/l nur<br>Z 1.1 : 40 µg/l für<br>Z 1.2 : 100 µg/l S4-Werte<br>Z 2 : 200 µg/l |        |        |                |                |                |
|--------------------------------------------------------------------------------------------------------------------------------------|-------------------------------------------------------------------|----|-------|-----------------------------------------------------------------------------------------------------------------|----------------|----------------|----------------|----------------|---------------------------------------------------------------------------------------------------------------------------|--------|--------|----------------|----------------|----------------|
| Geologische Formation                                                                                                                | Ges.                                                              | n  | x     | S                                                                                                               | n <sub>E</sub> | x <sub>E</sub> | S <sub>E</sub> | S4             | n                                                                                                                         | x      | S      | n <sub>E</sub> | x <sub>E</sub> | S <sub>E</sub> |
| Untere Nachweisgrenze                                                                                                                | 0,011                                                             |    |       |                                                                                                                 |                |                |                | 0,0045         |                                                                                                                           |        |        |                |                |                |
| so, Röttone                                                                                                                          | 7,1                                                               | 10 | 7,1   | 2,2                                                                                                             | 10             |                |                | 0,0059         | 1                                                                                                                         | 0,0059 |        |                |                |                |
| mo2, Mergel/Tone an d. Basis                                                                                                         | 8,3                                                               | 5  | 8,3   | 3,3                                                                                                             | 5              |                |                | < 0,0045       | 5                                                                                                                         |        |        |                |                |                |
| mo2, Tonhorizonte                                                                                                                    | 6,9                                                               | 10 | 6,9   | 3,4                                                                                                             | 10             |                |                | 0,0193         | 10                                                                                                                        | 0,0193 | 0,0489 | 10             |                |                |
| mo2, Mergel/Tone im ob. Abschnitt                                                                                                    | 5,5                                                               | 5  | 5,5   | 4,3                                                                                                             | 5              |                |                | < 0,0045       | 1                                                                                                                         |        |        |                |                |                |
| ku Basis, Vitriolschiefer                                                                                                            | 7,6                                                               | 10 | 8,5   | 6,8                                                                                                             | 5              | 7,6            | 1,4            | <b>0,0212</b>  | 3                                                                                                                         | 0,0212 | 0,0250 | 3              |                |                |
| ku, Estheriensichten                                                                                                                 | 3,5                                                               | 5  | 3,5   | 2,6                                                                                                             | 5              |                |                | < 0,0045       | 1                                                                                                                         |        |        |                |                |                |
| km1, Grundgipsschichten                                                                                                              | 6,4                                                               | 10 | 8,4   | 8,3                                                                                                             | 9              | 6,4            | 5,4            | < 0,0045       | 1                                                                                                                         |        |        |                |                |                |
| km1, Bochinger Horizont                                                                                                              | 12,9                                                              | 6  | 12,9  | 17,4                                                                                                            | 6              |                |                | 0,0051         | 2                                                                                                                         | 0,0051 | 0,0040 |                |                |                |
| km1, Dunkelrote Mergel                                                                                                               | 2,3                                                               | 5  | 2,3   | 2,2                                                                                                             | 5              |                |                | 0,0085         | 2                                                                                                                         | 0,0085 | 0,0088 |                |                |                |
| km1, Mittlerer Gipshorizont                                                                                                          | 2,9                                                               | 5  | 2,9   | 2,2                                                                                                             | 5              |                |                | 0,0128         | 1                                                                                                                         | 0,0128 |        |                |                |                |
| km1, Estheriensichten                                                                                                                | 1,8                                                               | 6  | 3,9   | 5,3                                                                                                             | 5              | 1,8            | 1,6            | < 0,0045       | 2                                                                                                                         |        |        |                |                |                |
| km2, dunkle Tonsteine im Schilfsandstein                                                                                             | 2,2                                                               | 5  | 2,2   | 1,6                                                                                                             | 5              |                |                | < 0,0045       | 2                                                                                                                         |        |        |                |                |                |
| km2, Schilfsandstein                                                                                                                 | 7,3                                                               | 3  | 7,3   | 5,0                                                                                                             | 3              |                |                | < 0,0045       | 1                                                                                                                         |        |        |                |                |                |
| km2, Dunkle Mergel des oberen km2                                                                                                    | 8,8                                                               | 5  | 8,8   | 2,4                                                                                                             | 5              |                |                | <b>0,0268</b>  | 2                                                                                                                         | 0,0268 | 0,0347 |                |                |                |
| km3u, Rote Wand                                                                                                                      | 9,9                                                               | 6  | 9,9   | 2,6                                                                                                             | 6              |                |                | < 0,0045       | 2                                                                                                                         |        |        |                |                |                |
| km3u, Untere Bunte Mergel                                                                                                            | 22,3                                                              | 6  | 22,3  | 8,3                                                                                                             | 6              |                |                | <b>0,0514</b>  | 2                                                                                                                         | 0,0514 | 0,0584 |                |                |                |
| km3l, Lehrbergschichten                                                                                                              | 13,9                                                              | 1  | 13,9  |                                                                                                                 |                |                |                | nicht gemessen |                                                                                                                           |        |        |                |                |                |
| km3o, Obere Bunte Mergel                                                                                                             | 9,9                                                               | 10 | 9,9   | 4,3                                                                                                             | 10             |                |                | 0,0051         | 3                                                                                                                         | 0,0051 | 0,0025 | 3              |                |                |
| km4, Stubensandstein                                                                                                                 | 10,4                                                              | 4  | 10,4  | 5,6                                                                                                             | 4              |                |                | nicht gemessen |                                                                                                                           |        |        |                |                |                |
| km5, Knollenmergel                                                                                                                   | 13,4                                                              | 8  | 13,4  | 2,7                                                                                                             | 8              |                |                | 0,0060         | 1                                                                                                                         | 0,0060 |        |                |                |                |
| ko, Rhät-Tonstein                                                                                                                    | 31,4                                                              | 1  | 31,4  |                                                                                                                 |                |                |                | nicht gemessen |                                                                                                                           |        |        |                |                |                |
| sj alpha1, Psilonotenschichten, Kalkstein                                                                                            | <b>349</b>                                                        | 2  | 348,7 | 475,2                                                                                                           |                |                |                | 0,0101         | 2                                                                                                                         | 0,0101 | 0,0043 |                |                |                |
| sj alpha1, Psilonotentone                                                                                                            | 19,8                                                              | 6  | 19,8  | 2,4                                                                                                             | 6              |                |                | <b>0,0498</b>  | 2                                                                                                                         | 0,0498 | 0,0518 |                |                |                |
| sj alpha2, Angulatensandstein                                                                                                        | 35,6                                                              | 2  | 35,6  | 42,5                                                                                                            |                |                |                | < 0,0045       | 1                                                                                                                         |        |        |                |                |                |
| sj alpha2, Angulatenschichten, Tonstein                                                                                              | 8,4                                                               | 1  | 8,4   |                                                                                                                 |                |                |                | nicht gemessen |                                                                                                                           |        |        |                |                |                |
| sj beta, Untere Schwarzjuratone                                                                                                      | 12,8                                                              | 2  | 12,8  | 1,1                                                                                                             |                |                |                | 0,0131         | 1                                                                                                                         | 0,0131 |        |                |                |                |
| sj gamma, Untere Schwarzjuramergel                                                                                                   | 5,3                                                               | 5  | 5,3   | 6,3                                                                                                             | 5              |                |                | 0,0046         | 2                                                                                                                         | 0,0046 | 0,0034 |                |                |                |
| sj delta, Obere Schwarzjuratone                                                                                                      | 11,9                                                              | 3  | 11,9  | 3,5                                                                                                             | 3              |                |                | 0,0046         | 2                                                                                                                         | 0,0046 | 0,0034 |                |                |                |
| sj epsilon1, Seegrasschiefer                                                                                                         | 7,2                                                               | 10 | 7,2   | 5,7                                                                                                             | 10             |                |                | 0,0107         | 2                                                                                                                         | 0,0107 | 0,0119 |                |                |                |
| sj epsilon2, Tonmergel                                                                                                               | 9,7                                                               | 10 | 9,7   | 7,0                                                                                                             | 10             |                |                | 0,0061         | 2                                                                                                                         | 0,0061 | 0,0055 |                |                |                |
| sj epsilon2, Stinkkalke                                                                                                              | 3,6                                                               | 5  | 3,6   | 3,9                                                                                                             | 5              |                |                | < 0,0045       | 2                                                                                                                         |        |        |                |                |                |
| sj epsilon3, Wilde Schiefer                                                                                                          | 40,5                                                              | 10 | 42,1  | 13,2                                                                                                            | 6              | 40,5           | 5,5            | < 0,0045       | 5                                                                                                                         |        |        |                |                |                |
| sj zeta, Obere Schwarzjuramergel                                                                                                     | 23,2                                                              | 5  | 23,2  | 6,3                                                                                                             | 5              |                |                | 0,0115         | 1                                                                                                                         | 0,0115 |        |                |                |                |
| bj alpha, Opalinuston                                                                                                                | 20,0                                                              | 15 | 20,0  | 5,4                                                                                                             | 15             |                |                | 0,0076         | 3                                                                                                                         | 0,0076 | 0,0052 | 3              |                |                |
| bj beta; Zopfplatten                                                                                                                 | 20,3                                                              | 5  | 20,3  | 8,0                                                                                                             | 5              |                |                | 0,0161         | 1                                                                                                                         | 0,0161 |        |                |                |                |
| bj beta; Tolutariazone                                                                                                               | 23,1                                                              | 4  | 23,1  | 8,4                                                                                                             | 4              |                |                | < 0,0045       | 1                                                                                                                         |        |        |                |                |                |
| bj beta; unt. Donzdorfer Sandst.                                                                                                     | 10,0                                                              | 12 | 12,1  | 9,4                                                                                                             | 11             | 10,0           | 5,9            | 0,0182         | 1                                                                                                                         | 0,0182 |        |                |                |                |
| bj beta; Personatensandstein                                                                                                         | 11,5                                                              | 6  | 11,5  | 3,9                                                                                                             | 6              |                |                | nicht gemessen |                                                                                                                           |        |        |                |                |                |
| bj beta; ob. Donzdorfer Sandst.                                                                                                      | 11,7                                                              | 15 | 15,9  | 12,1                                                                                                            | 13             | 11,7           | 4,9            | 0,0147         | 1                                                                                                                         | 0,0147 |        |                |                |                |
| bj gamma; Wedelsandstein                                                                                                             | 14,1                                                              | 29 | 14,1  | 6,6                                                                                                             | 29             |                |                | < 0,0045       | 1                                                                                                                         |        |        |                |                |                |
| bj delta; Dorsetensienbank                                                                                                           | 8,9                                                               | 8  | 8,9   | 8,5                                                                                                             | 8              |                |                | nicht gemessen |                                                                                                                           |        |        |                |                |                |
| bj delta; Humphriesi-Oolith                                                                                                          | 8,7                                                               | 5  | 8,7   | 7,7                                                                                                             | 5              |                |                | 0,0156         | 1                                                                                                                         | 0,0156 |        |                |                |                |
| bj delta; Coronatenschichten                                                                                                         | 12,6                                                              | 6  | 12,6  | 6,0                                                                                                             | 6              |                |                | 0,0143         | 1                                                                                                                         | 0,0143 |        |                |                |                |
| bj delta; Blagdeni-Schichten                                                                                                         | 11,5                                                              | 10 | 11,5  | 5,5                                                                                                             | 10             |                |                | nicht gemessen |                                                                                                                           |        |        |                |                |                |
| bj delta; Subfurcatus-Oolith                                                                                                         | 15,5                                                              | 5  | 15,5  | 9,4                                                                                                             | 5              |                |                | 0,0096         | 1                                                                                                                         | 0,0096 |        |                |                |                |
| bj delta; Hamitenton                                                                                                                 | 13,8                                                              | 19 | 17,0  | 11,1                                                                                                            | 17             | 13,8           | 3,7            | 0,0139         | 2                                                                                                                         | 0,0139 | 0,0010 |                |                |                |
| bj delta; Parkinsoni-Oolith                                                                                                          | 12,5                                                              | 1  | 12,5  |                                                                                                                 |                |                |                | nicht gemessen |                                                                                                                           |        |        |                |                |                |
| bj epsilon; Obere Braunjuratone                                                                                                      | 16,7                                                              | 4  | 16,7  | 13,7                                                                                                            | 4              |                |                | 0,0132         | 1                                                                                                                         | 0,0132 |        |                |                |                |
| bj zeta; Macrocephalus-Oolith                                                                                                        | 14,1                                                              | 3  | 14,1  | 4,2                                                                                                             | 3              |                |                | 0,0052         | 1                                                                                                                         | 0,0052 |        |                |                |                |
| bj zeta; Ornatenton                                                                                                                  | 14,1                                                              | 21 | 15,0  | 5,5                                                                                                             | 20             | 14,1           | 3,6            | < 0,0045       | 1                                                                                                                         |        |        |                |                |                |
| wj alpha; Grenzglaukonit                                                                                                             | 15,2                                                              | 3  | 15,2  | 2,8                                                                                                             | 3              |                |                | nicht gemessen |                                                                                                                           |        |        |                |                |                |
| wj alpha, Untere Weißjuramergel                                                                                                      | 6,7                                                               | 7  | 6,7   | 5,9                                                                                                             | 7              |                |                | < 0,0045       | 2                                                                                                                         |        |        |                |                |                |
| ob. wj gamma, Mergel                                                                                                                 | 3,1                                                               | 12 | 3,1   | 2,3                                                                                                             | 12             |                |                | 0,0130         | 2                                                                                                                         | 0,0130 | 0,0028 |                |                |                |

Ges. = Gesamtgehalte (mg/kg)

n = Probenanzahl

x = Mittelwert aller Meßwerte

s = Standardabweichung aller Meßwerte

S4 = S4-Elutionsgehalte (mg/l)

n<sub>E</sub> = Anzahl der Extremwertex<sub>E</sub> = Mittelwert nach Extremwerteliminierungs<sub>E</sub> = Standardabweichung nach Extremwerteliminierung

Tab. 7.3.4.: Durchschnittliche Cadmiumgehalte in den geologischen Formationen:

| Grenzwert nach KLOKE [1980]<br>bzw. AbfKlärV [1992] bzw.<br>VwV an. Schadst.[B.-W. 1993]<br><br>1,5 mg/kg<br>(nur für Gesamtgehalte) | Grenzwert<br>TrinkwV [1990]:<br><br>5 µg/l<br>(nur für S4-Werte) | Z - Werte (Boden) LAGA [1994]:<br>Z 0 : 0,6 mg/kg<br>Z 1.1 : 1 mg/kg<br>Z 1.2 : 3 mg/kg<br>Z 2 : 10 mg/kg |      |      |                |                |                |          | Z - Werte (Eluat) LAGA [1994]:<br>Z 0 : 2 µg/l nur<br>Z 1.1 : 2 µg/l für<br>Z 1.2 : 5 µg/l S4-Werte<br>Z 2 : 10 µg/l |        |        |                |                |                |  |
|--------------------------------------------------------------------------------------------------------------------------------------|------------------------------------------------------------------|-----------------------------------------------------------------------------------------------------------|------|------|----------------|----------------|----------------|----------|----------------------------------------------------------------------------------------------------------------------|--------|--------|----------------|----------------|----------------|--|
| Geologische Formation                                                                                                                | Ges.                                                             | n                                                                                                         | X    | S    | n <sub>E</sub> | X <sub>E</sub> | S <sub>E</sub> | S4       | n                                                                                                                    | X      | S      | n <sub>E</sub> | X <sub>E</sub> | S <sub>E</sub> |  |
| Untere Nachweisgrenze                                                                                                                | 0,002                                                            |                                                                                                           |      |      |                |                |                | 0,0006   |                                                                                                                      |        |        |                |                |                |  |
| so, Röttone                                                                                                                          | 1,04                                                             | 10                                                                                                        | 1,04 | 0,18 | 10             |                |                | < 0,0006 | 10                                                                                                                   |        |        |                |                |                |  |
| mo2, Mergel/Tone an d. Basis                                                                                                         | 0,54                                                             | 5                                                                                                         | 0,54 | 0,18 | 5              |                |                | < 0,0006 | 5                                                                                                                    |        |        |                |                |                |  |
| mo2, Tonhorizonte                                                                                                                    | 0,92                                                             | 10                                                                                                        | 0,92 | 0,14 | 10             |                |                | < 0,0006 | 10                                                                                                                   |        |        |                |                |                |  |
| mo2, Mergel/Tone im ob. Abschnitt                                                                                                    | 0,49                                                             | 5                                                                                                         | 0,49 | 0,11 | 5              |                |                | < 0,0006 | 5                                                                                                                    |        |        |                |                |                |  |
| ku Basis, Vitriolschiefer                                                                                                            | 0,50                                                             | 10                                                                                                        | 0,50 | 0,17 | 10             |                |                | < 0,0006 | 10                                                                                                                   |        |        |                |                |                |  |
| ku, Estherienschichten                                                                                                               | 0,44                                                             | 5                                                                                                         | 0,44 | 0,11 | 5              |                |                | < 0,0006 | 4                                                                                                                    |        |        |                |                |                |  |
| km1, Grundgipsschichten                                                                                                              | 0,76                                                             | 10                                                                                                        | 0,76 | 0,77 | 10             |                |                | 0,0066   | 10                                                                                                                   | 0,0147 | 0,0148 | 7              | 0,0066         | 0,0022         |  |
| km1, Bochinger Horizont                                                                                                              | 0,31                                                             | 6                                                                                                         | 0,31 | 0,20 | 6              |                |                | 0,00067  | 4                                                                                                                    | 0,0007 | 0,0005 | 4              |                |                |  |
| km1, Dunkelrote Mergel                                                                                                               | 0,93                                                             | 5                                                                                                         | 0,93 | 0,11 | 5              |                |                | < 0,0006 | 4                                                                                                                    |        |        |                |                |                |  |
| km1, Mittlerer Gipshorizont                                                                                                          | 0,21                                                             | 5                                                                                                         | 0,21 | 0,22 | 5              |                |                | 0,00149  | 5                                                                                                                    | 0,0015 | 0,0014 | 5              |                |                |  |
| km1, Estherienschichten                                                                                                              | 0,55                                                             | 6                                                                                                         | 0,55 | 0,26 | 6              |                |                | < 0,0006 | 4                                                                                                                    |        |        |                |                |                |  |
| km2, dunkle Tonsteine im Schilfsandstein                                                                                             | 0,91                                                             | 5                                                                                                         | 0,91 | 0,10 | 5              |                |                | < 0,0006 | 5                                                                                                                    |        |        |                |                |                |  |
| km2, Schilfsandstein                                                                                                                 | 0,52                                                             | 3                                                                                                         | 0,52 | 0,12 | 3              |                |                | < 0,0006 | 3                                                                                                                    |        |        |                |                |                |  |
| km2, Dunkle Mergel des oberen km2                                                                                                    | 0,85                                                             | 5                                                                                                         | 0,85 | 0,37 | 5              |                |                | < 0,0006 | 5                                                                                                                    |        |        |                |                |                |  |
| km3u, Rote Wand                                                                                                                      | 0,99                                                             | 6                                                                                                         | 0,99 | 0,07 | 6              |                |                | < 0,0006 | 6                                                                                                                    |        |        |                |                |                |  |
| km3u, Untere Bunte Mergel                                                                                                            | 0,69                                                             | 6                                                                                                         | 0,69 | 0,19 | 6              |                |                | < 0,0006 | 6                                                                                                                    |        |        |                |                |                |  |
| km3l, Lehrbergschichten                                                                                                              | 1,35                                                             | 1                                                                                                         | 1,35 |      |                |                |                | < 0,0006 | 1                                                                                                                    |        |        |                |                |                |  |
| km3o, Obere Bunte Mergel                                                                                                             | 0,45                                                             | 10                                                                                                        | 0,45 | 0,20 | 10             |                |                | < 0,0006 | 10                                                                                                                   | 0,0009 | 0,0015 | 9              | 0,0004         | 0,0002         |  |
| km4, Stubensandstein                                                                                                                 | 0,30                                                             | 4                                                                                                         | 0,30 | 0,39 | 4              |                |                | < 0,0006 | 3                                                                                                                    |        |        |                |                |                |  |
| km5, Knollenmergel                                                                                                                   | 0,61                                                             | 8                                                                                                         | 0,61 | 0,09 | 8              |                |                | < 0,0006 | 8                                                                                                                    |        |        |                |                |                |  |
| ko, Rhät-Tonstein                                                                                                                    | 0,11                                                             | 1                                                                                                         | 0,11 |      |                |                |                | < 0,0006 | 1                                                                                                                    |        |        |                |                |                |  |
| sj alpha1, Psilonotenschichten, Kalkstein                                                                                            | 0,74                                                             | 2                                                                                                         | 0,74 | 0,36 |                |                |                | 0,00072  | 2                                                                                                                    | 0,0007 | 0,0006 |                |                |                |  |
| sj alpha1, Psilonotentone                                                                                                            | 0,30                                                             | 6                                                                                                         | 0,30 | 0,31 | 6              |                |                | < 0,0006 | 5                                                                                                                    |        |        |                |                |                |  |
| sj alpha2, Angulatensandstein                                                                                                        | 1,67                                                             | 2                                                                                                         | 1,67 | 2,06 |                |                |                | 0,00104  | 2                                                                                                                    | 0,0010 | 0,0010 |                |                |                |  |
| sj alpha2, Angulatenschichten, Tonstein                                                                                              | 0,60                                                             | 1                                                                                                         | 0,60 |      |                |                |                | < 0,0006 | 1                                                                                                                    |        |        |                |                |                |  |
| sj beta, Untere Schwarzjuratone                                                                                                      | 1,05                                                             | 2                                                                                                         | 1,05 | 0,06 |                |                |                | < 0,0006 | 2                                                                                                                    |        |        |                |                |                |  |
| sj gamma, Untere Schwarzjuramergel                                                                                                   | 0,37                                                             | 5                                                                                                         | 0,37 | 0,38 |                |                |                | < 0,0006 | 5                                                                                                                    |        |        |                |                |                |  |
| sj delta, Obere Schwarzjuratone                                                                                                      | 1,21                                                             | 3                                                                                                         | 1,21 | 0,28 | 3              |                |                | < 0,0006 | 3                                                                                                                    |        |        |                |                |                |  |
| sj epsilon1, Seegrasschiefer                                                                                                         | 1,82                                                             | 10                                                                                                        | 1,82 | 0,71 | 10             |                |                | 0,0097   | 10                                                                                                                   | 0,0097 | 0,0088 | 10             |                |                |  |
| sj epsilon2, Tonmergel                                                                                                               | 2,22                                                             | 10                                                                                                        | 2,22 | 0,49 | 10             |                |                | 0,0034   | 10                                                                                                                   | 0,0034 | 0,0040 | 10             |                |                |  |
| sj epsilon2, Stinkkalke                                                                                                              | 1,13                                                             | 5                                                                                                         | 1,13 | 0,33 | 5              |                |                | 0,00092  | 5                                                                                                                    | 0,0009 | 0,0009 | 5              |                |                |  |
| sj epsilon3, Wilde Schiefer                                                                                                          | 3,23                                                             | 10                                                                                                        | 3,23 | 2,01 | 10             |                |                | 0,0062   | 10                                                                                                                   | 0,0062 | 0,0075 | 10             |                |                |  |
| sj zeta, Obere Schwarzjuramergel                                                                                                     | 4,77                                                             | 5                                                                                                         | 4,77 | 1,33 | 5              |                |                | 0,00163  | 5                                                                                                                    | 0,0016 | 0,0020 | 5              |                |                |  |
| bj alpha, Opalinuston                                                                                                                | 1,22                                                             | 15                                                                                                        | 1,22 | 0,63 | 15             |                |                | < 0,0006 | 15                                                                                                                   |        |        |                |                |                |  |
| bj beta; Zopfplatten                                                                                                                 | < 0,002                                                          | 5                                                                                                         |      |      |                |                |                | < 0,0006 | 5                                                                                                                    |        |        |                |                |                |  |
| bj beta; Tolutariazone                                                                                                               | < 0,002                                                          | 4                                                                                                         |      |      |                |                |                | < 0,0006 | 4                                                                                                                    |        |        |                |                |                |  |
| bj beta; unt. Donzdorfer Sandst.                                                                                                     | < 0,002                                                          | 12                                                                                                        |      |      |                |                |                | < 0,0006 | 12                                                                                                                   |        |        |                |                |                |  |
| bj beta; Personatensandstein                                                                                                         | < 0,002                                                          | 6                                                                                                         |      |      |                |                |                | < 0,0006 | 6                                                                                                                    |        |        |                |                |                |  |
| bj beta; ob. Donzdorfer Sandst.                                                                                                      | < 0,002                                                          | 15                                                                                                        |      |      |                |                |                | < 0,0006 | 13                                                                                                                   |        |        |                |                |                |  |
| bj gamma; Wedelsandstein                                                                                                             | < 0,002                                                          | 29                                                                                                        |      |      |                |                |                | < 0,0006 | 29                                                                                                                   |        |        |                |                |                |  |
| bj delta; Dorsetensienbank                                                                                                           | < 0,002                                                          | 8                                                                                                         | 0,06 | 0,17 | 7              | 0,001          | 0,00           | 0,00065  | 5                                                                                                                    | 0,0006 | 0,0004 | 5              |                |                |  |
| bj delta; Humphriesi-Oolith                                                                                                          | < 0,002                                                          | 5                                                                                                         |      |      |                |                |                | < 0,0006 | 4                                                                                                                    |        |        |                |                |                |  |
| bj delta; Coronatenschichten                                                                                                         | < 0,002                                                          | 6                                                                                                         | 0,03 | 0,07 | 5              | 0,001          | 0,00           | < 0,0006 | 6                                                                                                                    |        |        |                |                |                |  |
| bj delta; Blagdeni-Schichten                                                                                                         | < 0,002                                                          | 10                                                                                                        | 0,02 | 0,05 | 9              | 0,001          | 0,00           | < 0,0006 | 10                                                                                                                   |        |        |                |                |                |  |
| bj delta; Subfurcatus-Oolith                                                                                                         | < 0,002                                                          | 5                                                                                                         |      |      |                |                |                | 0,00062  | 4                                                                                                                    | 0,0006 | 0,0004 | 4              |                |                |  |
| bj delta; Hamitenton                                                                                                                 | < 0,002                                                          | 19                                                                                                        | 0,14 | 0,53 | 17             | 0,001          | 0,00           | < 0,0006 | 19                                                                                                                   |        |        |                |                |                |  |
| bj delta; Parkinsoni-Oolith                                                                                                          | < 0,002                                                          | 1                                                                                                         |      |      |                |                |                | < 0,0006 | 1                                                                                                                    |        |        |                |                |                |  |
| bj epsilon; Obere Braunjuratone                                                                                                      | < 0,002                                                          | 4                                                                                                         |      |      |                |                |                | < 0,0006 | 4                                                                                                                    |        |        |                |                |                |  |
| bj zeta; Macrocephalus-Oolith                                                                                                        | < 0,002                                                          | 3                                                                                                         |      |      |                |                |                | < 0,0006 | 3                                                                                                                    |        |        |                |                |                |  |
| bj zeta; Ornatenton                                                                                                                  | < 0,002                                                          | 21                                                                                                        | 0,03 | 0,06 | 17             | 0,001          | 0,00           | < 0,0006 | 20                                                                                                                   |        |        |                |                |                |  |
| wj alpha; Grenzglaukonit                                                                                                             | 0,17                                                             | 3                                                                                                         | 0,17 | 0,20 | 3              |                |                | < 0,0006 | 3                                                                                                                    |        |        |                |                |                |  |
| wj alpha, Untere Weißjuramergel                                                                                                      | 0,67                                                             | 7                                                                                                         | 0,67 | 0,11 | 7              |                |                | < 0,0006 | 7                                                                                                                    |        |        |                |                |                |  |
| ob. wj gamma, Mergel                                                                                                                 | 0,49                                                             | 12                                                                                                        | 0,49 | 0,10 | 12             |                |                | < 0,0006 | 12                                                                                                                   |        |        |                |                |                |  |

Ges. = Gesamtgehalte (mg/kg)

n = Probenanzahl

x = Mittelwert aller Meßwerte

s = Standardabweichung aller Meßwerte

S4 = S4-Elutionsgehalte (mg/l)

n<sub>E</sub> = Anzahl der ExtremwerteX<sub>E</sub> = Mittelwert nach ExtremwerteliminierungS<sub>E</sub> = Standardabweichung nach Extremwerteliminierung



Tab. 7.3.5.: Durchschnittliche Cobaltgehalte in den geologischen Formationen:

**Grenzwert nach KLOKE [1980]  
bzw. AbfKlärV [1992] bzw.  
VwV an. Schadst.[B.-W. 1993]  
50 mg/kg**  
(nur für Gesamtgehalte)

| Geologische Formation                     | Ges.  | n  | x     | s     | n <sub>E</sub> | x <sub>E</sub> | s <sub>E</sub> | S4       | n  | x      | s      | n <sub>E</sub> | x <sub>E</sub> | s <sub>E</sub> |
|-------------------------------------------|-------|----|-------|-------|----------------|----------------|----------------|----------|----|--------|--------|----------------|----------------|----------------|
| Untere Nachweisgrenze                     | 0,003 |    |       |       |                |                |                | 0,0015   |    |        |        |                |                |                |
| so, Röttone                               | 3,9   | 10 | 3,9   | 0,61  | 10             |                |                | < 0,0015 | 10 |        |        |                |                |                |
| mo2, Mergel/Tone an d. Basis              | 6,9   | 5  | 6,9   | 1,03  | 5              |                |                | < 0,0015 | 5  | 0,0025 | 0,0039 | 4              | 0,0008         | 0,0000         |
| mo2, Tonhorizonte                         | 17,5  | 10 | 17,9  | 4,31  | 8              | 17,5           | 2,77           | < 0,0015 | 10 |        |        |                |                |                |
| mo2, Mergel/Tone im ob. Abschnitt         | 7,3   | 5  | 7,3   | 2,24  | 5              |                |                | < 0,0015 | 5  | 0,0590 | 0,1302 | 4              | 0,0008         | 0,0000         |
| ku Basis, Vitriolschiefer                 | 14,7  | 10 | 14,7  | 4,06  | 10             |                |                | < 0,0015 | 10 | 0,0903 | 0,2589 | 8              | 0,0008         | 0,0000         |
| ku, Estherienschiechten                   | 8,2   | 5  | 8,2   | 1,66  | 5              |                |                | 0,2191   | 4  | 0,2191 | 0,2522 | 4              |                |                |
| km1, Grundgipsschichten                   | 1,7   | 10 | 2,3   | 2,48  | 9              | 1,7            | 1,68           | 0,0226   | 10 | 0,0381 | 0,0363 | 8              | 0,0226         | 0,0131         |
| km1, Bochinger Horizont                   | 7,4   | 6  | 7,4   | 6,37  | 6              |                |                | < 0,0015 | 4  |        |        |                |                |                |
| km1, Dunkelrote Mergel                    | 13,7  | 5  | 13,7  | 1,02  | 5              |                |                | < 0,0015 | 4  |        |        |                |                |                |
| km1, Mittlerer Gipshorizont               | 2,0   | 5  | 2,0   | 2,03  | 5              |                |                | 0,0068   | 5  | 0,0068 | 0,0046 | 5              |                |                |
| km1, Estherienschiechten                  | 7,2   | 6  | 8,6   | 3,62  | 5              | 7,2            | 1,30           | < 0,0015 | 4  |        |        |                |                |                |
| km2, dunkle Tonsteine im Schiffsandstein  | 8,8   | 5  | 8,8   | 0,73  | 5              |                |                | < 0,0015 | 5  |        |        |                |                |                |
| km2, Schiffsandstein                      | 9,8   | 3  | 9,8   | 3,51  | 3              |                |                | < 0,0015 | 3  |        |        |                |                |                |
| km2, Dunkle Mergel des oberen km2         | 10,4  | 5  | 10,4  | 1,86  | 5              |                |                | < 0,0015 | 5  |        |        |                |                |                |
| km3u, Rote Wand                           | 11,9  | 6  | 12,4  | 2,61  | 3              | 11,9           | 1,57           | < 0,0015 | 6  |        |        |                |                |                |
| km3u, Untere Bunte Mergel                 | 13,3  | 6  | 13,3  | 1,36  | 6              |                |                | < 0,0015 | 6  |        |        |                |                |                |
| km3l, Lehrbergschichten                   | 13,3  | 1  | 13,3  |       |                |                |                | < 0,0015 | 1  |        |        |                |                |                |
| km3o, Obere Bunte Mergel                  | 9,2   | 10 | 9,6   | 3,66  | 3              | 9,2            | 0,92           | < 0,0015 | 10 |        |        |                |                |                |
| km4, Stubensandstein                      | 6,2   | 4  | 6,2   | 2,41  | 4              |                |                | < 0,0015 | 3  |        |        |                |                |                |
| km5, Knollenmergel                        | 8,0   | 8  | 8,0   | 2,01  | 8              |                |                | < 0,0015 | 8  |        |        |                |                |                |
| ko, Rhät-Tonstein                         | 26,0  | 1  | 26,0  |       |                |                |                | 0,0036   | 1  | 0,0036 |        |                |                |                |
| sj alpha1, Psilonotenschichten, Kalkstein | 9,9   | 2  | 9,9   | 6,93  |                |                |                | 0,0026   | 2  | 0,0026 | 0,0026 |                |                |                |
| sj alpha1, Psilonotentone                 | 19,3  | 6  | 19,3  | 2,75  | 6              |                |                | < 0,0015 | 5  |        |        |                |                |                |
| sj alpha2, Angulatensandstein             | 9,5   | 2  | 9,5   | 10,82 |                |                |                | 0,0050   | 2  | 0,0050 | 0,0060 |                |                |                |
| sj alpha2, Angulatenschichten, Tonstein   | 8,9   | 1  | 8,9   |       |                |                |                | < 0,0015 | 1  |        |        |                |                |                |
| sj beta, Untere Schwarzjuratone           | 18,8  | 2  | 18,8  | 0,37  |                |                |                | 0,0018   | 2  | 0,0018 | 0,0015 |                |                |                |
| sj gamma, Untere Schwarzjuramergel        | 14,0  | 5  | 14,0  | 8,74  | 5              |                |                | 0,0015   | 5  | 0,0015 | 0,0010 | 5              |                |                |
| sj delta, Obere Schwarzjuratone           | 20,3  | 3  | 20,3  | 1,36  | 3              |                |                | < 0,0015 | 3  |        |        |                |                |                |
| sj epsilon1, Seegrasschiefer              | 9,9   | 10 | 9,9   | 2,02  | 10             |                |                | 0,0330   | 10 | 0,0330 | 0,0228 | 10             |                |                |
| sj epsilon2, Tonmergel                    | 9,5   | 10 | 9,5   | 2,46  | 10             |                |                | 0,0097   | 10 | 0,0097 | 0,0128 | 10             |                |                |
| sj epsilon2, Stinkkalke                   | 6,4   | 5  | 6,4   | 3,47  | 5              |                |                | 0,0029   | 5  | 0,0029 | 0,0029 | 5              |                |                |
| sj epsilon3, Wilde Schiefer               | 14,6  | 10 | 14,6  | 1,37  | 10             |                |                | 0,0238   | 10 | 0,0238 | 0,0212 | 10             |                |                |
| sj zeta, Obere Schwarzjuramergel          | 16,0  | 5  | 16,0  | 3,19  | 5              |                |                | 0,0024   | 5  | 0,0024 | 0,0017 | 5              |                |                |
| bj alpha, Opalinuston                     | 16,2  | 15 | 16,3  | 1,99  | 13             | 16,2           | 1,52           | < 0,0015 | 15 | 0,0226 | 0,0839 | 14             | 0,0010         | 0,0005         |
| bj beta; Zopfplatten                      | 12,3  | 5  | 15,1  | 6,25  | 4              | 12,3           | 0,96           | < 0,0015 | 5  |        |        |                |                |                |
| bj beta; Tolutariazone                    | 17,6  | 4  | 17,6  | 7,24  | 4              |                |                | < 0,0015 | 4  |        |        |                |                |                |
| bj beta; unt. Donzdorfer Sandst.          | 11,0  | 12 | 13,4  | 9,91  | 11             | 11,0           | 5,79           | 0,0016   | 12 | 0,0068 | 0,0180 | 11             | 0,0016         | 0,0015         |
| bj beta; Personatensandstein              | 14,6  | 6  | 14,6  | 2,90  | 6              |                |                | 0,0032   | 6  | 0,0032 | 0,0015 | 6              |                |                |
| bj beta; ob. Donzdorfer Sandst.           | 32,3  | 15 | 32,3  | 28,30 | 15             |                |                | 0,0050   | 13 | 0,0713 | 0,2158 | 11             | 0,0050         | 0,0060         |
| bj gamma; Wedelsandstein                  | 11,4  | 29 | 11,8  | 4,16  | 28             | 11,4           | 3,51           | < 0,0015 | 29 | 0,0015 | 0,0012 | 27             | 0,0013         | 0,0008         |
| bj delta; Dorsetensienbank                | 14,0  | 8  | 14,0  | 3,91  | 8              |                |                | 0,0019   | 5  | 0,0019 | 0,0010 | 5              |                |                |
| bj delta; Humphriesi-Oolith               | 13,3  | 5  | 13,3  | 6,48  | 5              |                |                | < 0,0015 | 4  |        |        |                |                |                |
| bj delta; Coronatenschichten              | 12,9  | 6  | 12,9  | 4,07  | 6              |                |                | 0,0016   | 6  | 0,0016 | 0,0011 | 6              |                |                |
| bj delta; Blagdeni-Schichten              | 13,9  | 10 | 13,9  | 3,51  | 10             |                |                | < 0,0015 | 10 |        |        |                |                |                |
| bj delta; Subfurcatus-Oolith              | 30,9  | 5  | 30,9  | 9,88  | 5              |                |                | 0,0020   | 4  | 0,0020 | 0,0012 | 4              |                |                |
| bj delta; Hamitenton                      | 14,3  | 19 | 14,3  | 3,12  | 19             |                |                | < 0,0015 | 19 |        |        |                |                |                |
| bj delta; Parkinsoni-Oolith               | 154,8 | 1  | 154,8 |       |                |                |                | 0,0100   | 1  | 0,0100 |        |                |                |                |
| bj epsilon; Obere Braunjuratone           | 39,7  | 4  | 39,7  | 36,07 | 4              |                |                | < 0,0015 | 4  |        |        |                |                |                |
| bj zeta; Macrocephalus-Oolith             | 55,7  | 3  | 55,7  | 34,90 | 3              |                |                | < 0,0015 | 3  |        |        |                |                |                |
| bj zeta; Ornatenton                       | 15,5  | 21 | 19,9  | 12,46 | 18             | 15,5           | 3,00           | < 0,0015 | 20 |        |        |                |                |                |
| wj alpha; Grenzglaukonit                  | 20,6  | 3  | 20,6  | 13,91 | 3              |                |                | < 0,0015 | 3  | 0,0016 | 0,0014 | 2              | 0,0008         | 0,0000         |
| wj alpha, Untere Weißjuramergel           | 5,7   | 7  | 5,7   | 0,66  | 7              |                |                | < 0,0015 | 7  |        |        |                |                |                |
| ob. wj gamma, Mergel                      | 3,7   | 12 | 3,7   | 1,33  | 12             |                |                | < 0,0015 | 12 |        |        |                |                |                |

Ges. = Gesamtgehalte (mg/kg)

n = Probenanzahl

x = Mittelwert aller Meßwerte

s = Standardabweichung aller Meßwerte

S4 = S4-Elutionsgehalte (mg/l)

n<sub>E</sub> = Anzahl der Extremwertex<sub>E</sub> = Mittelwert nach Extremwerteliminierungs<sub>E</sub> = Standardabweichung nach Extremwerteliminierung

**Tab. 7.3.6.: Durchschnittliche Nickelgehalte in den geologischen Formationen:**

| Grenzwert nach KLOKE [1980]<br>bzw. AbfKlärV [1992] bzw.<br>VwV an. Schadst.[B.-W. 1993]<br><br>50 mg/kg<br>(nur für Gesamtgehalte) | Grenzwert<br>TrinkwV [1990]:<br><br>50 µg/l<br>(nur für S4-Werte) |    | Z - Werte (Boden) LAGA [1994]:<br>Z 0 : 40 mg/kg<br>Z 1.1 : 100 mg/kg<br>Z 1.2 : 200 mg/kg<br>Z 2 : 600 mg/kg |      |                |                |                |         | Z - Werte (Eluat) LAGA [1994]:<br>Z 0 : 40 µg/l nur<br>Z 1.1 : 50 µg/l für<br>Z 1.2 : 150 µg/l S4-Werte<br>Z 2 : 200 µg/l |        |        |                |                |                |
|-------------------------------------------------------------------------------------------------------------------------------------|-------------------------------------------------------------------|----|---------------------------------------------------------------------------------------------------------------|------|----------------|----------------|----------------|---------|---------------------------------------------------------------------------------------------------------------------------|--------|--------|----------------|----------------|----------------|
| Geologische Formation                                                                                                               | Ges.                                                              | n  | X                                                                                                             | S    | n <sub>E</sub> | X <sub>E</sub> | S <sub>E</sub> | S4      | n                                                                                                                         | X      | S      | n <sub>E</sub> | X <sub>E</sub> | S <sub>E</sub> |
| Untere Nachweisgrenze                                                                                                               | 0,004                                                             |    |                                                                                                               |      |                |                |                | 0,0020  |                                                                                                                           |        |        |                |                |                |
| so, Röttone                                                                                                                         | 14                                                                | 10 | 14                                                                                                            | 3,1  | 10             |                |                | < 0,002 | 10                                                                                                                        |        |        |                |                |                |
| mo2, Mergel/Tone an d. Basis                                                                                                        | 32                                                                | 5  | 32                                                                                                            | 6,1  | 5              |                |                | < 0,002 | 5                                                                                                                         | 0,0059 | 0,0099 | 3              | 0,0010         | 0,0000         |
| mo2, Tonhorizonte                                                                                                                   | 64                                                                | 10 | 69                                                                                                            | 17,4 | 9              | 64             | 9,5            | < 0,002 | 10                                                                                                                        |        |        |                |                |                |
| mo2, Mergel/Tone im ob. Abschnitt                                                                                                   | 33                                                                | 5  | 33                                                                                                            | 8,5  | 5              |                |                | < 0,002 | 5                                                                                                                         |        |        |                |                |                |
| ku Basis, Vitriolschiefer                                                                                                           | 65                                                                | 10 | 74                                                                                                            | 20,0 | 8              | 65             | 4,4            | 0,0032  | 10                                                                                                                        | 0,0032 | 0,0014 | 10             |                |                |
| ku, Estherienschiefer                                                                                                               | 53                                                                | 5  | 53                                                                                                            | 5,2  | 5              |                |                | < 0,002 | 4                                                                                                                         |        |        |                |                |                |
| km1, Grundgipsschichten                                                                                                             | 2                                                                 | 10 | 3                                                                                                             | 3,3  | 9              | 2              | 2,0            | 0,0688  | 10                                                                                                                        | 0,0688 | 0,0491 | 10             |                |                |
| km1, Bochinger Horizont                                                                                                             | 19                                                                | 6  | 19                                                                                                            | 15,9 | 6              |                |                | 0,0020  | 4                                                                                                                         | 0,0020 | 0,0012 | 4              |                |                |
| km1, Dunkelrote Mergel                                                                                                              | 46                                                                | 5  | 46                                                                                                            | 3,1  | 5              |                |                | < 0,002 | 4                                                                                                                         |        |        |                |                |                |
| km1, Mittlerer Gipschizont                                                                                                          | 10                                                                | 5  | 10                                                                                                            | 5,5  | 5              |                |                | 0,0215  | 5                                                                                                                         | 0,0215 | 0,0134 | 5              |                |                |
| km1, Estherienschiefer                                                                                                              | 21                                                                | 6  | 25                                                                                                            | 10,6 | 5              | 21             | 4,4            | < 0,002 | 4                                                                                                                         |        |        |                |                |                |
| km2, dunkle Tonsteine im Schilfsandstein                                                                                            | 28                                                                | 5  | 28                                                                                                            | 2,9  | 5              |                |                | 0,0075  | 5                                                                                                                         | 0,0075 | 0,0078 | 5              |                |                |
| km2, Schilfsandstein                                                                                                                | 34                                                                | 3  | 34                                                                                                            | 14,0 | 3              |                |                | < 0,002 | 3                                                                                                                         |        |        |                |                |                |
| km2, Dunkle Mergel des oberen km2                                                                                                   | 36                                                                | 5  | 36                                                                                                            | 3,2  | 5              |                |                | < 0,002 | 5                                                                                                                         |        |        |                |                |                |
| km3u, Rote Wand                                                                                                                     | 36                                                                | 6  | 36                                                                                                            | 4,4  | 6              |                |                | < 0,002 | 6                                                                                                                         |        |        |                |                |                |
| km3u, Untere Bunte Mergel                                                                                                           | 35                                                                | 6  | 35                                                                                                            | 4,4  | 6              |                |                | 0,0108  | 6                                                                                                                         | 0,0108 | 0,0159 | 6              |                |                |
| km3l, Lehrbergschichten                                                                                                             | 43                                                                | 1  | 43                                                                                                            |      |                |                |                | < 0,002 | 1                                                                                                                         |        |        |                |                |                |
| km3o, Obere Bunte Mergel                                                                                                            | 31                                                                | 10 | 31                                                                                                            | 8,6  | 10             |                |                | < 0,002 | 10                                                                                                                        |        |        |                |                |                |
| km4, Stubensandstein                                                                                                                | 20                                                                | 4  | 20                                                                                                            | 8,9  | 4              |                |                | 0,0036  | 3                                                                                                                         | 0,0036 | 0,0013 | 3              |                |                |
| km5, Knollenmergel                                                                                                                  | 28                                                                | 8  | 28                                                                                                            | 7,0  | 8              |                |                | < 0,002 | 8                                                                                                                         |        |        |                |                |                |
| ko, Rhät-Tonstein                                                                                                                   | 23                                                                | 1  | 23                                                                                                            |      |                |                |                | < 0,002 | 1                                                                                                                         |        |        |                |                |                |
| sj alpha1, Psilonotenschichten, Kalkstein                                                                                           | 17                                                                | 2  | 17                                                                                                            | 14,9 |                |                |                | 0,0021  | 2                                                                                                                         | 0,0021 | 0,0016 |                |                |                |
| sj alpha1, Psilonotentone                                                                                                           | 31                                                                | 6  | 35                                                                                                            | 8,9  | 5              | 31             | 0,9            | < 0,002 | 5                                                                                                                         |        |        |                |                |                |
| sj alpha2, Angulatensandstein                                                                                                       | 19                                                                | 2  | 19                                                                                                            | 20,1 |                |                |                | 0,0157  | 2                                                                                                                         | 0,0157 | 0,0208 |                |                |                |
| sj alpha2, Angulatenschichten, Tonstein                                                                                             | 18                                                                | 1  | 18                                                                                                            |      |                |                |                | < 0,002 | 1                                                                                                                         |        |        |                |                |                |
| sj beta, Untere Schwarzjuratone                                                                                                     | 46                                                                | 2  | 46                                                                                                            | 0,04 |                |                |                | 0,0043  | 2                                                                                                                         | 0,0043 | 0,0003 |                |                |                |
| sj gamma, Untere Schwarzjuramergel                                                                                                  | 59                                                                | 5  | 59                                                                                                            | 14,5 | 5              |                |                | 0,0060  | 5                                                                                                                         | 0,0060 | 0,0044 | 5              |                |                |
| sj delta, Obere Schwarzjuratone                                                                                                     | 124                                                               | 3  | 124                                                                                                           | 24,4 | 3              |                |                | < 0,002 | 3                                                                                                                         |        |        |                |                |                |
| sj epsilon1, Seegrasschiefer                                                                                                        | 99                                                                | 10 | 99                                                                                                            | 20,9 | 10             |                |                | 0,1052  | 10                                                                                                                        | 0,1052 | 0,0751 | 10             |                |                |
| sj epsilon2, Tonmergel                                                                                                              | 78                                                                | 10 | 78                                                                                                            | 8,8  | 10             |                |                | 0,0273  | 10                                                                                                                        | 0,0273 | 0,0104 | 10             |                |                |
| sj epsilon2, Stinkkalke                                                                                                             | 29                                                                | 5  | 29                                                                                                            | 16,2 | 5              |                |                | 0,0125  | 5                                                                                                                         | 0,0125 | 0,0111 | 5              |                |                |
| sj epsilon3, Wilde Schiefer                                                                                                         | 97                                                                | 10 | 103                                                                                                           | 9,8  | 3              | 97             | 1,0            | 0,0738  | 10                                                                                                                        | 0,0738 | 0,0357 | 10             |                |                |
| sj zeta, Obere Schwarzjuramergel                                                                                                    | 117                                                               | 5  | 117                                                                                                           | 22,1 | 5              |                |                | 0,0241  | 5                                                                                                                         | 0,0241 | 0,0195 | 5              |                |                |
| bj alpha, Opalinuston                                                                                                               | 38                                                                | 15 | 38                                                                                                            | 4,0  | 15             |                |                | 0,0023  | 15                                                                                                                        | 0,0023 | 0,0016 | 15             |                |                |
| bj beta; Zopfplatten                                                                                                                | 25                                                                | 5  | 29                                                                                                            | 8,2  | 4              | 25             | 2,5            | 0,0024  | 5                                                                                                                         | 0,0024 | 0,0014 | 5              |                |                |
| bj beta; Tolutariazone                                                                                                              | 35                                                                | 4  | 35                                                                                                            | 14,0 | 4              |                |                | < 0,002 | 4                                                                                                                         |        |        |                |                |                |
| bj beta; unt. Donzdorfer Sandst.                                                                                                    | 25                                                                | 12 | 29                                                                                                            | 19,0 | 11             | 25             | 14,0           | 0,0021  | 12                                                                                                                        | 0,0131 | 0,0368 | 10             | 0,0021         | 0,0008         |
| bj beta; Personatensandstein                                                                                                        | 39                                                                | 6  | 39                                                                                                            | 20,3 | 6              |                |                | 0,0057  | 6                                                                                                                         | 0,0057 | 0,0040 | 6              |                |                |
| bj beta; ob. Donzdorfer Sandst.                                                                                                     | 60                                                                | 15 | 60                                                                                                            | 38,2 | 15             |                |                | 0,0060  | 13                                                                                                                        | 0,1092 | 0,3576 | 11             | 0,0060         | 0,0082         |
| bj gamma; Wedelsandstein                                                                                                            | 26                                                                | 29 | 28                                                                                                            | 8,3  | 28             | 26             | 5,7            | 0,0021  | 29                                                                                                                        | 0,0027 | 0,0024 | 27             | 0,0021         | 0,0011         |
| bj delta; Dorsetensienbank                                                                                                          | 33                                                                | 8  | 33                                                                                                            | 10,1 | 8              |                |                | 0,0024  | 5                                                                                                                         | 0,0024 | 0,0014 | 5              |                |                |
| bj delta; Humphriesi-Oolith                                                                                                         | 45                                                                | 5  | 45                                                                                                            | 26,6 | 5              |                |                | 0,0025  | 4                                                                                                                         | 0,0025 | 0,0021 | 4              |                |                |
| bj delta; Coronatenschichten                                                                                                        | 35                                                                | 6  | 35                                                                                                            | 9,2  | 6              |                |                | 0,0025  | 6                                                                                                                         | 0,0025 | 0,0018 | 6              |                |                |
| bj delta; Blagdeni-Schichten                                                                                                        | 36                                                                | 10 | 36                                                                                                            | 5,6  | 10             |                |                | 0,0026  | 10                                                                                                                        | 0,0026 | 0,0018 | 10             |                |                |
| bj delta; Subfurcatus-Oolith                                                                                                        | 61                                                                | 5  | 61                                                                                                            | 18,6 | 5              |                |                | 0,0049  | 4                                                                                                                         | 0,0049 | 0,0009 | 4              |                |                |
| bj delta; Hamitenton                                                                                                                | 36                                                                | 19 | 39                                                                                                            | 12,8 | 18             | 36             | 7,6            | 0,0022  | 19                                                                                                                        | 0,0040 | 0,0050 | 16             | 0,0022         | 0,0014         |
| bj delta; Parkinsoni-Oolith                                                                                                         | 166                                                               | 1  | 166                                                                                                           |      |                |                |                | 0,0244  | 1                                                                                                                         | 0,0244 |        |                |                |                |
| bj epsilon; Obere Braunjuratone                                                                                                     | 60                                                                | 4  | 96                                                                                                            | 70,5 | 3              | 60             | 4,6            | 0,0061  | 4                                                                                                                         | 0,0061 | 0,0063 | 4              |                |                |
| bj zeta; Macrocephalus-Oolith                                                                                                       | 95                                                                | 3  | 95                                                                                                            | 30,0 | 3              |                |                | < 0,002 | 3                                                                                                                         |        |        |                |                |                |
| bj zeta; Ornatenton                                                                                                                 | 53                                                                | 21 | 58                                                                                                            | 24,2 | 19             | 53             | 16,7           | 0,0022  | 20                                                                                                                        | 0,0022 | 0,0018 | 20             |                |                |
| wj alpha; Grenzglaukonit                                                                                                            | 80                                                                | 3  | 80                                                                                                            | 42,4 | 3              |                |                | 0,0044  | 3                                                                                                                         | 0,0044 | 0,0030 | 3              |                |                |
| wj alpha, Untere Weißjuramergel                                                                                                     | 21                                                                | 7  | 21                                                                                                            | 2,7  | 7              |                |                | < 0,002 | 7                                                                                                                         | 0,0022 | 0,0020 | 6              | 0,0015         | 0,0009         |
| ob. wj gamma, Mergel                                                                                                                | 19                                                                | 12 | 19                                                                                                            | 5,4  | 12             |                |                | < 0,002 | 12                                                                                                                        |        |        |                |                |                |

Ges. = Gesamtgehalte (mg/kg)

n = Probenanzahl

x = Mittelwert aller Meßwerte

s = Standardabweichung aller Meßwerte

S4 = S4-Elutionsgehalte (mg/l)

n<sub>E</sub> = Anzahl der Extremwertex<sub>E</sub> = Mittelwert nach Extremwerteliminierungs<sub>E</sub> = Standardabweichung nach Extremwerteliminierung

Tab. 7.3.7.: Durchschnittliche Chromgehalte in den geologischen Formationen:

| Grenzwert nach KLOKE [1980]<br>bzw. AbfKlärV [1992] bzw.<br>VwV an. Schadst.[B.-W. 1993]<br><br>100 mg/kg<br>(nur für Gesamtgehalte) | Grenzwert<br>TrinkwV [1990]:<br><br>50 µg/l<br>(nur für S4-Werte) |    |     | Z - Werte (Boden) LAGA [1994]:<br>Z 0 : 50 mg/kg<br>Z 1.1 : 100 mg/kg<br>Z 1.2 : 200 mg/kg<br>Z 2 : 600 mg/kg |                |                |                |         | Z - Werte (Eluat) LAGA [1994]:<br>Z 0 : 15 µg/l nur<br>Z 1.1 : 30 µg/l für<br>Z 1.2 : 75 µg/l S4-Werte<br>Z 2 : 150 µg/l |        |        |                |                |                |
|--------------------------------------------------------------------------------------------------------------------------------------|-------------------------------------------------------------------|----|-----|---------------------------------------------------------------------------------------------------------------|----------------|----------------|----------------|---------|--------------------------------------------------------------------------------------------------------------------------|--------|--------|----------------|----------------|----------------|
| Geologische Formation                                                                                                                | Ges.                                                              | n  | X   | S                                                                                                             | Π <sub>E</sub> | X <sub>E</sub> | S <sub>E</sub> | S4      | Π                                                                                                                        | X      | S      | Π <sub>E</sub> | X <sub>E</sub> | S <sub>E</sub> |
| Untere Nachweisgrenze                                                                                                                | 0,001                                                             |    |     |                                                                                                               |                |                |                | 0,0010  |                                                                                                                          |        |        |                |                |                |
| so, Röttone                                                                                                                          | 25                                                                | 10 | 25  | 3,1                                                                                                           | 10             |                |                | 0,0023  | 10                                                                                                                       | 0,0033 | 0,0035 | 9              | 0,0023         | 0,0020         |
| mo2, Mergel/Tone an d. Basis                                                                                                         | 19                                                                | 5  | 19  | 2,4                                                                                                           | 5              |                |                | < 0,001 | 5                                                                                                                        | 0,0030 | 0,0049 | 3              | 0,0005         | 0,0000         |
| mo2, Tonhorizonte                                                                                                                    | 43                                                                | 10 | 45  | 9,3                                                                                                           | 9              | 43             | 7,4            | < 0,001 | 10                                                                                                                       |        |        |                |                |                |
| mo2, Mergel/Tone im ob. Abschnitt                                                                                                    | 25                                                                | 5  | 25  | 6,0                                                                                                           | 5              |                |                | 0,0010  | 5                                                                                                                        | 0,0010 | 0,0005 | 5              |                |                |
| ku Basis, Vitriolschiefer                                                                                                            | 47                                                                | 10 | 51  | 12,6                                                                                                          | 7              | 47             | 1,8            | < 0,001 | 10                                                                                                                       |        |        |                |                |                |
| ku, Estherienschichten                                                                                                               | 53                                                                | 5  | 56  | 7,7                                                                                                           | 4              | 53             | 2,0            | < 0,001 | 4                                                                                                                        |        |        |                |                |                |
| km1, Grundgipsschichten                                                                                                              | 2                                                                 | 10 | 3   | 3,0                                                                                                           | 9              | 2              | 2,0            | 0,0725  | 10                                                                                                                       | 0,1556 | 0,1694 | 7              | 0,0725         | 0,0247         |
| km1, Bochinger Horizont                                                                                                              | 23                                                                | 6  | 23  | 17,7                                                                                                          | 6              |                |                | 0,0018  | 4                                                                                                                        | 0,0018 | 0,0015 | 4              |                |                |
| km1, Dunkelrote Mergel                                                                                                               | 53                                                                | 5  | 53  | 5,2                                                                                                           | 5              |                |                | 0,0010  | 4                                                                                                                        | 0,0010 | 0,0006 | 4              |                |                |
| km1, Mittlerer Gipshorizont                                                                                                          | 11                                                                | 5  | 11  | 6,9                                                                                                           | 5              |                |                | 0,0252  | 5                                                                                                                        | 0,0252 | 0,0170 | 5              |                |                |
| km1, Estherienschichten                                                                                                              | 28                                                                | 6  | 28  | 11,5                                                                                                          | 6              |                |                | 0,0012  | 4                                                                                                                        | 0,0012 | 0,0008 | 4              |                |                |
| km2, dunkle Tonsteine im Schiffsandstein                                                                                             | 33                                                                | 5  | 33  | 4,2                                                                                                           | 5              |                |                | 0,0010  | 5                                                                                                                        | 0,0010 | 0,0005 | 5              |                |                |
| km2, Schiffsandstein                                                                                                                 | 27                                                                | 3  | 27  | 8,6                                                                                                           | 3              |                |                | 0,0023  | 3                                                                                                                        | 0,0023 | 0,0013 | 3              |                |                |
| km2, Dunkle Mergel des oberen km2                                                                                                    | 41                                                                | 5  | 41  | 3,3                                                                                                           | 5              |                |                | 0,0020  | 5                                                                                                                        | 0,0020 | 0,0009 | 5              |                |                |
| km3u, Rote Wand                                                                                                                      | 51                                                                | 6  | 51  | 6,7                                                                                                           | 6              |                |                | 0,0025  | 6                                                                                                                        | 0,0025 | 0,0028 | 6              |                |                |
| km3u, Untere Bunte Mergel                                                                                                            | 38                                                                | 6  | 38  | 6,1                                                                                                           | 6              |                |                | 0,0028  | 6                                                                                                                        | 0,0028 | 0,0025 | 6              |                |                |
| km3l, Lehrbergschichten                                                                                                              | 36                                                                | 1  | 36  |                                                                                                               |                |                |                | 0,0020  | 1                                                                                                                        | 0,0020 |        |                |                |                |
| km3o, Obere Bunte Mergel                                                                                                             | 31                                                                | 10 | 31  | 9,6                                                                                                           | 10             |                |                | 0,0019  | 10                                                                                                                       | 0,0034 | 0,0036 | 8              | 0,0019         | 0,0011         |
| km4, Stubensandstein                                                                                                                 | 20                                                                | 4  | 20  | 15,8                                                                                                          | 4              |                |                | 0,0040  | 3                                                                                                                        | 0,0040 | 0,0051 | 3              |                |                |
| km5, Knollenmergel                                                                                                                   | 26                                                                | 8  | 26  | 5,6                                                                                                           | 8              |                |                | < 0,001 | 8                                                                                                                        | 0,0014 | 0,0015 | 7              | 0,0009         | 0,0007         |
| ko, Rhät-Tonstein                                                                                                                    | 18                                                                | 1  | 18  |                                                                                                               |                |                |                | < 0,001 | 1                                                                                                                        |        |        |                |                |                |
| sj alpha1, Psilonotenschichten, Kalkstein                                                                                            | 7                                                                 | 2  | 7   | 0,6                                                                                                           |                |                |                | < 0,001 | 2                                                                                                                        |        |        |                |                |                |
| sj alpha1, Psilonotentone                                                                                                            | 30                                                                | 6  | 30  | 3,1                                                                                                           | 6              |                |                | 0,0016  | 5                                                                                                                        | 0,0016 | 0,0007 | 5              |                |                |
| sj alpha2, Angulatensandstein                                                                                                        | 12                                                                | 2  | 12  | 4,0                                                                                                           |                |                |                | < 0,001 | 2                                                                                                                        |        |        |                |                |                |
| sj alpha2, Angulatenschichten, Tonstein                                                                                              | 23                                                                | 1  | 23  |                                                                                                               |                |                |                | < 0,001 | 1                                                                                                                        |        |        |                |                |                |
| sj beta, Untere Schwarzjuratone                                                                                                      | 40                                                                | 2  | 40  | 1,1                                                                                                           |                |                |                | 0,0056  | 2                                                                                                                        | 0,0056 | 0,0057 |                |                |                |
| sj gamma, Untere Schwarzjuramergel                                                                                                   | 14                                                                | 5  | 14  | 4,4                                                                                                           | 5              |                |                | < 0,001 | 5                                                                                                                        |        |        |                |                |                |
| sj delta, Obere Schwarzjuratone                                                                                                      | 45                                                                | 3  | 45  | 3,9                                                                                                           | 3              |                |                | 0,0029  | 3                                                                                                                        | 0,0029 | 0,0016 | 3              |                |                |
| sj epsilon1, Seegrasschiefer                                                                                                         | 30                                                                | 10 | 30  | 6,2                                                                                                           | 10             |                |                | 0,0586  | 10                                                                                                                       | 0,0586 | 0,0506 | 10             |                |                |
| sj epsilon2, Tonmergel                                                                                                               | 32                                                                | 10 | 34  | 6,2                                                                                                           | 9              | 32             | 4,0            | 0,0122  | 10                                                                                                                       | 0,0173 | 0,0204 | 9              | 0,0122         | 0,0135         |
| sj epsilon2, Stinkkalke                                                                                                              | 9                                                                 | 5  | 9   | 5,9                                                                                                           | 5              |                |                | 0,0041  | 5                                                                                                                        | 0,0041 | 0,0058 | 5              |                |                |
| sj epsilon3, Wilde Schiefer                                                                                                          | 28                                                                | 10 | 28  | 3,0                                                                                                           | 10             |                |                | 0,0353  | 10                                                                                                                       | 0,0353 | 0,0319 | 10             |                |                |
| sj zeta, Obere Schwarzjuramergel                                                                                                     | 36                                                                | 5  | 36  | 2,2                                                                                                           | 5              |                |                | 0,0010  | 5                                                                                                                        | 0,0034 | 0,0052 | 4              | 0,0010         | 0,0006         |
| bj alpha, Opalinuston                                                                                                                | 49                                                                | 15 | 49  | 4,0                                                                                                           | 15             |                |                | < 0,001 | 15                                                                                                                       |        |        |                |                |                |
| bj beta; Zopfplatten                                                                                                                 | 18                                                                | 5  | 26  | 18,3                                                                                                          | 4              | 18             | 3,3            | < 0,001 | 5                                                                                                                        |        |        |                |                |                |
| bj beta; Tolutariazone                                                                                                               | 23                                                                | 4  | 28  | 11,8                                                                                                          | 3              | 23             | 2,5            | < 0,001 | 4                                                                                                                        |        |        |                |                |                |
| bj beta; unt. Donzdorfer Sandst.                                                                                                     | 17                                                                | 12 | 19  | 9,7                                                                                                           | 11             | 17             | 7,0            | < 0,001 | 12                                                                                                                       |        |        |                |                |                |
| bj beta; Personatensandstein                                                                                                         | 19                                                                | 6  | 20  | 3,5                                                                                                           | 5              | 19             | 2,0            | 0,0010  | 6                                                                                                                        | 0,0010 | 0,0008 | 6              |                |                |
| bj beta; ob. Donzdorfer Sandst.                                                                                                      | 24                                                                | 15 | 43  | 45,5                                                                                                          | 12             | 24             | 12,6           | 0,0011  | 13                                                                                                                       | 0,0011 | 0,0010 | 13             |                |                |
| bj gamma; Wedelsandstein                                                                                                             | 14                                                                | 29 | 14  | 4,0                                                                                                           | 29             |                |                | < 0,001 | 29                                                                                                                       |        |        |                |                |                |
| bj delta; Dorsetensienbank                                                                                                           | 14                                                                | 8  | 23  | 24,6                                                                                                          | 7              | 14             | 3,3            | < 0,001 | 5                                                                                                                        |        |        |                |                |                |
| bj delta; Humphriesi-Oolith                                                                                                          | 12                                                                | 5  | 99  | 174,8                                                                                                         | 4              | 12             | 3,6            | < 0,001 | 4                                                                                                                        |        |        |                |                |                |
| bj delta; Coronatenschichten                                                                                                         | 19                                                                | 6  | 72  | 101,4                                                                                                         | 4              | 19             | 5,4            | 0,0011  | 6                                                                                                                        | 0,0011 | 0,0005 | 6              |                |                |
| bj delta; Blagdeni-Schichten                                                                                                         | 21                                                                | 10 | 27  | 36,2                                                                                                          | 8              | 21             | 3,4            | < 0,001 | 10                                                                                                                       |        |        |                |                |                |
| bj delta; Subfurcatus-Oolith                                                                                                         | 176                                                               | 5  | 176 | 108,8                                                                                                         | 5              |                |                | < 0,001 | 4                                                                                                                        |        |        |                |                |                |
| bj delta; Hamitenton                                                                                                                 | 23                                                                | 19 | 23  | 5,2                                                                                                           | 19             |                |                | < 0,001 | 19                                                                                                                       |        |        |                |                |                |
| bj delta; Parkinsoni-Oolith                                                                                                          | 318                                                               | 1  | 318 |                                                                                                               |                |                |                | < 0,001 | 1                                                                                                                        |        |        |                |                |                |
| bj epsilon; Obere Braunjuratone                                                                                                      | 25                                                                | 4  | 112 | 174,6                                                                                                         | 3              | 25             | 3,5            | < 0,001 | 4                                                                                                                        |        |        |                |                |                |
| bj zeta; Macrocephalus-Oolith                                                                                                        | 437                                                               | 3  | 437 | 470,6                                                                                                         | 3              |                |                | < 0,001 | 3                                                                                                                        |        |        |                |                |                |
| bj zeta; Ornatenton                                                                                                                  | 22                                                                | 21 | 37  | 48,6                                                                                                          | 15             | 22             | 2,6            | < 0,001 | 20                                                                                                                       |        |        |                |                |                |
| wj alpha; Grenzglaukonit                                                                                                             | 29                                                                | 3  | 29  | 19,6                                                                                                          | 3              |                |                | < 0,001 | 3                                                                                                                        | 0,0010 | 0,0009 | 2              | 0,0005         | 0,0000         |
| wj alpha, Untere Weißjuramergel                                                                                                      | 27                                                                | 7  | 27  | 2,5                                                                                                           | 7              |                |                | < 0,001 | 7                                                                                                                        |        |        |                |                |                |
| ob. wj gamma, Mergel                                                                                                                 | 13                                                                | 12 | 13  | 3,2                                                                                                           | 12             |                |                | < 0,001 | 12                                                                                                                       |        |        |                |                |                |

Ges. = Gesamtgehalte (mg/kg)

n = Probenanzahl

x = Mittelwert aller Meßwerte

s = Standardabweichung aller Meßwerte

S4 = S4-Elutionsgehalte (mg/l)

n<sub>E</sub> = Anzahl der Extremwertex<sub>E</sub> = Mittelwert nach Extremwerteliminierungs<sub>E</sub> = Standardabweichung nach Extremwerteliminierung

Tab. 7.3.8.: Durchschnittliche V - und As - Gehalte in den geologischen Formationen:

| V-Grenzwert n. KLOKE [1980]<br>bzw. AbfKlärV [1992] bzw.<br>VwV an. Schadst.[B.-W. 1993]<br><br>50 mg/kg<br>(nur für Gesamtgehalte) |        |    |     | As-Grenzwert nach EIKMANN-<br>KLOKE [1993]<br><br>20 mg/kg<br>(nur für Gesamtgehalte) |                |                |                | Z - Werte (Boden) LAGA [1994]:<br>Z 0 : 20 mg/l nur<br>Z 1.1 : 30 mg/l für<br>Z 1.2 : 50 mg/l Arsen<br>Z 2 : 150 mg/l |    |        |       |                |                |                |
|-------------------------------------------------------------------------------------------------------------------------------------|--------|----|-----|---------------------------------------------------------------------------------------|----------------|----------------|----------------|-----------------------------------------------------------------------------------------------------------------------|----|--------|-------|----------------|----------------|----------------|
| Geologische Formation                                                                                                               | V-Ges. | n  | X   | S                                                                                     | n <sub>E</sub> | X <sub>E</sub> | S <sub>E</sub> | As-Ges.                                                                                                               | n  | X      | S     | n <sub>E</sub> | X <sub>E</sub> | S <sub>E</sub> |
| Untere Nachweisgrenze                                                                                                               | 0,001  |    |     |                                                                                       |                |                |                | 0,0008                                                                                                                |    |        |       |                |                |                |
| so, Röttone                                                                                                                         | 22     | 10 | 22  | 2,6                                                                                   | 10             |                |                | 12,00                                                                                                                 | 10 | 12,00  | 4,63  | 10             |                |                |
| mo2, Mergel/Tone an d. Basis                                                                                                        | 16     | 5  | 16  | 2,6                                                                                   | 5              |                |                | 4,83                                                                                                                  | 4  | 4,83   | 2,17  | 4              |                |                |
| mo2, Tonhorizonte                                                                                                                   | 23     | 10 | 24  | 3,8                                                                                   | 9              | 23             | 2,6            | 3,85                                                                                                                  | 10 | 3,85   | 0,82  | 10             |                |                |
| mo2, Mergel/Tone im ob. Abschnitt                                                                                                   | 18     | 5  | 18  | 3,5                                                                                   | 5              |                |                | 3,95                                                                                                                  | 5  | 3,95   | 1,04  | 5              |                |                |
| ku Basis, Vitriolschiefer                                                                                                           | 23     | 10 | 25  | 6,1                                                                                   | 7              | 23             | 1,6            | 4,28                                                                                                                  | 8  | 6,47   | 4,58  | 6              | 4,28           | 0,89           |
| ku, Estheriensichten                                                                                                                | 25     | 5  | 25  | 3,4                                                                                   | 5              |                |                | 0,67                                                                                                                  | 3  | 0,67   | 0,58  | 3              |                |                |
| km1, Grundgipsschichten                                                                                                             | 3      | 10 | 4   | 4,9                                                                                   | 9              | 3              | 3,2            | 1,49                                                                                                                  | 9  | 1,87   | 1,29  | 8              | 1,49           | 0,63           |
| km1, Bochinger Horizont                                                                                                             | 23     | 6  | 23  | 17,7                                                                                  | 6              |                |                | 11,92                                                                                                                 | 6  | 11,92  | 11,07 | 6              |                |                |
| km1, Dunkelrote Mergel                                                                                                              | 37     | 5  | 37  | 2,3                                                                                   | 5              |                |                | 3,86                                                                                                                  | 5  | 3,86   | 0,54  | 5              |                |                |
| km1, Mittlerer Gipshorizont                                                                                                         | 9      | 5  | 10  | 5,8                                                                                   | 3              | 9              | 5,2            | 1,60                                                                                                                  | 4  | 1,60   | 1,26  | 4              |                |                |
| km1, Estheriensichten                                                                                                               | 21     | 6  | 28  | 17,9                                                                                  | 5              | 21             | 3,7            | 2,75                                                                                                                  | 6  | 2,75   | 1,68  | 6              |                |                |
| km2, dunkle Tonsteine im Schilfsandstein                                                                                            | 28     | 5  | 28  | 3,0                                                                                   | 5              |                |                | 2,69                                                                                                                  | 5  | 2,69   | 0,66  | 5              |                |                |
| km2, Schilfsandstein                                                                                                                | 22     | 3  | 22  | 5,0                                                                                   | 3              |                |                | 2,87                                                                                                                  | 3  | 2,87   | 2,77  | 3              |                |                |
| km2, Dunkle Mergel des oberen km2                                                                                                   | 28     | 5  | 28  | 1,1                                                                                   | 5              |                |                | 7,50                                                                                                                  | 5  | 7,50   | 2,95  | 5              |                |                |
| km3u, Rote Wand                                                                                                                     | 21     | 6  | 22  | 4,9                                                                                   | 4              | 21             | 2,3            | 9,84                                                                                                                  | 6  | 9,84   | 5,53  | 6              |                |                |
| km3u, Untere Bunte Mergel                                                                                                           | 30     | 6  | 30  | 7,3                                                                                   | 6              |                |                | 5,79                                                                                                                  | 6  | 5,79   | 4,48  | 6              |                |                |
| km3l, Lehrbergschichten                                                                                                             | 35     | 1  | 35  |                                                                                       |                |                |                | 0,14                                                                                                                  | 1  | 0,14   |       |                |                |                |
| km3o, Obere Bunte Mergel                                                                                                            | 32     | 10 | 32  | 13,6                                                                                  | 10             |                |                | 1,01                                                                                                                  | 10 | 1,01   | 0,79  | 10             |                |                |
| km4, Stubensandstein                                                                                                                | 29     | 4  | 29  | 18,4                                                                                  | 4              |                |                | 1,94                                                                                                                  | 4  | 1,94   | 2,56  | 4              |                |                |
| km5, Knollenmergel                                                                                                                  | 32     | 8  | 32  | 26,8                                                                                  | 8              |                |                | 0,35                                                                                                                  | 8  | 1,20   | 2,42  | 7              | 0,35           | 0,33           |
| ko, Rhät-Tonstein                                                                                                                   | 18     | 1  | 18  |                                                                                       |                |                |                | 23,49                                                                                                                 | 1  | 23,49  |       |                |                |                |
| sj alpha1, Psilonotenschichten, Kalkstein                                                                                           | 11     | 2  | 11  | 8,3                                                                                   |                |                |                | 1,49                                                                                                                  | 1  | 1,49   |       |                |                |                |
| sj alpha1, Psilonotentone                                                                                                           | 23     | 6  | 23  | 5,1                                                                                   | 6              |                |                | 16,40                                                                                                                 | 6  | 16,40  | 9,29  | 6              |                |                |
| sj alpha2, Angulatensandstein                                                                                                       | 26     | 2  | 26  | 12,7                                                                                  |                |                |                | 5,30                                                                                                                  | 1  | 5,30   |       |                |                |                |
| sj alpha2, Angulatenschichten, Tonstein                                                                                             | 31     | 1  | 31  |                                                                                       |                |                |                | 6,28                                                                                                                  | 1  | 6,28   |       |                |                |                |
| sj beta, Untere Schwarzjuratone                                                                                                     | 45     | 2  | 45  | 0,5                                                                                   |                |                |                | 11,47                                                                                                                 | 2  | 11,47  | 1,27  |                |                |                |
| sj gamma, Untere Schwarzjuramergel                                                                                                  | 11     | 5  | 11  | 4,8                                                                                   | 5              |                |                | 7,42                                                                                                                  | 5  | 7,42   | 3,94  | 5              |                |                |
| sj delta, Obere Schwarzjuratone                                                                                                     | 46     | 3  | 46  | 6,5                                                                                   |                |                |                | 8,49                                                                                                                  | 3  | 8,49   | 0,56  | 3              |                |                |
| sj epsilon1, Seegrasschiefer                                                                                                        | 95     | 10 | 95  | 22,6                                                                                  | 10             |                |                | 13,16                                                                                                                 | 10 | 16,71  | 11,56 | 9              | 13,16          | 2,98           |
| sj epsilon2, Tonmergel                                                                                                              | 79     | 10 | 79  | 19,2                                                                                  | 10             |                |                | 11,26                                                                                                                 | 10 | 13,13  | 4,42  | 8              | 11,26          | 1,80           |
| sj epsilon2, Stinkkalke                                                                                                             | 30     | 5  | 30  | 9,7                                                                                   | 5              |                |                | 5,35                                                                                                                  | 5  | 5,35   | 2,06  | 5              |                |                |
| sj epsilon3, Wilde Schiefer                                                                                                         | 87     | 10 | 87  | 8,6                                                                                   | 10             |                |                | 15,74                                                                                                                 | 10 | 18,42  | 8,77  | 9              | 15,74          | 2,44           |
| sj zeta, Obere Schwarzjuramergel                                                                                                    | 116    | 5  | 116 | 13,2                                                                                  | 5              |                |                | 14,97                                                                                                                 | 4  | 16,35  | 2,77  | 3              | 14,97          | 0,46           |
| bj alpha, Opalinuston                                                                                                               | 55     | 15 | 60  | 11,6                                                                                  | 13             | 55             | 3,7            | 11,95                                                                                                                 | 15 | 12,90  | 2,79  | 13             | 11,95          | 1,28           |
| bj beta; Zopfplatten                                                                                                                | 17     | 5  | 35  | 41,0                                                                                  | 4              | 17             | 3,4            | 19,26                                                                                                                 | 4  | 19,26  | 10,27 | 4              |                |                |
| bj beta; Tolutariazone                                                                                                              | 24     | 4  | 40  | 30,7                                                                                  | 3              | 24             | 3,1            | 21,75                                                                                                                 | 3  | 21,75  | 11,08 | 3              |                |                |
| bj beta; unt. Donzdorfer Sandst.                                                                                                    | 30     | 12 | 30  | 22,2                                                                                  | 12             |                |                | 24,91                                                                                                                 | 6  | 24,91  | 23,20 | 6              |                |                |
| bj beta; Personatensandstein                                                                                                        | 22     | 6  | 22  | 4,8                                                                                   | 6              |                |                | 20,14                                                                                                                 | 5  | 20,14  | 9,75  | 5              |                |                |
| bj beta; ob. Donzdorfer Sandst.                                                                                                     | 6      | 15 | 80  | 123,0                                                                                 | 9              | 6              | 6,0            | 35,19                                                                                                                 | 4  | 35,19  | 25,51 | 4              |                |                |
| bj gamma; Wedelsandstein                                                                                                            | 13     | 29 | 15  | 6,9                                                                                   | 27             | 13             | 4,8            | 10,36                                                                                                                 | 9  | 10,36  | 4,11  | 9              |                |                |
| bj delta; Dorsetensienbank                                                                                                          | 18     | 8  | 34  | 44,1                                                                                  | 7              | 18             | 6,0            | 19,50                                                                                                                 | 6  | 19,50  | 9,74  | 6              |                |                |
| bj delta; Humphriesi-Oolith                                                                                                         | 17     | 5  | 146 | 288,0                                                                                 | 4              | 17             | 6,5            | 30,39                                                                                                                 | 4  | 30,39  | 46,49 | 4              |                |                |
| bj delta; Coronatenschichten                                                                                                        | 24     | 6  | 102 | 143,1                                                                                 | 4              | 24             | 8,1            | 36,41                                                                                                                 | 4  | 39,96  | 7,10  | 3              | 36,41          | 0,57           |
| bj delta; Blagdeni-Schichten                                                                                                        | 25     | 10 | 36  | 28,6                                                                                  | 8              | 25             | 3,9            | 24,40                                                                                                                 | 5  | 24,40  | 15,41 | 5              |                |                |
| bj delta; Subfurcatus-Oolith                                                                                                        | 259    | 5  | 259 | 198,5                                                                                 | 5              |                |                | 63,73                                                                                                                 | 4  | 63,73  | 25,09 | 4              |                |                |
| bj delta; Hamitenton                                                                                                                | 24     | 19 | 36  | 50,3                                                                                  | 18             | 24             | 4,2            | 25,29                                                                                                                 | 5  | 25,29  | 11,63 | 5              |                |                |
| bj delta; Parkinsoni-Oolith                                                                                                         | 196    | 1  | 196 |                                                                                       |                |                |                | 440,71                                                                                                                | 1  | 440,71 |       |                |                |                |
| bj epsilon; Obere Braunjuratone                                                                                                     | 31     | 4  | 102 | 140,8                                                                                 | 3              | 31             | 6,1            | 32,77                                                                                                                 | 2  | 32,77  | 6,70  |                |                |                |
| bj zeta; Macrocephalus-Oolith                                                                                                       | 359    | 3  | 359 | 329,3                                                                                 | 3              |                |                | 45,06                                                                                                                 | 2  | 45,06  | 16,52 |                |                |                |
| bj zeta; Ornatenton                                                                                                                 | 17     | 21 | 33  | 54,4                                                                                  | 18             | 17             | 6,3            | 33,45                                                                                                                 | 7  | 33,45  | 34,45 | 7              |                |                |
| wj alpha; Grenzglaukonit                                                                                                            | 25     | 3  | 25  | 18,4                                                                                  | 3              |                |                | 5,67                                                                                                                  | 3  | 8,38   | 4,70  | 2              | 5,67           | 0,05           |
| wj alpha, Untere Weißjuramergel                                                                                                     | 35     | 7  | 35  | 3,9                                                                                   | 7              |                |                | 2,69                                                                                                                  | 6  | 2,69   | 1,46  | 6              |                |                |
| ob. wj gamma, Mergel                                                                                                                | 10     | 12 | 10  | 2,6                                                                                   | 12             |                |                | 1,02                                                                                                                  | 12 | 1,45   | 1,70  | 11             | 1,02           | 0,82           |

Ges. = Gesamtgehalte (mg/kg)

n = Probenanzahl

x = Mittelwert aller Meßwerte

s = Standardabweichung aller Meßwerte

n<sub>E</sub> = Anzahl der Extremwertex<sub>E</sub> = Mittelwert nach Extremwerteliminierungs<sub>E</sub> = Standardabweichung nach Extremwerteliminierung

Tab. 7.3.9.: Durchschnittliche Kupfergehalte in den geologischen Formationen:

| Grenzwert nach KLOKE [1980]<br>bzw. AbfKlärV [1992] bzw.<br>VwV an. Schadst.[B.-W. 1993]<br><br>60 mg/kg<br>(nur für Gesamtgehalte) | Grenzwert<br>TrinkwV [1990]:<br><br>3 mg/l<br>(nur für S4-Werte) |    |      | Z - Werte (Boden) LAGA [1994]:<br>Z 0 : 40 mg/kg<br>Z 1.1 : 100 mg/kg<br>Z 1.2 : 200 mg/kg<br>Z 2 : 600 mg/kg |                |                |                |         | Z - Werte (Eluat) LAGA [1994]:<br>Z 0 : 50 µg/l nur<br>Z 1.1 : 50 µg/l für<br>Z 1.2 : 150 µg/l S4-Werte<br>Z 2 : 300 µg/l |        |        |                |                |                |
|-------------------------------------------------------------------------------------------------------------------------------------|------------------------------------------------------------------|----|------|---------------------------------------------------------------------------------------------------------------|----------------|----------------|----------------|---------|---------------------------------------------------------------------------------------------------------------------------|--------|--------|----------------|----------------|----------------|
| Geologische Formation                                                                                                               | Ges.                                                             | n  | x    | S                                                                                                             | Π <sub>E</sub> | X <sub>E</sub> | S <sub>E</sub> | S4      | Π                                                                                                                         | X      | S      | Π <sub>E</sub> | X <sub>E</sub> | S <sub>E</sub> |
| Untere Nachweisgrenze                                                                                                               | 0,01                                                             |    |      |                                                                                                               |                |                |                | 0,0010  |                                                                                                                           |        |        |                |                |                |
| so, Röttone                                                                                                                         | 0,8                                                              | 10 | 1,1  | 1,2                                                                                                           | 9              | 0,8            | 0,6            | 0,0021  | 10                                                                                                                        | 0,0021 | 0,0009 | 10             |                |                |
| mo2, Mergel/Tone an d. Basis                                                                                                        | 17,0                                                             | 5  | 17,0 | 2,3                                                                                                           | 5              |                |                | 0,0023  | 5                                                                                                                         | 0,0060 | 0,0085 | 4              | 0,0023         | 0,0011         |
| mo2, Tonhorizonte                                                                                                                   | 41,7                                                             | 10 | 42,6 | 8,4                                                                                                           | 4              | 41,7           | 4,2            | 0,0014  | 10                                                                                                                        | 0,0014 | 0,0007 | 10             |                |                |
| mo2, Mergel/Tone im ob. Abschnitt                                                                                                   | 19,2                                                             | 5  | 19,2 | 4,2                                                                                                           | 5              |                |                | 0,0012  | 5                                                                                                                         | 0,0012 | 0,0010 | 5              |                |                |
| ku Basis, Vitriolschiefer                                                                                                           | 41,2                                                             | 10 | 41,2 | 9,2                                                                                                           | 10             |                |                | < 0,001 | 10                                                                                                                        | 0,0013 | 0,0014 | 9              | 0,0008         | 0,0005         |
| ku, Estherienschiechten                                                                                                             | 44,4                                                             | 5  | 44,4 | 33,4                                                                                                          | 5              |                |                | 0,0020  | 4                                                                                                                         | 0,0020 | 0,0011 | 4              |                |                |
| km1, Grundgipsschichten                                                                                                             | 3,8                                                              | 10 | 5,5  | 6,4                                                                                                           | 9              | 3,8            | 3,7            | 0,1236  | 10                                                                                                                        | 0,1546 | 0,1251 | 9              | 0,1236         | 0,0821         |
| km1, Bochinger Horizont                                                                                                             | 8,3                                                              | 6  | 33,9 | 63,3                                                                                                          | 5              | 8,3            | 10,5           | 0,0050  | 4                                                                                                                         | 0,0050 | 0,0012 | 4              |                |                |
| km1, Dunkelrote Mergel                                                                                                              | 1,3                                                              | 5  | 1,3  | 0,6                                                                                                           | 5              |                |                | 0,0014  | 4                                                                                                                         | 0,0014 | 0,0011 | 4              |                |                |
| km1, Mittlerer Gipshorizont                                                                                                         | 4,3                                                              | 5  | 12,4 | 17,7                                                                                                          | 4              | 4,3            | 1,2            | 0,0415  | 5                                                                                                                         | 0,0415 | 0,0265 | 5              |                |                |
| km1, Estherienschiechten                                                                                                            | 1,4                                                              | 6  | 37,0 | 87,2                                                                                                          | 5              | 1,4            | 1,3            | 0,0026  | 4                                                                                                                         | 0,0026 | 0,0025 | 4              |                |                |
| km2, dunkle Tonsteine im Schilfsandstein                                                                                            | < 0,01                                                           | 5  | 0,04 | 0,08                                                                                                          | 4              | 0,005          | 0,0            | 0,0023  | 5                                                                                                                         | 0,0023 | 0,0011 | 5              |                |                |
| km2, Schilfsandstein                                                                                                                | 1,5                                                              | 3  | 1,5  | 2,1                                                                                                           | 3              |                |                | < 0,001 | 3                                                                                                                         |        |        |                |                |                |
| km2, Dunkle Mergel des oberen km2                                                                                                   | 2,8                                                              | 5  | 2,8  | 2,4                                                                                                           | 5              |                |                | 0,0019  | 5                                                                                                                         | 0,0019 | 0,0009 | 5              |                |                |
| km3u, Rote Wand                                                                                                                     | 1,3                                                              | 6  | 1,3  | 1,7                                                                                                           | 6              |                |                | 0,0014  | 6                                                                                                                         | 0,0014 | 0,0007 | 6              |                |                |
| km3u, Untere Bunte Mergel                                                                                                           | 2,9                                                              | 6  | 16,1 | 32,4                                                                                                          | 5              | 2,9            | 0,4            | < 0,001 | 6                                                                                                                         | 0,0032 | 0,0052 | 4              | 0,0005         | 0,0000         |
| km3l, Lehrbergschichten                                                                                                             | 5,3                                                              | 1  | 5,3  |                                                                                                               |                |                |                | 0,0012  | 1                                                                                                                         | 0,0012 |        |                |                |                |
| km3o, Obere Bunte Mergel                                                                                                            | 32,9                                                             | 10 | 32,9 | 31,1                                                                                                          | 10             |                |                | 0,0014  | 10                                                                                                                        | 0,0014 | 0,0009 | 10             |                |                |
| km4, Stubensandstein                                                                                                                | 19,5                                                             | 4  | 19,5 | 27,7                                                                                                          | 4              |                |                | < 0,001 | 3                                                                                                                         |        |        |                |                |                |
| km5, Knollenmergel                                                                                                                  | 0,5                                                              | 8  | 4,3  | 7,8                                                                                                           | 6              | 0,5            | 0,6            | < 0,001 | 8                                                                                                                         | 0,0014 | 0,0015 | 5              | 0,0005         | 0,0000         |
| ko, Rhät-Tonstein                                                                                                                   | 21,9                                                             | 1  | 21,9 |                                                                                                               |                |                |                | 0,0036  | 1                                                                                                                         | 0,0036 |        |                |                |                |
| sj alpha1, Psilonotenschichten, Kalkstein                                                                                           | 13,9                                                             | 2  | 13,9 | 14,7                                                                                                          |                |                |                | 0,0032  | 2                                                                                                                         | 0,0032 | 0,0039 |                |                |                |
| sj alpha1, Psilonotentone                                                                                                           | 20,6                                                             | 6  | 20,6 | 3,8                                                                                                           | 6              |                |                | 0,0027  | 5                                                                                                                         | 0,0027 | 0,0015 | 5              |                |                |
| sj alpha2, Angulatensandstein                                                                                                       | 3,1                                                              | 2  | 3,1  | 0,3                                                                                                           |                |                |                | 0,0142  | 2                                                                                                                         | 0,0142 | 0,0184 |                |                |                |
| sj alpha2, Angulatenschichten, Tonstein                                                                                             | 17,4                                                             | 1  | 17,4 |                                                                                                               |                |                |                | < 0,001 | 1                                                                                                                         |        |        |                |                |                |
| sj beta, Untere Schwarzjuratone                                                                                                     | 26,0                                                             | 2  | 26,0 | 0,7                                                                                                           |                |                |                | 0,0017  | 2                                                                                                                         | 0,0017 | 0,0017 |                |                |                |
| sj gamma, Untere Schwarzjuramergel                                                                                                  | 13,0                                                             | 5  | 13,6 | 7,6                                                                                                           | 2              | 13,0           | 2,6            | 0,0022  | 5                                                                                                                         | 0,0022 | 0,0014 | 5              |                |                |
| sj delta, Obere Schwarzjuratone                                                                                                     | 27,2                                                             | 3  | 27,2 | 5,3                                                                                                           | 3              |                |                | 0,0035  | 3                                                                                                                         | 0,0035 | 0,0003 | 3              |                |                |
| sj epsilon1, Seegrasschiefer                                                                                                        | 44,6                                                             | 10 | 44,6 | 4,0                                                                                                           | 10             |                |                | 0,0760  | 10                                                                                                                        | 0,0760 | 0,0584 | 10             |                |                |
| sj epsilon2, Tonmergel                                                                                                              | 46,7                                                             | 10 | 46,7 | 4,8                                                                                                           | 10             |                |                | 0,0090  | 10                                                                                                                        | 0,0090 | 0,0098 | 10             |                |                |
| sj epsilon2, Stinkkalke                                                                                                             | 27,9                                                             | 5  | 27,9 | 16,4                                                                                                          | 5              |                |                | 0,0071  | 5                                                                                                                         | 0,0071 | 0,0042 | 5              |                |                |
| sj epsilon3, Wilde Schiefer                                                                                                         | 57,5                                                             | 10 | 57,5 | 2,9                                                                                                           | 10             |                |                | 0,0373  | 10                                                                                                                        | 0,0373 | 0,0397 | 10             |                |                |
| sj zeta, Obere Schwarzjuramergel                                                                                                    | 54,5                                                             | 5  | 54,5 | 4,0                                                                                                           | 5              |                |                | 0,0061  | 5                                                                                                                         | 0,0096 | 0,0080 | 4              | 0,0061         | 0,0019         |
| bj alpha, Opalinuston                                                                                                               | 24,1                                                             | 15 | 24,1 | 4,4                                                                                                           | 15             |                |                | 0,0020  | 15                                                                                                                        | 0,0020 | 0,0012 | 15             |                |                |
| bj beta; Zopfplatten                                                                                                                | 14,8                                                             | 5  | 14,8 | 2,1                                                                                                           | 5              |                |                | 0,0019  | 5                                                                                                                         | 0,0019 | 0,0012 | 5              |                |                |
| bj beta; Tolutariazone                                                                                                              | 15,1                                                             | 4  | 15,1 | 8,9                                                                                                           | 4              |                |                | 0,0017  | 4                                                                                                                         | 0,0017 | 0,0006 | 4              |                |                |
| bj beta; unt. Donzdorfer Sandst.                                                                                                    | 8,8                                                              | 12 | 8,8  | 6,6                                                                                                           | 12             |                |                | 0,0023  | 12                                                                                                                        | 0,0023 | 0,0015 | 12             |                |                |
| bj beta; Personatensandstein                                                                                                        | 10,1                                                             | 6  | 10,1 | 2,9                                                                                                           | 6              |                |                | 0,0035  | 6                                                                                                                         | 0,0035 | 0,0012 | 6              |                |                |
| bj beta; ob. Donzdorfer Sandst.                                                                                                     | 4,1                                                              | 15 | 4,1  | 3,8                                                                                                           | 15             |                |                | < 0,001 | 13                                                                                                                        | 0,0031 | 0,0051 | 9              | 0,0007         | 0,0003         |
| bj gamma; Wedelsandstein                                                                                                            | 10,4                                                             | 29 | 10,4 | 4,8                                                                                                           | 29             |                |                | 0,0017  | 29                                                                                                                        | 0,0017 | 0,0011 | 29             |                |                |
| bj delta; Dorsetensienbank                                                                                                          | 9,1                                                              | 8  | 9,1  | 3,7                                                                                                           | 8              |                |                | 0,0025  | 5                                                                                                                         | 0,0025 | 0,0007 | 5              |                |                |
| bj delta; Humphriesi-Oolith                                                                                                         | 4,9                                                              | 5  | 4,9  | 1,4                                                                                                           | 5              |                |                | 0,0038  | 4                                                                                                                         | 0,0038 | 0,0032 | 4              |                |                |
| bj delta; Coronatenschichten                                                                                                        | 5,2                                                              | 6  | 5,2  | 4,4                                                                                                           | 6              |                |                | 0,0025  | 6                                                                                                                         | 0,0025 | 0,0018 | 6              |                |                |
| bj delta; Blagdeni-Schichten                                                                                                        | 11,3                                                             | 10 | 11,3 | 2,3                                                                                                           | 10             |                |                | 0,0015  | 10                                                                                                                        | 0,0015 | 0,0006 | 10             |                |                |
| bj delta; Subfurcatus-Oolith                                                                                                        | 8,2                                                              | 5  | 8,2  | 7,0                                                                                                           | 5              |                |                | 0,0047  | 4                                                                                                                         | 0,0047 | 0,0038 | 4              |                |                |
| bj delta; Hamitenton                                                                                                                | 12,2                                                             | 19 | 13,4 | 6,1                                                                                                           | 18             | 12,2           | 3,2            | 0,0016  | 19                                                                                                                        | 0,0020 | 0,0017 | 17             | 0,0016         | 0,0010         |
| bj delta; Parkinsoni-Oolith                                                                                                         | 18,0                                                             | 1  | 18,0 |                                                                                                               |                |                |                | 0,0019  | 1                                                                                                                         | 0,0019 |        |                |                |                |
| bj epsilon; Obere Braunjuratone                                                                                                     | 25,5                                                             | 4  | 25,5 | 15,9                                                                                                          | 4              |                |                | 0,0025  | 4                                                                                                                         | 0,0025 | 0,0015 | 4              |                |                |
| bj zeta; Macrocephalus-Oolith                                                                                                       | 12,3                                                             | 3  | 12,3 | 10,6                                                                                                          | 3              |                |                | 0,0016  | 3                                                                                                                         | 0,0016 | 0,0005 | 3              |                |                |
| bj zeta; Ornatenton                                                                                                                 | 18,4                                                             | 21 | 18,4 | 6,6                                                                                                           | 21             |                |                | 0,0017  | 20                                                                                                                        | 0,0020 | 0,0016 | 19             | 0,0017         | 0,0010         |
| wj alpha; Grenzglaukonit                                                                                                            | 13,6                                                             | 3  | 13,6 | 4,8                                                                                                           | 3              |                |                | 0,0049  | 3                                                                                                                         | 0,0049 | 0,0055 | 3              |                |                |
| wj alpha, Untere Weißjuramergel                                                                                                     | 6,8                                                              | 7  | 6,8  | 0,7                                                                                                           | 7              |                |                | < 0,001 | 7                                                                                                                         |        |        |                |                |                |
| ob. wj gamma, Mergel                                                                                                                | 5,4                                                              | 12 | 5,4  | 1,4                                                                                                           | 12             |                |                | 0,0012  | 12                                                                                                                        | 0,0012 | 0,0009 | 12             |                |                |

Ges. = Gesamtgehalte (mg/kg)

n = Probenanzahl

x = Mittelwert aller Meßwerte

s = Standardabweichung aller Meßwerte

S4 = S4-Elutionsgehalte (mg/l)

n<sub>E</sub> = Anzahl der Extremwertex<sub>E</sub> = Mittelwert nach Extremwerteliminierungs<sub>E</sub> = Standardabweichung nach Extremwerteliminierung

Tab. 7.3.10.: Durchschnittliche Bariumgehalte in den geologischen Formationen:

| Grenzwert TrinkwV [1990]:                 |       | Prüfwert nach "Hollandliste" |     |      |                |                |                |        |    |        |        |                |                |                |
|-------------------------------------------|-------|------------------------------|-----|------|----------------|----------------|----------------|--------|----|--------|--------|----------------|----------------|----------------|
| 1 mg/l                                    |       | [1988]                       |     |      |                |                |                |        |    |        |        |                |                |                |
| (nur für S4-Werte)                        |       | 400 mg/kg                    |     |      |                |                |                |        |    |        |        |                |                |                |
| (nur für Gesamtgehalte)                   |       |                              |     |      |                |                |                |        |    |        |        |                |                |                |
| Geologische Formation                     | Ges.  | n                            | X   | S    | n <sub>E</sub> | X <sub>E</sub> | S <sub>E</sub> | S4     | n  | X      | S      | n <sub>E</sub> | X <sub>E</sub> | S <sub>E</sub> |
| Untere Nachweisgrenze                     | 1,5   |                              |     |      |                |                |                | 0,0010 |    |        |        |                |                |                |
| so, Röttone                               | < 1,5 | 10                           | 14  | 26   | 6              | 1              | 0              | 0,0038 | 10 | 0,0038 | 0,0013 | 10             |                |                |
| mo2, Mergel/Tone an d. Basis              | < 1,5 | 5                            |     |      |                |                |                | 0,0075 | 5  | 0,0309 | 0,0523 | 4              | 0,0075         | 0,0017         |
| mo2, Tonhorizonte                         | < 1,5 | 10                           | 4   | 12   | 9              | 1              | 0              | 0,0091 | 10 | 0,0148 | 0,0107 | 7              | 0,0091         | 0,0021         |
| mo2, Mergel/Tone im ob. Abschnitt         | < 1,5 | 5                            |     |      |                |                |                | 0,0067 | 5  | 0,0067 | 0,0010 | 5              |                |                |
| ku Basis, Vitriolschiefer                 | 20    | 10                           | 22  | 5    | 8              | 20             | 3              | 0,0053 | 10 | 0,0060 | 0,0026 | 9              | 0,0053         | 0,0015         |
| ku, Estherienschiechten                   | 98    | 5                            | 100 | 4    | 4              | 98             | 2              | 0,0201 | 4  | 0,0244 | 0,0087 | 3              | 0,0201         | 0,0015         |
| km1, Grundgipsschichten                   | < 1,5 | 10                           | 2   | 3    | 9              | 1              | 0              | 0,3047 | 10 | 0,3047 | 0,2310 | 10             |                |                |
| km1, Bochinger Horizont                   | 40    | 6                            | 40  | 32   | 6              |                |                | 0,0314 | 4  | 0,0314 | 0,0119 | 4              |                |                |
| km1, Dunkelrote Mergel                    | 120   | 5                            | 120 | 20   | 5              |                |                | 0,0388 | 4  | 0,0315 | 0,0144 | 3              | 0,0388         | 0,0003         |
| km1, Mittlerer Gipshorizont               | 46    | 5                            | 46  | 19   | 5              |                |                | 0,1515 | 5  | 0,1515 | 0,1056 | 5              |                |                |
| km1, Estherienschiechten                  | 87    | 6                            | 108 | 54   | 5              | 87             |                | 0,0831 | 4  | 0,0831 | 0,0360 | 4              |                |                |
| km2, dunkle Tonsteine im Schilfsandstein  | 148   | 5                            | 148 | 27   | 5              |                |                | 0,0362 | 5  | 0,0362 | 0,0196 | 5              |                |                |
| km2, Schilfsandstein                      | 37    | 3                            | 37  | 8    | 3              |                |                | 0,0041 | 3  | 0,0041 | 0,0028 | 3              |                |                |
| km2, Dunkle Mergel des oberen km2         | 188   | 5                            | 188 | 56   | 5              |                |                | 0,0561 | 5  | 0,0479 | 0,0188 | 4              | 0,0561         | 0,0052         |
| km3u, Rote Wand                           | 189   | 6                            | 189 | 15   | 6              |                |                | 0,0575 | 6  | 0,0575 | 0,0108 | 6              |                |                |
| km3u, Untere Bunte Mergel                 | 179   | 6                            | 271 | 233  | 5              | 179            | 63             | 0,1907 | 6  | 0,1907 | 0,2036 | 6              |                |                |
| km3l, Lehrbergschichten                   | 227   | 1                            | 227 |      |                |                |                | 0,0673 | 1  | 0,0673 |        |                |                |                |
| km3o, Obere Bunte Mergel                  | 169   | 10                           | 285 | 367  | 9              | 169            | 42             | 0,0901 | 10 | 0,1089 | 0,0644 | 9              | 0,0901         | 0,0270         |
| km4, Stubensandstein                      | 231   | 4                            | 231 | 242  | 4              |                |                | 0,0232 | 3  | 0,0232 | 0,0165 | 3              |                |                |
| km5, Knollenmergel                        | 84    | 8                            | 568 | 1089 | 5              | 84             | 24             | 0,0668 | 8  | 0,0668 | 0,0664 | 8              |                |                |
| ko, Rhät-Tonstein                         | 11    | 1                            | 11  |      |                |                |                | 0,0145 | 1  | 0,0145 |        |                |                |                |
| sj alpha1, Psilonotenschichten, Kalkstein | 18    | 2                            | 18  | 1    |                |                |                | 0,0145 | 2  | 0,0145 | 0,0023 |                |                |                |
| sj alpha1, Psilonotentone                 | 43    | 6                            | 43  | 11   | 6              |                |                | 0,0078 | 5  | 0,0078 | 0,0040 | 5              |                |                |
| sj alpha2, Angulatensandstein             | 33    | 2                            | 33  | 7    |                |                |                | 0,0660 | 2  | 0,0660 | 0,0743 |                |                |                |
| sj alpha2, Angulatenschichten, Tonstein   | 23    | 1                            | 23  |      |                |                |                | 0,0251 | 1  | 0,0251 |        |                |                |                |
| sj beta, Untere Schwarzjuratone           | 154   | 2                            | 154 | 0    |                |                |                | 0,0049 | 2  | 0,0049 | 0,0001 |                |                |                |
| sj gamma, Untere Schwarzjuramergel        | 54    | 5                            | 54  | 17   | 5              |                |                | 0,0217 | 5  | 0,0217 | 0,0062 | 5              |                |                |
| sj delta, Obere Schwarzjuratone           | 134   | 3                            | 134 | 53   | 3              |                |                | 0,0069 | 3  | 0,0069 | 0,0025 | 3              |                |                |
| sj epsilon1, Seegrasschiefer              | 69    | 10                           | 69  | 6    | 10             |                |                | 0,3280 | 10 | 0,3280 | 0,1843 | 10             |                |                |
| sj epsilon2, Tonmergel                    | 71    | 10                           | 71  | 5    | 10             |                |                | 0,1564 | 10 | 0,1564 | 0,1890 | 10             |                |                |
| sj epsilon2, Stinkkalke                   | 75    | 5                            | 75  | 22   | 5              |                |                | 0,2252 | 5  | 0,2252 | 0,1822 | 5              |                |                |
| sj epsilon3, Wilde Schiefer               | 81    | 10                           | 81  | 4    | 10             |                |                | 0,1859 | 10 | 0,1859 | 0,1805 | 10             |                |                |
| sj zeta, Obere Schwarzjuramergel          | 110   | 5                            | 110 | 24   | 5              |                |                | 0,2124 | 5  | 0,2124 | 0,2327 | 5              |                |                |
| bj alpha, Opalinuston                     | 59    | 15                           | 59  | 4    | 15             |                |                | 0,0158 | 15 | 0,0174 | 0,0069 | 14             | 0,0158         | 0,0034         |
| bj beta; Zopfplatten                      | 198   | 5                            | 198 | 206  | 5              |                |                | 0,0293 | 5  | 0,0245 | 0,0109 | 4              | 0,0293         | 0,0023         |
| bj beta; Tolutariazone                    | 19    | 4                            | 19  | 3    | 4              |                |                | 0,0043 | 4  | 0,0043 | 0,0012 | 4              |                |                |
| bj beta; unt. Donzdorfer Sandst.          | 9     | 12                           | 9   | 6    | 12             |                |                | 0,0076 | 12 | 0,0076 | 0,0051 | 12             |                |                |
| bj beta; Personatensandstein              | 11    | 6                            | 11  | 3    | 6              |                |                | 0,0170 | 6  | 0,0170 | 0,0055 | 6              |                |                |
| bj beta; ob. Donzdorfer Sandst.           | 11    | 15                           | 48  | 135  | 13             | 11             | 7              | 0,0113 | 13 | 0,0132 | 0,0089 | 12             | 0,0113         | 0,0060         |
| bj gamma; Wedelsandstein                  | 26    | 29                           | 143 | 470  | 23             | 26             | 17             | 0,0171 | 29 | 0,0171 | 0,0098 | 29             |                |                |
| bj delta; Dorsetensienbank                | 16    | 8                            | 46  | 70   | 6              | 16             | 5              | 0,0205 | 5  | 0,0205 | 0,0136 | 5              |                |                |
| bj delta; Humphriesi-Oolith               | 31    | 5                            | 197 | 371  | 4              | 31             | 23             | 0,0121 | 4  | 0,0121 | 0,0059 | 4              |                |                |
| bj delta; Coronatenschichten              | 14    | 6                            | 14  | 4    | 6              |                |                | 0,0085 | 6  | 0,0085 | 0,0024 | 6              |                |                |
| bj delta; Blagdeni-Schichten              | 22    | 10                           | 55  | 79   | 8              | 22             | 6              | 0,0137 | 10 | 0,0137 | 0,0064 | 10             |                |                |
| bj delta; Subfurcatus-Oolith              | 14    | 5                            | 18  | 10   | 4              | 14             | 2              | 0,0100 | 4  | 0,0131 | 0,0062 | 3              | 0,0100         | 0,0006         |
| bj delta; Hamitenton                      | 18    | 19                           | 18  | 3    | 19             |                |                | 0,0065 | 19 | 0,0065 | 0,0027 | 19             |                |                |
| bj delta; Parkinsoni-Oolith               | 8     | 1                            | 8   |      |                |                |                | 0,0063 | 1  | 0,0063 |        |                |                |                |
| bj epsilon; Obere Braunjuratone           | 20    | 4                            | 20  | 5    | 4              |                |                | 0,0072 | 4  | 0,0112 | 0,0081 | 3              | 0,0072         | 0,0013         |
| bj zeta; Macrocephalus-Oolith             | 20    | 3                            | 20  | 8    | 3              |                |                | 0,0070 | 3  | 0,0070 | 0,0055 | 3              |                |                |
| bj zeta; Ornatenton                       | 19    | 21                           | 22  | 10   | 19             | 19             | 4              | 0,0144 | 20 | 0,0164 | 0,0148 | 19             | 0,0144         | 0,0122         |
| wj alpha; Grenzglaukonit                  | 52    | 3                            | 815 | 1322 | 2              | 52             | 44             | 0,0496 | 3  | 0,0496 | 0,0276 | 3              |                |                |
| wj alpha, Untere Weißjuramergel           | 30    | 7                            | 30  | 4    | 7              |                |                | 0,0072 | 7  | 0,0072 | 0,0022 | 7              |                |                |
| ob. wj gamma, Mergel                      | 19    | 12                           | 19  | 5    | 12             |                |                | 0,0026 | 12 | 0,0033 | 0,0026 | 11             | 0,0026         | 0,0007         |

Ges. = Gesamtgehalte (mg/kg)

n = Probenanzahl

x = Mittelwert aller Meßwerte

s = Standardabweichung aller Meßwerte

S4 = S4-Elutionsgehalte (mg/l)

n<sub>E</sub> = Anzahl der Extremwertex<sub>E</sub> = Mittelwert nach Extremwerteliminierungs<sub>E</sub> = Standardabweichung nach Extremwerteliminierung

Tab. 7.3.11.: Durchschnittliche Se - und Hg - Gehalte in d. geologischen Formationen:

| Se-Grenzwert nach EIKMANN-KLOKE [1993]    |          |    |      | Hg-Grenzwert nach EIKMANN-KLOKE [1993] |                |                |                | Z - Werte (Boden) LAGA [1994]:                                          |    |      |      |                |                |                |  |
|-------------------------------------------|----------|----|------|----------------------------------------|----------------|----------------|----------------|-------------------------------------------------------------------------|----|------|------|----------------|----------------|----------------|--|
| 1 mg/kg                                   |          |    |      | 0,5 mg/kg                              |                |                |                | Z 0 : 0,3 mg/kg<br>Z 1.1 : 1 mg/kg<br>Z 1.2 : 3 mg/kg<br>Z 2 : 10 mg/kg |    |      |      |                |                |                |  |
| (nur für Gesamtgehalte)                   |          |    |      | (nur für Gesamtgehalte)                |                |                |                | nur<br>für<br>Hg                                                        |    |      |      |                |                |                |  |
| Geologische Formation                     | Se-Ges.  | n  | X    | S                                      | n <sub>E</sub> | X <sub>E</sub> | S <sub>E</sub> | Hg-Ges.                                                                 | n  | X    | S    | n <sub>E</sub> | X <sub>E</sub> | S <sub>E</sub> |  |
| Untere Nachweisgrenze                     | 0,0005   |    |      |                                        |                |                |                | 0,0007                                                                  |    |      |      |                |                |                |  |
| so, Röttone                               | 0,05     | 10 | 0,05 | 0,10                                   | 10             |                |                | 1,16                                                                    | 10 | 1,16 | 0,85 | 10             |                |                |  |
| mo2, Mergel/Tone an d. Basis              | 0,27     | 4  | 0,27 | 0,08                                   | 4              |                |                | 0,27                                                                    | 4  | 0,27 | 0,18 | 4              |                |                |  |
| mo2, Tonhorizonte                         | 0,03     | 10 | 0,06 | 0,10                                   | 9              | 0,03           | 0,04           | 0,07                                                                    | 10 | 0,07 | 0,11 | 10             |                |                |  |
| mo2, Mergel/Tone im ob. Abschnitt         | 0,08     | 5  | 0,08 | 0,05                                   |                |                |                | 0,06                                                                    | 5  | 0,06 | 0,08 | 5              |                |                |  |
| ku Basis, Vitriolschiefer                 | < 0,0005 | 8  | 0,08 | 0,17                                   | 6              | 0,0003         | 0,00           | 0,05                                                                    | 8  | 0,05 | 0,09 | 8              |                |                |  |
| ku, Estherienschiefer                     | < 0,0005 | 3  | 0,11 | 0,19                                   | 2              | 0,0003         | 0,00           | < 0,0007                                                                | 3  |      |      |                |                |                |  |
| km1, Grundgipsschichten                   | < 0,0005 | 9  | 0,01 | 0,02                                   | 8              | 0,0003         | 0,00           | < 0,0007                                                                | 9  |      |      |                |                |                |  |
| km1, Bochsinger Horizont                  | < 0,0005 | 6  | 0,01 | 0,02                                   | 5              | 0,0003         | 0,00           | < 0,0007                                                                | 6  | 0,04 | 0,10 | 4              | 0,0004         | 0,00           |  |
| km1, Dunkelrote Mergel                    | 0,02     | 5  | 0,02 | 0,03                                   | 5              |                |                | 0,11                                                                    | 5  | 0,11 | 0,16 | 5              |                |                |  |
| km1, Mittlerer Gipschizont                | 0,10     | 4  | 0,10 | 0,14                                   | 4              |                |                | < 0,0007                                                                | 4  |      |      |                |                |                |  |
| km1, Estherienschiefer                    | 0,02     | 6  | 0,06 | 0,09                                   | 5              | 0,02           | 0,03           | 0,04                                                                    | 6  | 0,04 | 0,07 | 6              |                |                |  |
| km2, dunkle Tonsteine im Schiffsandstein  | 0,18     | 5  | 0,18 | 0,17                                   | 5              |                |                | 0,07                                                                    | 5  | 0,07 | 0,11 | 5              |                |                |  |
| km2, Schiffsandstein                      | 0,20     | 3  | 0,20 | 0,26                                   | 3              |                |                | < 0,0007                                                                | 3  | 0,05 | 0,09 | 2              | 0,0004         | 0,00           |  |
| km2, Dunkle Mergel des oberen km2         | 0,08     | 5  | 0,08 | 0,11                                   | 5              |                |                | 0,09                                                                    | 5  | 0,09 | 0,11 | 5              |                |                |  |
| km3u, Rote Wand                           | < 0,0005 | 6  | 0,04 | 0,11                                   | 5              | 0,0003         | 0,00           | 0,13                                                                    | 6  | 0,13 | 0,13 | 6              |                |                |  |
| km3u, Untere Bunte Mergel                 | 0,46     | 6  | 0,46 | 0,38                                   | 6              |                |                | 0,14                                                                    | 6  | 0,14 | 0,15 | 6              |                |                |  |
| km3l, Lehrbergschichten                   | 1,04     | 1  | 1,04 |                                        |                |                |                | 0,29                                                                    | 1  | 0,29 |      |                |                |                |  |
| km3o, Obere Bunte Mergel                  | 0,07     | 10 | 0,11 | 0,16                                   | 9              | 0,07           | 0,09           | < 0,0007                                                                | 10 | 0,09 | 0,27 | 7              | 0,0004         | 0,00           |  |
| km4, Stubensandstein                      | 0,14     | 4  | 0,14 | 0,18                                   | 4              |                |                | < 0,0007                                                                | 4  |      |      |                |                |                |  |
| km5, Knollenmergel                        | 0,13     | 8  | 0,13 | 0,13                                   | 8              |                |                | < 0,0007                                                                | 8  |      |      |                |                |                |  |
| ko, Rhät-Tonstein                         | 0,19     | 1  | 0,19 |                                        |                |                |                | < 0,0007                                                                | 1  |      |      |                |                |                |  |
| sj alpha1, Psilonotenschichten, Kalkstein | 0,16     | 1  | 0,16 |                                        |                |                |                | < 0,0007                                                                | 1  |      |      |                |                |                |  |
| sj alpha1, Psilonotentone                 | 0,21     | 6  | 0,43 | 0,55                                   | 5              | 0,21           | 0,08           | < 0,0007                                                                | 6  | 0,02 | 0,05 | 5              | 0,0004         | 0,00           |  |
| sj alpha2, Angulatensandstein             | 0,53     | 2  | 0,53 | 0,70                                   |                |                |                | < 0,0007                                                                | 2  |      |      |                |                |                |  |
| sj alpha2, Angulatenschichten, Tonstein   | < 0,0005 | 1  |      |                                        |                |                |                | < 0,0007                                                                | 1  |      |      |                |                |                |  |
| sj beta, Untere Schwarzjuratone           | 0,20     | 2  | 0,20 | 0,17                                   |                |                |                | < 0,0007                                                                | 2  |      |      |                |                |                |  |
| sj gamma, Untere Schwarzjuramergel        | 0,24     | 5  | 0,24 | 0,21                                   | 5              |                |                | < 0,0007                                                                | 5  |      |      |                |                |                |  |
| sj delta, Obere Schwarzjuratone           | 0,11     | 3  | 0,11 | 0,10                                   | 3              |                |                | < 0,0007                                                                | 3  |      |      |                |                |                |  |
| sj epsilon1, Seegrasschiefer              | 1,17     | 10 | 1,17 | 0,93                                   | 10             |                |                | < 0,0007                                                                | 10 | 0,04 | 0,12 | 8              | 0,0004         | 0,00           |  |
| sj epsilon2, Tonmergel                    | 1,78     | 10 | 1,84 | 1,00                                   | 8              | 1,78           | 0,20           | 0,04                                                                    | 10 | 0,09 | 0,19 | 9              | 0,04           | 0,07           |  |
| sj epsilon3, Stinkkalke                   | 0,72     | 5  | 0,72 | 0,11                                   | 5              |                |                | < 0,0007                                                                | 5  | 0,01 | 0,01 | 4              | 0,0004         | 0,00           |  |
| sj epsilon3, Wilde Schiefer               | 1,91     | 10 | 1,91 | 0,58                                   | 10             |                |                | < 0,0007                                                                | 10 | 0,04 | 0,12 | 8              | 0,0004         | 0,00           |  |
| sj zeta, Obere Schwarzjuramergel          | 1,86     | 4  | 1,86 | 1,00                                   | 4              |                |                | 1,07                                                                    | 4  | 1,07 | 0,48 | 4              |                |                |  |
| bj alpha, Opalinuston                     | 0,17     | 15 | 0,17 | 0,15                                   | 15             |                |                | 0,27                                                                    | 15 | 0,27 | 0,20 | 15             |                |                |  |
| bj beta, Zopflatten                       | 0,16     | 5  | 0,16 | 0,15                                   | 5              |                |                | 0,05                                                                    | 5  | 0,05 | 0,08 | 5              |                |                |  |
| bj beta, Tolutariazone                    | 0,20     | 4  | 0,20 | 0,10                                   | 4              |                |                | < 0,0007                                                                | 4  |      |      |                |                |                |  |
| bj beta; unt. Donzdorfer Sandst.          | 0,09     | 6  | 0,09 | 0,05                                   | 6              |                |                | < 0,0007                                                                | 6  | 0,03 | 0,06 | 5              | 0,0004         | 0,00           |  |
| bj beta; Personatensandstein              | 0,15     | 5  | 0,15 | 0,14                                   | 5              |                |                | < 0,0007                                                                | 5  |      |      |                |                |                |  |
| bj beta; ob. Donzdorfer Sandst.           | 0,16     | 7  | 0,16 | 0,13                                   | 7              |                |                | < 0,0007                                                                | 7  | 0,14 | 0,38 | 6              | 0,0004         | 0,00           |  |
| bj gamma; Wedelsandstein                  | 0,16     | 9  | 0,16 | 0,10                                   | 9              |                |                | < 0,0007                                                                | 9  | 0,02 | 0,05 | 8              | 0,0004         | 0,00           |  |
| bj delta; Dorsetensienbank                | 0,26     | 6  | 0,26 | 0,22                                   | 6              |                |                | < 0,0007                                                                | 6  |      |      |                |                |                |  |
| bj delta; Humphriesi-Oolith               | 0,32     | 5  | 0,32 | 0,16                                   | 5              |                |                | 0,16                                                                    | 5  | 0,16 | 0,15 | 5              |                |                |  |
| bj delta; Coronatenschichten              | 0,30     | 6  | 0,39 | 0,23                                   | 5              | 0,30           | 0,06           | < 0,0007                                                                | 6  |      |      |                |                |                |  |
| bj delta; Blagdeni-Schichten              | 0,37     | 6  | 0,37 | 0,32                                   | 6              |                |                | < 0,0007                                                                | 6  |      |      |                |                |                |  |
| bj delta; Subfurcatus-Oolith              | 0,32     | 5  | 0,32 | 0,25                                   | 5              |                |                | < 0,0007                                                                | 5  | 0,06 | 0,13 | 4              | 0,0004         | 0,00           |  |
| bj delta; Hamitenton                      | 0,40     | 6  | 0,40 | 0,09                                   | 6              |                |                | < 0,0007                                                                | 6  |      |      |                |                |                |  |
| bj delta; Parkinsoni-Oolith               | 0,69     | 1  | 0,69 |                                        |                |                |                | 0,32                                                                    | 1  | 0,32 |      |                |                |                |  |
| bj epsilon; Obere Braunjuratone           | 0,21     | 4  | 0,21 | 0,10                                   | 4              |                |                | < 0,0007                                                                | 4  | 0,25 | 0,49 | 3              | 0,0004         | 0,00           |  |
| bj zeta; Macrocephalus-Oolith             | 0,54     | 3  | 0,54 | 0,26                                   | 3              |                |                | < 0,0007                                                                | 3  | 0,17 | 0,29 | 2              | 0,0004         | 0,00           |  |
| bj zeta; Ornatenton                       | 0,42     | 8  | 0,60 | 0,55                                   | 7              | 0,42           | 0,19           | < 0,0007                                                                | 8  | 0,25 | 0,59 | 5              | 0,0004         | 0,00           |  |
| wj alpha; Grenzglaukonit                  | 0,57     | 3  | 0,57 | 0,24                                   | 3              |                |                | < 0,0007                                                                | 3  |      |      |                |                |                |  |
| wj alpha, Untere Weißjuramergel           | 0,24     | 6  | 0,24 | 0,17                                   | 6              |                |                | < 0,0007                                                                | 6  | 0,03 | 0,06 | 4              | 0,0004         | 0,00           |  |
| ob. wj gamma, Mergel                      | 0,05     | 12 | 0,16 | 0,27                                   | 10             | 0,05           | 0,08           | 0,04                                                                    | 12 | 0,07 | 0,13 | 11             | 0,04           | 0,07           |  |

Ges. = Gesamtgehalte (mg/kg)

n = Probenanzahl

x = Mittelwert aller Meßwerte

s = Standardabweichung aller Meßwerte

n<sub>E</sub> = Anzahl der Extremwertex<sub>E</sub> = Mittelwert nach Extremwerteliminierungs<sub>E</sub> = Standardabweichung nach Extremwerteliminierung

**Tab. 7.4.1.: Durchschnittliche Kohlenstoffgehalte in den geologischen Formationen:**

Meßergebnisse für Gesamtkohlenstoff ( C-Ges.) und organischen Kohlenstoff ( C-org.) [mg/kg]

n.g. = nicht gemessen

| Geologische Formation                     | C-Ges. | n  | x      | s     | n <sub>E</sub> | x <sub>E</sub> | s <sub>E</sub> | C-org. | n  | x     | s     | n <sub>E</sub> | x <sub>E</sub> | s <sub>E</sub> |
|-------------------------------------------|--------|----|--------|-------|----------------|----------------|----------------|--------|----|-------|-------|----------------|----------------|----------------|
| so, Röttone                               | 2509   | 10 | 2509   | 2203  | 10             |                |                | 2000   | 2  | 2000  | 1148  |                |                |                |
| mo2, Mergel/Tone an d. Basis              | 81020  | 5  | 81020  | 4694  | 5              |                |                | 3190   | 5  | 3190  | 405   | 5              |                |                |
| mo2, Tonhorizonte                         | 30450  | 10 | 30450  | 5936  | 10             |                |                | 4160   | 10 | 4160  | 1344  | 10             |                |                |
| mo2, Mergel/Tone im ob. Abschnitt         | 72420  | 5  | 72420  | 10229 | 5              |                |                | 4770   | 5  | 4770  | 637   | 5              |                |                |
| ku Basis, Vitriolschiefer                 | 7790   | 10 | 7790   | 1654  | 10             |                |                | 7720   | 2  | 7720  | 156   |                |                |                |
| ku, Estheriensichten                      | 3100   | 5  | 3100   | 351   | 5              |                |                | 4710   | 2  | 4710  | 48    |                |                |                |
| km1, Grundgipsschichten                   | 5724   | 10 | 8062   | 9444  | 9              | 5724           | 6235           | n.g.   |    |       |       |                |                |                |
| km1, Bochinger Horizont                   | 47820  | 6  | 51458  | 9613  | 5              | 47820          | 4028           | 2940   | 6  | 2940  | 812   | 6              |                |                |
| km1, Dunkelrote Mergel                    | 30460  | 5  | 30460  | 7039  | 5              |                |                | 1780   | 5  | 1780  | 275   | 5              |                |                |
| km1, Mittlerer Gipshorizont               | 2650   | 5  | 4420   | 4063  | 4              | 2650           | 1060           | n.g.   |    |       |       |                |                |                |
| km1, Estheriensichten                     | 35880  | 6  | 35880  | 15947 | 6              |                |                | 2750   | 5  | 2750  | 2041  | 5              |                |                |
| km2, dunkle Tonsteine im Schilfsandstein  | 1360   | 5  | 1360   | 241   | 5              |                |                | n.g.   |    |       |       |                |                |                |
| km2, Schilfsandstein                      | 6210   | 3  | 6210   | 3453  | 3              |                |                | 2140   | 1  | 2140  |       |                |                |                |
| km2, Dunkle Mergel des oberen km2         | 16720  | 5  | 16720  | 14148 | 5              |                |                | 1860   | 5  | 1860  | 451   | 5              |                |                |
| km3u, Rote Wand                           | 5300   | 6  | 5300   | 3854  | 6              |                |                | 2930   | 2  | 2930  | 772   |                |                |                |
| km3u, Untere Bunte Mergel                 | 24160  | 6  | 24160  | 8448  | 6              |                |                | 2700   | 5  | 2700  | 2900  | 5              |                |                |
| km3l, Lehrbergschichten                   | 8820   | 1  | 8820   |       |                |                |                | 970    | 1  | 970   |       |                |                |                |
| km3o, Obere Bunte Mergel                  | 20210  | 10 | 20210  | 19547 | 10             |                |                | 2150   | 5  | 2150  | 843   | 5              |                |                |
| km4, Stubensandstein                      | 667    | 4  | 4125   | 6918  | 3              | 667            | 153            | n.g.   |    |       |       |                |                |                |
| km5, Knollenmergel                        | 31690  | 8  | 31690  | 15491 | 8              |                |                | 2390   | 8  | 2390  | 1834  | 8              |                |                |
| ko, Rhät-Tonstein                         | 6800   | 1  | 6800   |       |                |                |                | n.g.   |    |       |       |                |                |                |
| sj alpha1, Psilonotenschichten, Kalkstein | 72700  | 2  | 72700  | 40588 |                |                |                | 4920   | 2  | 4920  | 4702  |                |                |                |
| sj alpha1, Psilonotentone                 | 7120   | 6  | 7120   | 6373  | 6              |                |                | 7300   | 3  | 7300  | 1643  | 3              |                |                |
| sj alpha2, Angulatensandstein             | 35500  | 2  | 35500  | 25173 |                |                |                | 4160   | 2  | 4160  | 1725  |                |                |                |
| sj alpha2, Angulatenschichten, Tonstein   | 29100  | 1  | 29100  |       |                |                |                | 2950   | 1  | 2950  |       |                |                |                |
| sj beta, Untere Schwarzjuratone           | 3250   | 2  | 3250   | 212   |                |                |                | n.g.   |    |       |       |                |                |                |
| sj gamma, Untere Schwarzjuramergel        | 78090  | 5  | 78090  | 11904 | 5              |                |                | 5500   | 5  | 5500  | 2010  | 5              |                |                |
| sj delta, Obere Schwarzjuratone           | 24870  | 3  | 24870  | 3911  | 3              |                |                | 5390   | 3  | 5390  | 215   | 3              |                |                |
| sj epsilon1, Seegrasschiefer              | 133430 | 10 | 133430 | 19903 | 10             |                |                | 96110  | 10 | 96110 | 15162 | 10             |                |                |
| sj epsilon2, Tonmergel                    | 113480 | 10 | 113480 | 6088  | 10             |                |                | 78590  | 10 | 78590 | 4781  | 10             |                |                |
| sj epsilon2, Stinkkalke                   | 113140 | 5  | 113140 | 9313  | 5              |                |                | 36970  | 5  | 36970 | 18817 | 5              |                |                |
| sj epsilon3, Wilde Schiefer               | 125113 | 10 | 125810 | 7147  | 8              | 125113         | 2469           | 89400  | 10 | 89400 | 6141  | 10             |                |                |
| sj zeta, Obere Schwarzjuramergel          | 112260 | 5  | 112260 | 15094 | 5              |                |                | 93600  | 5  | 93600 | 16252 | 5              |                |                |
| bj alpha, Opalinuston                     | 24542  | 15 | 27813  | 7277  | 12             | 24542          | 1793           | 19420  | 15 | 19420 | 2703  | 15             |                |                |
| bj beta; Zopfplatten                      | 29580  | 5  | 29580  | 9619  | 5              |                |                | 12560  | 3  | 12560 | 2324  | 3              |                |                |
| bj beta; Tolutariazone                    | 29660  | 4  | 29660  | 20675 | 4              |                |                | 10860  | 4  | 10860 | 3902  | 4              |                |                |
| bj beta; unt. Donzdorfer Sandst.          | 15650  | 12 | 15650  | 13917 | 12             |                |                | 11670  | 5  | 11670 | 5078  | 5              |                |                |
| bj beta; Personatensandstein              | 15480  | 6  | 15480  | 1150  | 6              |                |                | 5700   | 3  | 5700  | 4809  | 3              |                |                |
| bj beta; ob. Donzdorfer Sandst.           | 41050  | 15 | 41050  | 22927 | 15             |                |                | 5520   | 7  | 5520  | 6611  | 7              |                |                |
| bj gamma; Wedelsandstein                  | 24607  | 29 | 25179  | 6306  | 28             | 24607          | 5603           | 7360   | 9  | 7360  | 2752  | 9              |                |                |
| bj delta; Dorsetensienbank                | 38300  | 8  | 38300  | 19974 | 8              |                |                | 5390   | 4  | 5390  | 1153  | 4              |                |                |
| bj delta; Humphriesi-Oolith               | 33120  | 5  | 33120  | 8252  | 5              |                |                | 7360   | 3  | 7360  | 702   | 3              |                |                |
| bj delta; Coronatenschichten              | 50120  | 6  | 50120  | 22767 | 6              |                |                | 5390   | 4  | 5390  | 2943  | 4              |                |                |
| bj delta; Blagdeni-Schichten              | 35567  | 10 | 33760  | 7350  | 9              | 35567          | 4905           | 9340   | 5  | 9340  | 1198  | 5              |                |                |
| bj delta; Subfurcatus-Oolith              | 44500  | 5  | 44500  | 8297  | 5              |                |                | 8510   | 5  | 8510  | 7700  | 5              |                |                |
| bj delta; Hamitenton                      | 35887  | 19 | 38440  | 12168 | 18             | 35887          | 5067           | 9680   | 7  | 9680  | 1765  | 7              |                |                |
| bj delta; Parkinsoni-Oolith               | 74490  | 1  | 74490  |       |                |                |                | 5240   | 1  | 5240  |       |                |                |                |
| bj epsilon; Obere Braunjuratone           | 32720  | 4  | 32720  | 15543 | 4              |                |                | 10280  | 4  | 10280 | 2625  | 4              |                |                |
| bj zeta; Macrocephalus-Oolith             | 42020  | 3  | 42020  | 18908 | 3              |                |                | 3590   | 2  | 3590  | 3267  |                |                |                |
| bj zeta; Omatenton                        | 34590  | 21 | 34590  | 9095  | 21             |                |                | 8725   | 8  | 8725  | 2955  | 8              |                |                |
| wj alpha; Grenzglaukonit                  | 50880  | 3  | 50880  | 18632 | 3              |                |                | 9500   | 2  | 9500  | 4624  |                |                |                |
| wj alpha, Untere Weißjuramergel           | 69490  | 7  | 69490  | 3151  | 7              |                |                | 4750   | 7  | 4750  | 464   | 7              |                |                |
| ob. wj gamma, Mergel                      | 93110  | 12 | 93110  | 5663  | 12             |                |                | 2500   | 12 | 2500  | 610   | 12             |                |                |

Alle Angaben in mg/kg

n = Probenanzahl

x = Mittelwert aller Meßwerte

s = Standardabweichung aller Meßwerte

n<sub>E</sub> = Anzahl der Extremwertex<sub>E</sub> = Mittelwert nach Extremwerteliminierungs<sub>E</sub> = Standardabweichung nach Extremwerteliminierung



**Tabelle 7.7.1.:****Vergleich von nicht ausgelaugtem / ausgelaugtem Gipskeuper**

Grenz- oder Richtwertüberschreitungen sind fett dargestellt.

**Gesamtgehalte (mg/kg)**

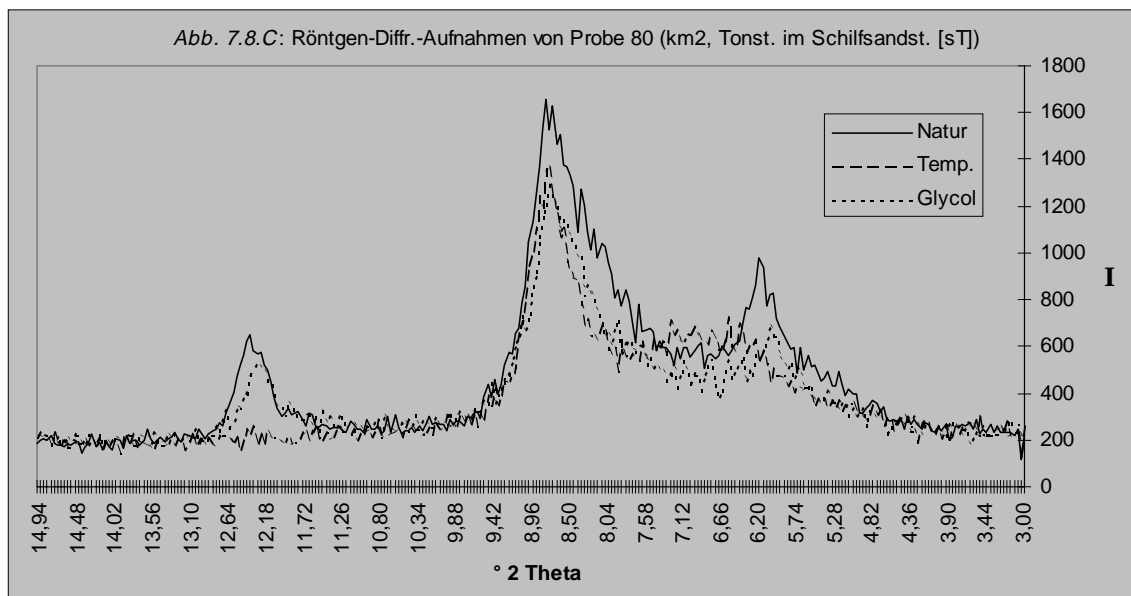
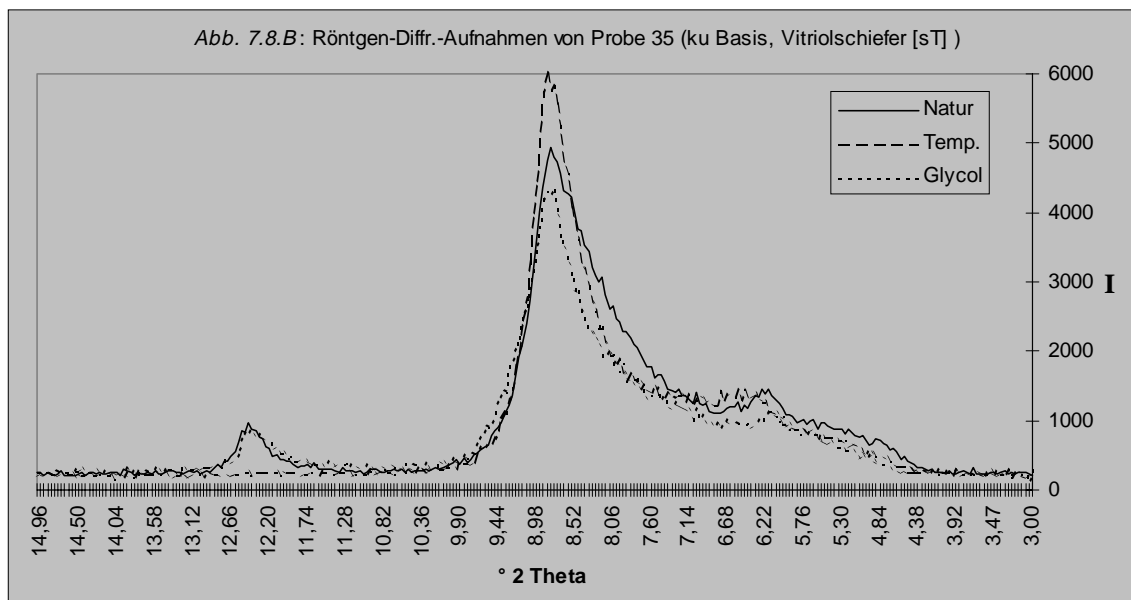
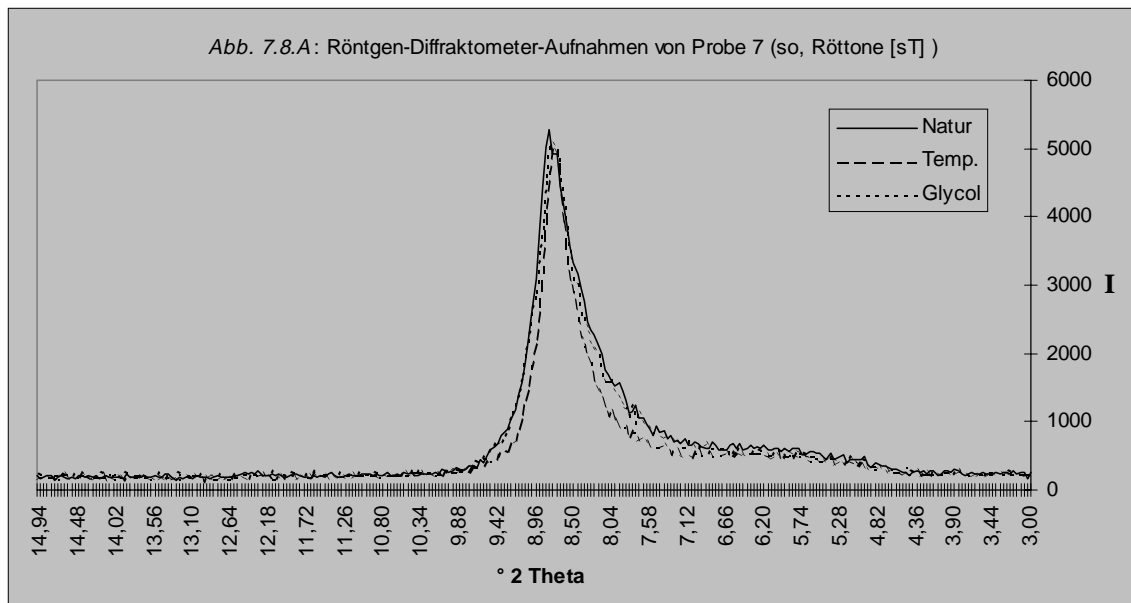
| Parameter       | km1: Grundgips-<br>schichten, nicht<br>ausgelaugter<br>Gipskeuper | km1: Grundgips-<br>schichten,<br>ausgelaugter<br>Gipskeuper |
|-----------------|-------------------------------------------------------------------|-------------------------------------------------------------|
| Al              | 1833                                                              | 27885                                                       |
| Na              | 146                                                               | 969                                                         |
| Ca              | 219321                                                            | 25849                                                       |
| Fe              | 1474                                                              | 27557                                                       |
| Mn              | 48                                                                | 2389                                                        |
| K               | 628                                                               | 35399                                                       |
| Mg              | 6288                                                              | 4833                                                        |
| SO <sub>4</sub> | 461411                                                            | 7071                                                        |
| B               | < 1,00                                                            | < 1,0                                                       |
| Zn              | 0,20                                                              | 39                                                          |
| Pb              | 6                                                                 | 6                                                           |
| Cd              | <b>0,76</b>                                                       | <b>0,66</b>                                                 |
| Co              | 2                                                                 | 9                                                           |
| Ni              | 2                                                                 | <b>40</b>                                                   |
| Cr              | 2                                                                 | 45                                                          |
| V               | 3                                                                 | 37                                                          |
| Cu              | 3,8                                                               | 4,45                                                        |
| Ba              | < 1,5                                                             | 166                                                         |

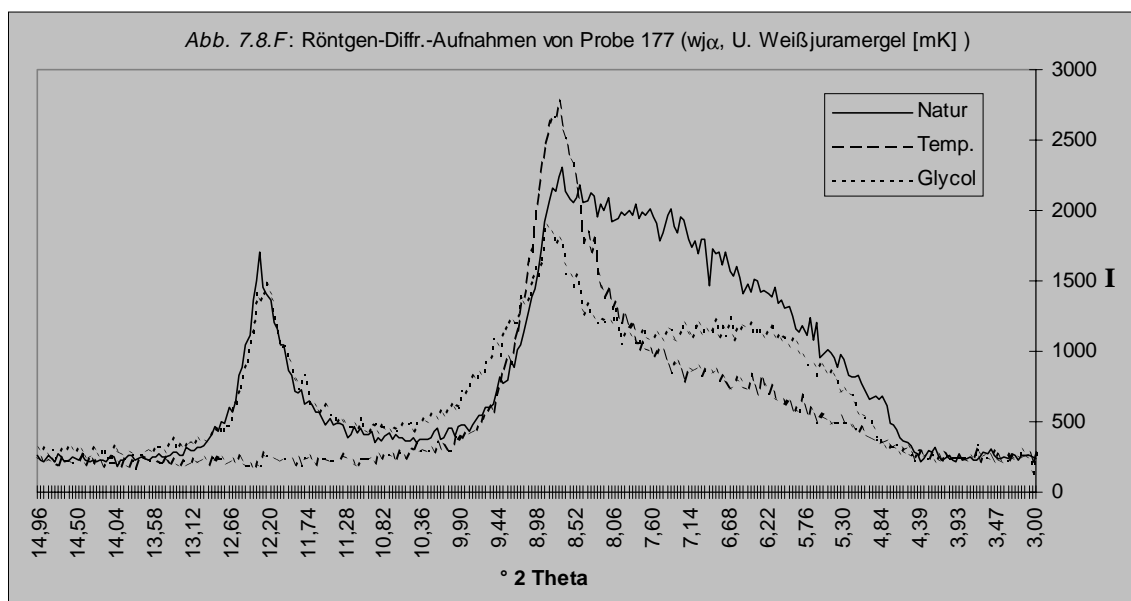
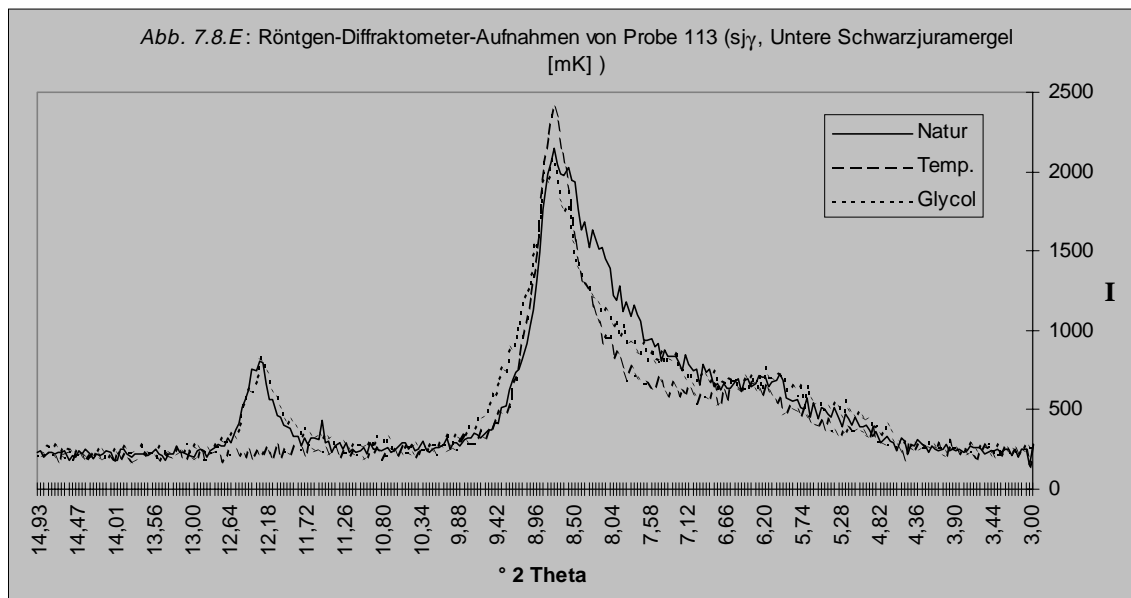
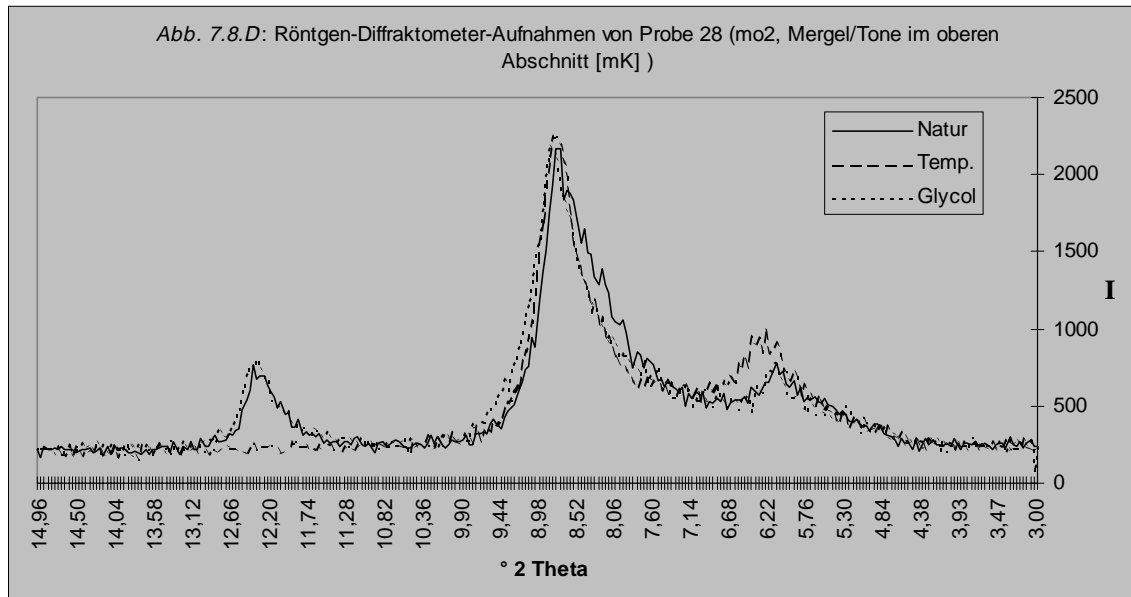
**Eluatgehalte (mg/l)**

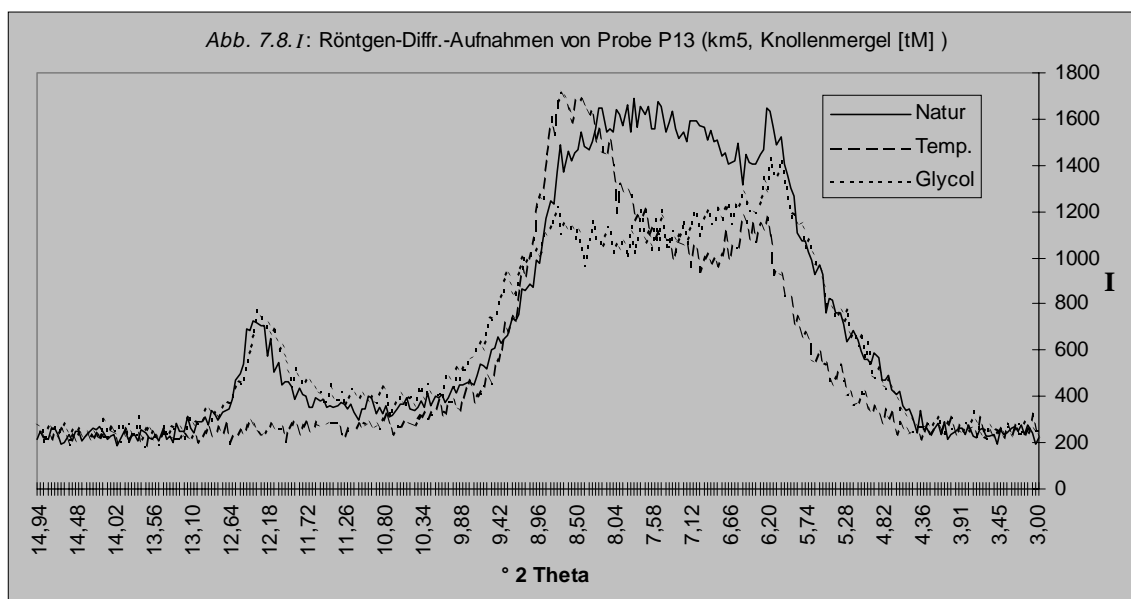
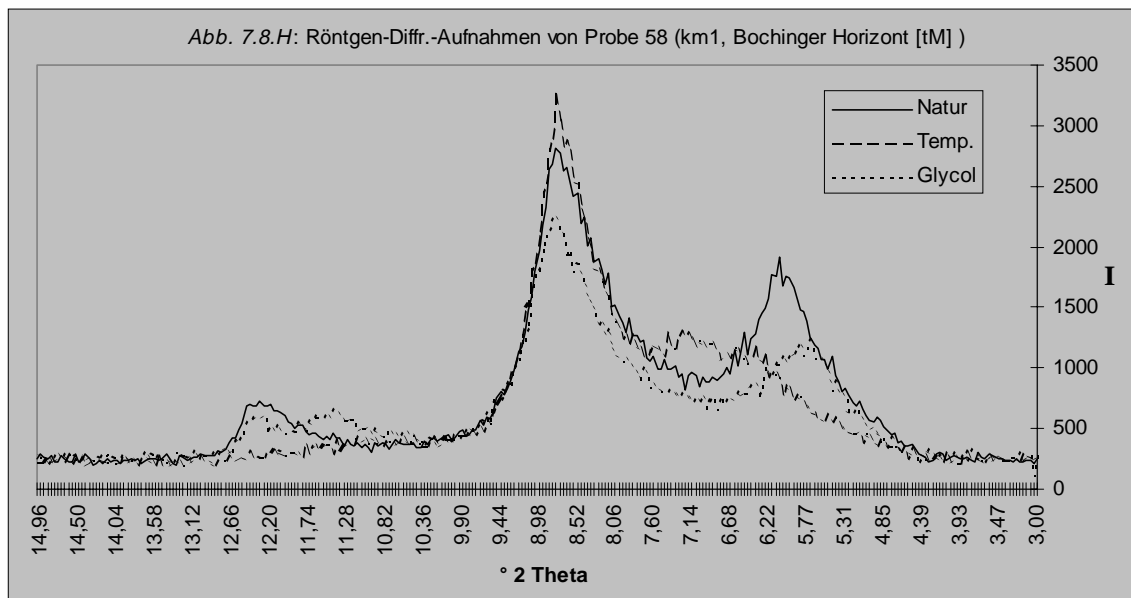
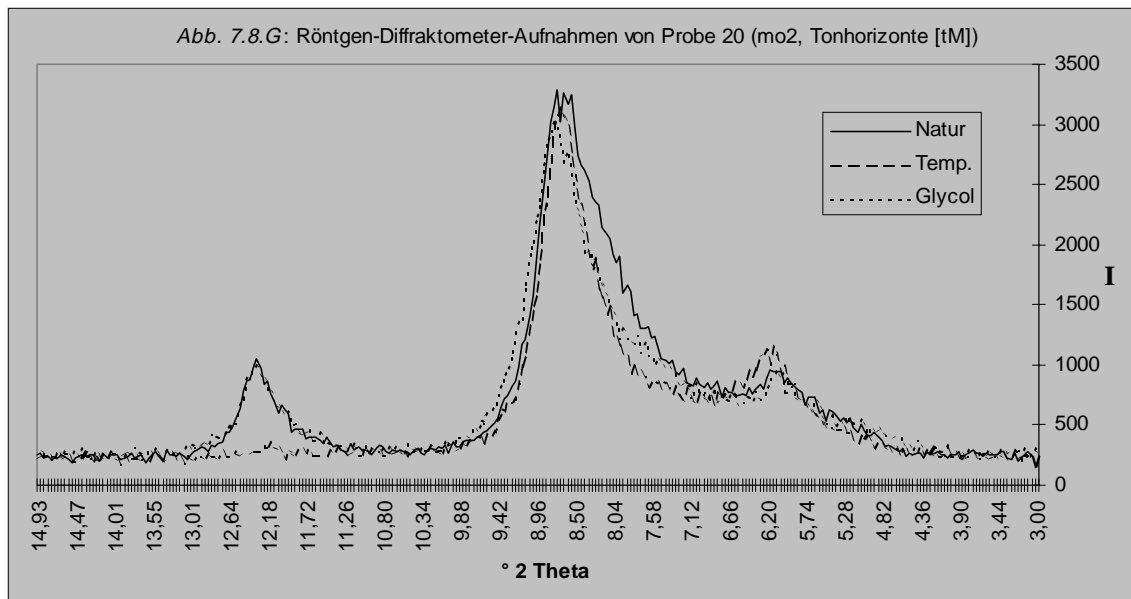
| Parameter       | km1: Grundgips-<br>schichten, nicht<br>ausgelaugter<br>Gipskeuper | km1: Grundgips-<br>schichten,<br>ausgelaugter<br>Gipskeuper |
|-----------------|-------------------------------------------------------------------|-------------------------------------------------------------|
| pH-Wert         | 7,7 - 7,9                                                         | 8,37                                                        |
| Leitf. (µS/cm)  | <b>2092</b>                                                       | 218                                                         |
| Al              | <b>0,281</b>                                                      | 0,007                                                       |
| Na              | 2,67                                                              | 2,25                                                        |
| Ca              | <b>622</b>                                                        | 1,51                                                        |
| Fe              | 0,065                                                             | < 0,005                                                     |
| Mn              | 0,0203                                                            | 0,0024                                                      |
| K               | 6                                                                 | 4,39                                                        |
| Mg              | 10                                                                | 0,59                                                        |
| SO <sub>4</sub> | <b>1529</b>                                                       | 18                                                          |
| B               | 0,132                                                             | 0,19                                                        |
| Zn              | 0,0199                                                            | < 0,0006                                                    |
| Cd              | <b>0,00656</b>                                                    | < 0,0006                                                    |
| Co              | 0,02259                                                           | < 0,0015                                                    |
| Ni              | <b>0,06875</b>                                                    | 0,00243                                                     |
| Cr              | <b>0,07246</b>                                                    | 0,00135                                                     |
| Cu              | <b>0,12355</b>                                                    | < 0,001                                                     |
| Ba              | 0,30471                                                           | 0,091                                                       |

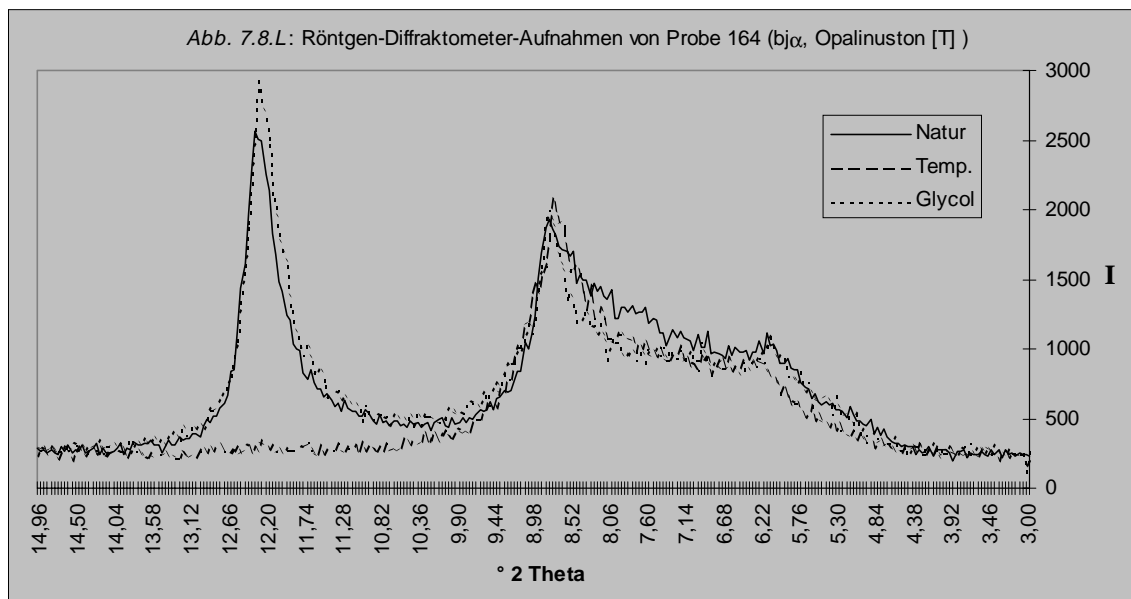
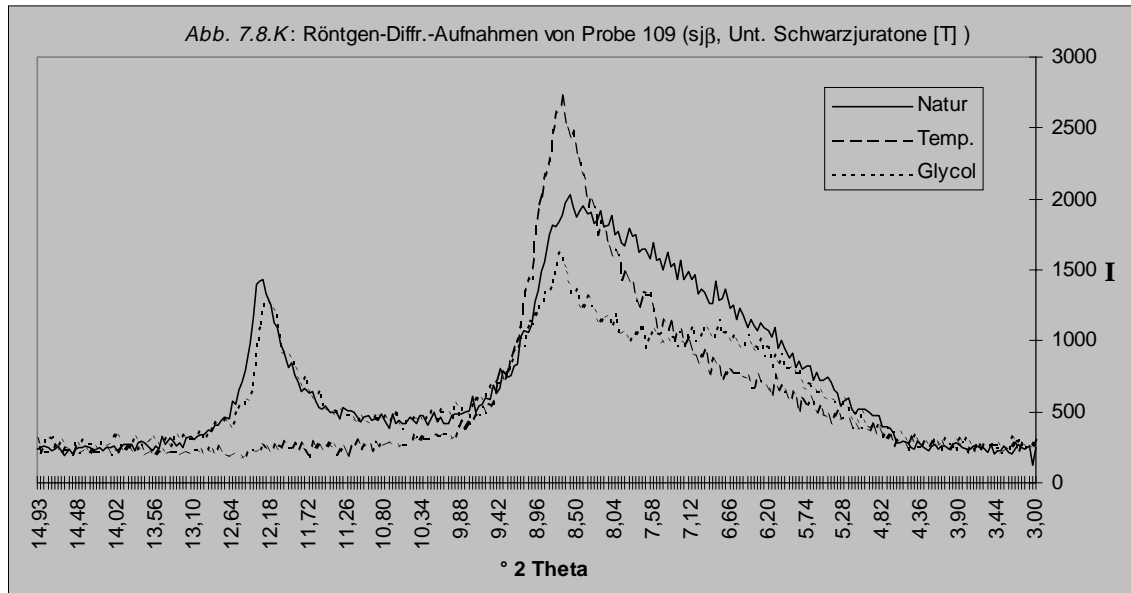
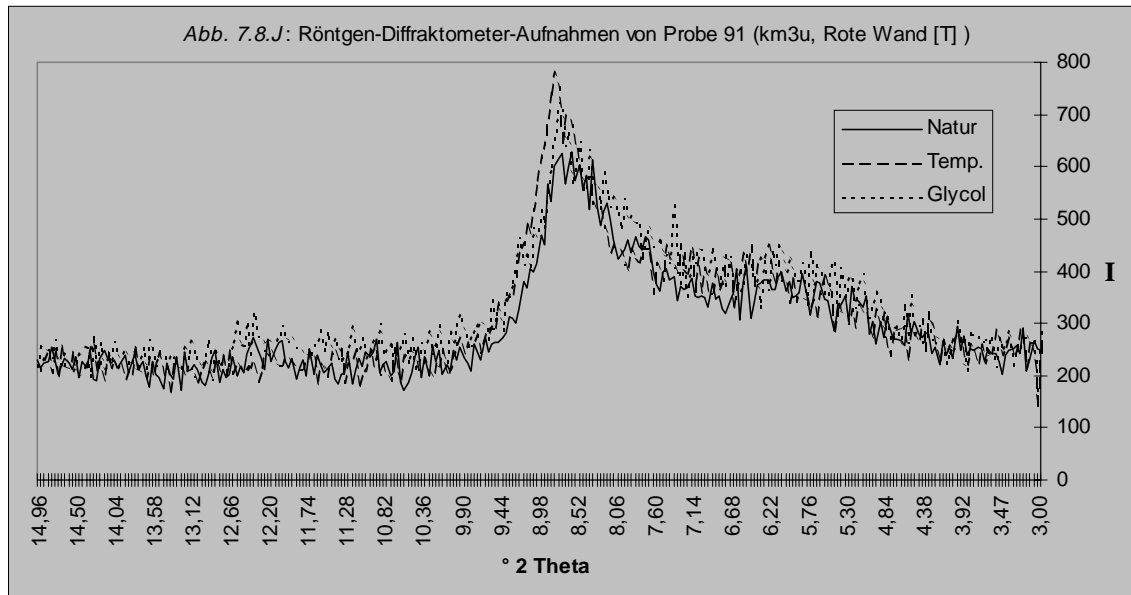
## **Tabellen und Abbildungen zu Kapitel 7:**

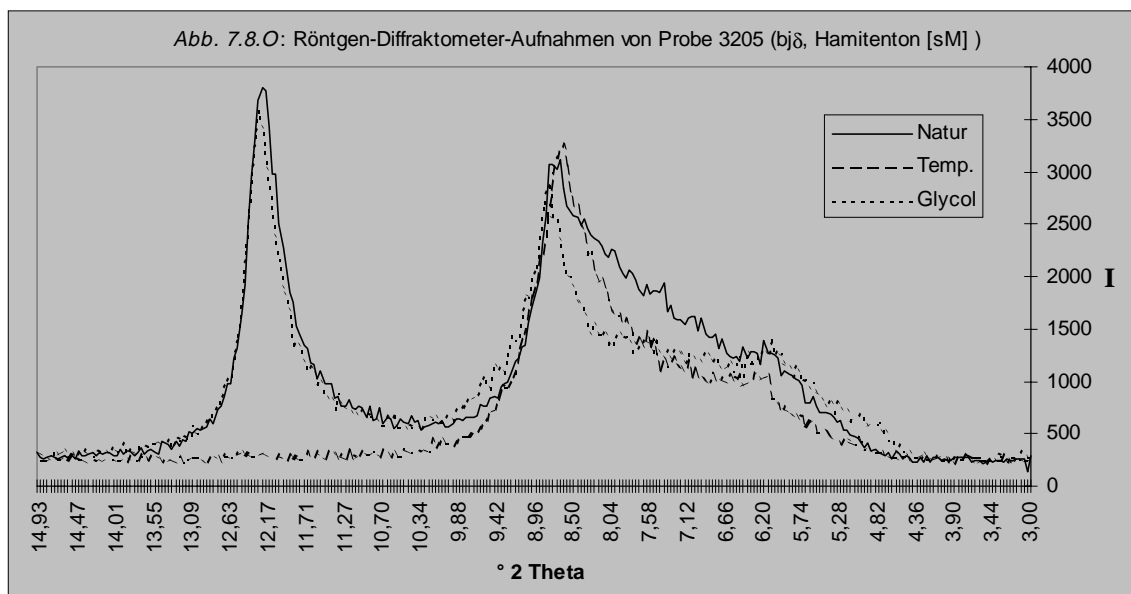
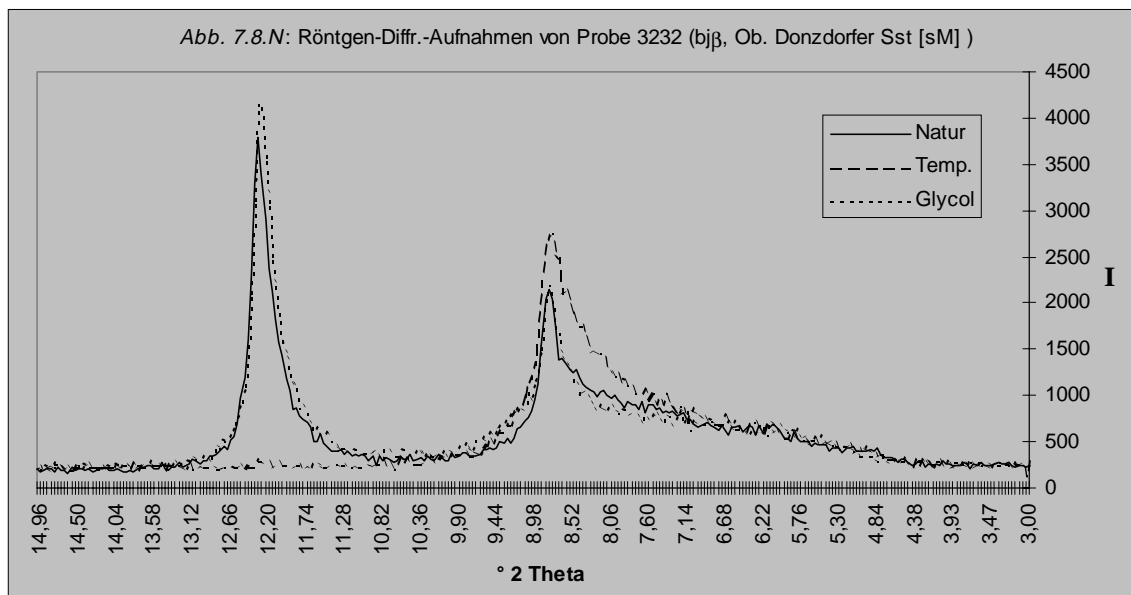
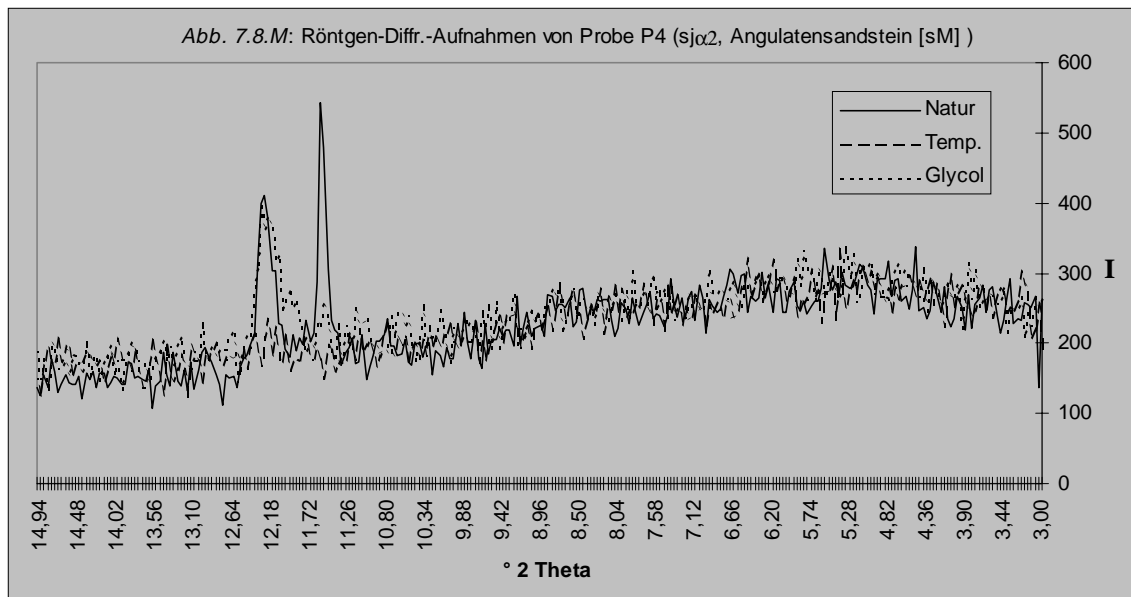
### **Abbildungen**

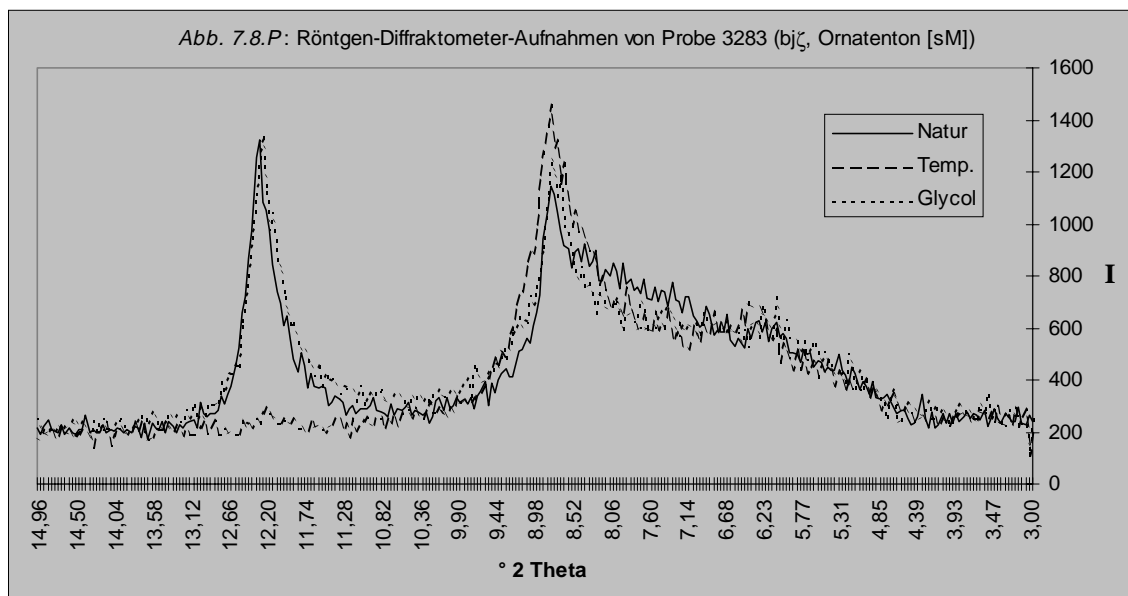














## **Tabellen und Abbildungen zu Kapitel 8: Korrelationen**

Abb. 8a: Korrelationsdiagramme. Über alle Schichten.

Alle Werte in ppm. Diagramme mit Trendlinie.

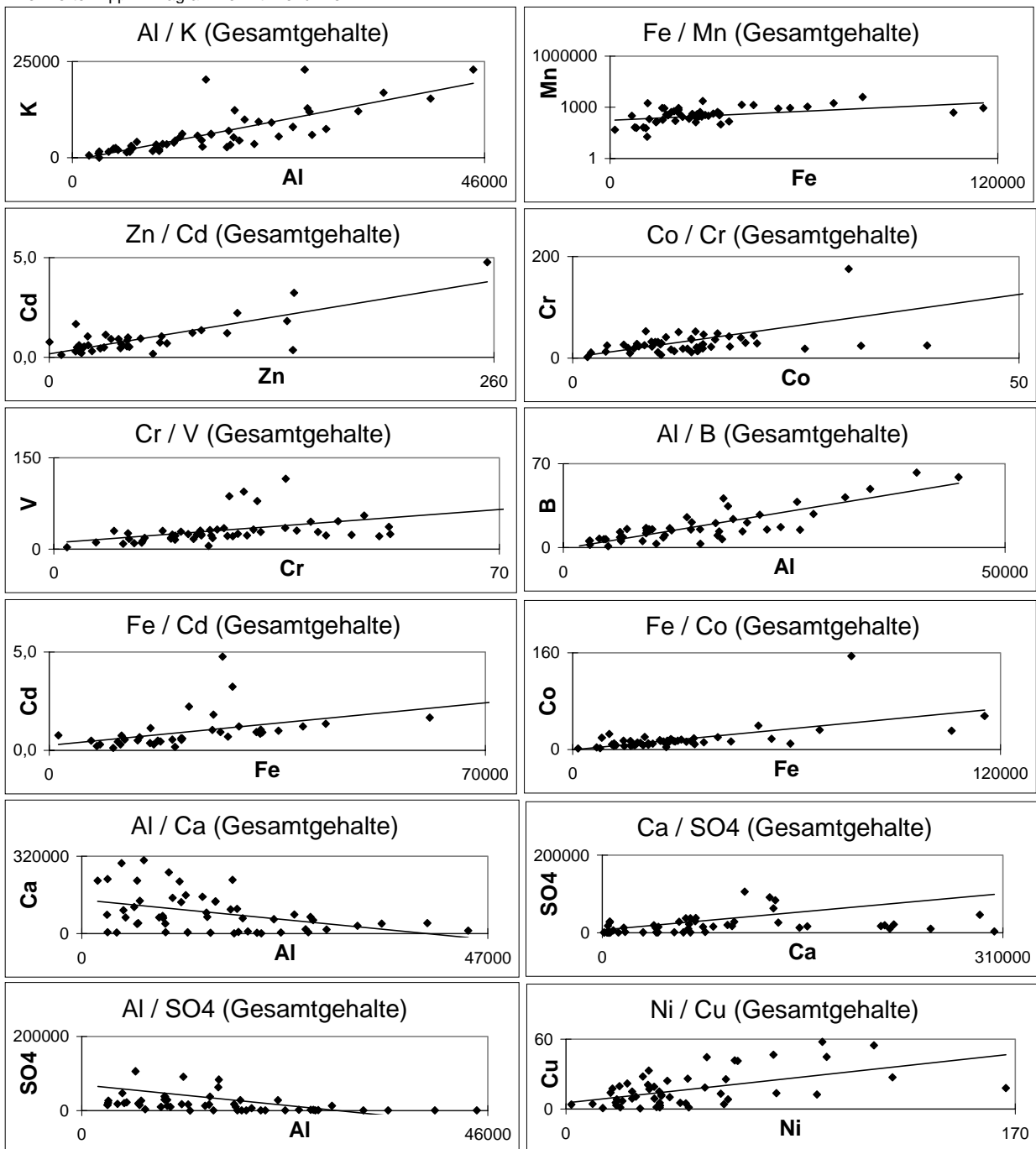
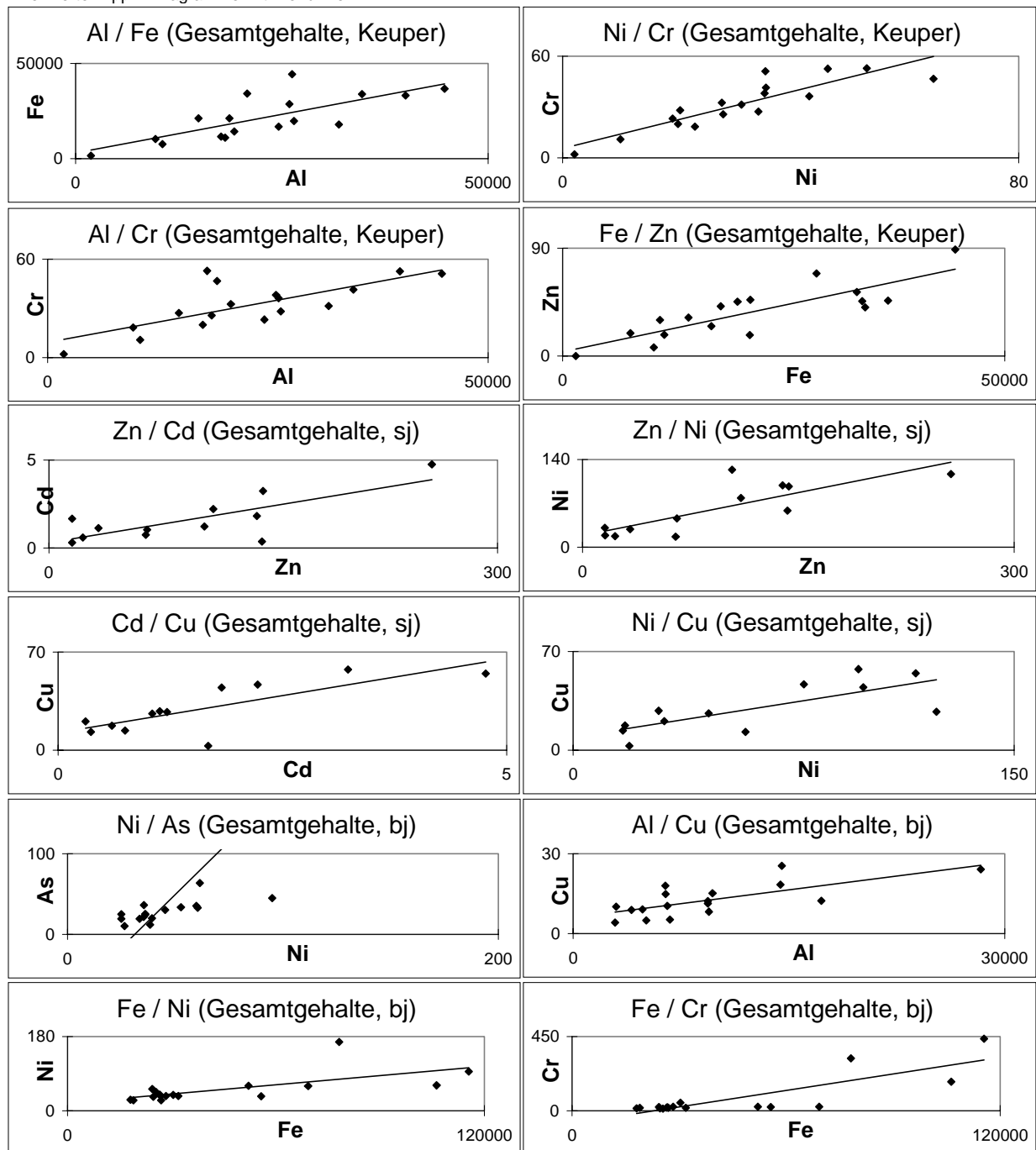


Abb. 8b: Korrelationsdiagramme. Nach Stratigraphie.

Alle Werte in ppm. Diagramme mit Trendlinie.



| <b>Tab. 8c: Geologische Schichten und ihre zugehörigen Gesteinstypen:</b> |                                        |
|---------------------------------------------------------------------------|----------------------------------------|
| Geologische Formation                                                     | Gesteinstyp                            |
| so, Röttone                                                               | sandige Tone                           |
| mo2, Mergel/Tone an d. Basis                                              | mergelige Kalke                        |
| mo2, Tonhorizonte                                                         | tonige Mergel                          |
| mo2, Mergel/Tone im ob. Abschnitt                                         | mergelige Kalke                        |
| ku Basis, Vitriolschiefer                                                 | sandige Tone                           |
| ku, Estheriensichten                                                      | sandige Tone                           |
| km1, Grundgipsschichten                                                   | Gips                                   |
| km1, Bochinger Horizont                                                   | tonige Mergel                          |
| km1, Dunkelrote Mergel                                                    | tonige Mergel                          |
| km1, Mittlerer Gipshorizont                                               | Gips                                   |
| km1, Estheriensichten                                                     | tonige Mergel                          |
| km2, dunkle Tonsteine im Schilfsandstein                                  | sandige Tone                           |
| km2, Schilfsandstein                                                      | sandige Tone                           |
| km2, Dunkle Mergel des oberen km2                                         | Tone                                   |
| km3u, Rote Wand                                                           | Tone                                   |
| km3u, Untere Bunte Mergel                                                 | Tone                                   |
| km3l, Lehrbergschichten                                                   | Tone                                   |
| km3o, Obere Bunte Mergel                                                  | Tone                                   |
| km4, Stubensandstein                                                      | sandige Tone                           |
| km5, Knollenmergel                                                        | tonige Mergel                          |
| ko, Rhät-Tonstein                                                         | sandige Tone                           |
| sj alpha1, Pylonotenschichten, Kalkstein                                  | Kalke                                  |
| sj alpha1, Pylonotentone                                                  | sandige Tone                           |
| sj alpha2, Angulatensandstein                                             | sandige Mergel                         |
| sj alpha2, Angulatenschichten, Tonstein                                   | sandige Mergel                         |
| sj beta, Untere Schwarzjuratone                                           | Tone                                   |
| sj gamma, Untere Schwarzjuramergel                                        | mergelige Kalke                        |
| sj delta, Obere Schwarzjuratone                                           | Tone                                   |
| sj epsilon1, Seegrasschiefer                                              | tonige Mergel mit hohem C-org.-Gehalt  |
| sj epsilon2, Tonmergel                                                    | tonige Mergel mit hohem C-org.-Gehalt  |
| sj epsilon2, Stinkkalke                                                   | Kalke                                  |
| sj epsilon3, Wilde Schiefer                                               | sandige Mergel mit hohem C-org.-Gehalt |
| sj zeta, Obere Schwarzjuramergel                                          | tonige Mergel mit hohem C-org.-Gehalt  |
| bj alpha, Opalinuston                                                     | Tone                                   |
| bj beta; Zopfplatten                                                      | sandige Mergel                         |
| bj beta; Tolutariazone                                                    | sandige Mergel                         |
| bj beta; unt. Donzdorfer Sandst.                                          | Sandstein                              |
| bj beta; Personatensandstein                                              | Sandstein                              |
| bj beta; ob. Donzdorfer Sandst.                                           | sandige Mergel                         |
| bj gamma; Wedelsandstein                                                  | sandige Mergel                         |
| bj delta; Dorsetensienbank                                                | sandige Mergel                         |
| bj delta; Humphriesi-Oolith                                               | sandige Mergel                         |
| bj delta; Coronatenschichten                                              | sandige Mergel                         |
| bj delta; Blagdeni-Schichten                                              | sandige Mergel                         |
| bj delta; Subfurcatus-Oolith                                              | Eisenoolith                            |
| bj delta; Hamitenton                                                      | sandige Mergel                         |
| bj delta; Parkinsoni-Oolith                                               | Eisenoolith                            |
| bj epsilon; Obere Braunjuratone                                           | sandige Mergel                         |
| bj zeta; Macrocephalus-Oolith                                             | Eisenoolith                            |
| bj zeta; Ornatenton                                                       | sandige Mergel                         |
| wj alpha; Grenzglaukonit                                                  | sandige Mergel                         |
| wj alpha, Untere Weißjuramergel                                           | mergelige Kalke                        |
| ob. wj gamma, Mergel                                                      | mergelige Kalke                        |

## **Tabellen und Abbildungen zu Kapitel 10: Modellierungen**

Die Tabellen 10.2.1. - 10.2.14. und die Abbildungen 10.2.1 - 10.2.21 auf den folgenden Seiten zeigen die Ergebnisse der geochemischen Modellierung und stellen diese graphisch dar.

**Tab. 10.2.1: Al (pH-Variation)**

Löslichkeiten von Al bei unterschiedlichen pH-Werten von wässrigen Ausgangslösungen und resultierende pH-Werte. Ausgangsminerale sind Kaolinit bzw. dessen Alterungsprodukt Gibbsit. Diese werden zusätzlich mit Calcit und Gips kombiniert. In den Diagrammen ist die jeweils gelöste Menge an Aluminium (mg/l) gegen den resultierenden pH-Wert pHres. (= effektiver pH-Wert) aufgetragen.

Ctot. ist der CO<sub>2</sub>-Gesamtgehalt. Dieser wird z.T. variiert.

**Kaolinit:** T = 25°C Eh = 200 mV Ctot. = 0 mg/l

| Element/pH | 4    | 4,5 | 5    | 6    | 7    | 8    | 9    |
|------------|------|-----|------|------|------|------|------|
| Al (mg/l)  | 0,59 |     | 0,06 | 0,02 | 0,02 | 0,03 | 0,17 |
| pHres.     | 9,23 |     | 9,8  | 9,9  | 9,9  | 9,9  | 9,9  |

**Kaolinit:** T = 25°C Eh = 200 mV Ctot. = 1000 mg/l

| Element/pH | 4    | 4,5  | 5    | 6    | 7    | 8   | 9    |
|------------|------|------|------|------|------|-----|------|
| Al (mg/l)  | 0,97 | 0,36 | 0,11 | 0,02 | 0,03 | 0,1 | 0,32 |
| pHres.     | 4,25 | 4,6  | 5    | 6    | 6,99 | 8   | 9    |

**Kaolinit + Calcit:** T = 25°C Eh = 200 mV Ctot. = 300 mg/l

| Element/pH | 4     | 4,5 | 5     | 6    | 7      | 8    | 9    |
|------------|-------|-----|-------|------|--------|------|------|
| Al (mg/l)  | 0,026 |     | 0,027 | 0,03 | 0,0559 | 0,14 | 0,32 |
| pHres.     | 6,8   |     | 6,8   | 7    | 7,5    | 8,3  | 9    |

**Kaolinit + Calcit:** T = 25°C Eh = 200 mV Ctot. = 1000 mg/l

| Element/pH | 4    | 4,5 | 5    | 6    | 7     | 8   | 9    |
|------------|------|-----|------|------|-------|-----|------|
| Al (mg/l)  | 0,02 |     | 0,02 | 0,02 | 0,036 | 0,1 | 0,32 |
| pHres.     | 6,3  |     | 6,3  | 6,5  | 7,1   | 8,1 | 9    |

**Kaolinit + Calcit + Gips:** T = 25°C Eh = 200 mV Ctot. = 1000 mg/l

| Element/pH | 4     | 4,5 | 5     | 6     | 7     | 8     | 9     |
|------------|-------|-----|-------|-------|-------|-------|-------|
| Al (mg/l)  | 0,022 |     | 0,022 | 0,021 | 0,021 | 0,021 | 0,022 |
| pHres.     | 6,2   |     | 6,2   | 6,25  | 6,4   | 6,46  | 6,5   |

**Gibbsit:** T = 25°C Eh = 200 mV Ctot. = 0 mg/l

| Element/pH | 4    | 4,5  | 5      | 6      | 7      | 8      | 9     |
|------------|------|------|--------|--------|--------|--------|-------|
| Al (mg/l)  | 0,51 | 0,08 | 0,0086 | 0,0004 | 0,0007 | 0,0059 | 0,059 |
| pHres.     | 4,3  | 4,6  | 5      | 6      | 7      | 7,9    | 8,9   |

**Gibbsit:** T = 25°C Eh = 200 mV Ctot. = 1000 mg/l

| Element/pH | 4    | 4,5  | 5    | 6     | 7     | 8      | 9     |
|------------|------|------|------|-------|-------|--------|-------|
| Al (mg/l)  | 0,92 | 0,15 | 0,01 | 0,001 | 0,001 | 0,0083 | 0,083 |
| pHres.     | 4,3  | 4,5  | 5    | 6     | 7     | 8      | 9     |

**Gibbsit + Calcit:** T = 25°C Eh = 200 mV Ctot. = 1000 mg/l

| Element/pH | 4      | 4,5 | 5      | 6      | 7      | 8      | 9      |
|------------|--------|-----|--------|--------|--------|--------|--------|
| Al (mg/l)  | 0,0004 |     | 0,0004 | 0,0004 | 0,0012 | 0,0098 | 0,0836 |
| pHres.     | 6,3    |     | 6,35   | 6,5    | 7,1    | 8,1    | 9      |

**Gibbsit + Calcit + Gips:** T = 25°C Eh = 200 mV Ctot. = 1000 mg/l

| Element/pH | 4      | 4,5 | 5      | 6      | 7      | 8      | 9      |
|------------|--------|-----|--------|--------|--------|--------|--------|
| Al (mg/l)  | 0,0004 |     | 0,0004 | 0,0004 | 0,0004 | 0,0004 | 0,0004 |
| pHres.     | 6,2    |     | 6,2    | 6,3    | 6,4    | 6,5    | 6,5    |

**Tab. 10.2.2: Al (Temp.-Variation)**

Löslichkeiten von Al bei unterschiedlichen Temperaturen von einwirkenden wässrigen Lösungen.

Ausgangsmineral ist Kaolinit. Dieses wird zusätzlich mit Calcit und Gips kombiniert.

In den Diagrammen ist die jeweils gelöste Menge an Aluminium (mg/l) gegen die Temperatur (°C) aufgetragen.

Ctot. ist der CO<sub>2</sub>-Gesamtgehalt. Dieser wird z.T. variiert.

|                  |        |        |        |             |        |                |        |        |
|------------------|--------|--------|--------|-------------|--------|----------------|--------|--------|
| <b>Kaolinit:</b> |        | pH = 7 |        | Eh = 200 mV |        | Ctot. = 0 mg/l |        |        |
| Element/T (°C)   | 5      | 15     | 25     | 35          | 45     | 55             | 65     | 75     |
| Al (mg/l)        | 0,0067 | 0,0188 | 0,0199 | 0,0324      | 0,0507 | 0,0764         | 0,1112 | 0,1568 |

|                  |        |        |        |             |       |                   |        |        |
|------------------|--------|--------|--------|-------------|-------|-------------------|--------|--------|
| <b>Kaolinit:</b> | pH = 7 |        |        | Eh = 200 mV |       | Ctot. = 1000 mg/l |        |        |
| Element/T (°C)   | 5      | 15     | 25     | 35          | 45    | 55                | 65     | 75     |
| Al (mg/l)        | 0,0075 | 0,0154 | 0,0311 | 0,0601      | 0,111 | 0,1966            | 0,3345 | 0,5488 |

|                           |        |        |        |             |        |                  |        |        |
|---------------------------|--------|--------|--------|-------------|--------|------------------|--------|--------|
| <b>Kaolinit + Calcit:</b> |        | pH = 7 |        | Eh = 200 mV |        | Ctot. = 300 mg/l |        |        |
| Element/T (°C)            | 5      | 15     | 25     | 35          | 45     | 55               | 65     | 75     |
| Al (mg/l)                 | 0,0143 | 0,0291 | 0,0559 | 0,1013      | 0,1744 | 0,2875           | 0,4563 | 0,7014 |

|                           |        |        |        |             |        |                   |        |       |
|---------------------------|--------|--------|--------|-------------|--------|-------------------|--------|-------|
| <b>Kaolinit + Calcit:</b> |        | pH = 7 |        | Eh = 200 mV |        | Ctot. = 1000 mg/l |        |       |
| Element/T (°C)            | 5      | 15     | 25     | 35          | 45     | 55                | 65     | 75    |
| Al (mg/l)                 | 0,0089 | 0,0183 | 0,0362 | 0,0683      | 0,1233 | 0,2137            | 0,3571 | 0,577 |

|                                  |        |        |        |             |        |                   |        |        |
|----------------------------------|--------|--------|--------|-------------|--------|-------------------|--------|--------|
| <b>Kaolinit + Calcit + Gips:</b> |        | pH = 7 |        | Eh = 200 mV |        | Ctot. = 1000 mg/l |        |        |
| Element/T (°C)                   | 5      | 15     | 25     | 35          | 45     | 55                | 65     | 75     |
| Al (mg/l)                        | 0,0078 | 0,0127 | 0,0211 | 0,0347      | 0,0561 | 0,089             | 0,1384 | 0,2107 |

**Tab. 10.2.3: CaSO<sub>4</sub> (Temp.-Variation)**

Löslichkeiten von Schwefel und Calcium bei unterschiedlichen Temperaturen von einwirkenden wässrigen Lösungen.

Ausgangsminerale sind Gips bzw. Anhydrit. Diese werden zusätzlich mit Calcit kombiniert.

Im Diagramm ist die jeweils gelöste Menge an SO<sub>4</sub> bzw. Ca (mg/l) gegen die Temperatur (°C) aufgetragen.

Ctot. ist der CO<sub>2</sub>-Gesamtgehalt.

|                |        |      |      |             |      |                   |      |      |
|----------------|--------|------|------|-------------|------|-------------------|------|------|
| <b>Gips:</b>   | pH = 7 |      |      | Eh = 200 mV |      | Ctot. = 1000 mg/l |      |      |
| Element/T (°C) | 5      | 15   | 25   | 35          | 45   | 55                | 65   | 75   |
| SO4 (mg/l)     | 1408   | 1520 | 1600 | 1647        | 1662 | 1648              | 1608 | 1549 |
| Ca (mg/l)      | 587    | 634  | 668  | 687         | 693  | 687               | 671  | 646  |

|                       |      |        |      |             |      |                   |      |      |
|-----------------------|------|--------|------|-------------|------|-------------------|------|------|
| <b>Gips + Calcit:</b> |      | pH = 7 |      | Eh = 200 mV |      | Ctot. = 1000 mg/l |      |      |
| Element/T (°C)        | 5    | 15     | 25   | 35          | 45   | 55                | 65   | 75   |
| SO4 (mg/l)            | 1477 | 1611   | 1708 | 1769        | 1797 | 1795              | 1768 | 1719 |
| Ca (mg/l)             | 547  | 579    | 601  | 610         | 608  | 595               | 572  | 542  |

|                  |      |        |      |             |      |                   |      |      |
|------------------|------|--------|------|-------------|------|-------------------|------|------|
| <b>Anhydrit:</b> |      | pH = 7 |      | Eh = 200 mV |      | Ctot. = 1000 mg/l |      |      |
| Element/T (°C)   | 5    | 15     | 25   | 35          | 45   | 55                | 65   | 75   |
| SO4 (mg/l)       | 2198 | 2354   | 2361 | 2233        | 2007 | 1725              | 1429 | 1148 |
| Ca (mg/l)        | 917  | 982    | 985  | 932         | 837  | 720               | 596  | 479  |

|                           |      |        |      |             |      |                   |      |      |
|---------------------------|------|--------|------|-------------|------|-------------------|------|------|
| <b>Anhydrit + Calcit:</b> |      | pH = 7 |      | Eh = 200 mV |      | Ctot. = 1000 mg/l |      |      |
| Element/T (°C)            | 5    | 15     | 25   | 35          | 45   | 55                | 65   | 75   |
| SO4 (mg/l)                | 2276 | 2450   | 2470 | 2354        | 2140 | 1872              | 1590 | 1324 |
| Ca (mg/l)                 | 865  | 915    | 907  | 846         | 746  | 625               | 501  | 386  |





**Tab. 10.2.6: CaSO<sub>4</sub> (pH-Variation)**

Löslichkeiten von Schwefel und Calcium bei unterschiedlichen pH-Werten von einwirkenden wässrigen Ausgangslösungen und daraus resultierende pH-Werte. Ausgangsminerale sind Gips bzw. Anhydrit. Diese werden zusätzlich mit Calcit kombiniert. Im Diagramm ist die jeweils gelöste Menge an SO<sub>4</sub> bzw. Ca (mg/l) gegen die resultierenden pH-Werte pH<sub>res.</sub> (= effektiver pH-Wert) aufgetragen.

Ctot. ist der CO<sub>2</sub>-Gesamtgehalt.

**Gips:** T = 25°C Eh = 200 mV Ctot. = 1000 mg/l

| Element/pH             | 3    | 4    | 5     | 6    | 7    | 8    | 9    |
|------------------------|------|------|-------|------|------|------|------|
| SO <sub>4</sub> (mg/l) | 1527 | 1509 | 1511  | 1543 | 1600 | 1625 | 1655 |
| Ca (mg/l)              | 637  | 630  | 630,5 | 644  | 668  | 678  | 691  |
| pH <sub>res.</sub>     | 3,2  | 4,1  | 4,9   | 5,9  | 6,9  | 7,7  | 8,3  |

**Gips + Calcit:** T = 25°C Eh = 200 mV Ctot. = 1000 mg/l

| Element/pH             | 3    | 4    | 5    | 6    | 7    | 8    | 9    |
|------------------------|------|------|------|------|------|------|------|
| SO <sub>4</sub> (mg/l) | 1350 | 1368 | 1382 | 1478 | 1708 | 1795 | 1837 |
| Ca (mg/l)              | 784  | 770  | 760  | 699  | 601  | 575  | 564  |
| pH <sub>res.</sub>     | 6,2  | 6,2  | 6,2  | 6,25 | 6,4  | 6,46 | 6,5  |

**Anhydrit:** T = 25°C Eh = 200 mV Ctot. = 1000 mg/l

| Element/pH             | 3    | 4    | 5    | 6    | 7    | 8    | 9    |
|------------------------|------|------|------|------|------|------|------|
| SO <sub>4</sub> (mg/l) | 2274 | 2254 | 2256 | 2293 | 2361 | 2389 | 2420 |
| Ca (mg/l)              | 949  | 940  | 941  | 957  | 985  | 997  | 1010 |
| pH <sub>res.</sub>     | 3,3  | 4,1  | 4,9  | 5,9  | 6,9  | 7,7  | 8,2  |

**Anhydrit + Calcit:** T = 25°C Eh = 200 mV Ctot. = 1000 mg/l

| Element/pH             | 3    | 4    | 5    | 6    | 7    | 8    | 9    |
|------------------------|------|------|------|------|------|------|------|
| SO <sub>4</sub> (mg/l) | 2100 | 2120 | 2135 | 2239 | 2470 | 2553 | 2593 |
| Ca (mg/l)              | 1088 | 1075 | 1065 | 1005 | 907  | 880  | 867  |
| pH <sub>res.</sub>     | 6,11 | 6,12 | 6,13 | 6,19 | 6,33 | 6,38 | 6,4  |

**Tab. 10.2.7: Fe (pH-Variation)**

Löslichkeiten von Schwefel und Eisen bei unterschiedlichen pH-Werten von einwirkenden wässrigen Ausgangslösungen und daraus resultierende pH-Werte. Ausgangsminerale sind Pyrit sowie dessen Alterungsprodukt Goethit. Diese werden zusätzlich mit Calcit kombiniert. Im Diagramm ist die jeweils gelöste Menge an SO<sub>4</sub> bzw. Fe (mg/l) gegen die resultierenden pH-Werte pH<sub>res.</sub> (= effektiver pH-Wert) aufgetragen.

Ctot. ist der CO<sub>2</sub>-Gesamtgehalt.

**Pyrit + Calcit:** T = 25°C Eh = -190 mV Ctot. = 1000 mg/l

| Element/pH             | 3      | 4      | 5      | 6      | 7    | 8    | 9   |
|------------------------|--------|--------|--------|--------|------|------|-----|
| Fe (mg/l)              | 0,0009 | 0,0008 | 0,0008 | 0,0008 | 0,21 | 24,9 | 52  |
| SO <sub>4</sub> (mg/l) | 0,003  | 0,003  | 0,003  | 0,003  | 0,73 | 85,6 | 178 |
| pH <sub>res.</sub>     | 6,35   | 6,4    | 6,4    | 6,36   | 7,1  | 7,5  | 7,6 |

**Goethit + Calcit:** T = 25°C Eh = -190 mV Ctot. = 1000 mg/l

| Element/pH         | 3   | 4   | 5   | 6    | 7    | 8      | 9 |
|--------------------|-----|-----|-----|------|------|--------|---|
| Fe (mg/l)          | 21  | 20  | 20  | 19,4 | 0,11 | 0,0003 | 0 |
| pH <sub>res.</sub> | 6,4 | 6,4 | 6,4 | 6,4  | 7,1  | 8,1    | 9 |

**Tab. 10.2.8: Fe (Eh-Variation)**

Löslichkeiten von Schwefel und Eisen bei natürlich vorkommenden, unterschiedlichen Eh-Werten (mV) von einwirkenden wässrigen Lösungen. Ausgangsminerale sind Pyrit sowie dessen Alterungsprodukt Goethit. Diese werden zusätzlich mit Calcit kombiniert. Im Diagramm ist die jeweils gelöste Menge an SO<sub>4</sub> bzw. Fe (mg/l) gegen den Eh-Wert (mV) aufgetragen.

Ctot. ist der CO<sub>2</sub>-Gesamtgehalt.

**Pyrit + Calcit:** T = 25°C pH = 7 Ctot. = 1000 mg/l

| Element/Eh (mV)        | -300   | -200   | -190 | -180 | -150 | -120 | -100 |
|------------------------|--------|--------|------|------|------|------|------|
| Fe (mg/l)              | 0,0005 | 0,0347 | 0,2  | 1,2  | 39   | 189  | 446  |
| SO <sub>4</sub> (mg/l) | 0,0016 | 0,12   | 0,73 | 4,2  | 133  | 650  | 1533 |

**Goethit + Calcit:** T = 25°C pH = 7 Ctot. = 1000 mg/l

| Element/Eh (mV) | -300 | -200 | -190  | -180 | -150 | -120  | -100  |
|-----------------|------|------|-------|------|------|-------|-------|
| Fe (mg/l)       | 0,04 | 0,17 | 0,113 | 0,08 | 0,02 | 0,007 | 0,003 |

**Tab. 10.2.9: Pb, Zn, Fe, SO<sub>4</sub> (Eh-Variation)**

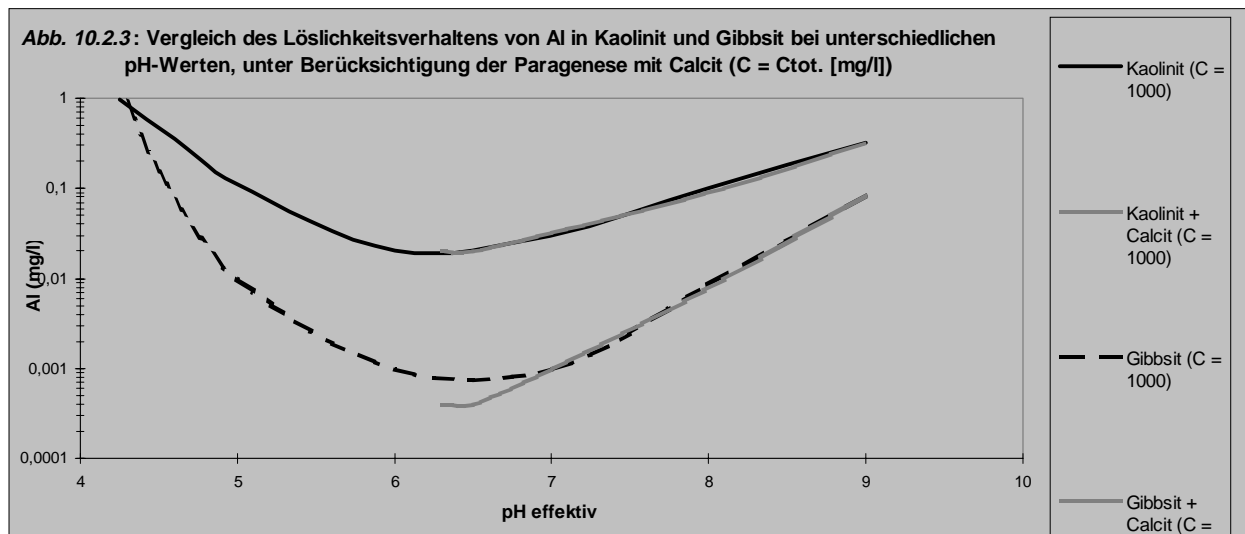
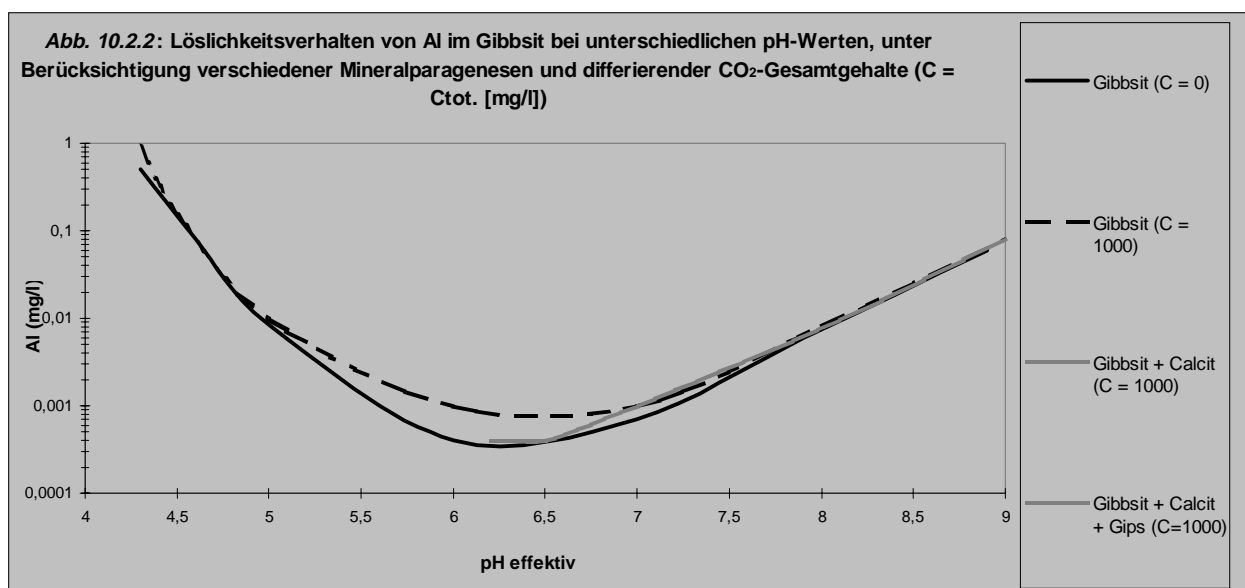
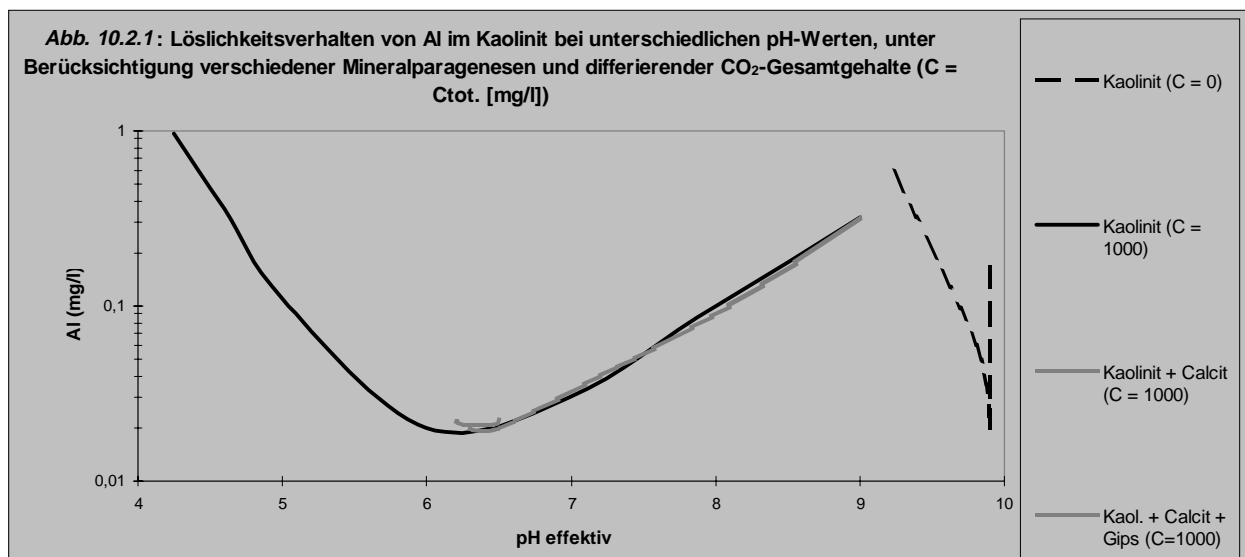
Löslichkeiten von Pb, Zn, Fe und SO<sub>4</sub> bei natürlich vorkommenden, unterschiedlichen Eh-Werten (mV) von einwirkenden wässrigen Lösungen. Ausgangsminerale sind Pyrit, Galenit und Sphalerit. Die resultierende Lösung wird mit Goethit equilibriert. Im Diagramm ist die jeweils gelöste Menge an Fe, Pb und Zn (mg/l) gegen den Eh-Wert (mV) aufgetragen sowie Eh gegen SO<sub>4</sub> und pH.

**Pyrit + Galenit + Sphalerit:** T = 10°C pH = 7

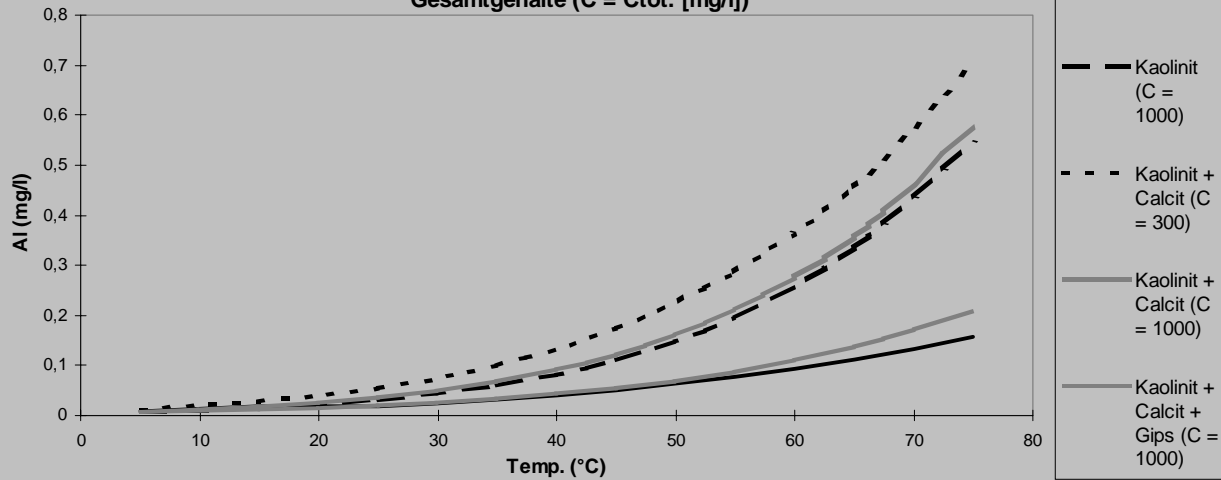
| Element/Eh (mV)        | -200     | -150     | -100     | -50      | 0        | 50   | 100  |
|------------------------|----------|----------|----------|----------|----------|------|------|
| Fe (mg/l)              | 7,00E-09 | 8,00E-08 | 0,03     | 0,12     | 0,58     | 2,5  | 12,6 |
| SO <sub>4</sub> (mg/l) | < 0,001  | 0,015    | 0,09     | 0,5      | 3,1      | 26   | 386  |
| Pb (mg/l)              | 1,00E-14 | 2,50E-13 | 4,40E-12 | 7,00E-11 | 1,30E-09 | 0,04 | 0,09 |
| Zn (mg/l)              | 8,00E-11 | 2,00E-09 | 0,003    | 0,04     | 0,74     | 12   | 233  |
| pH-resultierend        | 7        | 6,6      | 6        | 5,3      | 4,7      | 4,1  | 3,5  |

**Goethitgleichgewicht** mit Eh- und resultierenden pH-Werten aus obiger Equilibrierung (mit T = 10°C, pH = 7).

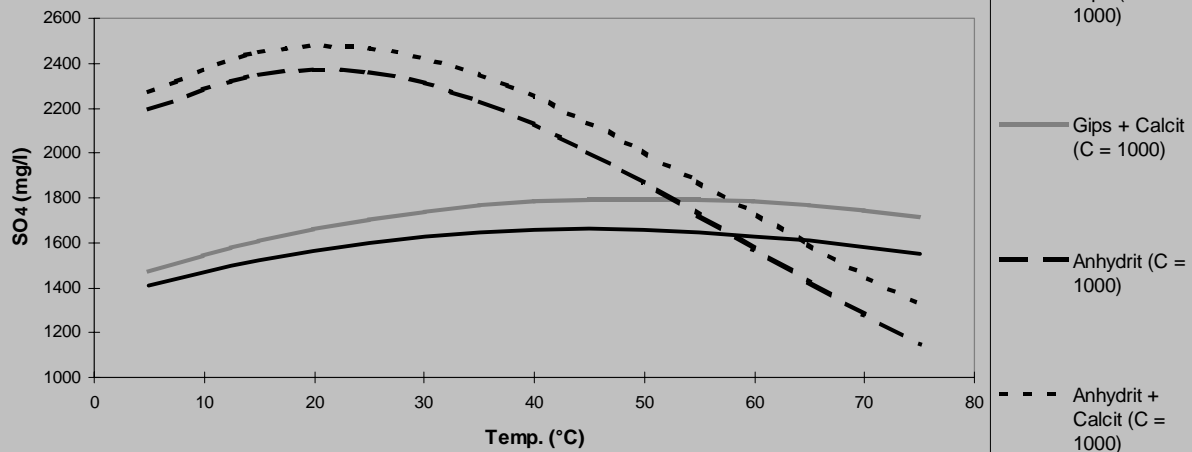
| Element/Eh (mV) | -200  | -150  | -100 | -50  | 0    | 50  | 100  |
|-----------------|-------|-------|------|------|------|-----|------|
| pH (s.o.)       | 7     | 6,6   | 6    | 5,3  | 4,7  | 4,1 | 3,5  |
| Fe (mg/l)       | 0,015 | 0,015 | 0,03 | 0,14 | 0,56 | 2,3 | 11,2 |



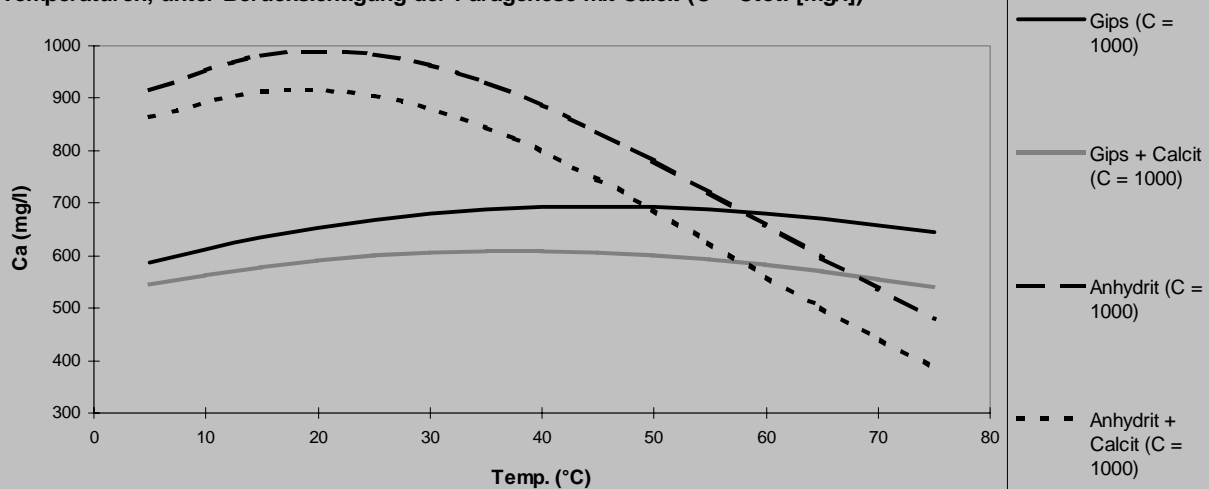
**Abb. 10.2.4:** Löslichkeitsverhalten von Al im Kaolinit bei unterschiedlichen Temperaturen, unter Berücksichtigung verschiedener Mineralparagenesen und differierender CO<sub>2</sub>-Gesamtgehalte (C = Ctot. [mg/l])



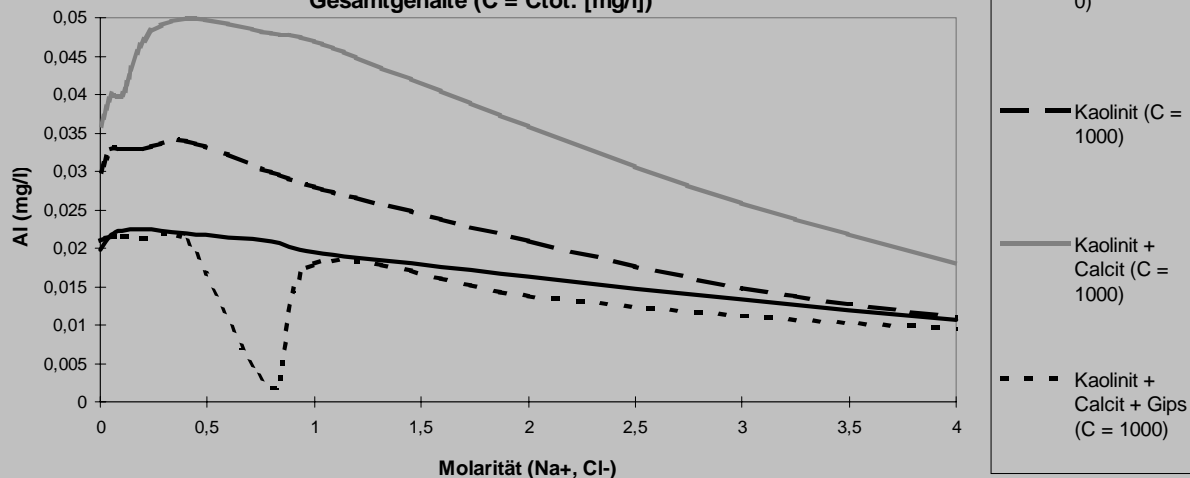
**Abb. 10.2.5:** Löslichkeitsverhalten von SO<sub>4</sub> in Gips und Anhydrit bei unterschiedlichen Temperaturen, unter Berücksichtigung der Paragenese mit Calcit (C = Ctot. [mg/l])



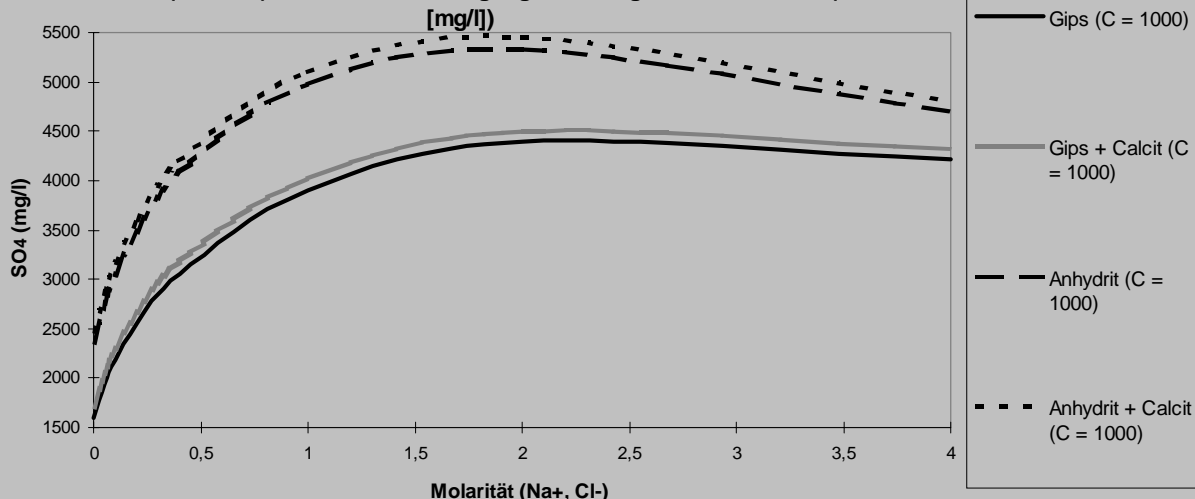
**Abb. 10.2.6:** Löslichkeitsverhalten von Ca in Gips und Anhydrit bei unterschiedlichen Temperaturen, unter Berücksichtigung der Paragenese mit Calcit (C = Ctot. [mg/l])



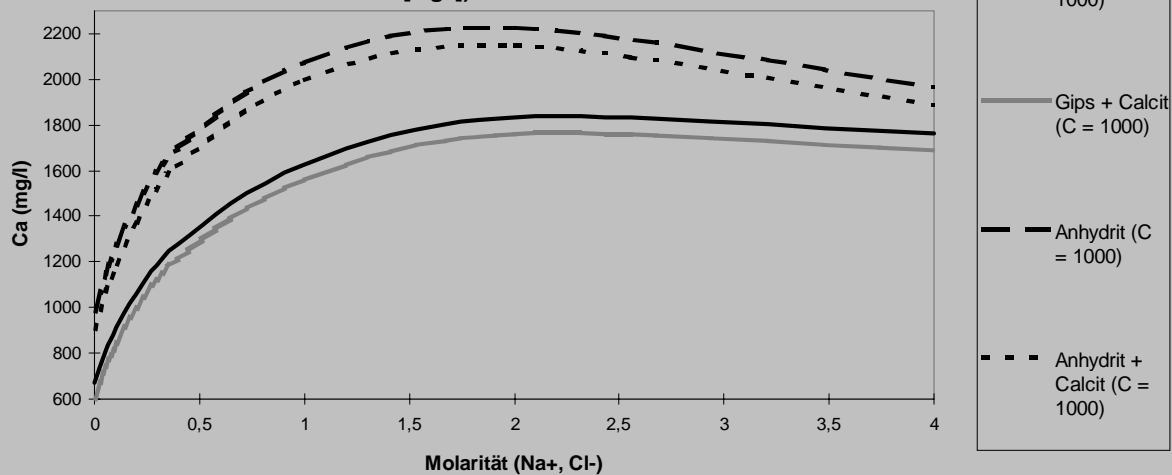
**Abb. 10.2.7:** Löslichkeitsverhalten von Al im Kaolinit bei unterschiedlichen Fremdsalzlasten ( $\text{Na}^+$ ,  $\text{Cl}^-$ ), unter Berücksichtigung verschiedener Mineralparagenesen und  $\text{CO}_2$ -Gesamtgehalte ( $C = \text{C}_{\text{tot}}$ , [mg/l])



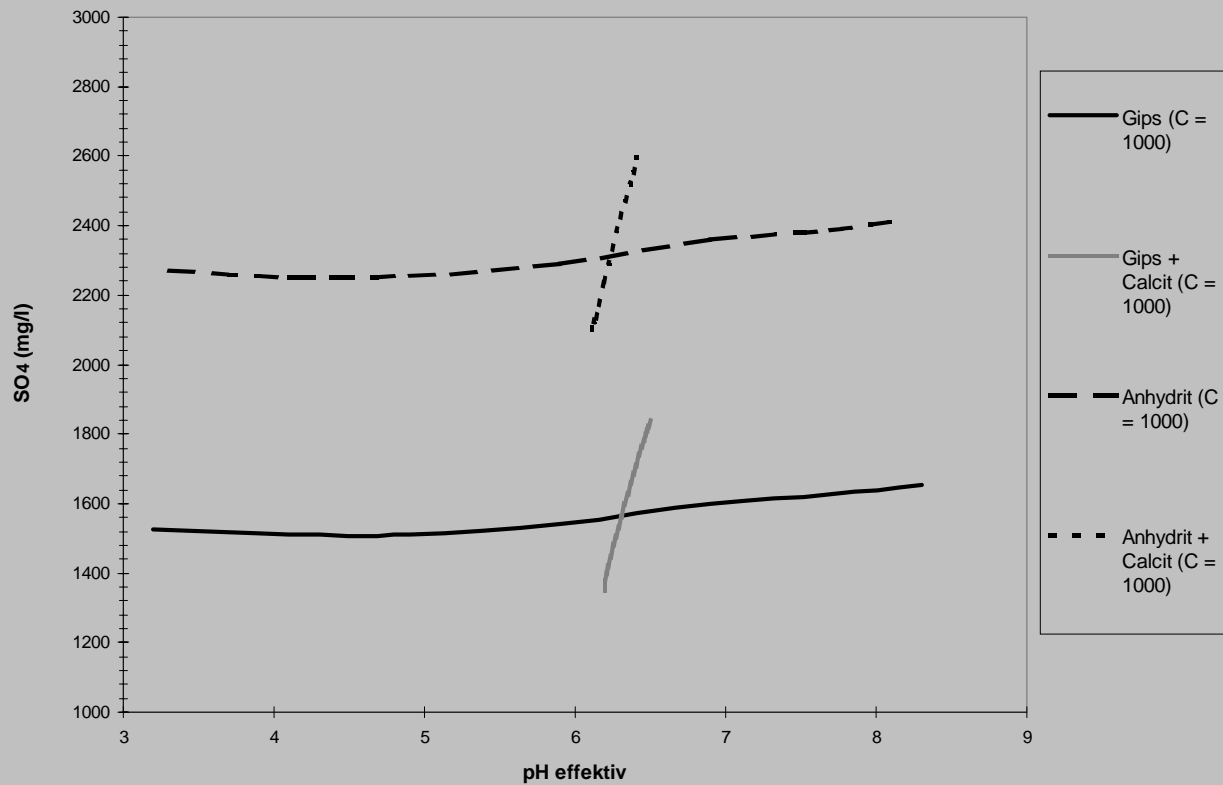
**Abb. 10.2.8:** Löslichkeitsverhalten von  $\text{SO}_4$  in Gips und Anhydrit bei unterschiedlichen Fremdsalzlasten ( $\text{Na}^+$ ,  $\text{Cl}^-$ ), unter Berücksichtigung der Paragenesen mit Calcit ( $C = \text{C}_{\text{tot}}$ , [mg/l])



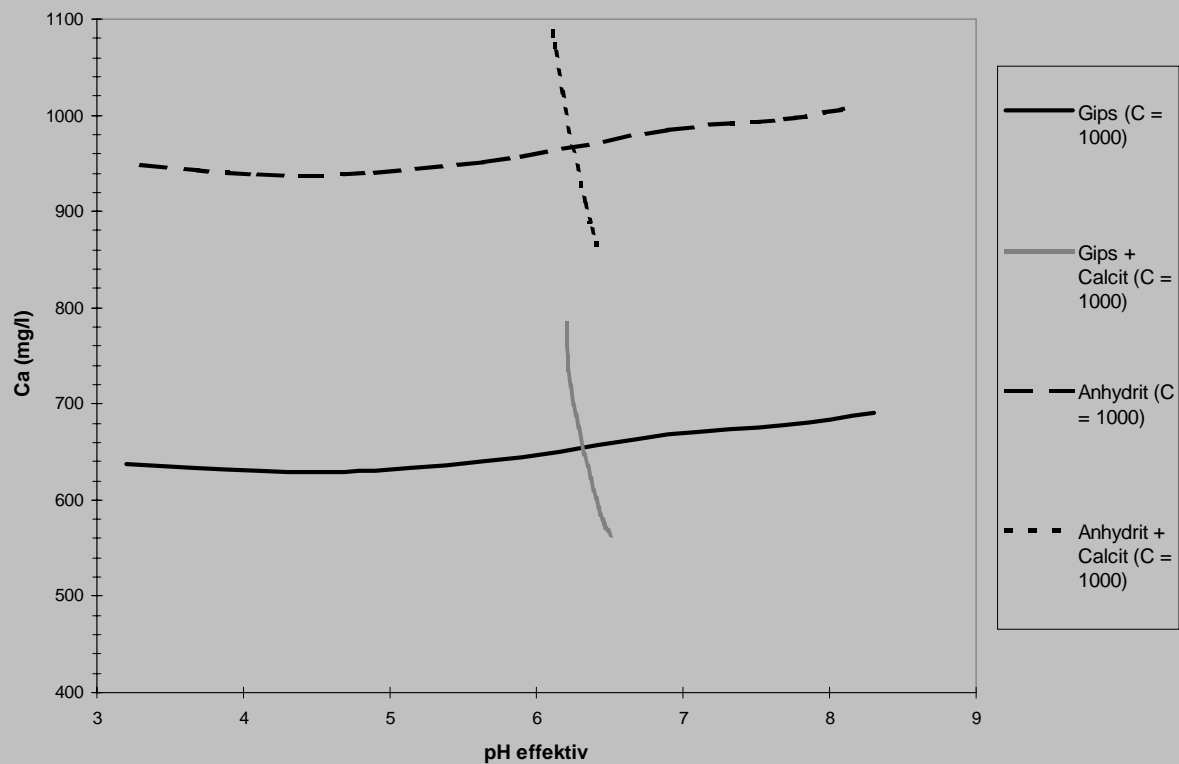
**Abb. 10.2.9:** Löslichkeitsverhalten von Ca in Gips und Anhydrit bei unterschiedlichen Fremdsalzlasten ( $\text{Na}^+$ ,  $\text{Cl}^-$ ), unter Berücksichtigung der Paragenesen mit Calcit ( $C = \text{C}_{\text{tot}}$ , [mg/l])

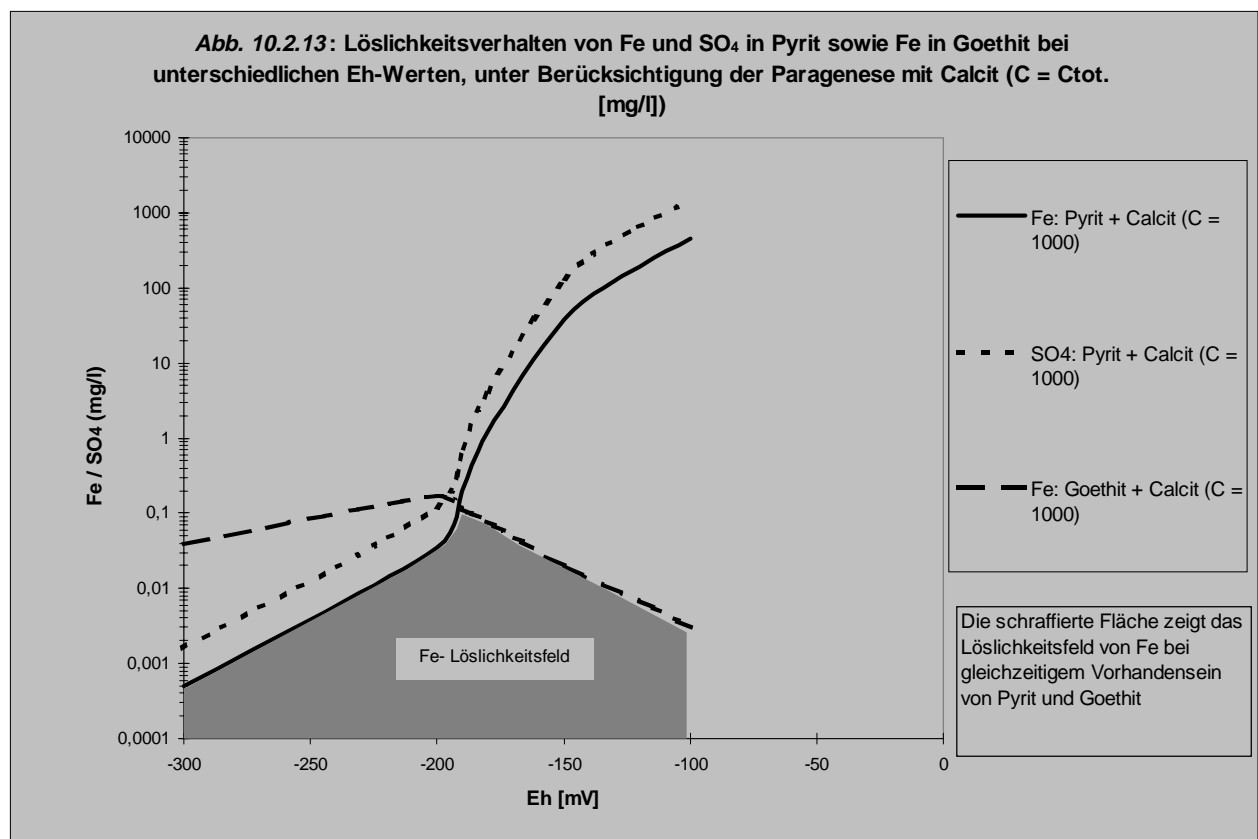
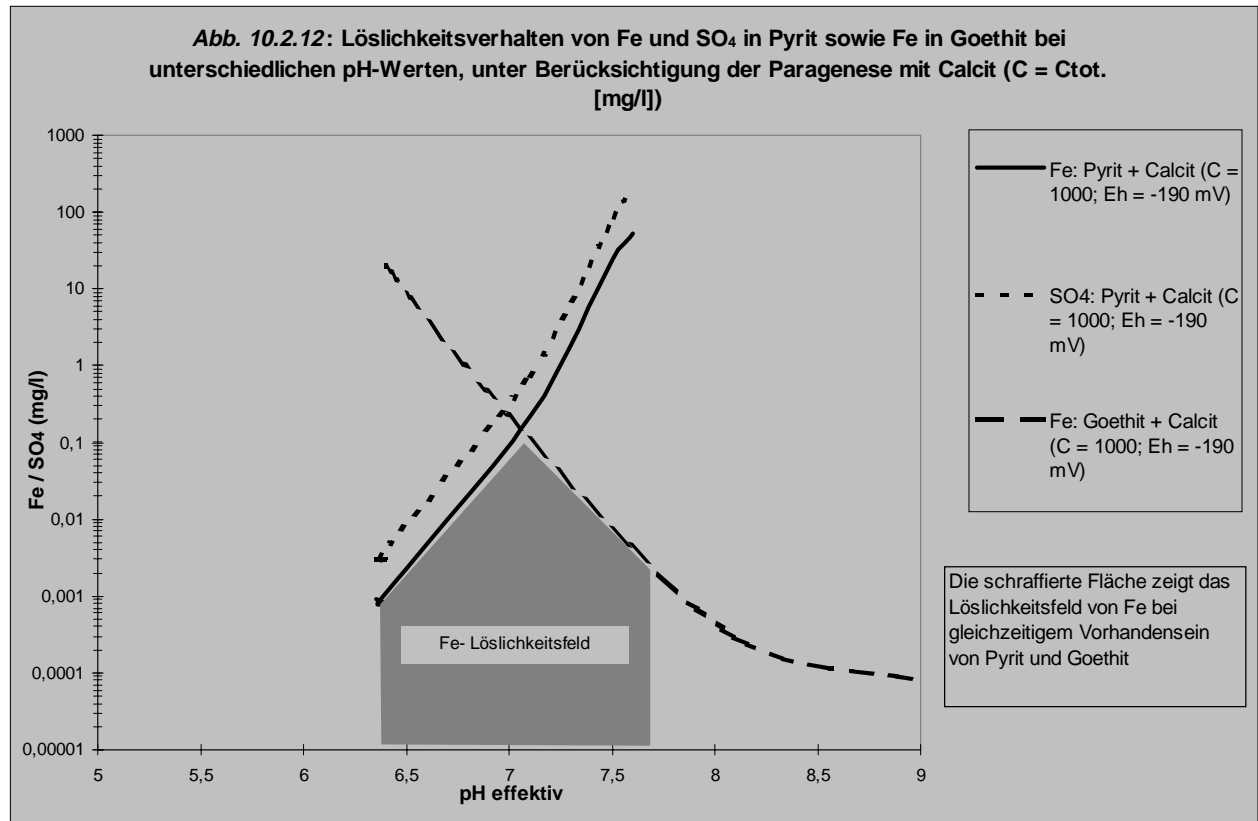


**Abb. 10.2.10:** Löslichkeitsverhalten von Sulfat in Gips und Anhydrit bei unterschiedlichen pH-Werten, unter Berücksichtigung der Paragenesen mit Calcit ( $C = C_{tot}$ . [mg/l])

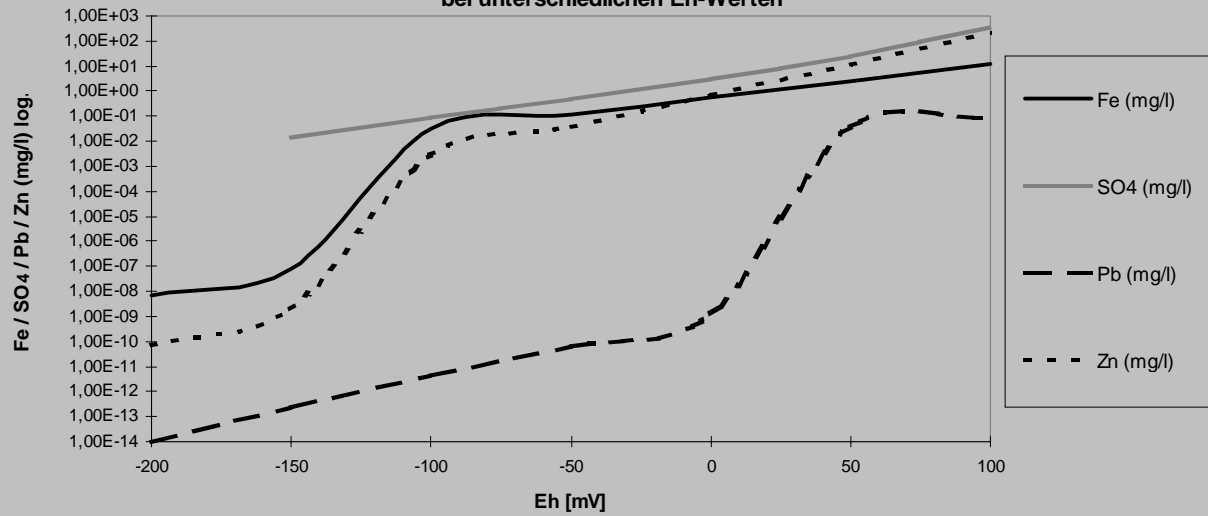


**Abb. 10.2.11:** Löslichkeitsverhalten von Calcium in Gips und Anhydrit bei unterschiedlichen pH-Werten, unter Berücksichtigung der Paragenesen mit Calcit ( $C = C_{tot}$ . [mg/l])

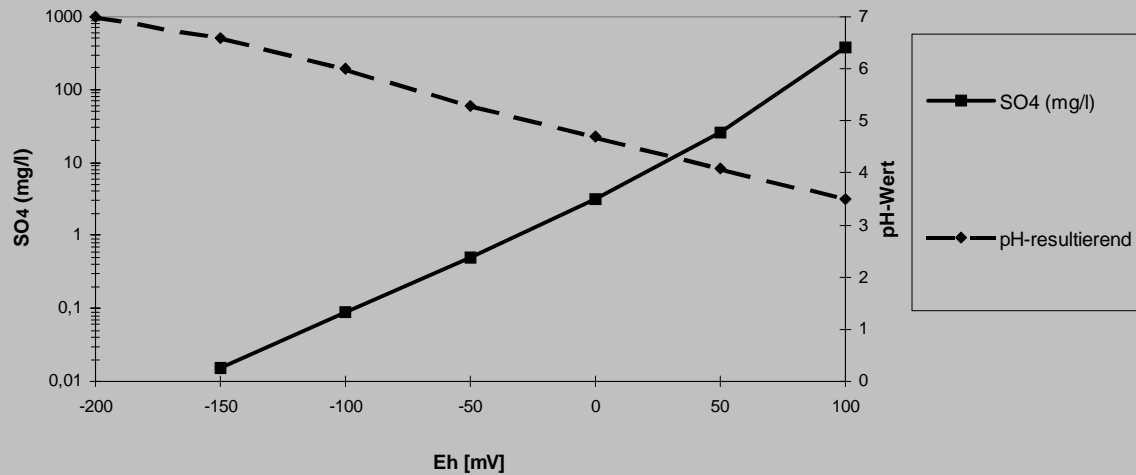




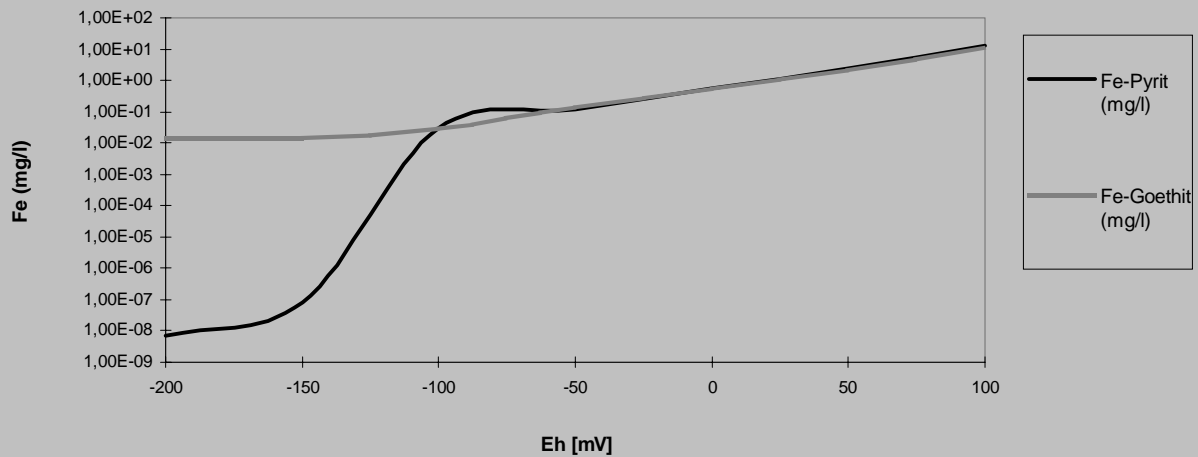
**Abb. 10.2.14: Löslichkeitsverhalten von Fe, Pb, Zn und SO<sub>4</sub> aus Pyrit, Galenit und Sphalerit bei unterschiedlichen Eh-Werten**



**Abb. 10.2.15: Löslichkeitsverhalten von Schwefel aus Pyrit, Galenit und Sphalerit und resultierender pH-Wert der Lösung bei unterschiedlichen Eh-Werten**



**Abb. 10.2.16: Vergleich des Löslichkeitsverhaltens von Fe aus Pyrit und Goethit bei unterschiedlichen Eh-Werten. Basis sind die resultierenden Lösungen bei Equilibrierung von Pyrit, Galenit und Sphalerit mit den jeweiligen resultierenden pH-Werten (s.o.)**





**Tab. 10.2.10: Pb, Zn, Cd, Ca, C, S (pH-Variation)**

Löslichkeiten von Pb, Zn, Cd, Ca, C und S bei unterschiedlichen pH-Werten von einwirkenden wässrigen Ausgangslösungen und daraus resultierende pH-Werte. Ausgangsminerale sind Cerussit, Anglesit, Smithsonit und Otavit. Diese werden zusätzlich mit Calcit und Siderit kombiniert.  
In den Diagrammen sind die jeweils gelösten Mengen der Ionen (mg/l) gegen die Ausgangs-pH-Werte aufgetragen.  
Ctot. ist der CO<sub>2</sub>-Gesamtgehalt. S wird als SO<sub>4</sub><sup>2-</sup> berechnet, C als CO<sub>3</sub><sup>2-</sup>.

|                                                         |      |      |      |      |      |      |      |
|---------------------------------------------------------|------|------|------|------|------|------|------|
| <b>Cerussit:</b> T = 10°C Eh = 200 mV Ctot. = 1000 mg/l |      |      |      |      |      |      |      |
| Element/pH                                              | 3    | 4    | 5    | 6    | 7    | 8    | 9    |
| C (mg/l)                                                | 1034 | 1009 | 1002 | 1000 | 1000 | 1000 | 1000 |
| Pb (mg/l)                                               | 115  | 29   | 5,4  | 0,3  | 0,2  | 0,2  | 0,5  |
| pHres.                                                  | 4,4  | 4,7  | 5    | 6    | 7    | 8    | 9    |

|                                                                  |      |       |       |       |       |       |       |
|------------------------------------------------------------------|------|-------|-------|-------|-------|-------|-------|
| <b>Cerussit + Calcit:</b> T = 10°C Eh = 200 mV Ctot. = 1000 mg/l |      |       |       |       |       |       |       |
| Element/pH                                                       | 3    | 4     | 5     | 6     | 7     | 8     | 9     |
| Ca (mg/l)                                                        | 273  | 254   | 243   | 172   | 37    | 4,3   | 0,74  |
| C (mg/l)                                                         | 1416 | 1387  | 1370  | 1262  | 1057  | 1007  | 1001  |
| Pb (mg/l)                                                        | 0,19 | 0,189 | 0,188 | 0,184 | 0,179 | 0,211 | 0,475 |
| pHres.                                                           | 6,5  | 6,5   | 6,5   | 6,6   | 7,2   | 8,1   | 9     |

|                                                         |      |      |      |      |      |      |      |
|---------------------------------------------------------|------|------|------|------|------|------|------|
| <b>Anglesit:</b> T = 10°C Eh = 200 mV Ctot. = 1000 mg/l |      |      |      |      |      |      |      |
| Element/pH                                              | 3    | 4    | 5    | 6    | 7    | 8    | 9    |
| C (mg/l)                                                | 1000 | 1000 | 1000 | 1000 | 1000 | 1000 | 1000 |
| S (mg/l)                                                | 13   | 12   | 13   | 22   | 86   | 149  | 182  |
| Pb (mg/l)                                               | 28   | 27   | 28   | 48   | 185  | 320  | 394  |
| pHres.                                                  | 3    | 4    | 5    | 6    | 6,8  | 7,2  | 7,4  |

|                                                                  |      |      |      |      |      |      |      |
|------------------------------------------------------------------|------|------|------|------|------|------|------|
| <b>Anglesit + Calcit:</b> T = 10°C Eh = 200 mV Ctot. = 1000 mg/l |      |      |      |      |      |      |      |
| Element/pH                                                       | 3    | 4    | 5    | 6    | 7    | 8    | 9    |
| Ca (mg/l)                                                        | 298  | 280  | 269  | 199  | 65   | 31   | 24   |
| C (mg/l)                                                         | 1454 | 1426 | 1409 | 1302 | 1098 | 1048 | 1036 |
| S (mg/l)                                                         | 74   | 76   | 76   | 83   | 127  | 182  | 213  |
| Pb (mg/l)                                                        | 161  | 163  | 165  | 179  | 275  | 393  | 460  |
| pHres.                                                           | 6,5  | 6,5  | 6,5  | 6,6  | 7    | 7,4  | 7,5  |

|                                                                    |      |      |     |      |     |      |      |
|--------------------------------------------------------------------|------|------|-----|------|-----|------|------|
| <b>Cerussit + Anglesit:</b> T = 10°C Eh = 200 mV Ctot. = 1000 mg/l |      |      |     |      |     |      |      |
| Element/pH                                                         | 3    | 4    | 5   | 6    | 7   | 8    | 9    |
| C (mg/l)                                                           | 1034 | 1007 | 993 | 894  | 644 | 550  | 520  |
| S (mg/l)                                                           | 3    | 8    | 19  | 168  | 560 | 708  | 756  |
| Pb (mg/l)                                                          | 122  | 42   | 18  | 2,9  | 1,4 | 1,2  | 1,16 |
| pHres.                                                             | 4,3  | 4,6  | 4,8 | 5,25 | 5,6 | 5,64 | 5,7  |

|                                                                             |       |       |       |       |       |       |       |
|-----------------------------------------------------------------------------|-------|-------|-------|-------|-------|-------|-------|
| <b>Cerussit + Anglesit + Calcit:</b> T = 10°C Eh = 200 mV Ctot. = 1000 mg/l |       |       |       |       |       |       |       |
| Element/pH                                                                  | 3     | 4     | 5     | 6     | 7     | 8     | 9     |
| Ca (mg/l)                                                                   | 12448 | 12436 | 12429 | 12382 | 12275 | 12236 | 12224 |
| C (mg/l)                                                                    | 1270  | 1237  | 1217  | 1085  | 783   | 671   | 635   |
| S (mg/l)                                                                    | 29408 | 29432 | 29447 | 29543 | 29763 | 29845 | 29871 |
| Pb (mg/l)                                                                   | 0,71  | 0,71  | 0,707 | 0,703 | 0,696 | 0,693 | 0,692 |
| pHres.                                                                      | 5,9   | 5,9   | 5,9   | 5,9   | 6     | 6,1   | 6,1   |

|                                                           |      |      |      |      |      |      |      |
|-----------------------------------------------------------|------|------|------|------|------|------|------|
| <b>Smithsonit:</b> T = 10°C Eh = 200 mV Ctot. = 1000 mg/l |      |      |      |      |      |      |      |
| Element/pH                                                | 3    | 4    | 5    | 6    | 7    | 8    | 9    |
| C (mg/l)                                                  | 1153 | 1130 | 1117 | 1049 | 1005 | 1002 | 1002 |
| Zn (mg/l)                                                 | 164  | 140  | 125  | 52   | 5    | 2    | 2    |
| pHres.                                                    | 5,8  | 5,9  | 5,9  | 6,1  | 7    | 8    | 9    |

|                                                                    |      |      |      |      |      |      |      |
|--------------------------------------------------------------------|------|------|------|------|------|------|------|
| <b>Smithsonit + Calcit:</b> T = 10°C Eh = 200 mV Ctot. = 1000 mg/l |      |      |      |      |      |      |      |
| Element/pH                                                         | 3    | 4    | 5    | 6    | 7    | 8    | 9    |
| Ca (mg/l)                                                          | 266  | 248  | 237  | 168  | 37   | 4    | 0,7  |
| C (mg/l)                                                           | 1421 | 1393 | 1375 | 1267 | 1060 | 1009 | 1003 |
| Zn (mg/l)                                                          | 18   | 17   | 16   | 12   | 4    | 2    | 2    |
| pHres.                                                             | 6,5  | 6,5  | 6,5  | 6,6  | 7,2  | 8,1  | 9    |

|                                                       |      |      |      |      |        |        |        |
|-------------------------------------------------------|------|------|------|------|--------|--------|--------|
| <b>Otavit:</b> T = 10°C Eh = 200 mV Ctot. = 1000 mg/l |      |      |      |      |        |        |        |
| Element/pH                                            | 3    | 4    | 5    | 6    | 7      | 8      | 9      |
| C (mg/l)                                              | 1032 | 1006 | 1001 | 1000 | 1000   | 1000   | 1000   |
| Cd (mg/l)                                             | 58,5 | 11,5 | 1,2  | 0,02 | 0,0013 | 0,0006 | 0,0005 |
| pHres.                                                | 4,2  | 4,5  | 5    | 6    | 7      | 8      | 9      |

| Otavit + Calcit: |        | T = 10°C |        | Eh = 200 mV |       | Ctot. = 1000 mg/l |        |
|------------------|--------|----------|--------|-------------|-------|-------------------|--------|
| Element/pH       | 3      | 4        | 5      | 6           | 7     | 8                 | 9      |
| Ca (mg/l)        | 273    | 254      | 243    | 172         | 37    | 4                 | 0,74   |
| C (mg/l)         | 1415   | 1387     | 1369   | 1261        | 1057  | 1007              | 1001   |
| Cd (mg/l)        | 0,0041 | 0,0039   | 0,0037 | 0,0028      | 0,001 | 0,0006            | 0,0005 |
| pHres.           | 6,5    | 6,5      | 6,5    | 6,6         | 7,2   | 8,1               | 9      |

| Cerussit + Smithsonit + Otavit + Siderit + Calcit: |       |        |        |        |       | T = 10°C |        | Eh = 200 mV |  | Ctot. = 1000 mg/l |
|----------------------------------------------------|-------|--------|--------|--------|-------|----------|--------|-------------|--|-------------------|
| Element/pH                                         | 3     | 4      | 5      | 6      | 7     | 8        | 9      | 10          |  |                   |
| Ca (mg/l)                                          | 265   | 247    | 236    | 167    | 37    | 4        | 0,9    | 0,4         |  |                   |
| Fe (mg/l)                                          | 2     | 2      | 2      | 1,4    | 0,35  | 0,22     | 7,3    | 119         |  |                   |
| C (mg/l)                                           | 1422  | 1393   | 1376   | 1268   | 1060  | 1009     | 1011   | 1134        |  |                   |
| Zn (mg/l)                                          | 18    | 16     | 16     | 12     | 4     | 2,2      | 2,2    | 2,6         |  |                   |
| Cd (mg/l)                                          | 0,004 | 0,0038 | 0,0036 | 0,0027 | 0,001 | 0,0006   | 0,0005 | 0,0005      |  |                   |
| Pb (mg/l)                                          | 0,19  | 0,19   | 0,19   | 0,18   | 0,18  | 0,21     | 0,4    | 1           |  |                   |
| pHres.                                             | 6,5   | 6,5    | 6,5    | 6,6    | 7,2   | 8,1      | 8,9    | 9,4         |  |                   |

**Tab. 10.2.11: Pb, Zn, Cd, Ca, C, S (Eh-Variation)**

Löslichkeiten von Pb, Zn, Cd, Ca, C und S bei unterschiedlichen Eh-Werten von einwirkenden wässrigen Ausgangslösungen. Ausgangsminerale sind Cerussit, Anglesit, Smithsonit und Otavit. Diese werden zusätzlich mit Calcit und Siderit kombiniert.

In den Diagrammen sind die jeweils gelösten Mengen der Ionen (mg/l) gegen die Ausgangs-Eh-Werte aufgetragen.

Ctot. ist der CO<sub>2</sub>-Gesamtgehalt. S wird als SO<sub>4</sub><sup>2-</sup> berechnet, C als CO<sub>3</sub><sup>2-</sup>.

| Cerussit:  |      | T = 10°C |      | pH = 7 |      | Ctot. = 1000 mg/l |         |
|------------|------|----------|------|--------|------|-------------------|---------|
| Element/mV | -300 | -250     | -200 | -100   | 1    | 100               | bis 600 |
| C (mg/l)   | 1000 | 1000     | 1000 | 1000   | 1000 | 1000              | 1000    |
| Pb (mg/l)  | 1,4  | 1,8      | 0,2  | 0,2    | 0,2  | 0,2               | 0,2     |
| pHres.     | 8    | 7,3      | 7    | 7      | 7    | 7                 | 7       |

| Cerussit + Calcit: |      | T = 10°C |      | pH = 7 |      | Ctot. = 1000 mg/l |         |
|--------------------|------|----------|------|--------|------|-------------------|---------|
| Element/mV         | -300 | -250     | -200 | -100   | 1    | 100               | bis 600 |
| Ca (mg/l)          | 26   | 64       | 40   | 37     | 37   | 37                | 37      |
| C (mg/l)           | 1039 | 1097     | 1062 | 1057   | 1057 | 1057              | 1057    |
| Pb (mg/l)          | 0,18 | 0,18     | 0,18 | 0,18   | 0,18 | 0,18              | 0,18    |
| pHres.             | 8,3  | 7,5      | 7,1  | 7,2    | 7,2  | 7,2               | 7,2     |

| Anglesit:  |      | T = 10°C |      | pH = 7 |     | Ctot. = 0 mg/l |         |
|------------|------|----------|------|--------|-----|----------------|---------|
| Element/mV | -300 | -250     | -200 | -100   | 1   | 100            | bis 600 |
| S (mg/l)   | 95   | 26       | 15   | 12     | 12  | 12             | 12      |
| Pb (mg/l)  | 204  | 55       | 33   | 27     | 27  | 27             | 27      |
| pHres.     | 8,6  | 7,9      | 7,2  | 6      | 5,8 | 5,8            | 5,8     |

| Anglesit:  |      | T = 10°C |      | pH = 7 |      | Ctot. = 1000 mg/l |         |
|------------|------|----------|------|--------|------|-------------------|---------|
| Element/mV | -300 | -250     | -200 | -100   | 1    | 100               | bis 600 |
| C (mg/l)   | 1000 | 1000     | 1000 | 1000   | 1000 | 1000              | 1000    |
| S (mg/l)   | 3237 | 1734     | 253  | 86     | 86   | 86                | 86      |
| Pb (mg/l)  | 6983 | 3739     | 546  | 185    | 185  | 185               | 185     |
| pHres.     | 8,2  | 7,6      | 7,1  | 6,8    | 6,8  | 6,8               | 6,8     |

| Anglesit + Calcit: |      | T = 10°C |      | pH = 7 |      | Ctot. = 1000 mg/l |         |
|--------------------|------|----------|------|--------|------|-------------------|---------|
| Element/mV         | -300 | -250     | -200 | -150   | -100 | 100               | bis 600 |
| Ca (mg/l)          | 240  | 118      | 51   | 65     | 65   | 65                | 65      |
| C (mg/l)           | 1366 | 1180     | 1077 | 1098   | 1098 | 1098              | 1098    |
| S (mg/l)           | 2669 | 1645     | 206  | 127    | 127  | 127               | 127     |
| Pb (mg/l)          | 5757 | 3549     | 444  | 275    | 275  | 275               | 275     |
| pHres.             | 8,3  | 7,6      | 7,1  | 7      | 7    | 7                 | 7       |

| Cerussit + Anglesit: |       | T = 10°C |      | pH = 7 |     | Ctot. = 1000 mg/l |         |
|----------------------|-------|----------|------|--------|-----|-------------------|---------|
| Element/mV           | -300  | -250     | -200 | -100   | 1   | 100               | bis 600 |
| C (mg/l)             | 0,055 | 0,058    | 2,5  | 317    | 644 | 644               | 644     |
| S (mg/l)             | 3464  | 1921     | 1571 | 1076   | 560 | 560               | 560     |
| Pb (mg/l)            | 4076  | 748      | 1,6  | 1,3    | 1,4 | 1,4               | 1,4     |
| pHres.               | 8,25  | 7,6      | 7,1  | 5,7    | 5,6 | 5,6               | 5,6     |

**Cerussit + Anglesit + Calcit:**

T = 10°C

pH = 7

Ctot. = 1000 mg/l

| Element/mV | -145  | -120  | -100  | -50   | 1     | 100   | bis 600 |
|------------|-------|-------|-------|-------|-------|-------|---------|
| Ca (mg/l)  | 12224 | 12259 | 12275 | 12275 | 12275 | 12275 | 12275   |
| C (mg/l)   | 207   | 574   | 780   | 783   | 783   | 783   | 783     |
| S (mg/l)   | 30546 | 30053 | 29766 | 29763 | 29763 | 29763 | 29763   |
| Pb (mg/l)  | 0,698 | 0,696 | 0,696 | 0,696 | 0,696 | 0,696 | 0,696   |
| pHres.     | 6,4   | 6,1   | 6,04  | 6,03  | 6,03  | 6,03  | 6,03    |

**Smithsonit:**

T = 10°C

pH = 7

Ctot. = 1000 mg/l

| Element/mV | -300 | -250 | -200 | -100 | 1    | 100  | bis 600 |
|------------|------|------|------|------|------|------|---------|
| C (mg/l)   | 1012 | 1021 | 1005 | 1005 | 1005 | 1005 | 1005    |
| Zn (mg/l)  | 13   | 22   | 5,4  | 5,3  | 5,3  | 5,3  | 5,3     |
| pHres.     | 8,2  | 7,5  | 7    | 7    | 7    | 7    | 7       |

**Smithsonit + Calcit:**

T = 10°C

pH = 7

Ctot. = 0 mg/l

| Element/mV | -300 | -250 | -200 | -100 | 1   | 100 | bis 600 |
|------------|------|------|------|------|-----|-----|---------|
| Ca (mg/l)  | 9    | 9    | 9    | 9    | 9   | 9   | 9       |
| C (mg/l)   | 29   | 29   | 29   | 29   | 29  | 29  | 29      |
| Zn (mg/l)  | 16   | 16   | 16   | 16   | 16  | 16  | 16      |
| pHres.     | 9,2  | 9,2  | 9,2  | 9,2  | 9,2 | 9,2 | 9,2     |

**Smithsonit + Calcit:**

T = 10°C

pH = 7

Ctot. = 1000 mg/l

| Element/mV | -300 | -250 | -200 | -100 | 1    | 100  | bis 600 |
|------------|------|------|------|------|------|------|---------|
| Ca (mg/l)  | 25   | 63   | 40   | 37   | 37   | 37   | 37      |
| C (mg/l)   | 1024 | 1101 | 1065 | 1060 | 1060 | 1060 | 1060    |
| Zn (mg/l)  | 4    | 6    | 4    | 4    | 4    | 4    | 4       |
| pHres.     | 8,3  | 7,5  | 7,2  | 7,2  | 7,2  | 7,2  | 7,2     |

**Otavit:**

T = 10°C

pH = 7

Ctot. = 1000 mg/l

| Element/mV | -300 | -250 | -240 | -235 | -230 | -225 | -220 | -215  | -210  | -200   | bis 600 |
|------------|------|------|------|------|------|------|------|-------|-------|--------|---------|
| C (mg/l)   | 1000 | 1000 | 1000 | 1000 | 1000 | 1000 | 1000 | 1000  | 1000  | 1000   | 1000    |
| Cd (mg/l)  | 0,21 | 0,46 | 0,52 | 0,44 | 0,19 | 0,04 | 0,01 | 0,003 | 0,002 | 0,0013 | 0,0013  |
| pHres.     | 8    | 7,25 | 7,1  | 7    | 7    | 7    | 7    | 7     | 7     | 7      | 7       |

**Otavit + Calcit:**

T = 10°C

pH = 7

Ctot. = 1000 mg/l

| Element/mV | -300   | -250   | -200   | -100  | 1     | 100   | bis 600 |
|------------|--------|--------|--------|-------|-------|-------|---------|
| Ca (mg/l)  | 26     | 64     | 40     | 37    | 37    | 37    | 37      |
| C (mg/l)   | 1039   | 1097   | 1062   | 1057  | 1057  | 1057  | 1057    |
| Cd (mg/l)  | 0,0009 | 0,0014 | 0,0011 | 0,001 | 0,001 | 0,001 | 0,001   |
| pHres.     | 8,3    | 7,5    | 7,2    | 7,2   | 7,2   | 7,2   | 7,2     |

**Cerussit + Smithsonit + Otavit + Siderit + Calcit:**

T = 10°C

pH = 7

Ctot. = 1000 mg/l

| Element/mV | -300   | -250   | -200  | -100  | 1     | 100   | 200   | 300   | 400   | 500    | 600    |
|------------|--------|--------|-------|-------|-------|-------|-------|-------|-------|--------|--------|
| Ca (mg/l)  | 25     | 63     | 40    | 37    | 37    | 37    | 37    | 37    | 38    | 47     | 30     |
| Fe (mg/l)  | 0,18   | 0,43   | 0,38  | 0,35  | 0,35  | 0,35  | 0,35  | 0,6   | 16    | 421    | 5087   |
| C (mg/l)   | 1042   | 1101   | 1065  | 1060  | 1060  | 1060  | 1060  | 1061  | 1079  | 1536   | 6607   |
| Zn (mg/l)  | 4      | 5,8    | 4,2   | 4     | 4     | 4     | 4     | 4     | 4,1   | 4,6    | 3,4    |
| Cd (mg/l)  | 0,0009 | 0,0014 | 0,001 | 0,001 | 0,001 | 0,001 | 0,001 | 0,001 | 0,001 | 0,0011 | 0,0009 |
| Pb (mg/l)  | 0,18   | 0,18   | 0,18  | 0,18  | 0,18  | 0,18  | 0,18  | 0,18  | 0,18  | 0,18   | 0,19   |
| pHres.     | 8,3    | 7,5    | 7,2   | 7,2   | 7,2   | 7,2   | 7,2   | 7,2   | 7,2   | 7      | 6,9    |

**Tab. 10.2.12: Pb, Zn, Cd, Ca, C, S (Temp.-Variation)**

Löslichkeiten von Pb, Zn, Cd, Ca, C und S bei unterschiedlichen Temperaturen von einwirkenden wässrigen Ausgangslösungen. Ausgangsminerale sind Cerussit, Anglesit, Smithsonit und Otavit. Diese werden zusätzlich mit Calcit und Siderit kombiniert.

In den Diagrammen sind die jeweils gelösten Mengen der Ionen (mg/l) gegen die Ausgangstemperaturen aufgetragen.

Ctot. ist der CO<sub>2</sub>-Gesamtgehalt. S wird als SO<sub>4</sub><sup>2-</sup> berechnet, C als CO<sub>3</sub><sup>2-</sup>.

**Cerussit:**

pH = 7

Eh = 200 mV

Ctot. = 1000 mg/l

| Element/ °C | 5    | 15   | 25   | 35   | 45   | 55   | 65   | 75   |
|-------------|------|------|------|------|------|------|------|------|
| C (mg/l)    | 1000 | 1000 | 1000 | 1000 | 1000 | 1000 | 1000 | 1000 |
| Pb (mg/l)   | 0,15 | 0,2  | 0,3  | 0,36 | 0,46 | 0,6  | 0,7  | 0,9  |
| pHres.      | 7    | 7    | 7    | 7    | 7    | 7    | 7    | 7    |

**Cerussit + Calcit:** pH = 7 Eh = 200 mV Ctot. = 1000 mg/l

| Element/ °C | 5    | 15   | 25   | 35    | 45   | 55   | 65   | 75   |
|-------------|------|------|------|-------|------|------|------|------|
| Ca (mg/l)   | 43   | 33   | 25   | 20    | 16   | 13   | 10   | 8    |
| C (mg/l)    | 1066 | 1050 | 1038 | 1030  | 1024 | 1019 | 1016 | 1013 |
| Pb (mg/l)   | 0,15 | 0,21 | 0,28 | 0,364 | 0,47 | 0,59 | 0,74 | 0,91 |
| pHres.      | 7,2  | 7,2  | 7,14 | 7,1   | 7,1  | 7,1  | 7,06 | 7,04 |

**Anglesit:** pH = 7 Eh = 200 mV Ctot. = 1000 mg/l

| Element/ °C | 5    | 15   | 25   | 35   | 45   | 55   | 65   | 75   |
|-------------|------|------|------|------|------|------|------|------|
| C (mg/l)    | 1000 | 1000 | 1000 | 1000 | 1000 | 1000 | 1000 | 1000 |
| S (mg/l)    | 78   | 93   | 107  | 119  | 130  | 140  | 147  | 154  |
| Pb (mg/l)   | 168  | 201  | 231  | 258  | 281  | 301  | 318  | 332  |
| pHres.      | 6,9  | 6,8  | 6,8  | 6,7  | 6,7  | 6,7  | 6,7  | 6,7  |

**Anglesit + Calcit:** pH = 7 Eh = 200 mV Ctot. = 1000 mg/l

| Element/ °C | 5    | 15   | 25   | 35   | 45   | 55   | 65   | 75   |
|-------------|------|------|------|------|------|------|------|------|
| Ca (mg/l)   | 70   | 60   | 52   | 46   | 40   | 34   | 29   | 24   |
| C (mg/l)    | 1106 | 1091 | 1080 | 1070 | 1061 | 1052 | 1044 | 1037 |
| S (mg/l)    | 120  | 134  | 147  | 157  | 164  | 170  | 174  | 176  |
| Pb (mg/l)   | 258  | 290  | 317  | 338  | 355  | 367  | 375  | 380  |
| pHres.      | 7,1  | 7    | 6,9  | 6,9  | 6,8  | 6,8  | 6,8  | 6,7  |

**Cerussit + Anglesit:** pH = 7 Eh = 200 mV Ctot. = 1000 mg/l

| Element/ °C | 5   | 15  | 25  | 35  | 45  | 55  | 65  | 75  |
|-------------|-----|-----|-----|-----|-----|-----|-----|-----|
| C (mg/l)    | 654 | 637 | 627 | 621 | 619 | 620 | 622 | 626 |
| S (mg/l)    | 545 | 572 | 588 | 597 | 600 | 600 | 596 | 590 |
| Pb (mg/l)   | 1,3 | 1,5 | 1,7 | 2   | 2,3 | 2,6 | 3   | 3,5 |
| pHres.      | 5,6 | 5,5 | 5,5 | 5,5 | 5,5 | 5,5 | 5,5 | 5,5 |

**Cerussit + Anglesit + Calcit:** pH = 7 Eh = 200 mV Ctot. = 1000 mg/l

| Element/ °C | 5     | 15    | 25     | 35    | 45     | 55    | 65    | 75   |
|-------------|-------|-------|--------|-------|--------|-------|-------|------|
| Ca (mg/l)   | 13116 | 11426 | 9730   | 8092  | 6567   | 5198  | 4013  | 3022 |
| C (mg/l)    | 793   | 773   | 756    | 740   | 726    | 713   | 702   | 694  |
| S (mg/l)    | 31762 | 27741 | 23704  | 19803 | 16171  | 12912 | 10089 | 7727 |
| Pb (mg/l)   | 0,622 | 0,778 | 0,9675 | 1,197 | 1,4723 | 1,8   | 2,2   | 2,64 |
| pHres.      | 6,1   | 6     | 5,93   | 5,88  | 5,84   | 5,81  | 5,795 | 5,79 |

**Smithsonit:** pH = 7 Eh = 200 mV Ctot. = 1000 mg/l

| Element/ °C | 5    | 15   | 25   | 35   | 45   | 55   | 65   | 75   |
|-------------|------|------|------|------|------|------|------|------|
| C (mg/l)    | 1006 | 1004 | 1003 | 1002 | 1001 | 1001 | 1001 | 1001 |
| Zn (mg/l)   | 6,8  | 4,2  | 2,9  | 2,1  | 1,6  | 1,2  | 1    | 0,9  |
| pHres.      | 7    | 7    | 7    | 7    | 7    | 7    | 7    | 7    |

**Smithsonit + Calcit:** pH = 7 Eh = 200 mV Ctot. = 1000 mg/l

| Element/ °C | 5    | 15   | 25   | 35   | 45   | 55   | 65   | 75   |
|-------------|------|------|------|------|------|------|------|------|
| Ca (mg/l)   | 43   | 32   | 25   | 20   | 16   | 12   | 10   | 8    |
| C (mg/l)    | 1069 | 1052 | 1040 | 1032 | 1025 | 1020 | 1016 | 1013 |
| Zn (mg/l)   | 5    | 3,4  | 2,4  | 1,8  | 1,4  | 1,15 | 0,97 | 0,85 |
| pHres.      | 7,2  | 7,2  | 7,1  | 7,1  | 7,1  | 7,1  | 7,1  | 7    |

**Otavit:** pH = 7 Eh = 200 mV Ctot. = 1000 mg/l

| Element/ °C | 5      | 15     | 25    | 35     | 45     | 55     | 65     | 75     |
|-------------|--------|--------|-------|--------|--------|--------|--------|--------|
| C (mg/l)    | 1000   | 1000   | 1000  | 1000   | 1000   | 1000   | 1000   | 1000   |
| Cd (mg/l)   | 0,0015 | 0,0012 | 0,001 | 0,0009 | 0,0008 | 0,0008 | 0,0007 | 0,0007 |
| pHres.      | 7      | 7      | 7     | 7      | 7      | 7      | 7      | 7      |

**Otavit + Calcit:** pH = 7 Eh = 200 mV Ctot. = 1000 mg/l

| Element/ °C | 5      | 15    | 25     | 35     | 45     | 55     | 65     | 75     |
|-------------|--------|-------|--------|--------|--------|--------|--------|--------|
| Ca (mg/l)   | 43     | 33    | 25     | 20     | 16     | 13     | 10     | 8      |
| C (mg/l)    | 1066   | 1050  | 1038   | 1030   | 1024   | 1019   | 1015   | 1012   |
| Cd (mg/l)   | 0,0011 | 0,001 | 0,0009 | 0,0008 | 0,0008 | 0,0007 | 0,0007 | 0,0007 |
| pHres.      | 7,2    | 7,2   | 7,1    | 7,1    | 7,1    | 7,1    | 7,06   | 7,04   |

**Cerussit + Smithsonit + Otavit + Siderit + Calcit:**

pH = 7

Eh = 200 mV

Ctot. = 1000 mg/l

| Element/ °C | 5      | 15     | 25     | 35     | 45     | 55     | 65     | 75     |
|-------------|--------|--------|--------|--------|--------|--------|--------|--------|
| Ca (mg/l)   | 42     | 32     | 25     | 20     | 16     | 13     | 10     | 8      |
| Fe (mg/l)   | 0,4    | 0,32   | 0,28   | 0,29   | 0,4    | 0,77   | 1,9    | 5,1    |
| C (mg/l)    | 1070   | 1053   | 1041   | 1032   | 1026   | 1021   | 1019   | 1019   |
| Zn (mg/l)   | 5      | 3,4    | 2,4    | 1,8    | 1,4    | 1,15   | 0,97   | 0,85   |
| Cd (mg/l)   | 0,0011 | 0,0009 | 0,0009 | 0,0008 | 0,0008 | 0,0007 | 0,0007 | 0,0007 |
| Pb (mg/l)   | 0,15   | 0,21   | 0,28   | 0,36   | 0,47   | 0,59   | 0,74   | 0,91   |
| pHres.      | 7,2    | 7,2    | 7,1    | 7,1    | 7,1    | 7,1    | 7      | 7      |

**Tab. 10.2.13: Pb, Zn, Cd, Ca, C, S (Ctot.-Variation)**

Löslichkeiten von Pb, Zn, Cd, Ca, C und S bei unterschiedlichen C-total-Werten (Ctot.) von einwirkenden wässrigen Ausgangslösungen. Ausgangsminerale sind Cerussit, Anglesit, Smithsonit und Otavit. Diese werden zusätzlich mit Calcit und Siderit kombiniert.

In den Diagrammen sind die jeweils gelösten Mengen der Ionen (mg/l) gegen die C-total-Ausgangswerte aufgetragen.

Ctot. ist der CO<sub>2</sub>-Gesamtgehalt. S wird als SO<sub>4</sub><sup>2-</sup> berechnet, C als CO<sub>3</sub><sup>2-</sup>.

**Cerussit:**

pH = 7

Eh = 200 mV

T = 10°C

| El./ Ctot.(mg/l) | 0   | 100  | 300  | 500  | 1000 | 1500 | 2000 | 3000 | 4000 | 5000 | 10000 |
|------------------|-----|------|------|------|------|------|------|------|------|------|-------|
| C (mg/l)         | 0,4 | 100  | 300  | 500  | 1000 | 1500 | 2000 | 3000 | 4000 | 5000 | 10000 |
| Pb (mg/l)        | 1,5 | 0,18 | 0,18 | 0,18 | 0,18 | 0,18 | 0,18 | 0,18 | 0,18 | 0,18 | 0,21  |
| pHres.           | 8,3 | 7    | 7    | 7    | 7    | 7    | 7    | 7    | 7    | 7    | 7     |

**Cerussit + Calcit:**

pH = 7

Eh = 200 mV

T = 10°C

| El./ Ctot.(mg/l) | 0    | 100   | 300  | 500  | 1000 | 1500 | 2000 | 3000 | 4000  | 5000  | 10000 |
|------------------|------|-------|------|------|------|------|------|------|-------|-------|-------|
| Ca (mg/l)        | 4    | 14    | 30   | 36   | 37   | 34   | 31   | 26   | 23    | 21    | 15    |
| C (mg/l)         | 7    | 122   | 346  | 555  | 1057 | 1552 | 2047 | 3040 | 4035  | 5031  | 10023 |
| Pb (mg/l)        | 0,99 | 0,184 | 0,18 | 0,18 | 0,18 | 0,18 | 0,18 | 0,18 | 0,186 | 0,189 | 0,21  |
| pHres.           | 10,3 | 8,3   | 7,6  | 7,4  | 7,2  | 7,1  | 7,1  | 7    | 7     | 7     | 7     |

**Anglesit:**

pH = 7

Eh = 200 mV

T = 10°C

| El./ Ctot.(mg/l) | 0   | 100 | 300 | 500 | 1000 | 1500 | 2000 | 3000 | 4000 | 5000 | 10000 |
|------------------|-----|-----|-----|-----|------|------|------|------|------|------|-------|
| C (mg/l)         |     | 100 | 300 | 500 | 1000 | 1500 | 2000 | 3000 | 4000 | 5000 | 10000 |
| S (mg/l)         | 12  | 23  | 41  | 56  | 86   | 111  | 133  | 173  | 208  | 242  | 391   |
| Pb (mg/l)        | 27  | 50  | 89  | 120 | 185  | 238  | 286  | 372  | 450  | 522  | 844   |
| pHres.           | 5,8 | 6,7 | 6,8 | 6,8 | 6,8  | 6,8  | 6,9  | 6,9  | 6,9  | 6,9  | 6,9   |

**Anglesit + Calcit:**

pH = 7

Eh = 200 mV

T = 10°C

| El./ Ctot.(mg/l) | 0    | 100 | 300 | 500 | 1000 | 1500 | 2000 | 3000 | 4000 | 5000 | 10000 |
|------------------|------|-----|-----|-----|------|------|------|------|------|------|-------|
| Ca (mg/l)        | 55   | 60  | 69  | 71  | 65   | 57   | 50   | 40   | 35   | 31   | 22    |
| C (mg/l)         | 85   | 192 | 405 | 608 | 1098 | 1586 | 2076 | 3062 | 4053 | 5047 | 10033 |
| S (mg/l)         | 129  | 117 | 114 | 116 | 127  | 142  | 158  | 191  | 223  | 254  | 399   |
| Pb (mg/l)        | 278  | 252 | 246 | 250 | 275  | 307  | 342  | 413  | 482  | 549  | 861   |
| pHres.           | 8,75 | 7,8 | 7,4 | 7,2 | 7    | 7    | 6,95 | 6,9  | 6,9  | 6,9  | 6,9   |

**Cerussit + Anglesit:**

pH = 7

Eh = 200 mV

T = 10°C

| El./ Ctot.(mg/l) | 0    | 100 | 300 | 500 | 1000 | 1500 | 2000  | 3000  | 4000  | 5000  | 10000 |
|------------------|------|-----|-----|-----|------|------|-------|-------|-------|-------|-------|
| C (mg/l)         | 0,42 | 65  | 195 | 324 | 644  | 964  | 1282  | 1915  | 2545  | 3173  | 6288  |
| S (mg/l)         | 12   | 58  | 167 | 278 | 560  | 845  | 1131  | 1709  | 2291  | 2876  | 5844  |
| Pb (mg/l)        | 28   | 6,6 | 2,9 | 2   | 1,4  | 1,1  | 0,975 | 0,833 | 0,756 | 0,707 | 0,598 |
| pHres.           | 6,6  | 5,6 | 5,6 | 5,6 | 5,6  | 5,5  | 5,5   | 5,5   | 5,5   | 5,5   | 5,4   |

**Cerussit + Anglesit + Calcit:**

pH = 7

Eh = 200 mV

T = 10°C

| El./ Ctot.(mg/l) | 0     | 100   | 300   | 500   | 1000  | 1500  | 2000  | 3000  | 4000  | 5000  | 10000 |
|------------------|-------|-------|-------|-------|-------|-------|-------|-------|-------|-------|-------|
| Ca (mg/l)        | 12312 | 12320 | 12317 | 12308 | 12275 | 12236 | 12193 | 12102 | 12007 | 11912 | 11450 |
| C (mg/l)         | 1,16  | 101   | 267   | 421   | 783   | 1130  | 1470  | 2135  | 2789  | 3435  | 6602  |
| S (mg/l)         | 29507 | 29525 | 29573 | 29625 | 29763 | 29908 | 30057 | 30365 | 30685 | 31014 | 32792 |
| Pb (mg/l)        | 2,025 | 0,712 | 0,704 | 0,701 | 0,696 | 0,691 | 0,686 | 0,677 | 0,668 | 0,659 | 0,619 |
| pHres.           | 8,7   | 6,7   | 6,35  | 6,2   | 6,03  | 5,94  | 5,87  | 5,78  | 5,71  | 5,66  | 5,53  |

**Smithsonit:** pH = 7 Eh = 200 mV T = 10°C

| El./ Ctot.(mg/l) | 0   | 100 | 300 | 500 | 1000 | 1500 | 2000 | 3000 | 4000 | 5000 | 10000 |
|------------------|-----|-----|-----|-----|------|------|------|------|------|------|-------|
| C (mg/l)         | 13  | 111 | 309 | 507 | 1005 | 1504 | 2004 | 3003 | 4003 | 5003 | 10002 |
| Zn (mg/l)        | 14  | 12  | 10  | 8   | 5    | 4,4  | 3,9  | 3,4  | 3,1  | 2,9  | 2,6   |
| pHres.           | 8,5 | 7,3 | 7,1 | 7   | 7    | 7    | 7    | 7    | 7    | 7    | 7     |

**Smithsonit + Calcit:** pH = 7 Eh = 200 mV T = 10°C

| El./ Ctot.(mg/l) | 0   | 100 | 300 | 500 | 1000 | 1500 | 2000 | 3000 | 4000 | 5000 | 10000 |
|------------------|-----|-----|-----|-----|------|------|------|------|------|------|-------|
| Ca (mg/l)        | 9   | 14  | 29  | 35  | 37   | 34   | 31   | 26   | 23   | 20   | 15    |
| C (mg/l)         | 29  | 124 | 348 | 558 | 1060 | 1555 | 2050 | 3042 | 4037 | 5034 | 10025 |
| Zn (mg/l)        | 16  | 3,3 | 3,7 | 4   | 4    | 3,8  | 3,6  | 3,3  | 3    | 2,9  | 2,5   |
| pHres.           | 9,2 | 8,3 | 7,6 | 7,4 | 7,2  | 7,1  | 7,1  | 7    | 7    | 7    | 7     |

**Otavit:** pH = 7 Eh = 200 mV T = 10°C

| El./ Ctot.(mg/l) | 0     | 100    | 300   | 500   | 1000   | 1500   | 2000  | 3000   | 4000   | 5000   | 10000  |
|------------------|-------|--------|-------|-------|--------|--------|-------|--------|--------|--------|--------|
| C (mg/l)         | 0,08  | 100    | 300   | 500   | 1000   | 1500   | 2000  | 3000   | 4000   | 5000   | 10000  |
| Cd (mg/l)        | 0,143 | 0,0065 | 0,003 | 0,002 | 0,0013 | 0,0011 | 0,001 | 0,0009 | 0,0008 | 0,0008 | 0,0007 |
| pHres.           | 8,6   | 7      | 7     | 7     | 7      | 7      | 7     | 7      | 7      | 7      | 7      |

**Otavit + Calcit:** pH = 7 Eh = 200 mV T = 10°C

| El./ Ctot.(mg/l) | 0      | 100    | 300    | 500   | 1000 | 1500 | 2000   | 3000   | 4000   | 5000   | 10000  |
|------------------|--------|--------|--------|-------|------|------|--------|--------|--------|--------|--------|
| Ca (mg/l)        | 4,4    | 14     | 30     | 36    | 37   | 34   | 31     | 26     | 23     | 21     | 15     |
| C (mg/l)         | 6,8    | 122    | 346    | 555   | 1057 | 1552 | 2047   | 3039   | 4035   | 5031   | 10023  |
| Cd (mg/l)        | 0,0007 | 0,0007 | 0,0009 | 0,001 | 0    | 0    | 0,0009 | 0,0008 | 0,0008 | 0,0008 | 0,0007 |
| pHres.           | 10,3   | 8,3    | 7,6    | 7,4   | 7,2  | 7,1  | 7,1    | 7      | 7      | 7      | 7      |

**Cerussit + Smithsonit + Otavit + Siderit + Calcit:** pH = 7 Eh = 200 mV T = 10°C

| El./ Ctot.(mg/l) | 0      | 100    | 300    | 500   | 1000  | 1500  | 2000   | 3000   | 4000   | 5000   | 10000  |
|------------------|--------|--------|--------|-------|-------|-------|--------|--------|--------|--------|--------|
| Ca (mg/l)        | 18     | 16     | 29     | 35    | 37    | 34    | 31     | 26     | 23     | 20     | 15     |
| Fe (mg/l)        | 23     | 3      | 0,3    | 0,3   | 0,35  | 0,36  | 0,35   | 0,34   | 0,33   | 0,33   | 0,31   |
| C (mg/l)         | 58     | 130    | 348    | 558   | 1060  | 1556  | 2050   | 3043   | 4038   | 5034   | 10026  |
| Zn (mg/l)        | 4,8    | 3,3    | 3,7    | 4     | 4     | 3,8   | 3,6    | 3,3    | 3      | 2,9    | 2,5    |
| Cd (mg/l)        | 0,0008 | 0,0008 | 0,0009 | 0,001 | 0,001 | 0,001 | 0,0009 | 0,0008 | 0,0008 | 0,0008 | 0,0007 |
| Pb (mg/l)        | 0,19   | 0,18   | 0,18   | 0,18  | 0,18  | 0,18  | 0,18   | 0,18   | 0,19   | 0,19   | 0,21   |
| pHres.           | 8,6    | 8,3    | 7,6    | 7,4   | 7,2   | 7,1   | 7,1    | 7      | 7      | 7      | 7      |

**Tab. 10.2.14: Pb, Zn, Cd, Ca, C, S (Salzlast-Variation)**

Löslichkeiten von Pb, Zn, Cd, Ca, C und S bei unterschiedlichen Salzlasten (Molarität von NaCl) von einwirkenden wässrigen Ausgangslösungen. Ausgangsminerale sind Cerussit, Anglesit, Smithsonit und Otavit. Diese werden zusätzlich mit Calcit und Siderit kombiniert.  
In den Diag. sind die jeweils gelösten Mengen der Ionen (mg/l) gegen die Ausgangs-Salzlasten (Mol NaCl) aufgetragen.  
Ctot. ist der CO<sub>2</sub>-Gesamtgehalt. S wird als SO<sub>4</sub><sup>2-</sup> berechnet, C als CO<sub>3</sub><sup>2-</sup>.

**Cerussit:** pH = 7 T = 10°C Eh = 200 mV Ctot. = 1000 mg/l

| El./NaCl (Mol) | 0    | 0,05  | 0,1  | 0,2   | 0,4   | 0,8   | 1     | 2     | 3     | 4    |
|----------------|------|-------|------|-------|-------|-------|-------|-------|-------|------|
| C (mg/l)       | 1000 | 1000  | 1000 | 1000  | 1000  | 1000  | 1000  | 1000  | 1000  | 1001 |
| Pb (mg/l)      | 0,18 | 0,185 | 0,19 | 0,201 | 0,227 | 0,308 | 0,366 | 0,832 | 1,478 | 2,19 |
| pHres.         | 7    | 7     | 7    | 7     | 7     | 7     | 7     | 7     | 7     | 7    |

**Cerussit + Calcit:** pH = 7 T = 10°C Eh = 200 mV Ctot. = 1000 mg/l

| El./NaCl (Mol) | 0     | 0,05  | 0,1   | 0,2   | 0,4   | 0,8   | 1     | 2     | 3    | 4    |
|----------------|-------|-------|-------|-------|-------|-------|-------|-------|------|------|
| Ca (mg/l)      | 37    | 47,5  | 52    | 56    | 58,7  | 58,2  | 57    | 49    | 41   | 33,6 |
| C (mg/l)       | 1057  | 1072  | 1079  | 1085  | 1089  | 1089  | 1087  | 1075  | 1062 | 1051 |
| Pb (mg/l)      | 0,179 | 0,183 | 0,186 | 0,189 | 0,192 | 0,198 | 0,204 | 0,274 | 0,4  | 0,57 |
| pHres.         | 7,2   | 7,3   | 7,3   | 7,4   | 7,4   | 7,5   | 7,5   | 7,6   | 7,6  | 7,6  |

**Anglesit:** pH = 7 T = 10°C Eh = 200 mV Ctot. = 1000 mg/l

| El./NaCl (Mol) | 0    | 0,05 | 0,1  | 0,2  | 0,4  | 0,8  | 1    | 2    | 3    | 4    |
|----------------|------|------|------|------|------|------|------|------|------|------|
| C (mg/l)       | 1000 | 1000 | 1000 | 1000 | 1000 | 1000 | 1000 | 1000 | 1000 | 1000 |
| S (mg/l)       | 86   | 106  | 119  | 140  | 181  | 272  | 322  | 608  | 892  | 1150 |
| Pb (mg/l)      | 185  | 228  | 256  | 303  | 392  | 586  | 969  | 1311 | 1925 | 2481 |
| pHres.         | 6,8  | 6,8  | 6,8  | 6,8  | 6,8  | 6,8  | 6,8  | 6,8  | 6,85 | 6,9  |

**Anglesit + Calcit:** pH = 7 T = 10°C Eh = 200 mV Ctot. = 1000 mg/l

| El./NaCl (Mol) | 0    | 0,05 | 0,1  | 0,2  | 0,4  | 0,8  | 1    | 2    | 3    | 4    |
|----------------|------|------|------|------|------|------|------|------|------|------|
| Ca (mg/l)      | 65   | 85,4 | 96,6 | 110  | 124  | 130  | 128  | 103  | 78   | 59,7 |
| C (mg/l)       | 1098 | 1130 | 1147 | 1168 | 1189 | 1198 | 1194 | 1156 | 1119 | 1091 |
| S (mg/l)       | 127  | 165  | 189  | 224  | 277  | 368  | 415  | 674  | 938  | 1183 |
| Pb (mg/l)      | 275  | 356  | 407  | 483  | 598  | 794  | 894  | 1453 | 2024 | 2551 |
| pHres.         | 7    | 7,1  | 7,1  | 7,14 | 7,17 | 7,21 | 7,23 | 7,3  | 7,34 | 7,36 |

**Cerussit + Anglesit:** pH = 7 T = 10°C Eh = 200 mV Ctot. = 1000 mg/l

| El./NaCl (Mol) | 0   | 0,05 | 0,1 | 0,2  | 0,4 | 0,8 | 1    | 2    | 3    | 4    |
|----------------|-----|------|-----|------|-----|-----|------|------|------|------|
| C (mg/l)       | 644 | 629  | 622 | 614  | 604 | 592 | 588  | 577  | 573  | 572  |
| S (mg/l)       | 560 | 585  | 598 | 616  | 647 | 712 | 752  | 1004 | 1274 | 1524 |
| Pb (mg/l)      | 1,4 | 4,45 | 8,4 | 18,7 | 49  | 151 | 224  | 728  | 1299 | 1836 |
| pHres.         | 5,6 | 5,5  | 5,4 | 5,35 | 5,3 | 5,2 | 5,18 | 5,12 | 5,09 | 5,06 |

**Cerussit + Anglesit + Calcit:** pH = 7 T = 10°C Eh = 200 mV Ctot. = 1000 mg/l

| El./NaCl (Mol) | 0     | 0,05  | 0,1   | 0,2   | 0,4   | 0,8   | 1     | 2     | 3     | 4     |
|----------------|-------|-------|-------|-------|-------|-------|-------|-------|-------|-------|
| Ca (mg/l)      | 12275 | 12445 | 12593 | 12832 | 13152 | 13405 | 13409 | 12793 | 11675 | 10409 |
| C (mg/l)       | 783   | 772   | 767   | 763   | 759   | 755   | 755   | 757   | 764   | 774   |
| S (mg/l)       | 29763 | 30188 | 30548 | 31129 | 31902 | 32516 | 32528 | 31057 | 28383 | 25359 |
| Pb (mg/l)      | 0,696 | 0,848 | 1,01  | 1,38  | 2,32  | 5,25  | 7,39  | 27    | 64    | 122   |
| pHres.         | 6,035 | 6,03  | 6,02  | 6,01  | 5,99  | 5,94  | 5,92  | 5,84  | 5,76  | 5,7   |

**Smithsonit:** pH = 7 T = 10°C Eh = 200 mV Ctot. = 1000 mg/l

| El./NaCl (Mol) | 0    | 0,05 | 0,1  | 0,2  | 0,4  | 0,8  | 1    | 2    | 3    | 4    |
|----------------|------|------|------|------|------|------|------|------|------|------|
| C (mg/l)       | 1005 | 1007 | 1009 | 1012 | 1016 | 1022 | 1025 | 1034 | 1040 | 1041 |
| Zn (mg/l)      | 5    | 8    | 9,8  | 12,7 | 17   | 23,5 | 26   | 37   | 42   | 44   |
| pHres.         | 7    | 7    | 7    | 7    | 7,1  | 7,1  | 7,1  | 7,2  | 7,3  | 7,4  |

**Smithsonit + Calcit:** pH = 7 T = 10°C Eh = 200 mV Ctot. = 1000 mg/l

| El./NaCl (Mol) | 0    | 0,05 | 0,1  | 0,2  | 0,4  | 0,8  | 1    | 2    | 3    | 4    |
|----------------|------|------|------|------|------|------|------|------|------|------|
| Ca (mg/l)      | 37   | 47   | 51   | 54   | 57   | 56   | 54   | 44   | 34   | 26   |
| C (mg/l)       | 1060 | 1076 | 1082 | 1089 | 1093 | 1093 | 1091 | 1080 | 1070 | 1061 |
| Zn (mg/l)      | 4    | 5    | 5,4  | 6,1  | 7,1  | 8,7  | 9,5  | 14   | 19   | 23   |
| pHres.         | 7,2  | 7,3  | 7,3  | 7,4  | 7,5  | 7,54 | 7,57 | 7,64 | 7,68 | 7,7  |

**Otavit:** pH = 7 T = 10°C Eh = 200 mV Ctot. = 1000 mg/l

| El./NaCl (Mol) | 0      | 0,05   | 0,1    | 0,2    | 0,4    | 0,8    | 1      | 2      | 3      | 4      |
|----------------|--------|--------|--------|--------|--------|--------|--------|--------|--------|--------|
| C (mg/l)       | 1000   | 1000   | 1000   | 1000   | 1000   | 1000   | 1000   | 1000   | 1001   | 1001   |
| Cd (mg/l)      | 0,0013 | 0,0052 | 0,0097 | 0,0204 | 0,0485 | 0,1314 | 0,1865 | 0,5994 | 1,2124 | 1,9509 |
| pHres.         | 7      | 7      | 7      | 7      | 7      | 7      | 7      | 7      | 7      | 7      |

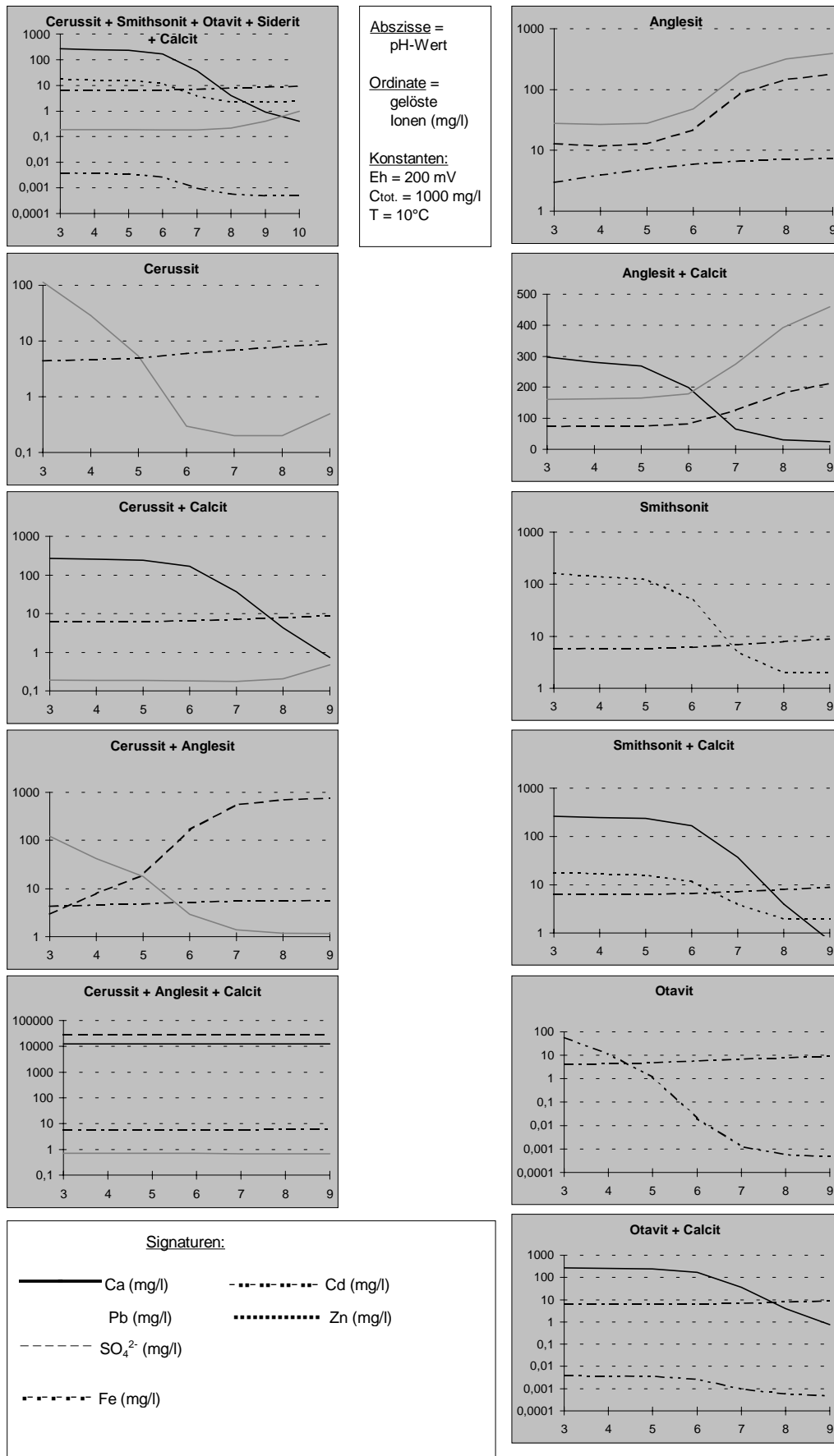
**Otavit + Calcit:** pH = 7 T = 10°C Eh = 200 mV Ctot. = 1000 mg/l

| El./NaCl (Mol) | 0     | 0,05   | 0,1    | 0,2    | 0,4    | 0,8    | 1      | 2      | 3      | 4      |
|----------------|-------|--------|--------|--------|--------|--------|--------|--------|--------|--------|
| Ca (mg/l)      | 37    | 47     | 52     | 56     | 59     | 58     | 57     | 49     | 41     | 34     |
| C (mg/l)       | 1057  | 1072   | 1079   | 1085   | 1089   | 1089   | 1087   | 1075   | 1062   | 1051   |
| Cd (mg/l)      | 0,001 | 0,0027 | 0,0043 | 0,0075 | 0,0149 | 0,0337 | 0,0455 | 0,1334 | 0,2735 | 0,4659 |
| pHres.         | 7,2   | 7,3    | 7,3    | 7,4    | 7,45   | 7,5    | 7,54   | 7,6    | 7,6    | 7,6    |

**Cerussit + Smithsonit + Otavit + Siderit + Calcit:** pH = 7 T = 10°C Eh = 200 mV Ctot. = 1000 mg/l

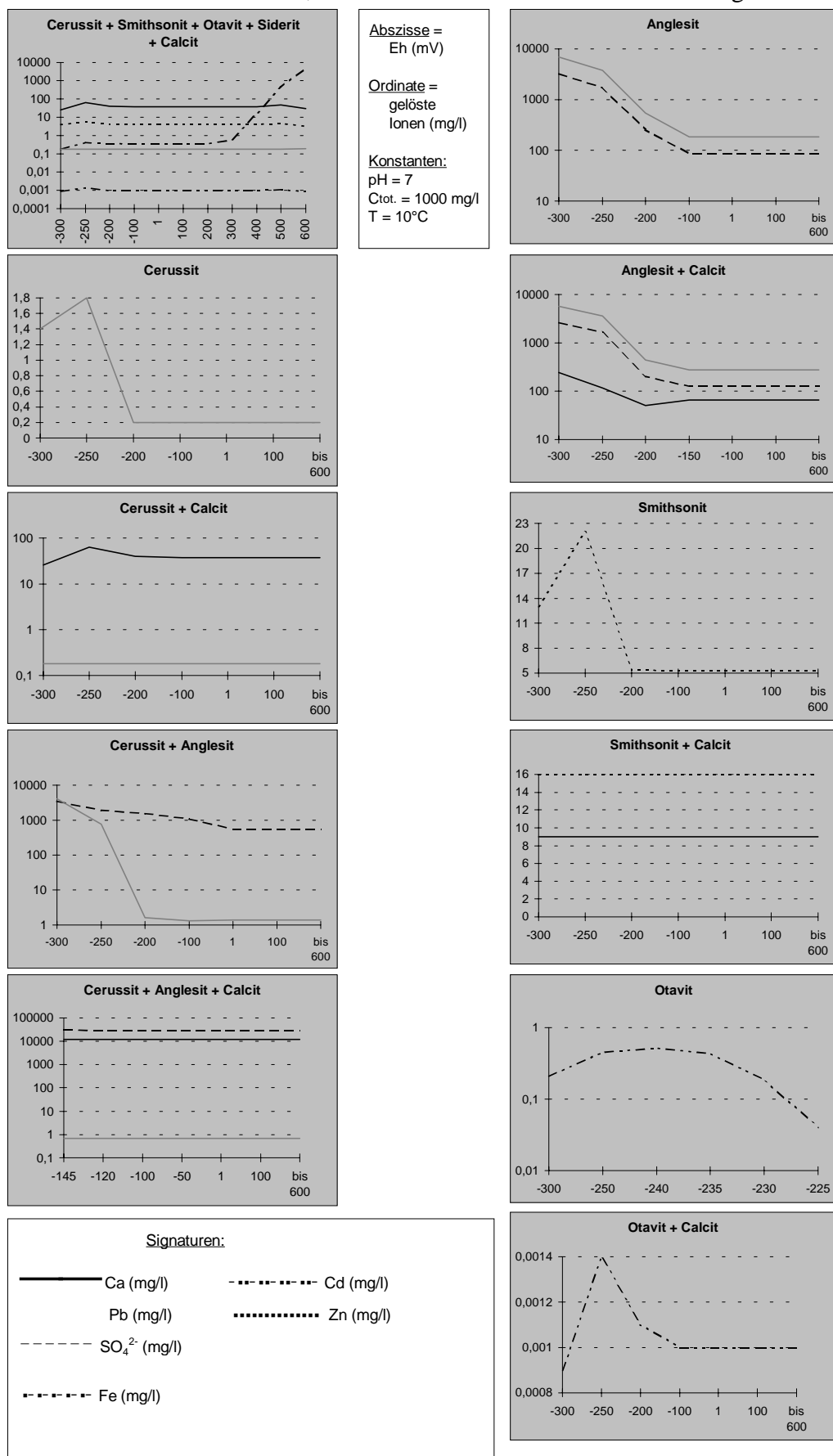
| El./NaCl (Mol) | 0     | 0,05   | 0,1    | 0,2    | 0,4    | 0,8   | 1     | 2      | 3      | 4      |
|----------------|-------|--------|--------|--------|--------|-------|-------|--------|--------|--------|
| Ca (mg/l)      | 37    | 46     | 50     | 54     | 57     | 55    | 54    | 44     | 34     | 25     |
| Fe (mg/l)      | 0,35  | 0,4    | 0,43   | 0,46   | 0,49   | 0,53  | 0,54  | 0,6    | 0,63   | 0,645  |
| C (mg/l)       | 1060  | 1076   | 1082   | 1089   | 1093   | 1093  | 1091  | 1081   | 1070   | 1061   |
| Zn (mg/l)      | 4     | 4,9    | 5,4    | 6,1    | 7,1    | 8,7   | 9,5   | 14     | 19     | 23     |
| Cd (mg/l)      | 0,001 | 0,0026 | 0,0042 | 0,0073 | 0,0143 | 0,032 | 0,043 | 0,1194 | 0,2275 | 0,3523 |
| Pb (mg/l)      | 0,18  | 0,18   | 0,19   | 0,19   | 0,19   | 0,2   | 0,202 | 0,257  | 0,348  | 0,449  |
| pHres.         | 7,2   | 7,3    | 7,3    | 7,4    | 7,5    | 7,5   | 7,6   | 7,6    | 7,7    | 7,7    |

**Abb. 10.2.17:** Löslichkeiten von Pb, Cd, Zn, Ca, C und S aus verschiedenen Mineralkombinationen, unter pH-Variation einwirkender Lösungen:

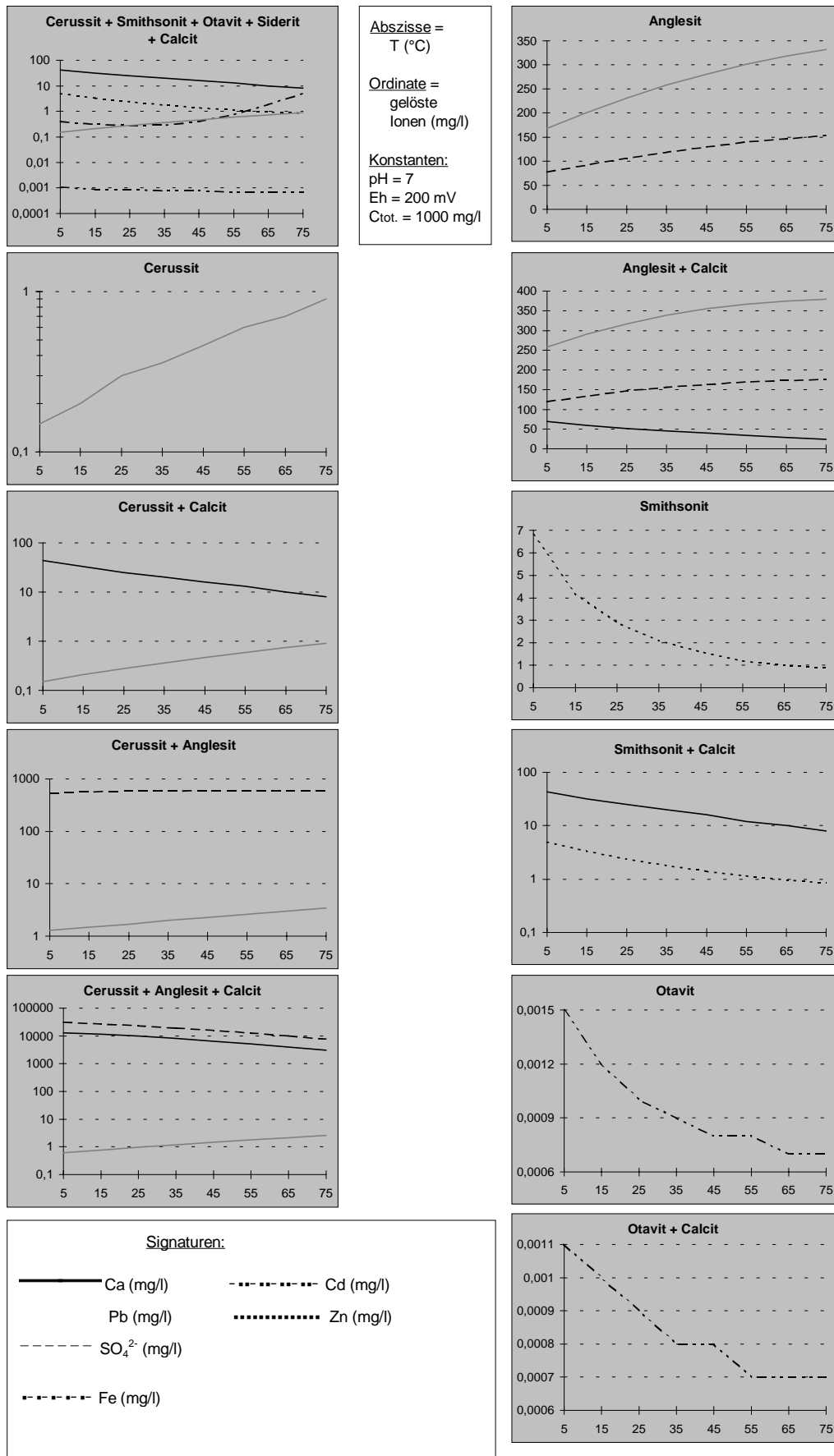




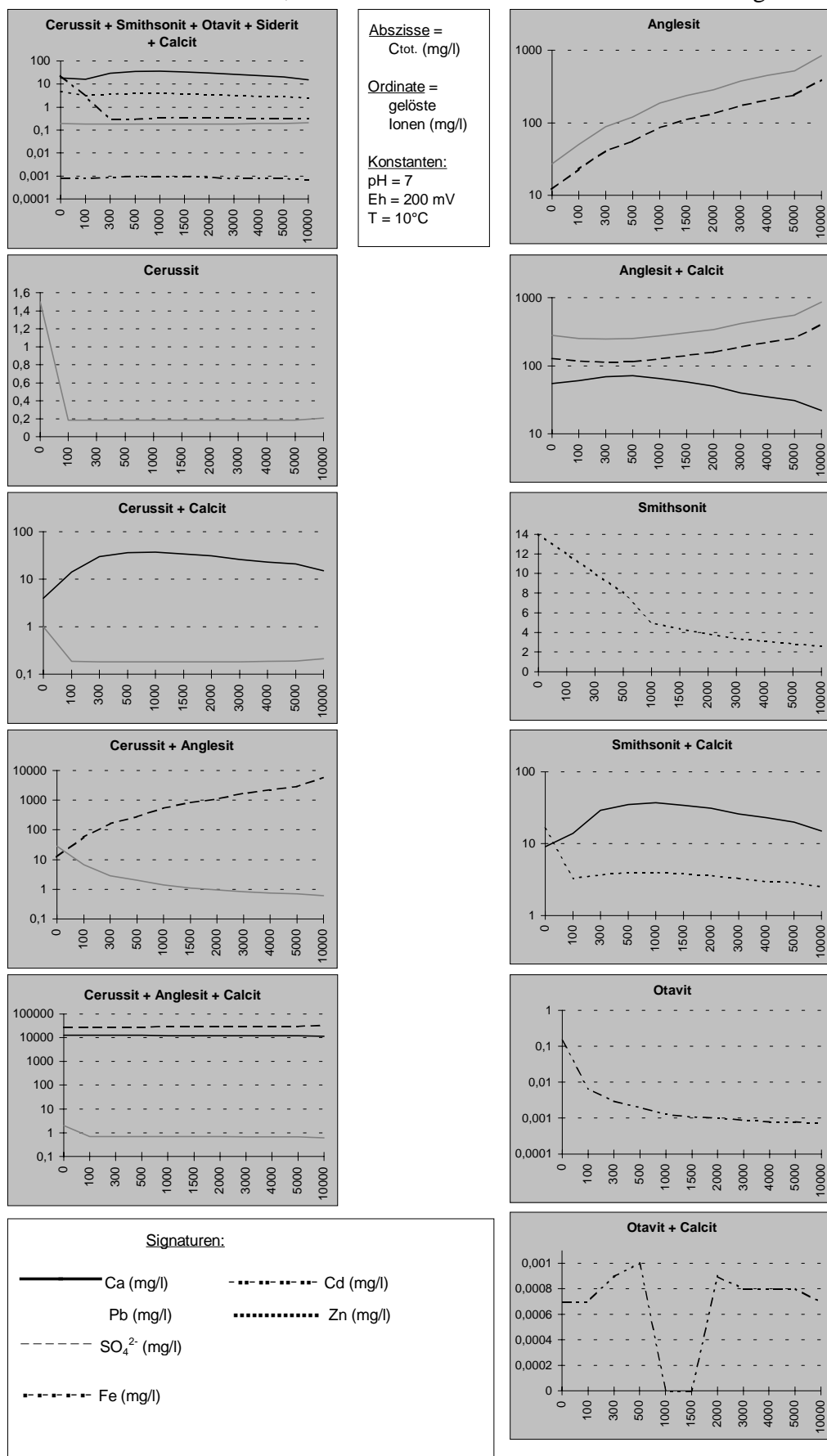
**Abb. 10.2.18:** Löslichkeiten von Pb, Cd, Zn, Ca, C und S aus verschiedenen Mineralkombinationen, unter Eh-Variation einwirkender Lösungen:



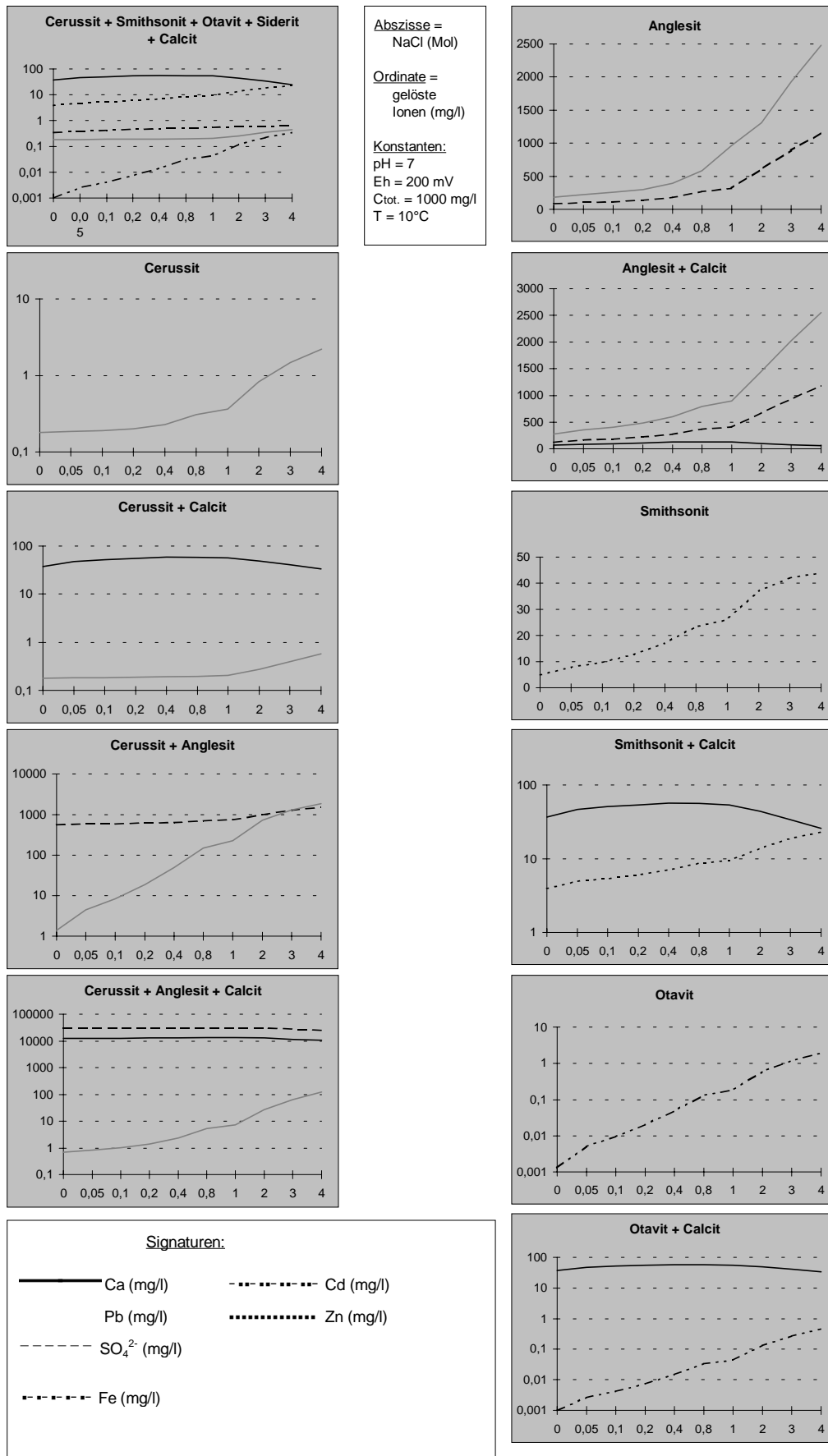
**Abb. 10.2.19:** Löslichkeiten von Pb, Cd, Zn, Ca, C und S aus verschiedenen Mineralkombinationen, unter Temperatur-Variation einwirkender Lösungen:



**Abb. 10.2.20:** Löslichkeiten von Pb, Cd, Zn, Ca, C und S aus verschiedenen Mineralkombinationen, unter C-total-Variation einwirkender Lösungen:



**Abb. 10.2.21:** Löslichkeiten von Pb, Cd, Zn, Ca, C und S aus verschiedenen Mineralkombinationen, unter Variation der Salzlast einwirkender Lösungen:



## Tabellenverzeichnis

|                                                                                                                                                                                                                                                                                       |     |
|---------------------------------------------------------------------------------------------------------------------------------------------------------------------------------------------------------------------------------------------------------------------------------------|-----|
| Tab. 2.1.1.: Stratigraphie der Trias im Untersuchungsgebiet-----                                                                                                                                                                                                                      | 21  |
| Tab. 2.1.2.: Stratigraphie des Jura im Untersuchungsgebiet-----                                                                                                                                                                                                                       | 22  |
| Tab. 3.2.1.: Beprobte Gesteinsschichten und zugehörige Probennahmelokalitäten -----                                                                                                                                                                                                   | 27  |
| Tab. 6.1.1.: Toxikologie d. natürlichen Spezies (nach ROTH & DAUNDERER: Giftliste <sup>PC</sup> 1996) und<br>MERIAN (1984) -----                                                                                                                                                      | 38  |
| Tab. 6.2.1.: Grenzwerte der Trinkwasserverordnung von 1990 (Zuordnung zu Eluaten): -----                                                                                                                                                                                              | 39  |
| Tab. 6.2.2.: Grenzwerte (mg/kg) für Böden (Gesamtgehalte) nach KLOKE [Bad.-Württ. 1980] bzw.<br>AbfKlärV [1992] bzw. Prüfwerte VwV anorg. Schadstoffe [Bad.-Württ. 1993]-----                                                                                                         | 40  |
| Tab. 6.2.3.: Hollandliste [1988] -----                                                                                                                                                                                                                                                | 40  |
| Tab. 6.2.4.: Grenzwerte (mg/kg) nach EIKMANN-KLOKE [1993] -----                                                                                                                                                                                                                       | 40  |
| Tab. 6.2.5.: Zuordnungswerte (mg/kg) Feststoff für Boden: Z0, Z1.1, Z1.2 u. Z2 [LAGA 1994]-----                                                                                                                                                                                       | 41  |
| Tab. 6.2.6.: Zuordnungswerte (mg/l) Eluat für Boden: Z0, Z1.1, Z1.2 u. Z2 [LAGA 1994] -----                                                                                                                                                                                           | 41  |
| Tab. 7.8.1.: Hauptmineralbestand der Tonsteine ( T ) -----                                                                                                                                                                                                                            | 53  |
| Tab. 7.8.2.: Hauptmineralbestand der sandigen Tone ( sT ) -----                                                                                                                                                                                                                       | 53  |
| Tab. 7.8.3.: Hauptmineralbestand der tonigen Mergel ( tM ) -----                                                                                                                                                                                                                      | 53  |
| Tab. 7.8.4.: Hauptmineralbestand der sandigen Mergel ( sM ) -----                                                                                                                                                                                                                     | 54  |
| Tab. 7.8.5.: Hauptmineralbestand der mergeligen Kalke ( mK )-----                                                                                                                                                                                                                     | 54  |
| Tab. 8.1.2.1.: Elementkorrelationen über alle Schichten – Gesamtgehalte der Gesteine -----                                                                                                                                                                                            | 64  |
| Tab. 8.1.3.1.: Elementkorrelationen nach stratigraphischen Serien – Gesamtgehalte der Gesteine -----                                                                                                                                                                                  | 66  |
| Tab. 8.1.3.2.: Rotierte Faktormatrix der Faktorenanalyse von Elementgesamtgehalten der Keuper-<br>schichten.-----                                                                                                                                                                     | 68  |
| Tab. 8.1.3.3.: Rotierte Faktormatrix der Faktorenanalyse von Elementgesamtgehalten der Schwarzju-<br>raschichten. -----                                                                                                                                                               | 70  |
| Tab. 8.1.3.4.: Rotierte Faktormatrix der Faktorenanalyse von Elementgesamtgehalten der Braunjura-<br>schichten.-----                                                                                                                                                                  | 72  |
| Tab. 8.1.4.1.: Elementkorrelationen über alle Schichten – Gesamtgehalte Hauptelemente / Eluatgehalte<br>Spurenelemente -----                                                                                                                                                          | 74  |
| Tab. 8.1.4.2.: Elementkorrelationen über alle Schichten – Gesamt- und Eluatgehalte eines Elementes-----                                                                                                                                                                               | 74  |
| Tab. 8.1.4.3.: Elementkorrelationen nach stratigraphischen Serien – Gesamtgehalte Hauptelemente /<br>Eluatgehalte Spurenelemente -----                                                                                                                                                | 75  |
| Tab. 8.2.1.: Aus Korrelationsanalysen abgeleitete Bindungsformen der Spurenelemente in den verschie-<br>denen untersuchten Serien-----                                                                                                                                                | 76  |
| Tab. 9.1.1.: Geogener Schwermetallbestand (mg/kg) der Schichtenfolge des Stadtgebietes von Stuttgart<br>(min.-max. Angaben) [nach JAHN et al. 1992] – Gesamtgehalte -----                                                                                                             | 77  |
| Tab. 9.1.2.: Mittlere Schwermetallgehalte (mg/kg) in Böden aus verschiedenen Ausgangsgesteinen Ba-<br>den-Württembergs (LfU Baden-Württemberg 1994) -----                                                                                                                             | 78  |
| Tab. 9.1.3.: Elementgehalte des Lias epsilon -----                                                                                                                                                                                                                                    | 79  |
| Tab. 9.1.4.: Geogene Schwermetallgehalte in Nordrhein-Westfalen nach petrographischer Zuordnung<br>(in mg/kg) unter Angabe der verschiedenen Quellen. In Klammern die entsprechenden mitt-<br>leren Gehalte in Baden-Württemberg (Ergebnisse der vorliegenden Arbeit in mg/kg) -----  | 80  |
| Tab. 9.1.5.: Geogene Schwermetallgehalte (Median) in Gesteinen Nordrhein-Westfalens differenziert<br>nach stratigraphischen Systemen (Angaben in mg/kg). In Klammern die entsprechenden<br>mittleren Gehalte in Baden-Württemberg (Ergebnisse der vorliegenden Arbeit in mg/kg) ----- | 81  |
| Tab. 9.2.1.: Vergleich geogen geprägte Beschaffenheit des Grundwassers in Baden-Württemberg /<br>Eluatgehalte -----                                                                                                                                                                   | 83  |
| Tab. 11.1.: Grenzwertüberschreitungen in den einzelnen Schichten ----- Fehler! Textmarke nicht definiert.                                                                                                                                                                             |     |
| Tab. 11.3.2.1.: Schichtbewertungstabelle nach Punkten-----                                                                                                                                                                                                                            | 116 |
| Tab. 11.3.2.2.: Gefährdungsgruppen -----                                                                                                                                                                                                                                              | 117 |
| Tab. 11.3.2.3.: Gefährdungsklassen u. geologische Formationen – prozentualer Anteil der Schichten /<br>(absoluter Anteil der jeweils zugehörigen Schichten) / [absoluter Anteil der jeweils zugehö-<br>rigen Proben]-----                                                             | 117 |
| Tab. 11.3.3.1.: Schichten der Klasse G0-----                                                                                                                                                                                                                                          | 118 |
| Tab. 11.3.3.2.: Schichten der Klasse G1-----                                                                                                                                                                                                                                          | 119 |

|                                               |     |
|-----------------------------------------------|-----|
| Tab. 11.3.3.3.: Schichten der Klasse G2 ----- | 119 |
| Tab. 11.3.3.4.: Schichten der Klasse G3 ----- | 119 |
| Tab. 11.3.3.5.: Schichten der Klasse G4 ----- | 119 |

## Tabellen im Anhang

|                                                                                                                                                                                                                |     |
|----------------------------------------------------------------------------------------------------------------------------------------------------------------------------------------------------------------|-----|
| Tab. 3.2.2.: Probenliste 1 -----                                                                                                                                                                               | 134 |
| Tab. 3.2.3.: Probenliste 2 (Bohrproben) -----                                                                                                                                                                  | 138 |
| Tab. 3.2.4.: Probenliste 3 (zusätzliche Bohrproben 1) -----                                                                                                                                                    | 139 |
| Tab. 3.2.5.: Probenliste 4 (zusätzliche Bohrproben 2) -----                                                                                                                                                    | 139 |
| Tab. 7.A1.: Meßwerte Hauptelemente - Gesamtgehalte [mg/kg] -----                                                                                                                                               | 141 |
| Tab. 7.A2.: Meßwerte Spurenelemente - Gesamtgehalte [mg/kg] -----                                                                                                                                              | 146 |
| Tab. 7.A3.: Meßwerte Hauptelemente - S4-Eluatgehalte [mg/l] -----                                                                                                                                              | 151 |
| Tab. 7.A4.: Meßwerte Spurenelemente - S4-Eluatgehalte [mg/l] -----                                                                                                                                             | 156 |
| Tab. 7.A5.: Ausgelaugter Gipskeuper - Gesamtgehalte -----                                                                                                                                                      | 161 |
| Tab. 7.A6.: Ausgelaugter Gipskeuper - S4-Eluatgehalte -----                                                                                                                                                    | 161 |
| Tab. 7.1.1.: Ergebnisse der Chlorid-, pH- und Leitfähigkeitmessungen -----                                                                                                                                     | 162 |
| Tab. 7.2.1.: Durchschnittliche Aluminiumgehalte in den geologischen Formationen -----                                                                                                                          | 163 |
| Tab. 7.2.2.: Durchschnittliche Natriumgehalte in den geologischen Formationen -----                                                                                                                            | 164 |
| Tab. 7.2.3.: Durchschnittliche Calciumgehalte in den geologischen Formationen -----                                                                                                                            | 165 |
| Tab. 7.2.4.: Durchschnittliche Eisengehalte in den geologischen Formationen -----                                                                                                                              | 166 |
| Tab. 7.2.5.: Durchschnittliche Mangangehalte in den geologischen Formationen -----                                                                                                                             | 167 |
| Tab. 7.2.6.: Durchschnittliche Kaliumgehalte in den geologischen Formationen -----                                                                                                                             | 168 |
| Tab. 7.2.7.: Durchschnittliche Magnesiumgehalte in den geologischen Formationen -----                                                                                                                          | 169 |
| Tab. 7.2.8.: Durchschnittliche Sulfatgehalte (SO <sub>4</sub> ) in den geologischen Formationen -----                                                                                                          | 170 |
| Tab. 7.3.1.: Durchschnittliche Borgehalte in den geologischen Formationen -----                                                                                                                                | 171 |
| Tab. 7.3.2.: Durchschnittliche Zinkgehalte in den geologischen Formationen -----                                                                                                                               | 172 |
| Tab. 7.3.3.: Durchschnittliche Bleigehalte in den geologischen Formationen -----                                                                                                                               | 173 |
| Tab. 7.3.4.: Durchschnittliche Cadmiumgehalte in den geologischen Formationen -----                                                                                                                            | 174 |
| Tab. 7.3.5.: Durchschnittliche Cobaltgehalte in den geologischen Formationen -----                                                                                                                             | 175 |
| Tab. 7.3.6.: Durchschnittliche Nickelgehalte in den geologischen Formationen -----                                                                                                                             | 176 |
| Tab. 7.3.7.: Durchschnittliche Chromgehalte in den geologischen Formationen -----                                                                                                                              | 177 |
| Tab. 7.3.8.: Durchschnittliche Vanadium- und Arsengehalte in den geologischen Formationen -----                                                                                                                | 178 |
| Tab. 7.3.9.: Durchschnittliche Kupfergehalte in den geologischen Formationen -----                                                                                                                             | 179 |
| Tab. 7.3.10.: Durchschnittliche Bariumgehalte in den geologischen Formationen -----                                                                                                                            | 180 |
| Tab. 7.3.11.: Durchschnittliche Selen- und Quecksilbergehalte in den geologischen Formationen -----                                                                                                            | 181 |
| Tab. 7.4.1.: Durchschnittliche Kohlenstoffgehalte (C-ges. und C-org.) in den geologischen Formationen -----                                                                                                    | 182 |
| Tab. 7.7.1.: Vergleich von nicht ausgelaugtem / ausgelaugtem Gipskeuper -----                                                                                                                                  | 183 |
| Tab. 8c: Geologische Schichten und ihre zugehörigen Gesteinstypen -----                                                                                                                                        | 194 |
| Tab. 10.2.1.: Löslichkeiten von Al in Kaolinit und Gibbsite bei unterschiedlichen pH-Werten von wässrigen Ausgangslösungen und resultierende pH-Werte -----                                                    | 196 |
| Tab. 10.2.2.: Löslichkeiten von Al im Kaolinit bei unterschiedlichen Temperaturen von einwirkenden wässrigen Lösungen -----                                                                                    | 197 |
| Tab. 10.2.3.: Löslichkeiten von Schwefel und Calcium in Gips und Anhydrit bei unterschiedlichen Temperaturen von einwirkenden wässrigen Lösungen -----                                                         | 197 |
| Tab. 10.2.4.: Löslichkeiten von Al im Kaolinit bei unterschiedlichen Fremdsalzlasten (Molarität von Na <sup>+</sup> und Cl <sup>-</sup> ) von einwirkenden wässrigen Lösungen -----                            | 198 |
| Tab. 10.2.5.: Löslichkeiten von Schwefel und Calcium in Gips und Anhydrit bei unterschiedlichen Fremdsalzlasten (Molarität von Na <sup>+</sup> und Cl <sup>-</sup> ) von einwirkenden wässrigen Lösungen ----- | 198 |
| Tab. 10.2.6.: Löslichkeiten von Schwefel und Calcium in Gips und Anhydrit bei unterschiedlichen pH-Werten von einwirkenden wässrigen Ausgangslösungen und daraus resultierende pH-Werte -----                  | 199 |
| Tab. 10.2.7.: Löslichkeiten von Schwefel und Eisen in Pyrit und Goethit bei unterschiedlichen pH-Werten von einwirkenden wässrigen Ausgangslösungen und daraus resultierende pH-Werte -----                    | 199 |
| Tab. 10.2.8.: Löslichkeiten von Schwefel und Eisen in Pyrit und Goethit bei natürlich vorkommenden, unterschiedlichen Eh-Werten (mV) von einwirkenden wässrigen Lösungen -----                                 | 200 |

|                                                                                                                                                                                                                                        |     |
|----------------------------------------------------------------------------------------------------------------------------------------------------------------------------------------------------------------------------------------|-----|
| Tab. 10.2.9: Löslichkeiten von Pb, Zn, Fe und SO <sub>4</sub> in Pyrit, Sphalerit und Galenit bei natürlich vorkommenden, unterschiedlichen Eh-Werten (mV) von einwirkenden wässrigen Lösungen -----                                   | 200 |
| Tab. 10.2.10: Löslichkeiten von Pb, Zn, Cd, Ca, C und SO <sub>4</sub> in Cerussit, Anglesit, Smithsonit und Otavit bei unterschiedlichen pH-Werten von einwirkenden wässrigen Ausgangslösungen und daraus resultierende pH-Werte ----- | 207 |
| Tab. 10.2.11: Löslichkeiten von Pb, Zn, Cd, Ca, C und SO <sub>4</sub> in Cerussit, Anglesit, Smithsonit und Otavit bei unterschiedlichen Eh-Werten von einwirkenden wässrigen Lösungen-----                                            | 208 |
| Tab. 10.2.12: Löslichkeiten von Pb, Zn, Cd, Ca, C und SO <sub>4</sub> in Cerussit, Anglesit, Smithsonit und Otavit bei unterschiedlichen Temperaturen von einwirkenden wässrigen Lösungen -----                                        | 210 |
| Tab. 10.2.13: Löslichkeiten von Pb, Zn, Cd, Ca, C und SO <sub>4</sub> in Cerussit, Anglesit, Smithsonit und Otavit bei unterschiedlichen C-total-Werten von einwirkenden wässrigen Lösungen -----                                      | 211 |
| Tab. 10.2.14: Löslichkeiten von Pb, Zn, Cd, Ca, C und SO <sub>4</sub> in Cerussit, Anglesit, Smithsonit und Otavit bei unterschiedlichen Salzlasten von einwirkenden wässrigen Lösungen -----                                          | 213 |

## Abbildungsverzeichnis

|                                                                                                                                                                           |     |
|---------------------------------------------------------------------------------------------------------------------------------------------------------------------------|-----|
| Abb. 1.2.5.1: Ablaufplan für die geochemische Untersuchung von relevanten geologischen Schichten des Großraumes Stuttgart -----                                           | 18  |
| Abb. 3.2.1: Geologische Übersichtskarte von Südwestdeutschland (nach GEYER & GWINNER (1991): Geologie von Baden-Württemberg).-----                                        | 28  |
| Abb. 3.2.1: Geologische Karte des Großraumes Stuttgart (nach GEYER & GWINNER (1991): Geologie von Baden-Württemberg) mit Probennahmepunkten gemäß Tab. 3.2.1.-----        | 29  |
| Abb. 4.3.1.1: Al-Gehalte im Eluat bei Filterung über Filter unterschiedlicher Porenweiten -----                                                                           | 32  |
| Abb. 8.1.1.1: Dendrogramm der Clusteranalyse aller Schichten auf Basis der Korrelationen von Gesamtgehalten der Elemente -----                                            | 60  |
| Abb. 8.1.1.2: Dendrogramm der Clusteranalyse von Keuperschichten auf Basis der Gesamtgehalte der Elemente -----                                                           | 61  |
| Abb. 8.1.1.3: Dendrogramm der Clusteranalyse von Schwarzjuraschichten auf Basis der Gesamtgehalte der Elemente-----                                                       | 62  |
| Abb. 8.1.1.4: Dendrogramm der Clusteranalyse von Braunjuraschichten auf Basis der Gesamtgehalte der Elemente-----                                                         | 63  |
| Abb. 8.1.3.1: Dendrogramm der Clusteranalyse von Elementgesamtgehalten im Keuper -----                                                                                    | 68  |
| Abb. 8.1.3.2: Dendrogramm der Clusteranalyse von Elementgesamtgehalten im Schwarzen Jura -----                                                                            | 71  |
| Abb. 8.1.3.3: Dendrogramm der Clusteranalyse von Elementgesamtgehalten im Braunen Jura -----                                                                              | 72  |
| Abb. 10.1.3.1: Stabilitätsbeziehungen wichtiger Fe-Mineralen im System Fe-S-Si-CO <sub>2</sub> -H <sub>2</sub> O bei 25°C und 1 bar Gesamtdruck (aus: RÖSLER 1988). ----- | 90  |
| Abb. 10.1.5.1: Stabilitätsbeziehungen zwischen einigen Bleiverbindungen im System Pb-S-Se-H <sub>2</sub> O bei 25°C und 1 bar Gesamtdruck (aus: RÖSLER 1988).-----        | 93  |
| Abb. 11.2.1: Korrelationen von Zink-Gesamtgehalten mit Zink-Eluatgehalten -----                                                                                           | 107 |
| Abb. 11.2.2: Korrelationen von Cadmium-Gesamtgehalten mit Cadmium-Eluatgehalten -----                                                                                     | 108 |
| Abb. 11.2.3: Korrelationen von Kupfer-Gesamtgehalten mit Kupfer-Eluatgehalten -----                                                                                       | 108 |
| Abb. 11.3.1.1: Häufigkeitsverteilung der Sulfatgehalte in der S4-Elution -----                                                                                            | 111 |

## Abbildungen im Anhang

|                                                                                                                         |     |
|-------------------------------------------------------------------------------------------------------------------------|-----|
| Abb. 7.8.A: Röntgen-Diffraktometer-Aufnahmen von Probe 7 (so, Röttone [sT])-----                                        | 185 |
| Abb. 7.8.B: Röntgen-Diffraktometer-Aufnahmen von Probe 35 (ku Basis, Vitriolschiefer [sT]) -----                        | 185 |
| Abb. 7.8.C: Röntgen-Diffraktometer-Aufnahmen von Probe 80 (km2, Tonst. im Schilfsandst. [sT])Fehler! Textmarke nicht de |     |
| Abb. 7.8.D: Röntgen-Diffr.-Aufnahmen von Probe 28 (mo2, Mergel/Tone im ob. Abschn. [mK]) -----                          | 186 |
| Abb. 7.8.E: Röntgen-Diffr.-Aufnahmen von Probe 113 (sjγ, Untere Schwarzjuramergel [mK])-----                            | 186 |
| Abb. 7.8.F: Röntgen-Diffr.-Aufnahmen von Probe 177 (wjα, Untere Weißjuramergel [mK]) -----                              | 186 |
| Abb. 7.8.G: Röntgen-Diffr.-Aufnahmen von Probe 20 (mo2, Tonhorizonte [tM])-----                                         | 187 |
| Abb. 7.8.H: Röntgen-Diffr.-Aufnahmen von Probe 58 (km1, Bochinger Horizont [tM]) -----                                  | 187 |
| Abb. 7.8.I: Röntgen-Diffr.-Aufnahmen von Probe P13 (km5, Knollenmergel [tM]) -----                                      | 187 |
| Abb. 7.8.J: Röntgen-Diffr.-Aufnahmen von Probe 91 (km3u, Rote Wand [T]) -----                                           | 188 |
| Abb. 7.8.K: Röntgen-Diffr.-Aufnahmen von Probe 109 (sjβ, Untere Schwarzjuratone [T])-----                               | 188 |
| Abb. 7.8.L: Röntgen-Diffr.-Aufnahmen von Probe 164 (bjα, Opalinuston [T]) -----                                         | 188 |
| Abb. 7.8.M: Röntgen-Diffr.-Aufnahmen von Probe P4 (sjα2, Angulatensandstein [sM])-----                                  | 189 |
| Abb. 7.8.N: Röntgen-Diffr.-Aufnahmen von Probe 3232 (bjβ, Oberer Donzdorfer Sandstein [sM]) -----                       | 189 |
| Abb. 7.8.O: Röntgen-Diffr.-Aufnahmen von Probe 3205 (bjδ, Hamitenton [sM]) -----                                        | 189 |
| Abb. 7.8.P: Röntgen-Diffr.-Aufnahmen von Probe 3283 (bjζ, Ornatenton [sM])-----                                         | 190 |
| Abb. 8a: Korrelationsdiagramme. Über alle Schichten. -----                                                              | 192 |
| Abb. 8b: Korrelationsdiagramme. Nach Stratigraphie.-----                                                                | 193 |



|                                                                                                                                                                                                                                                              |     |
|--------------------------------------------------------------------------------------------------------------------------------------------------------------------------------------------------------------------------------------------------------------|-----|
| Abb. 10.2.1: Löslichkeitsverhalten von Al im Kaolinit bei unterschiedlichen pH-Werten, unter Berücksichtigung verschiedener Mineralparagenesen und differierender CO <sub>2</sub> -Gesamtgehalte-----                                                        | 201 |
| Abb. 10.2.2: Löslichkeitsverhalten von Al im Gibbsit bei unterschiedlichen pH-Werten, unter Berücksichtigung verschiedener Mineralparagenesen und differierender CO <sub>2</sub> -Gesamtgehalte-----                                                         | 201 |
| Abb. 10.2.3: Vergleich des Löslichkeitsverhaltens von Al in Kaolinit und Gibbsit bei unterschiedlichen pH-Werten, unter Berücksichtigung der Paragenese mit Calcit-----                                                                                      | 201 |
| Abb. 10.2.4: Löslichkeitsverhalten von Al im Kaolinit bei unterschiedlichen Temperaturen, unter Berücksichtigung verschiedener Mineralparagenesen und differierender CO <sub>2</sub> -Gesamtgehalte---                                                       | 202 |
| Abb. 10.2.5: Löslichkeitsverhalten von SO <sub>4</sub> in Gips und Anhydrit bei unterschiedlichen Temperaturen, unter Berücksichtigung der Paragenese mit Calcit-----                                                                                        | 202 |
| Abb. 10.2.6: Löslichkeitsverhalten von Ca in Gips und Anhydrit bei unterschiedlichen Temperaturen, unter Berücksichtigung der Paragenese mit Calcit-----                                                                                                     | 202 |
| Abb. 10.2.7: Löslichkeitsverhalten von Al im Kaolinit bei unterschiedlichen Fremdsalzlasten (Na <sup>+</sup> , Cl <sup>-</sup> ), unter Berücksichtigung verschiedener Mineralparagenesen und CO <sub>2</sub> -Gesamtgehalte -----                           | 203 |
| Abb. 10.2.8: Löslichkeitsverhalten von SO <sub>4</sub> in Gips und Anhydrit bei unterschiedlichen Fremdsalzlasten (Na <sup>+</sup> , Cl <sup>-</sup> ), unter Berücksichtigung der Paragenesen mit Calcit -----                                              | 203 |
| Abb. 10.2.9: Löslichkeitsverhalten von Ca in Gips und Anhydrit bei unterschiedlichen Fremdsalzlasten (Na <sup>+</sup> , Cl <sup>-</sup> ), unter Berücksichtigung der Paragenesen mit Calcit -----                                                           | 203 |
| Abb. 10.2.10: Löslichkeitsverhalten von Sulfat in Gips und Anhydrit bei unterschiedlichen pH-Werten, unter Berücksichtigung der Paragenesen mit Calcit -----                                                                                                 | 204 |
| Abb. 10.2.11: Löslichkeitsverhalten von Calcium in Gips und Anhydrit bei unterschiedlichen pH-Werten, unter Berücksichtigung der Paragenesen mit Calcit-----                                                                                                 | 204 |
| Abb. 10.2.12: Löslichkeitsverhalten von Fe und SO <sub>4</sub> in Pyrit sowie Fe in Goethit bei unterschiedlichen pH-Werten, unter Berücksichtigung der Paragenese mit Calcit-----                                                                           | 205 |
| Abb. 10.2.13: Löslichkeitsverhalten von Fe und SO <sub>4</sub> in Pyrit sowie Fe in Goethit bei unterschiedlichen Eh-Werten, unter Berücksichtigung der Paragenese mit Calcit -----                                                                          | 205 |
| Abb. 10.2.14: Löslichkeitsverhalten von Fe, Pb, Zn und SO <sub>4</sub> aus Pyrit, Galenit und Sphalerit bei unterschiedlichen Eh-Werten -----                                                                                                                | 206 |
| Abb. 10.2.15: Löslichkeitsverhalten von Schwefel aus Pyrit, Galenit und Sphalerit und resultierender pH-Wert der Lösung bei unterschiedlichen Eh-Werten -----                                                                                                | 206 |
| Abb. 10.2.16: Vergleich des Löslichkeitsverhaltens von Fe aus Pyrit und Goethit bei unterschiedlichen Eh-Werten. Basis sind die resultierenden Lösungen bei Equilibrierung von Pyrit, Galenit und Sphalerit mit den jeweiligen resultierenden pH-Werten----- | 206 |
| Abb. 10.2.17: Löslichkeiten von Pb, Cd, Zn, Ca, C und S aus verschiedenen Mineralkombinationen, unter pH-Variation einwirkender Lösungen-----                                                                                                                | 214 |
| Abb. 10.2.18: Löslichkeiten von Pb, Cd, Zn, Ca, C und S aus verschiedenen Mineralkombinationen, unter Eh-Variation einwirkender Lösungen -----                                                                                                               | 215 |
| Abb. 10.2.19: Löslichkeiten von Pb, Cd, Zn, Ca, C und S aus verschiedenen Mineralkombinationen, unter Temperatur-Variation einwirkender Lösungen -----                                                                                                       | 216 |
| Abb. 10.2.20: Löslichkeiten von Pb, Cd, Zn, Ca, C und S aus verschiedenen Mineralkombinationen, unter C-total-Variation einwirkender Lösungen-----                                                                                                           | 217 |
| Abb. 10.2.21: Löslichkeiten von Pb, Cd, Zn, Ca, C und S aus verschiedenen Mineralkombinationen, unter Variation der Salzlast einwirkender Lösungen -----                                                                                                     | 218 |

## **Literaturverzeichnis:**

- ABBEY, S. (1983): Studies in 'standard samples' of silicate rocks and minerals 1969-1982. – Geological Survey of Canada. Paper 83-15. 114 p., Ottawa, Canada.
- AbfKlärV (1982): Verordnung zur Klärschlammabfuhr in der Landwirtschaft. – Klärschlammverordnung vom 25.6.1982. Bundesgesetzblatt jg. 1982, **Teil I**, S. 734-739.
- AbfKlärV (1992): Klärschlammverordnung vom 15. April 1992. – Bundesgesetzblatt, Jahrgang 1992, **Teil I**, S. 913-935.
- BALL, J.W., NORDSTROM, D.K. & ZACHMANN, D.W. (1987): WATEQ4F – A personal computer FORTRAN translation of the geochemical model WATEQ2 with revised data base. – U.S. Geological Survey. Open file report 87-50. Menlo Park, California.
- BRÜMMER, G.W. (1983): Heavy Metal Species, Mobility and Availability in Soils. – In: BERNARD, M., BRINCKMANN, F.E., & SADLER, P. (eds.): The Importance of Chemical Speciation in Environmental Processes. – Dahlem Konferenzen; Springer Verlag, Berlin-Heidelberg-New York.
- CARROLL, D. (1970): Clay Minerals: A Guide to Their X-ray Identification. – THE GEOLOGICAL SOCIETY OF AMERICA, Special Paper 126; 80 p. Boulder, Colorado.
- CLAUß, G. & EBNER, H. (1989): Statistik - Band 1: Grundlagen – Verlag Harri Deutsch; Thun und Frankfurt am Main.
- DAVIS, J.C. (1973): Statistics and Data Analysis in Geology. – John Wiley & Sons, Inc.; New York.
- DECHEMA (1989): Beurteilung von Schwermetallkontaminationen im Boden. – Resumée der Dechema-Arbeitsgruppe „Bewertung von Gefährdungspotentialen im Bodenschutz“. In: BEHRENS, D. & WIESNER, J. (Hrsg.): Beurteilung von Schwermetallkontaminationen im Boden. – S. 31-73; Dechema, Frankfurt a. M.
- DIN 38404 Teil 5 (1984): Bestimmung des pH-Wertes (C 5). – Deutsche Einheitsverfahren zur Wasser-, Abwasser- und Schlammuntersuchung. Normenausschuß Wasserwesen (NAW) im DIN Deutsches Institut für Normung e.V.; DIN-Verfahren und VDI-Richtlinien, Beuth Verlag, Berlin.

- DIN 38404 Teil 8 (1985): Bestimmung der elektrischen Leitfähigkeit (C 8). – Deutsche Einheitsverfahren zur Wasser-, Abwasser- und Schlammuntersuchung. Normenausschuß Wasserwesen (NAW) im DIN Deutsches Institut für Normung e.V.; DIN-Verfahren und VDI-Richtlinien, Beuth Verlag, Berlin.
- DIN 38414 Teil 4 (1984): Bestimmung der Eluierbarkeit mit Wasser (S4). – Deutsche Einheitsverfahren zur Wasser-, Abwasser- und Schlammuntersuchung. Normenausschuß Wasserwesen (NAW) im DIN Deutsches Institut für Normung e.V.; DIN-Verfahren und VDI-Richtlinien, Beuth Verlag, Berlin.
- DIN 38414 Teil 5 (1981): Bestimmung des pH-Wertes in Schlämmen und Sedimenten (S5). – Deutsche Einheitsverfahren zur Wasser-, Abwasser- und Schlammuntersuchung. Normenausschuß Wasserwesen (NAW) im DIN Deutsches Institut für Normung e.V.; DIN-Verfahren und VDI-Richtlinien, Beuth Verlag, Berlin.
- DIN 38414 Teil 7 (1983): Aufschluß mit Königswasser zur nachfolgenden Bestimmung des säurelöslichen Anteils von Metallen (S7). – Deutsche Einheitsverfahren zur Wasser-, Abwasser- und Schlammuntersuchung. Normenausschuß Wasserwesen (NAW) im DIN Deutsches Institut für Normung e.V.; DIN-Verfahren und VDI-Richtlinien, Beuth Verlag, Berlin.
- DIN-ISO 10694: Bodenbeschaffenheit – Bestimmung von organischem Kohlenstoff und Gesamtkohlenstoff nach trockener Verbrennung (Elementaranalyse). – DIN-Katalog (Standardwerk) im DIN Deutsches Institut für Normung e.V.; Beuth Verlag, Berlin.
- DINV 19730 (1993): Ammoniumnitratextraktion zur Bestimmung mobiler Spurenelemente in Mineralböden. – Normenausschuß Wasserwesen (NAW) im DIN Deutsches Institut für Normung e.V.; Vornorm DK 614.77:631.416.9:620.1:543.7 vom Februar 1993. DIN-Verfahren und VDI-Richtlinien, Beuth Verlag, Berlin.
- DOERFFEL, K. (1984): Statistik in der analytischen Chemie. – Verlag Chemie. 192 S. Weinheim
- EIKMANN, T. & KLOKE, A. (1993): Nutzungs- und schutzgutbezogene Orientierungswerte für (Schad-) Stoffe in Böden. – In: ROSENKRANZ, D., EINSELE, G. & HARRES, H.M. (Hrsg.): Bodenschutz. Ergänzbare Handbuch der Maßnahmen und Empfehlungen für Schutz, Pflege und Sanierung von Böden, Landschaft und Grundwasser. 1. Band: Grundlagen, Informationen, Bodenbelastung. – BoS 14 Lfg. X/93, S. 1-26; Berlin.
- EINBRODT, H.J. & MICHELS, S. (1984): Selen. – In: MERIAN, E. (1984): Metalle in der Umwelt. – S. 541-554. Verlag Chemie, Weinheim.
- ENQUETE-KOMMISSION DES DEUTSCHEN BUNDESTAGES „SCHUTZ DES MENSCHEN UND DER UMWELT“ (1997): Zwischenbericht – Konzept Nachhaltigkeit: Fundamente für die Gesellschaft von morgen.

- FERGUSON, J.E. (1990): The heavy elements: chemistry, environmental impact and health effects. – 614 S.; Pergamon Press, Oxford, Great Britain.
- FORBES, E.A., POSNER, A.M. & QUIRK, J.P. (1976): The specific adsorption of divalent Cd, Co, Cu, Pb and Zn on goethite. – *Journal of Soil Science*, **27**, 154-166.
- FÖRSTNER, U. & CALMANO, W. (1982): Bindungsformen von Schwermetallen in Baggerschlämmen. – *Vom Wasser* **59**, 83-92; Weinheim.
- GERTH, J. (1985): Untersuchungen zur Adsorption von Nickel, Zink und Cadmium durch Bodentonfraktionen unterschiedlichen Stoffbestandes und verschiedener Bodenkomponenten. – Dissertation; Universität Kiel.
- GEYER, O. & GWINNER, M. (1991): *Geologie von Baden-Württemberg*. – 482 Seiten. E. Schweizerbart'sche Verlagsbuchhandlung (Nägele u. Obermiller), Stuttgart.
- GLA NRW KURPARK VLOTHO (1996): Excel-Tabelle des Niedersächsischen Landesamtes für Bodenforschung Geowissenschaftliche Gemeinschaftsaufgaben (NLFB GGA). – Freigegeben durch GLA NRW.
- GRUPE, M. (1989): Schwermetallgehalte in Böden in Abhängigkeit vom Ausgangssubstrat. – *Mitteilgn. Dtsch. Bodenkundl. Gesellsch.*, **59/II**, 895-896.
- HAGELAUER, W.D. & WOLFF, G. (1993): Technische Verwertung von Bodenaushub. Ein Beitrag zum sparsamen und schonenden Umgang mit dem Boden. – Studie im Auftrag des Umweltministeriums Baden-Württemberg; 95 Seiten. Umweltministerium Baden-Württemberg, Stuttgart.
- HEIN, H. & SCHWEDT, G. (1992): Richt- und Grenzwerte. Wasser - Boden - Abfall - Chemikalien - Luft. 3. Auflage. – *UMWELTMAGAZIN*; Vogel Verlag und Druck KG, Würzburg.
- HEINRICHS, G. & UDLUFT, P. (1996): Geogenes Arsen in Grundwässern Deutschlands unter Berücksichtigung der Aquifergeologie. – *Z. dt. geol. Ges.*, **147/4**, S. 519-530; E. Schweizerbart'sche Verlagsbuchhandlung, Stuttgart.
- HORNBURG, V. (1993): Schwermetall-Gesamtgehalte in verschiedenen Böden nordrhein-westfälischer Naturräume. – Unveröffentlichter Bericht, GLA NRW Krefeld, 50 S.
- JACOB, G., DUNEMANN, L., ZACHMANN, D. & BRASSER, T. (1990): Untersuchungen zur Bindungsform von Schwermetallen in ausgewählten Abfällen. – *Abfallwirtschaftsjournal* 2, Nr. 7/8, 451-457; EF-VERLAG für Energie- und Umwelttechnik GmbH, Berlin.

- JAHN, R., STAHR, K. & ZAUNER, G. (1992): Gutachten zum geogenen Schwermetallbestand der Schichtenfolge des Stadtgebietes von Stuttgart. – Im Auftrag des Umweltamtes der Landeshauptstadt Stuttgart. 47 Seiten; Hohenheim.
- JOCHUM, J. (1992): Posidonia Shales. – In: Zimmerle, W. & Stribrny, B. (Hrsg.): Organic carbon-rich pelitic sediments in the Federal Republic of Germany. IGCP-Project 254 - Metalliferous black shales. – Cour. Forsch.-Inst. Senckenberg, **152**, Frankfurt a. M.
- JUISTEN, A. (1996): Datentabelle aus Diplomarbeit (unveröffentlicht) zur Malmbohrung (TK 25 3917 Minden). – Lehrstuhl Hydrogeologie, Geologisches Institut der Universität Bonn.
- KAISER, R. & GOTTSCHALK, G. (1972): Elementare Tests zur Beurteilung von Meßdaten. – B.I.-Wissenschaftsverlag; Hochschultaschenbücher Band 774, 68 Seiten; Bibliographisches Institut AG, Mannheim.
- KLOKE, A. (1980): Richtwerte '80. Orientierungsdaten für tolerierbare Gesamtgehalte einiger Elemente in Kulturböden. – Mitteilungen VDLUFA, H. 1-3.
- KOCH, D. & GRUPE, M. (1993): Mobilität von Schwermetallen geogener/anthropogener Herkunft. – Mitteilgn. Dtsch. Bodenkundl. Gesellsch., **72**, 385-388.
- KOHL, R., LEHLE, M., REINFELDER, H. & SCHLECHTER, R. (1994): Leitfaden zum Schutz der Böden beim Auftrag von kultivierbarem Bodenaushub. – Arbeitskreis Bodenschutz beim Umweltministerium Baden-Württemberg; Heft Nr. 28 der Reihe „Luft, Boden, Abfall“, 36 Seiten. Umweltministerium Baden-Württemberg, Stuttgart.
- KORKISCH, J. & DIMITRIADIS, D. (1974): Contribution to the analysis of nuclear raw materials. V. Spectrophotometric determination of cadmium in samples of yellow cake, uranium-bearing materials and geological standards. – Mikrochim. Acta, No. **1**, p. 449.
- KORKISCH, J. (1989): Handbook of ion exchange resins. Volume IV. (Cadmium: Spectrophotometric determination of Cd in geological materials after separation by anion exchange). – 352 p. CRC Press, Inc.; Boca Raton, Florida.
- LAGA – LÄNDERARBEITSGEMEINSCHAFT ABFALL (1994): Anforderungen an die stoffliche Verwertung von mineralischen Reststoffen/Abfällen. - Technische Regeln. – Länderarbeitsgemeinschaft Abfall (LAGA); Arbeitsgemeinschaft „Vereinheitlichung der Untersuchung und Bewertung von Reststoffen“. Stand 1. März 1994.
- LANDESBERGAMT BADEN-WÜRTTEMBERG (1997): Bericht des Landesbergamtes Baden-Württemberg für das Jahr 1996. – Freiburg i. Breisgau.

- LAWA (1994): Empfehlungen für die Erkundung, Bewertung und Behandlung von Grundwasserschäden. – Hrsg.: Länderarbeitsgemeinschaft Wasser (LAWA), unter Vorsitz des Umweltministeriums Baden-Württemberg. Januar 1994, Stuttgart.
- LFU BADEN-WÜRTTEMBERG (1993): Der Bodenzustand in Baden-Württemberg. – Berichte der Landesanstalt für Umweltschutz Baden-Württemberg, Jahresbericht 1993; S. 37-65; Karlsruhe.
- LFU BADEN-WÜRTTEMBERG (1994): Schwermetallgehalte in Böden aus verschiedenen Ausgangsgesteinen Baden-Württembergs. – Handbuch Boden. Materialien zum Bodenschutz Band 3; 20 Seiten. Zentraler Fachdienst Wasser - Boden - Abfall - Altlasten bei der Landesanstalt für Umweltschutz Baden-Württemberg, Karlsruhe.
- LFU BADEN-WÜRTTEMBERG (1994): Grundwasserüberwachungsprogramm. Geogen geprägte Beschaffenheit des Grundwassers. Hintergrundwerte 1985-1991. – Projektgruppe Grundwasserbeschaffenheit, unter Mitwirkung des Geologischen Landesamtes Baden-Württemberg. LfU Landesanstalt für Umweltschutz Baden-Württemberg, Karlsruhe.
- LINDSKOG, S. (1970): Struct. Bonding 8, S. 153-196.
- LIPPMANN, F. (1954): Über einen Keuperton von Zaiserweiher bei Maulbronn. – Heidelberger Beitr. Miner. u. Petrogr., V. 4, Nr. 1-2, S. 130-134.
- LOTZE, TH. (1992): Untersuchungen der Bindungsformen von Schwermetallen in Kupferschieferhalden des Raumes Sangerhausen, unter Berücksichtigung ihres Schadstoffeintrages in Böden. – Diplomarbeit, Techn. Univ. Braunschweig, Institut für Geowissenschaften.
- MERIAN, E. (1984): Metalle in der Umwelt - Verteilung, Analytik und biologische Relevanz. – 722 S.; Verlag Chemie, Weinheim.
- MÖLLER, P. (1986): Anorganische Geochemie. – Heidelberger Taschenbücher Band 240. 326 S. Springer-Verlag, Berlin Heidelberg.
- NL (1983): Leidraad bodemsanering – Niederländisches Ministerium für Wohnungswesen, Raumordnung und Umwelt; Staatuitgeverij, s'Gravenhage, Niederlande; Auflage 1, Juli 1983.
- NL (1988): Leidraad bodemsanering, Deel II. Technisch-Inhoudelijk Deel – Staatuitgeverij, s'Gravenhage, Niederlande; Auflage 4, November 1988.
- OBERMANN, P. & CREMER, S. (1992): Mobilisierung von Schwermetallen in Porenwässern von belasteten Böden und Deponien: Entwicklung eines aussagekräftigen Elutionsverfahrens. – Materialien zur Ermittlung und Sanierung von Altlasten, Band 6; im Auftrag des Landesamtes für Wasser und Abfall NRW, Düsseldorf.

- PARKHURST, D.L., THORSTENSON, D.C. & PLUMMER, L.N. (1990): PHREEQE - a computer program for geochemical calculations (Conversion and upgrade of the prime version of PHREEQE to IBM PC-compatible systems by J.V. TIRISANNI & P.D. GLYNN). – U.S. Geological Survey Water Resources Investigations Report No. 80-96, 195 p., Washington D.C.
- PEIFFER, S., STUBERT, I. & BÄR, S. (1996): Die Mobilisierung von Cadmium aus gut gepufferten, pH-neutralen Sedimenten infolge der Oxidation von Eisensulfiden. – *Wasser & Boden*, 48.Jahrg., 5/1996; S. 62-65.
- PRÜESS, A., TURIAN, G. & SCHWEIKLE, V. (1991): Ableitung kritischer Gehalte an  $\text{NH}_4\text{NO}_3$ -extrahierbaren ökotoxikologisch relevanten Spurenelementen in Böden Südwestdeutschlands. – *Mitt. Dtsch. Bodenkundl. Gesellsch.*, **66**, S. 385-388.
- PUCHELT, H. (1989): Konzentrationen und Bindungsformen von Spurenelementen, insbesondere Schwermetallen, in Abhängigkeit vom Ausgangsgestein und der Entwicklung der Bodenbildung. – Statusbericht. Universität Karlsruhe, Institut für Petrographie und Geochemie.
- RÖSLER, H.J. & LANGE, H. (1976): *Geochemische Tabellen*. – 674 S. Ferdinand Enke Verlag, Stuttgart.
- RÖSLER, H.J. (1988): *Lehrbuch der Mineralogie*. – 4. Auflage, 844 S. VEB Deutscher Verlag für Grundstoffindustrie, Leipzig.
- ROTH, L. & DAUNDERER, M. (1996): Giftliste<sup>PC</sup>. – ecobase Software, ecomed verlagsgesellschaft AG & Co. KG, Landsberg.
- SAVORY, J. & WILLS, M.R. (1984): Arsen. – In: MERIAN, E. (1984): *Metalle in der Umwelt*. – S. 319-334. Verlag Chemie, Weinheim.
- SCHEFFER, F. & SCHACHTSCHABEL, P. (1992): *Lehrbuch der Bodenkunde*. – 13. Aufl., 491 Seiten. Ferdinand Enke Verlag, Stuttgart.
- SCHUBÖ, W. & UEHLINGER, H.M. (1984): *SPSSx: Handbuch der Programmversion 2*. – 494 S. Gustav Fischer Verlag, Stuttgart.
- SOMMERFELD, F. & SCHWEDT, G. (1996): Vergleich ausgewählter Elutionsverfahren zur Beurteilung der Mobilität von Metallen. – *Acta hydrochim. hydrobiol.* **42**, 6, 255-259; VCH Verlagsgesellschaft mbH, Weinheim.
- SPOSITO, G. (1983): The Chemical Forms of Trace Metals in Soils. – In: THORNTON, I. (ed.): *Applied Environmental Geochemistry*: 123-170; Academic Press, London.
- STAHR, K. (1990): Geogene Schwermetallgehalte in Gesteinen der südwestdeutschen Schichtstufenlandschaft und ihrer Böden. – Statusbericht. Universität Hohenheim, Institut für Bodenkunde und Standortslehre.

- TESSIER, A., CAMPBELL, P.G.C. & BISSON, M. (1979): Sequential Extraction Procedure for the Speciation of Particulate Trace Metals. – *Analytical Chemistry* **51**, 844-851.
- TILLER, K.G., GERTH, J. & BRÜMMER, G. (1984): The Sorption of Cd, Zn, and Ni by Soil Clay Fractions: Procedures for Partition of Bound Forms and their Interpretation. – *Geoderma*, **34**: 1-16.
- TRENCK, K.-T. v.d. (1997): Verunreinigte Böden. Prüfwerte und Konzepte - Ein kritischer Überblick. – *UWSF-Z. Umweltchem. Ökotox.* **9** (2), 97-106; Landsberg.
- TVA (1990): Technische Verordnung über Abfälle. - Entwurf für eine Richtlinie zur Durchführung des Eluat-Test für Inertstoffe und endlagerfähige Reststoffe. – Schweizerischer Bundesrat, Verordnung vom 10.12.1990.
- TVO (1990): Verordnung über Trinkwasser und über Wasser für Lebensmittelbetriebe (Trinkwasserverordnung – TrinkwV) – Bundesgesetzblatt Nr.66 vom 12. 12. 1990 (Seiten 2612-2632).
- UMWELTBEHÖRDE HAMBURG (1997): Ringversuch zur Bestimmung von Parametern nach § 3,2, § 3,5 und § 3,6 (PCB) der Klärschlammverordnung (AbfKlärV). Boden- und Klärschlamm-Ringversuch 5/97. Bewertung. – Umweltbehörde Hamburg, Amt für Umweltschutz - Umweltuntersuchungen, Freie und Hansestadt Hamburg.
- UMWELTMINISTERIUM BADEN-WÜRTTEMBERG (1993): Technische Verwertung von Bodenaushub. – Studie; Umweltministerium Baden-Württemberg; Heft Nr. 24 der Reihe „Luft, Boden, Abfall“, Stuttgart.
- UMWELTMINISTERIUM BADEN-WÜRTTEMBERG (1994): Leitfaden zum Schutz der Böden beim Auftrag von kultivierbarem Bodenaushub. – Arbeitskreis Bodenschutz beim Umweltministerium Baden-Württemberg; Heft Nr. 28 der Reihe „Luft, Boden, Abfall“, Stuttgart.
- VIERECK-GÖTTE, L., BRAND, P. & SIEPERMANN, M. (1997): Literaturstudie: Natürliche Grundgehalte von bodenrelevanten Metallen in Festgesteinen in NRW. – Endbericht. Im Auftrag des Landesumweltamtes Nordrhein-Westfalen.
- VOLKSWAGEN-STIFTUNG (1997): Bericht 1996. – Vandenhoeck & Ruprecht.
- ZACHMANN, D.W. & BLOCK, R. (1994): Studies of the availability of toxic heavy elements in soils and sediments in the vicinity of a lead smelting site (Germany). – *Water, Air and Soil Pollution*, **78**: 317-334.
- ZAUNER, G., PAPENFUß, K.H., JAHN, R. & GRUPE, M. (1993): Gesteine als Quelle von Schwermetallen in Böden. – *Mitteilgn. Dtsch. Bodenkundl. Gesellsch.*, **72**, 477-480.
- ZWÖLFER, F., GEIB, M., ADAM, P., HEINRICHSMEIER, K. & HERRMANN, H. (1991): Erhaltung fruchtbaren und kulturfähigen Bodens bei Flächeninanspruchnahmen. – Untersuchung des Geologischen Landesamts Ba-



den-Württemberg im Auftrag des Ministeriums für Ernährung, Landwirtschaft, Umwelt und Forsten Baden-Württemberg. Heft 10 der Reihe Luft - Boden - Abfall; 40 Seiten. Ministerium für Umwelt Baden-Württemberg, Stuttgart

